

**Внутренние
санитарно-
технические
устройства**

Часть 1

Отопление

**Справочник
проектировщика**

**Москва
Стройиздат**

**СПРАВОЧНИК
ПРОЕКТИРОВЩИКА**

Серия основана в 1975 году

**Внутренние
санитарно-
технические
устройства**

В трех частях

4-е издание, переработанное и дополненное

Под редакцией канд.техн.наук

И.Г. Староверова и инж. Ю.И. Шиллера

**Часть 1
Отопление**

Москва
Стройиздат
1990

ББК 38.762.1
В 60
УДК 697.1 (035.5)

Главная редакционная коллегия серии: В.М. Спиридонов (гл. редактор), Ю.Н. Андрианов, А.А. Вихрев, С.М. Гликин, В.П. Илюхин, В.А. Касаткин, С.С. Кормилов, В.И. Королев, В.В. Кузнецов, В.В. Михеев, С.Н. Никитин, Н.И. Орехова, С.Д. Чубаров.

Авторы: В.Н. Богословский, Б.А. Крупнов, А.Н. Сканави, А.Г. Егиазаров, Л.М. Михайлов, В.В. Невский, Л.Ф. Моор, Е.О. Шилькрот, А.Л. Наумов, С.М. Финкельштейн, Н.В. Харченко, С.С. Васильев, А.З. Ивянский, Н.И. Староверова, А.П. Варфоломеева.

Редактор Н.А. Хаустова

Внутренние санитарно-технические устройства.
В 60 В 3 ч. Ч. I. Отопление / В.Н. Богословский, Б.А. Крупнов, А.Н. Сканави и др.; Под ред. И.Г. Староверова и Ю.И. Шиллера. — 4-е изд., перераб. и доп. — М.: Стройиздат, 1990. — 344 с.: ил. — (Справочник проектировщика).
ISBN 5-274-00523-3

Приведены основные сведения по расчету теплового режима помещений, выбору, конструированию и расчету систем отопления зданий и сооружений. Изложена методика использования теплоты геотермальных вод и солнечной энергии. Изд. 3-е вышло в 1975 г. под назв. «Отопление, водопровод и канализация».

Для инженерно-технических работников проектных и строительных организаций.

3309000000-627
В ————— КБ-8-117-90
047 (01) — 90

ББК 38.762.1

ISBN 5-274-00523-3 (Ч. 1)
ISBN 5-274-00554-3

© Стройиздат, 1975
© В.Н. Богословский,
А.Н. Сканави и коллек-
тив авторов, 1990, с из-
менениями

ПРЕДИСЛОВИЕ

Выполнение грандиозных объемов строительства требует от советских ученых и инженеров поисков новых творческих решений, разработки наиболее прогрессивных и экономичных конструкций. Основными направлениями экономического и социального развития СССР поставлена задача повышения уровня научных исследований, значительного сокращения сроков внедрения достижений науки и техники. Большие задачи стоят, в частности, перед строительной наукой в совершенствовании методов расчета и проектирования конструкций и сооружений. Рассчитать конкретную конструкцию без знания теории и практики расчета невозможно. Большое практическое значение теории расчета, сложность возникающих проблем, математические трудности, связанные с решением отдельных задач, потребовали широкого освещения этих вопросов в отечественной литературе.

Материал данного справочника переработан и дополнен в соответствии с новыми техническими решениями и рекомендациями новых нормативных документов.

Составление справочника возглавил ГПИ Сантехпроект, рецензирование выполнено Московским Промстройпроектом. При написании справочника использованы материалы Союзсантехпроекта, МИСИ им. В. В. Куйбышева, Московского и Ленинградского Промстройпроекта, ЦНИИПромзданий, ЦНИИЭП инженерного оборудования.

В составлении справочника принимали участие: д-р техн. наук проф. В. Н. Богословский и канд. техн. наук Б. А. Крупнов (гл. 1-6), канд. техн. наук проф. А. Н. Сканава (гл. 7-10, прил. X), Л. М. Михайлов (гл. 9, 10, прил. X), канд. техн. наук И. Г. Староверов (гл. 11, 14), В. В. Невский (гл. 11, 14, прил. XII), Л. Ф. Моор (гл. 12), канд. техн. наук Е. О. Шилькрот и канд. техн. наук А. Л. Наумов (гл. 13), канд. техн. наук А. Г. Егиазаров (гл. 15), канд. техн. наук Н. В. Харченко и С. С. Васильев (гл. 16), канд. техн. наук А. З. Ивянский (гл. 17), канд. техн. наук Н. И. Староверова (прил. I), канд. техн. наук А. П. Варфоломеева (прил. II), С. М. Финкельштейн (прил. III-X).

РАЗДЕЛ I. ТЕПЛОВОЙ РЕЖИМ ЗДАНИЯ

ГЛАВА 1. ВНУТРЕННИЕ И НАРУЖНЫЕ КЛИМАТИЧЕСКИЕ УСЛОВИЯ

1.1. Метеорологические условия в помещениях

Микроклимат помещения характеризуется совокупностью температуры воздуха и поверхностей, обращенных в помещение, влажностью и скоростью движения воздуха. Значения параметров микроклимата следует принимать в зависимости от назначения помещения, категории работ и периода года, исходя из требований комфорта для находящихся в помещении людей и нормального протекания технологического процесса.

Температура помещения. Температурные условия в помещении определяются сочетанием температуры воздуха t_n и температуры внутренних поверхностей τ_i . Осредненную температуру внутренних поверхностей относительно одной из поверхностей, называемую радиационной температурой t_R относительно человека, находящегося в середине помещения, определяют так:

$$t_R = \sum \tau_i \varphi_{\alpha-i}, \quad (1.1)$$

где $\varphi_{\alpha-i}$ — коэффициенты облученности с поверхности человека на отдельные окружающие его поверхности [2,3].

Приближенно величину t_R допускается определять осредненной по площадям отдельных поверхностей F_i

$$t_R \approx \sum \tau_i F_i / \sum F_i. \quad (1.2)$$

Температурная обстановка в помещении характеризуется результирующей температурой помещения t_n , принимаемой для обычных помещений с небольшой подвижностью воздуха (0,1–0,15 м/с),

$$t_n = 0,5(t_b + t_R). \quad (1.3)$$

Температурная обстановка в помещении должна удовлетворять требованиям комфортности.

Первое условие комфортности определяет температурную обстановку, при которой человек, находясь в середине помещения, отдавая все явное тепло, не испытывает ощущения перегрева или переохлаждения. Математическая запись первого условия связывает между собой температуры t_n , t_R и T_n (И). Значение t_n (И) зависит от категории работ (табл. 1.1).

ТАБЛИЦА 1.1
ЗНАЧЕНИЯ t_n (И)

Категория работы	Теплоотдача организма, Вт (ккал/ч)	Значения t_n (И) в период года	
		холодный	теплый
Легкая	До 172 (150)	21	26
Средней тяжести	До 293 (250)	18,5	24
Тяжелая	Более 293 (250)	16	22

Для холодного периода года

$$t_R = 1,57 t_n (И) - 0,57 t_n \pm 1,5. \quad (1.4)$$

Температуры t_n , t_R необходимо определять для помещений, имеющих большие охлажденные поверхности (два и более наружных ограждения) или развитые нагретые поверхности (например, при панельно-лучистом отоплении). Для обычных помещений значения t_n и t_R можно принимать равными t_n .

Второе условие комфортности ограничивает интенсивность лучистого теплообмена, когда человек находится вблизи нагретых или охлажденных поверхностей ограждений (до стены на расстоянии до 1 м).

Допустимая температура поверхности стены и потолка в холодный период года принимается равной:

для нагретой поверхности (при допустимой теплоотдаче излучением 11,6 Вт/м²)

$$\tau_n^{\text{доп}} \leq 19,2 + 8,7 / \varphi_{\alpha-n}; \quad (1.5)$$

для охлажденной поверхности (при допустимой теплоотдаче излучением 70 Вт/м²)

$$\tau_n^{\text{доп}} \geq 23 - 5 / \varphi_{\alpha-n}. \quad (1.6)$$

Минимально допустимую температуру окна (при теплоотдаче излучением не более 93 Вт/м²) следует принимать

$$\tau_{\text{ок}}^{\text{доп}} \geq 14 - 4,4 / \varphi_{\alpha-\text{ок}}, \quad (1.7)$$

где $\varphi_{\alpha-n}$, $\varphi_{\alpha-\text{ок}}$ — коэффициенты облученности от наиболее невыгодно расположенной части поверхности тела человека на нагретую или охлажденную поверхность.

Расчетные условия в помещении и их обеспеченность. Метеорологические условия в помещениях для холодного периода и переходных

условий в пределах оптимальных и допустимых норм следует принимать:

а) в обслуживаемой зоне жилых, общественных и административно-бытовых помещений при непрерывном пребывании людей более 2 ч – по табл. 1.2;

ТАБЛИЦА 1.2
ОПТИМАЛЬНЫЕ (В ЧИСЛИТЕЛЕ) И ДОПУСТИМЫЕ (В ЗНАМЕНАТЕЛЕ) НОРМЫ ПАРАМЕТРОВ ВОЗДУХА В ОБСЛУЖИВАЕМОЙ ЗОНЕ ЖИЛЫХ, ОБЩЕСТВЕННЫХ И АДМИНИСТРАТИВНО-БЫТОВЫХ ПОМЕЩЕНИЙ В ХОЛОДНЫЙ ПЕРИОД И ДЛЯ ПЕРЕХОДНЫХ УСЛОВИЙ (СОГЛАСНО СНиП 2.04.05–86)

Температура воздуха, °С	Относительная влажность воздуха, %	Скорость движения воздуха, м/с
20 – 22	45 – 30	≤ 0,2
18 – 22	≤ 65	

Примечание. Для общественных и административно-бытовых помещений с пребыванием людей в уличной одежде следует принимать температуру воздуха 14 °С.

б) в рабочей зоне производственных помещений и в кабинах крановщиков (кроме помещений, для которых метеорологические условия установлены другими нормативными документами) – по табл. 1.3;

в) в животноводческих, звероводческих и птицеводческих зданиях, сооружениях для выращивания растений, зданиях для хранения сельскохозяйственной продукции – в соответствии с нормами технологического и строительного проектирования.

Вместо допустимых параметров воздуха в помещении можно принимать оптимальные, если это экономически целесообразно.

Расчетную температуру воздуха в обслуживаемой или рабочей зоне помещений следует принимать:

а) при проектировании отопления – минимальную из указанных значений;

б) при проектировании вентиляции и кондиционирования для ассимиляции теплоизбытков – максимальную из указанных значений, при отсутствии теплоизбытков – минимальную;

в) в производственных помещениях с полностью автоматизированным технологическим оборудованием, при непрерывном пребывании людей не более 2 ч, отсутствии технологических требований и теплоизбытков и расчетных параметрах наружного воздуха Б – 10 °С, при наличии теплоизбытков – экономически целесообразную температуру. В местах производства

ТАБЛИЦА 1.3
ОПТИМАЛЬНЫЕ И ДОПУСТИМЫЕ НОРМЫ ПАРАМЕТРОВ ВОЗДУХА В РАБОЧЕЙ ЗОНЕ ПРОИЗВОДСТВЕННЫХ ПОМЕЩЕНИЙ В ХОЛОДНЫЙ ПЕРИОД И ДЛЯ ПЕРЕХОДНЫХ УСЛОВИЙ (ПО ГОСТ 12.1005–88).

Категория работ	Температура, °С			Относительная влажность, %		Скорость движения, м/с	
	оптимальная	допустимая на рабочих местах		оптимальная	допустимая	оптимальная	допустимая
		постоянных	непостоянных				
Легкая – Ia	22–24	21–25	18–26			0,1	0,1
Легкая – Ib	21–23	20–24	17–25			0,1	0,2
Средней тяжести – IIa	18–20	17–23	15–24	40–60	75	0,2	0,3
Средней тяжести – IIб	17–19	15–21	13–23			0,2	0,4
Тяжелая – III	16–18	13–19	12–20			0,3	0,5

Примечания: 1. В кабинах, на пультах и постах управления технологическими процессами, в залах вычислительной техники и других помещениях при выполнении работ операторского типа, связанных с нервно-эмоциональным напряжением, должны соблюдаться оптимальные нормы, соответствующие легкой работе Ia.

2. Перепад температуры воздуха по высоте рабочей зоны при всех категориях работ допускается до 3 °С.

3. Колебания температуры воздуха по горизонтали в рабочей зоне, а также в течение смены допускаются до 4 °С – при легких работах, до 5 °С – при средней тяжести работах и до 6 °С – при тяжелых работах. При этом абсолютные значения температуры воздуха, измеренной на разной высоте и в различных участках помещений в течение смены, не должны выходить за пределы указанных допустимых величин.

4. При обеспечении оптимальных и допустимых норм параметров микроклимата в холодный период следует применять средства защиты рабочих мест от радиационного охлаждения от остекленных поверхностей оконных проемов.

5. В отдельных помещениях, в которых невозможно или экономически нецелесообразно установить допустимые нормы, следует обеспечить защиту работающих от возможного охлаждения (воздушное душирование, устройство помещений для отдыха и обогрева, применение других средств индивидуальной защиты).

ремонтных работ продолжительностью 2 ч и более непрерывно следует предусматривать повышение температуры воздуха до 16°C передвижными воздушонагревателями;

г) при лучистом нагревании или охлаждении постоянных рабочих мест – по п. 2.7. СНиП 2.04.05–86;

д) в помещениях отдыха рабочих горячих цехов, подвергающихся облучению с поверхностью плотностью потока 350 Вт/м² и более – 20°C;

е) в помещениях для обогрева людей – 25°C (при радиационном обогреве – 20°C);

ж) в помещениях пультов управления технологическими процессами (на постоянных рабочих местах) – 22°C в течение всего года;

з) при душировании наружным воздухом – по п. 2.3. СНиП 2.04.05–86.

В холодный период года в отапливаемых помещениях производственных, общественных и административно-бытовых зданий в нерабочее время и когда они не используются следует принимать температуру воздуха не ниже 5°C, если это допустимо по условиям технологии и эксплуатации, при этом восстановление нормируемой температуры воздуха в помещениях к началу работы или использования помещения должно быть обеспечено без увеличения приведенных затрат.

Указанные нормы параметров воздуха в

помещениях зданий и сооружений следует поддерживать в пределах допустимого числа случаев и продолжительности отклонений их в зависимости от назначения помещения. Численной характеристикой этих показателей является коэффициент обеспеченности $k_{об}$ (табл. 1.4):

по числу случаев отклонений

$$k_{обn} = n/N; \quad (1.8)$$

по продолжительности отклонений

$$k_{об\Delta z} = \Delta z / \Delta Z, \quad (1.9)$$

где n , Δz – число случаев и продолжительность поддержания расчетных внутренних условий; N , ΔZ – общее число случаев и общая продолжительность рассматриваемого периода.

При определении коэффициентов обеспеченности для холодного периода года за случай принимается разовое похолодание.

Для переходных условий года расчетные параметры наружного воздуха следует принимать:

а) для систем отопления и вентиляции – температуру воздуха 8°C и удельную энтальпию 22,5 кДж/кг; для систем вентиляции допускается принимать параметры, при которых возможно использование непогретого наружного воздуха для притока;

б) для систем кондиционирования – пара-

ТАБЛИЦА 1.4

ЗНАЧЕНИЯ КОЭФФИЦИЕНТОВ $k_{обn}$, $k_{об\Delta z}$

Характеристика помещения	$k_{обn}$	$k_{об\Delta z}$	Уровень требований к микроклимату	Параметры наружного воздуха по СНиП (ориентировочно)
Особо высокие санитарно-гигиенические и технологические требования	1	1	Повышенный	Б + (–2)
Круглосуточное пребывание людей или постоянный технологический режим	0,9	0,98	Высокий	Б
Ограниченное во времени пребывание людей	0,7	0,92	Средний	А
Кратковременное пребывание людей	0,5	0,8	Низкий	–

ТАБЛИЦА 1.5

ВЛАЖНОСТНЫЙ РЕЖИМ ПОМЕЩЕНИЙ

Относительная влажность воздуха, %, при температуре, °C	Влажностный режим помещений		
	до 12	свыше 12 до 24	свыше 24
До 60	До 50	До 40	Сухой
Свыше 60 до 75	Свыше 50 до 60	Свыше 40 до 50	Нормальный
» 75	» 60 до 75	» 50 до 60	Влажный
—	» 75	» 60	Мокрый

метры, при которых кондиционер не расходует тепло и холод.

Характеристика влажностного режима помещения приведена в табл. 1.5.

1.2. Расчетные характеристики наружного климата для холодного периода года

Температура наружного воздуха и скорость ветра. Для холодного периода года определяющими параметрами являются температура наружного воздуха t_n и скорость ветра v_n .

Расчетную температуру наружного воздуха в холодный период года следует принимать:

а) для расчета сопротивления теплопередаче ограждающих конструкций, за исключением окон, балконных дверей и фонарей — с учетом показателя тепловой инерции D по табл. 1.6;

ТАБЛИЦА 1.6
ЗНАЧЕНИЯ РАСЧЕТНОЙ ТЕМПЕРАТУРЫ НАРУЖНОГО ВОЗДУХА В ЗАВИСИМОСТИ ОТ ПОКАЗАТЕЛЯ ТЕПЛОВОЙ ЭНЕРГИИ

D	t_n , °C
До 1,5	t_{n1} — средняя температура наиболее холодных суток обеспеченностью 0,98
Свыше 1,5 до 4	t_{n2} — средняя температура наиболее холодных суток обеспеченностью 0,92
» 4 до 7	t_{n3} — средняя температура наиболее холодных трех суток
» 7	t_{n5} — средняя температура наиболее холодной пятидневки обеспеченностью 0,92

Примечания: 1. Значение t_{n3} следует принимать равным $0,5(t_{n1} + t_{n2})$. 2. Для ограждающих конструкций животноводческих зданий с $D < 1,5$ температуру t_n следует принимать равной t_{n1} . Для зданий по переработке сельскохозяйственной продукции, эксплуатируемых только осенью или весной, t_n следует принимать равной средней температуре наружного воздуха наиболее холодного месяца за период эксплуатации зданий, уменьшенной на 0,7 максимальной амплитуды суточных колебаний температуры наружного воздуха в этом месяце, принимаемой по прил. 2 СНиП 2.01.01–82.

б) для определения расчетных теплотрат по прил. 8 и 9 СНиП 2.04.05–86 — в соответствии с расчетными параметрами наружного воздуха, приведенными в табл. 1.7.

Расчетная скорость ветра для расчета сопротивления воздухопроницанию ограждающей конструкции принимается равной:

а) максимальной из средних скоростей ветра по румбам за январь, повторяемость которых составляет 16% и более, на высоте 10 м над поверхностью земли в открытой местности — по прил. 4 СНиП 2.01.01–82;

ТАБЛИЦА 1.7
РАСЧЕТНЫЕ ПАРАМЕТРЫ НАРУЖНОГО ВОЗДУХА

Помещения, здания	Системы	Параметры наружного воздуха
1. Жилые, общественные, административно-бытовые и производственные	Отопление, вентиляция, воздушное душирование, кондиционирование	Б
2. Здания сельскохозяйственного назначения (если параметры не соответствуют нормам проектирования)	Отопление	Б
	Вентиляция	А (допускается при обосновании принимать температуру на 2°С и удельную энтальпию на 2 кДж/кг выше установленной для параметров А)
3. Здания, кроме указанных в пп. 1 и 2	Отопление, вентиляция, воздушное душирование, кондиционирование	По соответствующим нормам проектирования

б) средней скорости ветра за январь по румбам повторяемостью 12–15%, если она превышает на 1 м/с наибольшую из средних скоростей ветра по румбам повторяемостью 16% и более — по прил. 4 СНиП 2.01.01–82.

При типовом проектировании следует принимать расчетную скорость ветра 5 м/с, в климатических районах 1Б и 1Г–8 м/с. Коэффициент, учитывающий изменение скорости ветра в зависимости от высоты над поверхностью земли и типа местности, необходимо принимать по табл. 6 СНиП 2.01.07–85.

Средняя температура и продолжительность отопительного периода. Для зданий с незначительными тепловыделениями средняя температура воздуха $t_{от.пер}$ и продолжительность $Z_{от.пер}$ отопительного периода определяются по числу дней с устойчивой средней суточной температурой наружного воздуха ≤ 8 или 10°C . Значения $t_{от.пер}$ и $Z_{от.пер}$ приведены в СНиП 2.01.01–82. Для зданий со значительными тепловыделениями, сложным тепловым режимом и т.д. при определении годовых теплотрат, режима регулирования и пр. необходим специальный расчет характеристик отопительного периода [2].

Зоны влажности территории СССР. Согласно СНиП II–3–79** территория СССР делится на три зоны влажности: 1 зона — влажная (по побережью Приморского края, Камчатки, Чукот-

ки, большая часть Сахалина, побережье Прибалтики, Ленинградская обл., Кольский п-ов, центральная и северная части территории Карельской АССР, Черноморское побережье Кавказа); 2 зона – нормальная; 3 зона – сухая (тер-

ритория Молдовы, средняя и южная части Украины, области Черноземья, среднего и южного Поволжья, Средняя Азия, центральная и восточная части Сибири, часть территории Закавказья.

ГЛАВА 2. ТЕПЛОПЕРЕДАЧА ЧЕРЕЗ ОГРАЖДЕНИЯ

2.1. Стационарная теплопередача

Сопротивление теплопередаче и распределение температуры по сечению многослойного ограждения. Теплопередача через ограждения помещений при наличии разности температур между внутренним и наружным воздухом происходит в результате трех видов переноса теплоты: конвекции, теплового излучения и теплопроводности.

Количество теплоты q , Вт/м², проходящей через 1 м² поверхности ограждения в единицу времени, равно

$$q = \frac{1}{R_0} (t_n - t_w), \quad (2.1)$$

где R_0 – общее сопротивление теплопередаче, м²·°C/Вт

$R_0 = R_n + R_k + R_{\text{вн}} + R_{\text{н}} = 1/\alpha_n + \sum \delta_i/\lambda_i + R_{\text{вн}} + 1/\alpha_n$;
 $R_n, R_{\text{н}}$ – сопротивление теплообмену на внутренней и наружной поверхностях ограждения; R_k – термическое сопротивление материальных слоев ограждающей конструкции; $R_{\text{в.п.}}$ – термическое сопротивление замкнутой воздушной прослойки в толще ограждающей конструкции, принимаемое по прил. 4 СНиП II–3–79**;
 α_n, α_n – коэффициенты теплообмена на внутренней и наружной поверхностях ограждения, Вт/(м²·°C); δ_i – толщина слоя материала в ограждении, м; λ_i – расчетный коэффициент теплопроводности материала слоя, принимаемый по прил. 3 СНиП II–3–79** с учетом условий эксплуатации ограждающих конструкций (табл. 2.1).

ТАБЛИЦА 2.1

УСЛОВИЯ ЭКСПЛУАТАЦИИ ОГРАЖДАЮЩИХ КОНСТРУКЦИЙ

Влажностный режим помещений (см. табл. 1.5)	Условия эксплуатации А и Б в зонах влажности		
	ε . сужоф	и ₁ . норм-маль-	влажной
Сухой	А	А	Б
Нормальный	А	Б	Б
Влажный или мокрый	Б	Б	Б

Слои конструкции, расположенные между воздушной прослойкой, вентилируемой наружным воздухом, и наружной поверхностью ограждающей конструкции, при расчете теплопередачи не учитываются.

Термическое сопротивление R_k ограждающей конструкции определяется по формулам в зависимости от типа конструкции.

Термическое сопротивление ограждения с однородными слоями различных материалов, последовательно расположенными по направлению движения теплового потока, равно сумме термических сопротивлений отдельных слоев R_i

$$R_{k\parallel} = \sum R_i. \quad (2.2)$$

Если ограждение неоднородно по поверхности, перпендикулярной направлению теплового потока, то

$$R_{k\perp} = \sum F_i / \sum (F_i / R_i), \quad (2.3)$$

где F_i – отдельные площади ограждения, м², в пределах которых конструкция однородна в направлении, перпендикулярном направлению теплового потока.

Если ограждение неоднородно как в параллельном, так и в перпендикулярном направлении по отношению к направлению теплового потока, то

$$R_k \approx 0,33(R_{k\parallel} + 2R_{k\perp}). \quad (2.4)$$

Приведенное сопротивление теплопередаче $R_0^{\text{пр}}$ наружных ограждений неоднородной конструкции

$$R_0^{\text{пр}} = R_0 r, \quad (2.5)$$

где R_0 – сопротивление теплопередаче характерного участка ограждающей конструкции, имеющей равномерную температуру внутренней поверхности t_n ; r – коэффициент теплотехнической однородности конструкции, учитывающий влияние стыков, обрамляющих ребер и других теплопроводных включений (см. п.2.3.).

Температура внутренней поверхности ограждающей конструкции (без теплового включения) равна

$$t_n = t_w - (t_n - t_w) R_n / R_0. \quad (2.6)$$

В произвольном сечении ограждения

$$t_x = t_b - (t_b - t_n) R_{b-x}/R_0, \quad (27)$$

где R_{b-x} — сопротивление теплопередаче от помещения до сечения x , Вт/(м² °С)

Температуру внутренней поверхности ограждающей конструкции в местах теплопроводных включений определяют как указано в п 23

Теплообмен на внутренней поверхности наружного ограждения. Коэффициент теплообмена α_n при $t_n \approx t_n \approx t_R$ можно принимать равным сумме коэффициентов конвективного и лучистого теплообмена $\alpha_n = \alpha_k + \alpha_l$

Коэффициент конвективного теплообмена между воздухом и внутренней поверхностью наружного ограждения равен

$$\alpha_k \approx \beta \sqrt[3]{t_n - t_b}, \quad (28)$$

где β — коэффициент, учитывающий положение поверхности и направление теплового потока и принимаемый равным

при вертикальной поверхности	1,66
при горизонтальной поверхности, обращенной вверх	
нагретой	2,26
охлажденной	1,16
при горизонтальной поверхности, обращенной вниз	
нагретой	1,16
охлажденной	2,26

Коэффициент лучистого теплообмена на поверхности помещения равен

$$\alpha_l = C_{np} b, \quad (29)$$

$$C_{np} = \frac{1}{1/C_{\tau_b} + (1/C_{i_R} - 1/C_0) F_{\tau_b}/F_{i_R}},$$

$$b = 0,81 + 0,005(\tau_b + t_R),$$

C_{np} — приведенный коэффициент излучения внутренних поверхностей F_{τ_b} и F_{i_R} , имеющих температуру τ_b и t_R , b — температурный коэффициент, C_{τ} , C_{i_R} , C_0 — коэффициенты излучения теплообменивающихся поверхностей и абсолютно черного тела [$C_0 = 5,77$ Вт/(м² К⁴) или 4,96 ккал/(ч м² К⁴)]

Коэффициент излучения поверхности C , Вт/(м² К⁴) [ккал/(ч м² К⁴)], в зависимости от материала принимается равным

Алюминий	0,31 (0,27)
Бетон (гладкая поверхность)	3,7 (3,18)
Дерево неокрашенное и окрашенное масляными красками	4,6 (3,96)
Кирпич обыкновенный красный, мрамор, стекло оконное, штукатурка	5,3 (4,56)

В помещениях с поверхностями из бетона, кирпича или покрытыми краской, оклеенными бумагой $C_{np} \approx 4,9$ Вт/(м² К⁴) [4,2 ккал/(ч м² К⁴)]

При теплотехническом расчете внутренних ограждающих конструкций можно принимать следующие значения коэффициента теплообмена α_n Вт/(м² °С) [ккал/(ч м² °С)], согласно СНиП II-3-79**

Стены, полы, гладкие потолки с выступающими ребрами при отношении высоты h ребер к расстоянию a между гранями соседних ребер $h/a \leq 0,3$	8,7 (7,5)
Потолки с ребрами при отношении $h/a > 0,3$	7,6 (6,5)
Стены помещений, где заполнение животными составляет более 80 кг живой массы на 1 м ² пола	12,0 (10)
Зенитные фонари	9,9 (8,5)

В случае конденсации водяных паров на внутренней поверхности или испарения с нее влаги при определении общего теплообмена на поверхности следует учитывать теплоту фазового превращения воды q_{ϕ} . При этом дополнительный тепловой поток q (при тепловыделениях со знаком плюс, при теплоотдаче — минус) учитывается с помощью условной температуры помещения $t_{n\text{ усл}}$

$$q = \alpha(t_{n\text{ усл}} - \tau), \quad (210)$$

$$t_{n\text{ усл}} = t_n \pm q_{\phi}/\alpha_n,$$

$$q_{\phi} = r 10^{-3}/3,6,$$

$$i = \beta_1(e_n - E_{\tau}),$$

$$r = 2500 + 1,8t_b,$$

$$\beta_1 = 0,023(t_n - \tau)^{1/3}(e_n - E_{\tau})^{2/5},$$

где i — интенсивность конденсации испарения влаги, г/(м² ч), r — скрытая теплота фазового превращения воды, кДж/кг, β_1 — коэффициент массообмена на поверхности в помещении, г/(м³ ч Па), e_n — упругость водяных паров в воздухе помещения, Па, E_{τ} — упругость водяного пара, Па, полностью насыщающего воздух при температуре поверхности τ

Теплообмен на наружной поверхности ограждения. Значения коэффициента теплообмена на наружной поверхности ограждающей конструкции α_n , Вт/(м² °С) [ккал/(ч м² °С)], согласно СНиП II-3-79**, для зимних условий следует принимать равными

Наружные стены, покрытия, перекрытия над проездами и над холодными (без ограждающих стенок) подпольями в Северной строительноклиматической зоне	23 (20)
---	---------

Перекрытия над холодными подвалами, сообщаемыми с наружным воздухом, перекрытия над холодными (с ограждающими стенками) подпольями и холодными этажами в Северной

17 (15)

строительно-климатической зоне
Перекрытия чердачные и над неотапливаемыми подвалами со светопроемами в стенах, а также

12 (10)

наружные стены с воздушной прослойкой, вентилируемой наружным воздухом
Перекрытия над неотапливаемыми подвалами без светопроемов в стенах, расположенные выше

6 (5)

поверхности земли, и над неотапливаемыми техническими подпольями, расположенными

ниже поверхности земли

6 (5)

2.2. Нестационарная теплопередача

Как известно, температура наружного воздуха, скорость и направление ветра, интенсивность солнечной радиации, а также температура воздуха и теплопоступления в помещении изменяются, поэтому в наружных ограждениях происходит процесс нестационарной теплопередачи. Это вызывает необходимость выявления способности или свойства наружных ограждений сохранять относительное постоянство температуры на их поверхностях при изменяющихся тепловых воздействиях (см. гл. 5).

Процессы нестационарной теплопередачи применительно к задаче теплового режима помещения можно разделить на две основные группы: 1) переходные, когда изменяется распределение температуры от одного начального стационарного состояния к другому; 2) периодически изменяющиеся (без начальных условий)

Переходные тепловые процессы. При изменении подачи теплоты в помещение, вызывающем процесс одностороннего нагрева или охлаждения, необходимо определить допустимое изменение во времени температуры поверхности (во избежание перегрева, образования конденсата и т. д.) в любом сечении x .

Температурное поле (изменение во времени z относительной избыточной температуры в любом сечении ограждения) можно определить, пользуясь рис. 2.1:

$$\theta = \frac{t_x^{\text{тек}} - t_x^{\text{нач}}}{t_x^{\text{кон}} - t_x^{\text{нач}}} = \frac{t_x^{\text{тек}} - t_x^{\text{нач}}}{qR_0} = f(\text{Fo}, x/\delta_{\text{экв}}), \quad (2.11)$$

где $q = \alpha_n(t_n^{\text{нач}} - t_n^{\text{кон}})$; $\text{Fo} = z/CR_0$;

$$C = \rho\delta,$$

где $t_x^{\text{тек}}$, $t_x^{\text{нач}}$, $t_x^{\text{кон}}$ — температура в сечении x ограждения в текущий момент времени z , при $z = 0$ и $z = \infty$, q — измененный тепловой поток, Вт/м², на поверхности, под влиянием которого возник переходный тепловой процесс, Fo — критерий Фурье, $\delta_{\text{экв}}$ — толщина ограждения, м, с учетом толщины эквивалентного сопротивления теплообмену на поверхностях слоев, $t_n^{\text{нач}}$, $t_n^{\text{кон}}$ — начальное и конечное значения температуры внутренней поверхности ограждения, z — время отключения, включения или начала работы системы в другом режиме, x — толщина слоя ограждения до рассматриваемого сечения от внутренней поверхности, м, C — теплоемкость ограждения толщиной δ (без эквивалентных слоев), кДж/(м²·°C), ρ — объемная теплоемкость материала ограждения, кДж/(м³·°C).

На рис. 2.1 приведено обобщенное температурное поле в ограждении для случая одностороннего нагрева, когда тепловой поток на поверхности ограждения мгновенно изменился от нуля до q . Этот график и формулу (2.11) можно применить и для случая охлаждения или произвольного изменения теплового потока на поверхности от одного значения к другому. В последнем случае Δq соответствует измененному значению теплового потока, а θ определяет относительную избыточную (к начальному стационарному состоянию) температуру.

Периодические тепловые процессы. При периодически изменяющихся внешних и внутренних тепловых воздействиях в ограждениях помещения происходят тепловые процессы, определяемые их теплоустойчивостью. Теплоустойчивость выражает свойство ограждения сохранять относительное постоянство температуры при колебаниях теплового потока. Теплоустойчивость ограждения проявляется относительно колебаний внутренних тепловых воздействий и изменений наружной температуры.

Теплоустойчивость ограждения относительно колебаний внутренних тепловых воздействий характеризуется коэффициентом теплоусвоения его внутренней поверхности Y_0 , Вт/(м²·°C)

$$Y_0 = A_q/A_\tau, \quad (2.12)$$

где A_q — амплитуда колебания теплового потока, проходящего через поверхность ограждения, Вт/м², A_τ — амплитуда колебаний температуры поверхности, °C

Величину Y_0 практически определяют теплотехнические свойства материалов ограждения только «слоя резких колебаний δ », для

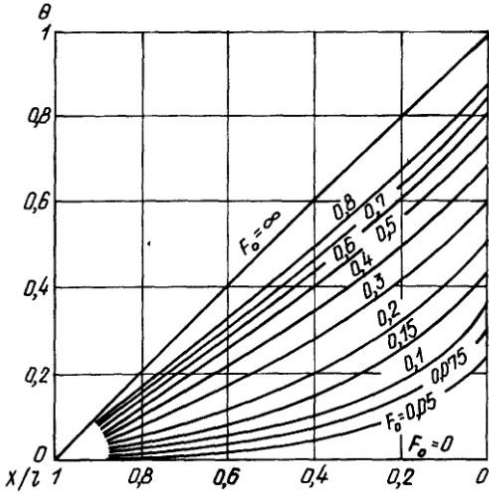


Рис. 2.1. Температурное поле в ограждении для случая одностороннего нагрева (охлаждения)

которого показатель тепловой инерции $D = 1$ [см. формулу (2.25)]. Для однородной конструкции

$$D = 1 = RS \text{ и } \delta = \lambda/S, \quad (2.13)$$

где R — сопротивление теплопроводности слоя резких колебаний, $\text{м}^2 \cdot \text{°C}/\text{Вт}$; $R = \delta/\lambda$.

Коэффициент теплоусвоения материала слоя S , $\text{Вт}/(\text{м}^3 \cdot \text{°C})$

$$S = \sqrt{2\pi\lambda c\rho/T}. \quad (2.14)$$

При периоде колебаний $T = 24 \text{ ч}$

$$S = 0,51\sqrt{c\rho\lambda}. \quad (2.15)$$

При расчете Υ_0 возможны следующие характерные случаи.

1. Если первый материальный слой ограждений имеет $D_1 \geq 1$, то Υ_0 можно принимать равным коэффициенту теплоусвоения материала этого слоя (см. прил. 3 СНиП П-3-79**).

$$\Upsilon_0 = S_1. \quad (2.16)$$

2. Если $D_1 < 1$, то Υ_0 следует определять с учетом теплоусвоения поверхности второго слоя ограждения

$$\Upsilon_2 = \frac{R_1 S_1^2 + \Upsilon_1}{1 + R_1 \Upsilon_2}, \quad (2.17)$$

где Υ_2 — коэффициент теплоусвоения поверхности второго слоя в ограждении, определяемый по формуле (2.16) или (2.17) с заменой первого слоя на второй.

Подобным образом при необходимости учитывают третий, четвертый и т. д. слои.

3. Если все ограждение имеет $D < 1$, то расчет Υ_0 ведется, как указано в п. 2, с той лишь разницей, что коэффициент теплоусвоения на наружной поверхности ограждения принимается равным α_n .

4. Для внутренних ограждений, разделяющих помещения, при определении Υ_0 учитывается только часть конструкции до тепловой оси симметрии ограждения. Если для этой части $D > 1$, то $\Upsilon_0 = S_1$, если $D < 1$, то Υ_0 определяют по формуле (2.17), принимая на тепловой оси $\Upsilon_2 = 0$. Для однородной конструкции при $D < 1$

$$\Upsilon_0 = 0,5R_0 S^2. \quad (2.18)$$

5. Если в ограждении имеется безынерционный слой (воздушная прослойка), то для него $S = 0$.

Так для окна (с учетом п. 3)

$$\Upsilon_{\text{ок}} = \alpha_n / (1 + R_1 \alpha_n), \quad (2.19)$$

$$\text{где } R_1 = R_{\text{ок}} - (R_b + R_n). \quad (2.20)$$

Связь между изменениями A_q на поверхности ограждения и температуры воздуха помещения A_{t_n} устанавливает коэффициент теплопоглощения поверхности ограждения B , $\text{Вт}/(\text{м}^2 \cdot \text{°C})$

$$B = A_q / A_{t_n} = \frac{1}{1/\Upsilon + 1/\alpha_n}. \quad (2.21)$$

При однородном ограждении и $D > 1$ гармонические колебания теплового потока q опережают изменения температуры поверхности τ на величину $\varepsilon_y = T/8$ и температуры воздуха помещения t_n на величину ε_n

$$\varepsilon_n = \frac{T}{8} - B \left(\frac{\alpha_n}{\Upsilon} \right) T. \quad (2.22)$$

Значения $B(\alpha_n/\Upsilon)$, принимаются равными:

α_n/Υ	0	0,5	1	2	4	8
$B(\alpha_n/\Upsilon) 10^2$	12,5	8,4	6,25	4,1	2,4	1,4

Теплоустойчивость ограждения относительно изменений наружной температуры характеризуется двумя показателями:

а) показателем затухания температурных колебаний при сквозном проникании через ограждение

$$v = A_{r_n} / A_{\tau_b}, \quad (2.23)$$

где A_{r_n} – максимальная суточная амплитуда температуры t_n , принимаемая по прил. 2 СНиП 2.01.01–82; A_{τ_b} – амплитуда колебания температуры τ_n ;

б) показателем запаздывания температурных колебаний ϵ , равным отставанию во времени колебаний температуры τ_n от колебаний температуры t_n при проникании через ограждение температурной волны.

Величину v следует определять по п. 3.4 СНиП II–3–79**. Если в ограждении можно четко выделить два определяющих в тепло-техническом отношении слоя – конструктивный и теплоизоляционный, то v допускается определять по приближенным формулам:

а) для ограждений с $D > 1,5$

$$v = 2^D(0,83 + 3,49R_r/D)\beta_{cl}\beta_{в.п.}, \quad (2.24)$$

$$\text{где } D = \Sigma R_i S_i; \quad (2.25)$$

$$\beta_{cl} = (S_1 + S_2) \left(\frac{23}{S_1} + 1 \right) \left(\frac{8,7}{S_2} + 1 \right) / (3,49R_r/D + 55);$$

$$\beta_{в.п.} = 1 + 0,5R_{в.п.}D/R_r;$$

β_{cl} – коэффициент, учитывающий расположение двух основных слоев ограждения (конструктивного и теплоизоляционного) по ходу тепловой волны; для однослойной конструкции $\beta_{cl} = 1$; $\beta_{в.п.}$ – коэффициент, учитывающий влияние воздушной прослойки; при отсутствии прослойки $\beta_{в.п.} = 1$; S_1, S_2 – коэффициент теплоусвоения материалов двух слоев в порядке их расположения по ходу тепловой волны (от наружной к внутренней поверхности);

б) для ограждений с $D \leq 1,5$

$$v = R_0 \alpha_b. \quad (2.26)$$

Величина ϵ, χ , будет равна

$$\epsilon \approx 2,7D - 0,4. \quad (2.27)$$

Теплоустойчивость пола при контактном теплообмене можно характеризовать показателем теплоусвоения поверхности пола Υ_n , Вт/(м²·°C), который должен быть не более нормативной величины (см. п. 5.6)

При определении Υ_n необходимо учитывать следующие характерные случаи:

1) если первый материальный слой конструкции пола имеет $D_1 \geq 0,5$

$$\Upsilon_n = 2S_1; \quad (2.28)$$

2) если $D_1 < 0,5$, а $D_{1,2} + D_{2,3} \geq 0,5$

$$\Upsilon_n = \frac{2R_1 S_1^2 + S_2^2}{0,5 + R_1 S_2}. \quad (2.29)$$

3) если $D_1 + D_2 < 0,5$, а $D_1 + D_2 + D_3 \geq 0,5$

$$\Upsilon_n = \frac{4R_1 S_1^2 (0,5 + R_2 S_3) + 2R_1 S_2^2 + S_3}{0,5 + R_2 S_3 + R_1 (2R_2 S_2^2 + S_3)}, \quad (2.30)$$

где R_1, R_2, R_3 – термические сопротивления соответствующих слоев конструкции; S_1, S_2, S_3 – коэффициенты теплоусвоения соответствующих слоев конструкции пола.

Теплоустойчивость помещения – это его свойство поддерживать относительное постоянство температуры при периодически изменяющемся теплопоступлении. Оно зависит от свойств и площади поверхностей, обращенных в помещение ограждений, а также установленного оборудования или мебели. Теплоустойчивость помещения характеризуется:

а) показателем теплоусвоения помещения

$$\Upsilon_{пом} = \Upsilon_{огр} + \Upsilon_{об}; \quad (2.31)$$

$$\text{где } \Upsilon_{огр} = \Sigma \Upsilon_i F_i;$$

$$\Upsilon_{об} = \pi c_{об} G_{об} / T;$$

$\Upsilon_{огр}, \Upsilon_{об}$ – показатели теплоусвоения поверхностей ограждений и оборудования, Вт/°C; Υ_i – коэффициенты теплоусвоения отдельных поверхностей ограждений, обращенных в помещение, Вт/(м²·°C); $G_{об}$ – масса оборудования, кг; $c_{об}$ – массовая теплоемкость оборудования, кДж/(кг·°C);

б) показателем теплопоглощения помещения, Вт/°C

$$P_{пом} = P_{огр} + P_{об} + P_{вент}, \quad (2.32)$$

где $P_{огр}, P_{об}, P_{вент}$ – показатели теплопоглощения поверхностей ограждений, оборудования, мебели и воздухообмена:

$$P_{огр} = \Sigma B_i F_i;$$

$$P_{об} = G_{об} C_{об} 4,4 / T;$$

$$P_{вент} = L c p;$$

L – воздухообмен в помещении, м³/ч; $c p$ – объемная теплоемкость воздуха, равная 1,25 кДж/(м³·°C).

Коэффициент теплопоглощения поверхности ограждения B_i определяется по формуле (2.21), с заменой коэффициента α_b на коэффициент конвективного теплообмена на поверхности α_{ki} .

Максимальное отклонение температуры воздуха в помещении A_{r_n} от среднего значения t_n можно определить:

а) при гармонических колебаниях теплопоступлений от максимальных $Q_{макс}$ до

минимальных $Q_{\text{мин}}$

$$A_{t_b} \approx 0,9 A_Q \left(\frac{1}{1/\gamma_{\text{пом}} + 1/\Lambda} + Lc\rho + G_{\text{об}} c_{\text{об}} 4,4/T \right); \quad (2.33)$$

б) при прерывистых теплопоступлениях, когда в течение m часов в помещение поступает постоянное (максимальное) количество тепла $Q_{\text{макс}}$, а в течение n часов подачи теплоты нет и $Q_{\text{мин}} = 0$.

$$A_{t_b} = 0,9 A_Q \left(\frac{1}{\Omega/\gamma_{\text{пом}} + 1/\Lambda} + Lc\rho + G_{\text{об}} c_{\text{об}} 4,4/T \right), \quad (2.34)$$

где A_Q — амплитуда изменения теплопоступлений, равная полуразности максимального $Q_{\text{макс}}$ и минимального $Q_{\text{мин}}$ теплопоступлений в помещении; Ω — коэффициент прерывистости, принимаемый равным:

m/T	0	0,125	0,25	0,375	0,5	0,675	0,75	0,875	1
Ω	0	0,73	0,84	0,84	0,76	0,63	0,45	0,24	0

Λ — показатель интенсивности конвективного теплообмена на всей площади поверхности ограждений, обращенных в помещение,

$$\Lambda = \sum \alpha_{\text{к}i} F_i = \alpha_{\text{ср}} \Sigma F_i; \quad (2.35)$$

$\alpha_{\text{ср}}$ — осредненный по всем поверхностям коэффициент конвективного теплообмена, Вт/(м² · °С).

При прерывистой подаче теплоты общее время $T = m + n$.

2.3. Теплопередача через сложное ограждение с двухмерными элементами

В ограждающих конструкциях зданий площадь, в пределах которой обеспечивается одномерность температурного поля, обычно незначительна. Большую часть таких ограждений занимают участки, примыкающие к наружным и внутренним углам, откосы оконных проемов, стыки внутренних и наружных ограждений, теплопроводные включения (рис. 2.2, 2.3). На этих участках формируются двухмерные температурные поля, часто приводящие к увеличению теплопотерь и понижению температуры t_b .

Дополнительные потери теплоты через двухмерные элементы удобно определять с помощью фактора формы f_i элемента ограждения (табл. 2.2).

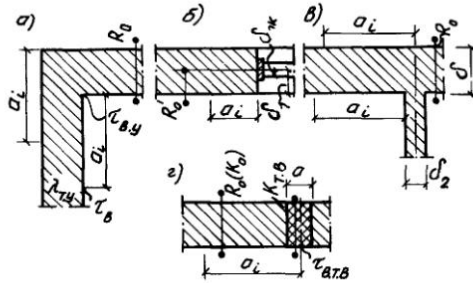


Рис. 2.2. Характерные элементы наружного ограждения

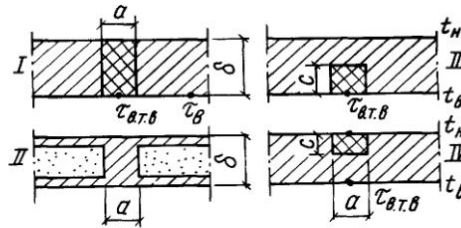


Рис. 2.3. Теплопроводные включения в ограждающих конструкциях

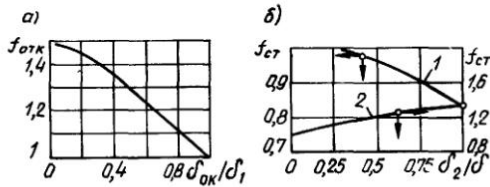


Рис. 2.4. Значение фактора формы откоса проема (а) и стыка наружной стены и внутренней перегородки (б) по наружному обмеру (1) и по внутреннему (2)

ТАБЛИЦА 2.2
ЗНАЧЕНИЯ ФАКТОРА ФОРМЫ f_i

Характерный двухмерный элемент ограждения	Фактор формы f_i характерного элемента для ширины в два калибра по обмеру	
	наружному	внутреннему

Наружный угол	0,63	1,18
Внутренний »	1,18	0,68
Откос проема в ограждении	$f_{\text{отк}}$ (см. рис. 2.4, а)	

Стык наружного и внутреннего ограждений (в одну сторону от оси стыка) $f_{\text{ст}}$ (см. рис. 2.4, б)

Фактор формы показывает, во сколько раз количество теплоты, проходящей через внутреннюю поверхность ограждения шириной в два калибра a_i (один калибр равен экви-

валентной толщине ограждения λR_0) элемента с двумерным температурным полем, больше теплотерьер через поверхность ограждения с одномерным полем в пределах тех же двух калибров [2, 3].

Фактор формы теплопроводного включения (см. рис. 2.2, з) приближенно можно определить по формуле

$$f_{т.в.} \approx 1 + \frac{a}{4\lambda_{т.}}(k_{т.в.} - k_0), \quad (2.36)$$

где a — ширина включения, м; $\lambda_{т.}$ — коэффициент теплопроводности теплоизоляционного материала основной конструкции, Вт/(м²·°С); $K_{т.в.}$ и k_0 — коэффициенты теплопередачи по сечению теплопроводного включения и основной конструкции, Вт/(м²·°С).

При расчете теплотерьер через сложные ограждения следует пользоваться приведенным сопротивлением теплопередаче R_0^{np}

$$R_0^{np} = R_0 r = R_0 \frac{1}{1 + \sum a_i (f_i - 1) l_i / F}, \quad (2.37)$$

где l_i — протяженность характерного элемента конструкции с двумерным температурным полем, м; F — площадь поверхности ограждения по наружному обмеру (без учета площади окон), м².

Коэффициент теплотехнической однородности различных ограждающих конструкций определяют по п. 2.9 СНиП II-3-79** для проектируемых зданий и по ГОСТ 26254-84 для эксплуатируемых зданий. Минимальные значения коэффициента r для некоторых ограждающих конструкций приведены в табл. 2.3.

ГЛАВА 3. ВОЗДУХОПРОНИЦАЕМОСТЬ СТРОИТЕЛЬНЫХ МАТЕРИАЛОВ И КОНСТРУКЦИЙ

Количество воздуха G_n , кг/(м²·ч), поступающего в помещение здания через наружную ограждающую конструкцию, зависит от свойства материалов конструкций пропускать воздух и разности давления Δp , Па, на наружной p_n и внутренней p_v поверхностях ограждающей конструкции.

Для наружных стен, покрытий, ворот, дверей и открытых проемов

$$G_n = \Delta p^k / R_n, \quad (3.1)$$

Для окон, балконных дверей и фонарей

$$G_n = (\Delta p / \Delta p_0)^{2/3} / R_n, \quad (3.2)$$

ТАБЛИЦА 2.3
МИНИМАЛЬНЫЕ ЗНАЧЕНИЯ КОЭФФИЦИЕНТА
(ГОСТ 26254-84)

Характеристика стен	r
Из однослойных легковесных панелей	0,85–0,90
Из трехслойных железобетонных панелей с эффективным утеплителем:	
с гибкими связями	0,75–0,85
с железобетонными шпонками или ребрами из керамзитобетона	0,70–0,80
с железобетонными ребрами	0,50–0,65
Из трехслойных панелей на основе древесины, асбестоцемента и других листовых материалов с эффективным утеплителем при подставной сборке при ширине панелей 6 и 12 м без каркаса	0,90–0,95
Из трехслойных металлических панелей с утеплителем из пенопласта:	
без обрамлений в зоне стыка	0,85–0,95
с обрамлением в зоне стыка	0,65–0,80
Из трехслойных металлических панелей с утеплителем из минеральной ваты с различным каркасом	0,55–0,85
Из трехслойных асбестоцементных панелей и минераловатным утеплителем с различным каркасом	0,50–0,85

Температура внутренней поверхности ограждения в наружном углу $\tau_{в.у}$ приближенно равна [3]

$$\tau_{в.у} = \tau_n - 0,18(1 - 0,23R_0)(t_n - t_{н5}).$$

Температуру внутренней поверхности $\tau'_в$ ограждения по теплопроводному включению следует определять по СНиП II-3-79**, а также по [3,5]. Эта температура должна быть не ниже температуры точки росы внутреннего воздуха при t_n согласно табл. 1.7. Если допускается кратковременное (не более 5 сут) образование конденсата по включению, то t_n принимается равным $t_{н5}$.

где k — показатель степени; для наружных стен покрытий $k = 1$; для ворот, дверей и открытых проемов $k = 1/2$; R_n — сопротивление воздухопроницанию ограждений, м²·ч·Па²/кг (для стыков — м²·ч·Па²/кг; для окон, балконных дверей и фонарей — м²·ч·10 Па/кг); Δp_0 — разность давления воздуха, при которой определено сопротивление воздухопроницанию R_n окон, балконных дверей и фонарей, $\Delta p_0 = 10$ Па.

Расчетное сопротивление воздухопроницанию ограждающих конструкций R_n должно быть не менее требуемого сопротивления воздухопроницанию R_n^{tr} (см. п. 5.7).

Для многослойных ограждений R_n равно

сумме сопротивлений воздухопроницанию отдельных слоев $R_{и}$, расположенных последовательно по движению воздуха, принимаемых по прил. 9 СНиП II-3-79**

$$R_{и} = \sum R_{и,i} \quad (3.3)$$

При определении $R_{и}$ не учитывается воздухопроницаемость слоев ограждений (стен, покрытий), расположенных между воздушной прослойкой, вентилируемой наружным воздухом, и наружной поверхностью ограждающей конструкции.

Сопротивление воздухопроницанию окон, балконных дверей и фонарей различного вида принимают по прил. 10 СНиП II-3-79**.

Расчетное сопротивление воздухопроницанию наружных дверей и ворот следует вычислять по формуле (В. П. Титов)

$$R_{и.дв} = 0,196 \cdot 10^{-3} \frac{F_{дв}}{\delta_{ш} l_{ш}} \left(\frac{\sum \zeta}{\rho_{в}} \right)^{1/2}, \quad (3.4)$$

где $F_{дв}$ — площадь заполнения дверного проема или проема ворот, m^2 ; $\delta_{ш}$, $l_{ш}$ — ширина и суммарная длина щели прибора, м; $\sum \zeta$ — сумма коэффициентов местных сопротивлений проходу воздуха через щели притвора: для одинарных дверей и ворот $\sum \zeta = 4$, для двойных дверей $\sum \zeta = 8$; $\rho_{в}$ — плотность наружного воздуха, kg/m^3 .

Сопротивление воздухопроницанию открытых проемов и отверстий определяется по формуле


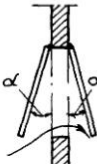
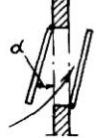
$$R_{и.пр} = 0,196 \cdot 10^{-3} (\zeta_{пр} / \rho_{в})^{1/2}, \quad (3.5)$$

где $\zeta_{пр}$ — коэффициент местного сопротивления проходу воздуха, зависящий от положения и способа крепления створки по отношению к проему или отверстию, а также от отношения высоты b проема к его длине l (табл. 3.1).

ТАБЛИЦА 3.1
ЗНАЧЕНИЯ КОЭФФИЦИЕНТА $\zeta_{пр}$ (ПО ДАННЫМ М. Ф. БРОМЛЕЯ)

Конструкция створки	Угол от-кры-тия	$\zeta_{пр}$ при b/l		
		1:1	1:2	1:00
Одинарная верхнеподвесная	15	16,00	20,60	30,8
	30	5,65	6,90	9,15
	45	3,68	4,0	5,15
	60	3,07	3,18	3,54
	90	2,59	2,59	2,59

Продолжение табл. 3.1

Конструкция створки	Угол от-кры-тия	$\zeta_{пр}$ при b/l		
		1:1	1:2	1:00
	15	11,10	17,30	30,8
	30	4,90	6,90	8,60
	45	3,18	4,00	4,70
	60	2,51	3,07	3,30
	90	2,22	2,51	2,51
Двойная 	15	14,8	30,8	—
	30	4,9	9,75	—
	45	3,83	5,15	—
	60	2,96	3,54	—
	90	2,37	2,37	—
	15	18,8	45,3	59,0
	30	6,25	11,1	17,3
	45	3,83	5,9	8,6
	60	3,07	4,0	5,4
	90	2,37	2,77	2,77

Разность давлений воздуха на наружной и внутренней поверхностях Δp , Па, i -го ограждения равна сумме избыточного гравитационного $p_{г}$ и ветрового $p_{в}$ давлений (с учетом условно-постоянного давления воздуха в помещении $p_{инт}$)

$$\Delta p = p_{г} + p_{в} - p_{инт}, \quad (3.6)$$

где $p_{г} = (H_{зд} - h_i)(\rho_{в} - \rho_{н})g$; (3.7)

$$p_{в} = 0,5 \rho_{в} v_n^2 (C_{e,n} - C_{e,p})k; \quad (3.8)$$

$H_{зд}$ — высота здания от поверхности земли до верха карниза, шахты или центра проема фонаря, м; h_i — высота от поверхности земли до центра рассматриваемого ограждения (окна, двери, проемов, наружных стен), м; $C_{e,n}$, $C_{e,p}$ — аэродинамические коэффициенты для наветренной и подветренной поверхностей, принимаемые по прил. 4 СНиП 2.01.07-85; k — коэффициент, учитывающий изменение ветрового давления по высоте в зависимости от типа местности и высоты и принимаемый по табл. 6 СНиП 2.01.07-85.

Условно-постоянное давление воздуха $p_{инт}$, Па, в помещении определяется в результате решения уравнения воздушного баланса помещения, представляющего сумму расходов воздуха, поступающего в помещение и уходящего

из помещения через ограждающие конструкции и с помощью систем вентиляции [11].

При вычислении Δp для жилых и общественных зданий с естественной вытяжной вентиляцией следует учитывать расчетные потери давления в вентиляционных системах Δp_c (со знаком минус)

$$\Delta p_c = (H_{зд} - h_i)(\rho_{+5} - \rho_n)g, \quad (3.9)$$

где $\rho_{+5} = 1,27 \text{ кг/м}^3$ – плотность наружного воздуха при температуре $+5^\circ\text{C}$.

В этом случае

$$\Delta p = (H_{зд} - h_i)(\rho_n - \rho_{+5})g + p_{v_i}. \quad (3.10)$$

ГЛАВА 4. ВЛАГОПЕРЕДАЧА И ВЛАЖНОСТНЫЙ РЕЖИМ ОГРАЖДЕНИЯ

Перенос влаги в ограждающих конструкциях происходит аналогично теплопередаче. Общим термодинамическим показателем влажностного состояния материала является потенциал влажности, измеряемый градусами влажности ($^\circ\text{В}$) [2, 3]. При гигроскопической влажности материала за потенциал влажности можно принять парциальное давление водяного пара в воздухе, находящемся во влажностном равновесии с материалом. Влажностное состояние материала, внутренней среды помещения и наружного климата оценивается относительным потенциалом влажности φ_θ (при гигроскопической влажности материала соответствует относительной влажности воздуха φ).

Сопrotивление влагодередаче, $\text{м}^2 \cdot \text{ч} \cdot \text{Па/мг}$, многослойного ограждения равно сумме сопротивлений слоев ограждения R_{ni} ,

$$R_n = \sum R_{ni} = \sum \delta_i / \mu_i, \quad (4.1)$$

где μ_i – показатель влагодередачи материала слоя толщиной δ_i (при гигроскопической влажности – коэффициент паропроводимости, $\text{мг}/(\text{м} \cdot \text{ч} \cdot \text{Па})$, принимаемый по прил. 3 СНиП II–3–79**).

Сопrotивлениями влагодередачу на наружной и внутренней поверхностях ограждения можно пренебречь. Расчетные величины некоторых листовых материалов и тонких слоев пароизоляции приведены в прил. 11 СНиП II–3–79**.

Для однослойных ограждений условия эксплуатации ограждающих конструкций в зависимости от влажностного режима помещения и зон влажности следует принимать по п. 2.1.

Для многослойных конструкций, а также для зданий с влажными и мокрыми помещениями в климатических условиях, характеризующихся значительными «косыми» дождями,

интенсивной солнечной радиацией, особо низкими температурами, данных СНиП недостаточно. Ниже приведена методика расчета теплофизических характеристик материала указанных конструкций в зависимости от влажностного состояния на основе потенциала влажности.

Влагодередачу материала определяется потенциалом влажности θ и температурой слоя t_{cl} , при этом одному и тому же влагодередачу соответствует значительное количество сочетаний θ и t_{cl} . Однозначная зависимость имеет место между влагодередачу и относительным потенциалом влажности φ_θ . Она позволяет установить связь между расчетом влажностного состояния материальных слоев в ограждении и выбором теплофизических характеристик строительных материалов.

Последовательность выбора теплофизических характеристик материалов в многослойном ограждении с учетом их эксплуатационной влажности должна быть следующей. В расчет принимается среднегодовой режим влагодередачу ограждения. Определив зону влажности, φ_{θ_n} (табл. 4.1) и среднегодовую температуру $t_n^{cp, год}$ района строительства (по табл. СНиП 2.01–01–82), найдем θ_n , зная шкалу потенциала влажности и относительного потенциала влажности (рис. 4.1). Устанавливаем потенциал влажности внутренней среды θ_n , зная назначение помещения (табл. 4.2). Вычисляем среднегодовое значение температуры t_{cl} и потенциала влажности θ_{cl} материального слоя в многослойной конструкции.

Температура в произвольном слое ограждающей конструкции будет равна

$$t_{i, cl} = t_n - \frac{R_{n-i, cl}}{R_n} (t_n - t_n^{cp, год}), \quad (4.2)$$

где $t_n^{cp, год}$ – среднегодовая температура района строи-

тельства; $R_{n-i,ca}$, R_o – сопротивление теплопередаче ограждения от внутренней среды помещения до середины рассматриваемого слоя и общее сопротивление теплопередаче ограждения, $m^2 \cdot ^\circ C/Вт$.

(рис. 4.2) – относительный потенциал влажности слоя $\varphi_{\theta_{сл}}$. Затем устанавливаем связь между $\varphi_{\theta_{сл}}$ и равновесным влагосодержанием материала по прил. 3 СНиП II-3 79** или графически на примере пенобетона (см. рис. 4.2). По табл. 4.3 определяем графу для выбора теплофизических характеристик материалов в ограждающей конструкции.

Обычно такой расчет необходим только для утепляющего слоя в многослойной конструкции. Теплофизические характеристики наружных конструктивных фактурных слоев можно выбирать по φ_{θ} среды, с которой они соприкасаются.

ТАБЛИЦА 4.1
ЗНАЧЕНИЯ ОТНОСИТЕЛЬНОГО ПОТЕНЦИАЛА ВЛАЖНОСТИ НАРУЖНОГО КЛИМАТА φ_{θ_n} ДЛЯ ЗОН ВЛАЖНОСТИ ТЕРРИТОРИИ СССР

Зона влажности	Среднее значение φ_{θ_n}
Влажная	2,15 и более
Нормальная	2,0
Сухая	1,5 и менее

ЗНАЧЕНИЯ θ_n и φ_{θ_n}

ТАБЛИЦА 4.2

Помещения	Среднегодовые условия в помещении				Предлагаемые градации	
	t_n	φ_n	θ_n	φ_{θ_n}	влажностный режим помещения	φ_{θ_n}
Проектное бюро, чертежный зал, библиотека	19	45	23	0,44	Сухой	$\leq 0,45$
Жилой дом, поликлиника, детский сад, ясли	19	50	24,5	0,51	Нормальный	$\leq 0,53$
Душевые и раздевалки при них	25	59–75	37–61	0,47–0,67	Влажный	$\leq 0,66$
Бани, прачечные	30	75	110	0,66	Мокрый	$> 0,66$

ТАБЛИЦА 4.3
ОПРЕДЕЛЕНИЕ УСЛОВИЙ ЭКСПЛУАТАЦИИ (ГРАФЫ) МАТЕРИАЛОВ ОГРАЖДЕНИЙ

Влажностный режим помещения	Графа и $\varphi_{\theta_{сл}}$, соответствующие зонам влажности	Графы							
		сухая, $\varphi_{\theta_n} \leq 1,5$		нормальная $\varphi_{\theta_n} \approx 2$		влажная $\varphi_{\theta_n} > 2,15$		Диапазоны относительного потенциала влажности	Графы
		графа	$\varphi_{\theta_{сл}}$	графа	$\varphi_{\theta_{сл}}$	графа	$\varphi_{\theta_{сл}}$		
Сухой	0,45	A	0,97	A	1,22	Б	1,3	До 1,1	A
Нормальный	0,53	A	1,01	Б	1,27	Б	1,34	1,1 1,3	Б
Влажный	0,66	Б	1,08	Б	1,33	Б	1,4	1,3	Б*
Мокрый	0,66	Б	1,08	Б	1,33	Б	1,4		

Примечание. К Б* относятся теплофизические характеристики материалов графы Б с повышающим коэффициентом $\sim 1,1$.

Потенциал влажности $\theta_{сл}$ слоя ограждения определяется аналогично

$$\theta_{i,сл} = \theta_n - \frac{R_{n,n-i}}{R_{n,o}}(\theta_n - \theta_n), \quad (4.3)$$

где $R_{n,n-i}$, $R_{n,o}$ – сопротивление влагопередаче от внутренней среды до центра рассматриваемого слоя материала и общее сопротивление влагопередаче ограждения; $R_{n,n-i}$ определяется по формуле 4.1.

Зная $\theta_{сл}$ и $t_{сл}$, по шкале потенциала влажности (см. рис. 4.1) находим $\theta_{t=20}$, а по шкале относительного потенциала влажности

Приведем пример выбора теплофизических характеристик материала теплоизоляционного слоя ограждения с учетом их эксплуатационной влажности.

Пример 4.1. Требуется рассчитать толщину теплоизоляционного слоя ограждения душевой. Конструкция стены со стороны помещения: железобетонный слой $\delta = 40$ мм, гидроизолированный с внутренней поверхности поливинилхлоридным лаком в два слоя; пенобетон $\rho = 1000 \text{ кг/м}^3$. Условия в помещении: $t_n = 25^\circ C$; $\varphi_n = 65\%$; режим влажный; $\varphi_{\theta_n} =$

= 0,58. Район строительства – Липецк, $t_n^{ср.год} = 5,1^{\circ}\text{C}$, влажностная зона – сухая, $\varphi_{\theta_n} = 1,5$. Сопротивление теплопередаче ограждения $R_o^{тп} = 0,92 \text{ м}^2 \cdot \text{C}^{\circ}\text{C}/\text{Вт}$.

Решение. Для душевой в Липецке расчетные условия эксплуатации по табл. 2.1 соответствуют графе Б. Принимаем по графе Б прил. 3 СНиП II-3-79** теплофизические характеристики материалов и определяем толщину материала – пенобетона из условия

$$R_o = R_n + R_t + R_n \geq R_o^{тп};$$

$$R_o = 0,115 + 0,04/2,03 + \delta_{п.б}/0,41 + 0,045 \geq 0,92,$$

откуда $\delta_{п.б} = 0,3 \text{ м}$.

Уточним расчет с учетом фактического влажностного режима материалов по указанной методике. Среднегодовые условия в помещении при $t_n = 25^{\circ}\text{C}$ и $\varphi_{\theta_n} = 0,58$ по шкале потенциала влажности и по шкале относительного потенциала влажности (см. рис. 4.1 и 4.2) соответствуют $\theta_n = 42^{\circ}\text{В}$. При $\varphi_{\theta_n} = 1,5$ в шкале относительного потенциала влажности $\theta_{t=20} = 330^{\circ}\text{В}$. Затем, зная $\theta_{t=20} = 330^{\circ}\text{В}$ и среднегодовую температуру $t_n^{ср.год} = 5,1^{\circ}\text{C}$, в шкале потенциала влажности (см. рис. 4.1) находим значение потенциала влажности наружной среды $\theta_n = 25^{\circ}\text{В}$.

Сопротивления влагопередаче слоев ограждения: железобетона $R_{п.жб} = \delta_{жб}/\mu_{жб} = (0,04/0,3)10^4 = 1330 \text{ м}^2 \cdot \text{ч} \cdot \text{Па}/\text{г}$; пенобетона $R_{п.б} = 0,3/1,13 \cdot 10^4 = 2650 \text{ м}^2 \cdot \text{ч} \cdot \text{Па}/\text{г}$; слоя гидроизоляции $R_{п.ги} = 3850 \text{ м}^2 \cdot \text{ч} \cdot \text{Па}/\text{г}$.

Общее сопротивление влагопередаче

$$R_{п.о} = R_{п.жб} + R_{п.б} + R_{п.ги} = 1330 + 2650 + 3850 = 7830 \text{ м}^2 \cdot \text{ч} \cdot \text{Па}/\text{г}.$$

Вычислим значение потенциала влажности слоев железобетона и пенобетона

$$\begin{aligned} \theta_{жб} &= \theta_n - \frac{R_{п.ги} + R_{п.жб}/2}{R_{п.о}} (\theta_n - \theta_{t=20}) = \\ &= 42 - \frac{4515}{7830} (42 - 25) = 32,2^{\circ}\text{В}; \end{aligned}$$

$$\theta_{п.б} = \theta_n - \frac{R_{п.ги} + R_{п.жб} + R_{п.б}/2}{R_{п.о}} (\theta_n - \theta_{t=20}) = 27^{\circ}\text{В}.$$

Среднегодовые значения температуры отдельных слоев ограждения

$$t_{жб} = t_n - \frac{(R_n + R_{жб}/2)}{R_o} (t_n - t_n) =$$

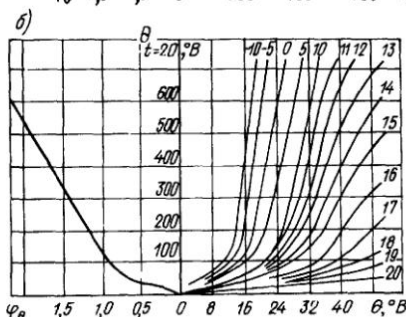
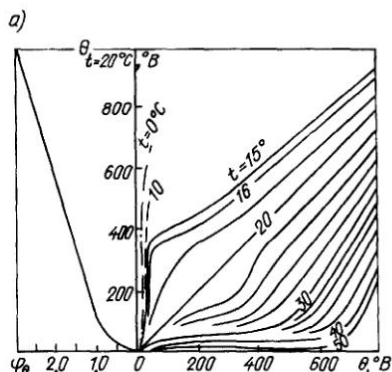


Рис. 4.1. Шкала потенциала (а) и относительного потенциала влажности (б)

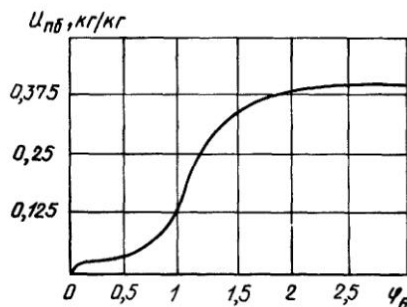


Рис. 4.2. Зависимость равновесного влагосодержания пенобетона $U_{пб}$ от относительного потенциала влажности φ_{θ}

$$\begin{aligned} &= 25 - \frac{(0,115 + 0,0197/2)}{0,92} (25 - 5,1) = 21,9; \\ t_{пб} &= 13,8^{\circ}\text{C}. \end{aligned}$$

Пользуясь шкалой потенциала влажности и зная $\theta_{сл}$ и $t_{сл}$, найдем $\varphi_{\theta_{сл}}$:

для железобетона при $\theta_{жб} = 32,2^{\circ}\text{В}$ и $t_{жб} = 21,9^{\circ}\text{C}$

$$\varphi_{\theta} = 0,6;$$

для пенобетона при $\theta_{пб} = 27^{\circ}\text{В}$ и $t_{пб} = 13,8^{\circ}\text{C}$

$$\varphi_{\theta} = 0,95.$$

По табл. 4.3 при $\varphi_0 < 1,1$ условия эксплуатации соответствуют графе А для пенобетона и железобетона. Делаем пересчет. Находим теплофизические характеристики по графе А и определяем толщину пенобетона и расчетное сопротивление теплопередаче

$$\lambda_{жб} = 1,91 \text{ Вт}/(\text{м} \cdot ^\circ\text{C}); \quad \lambda_{пб} = 0,35 \text{ Вт}/(\text{м} \cdot ^\circ\text{C});$$

$$R_0 = 0,115 + \frac{0,004}{1,91} + \frac{\delta_{пб}}{0,35} + 0,045 \geq 0,92;$$

$$\delta_{пб} \approx 0,25 \text{ м.}$$

Толщина теплоизоляционного слоя $\delta_{пб}$ получилась меньше 0,3 м, определенной по СНиП.

Для уточнения можно было бы повторить расчет, задав предварительно $\delta_{пб} \approx 0,25$ вместо принятого 0,3, но это уточнение в данном случае не изменит полученного результата.

ГЛАВА 5. ЗАЩИТНЫЕ СВОЙСТВА НАРУЖНЫХ ОГРАЖДЕНИЙ

5.1. Общая последовательность расчета

Ограждения здания должны обладать требуемыми теплозащитными свойствами и быть в допустимой степени воздухо- и влагопроницаемыми. Теплозащитные свойства наружных ограждений определяют двумя показателями: сопротивлением теплопередаче R_0 и теплоустойчивостью, которую оценивают по показателю инерции ограждения D . Величина R_0 определяет сопротивление ограждения передаче теплоты в стационарных условиях, а теплоустойчивость характеризует сопротивляемость ограждения передаче изменяющихся во времени периодических тепловых воздействий.

Наиболее важным является определение расчетного сопротивления теплопередаче R_0^p основной части (глади) конструкции ограждения; с этого и начинают теплотехнический расчет ограждения.

Расчетное сопротивление теплопередаче R_0^p следует принимать близким к экономически целесообразному значению $R_0^{эк}$, определяемому исходя из условия обеспечения наименьших приведенных затрат в соответствии с п. 5.3, но во всех случаях не менее требуемого сопротивления теплопередаче $R_0^{тp}$ по санитарно-гигиеническим условиям, определяемого по формуле (5.3):

$$R_0^p \geq R_0^{тp}, \text{ если } R_0^{тp} > R_0^{эк}; \quad (5.1)$$

$$R_0^p \approx R_0^{эк}, \text{ если } R_0^{тp} < R_0^{эк}. \quad (5.2)$$

После определения R_0^p глади ограждения следует проверить теплозащитные свойства сложных элементов конструкции (стыков,

углов, включений). Необходимым и достаточным условием этого расчета является отсутствие выпадения конденсата на поверхности конструкций ($\tau_v > t_p$).

Для расчета теплопотерь и тепловых условий в помещении часто требуется кроме R_0^p рассчитывать приведенное сопротивление R_0^{pp} теплопередаче ограждения.

Для зданий, расположенных в южных районах, дополнительно проверяют теплоустойчивость ограждений в расчетных летних условиях (см. п. 5.5). Недостаточную теплоустойчивость ограждения для зимнего периода года учитывают увеличением сопротивления ограждения теплопередаче при расчете R_0^p .

Проверяют теплоустойчивость конструкции полов (см. п. 5.6).

Для заполнений оконных и дверных проемов теплозащитные свойства регламентируются только сопротивлением теплопередаче конструкции, которое должно быть не ниже требуемого. Допустимая воздухопроницаемость окон, дверей, стыков конструкций, стен и перекрытий здания определяется нормируемыми сопротивлением воздухопроницанию, расходом воздуха, дополнительными затратами теплоты или понижением температуры внутренней поверхности конструкции при инфильтрации.

Влагозащитные свойства ограждения должны исключать переувлажнение материалов за счет атмосферной влаги и диффузии водяных паров из помещения.

Процессы передачи теплоты, фильтрации воздуха и переноса влаги взаимосвязаны, и одно явление оказывает влияние на другое,

поэтому определение тепло-, воздухо- и влагозащитных свойств должно проводиться как общий расчет требуемых защитных свойств наружных ограждений здания [1].

5.2. Требуемое (минимально допустимое) сопротивление теплопередаче

Требуемое сопротивление теплопередаче наружного ограждения R_0^{TP} , $m^2 \cdot ^\circ C / Вт$, определяется по формуле

$$R_0^{TP} = \frac{(t_n - t_n) n}{\alpha_n \Delta t_n} \tag{5.3}$$

где t_n – расчетная зимняя температура наружного воздуха, $^\circ C$ (см. табл. 1.6); Δt_n – нормативный температурный перепад между температурой внутреннего воздуха и температурой внутренней поверхности ограждающей конструкции (табл. 5.1); n – коэффициент, учитывающий положение наружной поверхности ограждающих конструкций по отношению к наружному воздуху (табл. 5.2).

ТАБЛИЦА 5.1
ЗНАЧЕНИЯ Δt_n

Здания и помещения	Δt_n , $^\circ C$		
	наружных стен	покрытий и чердачных перекрытий	перекрытий над проездами, подвалами и подпольями
1. Здания жилые, больницы, клиник, стационаров и госпиталей, родильных домов, домов ребенка, домов-интернатов для престарелых и инвалидов; спальные корпуса общеобразовательных детских школ; здания детских садов, яслей, комбинатов, детских домов и детских приемников-распределителей	6	4	2
2. Здания диспансеров и амбулаторно-поликлинических учреждений, учебные здания общеобразовательных детских школ	6	4,5	2,5
3. Общественные здания, кроме указанных в пп. 1 и 2, и вспомогательные здания и помещения промышленных предприятий, за исключением помещений с влажным или мокрым режимом	7	5,5	2,5
4. Производственные здания с сухим режимом	$(t_n - t_p)$, но не более 10	$0,8 (t_n - t_p)$, но не более 8	2,5*
5. Производственные здания	$(t_n - t_p)$	$0,8 (t_n - t_p)$	2,5*

Продолжение табл. 5.1

Здания и помещения	Δt_n , $^\circ C$		
	наружных стен	покрытий и чердачных перекрытий	перекрытий над проездами, подвалами и подпольями
с нормальным режимом	но не более 8	$-t_p$, но не более 7	
6. Производственные здания, а также помещения общественных зданий и вспомогательных предприятий с влажным или мокрым режимом	$t_n - t_p$	$0,8 (t_n - t_p)$	2,5*
7. Здания картофеле- и овощефруктохранилищ	$t_n - t_p$	$t_n - t_p$	2,5*
8. Производственные здания со значительными избытками явной теплоты ($> 23 Вт/м^3$) и расчетной относительной влажностью внутреннего воздуха не более 50%	12	12	2,5*

Примечания: 1. Величины Δt_n со звездочкой для перекрытий над проездами и подпольями относятся только к участкам с постоянными рабочими местами, если нормируется показатель теплоусвоения поверхности пола (см. п. 5.6).

2. Величина t_p – температура точки росы, $^\circ C$, при расчетной температуре и относительной влажности внутреннего воздуха.

3. Для зданий картофеле- и овощефруктохранилищ t_p следует определять по максимально-допустимым расчетным значениям температуры и относительной влажности внутреннего воздуха в соответствии с нормами технологического проектирования.

ТАБЛИЦА 5.2
ЗНАЧЕНИЯ КОЭФФИЦИЕНТА n

Ограждение	n
Наружные стены, покрытия (в том числе вентилируемые наружным воздухом), перекрытия чердачные (с кровлей из штучных материалов) и над проездами, перекрытия над холодными (без ограждающих стенок) подпольями зданий и сооружений, возводимых в районах северной строительно-климатической зоны	1
Перекрытия над холодными подвалами, сообщающимися с наружным воздухом, перекрытия чердачные (с кровлей из рулонных материалов); перекрытия над холодными (с ограждающими стенками) подпольями и холодными этажами в северной строительно-климатической зоне	0,9
Перекрытия над неотапливаемыми подвалами со световыми проемами в стенах	0,75
Перекрытия над неотапливаемыми подвалами без световых проемов в стенах, расположенные выше поверхности земли	0,6
Перекрытия над неотапливаемыми техническими подпольями, расположенными ниже поверхности земли	0,4

Расчет R_0^{TP} ведется в такой последовательности:

1) задаются предварительно показателем D и соответствующим значением t_n ;

2) определяют значение R_0^{TP} , находят термическое сопротивление теплоизоляционного слоя и соответствующие значения D и t_n ;

3) при несоответствии значений D , принятого в п. 1 и полученного в п. 2, расчет повторяют, добиваясь их соответствия.

5.3. Оптимальное (экономически целесообразное) сопротивление теплопередаче ограждения

Применение эффективных и сравнительно недорогих теплоизоляционных материалов в ряде случаев экономически оправдывает увеличение общего сопротивления теплопередаче ограждения сверх требуемого.

Для сравнительно различных теплоизоляционных материалов и ограждающих конструкций различной толщины экономически целесообразное сопротивление теплопередаче $R_0^{ЭК}$ следует принимать исходя из обеспечения наименьших приведенных затрат Π , руб/м²

$$\Pi = C_d + \frac{(t_n - t_{от.пер})z_{от.пер}24mC_\tau A 10^{-6}}{R_0^{np} E_n} \quad (5.4)$$

где C_d – единовременные затраты, руб./м², определяемые по формуле

$$C_d = 1,25[(U + T)K + C_m]; \quad (5.5)$$

U – оптовая цена конструкций, определяемая по прейскурантам, руб./м²; T – стоимость транспортирования конструкций с учетом погрузочно-разгрузочных работ, руб./м², определяемая по СНиП IV–4–84; $K = 1,02$ – коэффициент, учитывающий заготовительно-складские расходы; C_m – стоимость монтажа (возведения) ограждающей конструкции, руб./м², определяемая по СНиП IV–5–84; $m = 1,05$ – коэффициент, учитывающий дополнительные теплопотери для нагревания инфильтрующегося наружного воздуха; C_τ – стоимость тепловой энергии, руб./ГДж, принимаемая по Прейскуранту № 09–01 или по себестоимости на основе расчетных калькуляций на тепловую энергию от собственных источников; $A = 3,6$ при стоимости тепловой энергии в руб./ГДж и $A = 0,86$ при стоимости в руб./Гкал; $E_n = 0,08$ – нормативный коэффициент эффективности капиталовложений.

Экономически целесообразное термическое сопротивление теплопередаче теплоизоляционного слоя определяют по формуле

$$R_{г.и}^{ЭК} = R_0^{ЭК} - (1/\alpha_n + R_x + R_{в.п} + 1/\alpha_n) = \delta_{г.и}/\lambda_{г.и} \quad (5.6)$$

где R_x – сумма термических сопротивлений конструктивных слоев.

Окончательную толщину теплоизоляционного слоя $\delta_{г.и}$ принимают, руководствуясь конструктивными соображениями: для штучного материала $\delta_{г.и}$ должна быть кратной его размерам, для панельных и блочных стен $\delta_{г.и}$ должна быть такой, чтобы общая толщина стены была кратной 50 мм.

5.4. Теплозащита заполнений световых проемов и дверей

Требуемое сопротивление теплопередаче $R_{зап}^{TP}$ заполнений световых проемов (окон, балконных дверей и фонарей) принимается по табл. 9 СНиП II–3–79** в зависимости от разности температуры внутреннего воздуха и средней температуры наиболее холодной пятидневки $t_{н5}$ обеспеченностью 0,92, а также от назначения здания.

Требуемое сопротивление теплопередаче дверей и ворот должно быть не менее $0,6R_0^{TP}$ наружных стен зданий и сооружений, определенного по формуле (5.3) при расчетной зимней температуре наружного воздуха $t_{н5}$.

Приведенное сопротивление теплопередаче $R_{зап}$ различных конструкций заполнений световых проемов указано в прил. 6 СНиП II–3–79** и [13].

В целях сокращения теплопотерь в холодный период и теплоступлений в теплый период следует предусматривать:

а) площадь световых проемов в соответствии с нормативным значением коэффициента естественной освещенности (кео), определяемого по прил. 5 СНиП II–4–79;

б) солнцезащитные устройства в соответствии с требованиями п. 2.7 СНиП II–4–79.

5.5. Требуемая теплоустойчивость ограждений

Теплоустойчивость наружных ограждений должна исключать изменения температуры внутренней поверхности свыше допустимой: зимой при разовых понижениях температуры, летом при суточных колебаниях наружной температуры и интенсивности солнечной радиации.

При выборе зимней расчетной темпе-

ратуры t_n учитывают теплоинерционность ограждений (см. п. 1.2). Для теплового периода (в районах со среднемесячной температурой июля $\geq 21^\circ\text{C}$, при тепловой инерции наружной стены менее 4 и покрытия менее 5) теплоустойчивость ограждения определяется из условия обеспечения расчетной амплитуды колебания температуры внутренней поверхности ограждения $A_{\tau_n}^p$ не более требуемой амплитуды $A_{\tau_n}^{tp}$

$$A_{\tau_n}^p \leq A_{\tau_n}^{tp} = 2,5 - 0,1(t_{n\text{VII}} - 21), \quad (5.7)$$

где $t_{n\text{VII}}$ – среднемесячная температура наружного воздуха за июль, принимаемая по СНиП 2.01.01–82;

$$A_{\tau_n}^p = A_{\tau_n}^p / v; \quad (5.8)$$

$$A_{\tau_n}^p = 0,5A_{\tau_n} + \rho_c(I_{\text{max}} - I_{\text{cp}}) / \alpha_n; \quad (5.9)$$

$$\alpha_n = 1,16(5 + 10\sqrt{v}); \quad (5.10)$$

A_{τ_n} – максимальная амплитуда суточных колебаний температуры $t_{n\text{VII}}$, принимаемая по прил. 2 СНиП 2.01.01–82; ρ_c – коэффициент поглощения солнечной радиации материалом наружной поверхности ограждения, принимаемый по прил. 7 СНиП II–3–79**;
 $I_{\text{max}}, I_{\text{cp}}$ – максимальное и среднее значения суммарной солнечной радиации (прямой и рассеянной), $\text{Вт}/\text{м}^2$, принимаемые по прил. 5 и 7 СНиП 2.01.01–82 для покрытий как для горизонтальной поверхности и для наружных стен как для вертикальных поверхностей западной ориентации; v – минимальная из средних скоростей ветра по румбам за июль, повторяемость которых составляет $\geq 16\%$, принимаемая по прил. 4 СНиП 2.01.01–82, но не менее $1 \text{ м}/\text{с}$.

Значения коэффициента затухания расчетной амплитуды колебаний температуры наружного воздуха v в наиболее распространенных ограждающих конструкциях приведены в табл. 4 [5].

5.6. Требуемая теплоустойчивость полов

Расчетные значения показателя теплоусвоения поверхности полов в различных зданиях (см. п. 2.2) не должны быть более следующих нормативных величин $\Upsilon_n^{\text{н}}$, $\text{Вт}/(\text{м}^2 \cdot ^\circ\text{C})$:

1. Здания жилые, больничные и лечебные учреждения, детские сады-ясли, общеобразовательные детские школы, детские дома и дома-интернаты для престарелых и инвалидов (при нахождении людей в состоянии покоя или движения без выполнения активной физической работы) 12

2. Общественные здания, кроме указанных в п. 1, вспомогательные здания и помещения промышленных предприятий, участки с постоянными рабочими местами и выполнением легкой физической работы (категория I) 14
3. Производственные помещения, кроме указанных в п. 2, где выполняется физическая работа средней тяжести (категория II) 17

Примечания: 1. Не нормируется показатель теплоусвоения поверхности полов:

- а) имеющих температуру поверхности выше 23°C ;
- б) в отапливаемых помещениях производственных зданий при выполнении тяжелой физической работы (категория III);
- в) в производственных зданиях при укладке деревянных щитов или теплоизоляционных коврик на участки постоянных рабочих мест;
- г) помещений общественных зданий с непостоянным пребыванием в них людей (залы музеев и выставок, фойе театров, кино и т. п.);

2. Теплотехнический расчет полов животноводческих, птицеводческих и звероводческих зданий следует выполнять с учетом требований СНиП 2.10.03.84.

5.7. Требуемое сопротивление воздухопроницанию

Наружные ограждающие конструкции должны иметь расчетное сопротивление воздухопроницанию R_n (см. гл. 3) не ниже требуемого R_n^{tp} , $\text{м}^2 \cdot \text{ч} \cdot \text{Па}/\text{кг}$, которое следует определять:

для наружных стен и покрытий

$$R_n^{tp} = \Delta p / G_n; \quad (5.11)$$

для окон и балконных дверей жилых и общественных зданий, а также окон и фонарей производственных зданий

$$R_n^{tp} = (\Delta p / \Delta p_0)^{2/3} / G_n. \quad (5.12)$$

Разность давлений воздуха Δp , Па, на наружной и внутренней поверхностях ограждающих конструкций следует определять по формуле

$$\Delta p = [0,55H_{\text{зд}}(\rho_n - \rho_w) + 0,03\rho_n v_n^2] 9,81. \quad (5.13)$$

Нормативную (максимально-допустимую) воздухопроницаемость G_n , $\text{кг}/(\text{м}^2 \cdot \text{ч})$, ограждающих конструкций зданий и сооружений следует принимать по табл. 5.3. Сопротивление воздухопроницанию R_n заполнений световых проемов (окон, балконных дверей и фонарей) представлены в табл. 5.4.

ТАБЛИЦА 5.3
НОРМАТИВНЫЕ ЗНАЧЕНИЯ G_n

Ограждающие конструкции	G_n , кг/(м ² × ч)
Наружные стены, перекрытия и покрытия жилых, общественных зданий и вспомогательных зданий и помещений промышленных предприятий	0,5
Наружные стены, перекрытия и покрытия производственных зданий	1
Входные двери в квартиры	1,5
Окна и балконные двери жилых и общественных зданий, а также вспомогательных зданий и помещений промышленных предприятий, окна производственных зданий с кондиционированием воздуха, двери и ворота производственных зданий в районах со средней температурой наиболее холодной пятидневки с обеспеченностью 0,92 выше 40°С	10
То же, с температурой 40°С и ниже	8
Зенитные фонари производственных зданий, а также окна производственных зданий с избытком явной теплоты не более 23 Вт/м ² [20 ккал/(м ² ч)] в районах со средней температурой наиболее холодной пятидневки с обеспеченностью 0,92 выше -40°С	15
То же, с температурой -40°С и ниже	10
Окна производственных зданий с избытками явной теплоты более 23 Вт/м ² [20 ккал/(м ² ч)] в районах со средней температурой наиболее холодной пятидневки с обеспеченностью 0,92 выше -40°С	30
То же, с температурой -40°С и ниже	20

Примечание. Воздухопроницаемость стыков между панелями наружных стен жилых зданий должна быть не более 0,5 кг/(м ч)

ТАБЛИЦА 5.4
СОПРОТИВЛЕНИЕ ВОЗДУХОПРОНИЦАНИЮ R_n
ЗАПОЛНЕНИЙ СВЕТОВЫХ ПРОЕМОВ (ОКОН,
БАЛКОННЫХ ДВЕРЕЙ И ФОНАРЕЙ)

Заполнение светового проема	Количество уплотненных притворов заполнения	R_n , м ² ч/кг [при $\Delta p_0 = 10$ Па (1 мм вод ст)], заполнения световых проемов с деревянными переплетами с уплотнением прокладками из		
		пенополиуретана	губчатой резины	полужестяного шнура
Одинарное остекление или двойное остекление в спаренных переплетах	1	0,26	0,16	0,12
	2	0,29	0,18	0,13
Двойное остекление в раздельных переплетах	1	0,29	0,18	0,13
	2	0,38	0,26	0,18
Тройное остекление в раздельно-спаренных переплетах	1	0,30	0,18	0,14
	2	0,44	0,26	0,20
	3	0,56	0,37	0,27

Примечания: 1 Сопротивление воздухопроницанию заполнения световых проемов с металлическими переплетами, а также балконных дверей следует принимать с коэффициентом 0,8

2 Сопротивление воздухопроницанию окон без открывающихся створок (без притворов с уплотненными фальшами) следует принимать равным 1 м² ч/кг (независимо от числа и материала переплетов и видов остекления), зенитных фонарей (с уплотненными сопряжениями элементов) - 0,5 м² ч/кг

5.8. Требуемое сопротивление паропрооницанию

Сопротивление паропрооницанию R_n , м² · ч · Па/мг, ограждающей конструкции (в пределах от внутренней поверхности до плоскости возможной конденсации) должно быть не менее:

а) наибольшего требуемого сопротивления паропрооницанию R_{n1}^{TP} из условия недопустимости накопления влаги в ограждающей конструкции за годовой период эксплуатации;

б) наибольшего требуемого сопротивления паропрооницанию R_{n2}^{TP} из условия ограничения накопления влаги в ограждающей конструкции за период с отрицательными среднемесячными температурами наружного воздуха.

Значения R_{n1}^{TP} и R_{n2}^{TP} , а также R_n^{TP} чердачного перекрытия и вентилируемого покрытия следует определять по СНиП II-3-79**.

Не требуется определять R_n однослойных наружных стен помещений с сухим или нормальным режимом, а также двухслойных наружных стен помещений с сухим или нормальным режимом, если внутренний слой стены имеет сопротивление паропрооницанию более 1,6 м² · ч · Па/мг.

В помещениях с влажным и мокрым режимом предусматривается пароизоляция теплоизолирующих уплотнителей сопряжений элементов ограждающих конструкций со стороны помещений (мест примыкания заполнения проемов к стенам и т. п.). В местах таких сопряжений R_n проверяется из условия ограничения накопления влаги в сопряжениях за период с отрицательными среднемесячными температурами наружного воздуха на основании расчета температурного и влажностного полей [5, 12].

В покрытиях зданий с влажным и мокрым режимом для защиты теплоизоляционного слоя от увлажнения предусматривается пароизоляция ниже теплоизоляционного слоя (со стороны помещения), которая учитывается при определении сопротивления паропрооницанию покрытия.

ГЛАВА 6. ИНФИЛЬТРАЦИЯ НАРУЖНОГО ВОЗДУХА ЧЕРЕЗ ОГРАЖДЕНИЕ

При определении расчетных теплотерь в помещениях учитываются теплотраты Q_n , Вт, связанные с инфильтрацией наружного воздуха в помещение $G_{н.пом}$ через наружное ограждение

$$Q_n = 0,278cG_{н.пом}(t_n - t_{н.с})AF_n, \quad (6.1)$$

где c — удельная теплоемкость воздуха, равная ~ 1 кДж/(кг \cdot °С); A коэффициент, учитывающий влияние трансмиссионного теплового потока; $A = 0,8$ — для окон и дверей с отдельными переплетами, $A = 1$ для окон и дверей со спаренными переплетами; для других наружных ограждающих конструкций $A = 0,6$; F_n — площадь рассматриваемого ограждения навстречного фасада, м².

Как правило, поступление наружного воздуха в помещение $G_{н.пом}$ (инфильтрация) учитывается только через окна, балконные двери, фонари, ворота, двери и открытые проемы. В зданиях с незначительным остеклением фасадов инфильтрацию следует учитывать через стыки панелей и массив.

Для жилых комнат, имеющих естественную вытяжку, не компенсируемую подогретым приточным воздухом, кроме Q_n определяется расход теплоты Q_v на нагрев воздуха в размере нормативного воздухообмена (за расчетное значение принимается наибольшее из Q_n и Q_v)

$$Q_v = \frac{1,005 \cdot 1,2 \cdot 3 \cdot 10^3}{3600} (t_v - t_{н.с}) F_n \approx (t_v - t_{н.с}) F_n, \quad (6.2)$$

где 1,005 — удельная теплоемкость воздуха, кДж/(кг \cdot °С); 1,2 — плотность воздуха при $t_n = 18^\circ\text{C}$, кг/м³; 3 — количество воздуха, поступающего на 1 м² жилой площади, м³/(м² \cdot ч); F_n — площадь пола комнаты, м².

6.1. Инфильтрация наружного воздуха в производственных и одноэтажных общественных зданиях*

По особенностям воздушного режима помещения производственных зданий можно разделить на два типа:

1) с аэрацией в зимний период. В таких помещениях инфильтрация либо не учиты-

вается (при удельных теплоизбытках более 420 кДж/м³ \cdot ч), либо учитывается при расчете аэрационного воздухообмена;

2) без аэрации в зимний период.

Для помещений с равномерным двусторонним остеклением количество инфильтрующего в помещение воздуха через неплотности окон $G_{н.пом}$ равно

$$G_{н.пом} = j_i B_{н.пом} F_{ок.н}; \quad (6.3)$$

где $j_i = 0,378 [H_i(\rho_n - \rho_v)g]^{2/3} / R_n$;

$$H_i(\rho_n - \rho_v)g = p_r,$$

j_i — расход инфильтрующего воздуха при действии гравитационного давления p_r , кг/(м² \cdot ч) (принимается за условную единицу расхода); $g = 9,81$ м/с²; $B_{н.пом}$ — коэффициент, учитывающий влияние ветрового давления p_v и приращение давления Δp_m в помещении (при дисбалансе притока и вытяжки вентиляции с механическим побуждением и других особенностей воздушного режима здания); $F_{ок.н}$ — площадь окон помещения на навстречном фасаде, м²; H_i — высота каждого i -го воздухопроницаемого ограждения, м.

Коэффициент $B_{н.пом}$ определяется по рис. 6.1 в зависимости от \bar{p}_{vi} при $\Delta G_m = 0$ и от \bar{p}_{vi} и \bar{p}_v при $\Delta G_m \neq 0$

$$\bar{p}_{vi} = p_{vi}/p_r = r'_{vi}\rho_n/p_r; \quad (6.4)$$

где $\bar{p}_v = p_v/p_r = [0,5(p_r + p_v) \pm \Delta p_m p_r]/p_r$;

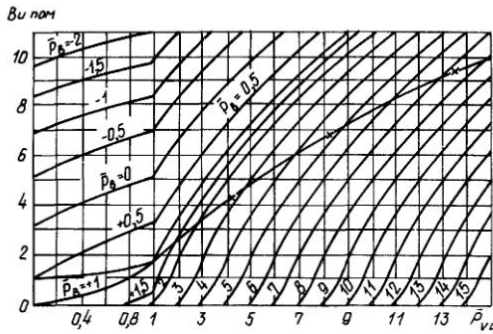
$$\Delta p_m = \Delta p_m/p_r \geq 0;$$

p'_{r_i} — ветровое давление на фасаде здания при $\rho_n = 1$ кг/м³, определяемое по табл. 6.1; \bar{p}_v — приращение давления воздуха в помещении в относительных единицах (при $\Delta G_m > 0$ принимается знак «+», при $\Delta G_m < 0$ — знак «-»); Δp_m , $\Delta \bar{p}_m$ — приращение давления

ТАБЛИЦА 6.1
ЗНАЧЕНИЯ ВЕТРОВОГО ДАВЛЕНИЯ p'_v

v , м/с	Значения p'_v при высоте зданий $H_{зд}$, м							
	10	20	30	40	50	60	70	80
1	0,54	1,33	2,25	3,27	4,38	5,55	6,8	8,1
2	2,16	4,32	6,48	8,64	10,8	13	15,1	17,3
3	4,9	8,5	11,7	14,7	17,6	20,4	23,1	25,6
4	8,6	14,0	18,6	22,8	26,6	30,3	33,7	37,0
5	13,5	19,1	23,4	27,0	30,2	33,1	35,7	38,2
6	19,4	25,6	30,2	33,8	37,0	39,8	42,3	44,7
7	26,5	34,9	41,0	46,1	50,4	54,2	57,6	60,8
8	34,6	42,5	48,0	52,0	56,0	59,1	61,9	64,5
9	43,7	50,2	54,5	57,7	60,3	62,3	64,5	66,3
10	54,0	61,9	67,2	71,2	74,5	77,2	79,7	81,8

* При написании п. 6.1 использованы материалы д-ра техн. наук В. П. Титова и канд. техн. наук С. С. Требукова.



6.1. Зависимость $B_{н.пом}$ от $\bar{p}_{в}$ и $(\bar{p}_{в}, \bar{p}_{в})$

в помещении при дисбалансе воздуха $\Delta G_{м}$ соответственно в Па и относительных единицах.

Значение $\Delta p_{м}$ зависит от относительного дисбаланса воздуха $\Delta \bar{G}_{м}$ (рис. 6.2)

$$\Delta \bar{G}_{м} = \Delta G_{м} / (j_i F_{н}). \quad (6.5)$$

Если остекление фасадов различно, то коэффициент $B_{н.пом}$ следует определять, пользуясь рис. 6.3 с учетом отношения b_F площади остекленной поверхности наветренного $F_{н}$ и подветренного $F_{п}$ фасадов здания ($b_F = F_{н}/F_{п}$).

Для помещений N_i -го этажа многоэтажного здания (с числом этажей $N_{зд}$) при отсутствии дисбаланса вентиляции во всех помещениях расход воздуха $G_{н.пом}$ через окна определяется по формуле (6.3). При определении j_i и p_r величину H_i следует принимать равной высоте здания $H_{зд}$. Коэффициент $B_{н.пом}$ определяют по рис. 6.4 или по формуле

$$B_{н.пом} = 1,667 \left(1 + \frac{1}{N_{зд}} + D - 2 \frac{N_i}{N_{зд}} \right)^{2/3}, \quad (6.6)$$

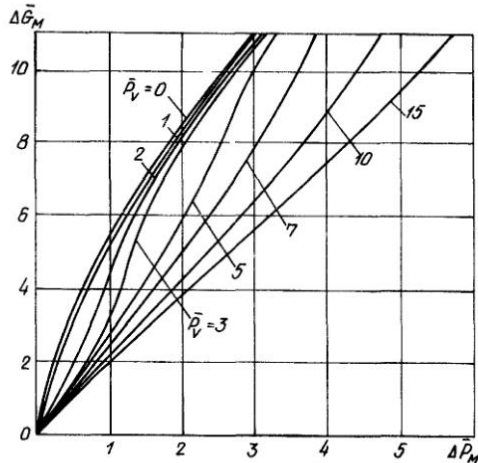
где D — коэффициент, зависящий от типа здания, направления ветра и остекления фасадов.

Для наветренного остекленного $F_{н}$ фасада здания типа «пластина» с неостекленным торцовым фасадом ($F_{т} = 0$)

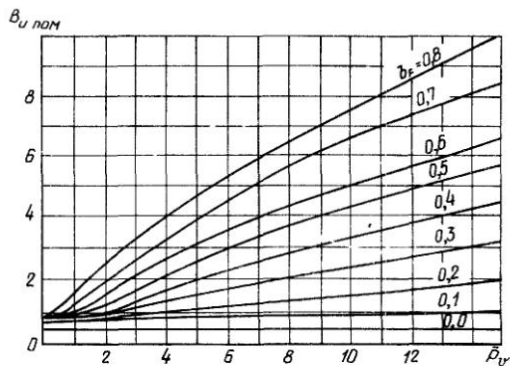
$$D = \bar{p}_v. \quad (6.7)$$

Для наветренного фасада здания типа «пластина» с остекленным торцовым фасадом ($b_T = F_{т}/F_{н} \neq 0$)

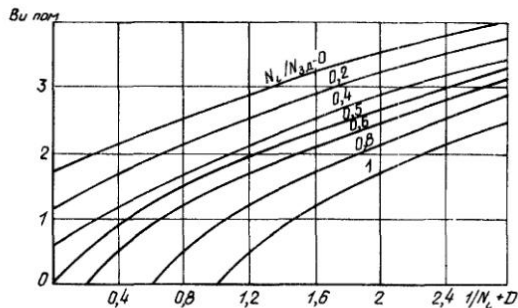
$$D = \bar{p}_v \left(2 - \frac{1}{1 + b_T} \right). \quad (6.8)$$



6.2. Зависимость $\Delta \bar{p}_{м}$ от $\Delta \bar{G}_{м}$ и \bar{p}_v



6.3. Зависимость $B_{н.пом}$ от b_T и p_v



6.4. Зависимость $B_{н.пом}$ от $\left(\frac{1}{N_i} + D \right)$ и $N_i/N_{зд}$

Для наветренного фасада здания типа «башня»

$$D = \bar{p}_v \left[2 - \frac{1}{\beta_{N_i}(1 + b_{\tau})} \right], \quad (6.9)$$

где β_{N_i} – коэффициент, учитывающий изменение ветрового давления по высоте здания (табл. 6.2).

ТАБЛИЦА 6.2
ЗНАЧЕНИЯ КОЭФФИЦИЕНТА β_{N_i}

Тип здания	Значения β_{N_i} при $H/H_{зд}$				
	0,1	0,3	0,5	0,7	0,9
Пластина	0,9	0,9	1	1,12	1,08
Башня	0,79	0,8	1	1,2	1,22

6.2. Инфильтрация воздуха в помещениях многоэтажных общественных зданий, оборудованных системами механической вентиляции

Количество инфильтрующегося воздуха $G_{и,пом}$ вычисляют после того, как будут определены следующие величины.

1. Суммарный дисбаланс вентиляции в коридорах здания ΔG_k , кг/ч

$$\Delta G_k = \Sigma G_{пр.к} - \Sigma G_{в.к}, \quad (6.10)$$

где $\Sigma G_{пр.к}$ и $\Sigma G_{в.к}$ – суммарное количество приточного и вытяжного воздуха по коридорам здания, включая вестибюль, лестнично-лифтовые холлы, вспомогательные помещения (санитарные узлы).

2. Суммарный дисбаланс вентиляции в рабочих помещениях здания $\Delta G_{п.о}$, кг/ч

$$\Delta G_{п.о} = \Sigma G_{пр.п} - \Sigma G_{в.п}, \quad (6.11)$$

где $\Sigma G_{пр.п}$ и $\Sigma G_{в.п}$ – суммарное количество приточного и вытяжного воздуха по рабочим помещениям, кг/ч.

3. Дисбаланс вентиляции по зданию ΔG_m , кг/ч

$$\Delta G_m = \Delta G_{п.о} + \Delta G_k. \quad (6.12)$$

4. Средний по зданию перепад давлений Δp_m между лестничной клеткой и наружным воздухом при отсутствии ветрового \bar{p}_v и гравитационного $p_{г}$ давлений

$$\Delta p_m = \pm \left(\frac{|\Delta G_m| R_{и.ок}}{F_{ок.п}} \right)^{1,5} \pm \left(\frac{|\Delta G_k| R_{и.лв}}{F_{лв.п}} \right)^2, \quad (6.13)$$

где $F_{ок.п}$ и $F_{лв.п}$ – общая площадь окон и дверей помещений; $R_{и.ок}$ и $R_{и.лв}$ – сопротивление воздухопроницанию окон и дверей, Па²·м²·ч/кг (табл. 6.3). При $\Delta G_m > 0$ и $\Delta G_k > 0$ принимают знак «+», при $\Delta G_m < 0$ и $\Delta G_k < 0$ – знак «-». При выключенных вентиляторах и закрытых клапанах систем вентиляции допустимо принимать $\Delta G_{п.о} = \Delta G_k = \Delta G_m = 0$ и $\Delta p_m = 0$.

Первое слагаемое $\left(\frac{|\Delta G_m| R_{и.ок}}{F_{ок.п}} \right)^{1,5}$ в формуле (6.13), выражающее потери давления в окнах $\Delta p_{ок}$, может быть определено по табл. 6.4 в зависимости от удельного расхода воздуха через окна, равного $\Delta G_m / F_{ок.п}$.

5. Среднее гравитационное давление $p_{г}^{cp}$

$$p_{г}^{cp} = \frac{N_{зд} - 1}{2} h_{эт} (\rho_n - \rho_n) g, \quad (6.14)$$

где $h_{эт}$ – высота этажа, м.

Значения $(\rho_n \rho_n) g$ и ρ_n принимаются равными:

$t_n, ^\circ C$	-50	-40	-30	-25	-20	-15	-10	0
$(\rho_n - \rho_n) g$	3,76	3,09	2,48	2,19	1,92	1,65	1,4	0,91
$\rho_n, кг/м^3$	1,583	1,515	1,453	1,423	1,395	1,368	1,342	1,293

6. Давление в здании (в коридорах), Па,

$$p_0 = p_{г}^{cp} + \frac{F_{ок.ф}}{F_{ок.з}} p'_v \rho_n + \Delta p_m \varphi, \quad (6.15)$$

где $F_{ок.ф}$ – площадь окон рассчитываемого фасада, м²; $F_{ок.з}$ – общая площадь окон здания, м²; φ – коэффициент, учитывающий влияние Δp_m на давление в здании p_0 :

$$\begin{aligned} \text{при } \frac{p_{г}^{cp}}{|\Delta p_m|} \leq 20 & \quad \varphi = 1 + a \frac{p_{г}^{cp}}{|\Delta p_m|}; \\ \text{при } \frac{p_{г}^{cp}}{|\Delta p_m|} > 20 & \quad \varphi = 1 + 20a; \end{aligned}$$

a – коэффициент, определяемый в зависимости от $\Delta G_m / \Delta G_{п.о}$ и $\Delta p_{отн.ср}$ (табл. 6.5)

$$\Delta p_{отн.ср} = \left(\frac{\Delta G_{п.о} R_{и.ок}}{F_{ок.п}} \right)^{1,5} \left(\frac{\Delta G_{п.о} R_{и.лв}}{F_{лв.п}} \right)^2, \quad (6.16)$$

7. Давление наружного воздуха $p_{н_i}$ на уровне рассматриваемого этажа, Па

$$p_{н_i} = (N - N_i) h_{эт} (\rho_n - \rho_n) g + p'_v \rho_n \beta_{N_i}. \quad (6.17)$$

СОПРОТИВЛЕНИЕ ВОЗДУХОПРОНИЦАНИЮ ОГРАЖДАЮЩИХ КОНСТРУКЦИЙ

ТАБЛИЦА 6.3

Ограждения	Тип уплотнения притворов	R_n , Па ^{2/3} ·м ² /кг
Окна	Пенополиуретан	1,19 (по СНиП П-3-79**)
	Губчатая резина или полушерстяной шнур	
Двери помещений	Без уплотнения	0,063
	Без уплотнения с нижней подрезкой 2 см	0,02
Выходы на наружный переход (при одном тамбуре)	Пенополиуретановая прокладка	0,1
	Без уплотнения	0,045
Входные двери в здании (при одном тамбуре)	Прокладки из резины	0,06
	Без уплотнения	0,03

Примечание. Значения R_n определены натурными испытаниями.

ЗАВИСИМОСТЬ ПОТЕРЬ ДАВЛЕНИЯ В ОКНАХ ОТ УДЕЛЬНОГО РАСХОДА ВОЗДУХА

ТАБЛИЦА 6.4

$R_{n,ок}$, Па ^{2/3} ·ч·м ² /кг	Потери давления в окнах $\Delta p_{ок}$, Па, при удельном расходе воздуха через окна, кг/(м ² ·ч)												
	2	4	6	8	10	12	16	20	24	28	32	36	40
1,19	3,6	10,3	19	29,3	41	54,3	83	116	153	192,5	235	281	329
0,57	1,2	3,4	6,3	9,7	13,6	18	27,5	38,5	50,6	63,8	78	93	109
0,42	0,76	2,2	4	6,1	8,6	11,4	17,4	24,4	32	40,4	49,3	58,8	68,9

ЗНАЧЕНИЯ КОЭФФИЦИЕНТА α

ТАБЛИЦА 6.5

$\Delta p_{отн ср}$	Значения α при $\Delta G_m/\Delta G_n$										
	≥ 2	1,5	1,0	0,75	0,5	0,25	0	-0,25	-0,75	≤ -1	
0,03	0,22	0,24	0,0	0,25	0,22	0,26	0,24	0,22	0,21	0,22	
0,1	0,22	0,20	0,01	0,0	0,2	0,24	0,24	0,22	0,21	0,22	
0,3	0,21	0,17	0,02	-0,12	0,19	0,20	0,24	0,22	0,20	0,21	
0,6	0,21	0,16	0,04	-0,06	0,03	0,17	0,2	0,2	0,2	0,21	
1,0	0,21	0,15	0,06	-0,04	-0,05	0,11	0,16	0,17	0,19	0,21	
2,0	0,21	0,14	0,06	0	-0,05	0,08	0,14	0,15	0,19	0,21	
3,0	0,21	0,14	0,06	0,02	-0,02	-0,06	0,10	0,12	0,18	0,21	
4,0	0,20	0,13	0,07	0,03	-0,01	-0,04	0,07	0,1	0,17	0,20	
6,0	0,19	0,12	0,08	0,04	0	-0,02	0,05	0,08	0,14	0,19	
30	0,18	0,11	0,10	0,08	0,06	0	0,02	0,06	0,10	0,18	

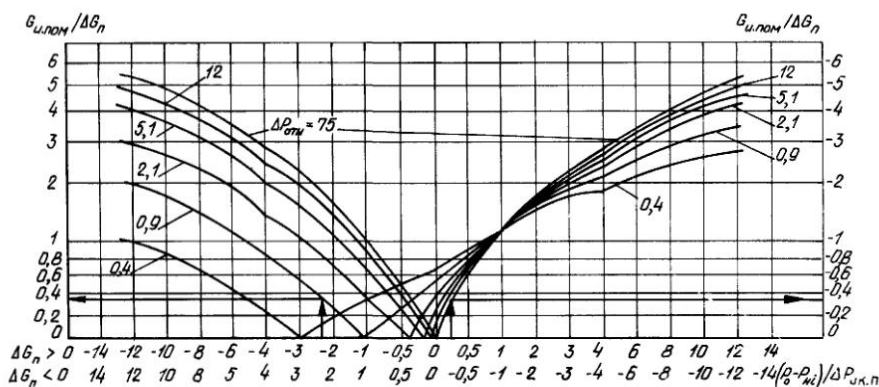
8. Дисбалансы вентиляции в каждом рабочем помещении

$$\Delta G_n = G_{пр.п} - G_{в.п} \quad (6.18)$$

Количество инфилирующего воздуха для помещения, в котором $\Delta G_n = 0$, определяется по формуле

$$G_{н.пом} = B i_{ок} F_{ок} \quad (6.19)$$

где $F_{ок}$ - площадь окон помещения, м²; $i_{ок}$ - воздухопроницаемость окон, кг/(м²·ч); при $\Delta p = 1$ Па воздухопроницаемость $i_{ок} = 1/R_{н.ок}$; B - коэффициент, определяемый по табл. 6.6, в которой α - перепад давлений на дверях рассчитываемого помещения при расходе воздуха $i_{ок} F_{ок}$



6.5. Зависимость $G_{n,пом} / \Delta G_n$ от отношения $p_0 - p_{n,i} / \Delta p_{ок,п}$

ТАБЛИЦА 6.6
ЗНАЧЕНИЯ КОЭФФИЦИЕНТА B

$\frac{p_n - p_0}{1 + \alpha}$	Значения B при α		
	0,02	0,2	2
2	1,54	1,51	1,45
4	2,47	2,35	2,11
6	3,24	3,03	2,62
8	3,92	3,62	3,05
10	4,52	4,16	3,44
12	5,13	4,64	3,78
16	6,21	5,53	4,4
20	7,19	6,33	4,95
25	8,11	7,06	5,45
32	9,79	8,38	6,33
40	11,33	9,57	7,11
50	13,11	10,92	7,98
60	14,77	12,16	8,78
70	16,33	13,31	9,51
80	17,74	14,39	10,19
90	19,23	15,41	10,83
100	20,59	16,38	11,43
110	21,91	17,31	12,01
130	24,41	19,07	13,09
150	26,78	20,71	14,09

$$\alpha = \frac{(F_{ок} i_{ок})^2}{(F_{дв} / R_{н,дв})^2} = (F_{ок} / F_{дв})^2 (i_{ок} R_{н,дв})^2 \quad (6.20)$$

Количество инфилирующего воздуха для помещения, в котором $\Delta G_n \neq 0$, определяется по рис. 6.5

$$\Delta p_{отн} = \Delta p_{ок,п} / \Delta p_{дв,п} \quad (6.21)$$

где $\Delta p_{ок,п} = \left(\frac{\Delta G_n}{F_{ок}} - R_{н,ок} \right)^{1,5}$ и

$$\Delta p_{дв,п} = \left(\frac{\Delta G_n}{F_{дв}} - R_{н,дв} \right)^2$$

Для лестнично-лифтовых холлов, коридоров, вестибюлей $G_{н,к}$ определяют по формуле

$$G_{н,к} = \Sigma \frac{F_0}{R_n} (p_{n,i} - p_0)^k \quad (6.22)$$

где F_0 – расчетная площадь рассматриваемого ограждения (заполнение светопроемов, наружные двери и пр.), m^2 .

СПИСОК ЛИТЕРАТУРЫ

1. Арневич Э. М., Вавуло Н. М. Повышение теплотехнических качеств полносборных жилых домов.– М.: Стройиздат, 1985.– 192 с.
2. Богословский В. Н. Тепловой режим зданий.– М.: Стройиздат, 1979.– 248 с.
3. Богословский В. Н. Строительная теплофизика.– М.: Высшая школа, 1982.– 415 с.
4. Гвидони А. Г. Тепловой режим конструкций полов.– М.: Стройиздат, 1984.– 222 с.
5. Руководство по теплотехническому расчету и проектированию ограждающих конструкций зданий/НИИСФ.– М.: Стройиздат, 1985.– 141 с.
6. СНиП II-3-79**. Строительная теплотехника.– М.: ЦИТП Госстроя СССР, 1986.– 32 с.
7. СНиП II-4-79. Естественное и искусственное освещение.– М.: Стройиздат, 1980.– 48 с.
8. СНиП 2.01.01-82. Строительная климатология и геофизика.– М.: Стройиздат, 1983.– 136 с.
9. СНиП 2.10.03.84. Животноводческие, птицеводческие и звероводческие здания и помещения.– М.: Стройиздат, 1984.– 8 с.
10. СНиП 2.01.07-85. Нагрузки и воздействия.– М.: ЦИТП Госстроя СССР, 1986.– 38 с.
11. СНиП 2.04.05-86. Отопление, вентиляция и кондиционирование воздуха.– М.: ЦИТП Госстроя СССР, 1987.– 84 с.
12. Табушников Ю. А., Хромец Д. Ю., Матросов Ю. А. Тепловая защита ограждающих конструкций зданий и сооружений.– М.: Стройиздат, 1986.– 360 с.

РАЗДЕЛ II. ОТОПЛЕНИЕ

ГЛАВА 7. КЛАССИФИКАЦИЯ И ВЫБОР СИСТЕМ ОТОПЛЕНИЯ

7.1. Основные виды систем отопления

Системы отопления – это совокупность технических элементов, предназначенных для получения, переноса и передачи во все обогреваемые помещения количества теплоты, необходимого для поддержания температуры на заданном уровне. Системы отопления подразделяются на местные и центральные.

К **местным системам** отопления относят электрическое, газовое (при горении газа непосредственно в отопительных установках) и печное отопление. Радиус действия местных систем отопления ограничен одним-двумя помещениями.

Центральными называют системы, предназначенные для отопления многих помещений из одного теплового центра. Тепловой центр может обслуживать одно обогреваемое сооружение или группу сооружений (в этом случае систему отопления именуют районной).

Теплоперенос в системах отопления осуществляется **теплоносителем** – жидкой средой (вода) или газообразной (пар, воздух, газ). В зависимости от вида теплоносителя системы отопления подразделяют на водяные, паровые, воздушные и газовые.

Центральные системы отопления могут быть комбинированными, когда теплоноситель систем (вторичный) нагревается первичным теплоносителем (обычно высокотемпературной водой или паром). В СССР при водяном теплоснабжении распространено водо-водяное и водовоздушное отопление.

Центральные системы водяного и воздушного отопления устраивают с естественной циркуляцией теплоносителя или с механическим побуждением циркуляции насосами или вентиляторами. Системы парового отопления подразделяют на системы низкого давления при начальном избыточном давлении пара от 0,005 до 0,02 МПа, повышенного давления – от 0,02 до 0,07 МПа и высокого давления – выше 0,07 МПа (0,7 кгс/см²).

7.2. Выбор системы отопления

Тепловой режим в зданиях и помещениях в холодное время года может быть постоянным и переменным в зависимости от их назначения.

Отопление помещений в нерабочее время называют дежурным. В зданиях и помещениях с **постоянным тепловым режимом** в течение отопительного сезона необходимо применять следующие системы отопления (с предельной температурой теплоносителя t_1 или теплоотдающей поверхности $t_{\text{пов}}$):

1) в больницах и стационарах (кроме психиатрических и наркологических) – системы водяного отопления с радиаторами и панелями при $t_1 = 85^\circ\text{C}^*$ (металлические приборы) и 95°C (бетонные приборы) с тем, чтобы средняя температура поверхности отопительных приборов не превышала 75°C ;

2) в детских дошкольных учреждениях, в жилых домах, общежитиях, гостиницах, домах отдыха, санаториях, пансионатах и пионерских лагерях, в поликлиниках, амбулаториях, аптеках, здравпунктах, психиатрических и наркологических больницах, в банях и душевых павильонах, в музеях, выставках, книгохранилищах, архивах, библиотеках, в административно-бытовых зданиях при непрерывном производственном процессе – системы водяного отопления с радиаторами и конвекторами (в больницах, банях и душевых павильонах – только с радиаторами) при $t_1 = 95^\circ\text{C}$ (105°C – для однотрубных систем в перечисленных зданиях, кроме больниц, детских учреждений, бань и душевых павильонов, и до 130°C – для однотрубных систем при конвекторах с кожухом, если они допустимы в указанных зданиях, за исключением жилых домов и детских учреждений).

В перечисленных зданиях можно применять электрическое отопление (кроме зданий детских учреждений, бань и душевых павильонов), газовое отопление (исключая еще и здания больниц) при $t_{\text{пов}} = 95^\circ\text{C}$ а также

* Предельная температура теплоносителя здесь и далее указана для вертикальных отопительных приборов, расположенных на высоте не более 1 м от поверхности пола

воздушное отопление (кроме зданий больниц и детских учреждений);

3) в вокзалах, аэропортах, плавательных бассейнах, лестничных клетках, пешеходных переходах, вестибюлях зданий – системы воздушного отопления; водяного отопления с радиаторами и конвекторами (в бассейнах еще и с гладкими трубами) при $t_r = 150^\circ\text{C}$; системы электрического (кроме лестничных клеток, переходов и вестибюлей) и газового отопления в плавательных бассейнах при $t_{\text{пов}} = 150^\circ\text{C}$; системы парового отопления в лестничных клетках, переходах и вестибюлях при $t_r = 130^\circ\text{C}$.

4) в производственных помещениях категорий *A*, *B* и *B* при непрерывном технологическом процессе без выделения пыли и аэрозолей – системы воздушного отопления; водяного отопления с радиаторами и гладкими трубами при $t_r = 150^\circ\text{C}$; парового отопления при $t_r = 130^\circ\text{C}$.

В помещениях категории *B* допустимо применение электрического и газового отопления при $t_{\text{пов}} = 110^\circ\text{C}$.

В тех же помещениях при выделении пыли и аэрозолей предельную температуру теплоносителя следует принимать 110°C в помещениях категорий *A* и *B* и 130°C в помещениях категории *B*.

Водяное и паровое отопление не допускается в помещениях категорий *A* и *B* в тех случаях, когда в них хранятся или применяются вещества, образующие при контакте с водой или водяными парами взрывоопасные смеси, или вещества, способные к самовозгоранию или взрыву при взаимодействии с водой.

Кроме того, температуру теплоносителя в системах отопления с местными отопительными приборами в помещениях категорий *A*, *B* и *B* и для калориферов рециркуляционных воздушных завес, размещаемых в этих помещениях, следует принимать не менее чем на 20% ниже температуры самовоспламенения газов, паров, пыли и аэрозолей, выделяющихся в помещениях;

5) в производственных помещениях категорий *Г* и *Д* при непрерывном технологическом процессе:

а) без выделения пыли и аэрозолей – системы воздушного отопления; водяного отопления с ребристыми трубами, радиаторами и конвекторами при $t_r = 150^\circ\text{C}$; парового отопления при $t_r = 130^\circ\text{C}$; системы электри-

ческого и газового отопления с высокотемпературными темными излучателями;

б) при повышенных требованиях к чистоте воздуха – системы воздушного отопления; водяного отопления с радиаторами, панелями и гладкими трубами при $t_r = 150^\circ\text{C}$;

в) при выделении негорючих пылей и аэрозолей – системы воздушного отопления; водяного отопления с радиаторами при $t_r = 150^\circ\text{C}$; парового отопления при $t_r = 130^\circ\text{C}$; системы электрического и газового отопления при $t_{\text{пов}} = 150^\circ\text{C}$;

г) при выделении горючих пылей и аэрозолей – системы воздушного отопления; водяного отопления с радиаторами и гладкими трубами $t_r = 130^\circ\text{C}$; парового отопления при $t_r = 110^\circ\text{C}$;

д) при значительных влаговыведениях – системы воздушного отопления; водяного отопления с радиаторами и ребристыми трубами при $t_r = 150^\circ\text{C}$; парового отопления при $t_r = 130^\circ\text{C}$; газового отопления при $t_{\text{пов}} = 150^\circ\text{C}$.

В производственных помещениях с выделением возгоняемых ядовитых веществ система отопления выбирается по специальным нормативным документам.

Во всех перечисленных зданиях и помещениях, кроме производственных помещений категорий *A*, *B* и *B*, могут быть предусмотрены системы водяного отопления со встроенными в наружные стены, перекрытия и полы нагревательными элементами. Предельно допустимая средняя температура теплоотдающей поверхности строительных конструкций при этом приведена в п. 3 18 главы СНиП 2.04.05 86.

В зданиях и помещениях с **переменным тепловым режимом** в течение суток необходимо применять следующие системы отопления (с предельной температурой теплоносителя t_r или теплоотдающей поверхности $t_{\text{пов}}$):

1) в школах и других учебных заведениях, в зданиях управлений, научных и проектных учреждений, конструкторских бюро, в читальных залах, на предприятиях связи и обслуживания населения (при работе сидя близ световых проемов), в административно-бытовых зданиях – системы водяного отопления с радиаторами и конвекторами (в школах конвекторы – во вспомогательных помещениях) при $t_r = 95^\circ\text{C}$ для двухтрубных систем, 105°C для одноконтурных систем (до 130°C для одноконтурных систем при конвекторах с кожухом с изоля-

цией труб, имеющих температуру выше 105°C); системы воздушного отопления; электрического и газового отопления при $t_{\text{пов}} = 95^{\circ}\text{C}$;

2) в театрах, кинотеатрах, клубах, зрительных залах, ресторанах – системы водяного отопления с радиаторами и конвекторами при $t_r = 115^{\circ}\text{C}$ (до 130°C для однотрубных систем при конвекторах с кожухом с изоляцией труб, имеющих температуру выше 115°C); воздушного отопления; электрического отопления при $t_{\text{пов}} = 115^{\circ}\text{C}$. Системы водяного и электрического отопления должны обеспечивать понижение теплоотдачи в помещениях в нерабочее время, системы воздушного отопления – работу с рециркуляцией воздуха для дежурного отопления;

3) в магазинах, столовых (кроме ресторанов), кафе, буфетах и закусовых, в прачечных, в спортивных сооружениях (кроме плавательных бассейнов) – системы водяного отопления с радиаторами, конвекторами (кроме прачечных) и гладкими трубами при $t_r = 150^{\circ}\text{C}$; воздушного отопления; электрического и газового отопления (кроме прачечных) при $t_{\text{пов}} = 150^{\circ}\text{C}$.

В неутепленных и полуткрытых зданиях и помещениях магазинов и предприятий общественного питания может быть применено электрическое и газовое отопление с высокотемпературными (до 250°C) темными излучателями;

4) в производственных помещениях категорий *A, Б, В, Г и Д* при работе в одну или две смены следует применять системы отопления, указанные для аналогичных помещений с постоянным тепловым режимом. Системы водяного отопления должны обеспечивать понижение теплоотдачи в помещениях в нерабочее время. Системы воздушного отопления рекомендуется устраивать центральными, совмещенными с приточной вентиляцией основных крупных помещений, с применением их для дежурного отопления в нерабочее время и местными с отопительными агрегатами для дежурного отопления при отсутствии или невозможности использования центральных систем приточной вентиляции.

Для отопления складских помещений и зданий принимают системы отопления как для производственных помещений с учетом противопожарных и санитарных требований в зависимости от вида хранимых в них изделий и материалов;

5) в отдельных помещениях (кроме

помещений категорий *A* и *Б*) и на рабочих местах в неотапливаемых зданиях или в помещениях при пониженной температуре следует устраивать системы газового и электрического отопления, в том числе с высокотемпературными (до 250°C) излучателями (в помещениях категории *В* при $t_{\text{пов}} \leq 110^{\circ}\text{C}$); системы воздушного отопления со струйной подачей нагретого воздуха.

В перечисленных зданиях и помещениях (кроме клубных зданий и зрелищных предприятий, ресторанов и производственных помещений категорий *A, Б* и *В*) могут быть применены также системы водяного отопления со встроенными в наружные стены, перекрытия и полы нагревательными элементами.

Дежурное отопление предусматривают в нерабочее время или во время перерывов в использовании помещений, когда по условиям технологии производства и эксплуатации оборудования, приборов и коммуникаций необходимо поддерживать температуру воздуха выше 0°C . Дежурного отопления не предусматривают при расчетной температуре наружного воздуха для проектирования отопления выше -5°C .

У дверей главных входов, ворот и наружных технологических проемов гражданских (например, для загрузки декораций) и производственных зданий применяют отопительные установки периодического действия, создающие воздушно-тепловые завесы в открытых проемах. *Воздушно-тепловые завесы* устраивают при кондиционировании воздуха, недопустимости снижения температуры или значительных влаговыделениях (плавательные бассейны и др.) в помещениях.

Воздушно-тепловые завесы осуществляют также у наружных ворот (при отсутствии тамбуров или шлюзов), открываемых чаще 5 раз или не менее чем на 40 мин в смену, а также у открытых технологических проемов при расчетной температуре наружного воздуха для проектирования отопления -15°C и ниже. Их проектируют у входных дверей, через которые (через один тамбур) в течение 1 ч проходят 400 чел и более при расчетной температуре от -15 до -25°C , 250 чел и более при температуре от -26 до -45°C и 100 чел и более при температуре ниже -45°C . При расчетной температуре -15°C и ниже воздушно-тепловые завесы предусматривают в тамбурах входов для посетителей в предприятиях

общественного питания с числом мест в залах 100 и более, в магазинах с торговыми залами общей площадью 150 м² и более.

Печное отопление допускается проектировать для зданий и сооружений, приведенных в приложении к главе СНиП «Отопление, вентиляция и кондиционирование воздуха», при отсутствии централизованного теплоснабжения. Печное отопление не допускается в зданиях и помещениях категорий *А, Б и В*, а также в зданиях жилых и управлений выше двух этажей (без учета цокольного этажа).

Общие рекомендации по выбору систем отопления. В системах отопления здания, сооружения, промышленной площадки или жилого района принимают единый вид теплоносителя. Давление теплоносителя устанавливают в соответствии с механической прочностью (допустимым рабочим давлением) выбранных отопительных приборов, арматуры и оборудования, в зависимости от расчетной температуры теплоносителя.

В зданиях, включающих отдельные помещения (площадью 5% и менее общей площади отапливаемых помещений здания) иного назначения (например, пункт бытового обслуживания населения в жилом доме), предусматривают одну общую систему отопления. Крупные помещения или комплексы помещений специального назначения при основном здании (например, бытовые помещения производственного здания, магазин, пристроенный к жилому дому) оборудуют отдельными системами отопления.

Общую систему отопления делят на части для обогрева помещений, различно ориентированных по сторонам горизонта, имеющих различный технологический режим, предназначенных для периодического пребывания и работы людей.

Теплопроводы постоянно действующей системы отопления прокладывают в здании, начиная от распределительного коллектора, отдельно от теплопроводов системы прерывистого отопления и теплопроводов для периодически работающих воздухонагревателей системы воздушного отопления и воздушно-тепловых завес.

В системах водяного и воздушного отопления применяют, как правило, механическое побуждение циркуляции теплоносителя (естественную циркуляцию используют при технико-экономическом обосновании). В системах паро-

вого отопления, в основном, используют насосную перекачку конденсата.

Высоту систем водяного и воздушного отопления ограничивают исходя из допустимого гидростатического давления в элементах систем водяного отопления или понижения температуры нагретого воздуха из-за попутного охлаждения в вертикальных каналах систем воздушного отопления.

7.3. Особенности выбора системы отопления в здании с переменным тепловым режимом

Систему отопления здания для экономии тепловой энергии разделяют на две части: главную, обслуживающую основные помещения с производственными теплопоступлениями в рабочее время, и второстепенную для вспомогательных помещений (санитарных узлов, лестничных клеток, коридоров, складов и т. п.) без теплопоступлений. Главная часть системы отопления может быть выбрана водяной (как и второстепенная) или комбинированной – водо-воздушной.

На главную часть системы отопления возлагается задача путем прерывистой теплоподдачи в течение суток обеспечивать нормальную температуру основных рабочих помещений в рабочее время, осуществлять «натоп» этих помещений перед началом работы и поддерживать минимально допустимую температуру в нерабочее время.

Понижение температуры в нерабочее время допустимо до 5°C в производственных помещениях и до 10°C (при 40%-ной относительной влажности воздуха, имеющего температуру 20°C к концу рабочего времени) в помещениях общественных зданий.

Водяную главную часть системы выбирают для работы в двух режимах: обычном (как для постоянно действующей системы водяного отопления) и форсированном (для «натоп» помещений) с увеличением тепловой мощности путем повышения температуры теплоносителя.

Комбинированную главную часть системы отопления составляют из постоянно действующего *фонового* водяного отопления относительно малой тепловой мощности для частичного обогрева, прежде всего, помещений в углах и на верхнем этаже здания и периодически работающего *догревающего* воздушного отопления, совмещенного с пригочной венти-

ляцией основных помещений в рабочее время.

При проектировании прерывистого отопления производственных и общественных зданий имеют в виду, что экономия тепловой энергии увеличивается:

а) при повышении теплозащиты наружных ограждающих конструкций;

б) при уменьшении теплоустойчивости обслуживаемых помещений;

в) при увеличении тепловой мощности главной части системы (минимально в 1,5 раза) по сравнению с мощностью постоянно действующей системы отопления.

ГЛАВА 8. ТЕПЛОВАЯ МОЩНОСТЬ СИСТЕМЫ ОТОПЛЕНИЯ

8.1. Тепловой баланс помещения

В зданиях, сооружениях и помещениях с **постоянным тепловым режимом** в течение отопительного сезона (см. п. 7.2) для поддержания температуры на заданном уровне сопоставляют теплотери и теплопоступления в расчетном установившемся режиме, когда возможен наибольший дефицит теплоты.

В производственных зданиях при сведении теплового баланса принимают в расчет интервал технологического цикла с минимальными теплопоступлениями. В жилых зданиях учитывают бытовые тепловыделения. В общественных зданиях принимают, что в помещениях отсутствуют люди, нет искусственного освещения и других теплоисточников.

Тепловая мощность отопительной установки помещения $Q_{от}$ для компенсации дефицита теплоты равна:

$$Q_{от} = Q_{пот} - Q_{выд}, \quad (8.1)$$

где $Q_{пот}$ и $Q_{выд}$ — теплотери и тепловыделения в помещении в заданный момент времени.

В производственном здании теплотери могут быть меньше тепловыделений, и отопления не потребуются.

В зданиях, сооружениях и помещениях с **переменным тепловым режимом** (см. п. 7.2) нормируемую температуру поддерживают только в рабочее время средствами отопления и вентиляции, причем в случае дефицита теплоты тепловую мощность отопительной установки определяют по уравнению (8.1).

Для отопления в нерабочее время используют имеющиеся установки, если они обладают достаточной мощностью для поддержания минимально допустимой температуры помещений и «натопы» перед началом работы (см. п. 7.3). При недостаточной тепловой мощности основных отопительных установок или

экономической нецелесообразности их использования проектируют специальные отопительные установки дежурного отопления. Тепловую мощность установок дежурного отопления определяют в соответствии с теплотериями при пониженной температуре помещений в этот период времени с запасом, достаточным для «натопы» помещений перед началом работы (если это не предусмотрено путем использования технологических и приточно-вентиляционных установок).

Теплотери в помещениях в общем виде складываются из теплотерия через ограждающие конструкции $Q_{огр}$, теплотрат на нагревание наружного воздуха, поступающего через открываемые ворота, двери и другие проемы и щели в ограждениях, $Q_{и}$, а также на нагревание поступающих снаружи материалов, оборудования и транспорта $Q_{мат}$. Теплотраты могут также быть при испарении жидкости и других эндотермических технологических процессах $Q_{техн}$, при подаче воздуха для вентиляции с пониженной температурой по сравнению с температурой помещений $Q_{вент}$, т. е.

$$Q_{пот} = Q_{огр} + Q_{и} + Q_{мат} + Q_{техн} + Q_{вент}. \quad (8.2)$$

Тепловыделения в помещениях в общем виде составляются из теплоотдачи людьми $Q_{л}$, теплопроводов и нагревательного технологического оборудования $Q_{об}$, тепловыделений источниками искусственного освещения и работающим электрическим оборудованием $Q_{эл}$, нагретыми материалами и изделиями $Q_{мат}$, теплопоступлений от экзотермических технологических процессов $Q_{техн}$ и солнечной радиации $Q_{с.р.}$, т. е.

$$Q_{выд} = Q_{л} + Q_{об} + Q_{эл} + Q_{мат} + Q_{техн} + Q_{с.р.} \quad (8.3)$$

Принимаются во внимание также тепло-

поступления через ограждающие конструкции из смежных помещений (см. п. 8.2.1).

Тепловой баланс для выявления дефицита или избытка теплоты составляют по явной теплоте (вызывающей изменение температуры воздуха помещения), принимая во внимание в течение расчетного промежутка времени максимальные теплотери (с учетом коэффициента обеспеченности – см. гл. 1) и минимальные устойчивые тепловыделения. При составлении теплового баланса не учитывают выделения скрытой теплоты при конденсации водяного пара воздуха на внутренней поверхности наружных ограждений. Это относится к помещениям бань, прачечных, душевых павильонов, а также к некоторым «мокрым» производственным цехам, когда температура испаряющейся в помещениях воды равна или выше температуры воздуха.

8.2. Теплотери помещения

8.2.1. Теплотери через ограждающие конструкции помещений

Теплотери через ограждающие конструкции помещений $Q_{огр}$, Вт (ккал/ч), складываются из теплотерь через отдельные ограждения или их части площадью A , м²,

$$Q_{огр} = kA(t_n - t_x)n(1 + \Sigma\beta), \quad (8.4)$$

где k – коэффициент теплопередачи ограждения, Вт/(м²·К) [ккал/(ч·м²·°С)], равный

$$k = 1/R_{о, пр}; \quad (8.5)$$

$R_{о, пр}$ – приведенное сопротивление теплопередаче ограждения, К·м²/Вт [°С·м²·ч/ккал] (см. гл. 2); t_n – температура помещения, °С (см. гл. 1); при расчетах теплотерь в условиях конвективного отопления выбирают $t_n = t_a$, приведенной в главах СНиП для рабочей или обслуживаемой зоны помещения высотой до 4 м.

При расчетах теплотерь производственного помещения высотой более 4 м принимают: для пола и вертикальных ограждений высотой до 4 м от поверхности пола – нормируемую температуру в рабочей зоне t_a ; для стен и световых проемов, расположенных выше 4 м – среднюю температуру по высоте помещения $t_{ср} = 0,5(t_a + t_{в,з})$; для покрытия и световых фонарей – температуру воздуха в верхней зоне $t_{в,з} = t_a + \Delta t(h_n - 2)$, причем в помещении высотой h_n , м, без значительных тепловыделений $\Delta t = 0,3 - 0,7$ °С/м, со значительными тепловыделениями $\Delta t = 0,7 - 2,0$ °С/м; t_x – расчетная температура наружного воздуха для проектирования отопления, °С; выбирается в соответствии с указаниями в гл. 1; n – коэффициент уменьшения расчетной разности температуры ($t_n - t_x$); принимается по данным в гл. 5; для бесчердачных покрытий с

вентилируемой воздушной прослойкой принимают как для зданий с чердаками, рассматривая конструкцию над воздушной прослойкой как кровлю; β – коэффициент, учитывающий добавочные теплотери сверх основных теплотерь через ограждения (в долях основных теплотерь).

В случаях, не предусмотренных нормами, при расчете теплотерь через ограждения, отделяющие отапливаемые помещения от неотапливаемых, исходят из температуры воздуха в неотапливаемом помещении t_x °С, определяемой по формуле

$$t_x = \frac{\Sigma(kAt)_{вн} + \Sigma(kAt)_т + \Sigma(kA)_{нар}t_n}{\Sigma(kA)_{вн} + \Sigma(kA)_т + \Sigma(kA)_{нар}}, \quad (8.6)$$

где $(kA)_{вн}$, $(kA)_т$, $(kA)_{нар}$ – произведение коэффициента теплопередачи на площадь соответственно внутреннего ограждения, теплопровода или наружного ограждения для неотапливаемого помещения, в котором рассчитывают температуру t_x ; t_n – температура теплоносителя в теплопроводе.

Определив температуру t_x , подставляют в формулу (8.4) разность температуры ($t_n - t_x$) вместо произведения ($t_n - t_x$) n . Это относится, например, к перекрытиям над неотапливаемыми подвалами и техническими подпольями, в которых размещены теплопроводы, или к случаю, когда наружные стены этих помещений выступают более чем на 1 м над поверхностью земли.

Теплотери через внутренние ограждения (небольшой площади) в прилегающие помещения, имеющие пониженную температуру воздуха, допустимо не учитывать при разности температуры 3°С и менее. Рассчитанные теплотери в прилегающие помещения вычитаются из теплотерь этих помещений (если они отапливаются), как теплотоступления.

Пример 8.1. Определить теплотери через внутреннюю стену площадью 15 м² отапливаемого помещения ($t_n = 20$ °С), если эта стена, обладающая сопротивлением теплопередаче 0,69 К·м²/Вт, граничит с неотапливаемым помещением, наружные ограждения которого площадью 40 м² имеют средний коэффициент теплопередачи 1,16 Вт/(м²·К), а $t_x = -30$ °С.

Коэффициент теплопередачи внутренней стены по формуле (8.5) $k_{в,с} = 1:0,69 = 1,45$ Вт/(м²·К).

Температура воздуха в неотапливаемом помещении по формуле (8.6)

$$t_x = \frac{1,45 \cdot 15 \cdot 20 + 1,16 \cdot 40 \cdot (-30)}{1,45 \cdot 15 + 1,16 \cdot 40} = -14^\circ\text{C}.$$

Теплотери через внутреннюю стену по формуле (8.4) при $\beta = 0$:

$$Q_{в.с} = 1,45 \cdot 15 [20 - (-14)] = 740 \text{ Вт (636 ккал/ч).}$$

Площадь наружных и внутренних ограждений при расчете теплопотерь помещений вычисляют (с точностью до 0,1 м²), соблюдая правила обмера ограждений по планам и разрезам здания. Эти правила учитывают сложность теплопередачи на границах ограждений, предусматривая условное увеличение или уменьшение площадей для соответствия фактическим теплопотерям.

Для определения площади наружных стен (сокращенное обозначение — н.с.) измеряют (с точностью до 0,1 м):

по планам — длину стен угловых помещений по внешней поверхности от наружных углов до осей внутренних стен, неугловых помещений — между осями внутренних стен;

по разрезам — высоту стен на первом этаже (в зависимости от конструкции пола) от внешней поверхности пола, расположенного непосредственно на грунте, или от нижнего уровня подготовки под конструкцию пола на лагах, или от нижней поверхности перекрытия над холодным пространством (подпольем, подвалом, проездом) до уровня чистого пола второго этажа; на средних этажах — от поверхности пола одного этажа до поверхности пола вышележащего; на верхнем этаже — от поверхности пола до верха конструкции чердачного перекрытия или бесчердачного покрытия (в месте пересечения с внутренней поверхностью наружной стены).

Для вычисления площади внутренних стен (в.с) измеряют:

по планам — длину стен от внутренней поверхности наружных стен до осей внутренних стен или между осями внутренних стен;

по разрезам — высоту стен от поверхности пола до поверхности потолка.

Площадь окон [сокращенное обозначение двойного окна (д.о)], дверей (д), ворот (в) и световых фонарей (ф) определяют по наименьшим размерам строительных проемов.

Площадь потолков (пт) и полов над холодным пространством (пл) измеряют между осями внутренних стен и внутренней поверхностью наружных стен. В этих же пределах вычисляют площадь четырех условных зон полов, расположенных непосредственно на грунте или на лагах, причем при определении общей площади первой зоны участок пола размером

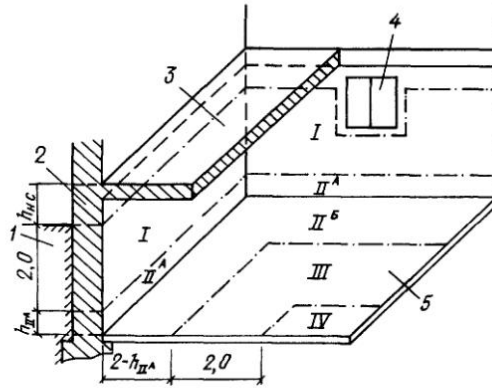


Рис. 8.1. Разбивка заглубленных частей наружных стен и пола углового подвального помещения на I–IV расчетные зоны
1 — земля; 2 — наружная стена; 3 — перекрытие; 4 — окно; 5 — пол

2,0 · 2,0 м, примыкающий к наружному углу, учитывается дважды.

При расчете теплопотерь подвальных помещений за высоту надземной части наружных стен принимают расстояние от поверхности земли до поверхности пола первого этажа. Подземные части наружных стен рассматривают как полы на грунте. Разбивку на зоны (полосы шириной 2,0 м) начинают от уровня земли, продолжают вниз по внутренней поверхности до стыка подземной части стены с полом и далее по поверхности пола (рис. 8.1). При этом из площади первой зоны исключают для отдельного расчета площадь наружных стен и окон, выходящих в прямую.

Коэффициент теплопередачи в каждой зоне (или ее части у стыка стены и пола — см. рис. 8.1) определяют по формуле (8.5), принимая за величину $R_{о.пр}$ сопротивление теплопередаче:

а) *неутепленного пола на грунте* [теплопроводность слоев $\lambda \geq 1,2$ Вт/(м · К) или 1,0 ккал/(ч · м · °С)] — для полосы, ближайшей к наружным стенам (I зона) $R_{н.н}^I = 2,1$ (2,5); для следующей полосы (II зона) $R_{н.н}^{II} = 4,3$ (5,0); для третьей полосы (III зона) $R_{н.н}^{III} = 8,6$ (10,0); для остальной площади пола в глубине помещений (IV зона) $R_{н.н}^{IV} = 14,2$ К · м²/Вт (16,5°С · м² × ч/ккал);

б) *утепленного пола на грунте* [теплопроводность слоев $\lambda < 1,2$ Вт/(м · К) или 1,0 ккал/(ч · м · °С)] — для каждой из четырех зон R_n по формуле

$$R_n = R_{н.н} + \Sigma(\delta_{\gamma} \cdot \lambda_{\gamma.с}), \quad (8.7)$$

где $\delta_{y, c}$ и $\lambda_{y, c}$ – толщина и теплопроводность материала каждого утепляющего слоя,

в) *утепленного пола на лагах* – для каждой из четырех зон R_n по формуле

$$R_n = 1,18 [R_{n, n} + \Sigma(\delta_{y, c} / \lambda_{y, c})]. \quad (8.8)$$

Добавочные теплотери через ограждающие конструкции помещений, зданий и сооружений определяют в долях от основных теплотер, рассчитанных по формуле (8.4) при $\beta = 0$.

Добавка на ориентацию ограждений по сторонам горизонта – принимают для всех наружных вертикальных и наклонных (в проекции на вертикаль) ограждений, обращенных на север, восток, северо-восток и северо-запад в размере 0,10, на запад и юго-восток – 0,05 основных теплотер через эти ограждения (в типовых проектах – 0,08).

Добавка в угловых помещениях общественных зданий, административно-бытовых и производственных зданий и сооружений (имеющих две и более наружных стен) – принимают для вертикальных ограждений (наружные стены, окна и двери) в размере 0,05 основных теплотер (в угловых помещениях жилых и тому подобных зданий повышают расчетную температуру внутреннего воздуха на 2°C и добавку 0,05 не вводят).

Добавка на поступление холодного воздуха через входы в здания и сооружения, не оборудованные воздушными или воздушно-тепловыми завесами, – принимают при высоте здания H , м, в размере: для одинарных дверей 0,22 H , для двойных дверей с тамбуром между ними 0,27 H (без тамбура 0,34 H), при наличии двух тамбуров между тройными дверями 0,2 H от основных теплотер через эти двери. Для наружных ворот – в размере 3,0 при отсутствии тамбура и в размере 1,0 при наличии тамбура. Добавочные теплотери не учитывают для запасных или летних дверей и ворот (например, для балконных дверей).

Добавка на высоту помещений жилых, общественных и вспомогательных зданий. Суммарные теплотери через все ограждения (включая прочие дополнительные теплотери) высоких помещений увеличивают на 0,02 на каждый 1 м высоты сверх 4 м (общая добавка не должна превышать 0,15). Добавка на высоту для лестничных клеток не делают.

Добавка на проветривание холодного подполья зданий в районах вечной мерзлоты при $t_n \leq -40^\circ\text{C}$ – принимают в размере 0,05 основ-

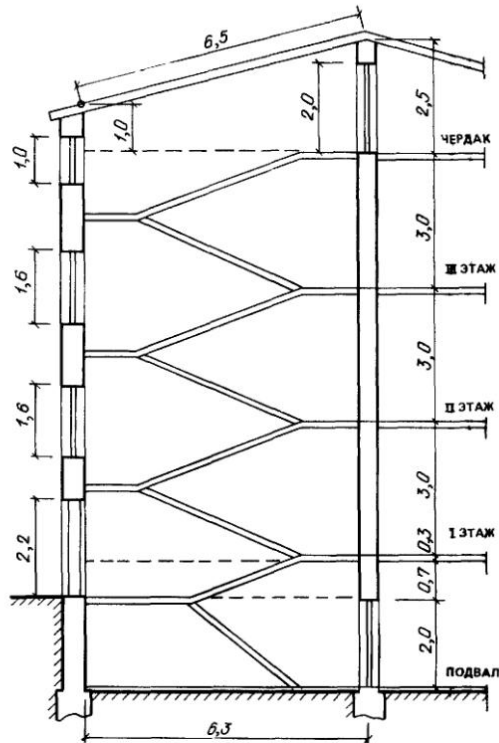


Рис. 8.2. Разрез жилого здания по лестничной клетке (к примеру 8.2)

ных теплотер через полы помещений на первом этаже зданий.

При расчете теплотер используют специальную форму (табл. 8.1) и вычисляют их с округлением до 5–10 Вт (5–10 ккал/ч).

Пример 8.2. Определить теплотери через наружные и внутренние ограждения лестничной клетки трехэтажного жилого здания, обращенной на север и выходящей к неотопливаемому подвальному (без окон) и чердачному (с кровлей из рулонных материалов) помещениям (рис. 8.2), если ширина ограждений составляет: 3,2 м наружной стены (между осями внутренних стен); 1,2 м двойных окон с раздельными переплетами; 1,6 м наружных двойных дверей с тамбуром; 0,8 м внутренних одинарных дверей. Коэффициент теплопередачи ограждений: наружной стены 1,05, бесчердачного покрытия 0,81, внутренних стен в подвале 1,28 и на чердаке 1,44 Вт/($\text{м}^2 \cdot \text{K}$); термическое сопротивление слоев наружной стены, прилегающей к грунту, 0,73; расчетная температура: $t_n = 18^\circ\text{C}$, $t_n = -24^\circ\text{C}$.

ТАБЛИЦА 8.1
РАСЧЕТ ТЕПЛОПOTЕРЬ ЧЕРЕЗ ОГРАЖДЕНИЯ ЛЕСТНИЧНОЙ КЛЕТКИ ЖИЛОГО ЗДАНИЯ

наименование, сторона горизонта	Характеристика ограждения			Расчетная температура $(t_n - t_a)_{п}$, °С	Основные теплопотери Q_o , Вт	Добавки β		Коэффициент добавочных теплопотерь $1 + \Sigma\beta$	Теплопотери через ограждение $Q_{огр}$, Вт
	число и размеры ограждений, м	площадь A , м ²	коэффициент теплопередачи k , Вт/(м ² ·К)			на ориентацию ограждения	прочие		
Н.с.с	(3,2·11,0) – (1,6·2,2)	31,7	1,05	42	1400	0,10	—	1,1	1540
Д.о.-с	2(1,2·1,6) + (1,2·1,0)	5,0	3,15–1,05	42	440	0,10	—	1,1	485
Д.д.-с	1,6·2,2	3,5	2,30	42	340	0,10	2,40	3,5	1190
В.с. подв.	2(6,3·2,7) + (3,2·2,7)	42,7	1,28	42·0,6	1380	—	—	—	1380
В.д. »	0,8·2,0	1,6	2,9–1,28	42·0,6	65	—	—	—	65
В.с. черд.	2(6,3·1,75) + (3,2·2,5)	30,1	1,44	42·0,9	1640	—	—	—	1640
В.д. »	0,8·2,0	1,6	2,9–1,44	42·0,9	90	—	—	—	90
Пг-с	3,2·6,5	20,8	0,81	42	710	0,10·0,25	—	1,025	730
Пл I	3,2·2,0	6,4	0,35	42	95	—	—	—	95
Пл II	3,2·2,0	6,4	0,23	42	60	—	—	—	60
Пл-III	3,2·2,0	6,4	0,12	42	30	—	—	—	30
Пл-IV	3,2·2,3	7,4	0,07	42	20	—	—	—	20

7325

(6300 ккал/ч)

Примечания: 1. Для окон и внутренних стен указана суммарная площадь трех ограждений.

2. Коэффициент теплопередачи наружных и внутренних дверей принят по данным гл. 5.

3. Расчетный коэффициент теплопередачи окон и внутренних дверей определен как разность между их действительным значением и коэффициентом теплопередачи стен, так как площадь окон и внутренних дверей не вычитается из площади стен.

4. Теплопотери через наружную дверь определены отдельно (из площади наружной стены в этом случае исключена площадь двери 3,5 м², как как добавки на дополнительные теплопотери для наружной стены и двери разные).

5. Коэффициент теплопередачи для утепленного пола в зоне I вычислен по формулам (8.5) и (8.7): $k_n^I = 1/(2,1 + 0,73) = 0,35$ Вт/(м²·К).

Теплопотери через отдельные ограждения рассчитаны по формуле (8.4). Результаты расчета сведены в табл. 8.1.

Перед расчетом теплопотерь помещения на плане каждого этажа нумеруют слева направо по ходу часовой стрелки, начиная нумерацию подвальных помещений с № 01, помещений первого этажа с № 101, второго – с № 201 и т. д., вводя номера и наименование помещений в форму табл. 8.1.

Теплопотери суммируют для всех помещений каждого этажа и для здания в целом, включая теплопотери лестничных клеток. Лестничные клетки нумеруют буквами А, Б и т. д. и определяют теплопотери не по отдельным этажам, а сразу по всей высоте клеток (как в примере 8.2).

В жилых и общественных зданиях общие теплопотери через наружные ограждения ограничены нормами. Так, средние по жилому зданию величины теплопотерь не должны превышать через вертикальные ограждения с учетом световых проемов 70 (60), через покрытия 35

(30) и через цокольные перекрытия 17,5 Вт/м² [15 ккал/(ч·м²)].

8.2.2. Теплопотери на нагревание воздуха

Теплопотери Q_n на нагревание инфильтрующегося наружного воздуха в помещение определяют по формуле

$$Q_n = (kG_o A_o + 0,7\Sigma GA) c(t_a - t_n), \quad (8.9)$$

где k – коэффициент учета нагревания инфильтрующегося воздуха в межстекольном пространстве окон и балконных дверей ($k = 0,7$ при тройных переплетах, $0,8$ при отдельных и $1,0$ при спаренных переплетах и при одинарных окнах, дверях и воротах); A_o , A – расчетная площадь соответственно окон (и балконных дверей) и других наружных ограждений, м²; c – удельная массовая теплоемкость воздуха [1005 Дж/(кг·К) или 0,24 ккал/(кг·°С)]; t_n – расчетная температура наружного воздуха для проектирования отопления (см. гл. 1); G_o , G – количество воздуха, поступающего путем инфильтрации через 1 м² площади соответствен-

но окон (и балконных дверей) и других наружных ограждений, $\text{кг}/(\text{с} \cdot \text{м}^2)$ или $\text{кг}/(\text{ч} \cdot \text{м}^2)$; определяют по данным гл. 6.

Пример 8.3. Определить теплотраты на нагревание воздуха, инфильтрующегося через окно с раздельными переплетами площадью $3,5 \text{ м}^2$ и оштукатуренную кирпичную стену площадью 6 м^2 , расположенные на нижнем и верхнем этажах жилого здания высотой 30 м при $t_{\text{в}} = 18^\circ\text{C}$, $t_{\text{н}} = -25^\circ\text{C}$, если количество воздуха, поступающего на нижнем этаже: через окно $-10,6$; через стену $-0,33$; на верхнем этаже: через окно $-6,4$; через стену $-0,15 \text{ кг}/(\text{ч} \cdot \text{м}^2)$.

Теплотраты на нагревание инфильтрующегося воздуха по формуле (8,9) равны:

в нижнем этаже

$$Q_{\text{н}} = (0,8 \cdot 10,6 \cdot 3,5 + 0,7 \cdot 0,33 \cdot 6,0) 1005 \times [18 - (-25)] : 3600 = 373 \text{ Вт (321 ккал/ч)}$$

в верхнем этаже

$$Q_{\text{н}} = (0,8 \cdot 6,4 \cdot 3,5 + 0,7 \cdot 0,15 \cdot 6,0) 1005 \times 43 : 3600 = 223 \text{ Вт (191 ккал/ч)}$$

Видно, что поступление наружного воздуха в помещения зданий, в основном, происходит через окна; инфильтрацией воздуха через оштукатуренные кирпичные и крупнопанельные стены практически можно пренебречь. Теплотери на нагревание инфильтрующегося воздуха можно рассчитывать только для помещений на нижнем и верхнем этажах, а для помещений на промежуточных этажах определять путем интерполяции в зависимости от расположения верха окон.

Для помещений производственных зданий, если не делать специальных расчетов, теплотери на нагревание инфильтрующегося воздуха допускается принимать равными 30% основных теплотер через ограждения (но не менее, чем это требуется для нагревания воздуха, поступающего вследствие дебаланса объемов воздуха приточно-вытяжной механической вентиляции).

Для жилых комнат и кухонь площадью $A_{\text{н}}$, м^2 , в жилых зданиях теплотери на нагревание инфильтрующегося воздуха, поступающего вследствие естественной вытяжки, не компенсируемой подогретым приточным воздухом, дополнительно определяют по формуле

$$Q_{\text{н}} = L_1 \rho_{\text{в}} c (t_{\text{в}} - t_{\text{н}}) A_{\text{н}}, \quad (8.10)$$

где $L_1 = 3 \text{ м}^3/(\text{ч} \cdot \text{м}^2)$ — нормативный воздухообмен, отнесенный к 1 м^2 пола комнат, который должен быть

обеспечен при расчетной температуре наружного воздуха $t_{\text{н}}$. После расчетов принимают большее из значений, полученных по формулам (8,9) и (8,10).

Пример 8.4. Определить теплотраты на нагревание воздуха, инфильтрующегося в жилую комнату площадью 7 м^2 в объеме нормативного воздухообмена, установленного для жилых зданий, при $t_{\text{н}} = -25^\circ\text{C}$.

По формуле (8,10) найдем

$$Q_{\text{н}} = 3 \cdot 1,2 \cdot 1005 [18 - (-25)] \cdot 7 : 3600 = 303 \text{ Вт (260 ккал/ч)}$$

При сравнении этой величины с результатами расчетов в примере 8,3 получим, что для комнат, находящихся в нижней половине рассматриваемого жилого здания, следует принять переменные значения (371 Вт и ниже) теплотери на нагревание инфильтрующегося воздуха, вычисленные по формуле (8,9). Для комнат, находящихся в верхней половине здания, теплотери, найденные по формуле (8,10), превышают теплотери, определенные по формуле (8,9). Следовательно, для этих комнат теплотери на нагревание инфильтрующегося воздуха необходимо считать постоянными и равными 303 Вт.

Для входных дверей и ворот с воздушно-тепловыми завесами (действующими в рабочее время) количество воздуха, инфильтрующегося в нерабочее время через щели по их периметру, $G_{\text{щ}}$, $\text{кг}/\text{с}$, практически можно определить по формуле

$$\left. \begin{aligned} G_{\text{щ}} &= A_{\text{щ}} (2\rho_{\text{н}} \Delta p / \Sigma \zeta)^{0,5}; \\ [G_{\text{щ}} &= A_{\text{щ}} (2g\gamma_{\text{н}} \Delta p / \Sigma \zeta)^{0,5}], \end{aligned} \right\} \quad (8.11)$$

где $A_{\text{щ}} = bl$ — площадь щелей шириной b , м , и общей длиной l , м , $\rho_{\text{н}}$ — плотность наружного воздуха ($\gamma_{\text{н}}$ — объемная масса), $\text{кг}/\text{м}^3$, Δp — разность давления воздуха снаружи и внутри помещения, Па ($\text{кгс}/\text{м}^2$) (см гл. 6); $\Sigma \zeta$ — сумма коэффициентов местного сопротивления щелей (вход и выход воздуха из щелей округлено можно оценить $\Sigma \zeta = 2,0$; ширину щелей — в дверях 2 мм , в воротах 5 мм).

Теплотери на нагревание этого количества воздуха рассчитывают по формуле, аналогичной формуле (8,9).

Пример 8.5. Определить количество наружного воздуха, поступающего в здание ($t_{\text{н}} = -25^\circ\text{C}$) через закрытые входные двойные качающиеся двустворчатые двери размером $1,6 \times 2,5 \text{ м}$ с тамбуром между ними, если разность давления воздуха $\Delta p = 53 \text{ Па}$, а ширина щелей 2 мм (между створками — щель двойной ширины)

По формуле (8,11) определяем

$$G_{\text{ш}} = 0,002 \cdot 13,2 \sqrt{2 \cdot 1,42 \cdot 53 : 4,0} = 0,16 \text{ кг/с.}$$

Для нагревания такого количества воздуха до $+16^\circ\text{C}$ потребуется отопительная установка тепловой мощностью $0,8 \cdot 0,16 \cdot 1005(16 + 25) = 5274 \text{ Вт}$ (4535 ккал/ч).

На основании примера 8.5 можно сделать вывод, что для экономии тепловой энергии входные двери в лестничные клетки многоэтажных зданий следует делать уплотненными (с притворами «в четверть»). Тогда дополнительные теплопотери на нагревание поступающего воздуха через двери можно вычислять как указано в п. 8.2.1.

Для ворот без тамбуров, шлюзов или воздушных завес, открываемых в течение смены в общей сложности не более чем на 15 мин, теплопотери на нагревание поступающего наружного воздуха допустимо учитывать путем введения коэффициента $\beta = 3,0$ к основным теплопотерям через ворота [см. формулу (8.4)].

Для окон лестничных клеток многоэтажных зданий теплопотери на нагревание инфильтрующегося воздуха определяют с учетом различной разности давления воздуха на уровне расположения верха окон по высоте зданий.

Пример 8.6. Определить теплопотери на нагревание инфильтрующегося воздуха через окна лестничной клетки трехэтажного жилого здания по условиям примера 8.2, считая, что в окнах уплотнен один притвор из двух, верх каждого окна находится на уровне верха междуэтажного перекрытия (см. рис. 8.2), при $v_{\text{вст}} = 4,4 \text{ м/с}$ и $p_{\text{вн}} = 0,5(\Delta p_{\text{г, макс}} + \Delta p_{\text{в}}) = 19,6 \text{ Па}$.

Теплопотери рассчитаны по формуле (8.9) без учета инфильтрации воздуха через стены. Результаты расчета сведены в табл. 8.2.

РАСЧЕТ ТЕПЛОПТЕРЬ НА НАГРЕВАНИЕ НАРУЖНОГО ВОЗДУХА, ИНФИЛЬТРУЮЩЕГОСЯ ЧЕРЕЗ ОКНА ЛЕСТНИЧНОЙ КЛЕТКИ ЖИЛОГО ЗДАНИЯ

Размеры окна $b_0 \times h_0$, м	Расстояние от поверхности земли h , м	Разность $H-h$, м	Разность давления, Па				Количество воздуха G_0 , кг/(ч \times м ²)	Теплопотери $Q_{\text{в}}$, Вт
			гравитационного $\Delta p_{\text{г}}$	ветрового $\Delta p_{\text{в}}$	общая $\Delta p_{\text{общ}}$	расчетная $\Delta p_{\text{расч}}$		
1,2 \times 1,6	4	9	18,5	12,4	30,9	11,3	3,8	68
1,2 \times 1,6	7	6	12,4	12,4	24,8	5,2	2,3	41
1,2 \times 1,0	10	3	6,2	12,4	18,6	-1,0	—	—

109

(94 ккал/ч)

Теплопотери на нагревание приточного вентиляционного воздуха $Q_{\text{вент}}$, подаваемого в помещение в количестве $G_{\text{пр}}$, кг/с (кг/ч), рассчитывают по формуле

$$Q_{\text{вент}} = G_{\text{пр}} c(t_{\text{в}} - t_{\text{пр}}); \quad (8.12)$$

где $t_{\text{пр}}$ — температура приточного воздуха, $^\circ\text{C}$.

8.2.3. Теплопотери на нагревание материалов

Теплопотери на нагревание поступившей в помещение партии материалов, изделий, одежды, транспортных средств массой $G_{\text{м}}$, кг, в течение заданного интервала времени определяют по формуле

$$Q_{\text{мат}} = G_{\text{м}} c(t_{\text{в}} - t_{\text{м}}) B, \quad (8.13)$$

где c — удельная массовая теплоемкость материала, Дж/(кг \cdot К) [ккал/(кг \cdot $^\circ\text{C}$)]; среди распространенных материалов теплоемкость меди 420 (0,10), стали и чугуна 480 (0,115), большинства строительных материалов 840–880 (0,20–0,21), верхней шерстяной одежды 1590 (0,38), изделий из дерева 2300 (0,55), воды 4187 Дж/(кг \cdot К) [1,0 ккал/(кг \cdot $^\circ\text{C}$)]; $t_{\text{м}}$ — температура поступившего материала, $^\circ\text{C}$; B — поправочный коэффициент, выражающий среднее уменьшение полной разности температуры $(t_{\text{в}} - t_{\text{м}})$ во всем объеме материала за интервал времени с начала нагревания в помещении (табл. 8.3).

ТАБЛИЦА 8.3
ПОПРАВОЧНЫЙ КОЭФФИЦИЕНТ B [К ФОРМУЛЕ (8.13)]

Продолжительность нахождения в помещении материала, изделий, одежды и транспортных средств	Значения коэффициента B		
	для несylучных материалов и транспорта	для сыпучих материалов	для одежды
Для первого часа	0,5	0,4	0,35
» второго »	0,3	0,25	0,2
» третьего »	0,2	0,15	0,12

ТАБЛИЦА 8.2

РАСЧЕТ ТЕПЛОПТЕРЬ НА НАГРЕВАНИЕ НАРУЖНОГО ВОЗДУХА, ИНФИЛЬТРУЮЩЕГОСЯ ЧЕРЕЗ ОКНА ЛЕСТНИЧНОЙ КЛЕТКИ ЖИЛОГО ЗДАНИЯ

Размеры окна $b_0 \times h_0$, м	Расстояние от поверхности земли h , м	Разность $H-h$, м	Разность давления, Па				Количество воздуха G_0 , кг/(ч \times м ²)	Теплопотери $Q_{\text{в}}$, Вт
			гравитационного $\Delta p_{\text{г}}$	ветрового $\Delta p_{\text{в}}$	общая $\Delta p_{\text{общ}}$	расчетная $\Delta p_{\text{расч}}$		
1,2 \times 1,6	4	9	18,5	12,4	30,9	11,3	3,8	68
1,2 \times 1,6	7	6	12,4	12,4	24,8	5,2	2,3	41
1,2 \times 1,0	10	3	6,2	12,4	18,6	-1,0	—	—

Температуру материала, поступающего из одного помещения в другое, принимают по данным технологического проекта. Температуру изделий и материала, поступающих снаружи, принимают: для металла — равной расчетной температуре наружного воздуха $t_{\text{н}}$ для проектирования отопления; для других несylуч-

чих материалов – на 10°C выше t_n ; для сыпучих материалов (песок, руда, уголь и пр.), а также волокон и одежды – на 15°C выше t_n .

Собственную массу транспортных средств принимают по соответствующим справочникам. Собственная масса современных автомобилей, приходящаяся на 1 кВт мощности двигателя, составляет для легковых автомобилей 20–22, грузовых автомобилей, самосвалов, автобусов 55–65 кг.

Теплопоглощение холодными поверхностями труб и оборудования определяют по формуле (8.15), подставляя в нее разность температуры ($t_n - t_{\text{пов}}$).

8.3. Теплопоступления в помещении

При расчете мощности отопительной установки в тепловой баланс помещения вводят (см. п. 8.1) явные (излучением и конвекцией) **тепловыделения людей** $Q_{\text{л}}$, учитывая интенсивность выполненной работы и теплозащитные свойства одежды. Явную теплоотдачу взрослым человеком (мужчиной) $Q_{\text{чел}}$, Вт (ккал/ч), определяют по формуле

$$\left. \begin{aligned} Q_{\text{чел}} &= \beta_n \beta_{\text{од}} (2,5 + 10,36 \sqrt{v_n}) (35 - t_n) \\ [Q_{\text{чел}} &= \beta_n \beta_{\text{од}} (2,16 + 8,87 \sqrt{v_n}) (35 - t_n)], \end{aligned} \right\} \quad (8.14)$$

где β_n – коэффициент учета интенсивности работы, равный 1,0 для легкой работы, 1,07 для работы средней тяжести и 1,15 для тяжелой работы; $\beta_{\text{од}}$ – коэффициент учета теплозащитных свойств одежды, равный 1,0 для легкой одежды, 0,65 для обычной одежды и 0,40 для утепленной одежды; t_n и v_n – температура, $^{\circ}\text{C}$, и скорость движения воздуха в помещении, м/с.

Теплоотдачу человеком без учета v_n можно определить по табл. 2.2 справочника проектировщика, ч. III, Вентиляция. Принято считать, что **тепловыделения женщин** составляют 85%, а детей в среднем 75% тепловыделений мужчин.

Теплопоступления в помещение от **нагретого оборудования** $Q_{\text{об}}$ определяют по данным технологического проекта или высчитывают теплоотдачу от нагретой поверхности $Q_{\text{пов}}$, если заданы площадь $A_{\text{пов}}$, м^2 , и температура поверхности $t_{\text{пов}}$, $^{\circ}\text{C}$, оборудования и коммуникаций:

$$Q_{\text{пов}} = \alpha_{\text{пов}} (t_{\text{пов}} - t_n) A_{\text{пов}}, \quad (8.15)$$

где $\alpha_{\text{пов}}$ – общий (полный) коэффициент лучисто-конвективного теплообмена на нагретой поверхности,

Вт/($\text{м}^2 \cdot \text{K}$) [$\text{ккал}/\text{ч} \cdot \text{м}^2 \cdot ^{\circ}\text{C}$]; определяют по формулам в гл. 2. Удельная теплоотдача, Вт/ м^2 , поверхности (коэффициент излучения 0,5), нагретой до 30°C составляет 29/33; до 50°C – 200/230; до 100°C – 790/930 (в числителе – вертикальной, в знаменателе – горизонтальной поверхности).

При **искусственном освещении** и работающем **электрическом производственном оборудовании** тепловыделения $Q_{\text{э}}$, Вт (ккал/ч), составляют

$$Q_{\text{э}} = kN \quad (Q_{\text{э}} = 0,86 kN), \quad (8.16)$$

где k – общий коэффициент, учитывающий фактическое использование мощности ($k = 0,7 - 0,9$), загрузку ($k = 0,5 - 0,8$) и одновременность работы ($k = 0,5 - 1,0$) нескольких приборов или оборудования и долю перехода электрической энергии в тепловую, которая поступает в помещение (принимают от 0,15 до 0,95 по проекту технологии); при светильниках в помещении $k = 1,0$, светильниках, встроенных в перекрытие помещения, $k = 0,40$; N – мощность осветительных приборов или силового оборудования, Вт.

Бытовые тепловыделения $Q_{\text{быт}}$, Вт (ккал/ч), в жилых квартирах вычисляют по формуле

$$Q_{\text{быт}} = q_1 A_{\text{п}}, \quad (8.17)$$

где q_1 – теплопоступления на 1 м^2 площади пола, Вт/ м^2 [$\text{ккал}/(\text{ч} \cdot \text{м}^2)$]; принимают по данным главы СНиП 2.04.05–86; $A_{\text{п}}$ – площадь пола жилой комнаты или кухни, м^2 .

Теплопоступления от **нагретых материалов** $Q_{\text{мат}}$ и изделий, а также от горячих газов, выпускаемых в помещение, определяют по формуле (8.13), подставляя в нее разность температуры ($t_{\text{м}} - t_n$).

Теплопоступления от **солнечной радиации** $Q_{\text{с.р}}$ при расчете мощности отопительных установок включают в тепловой баланс в исключительных случаях (в районах с преобладанием зимой солнечной погоды) для помещений со световыми проемами, обращенными на юг. Обычно же эти теплопоступления учитывают при эксплуатации отопительных установок, уменьшая теплоотдачу в помещения для экономии тепловой энергии.

8.4. Расчетная тепловая мощность системы отопления

Тепловая мощность местной системы отопления $Q_{\text{от}}$, Вт (ккал/ч), соответствует тепловой мощности отопительных установок, получаемой по выражению (8.1) при расчетной температуре наружного воздуха для проектирования отопления.

Расчетная тепловая мощность центральной системы отопления превышает суммарную тепловую мощность отопительных установок во всех обслуживаемых помещениях ($Q_{зд}$):

$$Q_{от} = kQ_{зд}, \quad (8.18)$$

где k – повышающий коэффициент для учета:

а) попутной теплопередачи через стенки теплопроводов, проложенных в неотапливаемых помещениях (не более $0,03 Q_{зд}$);

б) дополнительной теплопередачи в помещения, связанной с увеличением площади (по сравнению с расчетной) принимаемых к установке отопительных приборов (см. коэффициент β_1 в гл. 9);

в) дополнительных теплопотерь, связанных с размещением отопительных приборов у наружных ограждений (см. коэффициент β_2 в гл. 9).

Повышающий коэффициент в выражении (8.18) по пунктам «а» и «в» должен быть не более 1,07.

Запас тепловой мощности для «натопки» помещений при прерывистой работе главной части (см. п. 7.3) системы отопления принимают по местным условиям от 1,5 до 3,0 по сравнению с мощностью постоянно действующей системы.

8.5. Теплопотери здания по укрупненным измерителям

Ориентировочное значение теплопотерь через ограждающие конструкции здания определяют при оценке нагрузок тепловых сетей и станций по формуле

$$Q_{зд} = aq V_n (t_n - t_n), \quad (8.19)$$

где a – коэффициент учета района строительства здания;

$$a = 0,54 + 22/(t_n - t_n); \quad (8.20)$$

q – удельная тепловая характеристика здания, Вт/(м³·К) [ккал/(ч·м³·°С)], соответствующая расчетной разности температуры для основных помещений $t_n - t_n = 18 + 30 = 48$ °С (см. 2-е изд. настоящего справочника. – М.: Стройиздат, 1967, кроме гражданских зданий); V_n – объем отапливаемой части здания по внешнему обмеру, м³ (высоту отсчитывают от поверхности земли).

Удельная тепловая характеристика гражданского здания q , Вт/(м³·К), может быть ориентировочно найдена по формуле (без множителя 1,16 при расчете в ккал/ч)

$$q = 1,16 \frac{(1 + 2d)A + S}{V_n}, \quad (8.21)$$

где d – доля остекления стен; A и S – площадь соответственно наружных стен и здания в плане, м².

Для жилых и общественных зданий (новое строительство) значения теплопотерь, отнесенные к 1 м² общей площади, даны в справочнике «Отопление и вентиляция жилых и гражданских зданий»/Г.В. Русланов и др. – Киев: «Будівельник», 1983.

Удельная тепловая характеристика здания любого назначения более точно может быть определена по формуле, предложенной Н.С. Ермолаевым:

$$q = 1,08 \left\{ \frac{P}{S} [k_{н.с} + d(k_{ок} - k_{н.с})] + \frac{1}{h} (0,9 k_{пт} + 0,6 k_{пл}) \right\}, \quad (8.22)$$

где P , S и h – периметр, площадь и высота здания; $k_{н.с}$, $k_{ок}$, $k_{пт}$, $k_{пл}$ – коэффициенты теплопередачи, Вт/(м²·К) [ккал/(ч·м²·°С)], наружных стен, окон, потолка, пола.

ГЛАВА 9. ОТОПИТЕЛЬНЫЕ ПРИБОРЫ

9.1. Виды отопительных приборов

Отопительные приборы систем центрального отопления делятся на радиационные (потолочные отопительные панели), конвективно-радиационные с гладкой поверхностью (радиаторы секционные и панельные, гладкотрубные приборы) и конвективные с ребристой нагревательной поверхностью (конвекторы с кожухом и без кожуха, ребристые трубы).

По высоте отопительные приборы подразделяют на высокие (высотой более 650 мм),

средние (400–650 мм), низкие (200–400 мм) и плитусные (до 200 мм вкл.).

По глубине приборы бывают малой (до 120 мм вкл.), средней (более 120 до 200 мм) и большой глубины (более 200 мм). Конвекторы и другие подобные приборы обладают малой тепловой инерцией, радиаторы и однотипные приборы – большой тепловой инерцией.

Технические характеристики выпускаемых отопительных приборов приведены в прил. X, приборов, снятых с производства – во 2-м и 3-м изданиях настоящего справочника.

9.2. Выбор и размещение отопительных приборов

При выборе вида отопительных приборов следует прежде всего учитывать давление в системе, качество теплоносителя (например, стальные панельные радиаторы могут применяться только в системах водяного отопления с химически подготовленной деаэрированной водой), а также состав воздушной среды помещений (стальные приборы без защитного покрытия нельзя применять при наличии в воздухе помещений веществ, агрессивных по отношению к металлу).

Принимают также во внимание назначение и архитектурно-технологическую планировку здания, особенности теплового режима помещений, места и длительность пребывания на них людей.

При повышенных санитарно-гигиенических, а также противопожарных и взрывных требованиях выбирают приборы с гладкой поверхностью – радиаторы панельные бетонные или стальные и гладкотрубные приборы (при обосновании).

При длительном пребывании людей в обычных условиях применяют приборы конвективно-радиационного и конвективного вида (не более двух видов приборов для всего здания или сооружения). В производственных зданиях чаще используют приборы, обеспечивающие повышенную тепловую плотность по длине (радиаторы секционные, несколько ребристых труб друг над другом); в административно-бытовых зданиях – конвекторы без кожуха; в гражданских – радиаторы и конвекторы с кожухом. В помещениях, предназначенных для кратковременного пребывания людей, предпочтение отдается приборам с высокими технико-экономическими показателями.

Отопительные приборы должны обеспечивать равномерное обогревание помещений. Наиболее равномерно помещения нагревают напольные и потолочные отопительные панели. Вертикальные приборы размещают прежде всего под световыми проемами, причем желательно чтобы под окнами длина приборов составляла не менее 50% длины проемов (как правило, не меньше 75% в больницах, детских дошкольных учреждениях, школах, домах престарелых и инвалидов); под витринами и витражами приборы располагают по всей их длине.

При размещении приборов под окнами вертикальные оси оконного проема и прибора совмещают (допустимо отклонение не более 50 мм). В жилых зданиях, гостиницах, общежитиях, административно-бытовых зданиях приборы могут быть смещены от оси проемов.

Отопительные приборы (при невозможности размещения их под окнами или у наружных стен) могут быть установлены у внутренних стен. Для ориентировки при размещении приборов используются данные о номинальном тепловом потоке и длине приборов (прил. X).

Вертикальные отопительные приборы следует размещать по возможности ближе к полу помещений (минимальное расстояние от низа прибора до поверхности пола 60 мм) (рис. 9.1).

В помещениях высотой более 6 м со световыми проемами наверху часть приборов (от 1/4 до 1/3 общей площади) располагают в верхней зоне (при использовании высоких конвекторов с кожухом достаточно установка их только в рабочей или обслуживаемой зоне помещения).

В лестничных клетках многоэтажных зданий (до 12 этажей) с наружными входами отопительные приборы располагают в нижней их части рядом со входными дверями, применяя высокие конвекторы. В малоэтажных зданиях используют отопительные приборы того же типа, который принят для отопления основных помещений. Эти приборы размещают на первом этаже при входе (а также в подвальной части лестничной клетки, если она имеется); отдельные приборы могут быть перенесены на промежуточную лестничную площадку между первым и вторым этажами.

Установка отопительных приборов во входных тамбурах с наружными дверями недопустима; приборы могут быть помещены во внутренних тамбурах (при тройных входных дверях с двумя тамбурами между ними).

Отопительные приборы размещают так, чтобы были обеспечены их осмотр, очистка и ремонт. Если применяется ограждение (экран) или декорирование приборов, кроме конвекторов с кожухом (по технологическим, противопожарным, противозрывным или архитектурным требованиям), то уменьшение номинального теплового потока укрытых приборов допустимо не более чем на 10% (в жилых зданиях приборы не укрывают).

Присоединение труб к отопительным приборам может быть с одной стороны (одностороннее) и с противоположных сторон (разно-

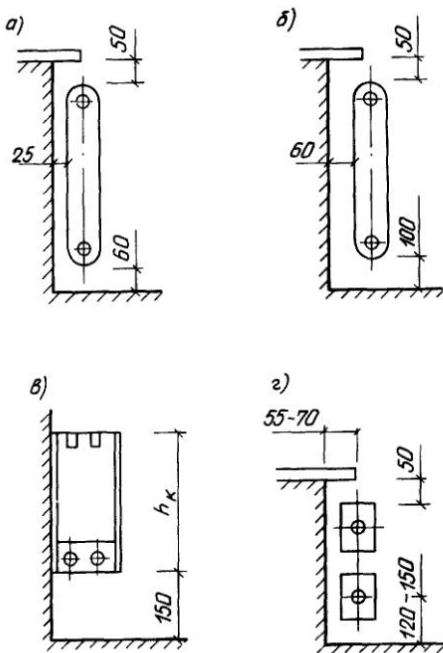


Рис. 9.1. Схемы установки отопительных приборов у пола помещений

a – радиаторов во всех помещениях (кроме перечисленных в п. «б»); *b* – радиаторов в помещениях лечебно-профилактических, санаторно-курортных и детских учреждений; *в* – конвекторов с кожухом (h_k – высота без кожуха) настенного типа; *г* – конвекторов без кожуха плинтусных

стороннее). При разностороннем присоединении возрастает теплопередача приборов, однако конструктивно рациональнее делать одностороннее присоединение труб (разносторонне присоединяют радиаторы при числе секций более 20, а также при числе приборов «на сцепке» более одного).

Тепловой поток вертикальных приборов зависит от расположения мест подачи и отвода из них теплоносителя воды. Теплопередача возрастает при подаче теплоносителя воды в верхнюю часть и отводе воды из нижней части прибора (направление движения сверху – вниз) и понижается при направлении движения снизу – вверх. При установке отопительных приборов в несколько ярусов по высоте (радиаторов, конвекторов, гладких труб или ребристых труб) рекомендуется обеспечивать последовательное движение теплоносителя сверху – вниз (из верхнего яруса в нижние).

9.3. Теплопередача отопительных приборов

Теплопередача отопительного прибора $Q_{пр.д}$, Вт (ккал/ч), пропорциональна тепловому потоку, приведенному к расчетным условиям по его действительной площади нагревательной поверхности

$$Q_{пр.д} = 70 K_{н.у} A \varphi_k = Q_{н.у} \varphi_k, \quad (9.1)$$

где 70 – номинальный температурный напор, °С; $K_{н.у}$ – номинальный условный коэффициент теплопередачи отопительного прибора, Вт/(м²·К) [ккал/(ч·м²·°С)]; A – площадь наружной нагревательной поверхности прибора, м² (см. прил. X). $Q_{н.у}$ – номинальный условный тепловой поток прибора, Вт (ккал/ч), предназначенный для выбора типоразмера прибора*; значения $Q_{н.у}$ приведены в прил. X; φ_k – комплексный коэффициент приведения $Q_{н.у}$ к расчетным условиям, определяемый по формулам: при теплоносителе паре

$$\varphi_k = \left(\frac{\Delta t_n}{70} \right)^{1+n} b. \quad (9.2)$$

Временно до уточнения коэффициент φ_k , полученный по формуле (9.2), следует принимать с поправочным коэффициентом 1,03 для чугунных секционных радиаторов и 1,06 для ребристых труб; при теплоносителе воде

$$\varphi_k = \left(\frac{\Delta t_{cp}}{70} \right)^{1+n} \left(\frac{G_{пр}}{360} \right)^p b \Psi c; \quad (9.3)$$

Δt_n – разность температуры насыщенного пара $t_{нас}$ и температуры окружающего воздуха t_n , °С:

$$\Delta t_n = t_{нас} - t_n; \quad (9.4)$$

Δt_{cp} – разность средней температуры воды t_{cp} в приборе и температуры окружающего воздуха t_n , °С:

$$\Delta t_{cp} = \frac{t_{вх} + t_{вых}}{2} - t_n; \quad (9.5)$$

$t_{вх}$ и $t_{вых}$ – температура воды, входящей в прибор и выходящей из него, °С; $G_{пр}$ – расход воды в приборе, кг/ч (для конвекторов – расход воды в одной трубе конвектора); b – коэффициент учета атмосферного давления в данной местности (табл. 9.1); Ψ – коэффициент учета направления движения теплоносителя воды в приборе снизу – вверх (штуцеры прибора расположены в вертикальной плоскости) (см. табл. 9.11):

$$\Psi = 1 - a(t_{вх} - t_{вых}), \quad (9.6)$$

* С 1957 по 1987 г. расчет и выбор отопительных приборов проводился по площади эквивалентной поверхности (м² эк). См. 3-е изд. настоящего справочника (М.: Стройиздат, 1975)

ТАБЛИЦА 9.1

ЗНАЧЕНИЯ КОЭФФИЦИЕНТА b УЧЕТА РАСЧЕТНОГО АТМОСФЕРНОГО ДАВЛЕНИЯ ДЛЯ ОТОПИТЕЛЬНЫХ ПРИБОРОВ

Тип отопительного прибора	Значения b при атмосферном давлении, гПа (мм рт ст)								
	1040 (780)	1013,3 (760)	1000 (750)	987 (740)	973 (730)	960 (720)	947 (710)	933 (700)	920 (690)
Радиатор панельный стальной однорядный	1,008	1,0	0,996	0,991	0,987	0,982	0,978	0,973	0,968
Радиатор двухрядный и секционный чугунный	1,011	1,0	0,994	0,989	0,983	0,977	0,972	0,966	0,960
Комплекс с кожухом, Труба ребристая, прибор «Коралл»	1,012	1,0	0,994	0,988	0,982	0,976	0,970	0,963	0,957
Конвектор с кожухом	1,015	1,0	0,992	0,983	0,975	0,968	0,961	0,954	0,947

где $a = 0,006$ – для чугунных секционных и стальных панельных радиаторов типа РСВ1, $a = 0,002$ – для конвекторов настенных типа «Универсал», «Аккорд» и прибора «Коралл» в двухрядном исполнении по высоте; для остальных приборов $\Psi = 1$; n, p, c – экспериментальные числовые показатели (табл. 9.2)

ТАБЛИЦА 9.2

ЗНАЧЕНИЯ ПОКАЗАТЕЛЕЙ n, p, c ДЛЯ ОПРЕДЕЛЕНИЯ ТЕПЛОВОГО ПОТОКА ОТОПИТЕЛЬНЫХ ПРИБОРОВ

Тип отопительного прибора	Направление движения теплоносителя	Расход теплоносителя G , кг/ч	n	p	c
Радиатор чугунный секционный и стальной панельный однорядный и двухрядный типа РСВ1	Сверху – вниз	18–50	0,3	0,02	1,039
		54–536 536–900		0	1,0 0,996
	Снизу – вниз	18–115 119–900	0,15	0,08 0	1,092 1,0
	Снизу – вверх	18–61	0,25	0,12	1,113
		65–900		0,04	0,97
Конвектор настенный с кожухом типа «Комфорт-20» и конвектор напольный с кожухом типов «Ритм», «Ритм 1500»	—	36–86	0,35	0,18	1
		90–900		0,07	
Конвектор напольный высокий типа «КВ»	—	36–900	0,25	0,1	1
Конвекторы настенные с кожухом типов «Универсал», «Универсал С»	Любое	36–86	0,3	0,18	1
		90–900		0,07	
Конвектор настенный без кожуха типа «Аккорд» однорядный и двухрядный	Любое	36–900	0,2	0,03	1
Радиатор стальной панельный типа РСГ2 однорядный	Сверху – вниз	22–288	0,3	0,025	1
		324–900		0	
	Снизу – вверх	22–288	0,25	0,08	1
		324–900		0	
То же, двухрядный	Сверху – вниз	22–288	0,3	0,01	1
		324–900		0	

Продолжение табл. 9.2

Тип отопительного прибора	Направление движения теплоносителя	Расход теплоносителя G, кг/ч	n	p	c
То же, двухрядный	Снизу – вверх	22–288	0,25	0,08	1
		324–900		0	
Конвектор отопительный типа «Прогресс 15к»	Любое	36 900	0,2	0,06	1
То же, «Прогресс 20к»	»	36–900	0,14	0,07	1
Труба отопительная чугунная	—	36–900	0,25	0,07	1
Прибор отопительный биметаллический литой типа «Коралл»	—	96 900	0,3	0,04	1
Труба отопительная стальная D _н = 40 – 100	Любое	30–900	0,32	0	1

9.4. Расчетная температура теплоносителя воды в отопительных приборах

Средняя температура воды в отопительном приборе с тепловой нагрузкой Q_п, Вт (ккал/ч), присоединенном к стояку (или горизонтальной ветви):

однотрубной системы отопления

$$t_{cp} = t_r - \Sigma \Delta t_m - \left(\Sigma Q_n + \frac{0,5 Q_n}{\alpha} \right) \times \beta_1 \beta_2 / cG_{ст}; \quad (9.7)$$

двухтрубной системы отопления

$$t_{cp} = 0,5 [t_r - (\Sigma \Delta t_m + \Sigma \Delta t_{п.ст}) + t_o], \quad (9.8)$$

где t_r и t_o – расчетная температура горячей и обратной воды в системе, °С; ΣΔt_м – суммарное понижение температуры воды, °С, на участках подающей магистрали от начала системы до рассматриваемого стояка (или горизонтальной ветви) [см. формулу (10.59)].

Понижение температуры воды на 10 м изолированной подающей магистрали насосной системы отопления ориентировочно составляет:

D _г , мм	25	32	40	50	65–100	125–150
Δt _м , °С	0,40	0,40	0,30	0,20	0,10	

Q_п – тепловая нагрузка прибора за вычетом теплоотдачи транзитных труб [определяемой по формуле (9.13)], проложенных в помещении,

кроме стояка (ветви) и подводок, к которым непосредственно присоединен прибор, Вт (ккал/ч);

ТАБЛИЦА 9.3

ЗНАЧЕНИЯ КОЭФФИЦИЕНТА ЗАТЕКАНИЯ ВОДЫ α В ПРИБОРНЫХ УЗЛАХ С РАДИАТОРАМИ СЕКЦИОННЫМИ И ПАНЕЛЬНЫМИ ТИПА РСВИ

Приборный узел	Присоединение приборов к стояку	Подводка с замыкающим участком	α
С трехходовым краном КРТ	Одностороннее	—	1,0
	Двустороннее	—	0,50
С проходным краном КРП	Одностороннее	Смещенным* Осевым	0,50 0,33
		Двустороннее	Смещенным Осевым

* При подводках с утками для этого узла α = 0,33, для остальных узлов α не изменяется

ТАБЛИЦА 9.4

ЗНАЧЕНИЯ КОЭФФИЦИЕНТА β₁

Шаг номенклатурного ряда отопительных приборов, Вт (ккал/ч)	β ₁
120 (103)	1,02
150 (129)	1,03
180 (155)	1,04
210 (181)	1,06
240 (206)	1,08
300 (258)	1,13

Примечание. Для отопительных приборов помещения с номинальным тепловым потоком более 2,3 кВт (1978 ккал/ч) следует принимать вместо β₁ коэффициент β'₁ = 0,5(1 + β₁)

ТАБЛИЦА 9.5
ЗНАЧЕНИЯ КОЭФФИЦИЕНТА β_2

Отопительный прибор	Значения β_2 при установке прибора	
	у наруж- ной сте- ны, в том числе под све- товым проемом	у осте- кления свето- вого проема
Радиатор		
чугунный секционный	1,02	1,07
стальной панельный	1,04	1,1
Конвектор		
с кожухом	1,02	1,05
без кожуха	1,03	1,07

c – удельная массовая теплоемкость воды, равная 4187 Дж/(кг·К) [1,0 ккал/(кг °С)]; $G_{ст}$ – расход воды в стояке (ветви), кг/ч, по данным гидравлического расчета системы отопления (см гл 10), для стояков (ветвей) однотрубных систем отопления с отопительными приборами, коэффициент местного сопротивления которых зависит от их размера (например, с конвекторами), расход воды определяют дважды: сначала как предварительный (при этом допускается принимать $\Delta t_{ст}$ на 1° меньше расчетной разности температуры теплоносителя в системе отопления) для выбора ориентировочного размера приборов, затем как окончательный для внесения поправок в размер приборов (см. пример 9.5).

В формуле (9.8) $\Sigma \Delta t_{ст}$ – суммарное понижение температуры воды на участках подающего стояка от магистрали до рассчитываемого прибора, °С, вычисляется по формуле

$$\Sigma \Delta t_{ст} = \sum_{i=1}^N \frac{q_{в i} l_{гч i}}{c G_{гч i}} \beta_1 \beta_2, \quad (9.9)$$

где $q_{в i}$ – теплоотдача 1 м вертикальной трубы, Вт/м [ккал/(ч м)], на i -м участке подающего стояка, принимают по табл. П.22 в зависимости от диаметра участка подающего стояка, разности температуры теплоносителя t_i и окружающего воздуха $t_{в}$, $l_{гч i}$ – длина i -го участка подающего стояка, м, $G_{гч i}$ – расход воды, кг/ч, на i -м участке подающего стояка

Величину $\Sigma \Delta t_{ст}$ допускается определять ориентировочно, исходя из средних значений расхода воды и диаметра труб подающего стояка.

Формулу (9.7) применительно к вертикальным однотрубным стоякам в жилых и общественных зданиях заменяют формулой

$$t_{ср} = t_r - \Sigma \Delta t_{ст} - (\Sigma Q_{п} + \Sigma Q'_{тр} + \frac{0,5}{\alpha} \cdot Q_{п}) / c G_{ст}, \quad (9.10)$$

где $\Sigma Q'_{тр}$ – сумма дополнительной теплоотдачи труб и приборов до рассматриваемого помещения, Вт (ккал/ч) (по данным управления Моспроект-1 для одного этажестояка, открыто проложенного, $Q'_{тр} = 115$ Вт (100 ккал/ч), скрытого в борозде наружной стены $Q'_{тр} = 230$ Вт (200 ккал/ч) и изолированного в борозде $Q'_{тр} = 175$ Вт (150 ккал/ч)

9.5. Тепловой расчет приборов

Требуемый номинальный тепловой поток $Q_{н г}$, Вт (ккал/ч), для выбора типоразмера отопительного прибора по прил. X определяют по формуле

$$Q_{н г} = Q_{пр} / \varphi_{к}, \quad (9.11)$$

где $Q_{пр}$ – необходимая теплопередача прибора в рассматриваемое помещение

$$Q_{пр} = Q_{п} - 0,9 Q_{тр}; \quad (9.12)$$

$Q_{тр}$ – теплоотдача открыто проложенных в пределах помещения труб стояка (ветви) и подводов, к которым непосредственно присоединен прибор,

$$Q_{тр} = q_{в} l_{в} + q_{г} l_{г}, \quad (9.13)$$

$q_{в}$ и $q_{г}$ – теплоотдача 1 м вертикальных и горизонтальных труб, Вт/м [ккал/(ч·м)], для неизолированных труб принимается по табл. П.22, исходя из диаметра и положения труб, а также разности температуры теплоносителя при входе его в рассматриваемое помещение t_i и температуры воздуха в помещении $t_{в}$, для изолированных труб – по табл. П.24; $l_{в}$ и $l_{г}$ – длина вертикальных и горизонтальных труб в пределах помещения, м

Тепловой поток выбранного прибора не должен уменьшаться более чем на 5% или на 60 Вт (52 ккал/ч) по сравнению с $Q_{пр}$, поэтому прибор выбирают по прил. X по величине $Q_{н г}$, полученной исходя из значения $Q_{пр}$, уменьшенного на 5% при $Q_{пр} \leq 1200$ Вт (1032 ккал/ч) или на 60 Вт (52 ккал/ч) при $Q_{пр} > 1200$ Вт (1032 ккал/ч).

Приведенные формулы действительны при открытой установке неокрашенных приборов у наружных ограждений помещений.

На теплоотдачу отопительного прибора влияют конструкция декоративного ограждения, состав и цвет красителя. Окраска заметно изменяет теплоотдачу приборов с гладкой поверхностью (табл. 9.6) и практически не влияет на теплоотдачу приборов с ребристой поверхностью.

Минимально допустимое число секций чугунного радиатора определяют по формуле

$$N_{\text{мин}} = \frac{Q_{\text{н.т}} \beta_4}{Q_{\text{н.у}} \beta_3}, \quad (9.14)$$

где $Q_{\text{н.у}}$ – номинальный условный тепловой поток одной секции радиатора, Вт (ккал/ч) (см. прил. X); β_4 – коэффициент учета способа установки радиатора (см. табл. 9.12); при открытой установке $\beta_4 = 1$; β_3 – коэффициент учета числа секций в приборе для радиатора типа МС-140, принимаемый равным:

Число секций в приборе	До 15	16–20	21–25
β_3	1,0	0,98	0,96

ТАБЛИЦА 9.6

ВЛИЯНИЕ ОКРАСКИ ПОВЕРХНОСТИ НА ТЕПЛОТДАЧУ ОТОПИТЕЛЬНОГО ПРИБОРА

Радиатор	Состав и цвет окраски	Изменение теплоотдачи прибора, %
Чугунный секционный	Цинковые белила	+2,2
	Терракотовая краска, растворенная в бензине (матовая поверхность)	+0,9
	То же, на натуральной олифе (блестящая поверхность)	-1,7
	Алюминиевая краска, растворенная в нитролаке	-8,5
Стальной панельный	То же	-13

Для радиаторов остальных типов по формуле

$$\beta_3 = 0,97 + \frac{34}{NQ_{\text{н.у}}}, \quad (9.15)$$

где N – число секций радиатора.

Типоразмер прибора можно определить

также по значению требуемой площади нагревательной поверхности, пользуясь прил. X.

Требуемую площадь наружной нагревательной поверхности прибора $A_{\text{пр}}$, м², независимо от вида теплоносителя находят из формулы (9.1)

$$A_{\text{пр}} = \frac{Q_{\text{пр}}}{70 K_{\text{н.у}} \varphi_x}, \quad (9.16)$$

исходя из номинального условного коэффициента теплопередачи прибора (для наиболее употребительных отопительных приборов $K_{\text{н.у}}$ приведен в табл. 9.7).

Для однотрубных систем водяного отопления требуемая площадь нагревательной поверхности $A_{\text{пр}}$, м², приборов в помещениях при $t_{\text{в}} = 5 \div 25^\circ\text{C}$ определяется по табл. 9.8 по значению $Q_{\text{пр}}$, предварительно уменьшенному на 5% при $Q_{\text{пр}} \leq 1200$ Вт (1032 ккал/ч) или на 60 Вт (52 ккал/ч) при $Q_{\text{пр}} > 1200$ Вт (1032 ккал/ч).

ТАБЛИЦА 9.7

ЗНАЧЕНИЯ НОМИНАЛЬНОГО УСЛОВНОГО КОЭФФИЦИЕНТА ТЕПЛОПЕРЕДАЧИ ОТОПИТЕЛЬНЫХ ПРИБОРОВ

Тип отопительного прибора	Значения $K_{\text{н.у}}$	
	Вт/(м ² ·К)	ккал/(ч × м ² ·°С)
Радиатор чугунный секционный.		
МС-140-98	10,36	8,91
МС-140-108	10,83	9,31
МС-90-108	11,46	9,85
Конвектор с кожухом		
Универсал	5,1 (6,0)*	4,39 (5,2)*
Универсал С	4,93	4,24

* Данные соответствуют шагу пластин 12 мм

ТАБЛИЦА 9.8

ТРЕБУЕМАЯ ПЛОЩАДЬ НАГРЕВАТЕЛЬНОЙ ПОВЕРХНОСТИ A
ОТОПИТЕЛЬНЫХ ПРИБОРОВ СИСТЕМ ВОДЯНОГО ОТОПЛЕНИЯ

Температура воды в приборе t_{cp} при t_b , °C					Показатель степени n	Значения A_{np} , м ² , при расчетном расходе воды в стояке $G_{ст}$, кг/ч, или тепловой нагрузке $G_{ст}^*$ – расход воды в стояке, кг/ч;																			
5	8	10	12	15		160	170	180	190	200	225	250	275	300	335	370	400	435	470	500	550				
						$G_{ст}^* = 186$																			
						$Q_{np}^*/\varphi = 137$																			
149	—	—	—	—	0,15	0,13	0,13	0,14	0,15	0,16	0,18	0,20	0,22	0,24	0,26	0,29	0,31	0,34	0,32	0,39	0,43				
					0,20	0,12	0,13	0,14	0,14	0,15	0,16	0,19	0,21	0,23	0,25	0,8	0,30	0,33	0,35	0,38	0,41				
					0,25	0,12	0,12	0,13	0,14	0,14	0,16	0,18	0,20	0,22	0,24	0,27	0,29	0,32	0,34	0,36	0,40				
					0,30	0,11	0,12	0,12	0,13	0,14	0,16	0,17	0,19	0,21	0,23	0,26	0,28	0,30	0,33	0,35	0,38				
					0,35	0,11	0,11	0,12	0,13	0,13	0,15	0,17	0,18	0,20	0,22	0,25	0,27	0,29	0,31	0,33	0,36				
149	—	—	—	—	ΣQ_p	—	—	—	—	—	—	—	—	—	—	—	—	—	—	—	—				
					0,15	0,13	0,14	0,14	0,15	0,16	0,18	0,20	0,22	0,24	0,27	0,30	0,32	0,35	0,38	0,40	0,44				
					0,20	0,12	0,13	0,14	0,15	0,15	0,17	0,19	0,21	0,23	0,26	0,28	0,31	0,33	0,36	0,38	0,42				
					0,25	0,12	0,13	0,13	0,14	0,15	0,16	0,18	0,20	0,22	0,25	0,27	0,30	0,32	0,35	0,37	0,41				
					0,30	0,11	0,12	0,13	0,13	0,14	0,16	0,18	0,19	0,21	0,26	0,26	0,28	0,31	0,33	0,35	0,39				
147	150	—	—	—	ΣQ_p	—	—	—	—	—	—	—	—	—	—	—	—	—	—	—	—				
					0,15	0,13	0,14	0,15	0,16	0,19	0,20	0,22	0,24	0,27	0,30	0,32	0,35	0,38	0,41	0,45					
					0,20	0,12	0,13	0,14	0,15	0,16	0,18	0,20	0,21	0,23	0,26	0,29	0,31	0,34	0,37	0,39	0,43				
					0,25	0,12	0,13	0,14	0,14	0,15	0,17	0,19	0,21	0,23	0,25	0,28	0,30	0,33	0,35	0,38	0,41				
					0,30	0,12	0,12	0,13	0,14	0,14	0,16	0,18	0,20	0,22	0,24	0,27	0,29	0,32	0,34	0,36	0,40				
145	148	150	—	—	ΣQ_p	—	—	—	—	—	—	—	—	—	—	—	—	—	—	—	—				
					0,15	0,13	0,14	0,15	0,16	0,16	0,19	0,21	0,23	0,25	0,28	0,31	0,33	0,36	0,39	0,41	0,45				
					0,20	0,13	0,13	0,14	0,15	0,16	0,18	0,20	0,22	0,24	0,27	0,29	0,32	0,35	0,37	0,40	0,44				
					0,25	0,12	0,13	0,14	0,15	0,15	0,17	0,19	0,21	0,23	0,26	0,28	0,31	0,33	0,36	0,38	0,42				
					0,30	0,12	0,13	0,13	0,14	0,15	0,17	0,18	0,20	0,22	0,25	0,27	0,29	0,32	0,35	0,37	0,40				
143	146	148	150	—	ΣQ_p	—	—	—	—	—	—	—	—	—	—	—	—	—	—	—	—				
					0,15	0,13	0,14	0,15	0,16	0,17	0,19	0,21	0,23	0,25	0,28	0,31	0,34	0,36	0,39	0,42	0,46				
					0,20	0,13	0,13	0,14	0,15	0,16	0,18	0,20	0,22	0,24	0,27	0,30	0,32	0,35	0,38	0,40	0,44				
					0,25	0,12	0,13	0,14	0,15	0,16	0,18	0,19	0,21	0,23	0,26	0,29	0,31	0,34	0,37	0,39	0,43				
					0,30	0,12	0,13	0,13	0,14	0,15	0,17	0,19	0,21	0,22	0,25	0,28	0,30	0,33	0,35	0,37	0,41				
141	144	146	148	—	ΣQ_p	—	—	—	—	—	—	—	—	—	—	—	—	—	—	—	—				
					0,15	0,14	0,15	0,15	0,16	0,17	0,19	0,21	0,23	0,26	0,29	0,32	0,34	0,37	0,40	0,43	0,47				
					0,20	0,13	0,13	0,14	0,15	0,16	0,18	0,21	0,23	0,25	0,28	0,30	0,33	0,36	0,39	0,41	0,45				
					0,25	0,13	0,13	0,14	0,15	0,16	0,18	0,20	0,22	0,24	0,27	0,29	0,32	0,35	0,37	0,40	0,44				
					0,30	0,12	0,13	0,14	0,15	0,15	0,17	0,19	0,21	0,23	0,26	0,28	0,31	0,33	0,36	0,38	0,42				
139	142	144	146	149	ΣQ_p	—	—	—	—	—	—	—	—	—	—	—	—	—	—	—	—				
					0,15	0,14	0,15	0,16	0,16	0,17	0,20	0,22	0,24	0,26	0,29	0,32	0,35	0,38	0,41	0,43	0,48				
					0,20	0,13	0,14	0,15	0,16	0,17	0,19	0,21	0,23	0,25	0,28	0,31	0,33	0,36	0,39	0,42	0,46				
					0,25	0,13	0,14	0,15	0,16	0,18	0,20	0,22	0,24	0,27	0,30	0,32	0,35	0,38	0,40	0,44					
					0,30	0,12	0,13	0,14	0,15	0,16	0,18	0,19	0,21	0,23	0,26	0,29	0,31	0,34	0,37	0,39	0,43				
137	140	142	144	147	ΣQ_p	—	—	—	—	—	—	—	—	—	—	—	—	—	—	—	—				
					0,15	0,14	0,15	0,16	0,17	0,18	0,20	0,22	0,24	0,27	0,30	0,33	0,35	0,38	0,42	0,44	0,49				
					0,20	0,14	0,15	0,16	0,17	0,19	0,21	0,23	0,26	0,29	0,32	0,34	0,37	0,40	0,43	0,47					
					0,25	0,13	0,14	0,15	0,16	0,16	0,19	0,21	0,23	0,25	0,28	0,30	0,33	0,36	0,39	0,41	0,45				
					0,30	0,13	0,14	0,14	0,15	0,16	0,18	0,20	0,22	0,24	0,27	0,29	0,32	0,35	0,37	0,40	0,44				
135	138	140	142	145	ΣQ_p	3,7	3,9	4,2	4,4	4,6	5,2	5,8	6,4	7	7,8	8,6	9,3	10,1	10,9	11,6	12,8				
					0,15	0,14	0,15	0,16	0,17	0,18	0,20	0,22	0,25	0,27	0,30	0,33	0,36	0,38	0,42	0,45	0,49				
					0,20	0,14	0,15	0,16	0,17	0,17	0,20	0,22	0,24	0,26	0,29	0,32	0,35	0,38	0,41	0,43	0,48				

Продолжение табл. 9.8

прибора $Q_{пр}/ф$, Вт (при тепловой нагрузке в ккал/ч – см строки таблицы, обозначенные

$Q_{пр}^*/ф$ – тепловая нагрузка прибора, ккал/ч

Температура
воды в приборе

																	$t_{ср}$ при $t_{в}$, °C			
600	650	700	750	800	850	900	950	1000	1050	1100	1150	1200	1250	1300	1400	1500				
698	756	814	872	930	988	1047	1105	1163	1221	1279	1337	1396	1454	1512	1628	1744				
516	559	602	645	688	731	774	817	860	903	946	989	1032	1075	1118	1204	1290	18	20	22	25
0,47	0,51	0,55	0,59	0,63	0,67	0,71	0,75	0,77	0,82	0,86	0,90	0,94	0,98	1,02	1,10	1,18	—	—	—	—
0,45	0,49	0,53	0,57	0,60	0,64	0,68	0,72	0,75	0,79	0,83	0,87	0,91	0,94	0,98	1,06	1,13	—	—	—	—
0,43	0,47	0,51	0,54	0,58	0,62	0,65	0,69	0,72	0,76	0,80	0,83	0,87	0,91	0,94	1,01	1,09	—	—	—	—
0,42	0,45	0,49	0,52	0,56	0,59	0,63	0,66	0,70	0,73	0,77	0,80	0,84	0,87	0,91	0,97	1,04	—	—	—	—
0,40	0,43	0,47	0,50	0,53	0,57	0,60	0,64	0,67	0,70	0,74	0,77	0,80	0,84	0,87	0,94	1,00	—	—	—	—
—	—	—	—	—	—	—	—	—	—	—	—	—	—	—	—	—	—	—	—	—
0,48	0,52	0,57	0,60	0,64	0,68	0,72	0,76	0,80	0,84	0,88	0,92	0,96	1,00	1,04	1,12	1,20	—	—	—	—
0,46	0,50	0,54	0,58	0,61	0,65	0,69	0,73	0,77	0,81	0,84	0,88	0,92	0,96	1,00	1,07	1,15	—	—	—	—
0,44	0,48	0,52	0,55	0,59	0,63	0,66	0,70	0,74	0,77	0,81	0,85	0,88	0,92	0,96	1,03	1,11	—	—	—	—
0,43	0,46	0,50	0,53	0,57	0,60	0,62	0,67	0,71	0,74	0,78	0,82	0,85	0,89	0,92	1,00	1,05	—	—	—	—
0,40	0,44	0,48	0,51	0,55	0,58	0,61	0,65	0,68	0,72	0,75	0,78	0,82	0,85	0,89	0,95	1,02	—	—	—	—
—	—	—	—	—	—	—	—	—	—	—	—	—	—	—	—	—	—	—	—	—
0,49	0,53	0,57	0,61	0,65	0,69	0,73	0,77	0,81	0,85	0,89	0,93	0,97	1,01	1,05	1,14	1,22	—	—	—	—
0,47	0,51	0,55	0,59	0,62	0,66	0,70	0,74	0,78	0,82	0,86	0,90	0,94	0,98	1,01	1,09	1,17	—	—	—	—
0,45	0,49	0,53	0,56	0,60	0,64	0,68	0,71	0,75	0,79	0,83	0,86	0,90	0,94	0,98	1,05	1,13	—	—	—	—
0,43	0,47	0,51	0,54	0,58	0,61	0,65	0,69	0,72	0,76	0,79	0,83	0,87	0,90	0,94	1,01	1,08	—	—	—	—
0,42	0,45	0,49	0,52	0,56	0,59	0,63	0,66	0,69	0,73	0,76	0,80	0,83	0,87	0,90	0,97	1,04	—	—	—	—
—	—	—	—	—	—	—	—	—	—	—	—	—	—	—	—	—	—	—	—	—
0,49	0,54	0,58	0,62	0,66	0,70	0,74	0,78	0,82	0,87	0,91	0,95	0,99	1,03	1,07	1,15	1,24	—	—	—	—
0,48	0,52	0,56	0,60	0,64	0,67	0,71	0,75	0,79	0,83	0,87	0,91	0,95	0,99	1,03	1,11	1,19	—	—	—	—
0,46	0,50	0,54	0,57	0,61	0,65	0,69	0,73	0,76	0,80	0,84	0,88	0,92	0,96	0,99	1,07	1,15	—	—	—	—
0,44	0,48	0,51	0,55	0,59	0,63	0,66	0,70	0,74	0,77	0,81	0,85	0,88	0,92	0,96	1,03	1,10	—	—	—	—
0,42	0,46	0,50	0,53	0,57	0,60	0,64	0,67	0,71	0,74	0,78	0,81	0,85	0,89	0,92	0,99	1,06	—	—	—	—
—	—	—	—	—	—	—	—	—	—	—	—	—	—	—	—	—	—	—	—	—
0,50	0,55	0,59	0,63	0,67	0,71	0,75	0,80	0,84	0,88	0,92	0,96	1,01	1,05	1,09	1,17	1,26	—	—	—	—
0,48	0,53	0,57	0,61	0,65	0,69	0,73	0,77	0,81	0,85	0,89	0,93	0,97	1,01	1,05	1,13	1,21	—	—	—	—
0,47	0,51	0,54	0,58	0,62	0,66	0,70	0,74	0,78	0,82	0,86	0,89	0,93	0,97	1,01	1,09	1,17	—	—	—	—
0,45	0,49	0,52	0,56	0,60	0,64	0,67	0,71	0,75	0,79	0,82	0,86	0,90	0,94	0,97	1,05	1,12	—	—	—	—
0,43	0,47	0,51	0,54	0,58	0,61	0,65	0,69	0,72	0,76	0,79	0,83	0,87	0,90	0,94	1,01	1,08	—	—	—	—
—	—	—	—	—	—	—	—	—	—	—	—	—	—	—	—	—	—	—	—	—
0,51	0,55	0,60	0,64	0,68	0,73	0,77	0,81	0,85	0,90	0,94	0,98	1,02	1,07	1,11	1,19	1,28	—	—	—	—
0,49	0,53	0,58	0,62	0,66	0,70	0,74	0,78	0,82	0,86	0,90	0,95	0,99	1,03	1,07	1,15	1,23	—	—	—	—
0,48	0,52	0,56	0,59	0,63	0,67	0,71	0,65	0,79	0,83	0,87	0,91	0,95	0,99	1,03	1,11	1,19	—	—	—	—
0,46	0,50	0,54	0,57	0,61	0,65	0,69	0,73	0,76	0,80	0,84	0,88	0,92	0,96	0,99	1,07	1,15	—	—	—	—
0,44	0,48	0,52	0,55	0,59	0,63	0,66	0,70	0,74	0,77	0,81	0,85	0,88	0,92	0,96	1,03	1,11	—	—	—	—
—	—	—	—	—	—	—	—	—	—	—	—	—	—	—	—	—	—	—	—	—
0,52	0,56	0,61	0,65	0,69	0,74	0,78	0,82	0,87	0,91	0,95	1,00	1,04	1,08	1,13	1,21	1,30	—	—	—	—
0,50	0,54	0,59	0,63	0,67	0,71	0,75	0,80	0,84	0,88	0,92	0,96	1,00	1,05	1,09	1,17	1,26	—	—	—	—
0,48	0,52	0,57	0,61	0,65	0,69	0,73	0,77	0,81	0,85	0,89	0,93	0,97	1,01	1,05	1,13	1,21	—	—	—	—
0,47	0,51	0,55	0,58	0,62	0,66	0,70	0,74	0,78	0,82	0,86	0,90	0,94	0,97	1,01	1,09	1,17	—	—	—	—
0,45	0,49	0,53	0,56	0,60	0,64	0,68	0,71	0,75	0,79	0,83	0,86	0,90	0,94	0,98	1,05	1,13	—	—	—	—
—	—	—	—	—	—	—	—	—	—	—	—	—	—	—	—	—	—	—	—	—
0,53	0,57	0,62	0,66	0,71	0,75	0,80	0,84	0,88	0,93	0,97	1,02	1,06	1,10	1,15	1,24	1,33	—	—	—	—
0,51	0,55	0,60	0,64	0,68	0,72	0,77	0,81	0,85	0,89	0,94	0,98	1,02	1,07	1,11	1,19	1,28	—	—	—	—
0,49	0,53	0,58	0,62	0,66	0,70	0,74	0,78	0,82	0,86	0,91	0,95	0,99	1,03	1,07	1,15	1,23	—	—	—	—
0,48	0,52	0,56	0,60	0,64	0,68	0,72	0,75	0,79	0,83	0,87	0,91	0,95	0,99	1,03	1,11	1,19	—	—	—	—
0,46	0,50	0,54	0,58	0,61	0,65	0,69	0,73	0,77	0,81	0,84	0,88	0,92	0,96	1,00	1,07	1,15	—	—	—	—
13,9	15,1	16,3	17,4	18,6	19,8	20,9	22,1	23,3	24,4	25,6	26,7	27,9	29	30	32	35	148	150	—	—
0,54	0,58	0,63	0,67	0,72	0,76	0,81	0,85	0,90	0,94	0,99	1,03	1,08	1,12	1,17	1,26	1,35	—	—	—	—
0,52	0,56	0,61	0,65	0,69	0,74	0,78	0,83	0,87	0,91	0,96	1,00	1,04	1,09	1,13	1,22	1,30	—	—	—	—

Температура воды в приборе t_{cp} при t_b , °C					Показатель степеней л	Значения A_{np} , м ² , при расчетном расходе воды в стояке $G_{ст}$, кг/ч, или тепловой нагрузке $G_{ст}^*$ – расход воды в стояке, кг/ч,																	
5	8	10	12	15		160	170	180	190	200	225	250	275	300	335	370	400	435	470	500	550		
					$G_{ст}^* = 186$	198	209	221	223	262	291	320	349	390	430	465	506	547	581	640			
					$Q_{np}^*/\varphi = 137$	146	155	163	172	193	215	236	258	288	318	344	374	404	430	473			
133	136	138	140	143	0,25	0,13	0,14	0,15	0,16	0,17	0,19	0,21	0,23	0,25	0,28	0,31	0,34	0,37	0,39	0,49	0,46		
					0,30	0,13	0,14	0,15	0,16	0,18	0,20	0,22	0,24	0,27	0,30	0,32	0,35	0,38	0,41	0,45			
					0,35	0,13	0,13	0,14	0,15	0,16	0,18	0,20	0,22	0,24	0,26	0,29	0,31	0,34	0,37	0,39	0,43		
					ΣQ_p	7,4	7,9	8,4	8,8	9,3	10	11,6	12,8	14	15,7	17,2	18,6	20,2	22	23	25		
					0,15	0,15	0,16	0,16	0,17	0,18	0,21	0,23	0,25	0,27	0,31	0,34	0,37	0,40	0,43	0,46	0,50		
131	134	136	138	141	0,20	0,14	0,15	0,16	0,17	0,18	0,20	0,22	0,24	0,27	0,30	0,33	0,35	0,39	0,42	0,44	0,49		
					0,25	0,14	0,15	0,15	0,16	0,17	0,19	0,21	0,24	0,26	0,29	0,32	0,34	0,37	0,40	0,43	0,47		
					0,30	0,13	0,14	0,15	0,16	0,17	0,19	0,21	0,23	0,25	0,28	0,31	0,33	0,36	0,39	0,41	0,46		
					0,35	0,13	0,14	0,14	0,15	0,16	0,18	0,20	0,22	0,24	0,27	0,30	0,32	0,35	0,38	0,40	0,44		
					ΣQ_p	11,2	11,9	12,6	13,2	13,9	15,7	17,4	19,2	21	23	25	28	30	32	35	38		
129	132	134	136	139	0,15	0,15	0,16	0,17	0,18	0,19	0,21	0,23	0,26	0,28	0,31	0,35	0,37	0,41	0,44	0,47	0,51		
					0,20	0,14	0,15	0,16	0,17	0,18	0,20	0,23	0,25	0,27	0,30	0,33	0,36	0,39	0,42	0,45	0,50		
					0,25	0,14	0,15	0,16	0,17	0,17	0,20	0,22	0,24	0,26	0,29	0,32	0,35	0,38	0,41	0,44	0,48		
					0,30	0,14	0,14	0,15	0,16	0,17	0,19	0,21	0,23	0,25	0,28	0,31	0,34	0,37	0,40	0,42	0,47		
					0,35	0,13	0,14	0,15	0,16	0,16	0,18	0,20	0,22	0,25	0,27	0,30	0,33	0,36	0,38	0,41	0,45		
127	130	132	134	137	ΣQ_p	15,1	15,8	16,7	17,4	18,6	21	23	26	28	31	35	37	40	44	54	51		
					0,15	0,15	0,16	0,17	0,18	0,19	0,21	0,24	0,26	0,29	0,32	0,35	0,38	0,41	0,45	0,48	0,52		
					0,20	0,15	0,16	0,17	0,18	0,21	0,23	0,25	0,28	0,31	0,34	0,37	0,40	0,43	0,46	0,51			
					0,25	0,14	0,15	0,16	0,17	0,18	0,20	0,22	0,25	0,27	0,30	0,33	0,36	0,39	0,42	0,45	0,49		
					0,30	0,14	0,15	0,16	0,16	0,17	0,19	0,22	0,24	0,26	0,29	0,32	0,35	0,38	0,41	0,43	0,47		
125	128	130	132	135	0,35	0,13	0,14	0,15	0,16	0,17	0,19	0,21	0,23	0,25	0,28	0,31	0,33	0,36	0,39	0,42	0,46		
					ΣQ_p	18,6	19,8	21	22	23	25	29	32	35	38	43	46	50	55	58	64		
					0,15	0,15	0,16	0,17	0,18	0,19	0,22	0,24	0,27	0,29	0,32	0,36	0,39	0,42	0,46	0,48	0,53		
					0,20	0,15	0,16	0,17	0,18	0,19	0,21	0,23	0,26	0,28	0,31	0,35	0,38	0,41	0,44	0,47	0,52		
					0,25	0,15	0,15	0,16	0,17	0,18	0,20	0,23	0,25	0,27	0,30	0,34	0,36	0,40	0,43	0,45	0,50		
123	126	128	130	133	0,30	0,14	0,15	0,16	0,17	0,18	0,20	0,22	0,24	0,26	0,30	0,33	0,35	0,38	0,41	0,44	0,49		
					0,35	0,14	0,15	0,15	0,16	0,17	0,19	0,21	0,24	0,26	0,29	0,32	0,34	0,37	0,40	0,43	0,47		
					ΣQ_p	22	23	25	27	28	31	35	38	42	46	48	56	60	65	70	77		
					0,15	0,16	0,17	0,18	0,19	0,20	0,22	0,25	0,27	0,30	0,33	0,37	0,39	0,43	0,46	0,49	0,54		
					0,20	0,15	0,16	0,17	0,18	0,19	0,22	0,24	0,26	0,29	0,32	0,35	0,38	0,42	0,45	0,48	0,53		
121	124	126	128	131	0,25	0,15	0,16	0,17	0,18	0,19	0,21	0,23	0,26	0,28	0,31	0,34	0,37	0,40	0,44	0,46	0,51		
					0,30	0,14	0,15	0,16	0,17	0,18	0,20	0,23	0,25	0,27	0,30	0,33	0,36	0,39	0,42	0,45	0,50		
					0,35	0,14	0,15	0,16	0,17	0,17	0,20	0,22	0,24	0,26	0,29	0,32	0,35	0,38	0,41	0,44	0,48		
					ΣQ_p	29	28	29	31	32	36	41	44	49	55	60	65	71	77	81	89		
					0,15	0,16	0,17	0,18	0,19	0,20	0,23	0,25	0,28	0,30	0,33	0,37	0,40	0,44	0,47	0,50	0,55		
119	122	124	126	129	0,20	0,16	0,17	0,18	0,19	0,20	0,22	0,24	0,27	0,29	0,33	0,36	0,39	0,43	0,46	0,49	0,54		
					0,25	0,15	0,16	0,17	0,18	0,19	0,21	0,24	0,26	0,29	0,32	0,35	0,38	0,41	0,45	0,47	0,52		
					0,30	0,15	0,16	0,16	0,17	0,18	0,21	0,23	0,25	0,28	0,31	0,34	0,37	0,40	0,43	0,46	0,57		
					0,35	0,14	0,15	0,16	0,17	0,18	0,20	0,22	0,25	0,27	0,30	0,33	0,36	0,39	0,42	0,45	0,49		
					ΣQ_p	34	31	34	35	37	42	46	51	56	63	69	74	81	87	93	102		
117	120	122	124	127	0,15	0,16	0,17	0,18	0,19	0,20	0,21	0,23	0,26	0,28	0,31	0,34	0,38	0,41	0,45	0,48	0,51		
					0,20	0,16	0,17	0,18	0,19	0,20	0,22	0,25	0,27	0,30	0,33	0,37	0,40	0,43	0,47	0,50	0,55		
					0,25	0,16	0,17	0,18	0,19	0,22	0,24	0,27	0,29	0,33	0,36	0,39	0,42	0,46	0,49	0,53			
					0,30	0,15	0,16	0,17	0,18	0,19	0,21	0,24	0,26	0,28	0,32	0,35	0,38	0,41	0,44	0,47	0,52		
					0,35	0,15	0,16	0,17	0,17	0,18	0,21	0,23	0,25	0,28	0,31	0,34	0,37	0,40	0,43	0,46	0,50		
115	118	120	122	125	ΣQ_p	34	36	37	39	42	48	52	58	63	70	78	84	91	99	105	116		
					0,15	0,17	0,18	0,19	0,20	0,21	0,23	0,26	0,29	0,31	0,35	0,39	0,42	0,45	0,49	0,52	0,58		
					0,20	0,16	0,17	0,18	0,19	0,20	0,23	0,25	0,28	0,31	0,34	0,38	0,41	0,44	0,48	0,51	0,56		
					0,25	0,16	0,17	0,18	0,19	0,20	0,22	0,25	0,27	0,30	0,33	0,37	0,40	0,43	0,47	0,50	0,55		
					0,30	0,15	0,16	0,17	0,18	0,19	0,22	0,24	0,27	0,29	0,32	0,36	0,39	0,42	0,45	0,48	0,53		
113	116	118	120	123	0,35	0,15	0,16	0,17	0,18	0,19	0,21	0,23	0,26	0,28	0,31	0,35	0,38	0,41	0,44	0,47	0,52		

Продолжение табл. 9.8

прибора $Q_{пр}/\phi$, Вт (при тепловой нагрузке в ккал/ч—см строки таблицы, обозначенные

$Q_{пр}/\phi$ тепловая нагрузка прибора, ккал/ч																Температура воды в приборе				
600	650	700	750	800	850	900	950	1000	1050	1100	1150	1200	1250	1300	1400	1500	$t_{ср}$ при $t_{в}$, °C			
698	756	814	872	930	988	1047	1105	1163	1221	1279	1337	1396	1454	1512	1628	1744	18	20	22	25
516	559	602	645	688	731	774	817	860	903	946	989	1032	1075	1118	1204	1290	18	20	22	25
0,50	0,55	0,59	0,63	0,67	0,71	0,76	0,80	0,84	0,88	0,92	0,97	1,01	1,05	1,09	1,18	1,26				
0,49	0,53	0,57	0,61	0,65	0,69	0,73	0,77	0,81	0,85	0,89	0,93	0,97	1,01	1,05	1,14	1,22				
0,47	0,51	0,55	0,59	0,63	0,67	0,71	0,74	0,78	0,82	0,86	0,90	0,94	0,98	1,02	1,10	1,18				
28	30	32	35	37	39	42	44	46	49	51	53	56	58	60	65	70	146	148	150	—
0,55	0,60	0,64	0,69	0,73	0,78	0,82	0,87	0,92	0,96	1,01	1,05	1,10	1,14	1,19	1,28	1,37				
0,53	0,58	0,62	0,66	0,71	0,75	0,80	0,84	0,89	0,93	0,97	1,02	1,06	1,11	1,15	1,24	1,33				
0,51	0,56	0,60	0,64	0,68	0,73	0,77	0,81	0,86	0,90	0,94	0,98	1,03	1,07	1,11	1,20	1,28				
0,50	0,54	0,58	0,62	0,66	0,70	0,74	0,79	0,83	0,87	0,91	0,95	0,99	1,03	1,08	1,16	1,24				
0,48	0,52	0,56	0,60	0,64	0,68	0,72	0,76	0,80	0,84	0,88	0,92	0,96	1,00	1,04	1,12	1,20				
42	45	49	52	56	59	63	66	70	73	77	80	84	87	91	98	105	144	146	148	—
0,56	0,61	0,65	0,70	0,75	0,79	0,84	0,89	0,93	0,98	1,03	1,07	1,12	1,17	1,21	1,31	1,40				
0,54	0,59	0,63	0,68	0,72	0,77	0,81	0,86	0,90	0,95	0,99	1,04	1,08	1,13	1,17	1,26	1,35				
0,52	0,57	0,61	0,65	0,70	0,74	0,79	0,83	0,87	0,92	0,96	1,00	1,05	1,09	1,13	1,22	1,31				
0,51	0,55	0,59	0,63	0,68	0,72	0,76	0,80	0,85	0,89	0,93	0,97	1,01	1,06	1,10	1,18	1,27				
0,49	0,53	0,57	0,61	0,65	0,70	0,74	0,78	0,82	0,86	0,90	0,94	0,98	1,02	1,06	1,15	1,23				
56	60	65	70	74	79	84	88	93	98	102	107	112	116	121	130	139	142	144	146	149
0,57	0,62	0,67	0,71	0,76	0,81	0,86	0,90	0,95	1,00	1,05	1,09	1,14	1,19	1,24	1,33	1,43				
0,55	0,60	0,64	0,69	0,74	0,78	0,83	0,87	0,92	0,97	1,01	1,06	1,10	1,15	1,20	1,29	1,38				
0,53	0,58	0,62	0,67	0,71	0,76	0,80	0,85	0,89	0,94	0,98	1,02	1,07	1,11	1,16	1,25	1,34				
0,52	0,56	0,60	0,65	0,69	0,73	0,78	0,82	0,86	0,91	0,95	0,99	1,04	1,08	1,12	1,21	1,29				
0,50	0,54	0,59	0,63	0,67	0,71	0,75	0,79	0,84	0,88	0,92	0,96	1,00	1,05	1,09	1,17	1,25				
70	75	81	87	93	99	105	110	116	122	128	134	139	145	151	163	174				
0,58	0,63	0,68	0,73	0,77	0,82	0,87	0,92	0,97	1,02	1,07	1,11	1,16	1,21	1,26	1,36	1,45				
0,56	0,61	0,66	0,70	0,75	0,80	0,84	0,89	0,94	0,99	1,03	1,08	1,13	1,17	1,22	1,31	1,41				
0,55	0,59	0,64	0,68	0,73	0,77	0,82	0,86	0,91	0,96	1,00	1,05	1,09	1,14	1,18	1,27	1,36				
0,53	0,57	0,62	0,66	0,71	0,75	0,79	0,84	0,88	0,93	0,97	1,01	1,06	1,10	1,15	1,23	1,32				
0,51	0,56	0,60	0,64	0,68	0,73	0,77	0,81	0,86	0,90	0,94	0,98	1,03	1,07	1,11	1,20	1,28				
84	91	98	105	112	119	126	132	139	146	153	160	167	174	181	195	209	138	140	142	145
0,59	0,64	0,69	0,74	0,79	0,84	0,89	0,94	0,99	1,04	1,09	1,14	1,18	1,23	1,28	1,38	1,48				
0,57	0,62	0,67	0,72	0,77	0,81	0,86	0,91	0,96	1,01	1,05	1,10	1,15	1,20	1,24	1,34	1,44				
0,56	0,60	0,65	0,70	0,74	0,79	0,84	0,88	0,93	0,98	1,02	1,07	1,12	1,16	1,21	1,30	1,39				
0,54	0,59	0,63	0,68	0,72	0,77	0,81	0,86	0,90	0,95	0,99	1,04	1,08	1,13	1,17	1,26	1,35				
0,52	0,57	0,61	0,66	0,70	0,74	0,79	0,83	0,87	0,92	0,96	1,01	1,05	1,09	1,14	1,22	1,31				
98	106	114	122	130	138	146	155	163	171	179	187	195	203	212	228	244	136	138	140	143
0,60	0,65	0,70	0,76	0,81	0,86	0,91	0,96	1,01	1,06	1,11	1,16	1,21	1,26	1,31	1,41	1,51				
0,59	0,64	0,68	0,73	0,78	0,83	0,88	0,93	0,98	1,03	1,07	1,12	1,17	1,22	1,27	1,37	1,47				
0,57	0,62	0,66	0,71	0,76	0,81	0,85	0,90	0,95	1,00	1,04	1,09	1,14	1,19	1,23	1,33	1,42				
0,55	0,60	0,64	0,69	0,74	0,78	0,83	0,87	0,92	0,97	1,01	1,06	1,10	1,15	1,20	1,29	1,39				
0,54	0,58	0,63	0,67	0,72	0,76	0,81	0,85	0,89	0,94	0,98	1,03	1,07	1,12	1,16	1,25	1,34				
112	121	130	139	149	158	167	177	186	195	205	214	223	231	242	260	279	134	136	138	141
0,62	0,67	0,72	0,77	0,82	0,87	0,92	0,98	1,03	1,08	1,13	1,18	1,23	1,28	1,34	1,44	1,54				
0,60	0,65	0,70	0,75	0,80	0,85	0,90	0,95	1,00	1,05	1,10	1,15	1,20	1,25	1,30	1,40	1,50				
0,58	0,63	0,68	0,73	0,78	0,82	0,87	0,92	0,97	1,02	1,07	1,12	1,16	1,21	1,26	1,36	1,46				
0,57	0,61	0,66	0,71	0,75	0,80	0,85	0,90	0,94	0,99	1,04	1,08	1,13	1,18	1,23	1,32	1,41				
0,55	0,60	0,64	0,69	0,73	0,78	0,83	0,87	0,92	0,96	1,01	1,05	1,10	1,15	1,19	1,28	1,38				
126	136	146	157	167	178	188	199	209	221	230	241	251	262	272	293	314	132	134	136	139
0,63	0,68	0,73	0,78	0,84	0,89	0,94	0,99	1,04	1,10	1,15	1,20	1,26	1,31	1,36	1,47	1,57				
0,61	0,66	0,71	0,76	0,82	0,87	0,92	0,97	1,02	1,07	1,12	1,17	1,22	1,27	1,33	1,43	1,53				
0,60	0,64	0,69	0,74	0,79	0,84	0,89	0,94	0,99	1,04	1,09	1,14	1,19	1,24	1,29	1,39	1,49				
0,58	0,65	0,68	0,72	0,77	0,82	0,87	0,92	0,97	1,01	1,06	1,11	1,16	1,21	1,25	1,35	1,45				
0,56	0,61	0,66	0,70	0,75	0,80	0,84	0,89	0,94	0,99	1,03	1,08	1,13	1,17	1,22	1,31	1,41				

Температура воды в приборе t_{cp} при t_p , °C					Показатель степени n	Значения A_{np} , м ² , при расчетном расходе воды в стояке $G_{ст}$, кг/ч, или тепловой нагрузке $G_{ст}^*$ – расход воды в стояке, кг/ч,															
5	8	10	12	15		160	170	180	190	200	225	250	275	300	335	370	400	435	470	500	550
					$G_{ст}^* = 186$	198	209	221	223	262	291	320	349	390	430	465	506	547	581	640	
					$Q_{np}^*/\varphi = 137$	146	155	163	172	193	215	236	258	288	318	344	374	404	430	473	
117	120	122	124	127	ΣQ_p	37	39	42	44	46	52	58	64	70	78	86	93	101	109	116	128
					0,15	0,17	0,18	0,19	0,20	0,21	0,24	0,27	0,29	0,32	0,36	0,40	0,43	0,47	0,50	0,54	0,59
					0,20	0,17	0,18	0,19	0,20	0,21	0,23	0,26	0,29	0,31	0,35	0,39	0,42	0,45	0,49	0,52	0,57
					0,25	0,16	0,17	0,18	0,19	0,20	0,23	0,25	0,28	0,30	0,34	0,38	0,41	0,44	0,48	0,51	0,56
					0,30	0,16	0,17	0,18	0,19	0,20	0,22	0,25	0,27	0,30	0,33	0,37	0,40	0,43	0,46	0,49	0,54
					0,35	0,15	0,16	0,17	0,18	0,19	0,22	0,24	0,26	0,29	0,32	0,36	0,38	0,42	0,45	0,48	0,53
115	118	120	122	125	ΣQ_p	41	43	45	49	51	58	64	71	89	86	94	102	112	121	128	141
					0,15	0,18	0,19	0,20	0,21	0,22	0,25	0,27	0,30	0,33	0,37	0,40	0,44	0,46	0,51	0,55	0,60
					0,20	0,17	0,18	0,19	0,20	0,21	0,24	0,27	0,29	0,32	0,36	0,39	0,43	0,46	0,50	0,53	0,59
					0,25	0,17	0,18	0,19	0,20	0,21	0,23	0,26	0,29	0,31	0,35	0,38	0,42	0,45	0,49	0,52	0,57
					0,30	0,16	0,17	0,18	0,19	0,20	0,23	0,25	0,28	0,30	0,34	0,37	0,40	0,44	0,48	0,51	0,56
					0,35	0,16	0,17	0,18	0,19	0,20	0,22	0,25	0,27	0,30	0,33	0,36	0,39	0,43	0,46	0,49	0,54
113	116	118	120	123	ΣQ_p	44	48	50	52	56	63	70	77	84	93	103	112	122	131	139	153
					0,15	0,18	0,19	0,20	0,21	0,22	0,25	0,28	0,31	0,34	0,37	0,41	0,45	0,49	0,52	0,56	0,61
					0,20	0,17	0,19	0,20	0,21	0,22	0,25	0,27	0,30	0,33	0,37	0,40	0,44	0,47	0,51	0,54	0,60
					0,25	0,17	0,18	0,19	0,20	0,21	0,24	0,27	0,29	0,32	0,36	0,39	0,43	0,46	0,50	0,53	0,58
					0,30	0,17	0,18	0,19	0,20	0,21	0,23	0,26	0,29	0,31	0,35	0,38	0,41	0,45	0,49	0,52	0,57
					0,35	0,16	0,17	0,18	0,19	0,20	0,23	0,25	0,28	0,30	0,34	0,37	0,40	0,44	0,48	0,51	0,56
111	114	116	118	121	ΣQ_p	48	51	53	56	60	69	75	84	91	101	112	122	131	142	151	166
					0,15	0,18	0,19	0,21	0,22	0,23	0,26	0,29	0,31	0,34	0,38	0,42	0,46	0,50	0,54	0,57	0,63
					0,20	0,18	0,19	0,20	0,21	0,22	0,25	0,28	0,31	0,33	0,37	0,41	0,45	0,48	0,52	0,56	0,61
					0,25	0,17	0,19	0,20	0,21	0,22	0,24	0,27	0,30	0,33	0,36	0,40	0,44	0,47	0,51	0,54	0,60
					0,30	0,17	0,18	0,19	0,20	0,21	0,24	0,27	0,29	0,32	0,35	0,39	0,43	0,46	0,50	0,53	0,58
					0,35	0,17	0,18	0,19	0,20	0,21	0,23	0,26	0,29	0,31	0,35	0,38	0,41	0,45	0,49	0,52	0,57
109	112	114	116	119	ΣQ_p	52	55	58	62	66	73	81	89	98	109	121	130	142	153	163	179
					0,15	0,19	0,20	0,21	0,22	0,23	0,26	0,29	0,32	0,35	0,39	0,43	0,47	0,51	0,55	0,58	0,64
					0,20	0,18	0,19	0,21	0,22	0,23	0,26	0,29	0,31	0,34	0,38	0,42	0,46	0,50	0,54	0,57	0,63
					0,25	0,18	0,19	0,20	0,21	0,22	0,25	0,28	0,31	0,33	0,37	0,41	0,45	0,49	0,52	0,56	0,61
					0,30	0,17	0,19	0,20	0,21	0,22	0,25	0,27	0,30	0,33	0,37	0,40	0,44	0,47	0,51	0,54	0,60
					0,35	0,17	0,18	0,19	0,20	0,21	0,24	0,27	0,29	0,32	0,36	0,39	0,43	0,46	0,50	0,53	0,59
107	110	112	114	117	ΣQ_p	56	59	63	66	70	79	87	96	105	122	129	139	152	164	174	192
					0,15	0,19	0,20	0,22	0,23	0,24	0,27	0,30	0,33	0,36	0,40	0,44	0,48	0,52	0,56	0,60	0,66
					0,20	0,19	0,20	0,21	0,22	0,23	0,26	0,29	0,32	0,35	0,39	0,43	0,47	0,51	0,55	0,58	0,64
					0,25	0,18	0,19	0,21	0,22	0,23	0,26	0,29	0,31	0,34	0,38	0,42	0,46	0,50	0,54	0,57	0,63
					0,30	0,18	0,19	0,20	0,21	0,22	0,25	0,28	0,31	0,34	0,37	0,41	0,45	0,49	0,53	0,58	0,61
					0,35	0,18	0,19	0,20	0,21	0,22	0,25	0,27	0,30	0,33	0,37	0,40	0,44	0,48	0,51	0,55	0,60
105	108	110	112	115	ΣQ_p	59	63	67	71	74	84	93	102	113	124	137	149	162	174	186	205
					0,15	0,20	0,21	0,22	0,23	0,24	0,27	0,31	0,34	0,37	0,41	0,45	0,49	0,53	0,57	0,61	0,67
					0,20	0,19	0,20	0,22	0,23	0,24	0,27	0,30	0,33	0,36	0,40	0,44	0,48	0,52	0,56	0,60	0,66
					0,25	0,19	0,20	0,21	0,22	0,23	0,26	0,29	0,32	0,35	0,39	0,43	0,47	0,51	0,55	0,58	0,64
					0,30	0,18	0,20	0,21	0,22	0,23	0,26	0,29	0,32	0,34	0,38	0,42	0,46	0,50	0,54	0,57	0,63
					0,35	0,18	0,19	0,20	0,21	0,22	0,25	0,28	0,31	0,34	0,38	0,42	0,45	0,49	0,53	0,56	0,62
103	106	108	110	113	ΣQ_p	63	67	71	74	79	89	99	109	120	132	146	158	172	186	198	217
					0,15	0,20	0,21	0,23	0,24	0,25	0,28	0,31	0,34	0,38	0,42	0,46	0,50	0,54	0,59	0,63	0,69
					0,20–0,25	0,20	0,21	0,22	0,23	0,25	0,28	0,31	0,34	0,37	0,41	0,45	0,49	0,53	0,58	0,61	0,67
					0,30	0,35	0,20	0,21	0,22	0,24	0,27	0,29	0,32	0,35	0,40	0,44	0,47	0,51	0,55	0,59	0,65
101	104	106	108	111	ΣQ_p	67	71	75	79	84	94	105	115	126	141	155	167	182	196	209	230
					0,15	0,20	0,22	0,23	0,24	0,25	0,28	0,32	0,35	0,38	0,42	0,47	0,51	0,55	0,60	0,63	0,70
					0,20–0,25	0,20	0,21	0,22	0,24	0,25	0,28	0,31	0,34	0,37	0,42	0,46	0,50	0,54	0,59	0,62	0,68
					0,30–0,35	0,19	0,20	0,21	0,23	0,24	0,27	0,30	0,33	0,36	0,40	0,44	0,48	0,52	0,56	0,60	0,66
100	103	105	107	110	ΣQ_p	69	73	78	81	86	96	108	119	129	144	159	172	187	202	215	237

Продолжение табл 9.8

прибора Q_{np}/ϕ , Вт (при тепловой нагрузке в ккал/ч см строки таблицы, обозначенные

Q_{np}/ϕ тепловая нагрузка прибора, ккал/ч																Температура воды в приборе				
600	650	700	750	800	850	900	950	1000	1050	1100	1150	1200	1250	1300	1400	1500	t_{cp} при t_w , °C			
698	756	814	872	930	988	1047	1105	1163	1221	1279	1337	1396	1454	1512	1628	1744	18	20	22	25
516	559	602	645	688	731	774	817	860	903	946	989	1032	1075	1118	1204	1290				
139	151	163	174	186	198	209	221	237	244	256	267	279	291	302	326	349	130	132	134	137
0,64	0,70	0,75	0,80	0,86	0,91	0,96	1,02	1,07	1,12	1,18	1,23	1,28	1,34	1,39	1,50	1,61				
0,63	0,68	0,73	0,78	0,83	0,89	0,94	0,99	1,04	1,09	1,15	1,20	1,25	1,30	1,35	1,46	1,56				
0,61	0,66	0,71	0,76	0,81	0,86	0,91	0,96	1,01	1,06	1,12	1,17	1,22	1,27	1,32	1,42	1,52				
0,59	0,64	0,69	0,74	0,79	0,84	0,89	0,94	0,99	1,04	1,09	1,14	1,19	1,24	1,28	1,38	1,48				
0,58	0,63	0,67	0,72	0,77	0,82	0,87	0,91	0,96	1,01	1,06	1,11	1,15	1,20	1,25	1,35	1,44				
153	166	179	192	205	217	230	244	256	270	283	295	286	321	333	359	384	128	130	132	135
0,66	0,71	0,77	0,82	0,88	0,93	0,98	1,04	1,09	1,15	1,20	1,26	1,31	1,37	1,42	1,53	1,64				
0,64	0,69	0,75	0,80	0,85	0,91	0,96	1,01	1,07	1,12	1,17	1,23	1,28	1,33	1,39	1,49	1,60				
0,62	0,68	0,73	0,78	0,83	0,88	0,93	0,99	1,04	1,09	1,14	1,19	1,25	1,30	1,35	1,45	1,56				
0,61	0,66	0,71	0,76	0,81	0,86	0,91	0,96	1,01	1,06	1,11	1,16	1,21	1,26	1,32	1,42	1,52				
0,59	0,64	0,69	0,74	0,79	0,84	0,89	0,94	0,99	1,04	1,08	1,13	1,18	1,23	1,28	1,38	1,48				
167	181	195	209	223	237	251	265	279	293	307	321	335	349	363	391	419	126	128	130	133
0,67	0,73	0,76	0,84	0,89	0,95	1,01	1,06	1,12	1,17	1,23	1,28	1,34	1,40	1,45	1,56	1,68				
0,65	0,71	0,76	0,82	0,87	0,93	0,98	1,04	1,09	1,14	1,20	1,25	1,31	1,36	1,42	1,53	1,63				
0,64	0,69	0,74	0,80	0,85	0,90	0,96	1,01	1,06	1,12	1,17	1,22	1,28	1,33	1,38	1,49	1,59				
0,62	0,67	0,73	0,78	0,83	0,88	0,93	0,99	1,04	1,09	1,14	1,19	1,24	1,30	1,35	1,45	1,56				
0,61	0,66	0,71	0,76	0,81	0,86	0,91	0,96	1,01	1,07	1,11	1,16	1,21	1,26	1,32	1,42	1,52				
181	196	212	227	242	258	272	287	302	320	334	349	364	379	395	424	455	124	126	128	131
0,69	0,74	0,80	0,86	0,91	0,97	1,03	1,08	1,14	1,20	1,26	1,31	1,37	1,43	1,48	1,60	1,71				
0,67	0,72	0,78	0,84	0,89	0,95	1,00	1,06	1,11	1,17	1,23	1,28	1,34	1,39	1,45	1,56	1,67				
0,65	0,71	0,76	0,82	0,87	0,93	0,98	1,03	1,09	1,14	1,20	1,25	1,31	1,36	1,41	1,52	1,63				
0,64	0,69	0,74	0,80	0,85	0,90	0,96	1,01	1,06	1,12	1,17	1,22	1,28	1,33	1,38	1,49	1,59				
0,62	0,67	0,73	0,78	0,83	0,88	0,93	0,99	1,04	1,09	1,14	1,19	1,24	1,30	1,35	1,45	1,56				
195	211	228	244	260	277	293	309	326	346	358	374	391	407	423	456	488	122	124	126	129
0,70	0,76	0,82	0,88	0,93	0,99	1,05	1,11	1,17	1,23	1,29	1,34	1,40	1,46	1,52	1,64	1,75				
0,68	0,74	0,80	0,86	0,91	0,97	1,03	1,08	1,14	1,20	1,25	1,31	1,37	1,43	1,48	1,60	1,71				
0,67	0,72	0,78	0,84	0,89	0,95	1,00	1,06	1,12	1,17	1,23	1,28	1,34	1,39	1,45	1,56	1,67				
0,65	0,71	0,76	0,82	0,87	0,93	0,98	1,04	1,09	1,14	1,20	1,25	1,31	1,36	1,42	1,53	1,63				
0,64	0,69	0,75	0,80	0,85	0,91	0,96	1,01	1,07	1,12	1,17	1,23	1,28	1,33	1,39	1,49	1,60				
209	227	244	262	279	296	314	331	349	366	384	401	419	436	453	488	523	120	122	124	127
0,72	0,78	0,84	0,90	0,96	1,02	1,08	1,14	1,19	1,25	1,31	1,37	1,43	1,49	1,55	1,67	1,79				
0,70	0,76	0,82	0,88	0,93	0,99	1,05	1,11	1,17	1,23	1,29	1,34	1,40	1,46	1,52	1,64	1,75				
0,69	0,74	0,80	0,86	0,91	0,97	1,03	1,09	1,14	1,20	1,26	1,31	1,37	1,43	1,49	1,60	1,72				
0,67	0,73	0,78	0,84	0,89	0,95	1,01	1,06	1,12	1,17	1,23	1,29	1,34	1,40	1,45	1,57	1,68				
0,66	0,71	0,77	0,82	0,88	0,93	0,98	1,04	1,09	1,15	1,20	1,26	1,31	1,37	1,42	1,53	1,64				
223	242	260	279	297	316	335	353	372	393	409	428	446	465	484	527	558	118	120	122	125
0,73	0,79	0,85	0,92	0,98	1,04	1,10	1,16	1,22	1,28	1,34	1,40	1,47	1,53	1,59	1,71	1,83				
0,72	0,78	0,84	0,90	0,96	1,02	1,08	1,14	1,20	1,26	1,32	1,38	1,44	1,49	1,55	1,67	1,79				
0,70	0,76	0,82	0,87	0,93	0,99	1,05	1,11	1,17	1,22	1,28	1,34	1,40	1,46	1,51	1,63	1,75				
0,69	0,75	0,83	0,86	0,92	0,98	1,03	1,09	1,15	1,21	1,26	1,32	1,38	1,43	1,49	1,61	1,72				
0,67	0,73	0,79	0,84	0,90	0,96	1,01	1,07	1,12	1,18	1,24	1,29	1,35	1,40	1,45	1,57	1,69				
237	257	276	296	316	336	356	375	395	415	435	455	474	494	514	553	593	116	118	120	123
0,75	0,81	0,88	0,94	1,00	1,06	1,13	1,19	1,25	1,31	1,38	1,44	1,50	1,56	1,63	1,75	1,88				
0,74	0,80	0,86	0,92	0,98	1,04	1,10	1,17	1,23	1,29	1,35	1,41	1,47	1,53	1,59	1,72	1,84				
0,71	0,77	0,83	0,88	0,94	1,00	1,06	1,12	1,18	1,24	1,30	1,36	1,42	1,47	1,53	1,65	1,77				
251	272	293	314	335	356	377	398	419	440	460	481	502	523	544	586	628	114	116	118	121
0,76	0,82	0,89	0,95	1,01	1,08	1,14	1,20	1,27	1,33	1,39	1,46	1,52	1,58	1,65	1,77	1,90				
0,75	0,81	0,87	0,93	0,99	1,06	1,12	1,18	1,24	1,30	1,37	1,43	1,49	1,55	1,62	1,74	1,86				
0,72	0,78	0,84	0,90	0,95	1,02	1,07	1,13	1,19	1,25	1,31	1,37	1,43	1,49	1,55	1,67	1,79				
258	280	301	323	344	366	387	409	430	452	473	495	516	538	559	602	645	113	115	117	120

Температура воды в приборе t_{cp} при t_n , °С					Показатель степени n	Значения A_{np} , м ² , при расчетном расходе воды в стояке $G_{ст}$, кг/ч, или тепловой нагрузке $G_{ст}^*$ – расход воды в стояке, кг/ч,															
5	8	10	12	15		160	170	180	190	200	225	250	275	300	335	370	400	435	470	500	550
					$G_{ст}^* = 186$	198	209	221	223	262	291	320	349	390	430	465	506	547	581	640	
					$Q_{np}^*/\varphi = 137$	146	155	163	172	193	215	236	258	288	318	344	374	404	430	473	
					0,15	0,20	0,22	0,23	0,24	0,25	0,29	0,32	0,35	0,38	0,42	0,47	0,51	0,56	0,60	0,64	0,70
					0,20–0,25	0,20	0,21	0,23	0,24	0,25	0,28	0,31	0,35	0,38	0,42	0,47	0,50	0,55	0,59	0,63	0,69
					0,30–0,35	0,19	0,21	0,22	0,23	0,24	0,27	0,30	0,33	0,36	0,41	0,45	0,48	0,53	0,57	0,61	0,67
99	102	104	106	109	ΣQ_p	71	75	79	84	88	99	110	122	132	148	164	177	192	208	221	243
					0,15	0,21	0,22	0,23	0,25	0,26	0,29	0,32	0,36	0,39	0,44	0,48	0,52	0,57	0,61	0,65	0,71
					0,20–0,25	0,20	0,22	0,23	0,24	0,25	0,29	0,32	0,35	0,38	0,43	0,47	0,51	0,55	0,60	0,64	0,70
					0,30–0,35	0,20	0,21	0,22	0,23	0,25	0,28	0,31	0,34	0,37	0,41	0,45	0,49	0,53	0,58	0,61	0,68
98	101	103	105	108	ΣQ_p	72	89	81	86	91	119	114	124	136	137	161	181	197	213	227	249
					0,15	0,21	0,22	0,24	0,25	0,26	0,30	0,33	0,36	0,39	0,44	0,49	0,53	0,57	0,62	0,66	0,72
					0,20–0,25	0,21	0,22	0,23	0,25	0,26	0,29	0,32	0,36	0,39	0,43	0,48	0,52	0,56	0,61	0,65	0,71
					0,30–0,35	0,20	0,21	0,22	0,24	0,25	0,28	0,31	0,34	0,37	0,42	0,46	0,50	0,54	0,59	0,62	0,69
97	100	102	104	107	ΣQ_p	74	79	84	88	93	105	116	128	139	156	172	186	202	219	233	256
					0,15	0,21	0,23	0,24	0,25	0,27	0,29	0,33	0,40	0,39	0,45	0,49	0,53	0,58	0,63	0,67	0,73
					0,20–0,25	0,21	0,22	0,24	0,25	0,26	0,29	0,33	0,36	0,39	0,44	0,48	0,52	0,57	0,62	0,65	0,72
					0,30–0,35	0,20	0,21	0,23	0,24	0,25	0,28	0,32	0,35	0,42	0,47	0,51	0,55	0,59	0,63	0,70	
96	99	101	103	106	ΣQ_p	77	81	86	91	111	107	119	131	143	159	177	191	207	224	238	262
					0,15	0,22	0,23	0,24	0,26	0,27	0,30	0,34	0,37	0,40	0,45	0,50	0,54	0,59	0,63	0,67	0,74
					0,20–0,25	0,21	0,23	0,24	0,25	0,27	0,30	0,33	0,36	0,40	0,44	0,49	0,53	0,58	0,62	0,66	0,73
					0,30–0,35	0,20	0,22	0,23	0,24	0,26	0,29	0,32	0,35	0,38	0,43	0,47	0,51	0,56	0,60	0,64	0,70
95	98	100	102	105	ΣQ_p	78	82	88	93	98	109	122	134	146	164	180	195	213	229	244	269
					0,15	0,22	0,23	0,25	0,26	0,27	0,31	0,34	0,38	0,41	0,46	0,51	0,55	0,59	0,64	0,68	0,75
					0,20–0,25	0,22	0,23	0,24	0,26	0,27	0,30	0,34	0,37	0,40	0,45	0,50	0,54	0,58	0,63	0,67	0,74
					0,30–0,35	0,21	0,22	0,23	0,25	0,26	0,29	0,33	0,36	0,39	0,44	0,48	0,52	0,57	0,61	0,65	0,72
94	97	99	101	104	ΣQ_p	80	85	89	95	100	113	124	137	150	167	185	200	217	235	250	274
					0,15	0,22	0,23	0,25	0,26	0,28	0,31	0,35	0,38	0,41	0,46	0,51	0,55	0,60	0,65	0,69	0,76
					0,25	0,21	0,23	0,24	0,25	0,27	0,30	0,34	0,37	0,40	0,45	0,50	0,54	0,58	0,63	0,67	0,74
					0,30–0,35	0,21	0,22	0,24	0,25	0,26	0,30	0,33	0,36	0,40	0,44	0,49	0,53	0,57	0,62	0,66	0,73
93	96	98	100	103	ΣQ_p	82	87	92	98	96	115	128	141	153	171	189	205	222	241	256	281
					0,15–0,20	0,22	0,23	0,25	0,27	0,28	0,32	0,35	0,39	0,42	0,47	0,52	0,56	0,61	0,66	0,70	0,77
					0,25	0,22	0,23	0,24	0,26	0,27	0,31	0,34	0,37	0,41	0,46	0,50	0,54	0,59	0,64	0,68	0,75
					0,30–0,35	0,21	0,23	0,24	0,25	0,27	0,30	0,33	0,37	0,40	0,45	0,50	0,54	0,58	0,63	0,67	0,74
92	95	97	99	102	ΣQ_p	84	88	94	99	105	117	130	144	157	176	193	209	228	245	262	287
					0,15–0,20	0,23	0,24	0,26	0,27	0,28	0,32	0,36	0,39	0,42	0,48	0,53	0,57	0,62	0,67	0,71	0,78
					0,25	0,22	0,23	0,25	0,26	0,28	0,31	0,36	0,38	0,41	0,46	0,51	0,55	0,60	0,65	0,69	0,76
					0,30–0,35	0,22	0,23	0,24	0,26	0,27	0,31	0,34	0,37	0,41	0,46	0,50	0,54	0,59	0,64	0,68	0,75
91	94	96	98	101	ΣQ_p	86	91	96	101	107	120	134	146	160	179	198	214	233	251	267	294
					0,15–0,20	0,23	0,24	0,26	0,27	0,29	0,32	0,36	0,4	0,43	0,48	0,53	0,58	0,63	0,68	0,72	0,79
					0,25	0,22	0,24	0,25	0,27	0,28	0,32	0,35	0,39	0,42	0,47	0,52	0,56	0,61	0,66	0,7	0,77
					0,30–0,35	0,22	0,23	0,25	0,26	0,28	0,31	0,35	0,38	0,41	0,46	0,51	0,55	0,6	0,65	0,69	0,76
90	93	95	97	100	ΣQ_p	87	93	99	103	109	123	136	150	164	182	202	219	237	257	273	300
					0,15–0,20	0,23	0,25	0,26	0,28	0,29	0,33	0,37	0,4	0,44	0,49	0,54	0,58	0,64	0,69	0,73	0,8
					0,25	0,23	0,24	0,26	0,27	0,28	0,32	0,36	0,39	0,43	0,48	0,53	0,57	0,62	0,67	0,71	0,78
					0,30–0,35	0,22	0,24	0,25	0,27	0,28	0,32	0,35	0,39	0,42	0,47	0,52	0,56	0,61	0,66	0,7	0,77
89	92	94	96	99	ΣQ_p	89	95	100	106	112	126	134	153	167	187	207	223	243	263	379	307
					0,15–0,20	0,24	0,25	0,27	0,28	0,3	0,33	0,37	0,41	0,44	0,5	0,55	0,59	0,64	0,7	0,74	0,81
					0,25	0,23	0,25	0,26	0,27	0,29	0,32	0,36	0,4	0,43	0,48	0,53	0,58	0,63	0,68	0,72	0,79
					0,30–0,35	0,23	0,24	0,26	0,27	0,28	0,32	0,36	0,39	0,43	0,48	0,53	0,57	0,62	0,67	0,71	0,78
88	91	93	95	98	ΣQ_p	91	96	102	108	114	123	142	157	171	190	210	228	248	267	285	313
					0,15–0,20	0,24	0,26	0,27	0,29	0,3	0,34	0,38	0,41	0,45	0,5	0,56	0,6	0,65	0,71	0,75	0,83
					0,25	0,23	0,25	0,26	0,28	0,29	0,33	0,37	0,4	0,44	0,49	0,54	0,59	0,64	0,69	0,73	0,81
					0,30–0,35	0,23	0,25	0,26	0,28	0,29	0,33	0,36	0,4	0,43	0,49	0,54	0,58	0,63	0,68	0,72	0,8

Продолжение табл 9 8

прибора Q_{np}/φ , Вт (при тепловой нагрузке в ккал/ч – см строки таблицы, обозначенные

Q_{np}^*/φ – тепловая нагрузка прибора, ккал/ч

Температура
воды в приборе

600	650	700	750	800	850	900	950	1000	1050	1100	1150	1200	1250	1300	1400	1500	t_{cp} при t_*, C			
698	756	814	872	930	988	1047	1105	1163	1221	1279	1337	1396	1454	1512	1628	1744				
516	559	602	645	688	731	774	817	860	903	946	989	1032	1075	1118	1204	1290	18	20	22	25

0,76	0,83	0,90	0,96	1,03	1,08	1,15	1,2	1,28	1,35	1,41	1,45	1,54	1,60	1,66	1,79	1,92				
0,76	0,82	0,88	0,94	1,01	1,07	1,13	1,20	1,26	1,32	1,38	1,43	1,51	1,57	1,64	1,76	1,89				
0,73	0,79	0,85	0,91	0,97	1,03	1,09	1,15	1,21	1,27	1,33	1,39	1,45	1,51	1,57	1,70	1,82				
265	287	309	331	353	376	363	420	442	464	465	508	530	552	574	618	663	112	114	116	119
0,78	0,84	0,91	0,97	1,04	1,10	1,17	1,23	1,30	1,36	1,43	1,49	1,56	1,62	1,69	1,82	1,95				
0,76	0,83	0,89	0,96	1,02	1,08	1,15	1,21	1,27	1,34	1,40	1,47	1,53	1,59	1,66	1,78	1,91				
0,74	0,80	0,86	0,92	0,98	1,04	1,11	1,17	1,23	1,29	1,35	1,41	1,47	1,54	1,60	1,72	1,84				
272	294	317	339	362	385	408	430	453	476	498	521	544	566	590	635	680	111	113	115	118
0,79	0,85	0,92	0,99	1,05	1,12	1,18	1,25	1,32	1,38	1,45	1,51	1,58	1,64	1,71	1,84	1,97				
0,77	0,84	0,90	0,97	1,03	1,10	1,16	1,23	1,29	1,36	1,42	1,48	1,55	1,61	1,68	1,81	1,94				
0,75	0,81	0,87	0,93	0,99	1,06	1,12	1,18	1,25	1,31	1,37	1,43	1,50	1,56	1,62	1,74	1,87				
279	302	326	349	372	395	419	442	465	488	512	535	558	581	605	651	698	110	112	114	117
0,80	0,87	0,93	0,99	1,06	1,13	1,20	1,26	1,33	1,40	1,46	1,53	1,60	1,66	1,73	1,86	2,00				
0,79	0,85	0,92	0,98	1,05	1,11	1,18	1,24	1,31	1,37	1,44	1,51	1,57	1,64	1,70	1,83	1,96				
0,76	0,82	0,88	0,95	1,01	1,07	1,14	1,20	1,26	1,33	1,39	1,45	1,52	1,58	1,64	1,77	1,90				
286	309	334	357	381	405	429	452	477	500	524	548	572	595	620	667	715	109	111	113	116
0,81	0,88	0,94	1,01	1,08	1,15	1,21	1,28	1,35	1,41	1,48	1,55	1,62	1,68	1,75	1,87	2,02				
0,80	0,86	0,93	0,99	1,06	1,13	1,19	1,26	1,33	1,39	1,46	1,52	1,59	1,66	1,72	1,86	1,99				
0,77	0,83	0,90	0,96	1,02	1,09	1,15	1,22	1,28	1,35	1,41	1,47	1,54	1,60	1,67	1,79	1,92				
293	317	342	366	391	415	439	464	488	513	537	562	586	610	635	684	733	108	110	112	115
0,82	0,89	0,96	1,02	1,09	1,16	1,23	1,30	1,37	1,43	1,50	1,57	1,64	1,71	1,77	1,91	2,05				
0,81	0,87	0,94	1,01	1,08	1,14	1,21	1,28	1,34	1,41	1,48	1,55	1,61	1,68	1,75	1,88	2,02				
0,78	0,85	0,91	0,98	1,04	1,11	1,17	1,24	1,30	1,37	1,43	1,50	1,56	1,63	1,69	1,82	1,95				
300	324	350	374	400	424	450	474	500	524	560	574	600	624	650	700	750	107	109	111	114
0,83	0,90	0,97	1,04	1,11	1,17	1,24	1,31	1,38	1,45	1,52	1,59	1,66	1,73	1,80	1,93	2,07				
0,80	0,87	0,94	1,00	1,07	1,14	1,21	1,27	1,34	1,41	1,48	1,54	1,61	1,68	1,74	1,85	2,01				
0,79	0,86	0,92	0,99	1,06	1,12	1,19	1,25	1,32	1,39	1,45	1,52	1,59	1,65	1,72	1,85	1,98				
307	333	358	384	409	435	460	486	511	537	563	588	614	640	665	716	767	106	108	110	113
0,84	0,91	0,98	1,05	1,12	1,19	1,26	1,33	1,40	1,47	1,54	1,61	1,68	1,75	1,82	1,96	2,10				
0,82	0,88	0,95	1,02	1,09	1,16	1,22	1,29	1,36	1,43	1,50	1,57	1,63	1,70	1,77	1,91	2,04				
0,80	0,87	0,94	1,00	1,07	1,14	1,21	1,27	1,34	1,41	1,47	1,54	1,61	1,67	1,74	1,87	2,01				
314	335	366	392	419	444	471	497	523	549	576	601	628	654	680	733	785	105	107	109	112
0,85	0,92	0,99	1,07	1,14	1,21	1,28	1,35	1,42	1,49	1,56	1,63	1,71	1,78	1,85	1,99	2,13				
0,83	0,90	0,97	1,04	1,10	1,17	1,24	1,31	1,38	1,45	1,52	1,59	1,66	1,73	1,79	1,93	2,07				
0,82	0,88	0,95	1,02	1,09	1,16	1,22	1,29	1,36	1,43	1,50	1,57	1,63	1,70	1,77	1,91	2,04				
321	348	374	401	428	455	481	508	535	562	588	615	642	669	695	749	802	104	106	108	111
0,86	0,94	1	1,08	1,15	1,22	1,3	1,37	1,44	1,51	1,58	1,66	1,73	1,8	1,87	2,02	2,16				
0,84	0,91	0,98	1,05	1,12	1,19	1,26	1,33	1,4	1,47	1,54	1,61	1,68	1,75	1,82	1,96	2,1				
0,83	0,9	0,97	1,04	1,1	1,17	1,24	1,31	1,38	1,45	1,52	1,59	1,66	1,73	1,79	1,93	2,07				
328	355	383	409	437	464	492	519	547	573	604	628	656	683	710	765	820	103	105	107	110
0,88	0,95	1,02	1,1	1,17	1,24	1,31	1,39	1,46	1,53	1,61	1,68	1,75	1,83	1,9	2,04	2,19				
0,85	0,92	0,99	1,07	1,14	1,21	1,28	1,35	1,42	1,49	1,56	1,63	1,71	1,78	1,85	1,99	2,13				
0,84	0,91	0,98	1,06	1,12	1,19	1,26	1,33	1,4	1,47	1,54	1,61	1,68	1,75	1,82	1,96	2,1				
335	303	391	419	446	474	502	530	558	586	614	642	610	698	726	781	837	102	104	106	109
0,89	0,96	1,04	1,11	1,18	1,26	1,33	1,41	1,48	1,55	1,63	1,7	1,78	1,85	1,92	2,07	2,22				
0,87	0,94	1,01	1,08	1,15	1,23	1,3	1,37	1,44	1,52	1,59	1,66	1,73	1,8	1,88	2,02	2,16				
0,85	0,93	1,0	1,07	1,14	1,21	1,28	1,35	1,42	1,5	1,57	1,64	1,71	1,78	1,85	1,99	2,14				
342	318	399	427	456	484	513	541	570	598	627	655	684	712	791	798	854	101	103	105	108
0,9	0,98	1,05	1,13	1,2	1,28	1,35	1,43	1,5	1,58	1,65	1,73	1,8	1,88	1,95	2,1	2,25				
0,88	0,95	1,03	1,1	1,17	1,25	1,32	1,39	1,47	1,54	1,61	1,68	1,76	1,83	1,9	2,05	2,18				
0,87	0,94	0,01	0,09	1,16	1,23	1,3	1,38	1,45	1,52	1,59	1,67	1,74	1,81	1,88	2,03	2,17				

Температура воды в приборе t_{cp} при t_b , °C					Показатель степени n	Значения A_{np} , м ² , при расчетном расходе воды в стояке $G_{ст}$, кг/ч, или тепловой нагрузке																	
5	8	10	12	15		$G_{ст}$ – расход воды в стояке, кг/ч;																	
						160	170	180	190	200	225	250	275	300	335	370	400	435	470	500	550		
$G_{ст}^* = 186$						198	209	221	223	262	291	320	349	390	430	465	506	547	581	640			
$Q_{np}^*/\varphi = 137$						146	155	163	172	193	215	236	258	288	318	344	374	404	430	473			
87	90	92	94	97	ΣQ_p	93	99	105	110	116	130	145	159	174	194	215	233	252	273	291	320		
					0,15–0,35	0,24	0,25	0,27	0,28	0,3	0,33	0,37	0,41	0,45	0,5	0,56	0,6	0,65	0,7	0,75	0,82		
86	89	91	93	96	ΣQ_p	95	101	107	113	119	134	148	163	178	199	220	237	258	279	296	326		
					0,15–0,35	0,24	0,26	0,27	0,29	0,3	0,34	0,38	0,42	0,45	0,51	0,56	0,60	0,66	0,71	0,76	0,83		
85	88	90	92	95	ΣQ_p	96	102	109	115	121	136	151	166	181	202	293	242	262	284	302	333		
					0,15–0,35	0,25	0,26	0,28	0,29	0,31	0,35	0,38	0,42	0,46	0,51	0,57	0,61	0,67	0,72	0,77	0,84		
84	87	89	91	94	ΣQ_p	99	105	110	117	123	138	153	170	185	207	228	246	267	289	308	338		
					0,15–0,35	0,25	0,26	0,28	0,3	0,31	0,35	0,39	0,43	0,47	0,52	0,58	0,62	0,68	0,73	0,78	0,86		
83	86	88	90	93	ΣQ_p	100	107	113	120	127	141	157	172	188	210	233	251	273	295	314	345		
					0,15–0,35	0,25	0,27	0,29	0,3	0,32	0,36	0,4	0,44	0,48	0,53	0,59	0,63	0,69	0,74	0,79	0,87		
82	85	87	89	92	ΣQ_p	102	108	115	121	128	144	159	176	192	214	236	256	278	300	320	351		
					0,15–0,35	0,26	0,27	0,29	0,31	0,32	0,36	0,4	0,44	0,48	0,54	0,6	0,64	0,7	0,76	0,81	0,89		
81	94	86	88	91	ΣQ_p	105	110	117	123	130	146	163	184	195	219	241	260	284	306	326	358		
					0,15–0,35	0,26	0,28	0,29	0,31	0,33	0,37	0,41	0,45	0,49	0,55	0,61	0,66	0,71	0,77	0,82	0,90		
80	83	85	87	90	ΣQ_p	106	113	119	126	132	149	177	182	199	222	245	265	288	312	331	364		
					0,15–0,35	0,27	0,28	0,30	0,32	0,33	0,37	0,42	0,46	0,50	0,56	0,62	0,67	0,72	0,78	0,83	0,92		
79	82	84	86	89	ΣQ_p	108	115	121	128	135	151	169	185	202	226	250	270	293	317	337	371		
					0,15–0,35	0,27	0,29	0,30	0,32	0,34	0,38	0,42	0,46	0,51	0,57	0,62	0,68	0,73	0,79	0,84	0,93		
78	81	83	85	88	ΣQ_p	109	116	123	130	137	157	171	188	206	230	253	274	299	322	343	377		
					0,15–0,35	0,28	0,29	0,31	0,33	0,34	0,39	0,43	0,47	0,52	0,58	0,64	0,69	0,75	0,81	0,86	0,95		
77	80	82	84	87	ΣQ_p	112	119	126	132	139	157	174	192	209	234	258	279	303	328	349	384		
					0,15–0,35	0,28	0,30	0,32	0,33	0,35	0,39	0,44	0,48	0,53	0,59	0,65	0,70	0,76	0,82	0,88	0,97		
76	79	81	83	86	ΣQ_p	114	121	128	135	142	159	177	195	213	237	263	283	308	334	355	390		
					0,15–0,35	0,29	0,30	0,32	0,34	0,36	0,40	0,45	0,49	0,53	0,60	0,66	0,71	0,78	0,84	0,89	0,98		
75	78	80	82	85	ΣQ_p	115	122	130	137	144	162	180	198	216	242	266	288	314	338	360	396		
					0,15–0,35	0,29	0,31	0,33	0,35	0,36	0,41	0,45	0,50	0,55	0,61	0,67	0,73	0,79	0,85	0,91	1,0		
74	77	79	81	84	ΣQ_p	117	124	131	139	146	165	182	201	220	245	271	293	319	344	366	402		
					0,15–0,35	0,30	0,31	0,33	0,35	0,37	0,42	0,46	0,51	0,55	0,62	0,68	0,74	0,80	0,87	0,92	1,02		
73	76	78	80	83	ΣQ_p	119	127	134	142	149	167	186	205	223	249	276	298	323	350	372	409		
					0,15–0,35	0,30	0,32	0,34	0,36	0,38	0,42	0,47	0,52	0,57	0,63	0,70	0,75	0,82	0,89	0,94	1,04		
72	75	77	79	82	ΣQ_p	121	128	136	143	151	170	188	208	227	253	279	302	329	355	378	415		
					0,15–0,35	0,31	0,33	0,35	0,36	0,38	0,43	0,48	0,53	0,58	0,64	0,71	0,77	0,83	0,90	0,96	1,06		
71	74	76	78	81	ΣQ_p	123	130	138	145	153	172	192	210	230	257	284	307	334	360	384	422		
					0,15–0,35	0,31	0,33	0,35	0,37	0,39	0,44	0,49	0,54	0,59	0,66	0,72	0,78	0,85	0,92	0,98	1,08		
70	73	75	77	80	ΣQ_p	125	132	141	148	156	176	194	214	234	260	288	312	338	366	390	428		
					0,15–0,35	0,32	0,34	0,36	0,38	0,40	0,45	0,50	0,55	0,60	0,67	0,74	0,80	0,87	0,94	1,00	1,10		
69	72	74	76	79	ΣQ_p	127	135	142	150	158	178	198	217	237	265	293	316	344	372	395	435		
					0,15–0,35	0,33	0,35	0,37	0,39	0,41	0,46	0,51	0,56	0,61	0,68	0,75	0,82	0,89	0,96	1,02	1,12		
68	71	73	75	78	ΣQ_p	128	136	144	152	160	180	200	221	241	268	296	321	349	377	401	441		
					0,15–0,35	0,33	0,35	0,37	0,39	0,42	0,47	0,52	0,57	0,62	0,70	0,77	0,83	0,90	0,98	1,04	1,14		
67	70	72	74	77	ΣQ_p	130	138	146	155	163	182	203	223	244	272	301	326	353	383	407	448		
					0,15–0,35	0,34	0,36	0,38	0,40	0,42	0,48	0,53	0,58	0,64	0,71	0,78	0,85	0,92	1,00	1,06	1,16		
66	69	71	73	76	ΣQ_p	132	141	149	157	165	186	206	227	248	277	306	330	359	388	413	453		
					0,15–0,35	0,35	0,37	0,39	0,41	0,43	0,49	0,54	0,60	0,65	0,73	0,80	0,87	0,94	1,02	1,08	1,19		
65	68	70	72	75	ΣQ_p	134	142	151	159	167	188	209	230	251	280	309	335	364	393	419	460		
					0,15–0,35	0,35	0,38	0,40	0,42	0,44	0,50	0,55	0,61	0,66	0,74	0,82	0,88	0,96	1,04	1,11	1,22		
64	67	69	71	74	ΣQ_p	136	144	152	162	170	191	212	232	255	284	314	339	369	399	424	467		
					0,15–0,35	0,36	0,38	0,41	0,43	0,45	0,51	0,56	0,62	0,68	0,76	0,84	0,9	0,98	1,06	1,13	1,24		
63	66	68	70	73	ΣQ_p	137	146	155	164	172	193	215	236	258	288	319	344	374	405	430	473		
					0,15–0,35	0,37	0,39	0,41	0,44	0,46	0,52	0,58	0,63	0,69	0,77	0,85	0,92	1,00	1,08	1,15	1,27		
62	65	67	69	72	ΣQ_p	139	148	157	165	174	196	217	239	262	292	322	349	379	409	436	479		

Продолжение табл 9.8

прибора $Q_{пр}/\phi$, Вт (при тепловой нагрузке в ккал/ч см строки таблицы, обозначенные $Q_{пр}^*/\phi$ – тепловая нагрузка прибора, ккал/чТемпература
воды в приборе

600	650	700	750	800	850	900	950	1000	1050	1100	1150	1200	1250	1300	1400	1500	$t_{ср}$ при $t_{в}$, °C				
698	756	814	872	930	988	1047	1105	1163	1221	1279	1337	1396	1454	1512	1628	1744					
516	559	602	645	688	731	774	817	860	903	946	989	1032	1075	1118	1204	1290	18	20	22	25	
349	378	407	436	465	494	523	552	581	610	640	669	698	727	756	814	872	100	102	104	107	
0,89	0,97	1,04	1,12	1,19	1,26	1,34	1,4	1,49	1,56	1,64	1,71	1,79	1,86	1,93	2,08	2,23					
356	385	412	444	474	503	534	562	593	622	652	681	712	741	771	830	890	99	101	103	106	
0,91	0,98	1,06	1,13	1,21	1,28	1,36	1,44	1,52	1,59	1,66	1,74	1,81	1,89	1,96	2,12	2,27					
363	393	423	453	484	514	544	574	604	635	665	695	725	756	786	847	907	98	100	102	105	
0,92	1,00	1,07	1,15	1,23	1,30	1,38	1,46	1,55	1,61	1,69	1,77	1,84	1,92	2,00	2,15	2,30					
370	400	431	462	493	523	555	584	616	647	678	708	740	770	801	863	924	97	99	101	104	
0,93	1,01	1,09	1,17	1,25	1,32	1,4	1,48	1,57	1,64	1,71	1,79	1,87	1,95	2,03	2,18	2,34					
377	408	437	471	502	529	565	597	628	659	691	722	754	785	816	879	942	96	98	100	103	
0,95	1,03	1,11	1,19	1,27	1,35	1,43	1,5	1,6	1,66	1,74	1,82	1,9	1,98	2,06	2,22	2,38					
384	415	447	479	511	543	575	607	640	671	704	735	767	792	831	895	959	95	97	99	102	
0,97	1,05	1,13	1,21	1,29	1,37	1,45	1,53	1,62	1,69	1,77	1,85	1,93	2,01	2,09	2,25	2,42					
391	423	456	488	521	553	586	619	651	684	716	749	781	814	847	912	977	94	96	98	101	
0,98	1,06	1,15	1,23	1,31	1,39	1,47	1,56	1,64	1,72	1,80	1,88	1,97	2,05	2,13	2,29	2,46					
398	430	464	497	530	563	597	629	663	695	729	762	795	818	862	928	994	93	95	97	100	
1,00	1,08	1,17	1,25	1,33	1,42	1,50	1,58	1,67	1,75	1,83	1,92	2,00	2,08	2,17	2,33	2,50					
404	438	472	506	540	573	607	641	674	708	742	776	809	813	877	944	1012	92	94	96	99	
1,01	1,10	1,18	1,27	1,35	1,44	1,52	1,60	1,69	1,77	1,86	1,94	2,03	2,11	2,20	2,36	2,53					
412	445	480	514	549	583	617	651	686	720	755	788	823	857	892	960	1029	91	93	95	98	
1,03	1,12	1,21	1,29	1,38	1,46	1,55	1,64	1,72	1,81	1,90	1,98	2,07	2,15	2,24	2,41	2,58					
419	453	488	523	558	593	628	663	698	733	767	802	837	872	907	977	1047	90	92	94	97	
1,05	1,14	1,23	1,32	1,40	1,49	1,58	1,67	1,76	1,84	1,93	2,02	2,11	2,19	2,28	2,46	2,63					
426	460	496	531	567	602	638	673	709	744	780	815	851	886	922	993	1067	89	91	93	96	
1,07	1,16	1,25	1,34	1,43	1,52	1,60	1,69	1,78	1,87	1,96	2,05	2,14	2,23	2,32	2,50	2,67					
433	467	505	541	577	613	647	685	721	757	793	829	865	901	937	1008	1081	88	90	92	95	
1,09	1,18	1,27	1,36	1,45	1,54	1,64	1,73	1,82	1,91	2,00	2,09	2,18	2,27	2,36	2,54	2,73					
440	476	513	549	586	622	659	695	733	768	806	842	879	914	952	1026	1099	87	89	91	94	
1,11	1,20	1,29	1,39	1,48	1,57	1,66	1,76	1,85	1,94	2,03	2,13	2,22	2,31	2,40	2,59	2,77					
446	484	521	558	595	633	670	707	744	781	819	856	893	930	968	1042	1116	86	88	90	93	
1,13	1,23	1,32	1,41	1,51	1,60	1,70	1,79	1,89	1,98	2,07	2,17	2,26	2,36	2,45	2,64	2,83					
453	491	529	566	605	642	680	717	756	793	831	869	907	944	983	1058	1134	85	87	89	92	
1,15	1,25	1,34	1,44	1,54	1,63	1,82	1,82	1,92	2,01	2,11	2,21	2,30	2,40	2,49	2,69	2,88					
460	499	537	576	614	652	691	720	767	806	844	883	921	959	998	1075	1151	84	86	88	91	
1,18	1,27	1,37	1,47	1,57	1,67	1,76	1,86	1,96	2,06	2,15	2,25	2,35	2,45	2,55	2,74	2,94					
467	506	545	584	623	662	701	740	779	817	857	895	935	973	1013	1091	1169	83	85	87	90	
1,20	1,30	1,40	1,50	1,60	1,70	1,80	1,90	2,00	2,09	2,19	2,29	2,39	2,49	2,59	2,79	2,99					
474	514	551	593	633	672	712	751	791	830	870	909	949	988	1028	1107	1186	82	84	86	89	
1,22	1,32	1,43	1,53	1,63	1,73	1,83	1,94	2,04	2,14	2,24	2,34	2,45	2,55	2,65	2,85	3,06					
481	521	562	601	642	681	722	762	802	842	883	922	963	1002	1043	1123	1209	81	83	85	88	
1,25	1,35	1,45	1,56	1,65	1,77	1,87	1,97	2,08	2,18	2,28	2,39	2,49	2,60	2,70	2,91	3,12					
488	529	570	610	651	692	733	773	814	855	895	936	977	1018	1058	1140	1220	80	82	84	87	
1,27	1,38	1,48	1,59	1,69	1,80	1,91	2,01	2,12	2,22	2,33	2,44	2,54	2,65	2,75	2,97	3,18					
495	536	578	619	660	701	743	784	826	866	908	949	991	1031	1073	1156	1238	79	81	83	86	
1,30	1,41	1,52	1,62	1,73	1,84	1,94	2,06	2,17	2,27	2,38	2,49	2,60	2,71	2,82	3,03	3,25					
502	544	586	628	670	712	754	795	837	879	921	963	1005	1047	1088	1172	1256	78	80	82	85	
1,33	1,44	1,55	1,66	1,77	1,88	1,99	2,10	2,21	2,32	2,43	2,54	2,65	2,76	2,87	3,09	3,32					
509	551	594	636	679	721	764	806	849	891	934	976	1019	1061	1104	1188	1273	77	79	81	84	
1,35	1,47	1,58	1,69	1,81	1,92	2,03	2,14	2,26	2,37	2,48	2,6	2,71	2,82	2,93	3,16	3,39					
516	559	602	645	688	731	774	817	861	897	947	990	1033	1076	1119	1205	1291	76	78	80	83	
1,38	1,50	1,61	1,73	1,84	1,96	2,07	2,19	2,31	2,42	2,54	2,65	2,77	2,88	3,00	3,23	3,46					
523	566	610	654	698	741	785	828	872	915	955	1002	1046	1090	1134	1221	1308	75	77	79	82	

Температура воды в приборе t_{cp} при t_s , °C					Показатель степени n	Значения $A_{пр}$, м ² , при расчетном расходе воды в стояке $G_{ст}$, кг/ч, или тепловой нагрузке $G_{ст}^*$ – расход воды в стояке, кг/ч,																
5	8	10	12	15		160	170	180	190	200	225	250	275	300	335	370	400	435	470	500	550	
					$G_{ст}^* = 186$	198	209	221	223	262	291	320	349	390	430	465	506	547	581	640		
					$Q_{пр}^*/\varphi = 137$	146	155	163	172	193	215	236	258	288	318	344	374	404	430	473		
61	64	66	68	71	0,15–0,35	0,38	0,40	0,43	0,45	0,47	0,53	0,59	0,65	0,71	0,79	0,87	0,94	1,03	1,11	1,18	1,30	
					ΣQ_p	142	150	159	167	168	199	221	243	265	296	327	353	385	415	442	486	
60	63	65	67	70	0,15 0,35	0,39	0,41	0,43	0,46	0,48	0,54	0,60	0,66	0,72	0,81	0,89	0,97	1,05	1,14	1,21	1,33	
					ΣQ_p	143	152	162	170	179	201	223	246	269	300	331	358	413	421	448	492	
59	62	64	66	69	0,15 0,35	0,40	0,42	0,44	0,47	0,49	0,56	0,62	0,68	0,74	0,83	0,91	0,99	1,07	1,16	1,24	1,36	
					ΣQ_p	145	155	163	172	181	203	227	249	272	303	336	363	394	427	453	499	
58	61	63	65	68	0,15–0,35	0,40	0,43	0,46	0,48	0,51	0,57	0,63	0,70	0,76	0,85	0,94	1,01	1,10	1,19	1,26	1,39	
					ΣQ_p	146	156	165	174	184	207	229	252	276	308	339	367	400	431	459	505	
					0,15–0,20	0,41	0,44	0,46	0,49	0,51	0,58	0,64	0,70	0,77	0,86	0,95	1,02	1,11	1,20	1,28	1,41	
					0,25	0,41	0,44	0,47	0,49	0,52	0,58	0,65	0,71	0,78	0,87	0,96	1,04	1,13	1,22	1,29	1,42	
57	60	62	64	67	0,30 0,35	0,42	0,45	0,48	0,50	0,53	0,60	0,66	0,73	0,79	0,89	0,98	1,06	1,15	1,24	1,32	1,45	
					ΣQ_p	149	158	167	177	186	209	233	256	279	312	344	372	405	437	465	512	
					0,15–0,20	0,42	0,45	0,47	0,50	0,52	0,59	0,66	0,72	0,79	0,88	0,97	1,05	1,14	1,23	1,31	1,44	
					0,25	0,42	0,45	0,48	0,50	0,53	0,60	0,66	0,73	0,80	0,89	0,98	1,06	1,15	1,25	1,33	1,46	
56	59	61	63	66	0,30 0,35	0,43	0,46	0,49	0,52	0,54	0,61	0,68	0,75	0,81	0,91	1,01	1,09	1,18	1,27	1,36	1,49	
					ΣQ_p	150	160	170	181	188	212	235	259	283	315	349	377	409	443	471	517	
					0,15–0,20	0,43	0,46	0,48	0,51	0,54	0,60	0,67	0,74	0,81	0,90	0,99	1,07	1,17	1,26	1,34	1,48	
					0,25	0,44	0,46	0,49	0,52	0,54	0,61	0,68	0,75	0,82	0,91	1,01	1,09	1,18	1,28	1,36	1,50	
55	58	60	62	65	0,30–0,35	0,45	0,47	0,50	0,53	0,56	0,63	0,70	0,77	0,84	0,94	1,03	1,12	1,21	1,31	1,40	1,54	
					ΣQ_p	152	162	172	181	191	214	238	262	286	320	352	381	415	448	477	524	
					0,15–0,20	0,44	0,47	0,49	0,52	0,55	0,62	0,69	0,76	0,82	0,92	1,02	1,10	1,19	1,29	1,37	1,51	
					0,25	0,45	0,47	0,50	0,53	0,56	0,63	0,70	0,77	0,84	0,94	1,03	1,12	1,21	1,31	1,40	1,54	
54	57	59	61	64	0,30 0,35	0,46	0,49	0,52	0,54	0,57	0,64	0,72	0,79	0,86	0,96	1,06	1,15	1,25	1,35	1,43	1,58	
					ΣQ_p	155	164	173	184	193	217	241	265	289	323	357	386	420	453	483	530	
					0,15 0,20	0,45	0,48	0,51	0,54	0,56	0,63	0,70	0,78	0,85	0,94	1,04	1,13	1,23	1,32	1,41	1,55	
					0,25	0,46	0,49	0,51	0,54	0,57	0,64	0,71	0,79	0,86	0,96	1,06	1,14	1,24	1,34	1,43	1,57	
53	56	58	60	63	0,30–0,35	0,47	0,50	0,53	0,56	0,59	0,66	0,74	0,81	0,88	0,99	1,09	1,18	1,28	1,38	1,47	1,62	
					ΣQ_p	156	166	176	186	195	220	244	269	293	327	362	391	424	459	488	537	
					0,15 0,20	0,46	0,49	0,52	0,55	0,58	0,65	0,72	0,80	0,87	0,97	1,07	1,16	1,26	1,36	1,44	1,59	
					0,25	0,47	0,50	0,53	0,56	0,59	0,66	0,73	0,81	0,88	0,98	1,09	1,17	1,28	1,38	1,47	1,61	
52	55	57	59	62	0,30 0,35	0,48	0,51	0,55	0,58	0,61	0,68	0,76	0,83	0,91	1,01	1,12	1,21	1,32	1,42	1,51	1,67	
					ΣQ_p	158	167	178	187	198	222	246	272	296	331	365	395	430	464	494	543	
					0,15 0,20	0,47	0,50	0,53	0,56	0,59	0,67	0,74	0,82	0,89	0,99	1,10	1,19	1,29	1,39	1,48	1,63	
					0,25	0,48	0,51	0,54	0,57	0,60	0,68	0,75	0,83	0,91	1,01	1,12	1,21	1,31	1,42	1,51	1,66	
51	54	56	58	61	0,30–0,35	0,50	0,53	0,56	0,59	0,62	0,70	0,78	0,86	0,93	1,04	1,15	1,25	1,36	1,46	1,56	1,71	
					ΣQ_p	160	170	180	189	200	224	250	274	300	335	370	400	435	470	500	550	
					0,15–0,20	0,49	0,52	0,55	0,58	0,61	0,69	0,76	0,84	0,91	1,02	1,13	1,22	1,33	1,43	1,52	1,68	
					0,25	0,50	0,53	0,56	0,59	0,62	0,70	0,78	0,85	0,93	1,04	1,15	1,24	1,35	1,46	1,55	1,71	
50	53	55	57	60	0,30–0,35	0,52	0,55	0,58	0,61	0,64	0,72	0,81	0,89	0,97	1,08	1,19	1,29	1,40	1,51	1,61	1,77	
					ΣQ_p	162	172	182	191	202	228	252	278	303	338	374	404	439	476	506	556	
					0,15–0,20	0,50	0,53	0,56	0,59	0,63	0,70	0,78	0,86	0,94	1,05	1,16	1,25	1,36	1,47	1,56	1,72	
					0,25	0,51	0,54	0,57	0,61	0,64	0,72	0,80	0,88	0,96	1,07	1,18	1,27	1,39	1,50	1,59	1,75	
49	52	54	56	59	0,30–0,35	0,53	0,56	0,60	0,63	0,66	0,75	0,83	0,91	1,0	1,11	1,23	1,33	1,44	1,56	1,66	1,83	
					ΣQ_p	164	174	184	194	205	230	256	281	307	343	379	409	445	481	511	563	
					0,15	0,50	0,53	0,56	0,59	0,63	0,70	0,78	0,86	0,94	1,05	1,16	1,25	1,36	1,47	1,57	1,72	
					0,20–0,25	0,53	0,56	0,59	0,62	0,66	0,74	0,82	0,90	0,98	1,10	1,21	1,31	1,43	1,54	1,64	1,81	
					0,30 0,35	0,55	0,58	0,61	0,65	0,68	0,77	0,85	0,94	1,02	1,14	1,26	1,36	1,48	1,60	1,71	1,88	
48	51	53	55	58	ΣQ_p	165	176	186	196	207	232	258	285	310	346	383	414	450	486	517	569	
					0,15	0,52	0,55	0,58	0,61	0,65	0,73	0,81	0,89	0,97	1,08	1,20	1,29	1,41	1,52	1,62	1,78	
					0,20–0,25	0,54	0,58	0,61	0,64	0,68	0,76	0,85	0,93	1,02	1,13	1,25	1,35	1,47	1,59	1,69	1,86	
					0,30 0,35	0,56	0,60	0,63	0,67	0,70	0,79	0,88	0,97	1,06	1,18	1,30	1,41	1,53	1,66	1,76	1,94	

Продолжение табл. 9.8

прибора Q_{np}/ϕ , Вт (при тепловой нагрузке в ккал/ч—см. строки таблицы, обозначенные

Q_{np}^*/ϕ тепловая нагрузка прибора, ккал/ч																	Температура воды в приборе			
600	650	700	750	800	850	900	950	1000	1050	1100	1150	1200	1250	1300	1400	1500	t_{cp} при $t_{в}, C$			
698	756	814	872	930	988	1047	1105	1163	1221	1279	1337	1396	1454	1512	1628	1744	18	20	22	25
516	559	602	645	688	731	774	817	860	903	946	989	1032	1075	1118	1204	1290	18	20	22	25
1,42	1,54	1,65	1,77	1,89	2,01	2,13	2,24	2,36	2,48	2,60	2,72	2,93	2,95	3,07	3,31	3,54				
530	574	619	663	707	751	795	840	884	928	972	1016	1061	1105	1149	1237	1326	74	76	78	81
1,45	1,57	1,69	1,81	1,93	2,05	2,17	2,29	2,42	2,54	2,66	2,78	2,90	3,02	3,14	3,38	3,62				
537	581	627	671	716	761	806	850	895	940	985	1029	1075	1119	1164	1254	1343	73	75	77	80
1,48	1,61	1,73	1,85	1,98	2,10	2,22	2,35	2,47	2,59	2,72	2,84	2,97	3,09	3,21	3,46	3,71				
544	590	635	680	726	771	816	862	907	952	998	1043	1088	1134	1179	1270	1361	72	74	76	79
1,52	1,64	1,77	1,90	2,02	2,15	2,28	2,40	2,53	2,66	2,78	2,91	3,03	3,16	3,29	3,54	3,79				
551	597	643	688	735	786	827	872	919	964	1011	1056	1102	1148	1194	1286	1378	71	73	75	78
1,54	1,66	1,79	1,92	2,05	2,18	2,30	2,43	2,56	2,69	2,81	2,94	3,07	3,20	3,33	3,58	3,84				
1,55	1,68	1,81	1,94	2,07	2,20	2,33	2,46	2,59	2,72	2,85	2,98	3,11	3,24	3,37	3,62	3,88				
1,59	1,72	1,85	1,98	2,12	2,25	2,38	2,51	2,65	2,78	2,91	3,04	3,17	3,31	3,44	3,70	3,97				
558	605	651	698	744	791	837	884	930	977	1023	1070	1116	1163	1209	1302	1396	70	72	74	77
1,57	1,70	1,83	1,97	2,10	2,23	2,36	2,49	2,62	2,75	2,88	3,01	3,15	3,28	3,41	3,67	3,93				
1,59	1,73	1,86	1,99	2,12	2,26	2,39	2,52	2,65	2,79	2,92	3,05	3,18	3,32	3,45	3,72	3,98				
1,63	1,76	1,90	2,03	2,17	2,31	2,44	2,58	2,71	2,85	2,98	3,12	3,25	3,39	3,53	3,80	4,07				
565	612	639	706	754	800	848	891	942	988	1036	1083	1130	1177	1225	1319	1413	69	71	73	76
1,61	1,75	1,88	2,02	2,15	2,28	2,42	2,55	2,69	2,82	2,96	3,09	3,22	3,36	3,49	3,76	4,03				
1,63	1,77	1,90	2,04	2,18	2,31	2,45	2,58	2,72	2,86	2,99	3,13	3,27	3,40	3,54	3,81	4,08				
1,68	1,81	1,95	2,09	2,23	2,37	2,51	2,65	2,79	2,93	3,07	3,21	3,35	3,49	3,63	3,91	4,19				
572	620	667	715	763	811	858	906	954	1001	1049	1097	1144	1192	1240	1335	1430	68	70	72	75
1,65	1,79	1,92	2,06	2,20	2,33	2,47	2,61	2,75	2,88	3,02	3,16	3,30	3,43	3,57	3,85	4,12				
1,68	1,81	1,95	2,09	2,23	2,37	2,51	2,65	2,79	2,93	3,07	3,21	3,35	3,49	3,63	3,91	4,19				
1,72	1,86	2,01	2,15	2,29	2,44	2,58	2,72	2,87	3,01	3,15	3,30	3,44	3,58	3,73	4,01	4,30				
579	627	676	723	772	820	869	916	965	1012	1061	1109	1158	1206	1255	1351	1448	67	69	71	74
1,69	1,83	1,97	2,11	2,26	2,40	2,54	2,68	2,82	2,96	3,10	3,24	3,38	3,52	3,66	3,95	4,23				
1,71	1,86	2,0	2,14	2,28	2,43	2,57	2,71	2,86	3,0	3,14	3,28	3,43	3,57	3,71	4,0	4,28				
1,77	1,91	2,06	2,21	2,36	2,50	2,65	2,80	2,94	3,09	3,24	3,39	3,53	3,63	3,83	4,12	4,42				
586	635	684	733	781	830	879	928	977	1026	1074	1122	1172	1221	1270	1368	1465	66	68	70	73
1,74	1,88	2,03	2,17	2,32	2,46	2,61	2,75	2,90	3,04	3,18	3,33	3,47	3,62	3,76	4,05	4,34				
1,76	1,91	2,05	2,20	2,35	2,49	2,64	2,79	2,94	3,08	3,23	3,38	3,52	3,67	3,82	4,11	4,40				
1,82	1,97	2,12	2,27	2,42	2,57	2,73	2,88	3,03	3,18	3,33	3,48	3,63	3,79	3,94	4,24	4,54				
593	642	692	741	791	840	890	938	988	1037	1110	1136	1186	1235	1285	1384	1483	65	67	69	72
1,78	1,93	2,08	2,22	2,37	2,52	2,67	2,82	2,97	3,11	3,26	3,41	3,56	3,71	3,85	4,15	4,45				
1,81	1,96	2,11	2,26	2,41	2,56	2,72	2,87	3,02	3,17	3,32	3,47	3,62	3,77	3,92	4,22	4,53				
1,87	2,02	2,18	2,34	2,49	2,65	2,80	2,96	3,12	3,27	3,43	3,58	3,74	3,89	4,05	4,36	4,67				
600	650	700	750	800	850	900	950	1000	1050	1100	1150	1200	1250	1310	1400	1500	64	66	68	71
1,83	1,98	2,13	2,29	2,44	2,59	2,74	2,90	3,05	3,20	3,35	3,51	3,66	3,81	3,96	4,27	4,57				
1,86	2,02	2,17	2,33	2,48	2,64	2,79	2,95	3,10	3,26	3,41	3,57	3,72	3,88	4,04	4,35	4,66				
1,93	2,09	2,25	2,42	2,58	2,74	2,90	3,05	3,22	3,38	3,54	3,70	3,86	4,03	4,19	4,51	4,83				
607	657	708	758	809	859	911	961	1012	1062	1113	1163	1214	1264	1315	1416	1517	63	65	67	70
1,88	2,03	2,19	2,35	2,50	2,66	2,81	2,97	3,13	3,28	3,44	3,60	3,75	3,91	4,07	4,38	4,69				
1,91	2,07	2,23	2,39	2,55	2,71	2,87	3,03	3,19	3,34	3,50	3,66	3,82	3,98	4,14	4,46	4,78				
1,99	2,16	2,32	2,49	2,66	2,82	2,99	3,15	3,32	3,49	3,65	3,82	3,98	4,15	4,32	4,65	4,98				
614	665	716	765	819	870	921	972	1023	1075	1126	1177	1228	1279	1330	1433	1535	62	64	66	69
1,88	2,03	2,19	2,35	2,51	2,66	2,82	2,97	3,13	3,29	3,44	3,60	3,76	3,91	4,07	4,38	4,70				
1,97	2,13	2,30	2,46	2,63	2,79	2,95	3,12	3,28	3,45	3,61	3,77	3,94	4,10	4,27	4,59	4,92				
2,05	2,22	2,39	2,56	2,73	2,90	3,07	3,24	3,41	3,58	3,75	3,92	4,09	4,27	4,44	4,78	5,12				
621	672	724	776	828	879	931	983	1035	1086	1138	1190	1242	1293	1345	1449	1553	61	63	65	68
1,94	2,10	2,26	2,42	2,59	2,75	2,91	3,07	3,23	3,39	3,56	3,72	3,88	4,04	4,20	4,53	4,85				
2,03	2,20	2,37	2,54	2,71	2,88	3,05	3,22	3,39	3,55	3,72	3,89	4,06	4,23	4,40	4,74	5,08				
2,11	2,29	2,47	2,64	2,82	3,00	3,17	3,35	3,52	3,70	3,88	4,05	4,23	4,41	4,58	4,93	5,29				

Температура воды в приборе t_{cp} при t_a , °C					Показатель степени n	Значения A_{np} , м ² , при расчетном расходе воды в стояке $G_{ст}$, кг/ч, или тепловой нагрузке																		
5	8	10	12	15		$G_{ст}$ – расход воды в стояке, кг/ч;																		
					160	170	180	190	200	225	250	275	300	335	370	400	435	470	500	550				
					$G_{ст}^* = 186$	198	209	221	223	262	291	320	349	390	430	465	506	547	581	640				
					$Q_{np}^*/\varphi = 137$	146	155	163	172	193	215	236	258	288	318	344	374	404	430	473				
47	50	52	54	57	ΣQ_p	167	178	188	199	209	235	262	287	314	350	387	419	455	492	523	576			
					0,15	0,53	0,57	0,60	0,63	0,67	0,75	0,83	0,92	1,0	1,12	1,23	1,33	1,45	1,57	1,67	1,83			
					0,20–0,25	0,56	0,59	0,63	0,66	0,70	0,78	0,87	0,96	1,04	1,17	1,29	1,39	1,51	1,64	1,74	1,91			
					0,30–0,35	0,58	0,62	0,66	0,69	0,73	0,82	0,91	1,0	1,09	1,22	1,35	1,46	1,58	1,71	1,82	2,0			
46	49	51	53	56	ΣQ_p	170	180	191	201	212	238	264	291	317	355	392	429	460	498	529	581			
					0,15	0,55	0,58	0,62	0,65	0,69	0,77	0,86	0,94	1,03	1,15	1,27	1,37	1,49	1,61	1,71	1,88			
					0,20	0,56	0,60	0,63	0,67	0,70	0,79	0,88	0,97	1,05	1,18	1,30	1,40	1,53	1,65	1,76	1,93			
					0,25	0,58	0,61	0,65	0,68	0,72	0,81	0,90	0,99	1,08	1,21	1,33	1,44	1,57	1,69	1,80	1,98			
					0,30	0,59	0,62	0,66	0,70	0,74	0,83	0,92	1,01	1,10	1,23	1,36	1,47	1,60	1,73	1,84	2,02			
					0,35	0,60	0,64	0,68	0,72	0,75	0,85	0,94	1,04	1,13	1,26	1,40	1,51	1,64	1,77	1,89	2,07			
45	48	50	52	55	ΣQ_p	171	181	193	203	214	241	267	294	321	358	395	428	465	502	535	588			
					0,15	0,56	0,60	0,63	0,67	0,70	0,80	0,88	0,97	1,06	1,18	1,30	1,41	1,53	1,66	1,76	1,94			
					0,20	0,58	0,61	0,65	0,69	0,72	0,81	0,90	0,99	1,08	1,21	1,34	1,45	1,57	1,70	1,81	1,99			
					0,25	0,59	0,63	0,67	0,70	0,74	0,83	0,93	1,02	1,11	1,24	1,37	1,48	1,61	1,74	1,85	2,04			
					0,30	0,61	0,65	0,68	0,72	0,76	0,86	0,95	1,05	1,14	1,27	1,41	1,52	1,66	1,79	1,90	2,09			
					0,35	0,63	0,66	0,70	0,74	0,78	0,88	0,98	1,07	1,17	1,31	1,45	1,56	1,70	1,84	1,95	2,15			
44	47	49	51	54	ΣQ_p	173	184	194	204	216	243	270	298	324	362	400	433	470	508	541	594			
					0,15	0,58	0,62	0,65	0,69	0,73	0,82	0,91	1,00	1,09	1,22	1,34	1,45	1,58	1,71	1,81	2,00			
					0,20	0,60	0,64	0,67	0,71	0,75	0,84	0,93	1,03	1,12	1,25	1,38	1,50	1,63	1,76	1,87	2,06			
					0,25	0,61	0,65	0,69	0,73	0,77	0,86	0,96	1,06	1,15	1,29	1,42	1,54	1,67	1,80	1,92	2,11			
					0,30	0,63	0,67	0,71	0,75	0,79	0,88	0,98	1,08	1,18	1,32	1,45	1,57	1,71	1,85	1,96	2,16			
					0,35	0,65	0,69	0,73	0,77	0,81	0,91	1,01	1,11	1,21	1,35	1,49	1,61	1,76	1,90	2,02	2,22			
43	46	48	50	53	ΣQ_p	174	186	196	208	219	241	267	294	321	358	395	428	465	502	535	588			
					0,15	0,58	0,61	0,65	0,68	0,72	0,81	0,90	0,99	1,08	1,21	1,33	1,44	1,57	1,69	1,80	1,98			
					0,20	0,62	0,66	0,69	0,73	0,77	0,87	0,96	1,06	1,16	1,29	1,43	1,54	1,68	1,81	1,93	2,12			
					0,25	0,63	0,67	0,71	0,75	0,79	0,89	0,99	1,09	1,19	1,33	1,47	1,58	1,72	1,86	1,98	2,18			
					0,30	0,65	0,69	0,73	0,77	0,82	0,92	1,02	1,12	1,22	1,37	1,51	1,63	1,77	1,92	2,04	2,24			
					0,35	0,67	0,71	0,75	0,79	0,83	0,93	1,03	1,13	1,23	1,38	1,52	1,64	1,79	1,92	2,10	2,31			
42	45	47	49	52	ΣQ_p	177	187	199	209	221	249	276	303	331	370	408	442	480	519	552	597			
					0,15	0,62	0,66	0,70	0,74	0,77	0,87	0,97	1,07	1,16	1,30	1,43	1,55	1,68	1,82	1,94	2,13			
					0,20	0,64	0,68	0,72	0,76	0,80	0,90	1,00	1,09	1,19	1,33	1,47	1,59	1,73	1,87	1,99	2,19			
					0,25	0,66	0,70	0,74	0,78	0,82	0,92	1,02	1,13	1,23	1,37	1,52	1,64	1,78	1,92	2,05	2,25			
					0,30	0,67	0,72	0,76	0,80	0,84	0,95	1,05	1,16	1,26	1,41	1,56	1,69	1,83	1,98	2,11	2,37			
					0,35	0,69	0,74	0,78	0,83	0,87	0,98	1,09	1,19	1,30	1,45	1,61	1,74	1,89	2,04	2,17	2,39			
41	44	46	48	51	ΣQ_p	179	189	201	212	223	251	279	307	335	374	413	446	486	524	558	614			
					0,15	0,64	0,68	0,72	0,76	0,80	0,90	1,00	1,10	1,20	1,34	1,48	1,60	1,74	1,88	2,0	2,20			
					0,20	0,66	0,70	0,74	0,78	0,82	0,93	1,03	1,13	1,23	1,38	1,52	1,64	1,79	1,93	2,06	2,26			
					0,25	0,68	0,72	0,77	0,81	0,85	0,96	1,06	1,17	1,28	1,43	1,58	1,70	1,85	2,00	2,12	2,34			
					0,30	0,70	0,75	0,79	0,83	0,88	0,99	1,10	1,21	1,32	1,47	1,62	1,75	1,91	2,06	2,19	2,41			
					0,35	0,72	0,77	0,81	0,86	0,91	1,02	1,13	1,24	1,36	1,52	1,67	1,81	1,97	2,13	2,26	2,49			
40	43	45	47	50	ΣQ_p	180	192	203	214	226	253	281	310	338	378	417	451	491	530	564	620			
					0,15	0,66	0,70	0,74	0,78	0,83	0,93	1,03	1,14	1,24	1,38	1,53	1,65	1,80	1,94	2,06	2,27			
					0,20	0,68	0,72	0,77	0,81	0,85	0,96	1,06	1,17	1,28	1,43	1,58	1,70	1,85	2,00	2,13	2,34			
					0,25	0,71	0,75	0,79	0,84	0,88	0,99	1,10	1,21	1,32	1,48	1,63	1,76	1,92	2,07	2,20	2,42			
					0,30	0,73	0,77	0,82	0,86	0,91	1,02	1,14	1,25	1,36	1,52	1,68	1,82	1,98	2,14	2,27	2,50			
					0,35	0,75	0,80	0,85	0,89	0,94	1,06	1,17	1,29	1,41	1,57	1,74	1,88	2,04	2,21	2,35	2,58			
39	42	44	46	49	ΣQ_p	182	194	205	216	228	256	285	313	342	381	422	456	495	536	570	627			
					0,15	0,68	0,73	0,77	0,81	0,86	0,96	1,07	1,18	1,28	1,43	1,58	1,71	1,86	2,01	2,14	2,36			
					0,20	0,71	0,75	0,79	0,84	0,88	0,99	1,10	1,21	1,32	1,48	1,63	1,76	1,92	2,07	2,20	2,42			
					0,25	0,73	0,78	0,82	0,87	0,91	1,03	1,14	1,26	1,37	1,53	1,69	1,83	1,99	2,15	2,29	2,52			
					0,30	0,76	0,80	0,85	0,90	0,94	1,06	1,18	1,30	1,42	1,58	1,75	1,89	2,05	2,22	2,36	2,60			

Продолжение табл. 9.8

прибора $Q_{пр}/\phi$, Вт (при тепловой нагрузке в ккал/ч – см строки таблицы, обозначенные

$Q_{пр}/\phi$ тепловая нагрузка прибора, ккал/ч																	Температура воды в приборе			
600	650	700	750	800	850	900	950	1000	1050	1100	1150	1200	1250	1300	1400	1500	$t_{ср}$ при $t_{в}, \text{ } ^\circ\text{C}$			
698	756	814	872	930	988	1047	1105	1163	1221	1279	1337	1396	1454	1512	1628	1744	18	20	22	25
516	559	602	645	688	731	774	817	860	903	946	989	1032	1075	1118	1204	1290				
628	680	733	785	837	890	942	994	1047	1099	1151	1204	1256	1308	1361	1465	1570	60	62	64	67
2,0	2,17	2,33	2,50	2,67	2,83	3,0	3,17	3,33	3,50	3,67	3,83	4,0	4,17	4,33	4,66	5,0				
2,09	2,26	2,44	2,61	2,78	2,96	3,13	3,31	3,48	3,66	3,83	4,0	4,18	4,35	4,53	4,87	5,22				
2,19	2,37	2,55	2,73	2,91	3,10	3,28	3,46	3,64	3,83	4,01	4,19	4,37	4,55	4,74	5,10	5,46				
635	687	741	793	847	899	952	1005	1058	1111	1164	1216	1270	1322	1376	1482	1587	59	61	63	66
2,06	2,23	2,40	2,57	2,74	2,91	3,08	3,25	3,43	3,60	3,77	3,94	4,11	4,29	4,45	4,80	5,14				
2,11	2,28	2,46	2,63	2,81	2,98	3,16	3,33	3,51	3,69	3,86	4,04	4,21	4,39	4,56	4,91	5,27				
2,16	2,34	2,52	2,70	2,88	3,06	3,24	3,42	3,60	3,78	3,96	4,14	4,32	4,50	4,68	5,04	5,40				
2,21	2,39	2,57	2,76	2,94	3,12	3,31	3,49	3,68	3,86	4,04	4,23	4,41	4,59	4,78	5,15	5,51				
2,26	2,45	2,64	2,83	3,02	3,21	3,39	3,58	3,77	3,96	4,15	4,34	4,53	4,71	4,90	5,28	5,66				
642	695	749	802	856	909	963	1011	1070	1123	1177	1230	1284	1337	1391	1498	1605	58	60	62	65
2,11	2,29	2,47	2,64	2,82	3,00	3,17	3,35	3,52	3,70	3,88	4,05	4,23	4,41	4,58	4,93	5,29				
2,17	2,35	2,53	2,71	2,89	3,07	3,25	3,43	3,61	3,79	3,97	4,15	4,34	4,52	4,70	5,06	5,42				
2,22	2,41	2,59	2,78	2,96	3,15	3,34	3,52	3,71	3,89	4,08	4,26	4,45	4,63	4,82	5,19	5,56				
2,28	2,47	2,66	2,85	3,04	3,23	3,42	3,61	3,81	4,00	4,19	4,38	4,57	4,76	4,95	5,33	5,71				
2,34	2,54	2,74	2,93	3,13	3,32	3,52	3,71	3,91	4,10	4,30	4,49	4,69	4,89	5,08	5,47	5,86				
649	702	757	811	865	919	973	1027	1081	1135	1190	1243	1298	1351	1406	1514	1622	57	59	61	64
2,18	2,36	2,54	2,72	2,90	3,08	3,27	3,45	3,63	3,81	3,99	4,17	4,35	4,54	4,72	5,08	5,44				
2,24	2,43	2,62	2,80	2,99	3,18	3,36	3,55	3,74	3,92	4,11	4,30	4,48	4,67	4,86	5,23	5,61				
2,30	2,50	2,69	2,88	3,07	3,26	3,46	3,65	3,84	4,03	4,22	4,41	4,61	4,80	4,99	5,37	5,76				
2,36	2,55	2,75	2,94	3,14	3,34	3,53	3,73	3,93	4,12	4,32	4,51	4,71	4,91	5,10	5,50	5,89				
2,42	2,62	2,83	3,03	3,23	3,43	3,64	3,84	4,04	4,24	4,44	4,64	4,84	5,05	5,25	5,65	6,06				
656	710	765	820	874	929	984	1038	1093	1148	1202	1257	1312	1366	1421	1530	1640	56	58	60	63
2,16	2,34	2,52	2,70	2,88	3,06	3,24	3,42	3,60	3,78	3,96	4,14	4,32	4,50	4,68	5,04	5,40				
2,31	2,51	2,70	2,89	3,08	3,28	3,47	3,66	3,86	4,05	4,24	4,43	4,63	4,82	5,01	5,40	5,78				
2,38	2,58	2,77	2,97	3,17	3,37	3,57	3,76	3,96	4,16	4,36	4,56	4,75	4,95	5,15	5,55	5,94				
2,45	2,65	2,85	3,06	3,26	3,46	3,67	3,87	4,08	4,28	4,48	4,69	4,89	5,09	5,30	5,71	6,11				
2,52	2,73	2,94	3,15	3,36	3,56	3,77	3,98	4,19	4,40	4,61	4,82	5,03	5,24	5,45	5,87	6,29				
663	717	773	828	884	938	994	1049	1105	1159	1215	1270	1326	1380	1436	1547	1657	55	57	59	62
2,32	2,52	2,71	2,90	3,10	3,29	3,49	3,68	3,87	4,07	4,26	4,45	4,65	4,84	5,03	5,42	5,81				
2,39	2,59	2,79	2,99	3,18	3,39	3,58	3,78	3,98	4,18	4,38	4,58	4,78	4,98	5,18	5,57	5,97				
2,46	2,66	2,87	3,07	3,28	3,48	3,69	3,89	4,10	4,30	4,50	4,71	4,91	5,12	5,32	5,73	6,14				
2,53	2,74	2,95	3,16	3,37	3,58	3,79	4,00	4,22	4,43	4,64	4,85	5,06	5,27	5,48	5,90	6,32				
2,61	2,82	3,04	3,26	3,47	3,69	3,91	4,13	4,34	4,56	4,78	4,99	5,21	5,43	5,65	6,08	6,51				
670	726	781	837	893	949	1005	1061	1116	1172	1228	1284	1340	1396	1451	1563	1675	54	56	58	61
2,40	2,60	2,80	3,0	3,20	3,40	3,60	3,80	4,00	4,20	4,40	4,60	4,80	5,0	5,20	5,60	6,00				
2,47	2,67	2,88	3,09	3,29	3,50	3,70	3,90	4,11	4,32	4,53	4,73	4,94	4,14	5,35	5,76	6,17				
2,55	2,77	2,98	3,19	3,41	3,62	3,83	4,04	4,26	4,47	4,68	4,90	5,11	5,32	5,53	5,96	6,39				
2,63	2,85	3,07	3,29	3,51	3,73	3,95	4,17	4,39	4,61	4,83	5,05	5,26	5,48	5,70	6,14	6,58				
2,72	2,94	3,17	3,39	3,62	3,85	4,07	4,30	4,53	4,75	4,98	5,20	5,43	5,66	5,88	6,34	6,79				
677	733	790	845	902	958	1015	1071	1128	1184	1241	1297	1354	1409	1466	1579	1692	53	55	57	60
2,48	2,69	2,89	3,10	3,31	3,51	3,72	3,93	4,13	4,34	4,55	4,75	4,96	5,17	5,37	5,79	6,20				
2,55	2,77	2,98	3,19	3,41	3,62	3,83	4,04	4,26	4,47	4,69	4,90	5,11	5,32	5,53	5,96	6,39				
2,65	2,87	3,09	3,31	3,53	3,75	3,97	4,19	4,41	4,63	4,85	5,07	5,29	5,51	5,73	6,17	6,61				
2,73	2,96	3,18	3,41	3,64	3,87	4,09	4,32	4,55	4,78	5,00	5,23	5,46	5,69	5,91	6,37	6,82				
2,81	3,05	3,29	3,52	3,76	3,99	4,23	4,46	4,70	4,93	5,17	5,40	5,64	5,87	6,11	6,58	7,05				
684	741	798	855	912	969	1026	1083	1140	1197	1254	1311	1368	1427	1482	1592	1710	52	54	56	59
2,57	2,78	2,99	3,21	3,42	3,64	3,85	4,06	4,28	4,49	4,71	4,92	5,13	5,35	5,56	5,99	6,42				
2,65	2,87	3,09	3,31	3,53	3,75	3,97	4,19	4,41	4,63	4,85	5,07	5,29	5,51	5,73	6,17	6,61				
2,74	2,97	3,20	3,43	3,66	3,89	4,12	4,35	4,57	4,80	5,03	5,26	5,48	5,72	5,95	6,40	6,86				
2,83	3,07	3,31	3,54	3,78	4,02	4,25	4,49	4,72	4,96	5,20	5,43	5,67	5,91	6,14	6,61	7,08				

Температура воды в приборе t_{cp} при t_b , °C					Показатель степени n	Значения $A_{пр}$, м ² , при расчетном расходе воды в стояке $G_{ст}$, кг/ч, или тепловой нагрузке $Q_{ст}^*$ – расход воды в стояке, кг/ч;																
5	8	10	12	15		160	170	180	190	200	225	250	275	300	335	370	400	435	470	500	550	
					$G_{ст}^* = 186$	198	209	221	223	262	291	320	349	390	430	465	506	547	581	640		
					$Q_{пр}^*/\varphi = 137$	146	155	163	172	193	215	236	258	288	318	344	374	404	430	473		
38	41	43	45	48	ΣQ_p	0,78	0,83	0,88	0,93	0,98	1,10	1,22	1,34	1,47	1,64	1,81	1,95	2,12	2,30	2,44	2,69	
					0,15	0,71	0,75	0,80	0,84	0,89	1,00	1,11	1,22	1,33	1,48	1,64	1,81	1,93	2,08	2,22	2,43	
					0,20	0,74	0,78	0,83	0,87	0,92	1,03	1,15	1,26	1,38	1,54	1,70	1,84	2,00	2,16	2,30	2,53	
					0,25	0,76	0,81	0,86	0,90	0,95	1,07	1,19	1,31	1,43	1,59	1,76	1,90	2,07	2,23	2,38	2,61	
					0,30	0,79	0,84	0,88	0,93	0,98	1,11	1,23	1,35	1,47	1,65	1,82	1,97	2,13	2,31	2,46	2,70	
37	40	42	44	47	ΣQ_p	0,81	0,86	0,92	0,97	1,02	1,14	1,27	1,40	1,53	1,70	1,88	2,04	2,21	2,39	2,54	2,80	
					0,15	0,74	0,78	0,83	0,87	0,92	1,03	1,15	1,26	1,38	1,54	1,70	1,84	2,00	2,16	2,30	2,53	
					0,20	0,76	0,81	0,86	0,91	0,96	1,07	1,19	1,31	1,43	1,60	1,77	1,91	2,08	2,25	2,39	2,63	
					0,25	0,79	0,84	0,89	0,94	0,99	1,11	1,24	1,36	1,48	1,66	1,83	1,98	2,15	2,32	2,47	2,72	
					0,30	0,82	0,87	0,92	0,97	1,02	1,15	1,28	1,41	1,54	1,71	1,89	2,05	2,23	2,41	2,56	2,81	
36	39	41	43	46	ΣQ_p	0,85	0,90	0,96	1,01	1,06	1,19	1,33	1,46	1,59	1,78	1,96	2,12	2,31	2,49	2,65	2,92	
					0,15	0,76	0,81	0,86	0,91	0,96	1,07	1,19	1,31	1,43	1,60	1,77	1,91	2,08	2,25	2,39	2,63	
					0,20	0,79	0,84	0,89	0,94	0,99	1,11	1,24	1,36	1,48	1,66	1,83	1,98	2,15	2,32	2,47	2,72	
					0,25	0,82	0,88	0,93	0,98	1,03	1,16	1,29	1,42	1,54	1,72	1,91	2,06	2,24	2,42	2,57	2,83	
					0,30	0,85	0,91	0,96	1,01	1,07	1,20	1,34	1,47	1,60	1,79	1,98	2,14	2,32	2,51	2,67	2,94	
35	38	40	42	45	ΣQ_p	0,89	0,94	1,00	1,05	1,11	1,25	1,39	1,53	1,66	1,86	2,05	2,22	2,41	2,61	2,77	3,05	
					0,15	0,80	0,84	0,89	0,94	0,99	1,12	1,24	1,37	1,49	1,66	1,94	1,99	2,16	2,34	2,49	2,73	
					0,20	0,82	0,88	0,93	0,98	1,03	1,16	1,29	1,42	1,54	1,72	1,91	2,06	2,24	2,42	2,57	2,83	
					0,25	0,86	0,91	0,97	1,02	1,07	1,21	1,34	1,48	1,61	1,80	1,99	2,15	2,34	2,53	2,69	2,96	
					0,30	0,89	0,95	1,00	1,06	1,12	1,26	1,40	1,54	1,67	1,87	2,07	2,23	2,43	2,62	2,79	3,07	
34	37	39	41	44	ΣQ_p	0,93	0,99	1,05	1,10	1,16	1,31	1,45	1,60	1,74	1,95	2,15	2,32	2,53	2,73	2,91	3,20	
					0,15	0,82	0,88	0,93	0,98	1,03	1,16	1,29	1,42	1,54	1,72	1,91	2,06	2,24	2,42	2,57	2,83	
					0,20	0,86	0,91	0,97	1,02	1,07	1,21	1,34	1,48	1,61	1,80	1,99	2,15	2,34	2,53	2,69	2,96	
					0,25	0,90	0,96	1,01	1,07	1,12	1,26	1,41	1,55	1,69	1,88	2,08	2,25	2,44	2,64	2,81	3,09	
					0,30	0,94	0,99	1,05	1,11	1,17	1,32	1,46	1,61	1,75	1,96	2,16	2,34	2,54	2,75	2,92	3,22	
33	36	38	40	43	ΣQ_p	0,98	1,04	1,10	1,16	1,22	1,37	1,52	1,68	1,83	2,04	2,26	2,44	2,65	2,87	3,05	3,36	
					0,15	0,86	0,96	2,06	2,17	2,30	2,42	2,72	3,02	3,33	3,63	4,05	4,48	4,84	5,26	5,69	6,05	6,65
					0,20	0,86	0,91	0,97	1,02	1,07	1,21	1,34	1,48	1,61	1,80	1,99	2,15	2,34	2,53	2,69	2,96	
					0,25	0,90	0,96	1,01	1,07	1,12	1,26	1,41	1,55	1,69	1,88	2,08	2,25	2,44	2,64	2,81	3,09	
					0,30	0,94	1,00	1,06	1,12	1,18	1,33	1,47	1,62	1,77	1,97	2,18	2,36	2,56	2,77	2,94	3,24	
32	35	37	39	42	ΣQ_p	0,98	1,04	1,11	1,17	1,23	1,38	1,54	1,69	1,84	2,06	2,27	2,46	2,67	2,89	3,07	3,38	
					0,15	0,86	0,96	1,01	1,07	1,12	1,26	1,41	1,55	1,69	1,88	2,08	2,25	2,44	2,64	2,81	3,09	
					0,20	0,94	1,00	1,06	1,12	1,18	1,33	1,47	1,62	1,77	1,97	2,18	2,36	2,56	2,77	2,94	3,24	
					0,25	0,98	1,04	1,11	1,17	1,23	1,38	1,54	1,69	1,84	2,06	2,27	2,46	2,67	2,89	3,07	3,38	
					0,30	1,02	1,09	1,16	1,22	1,26	1,44	1,60	1,76	1,93	2,15	2,37	2,57	2,79	3,02	3,21	3,53	
31	34	36	38	41	ΣQ_p	1,02	1,09	1,16	1,22	1,26	1,44	1,60	1,76	1,93	2,15	2,37	2,57	2,79	3,02	3,21	3,53	
					0,15	0,90	0,96	1,01	1,07	1,12	1,26	1,41	1,55	1,69	1,88	2,08	2,25	2,44	2,64	2,81	3,09	
					0,20	0,94	1,00	1,06	1,12	1,18	1,33	1,47	1,62	1,77	1,97	2,18	2,36	2,56	2,77	2,94	3,24	
					0,25	0,98	1,04	1,11	1,17	1,23	1,38	1,54	1,69	1,84	2,06	2,27	2,46	2,67	2,89	3,07	3,38	
					0,30	1,03	1,10	1,16	1,23	1,29	1,45	1,62	1,78	1,94	2,17	2,39	2,59	2,81	3,04	3,23	3,56	

Таблица составлена для пяти значений показателя степени n [см. формулу (9.3)]: 0,15; 0,20; 0,25; 0,30; 0,35 (действительные значения показателя степени для различных приборов приведены в табл. 9.2).

В табл. 9.8 приведены также значения средней температуры воды в приборах t_{cp} при различной t_b (крайние вертикальные колонки), причем за основную принята t_{cp} при $t_b = 18^\circ\text{C}$ (выделена крупным шрифтом).

Продолжение табл. 9.8

прибора Q_{np}/φ , Вт (при тепловой нагрузке в ккал/ч см строки таблицы, обозначенные

Q_{np}^*/φ тепловая нагрузка прибора, ккал/ч																Температура воды в приборе				
600	650	700	750	800	850	900	950	1000	1050	1100	1150	1200	1250	1300	1400	1500	t_{cp} при t_*, C			
698	756	814	872	930	988	1047	1105	1163	1221	1279	1337	1396	1454	1512	1628	1744	18	20	22	25
516	559	602	645	688	731	774	817	860	903	946	989	1032	1075	1118	1204	1290	18	20	22	25
2,93	3,18	3,42	3,66	3,91	4,15	4,40	4,64	4,89	5,13	5,38	5,62	5,86	6,11	6,35	6,84	7,33				
691	748	806	863	921	978	1036	1093	1151	1208	1266	1320	1382	1439	1497	1612	1727	51	53	55	58
2,65	2,88	3,10	3,32	3,55	3,77	3,99	4,21	4,43	4,65	4,88	5,10	5,32	5,54	5,76	6,20	6,65				
2,76	2,99	3,22	3,45	3,68	3,91	4,14	4,37	4,60	4,83	5,06	5,29	5,52	5,75	5,98	6,44	6,90				
2,85	3,09	3,33	3,56	3,80	4,04	4,28	4,51	4,75	4,99	5,23	5,47	5,70	5,94	6,18	6,65	7,13				
2,95	3,19	3,44	3,68	3,93	4,18	4,42	4,67	4,91	5,16	5,40	5,65	5,90	6,14	6,39	6,88	7,37				
3,05	3,31	3,56	3,82	4,07	4,32	4,58	4,83	5,09	5,34	5,60	5,85	6,11	6,36	6,61	7,12	7,63				
698	756	814	872	930	988	1046	1105	1163	1221	1279	1337	1396	1454	1512	1628	1749	50	52	54	57
2,76	2,99	3,22	3,45	3,68	3,91	4,14	4,37	4,60	4,83	5,06	5,29	5,52	5,75	5,98	6,44	6,90				
2,87	3,11	3,35	3,58	3,82	4,06	4,30	4,54	4,78	5,02	5,25	5,49	5,73	5,97	6,21	6,69	7,17				
2,97	3,21	3,46	3,71	3,95	4,20	4,45	4,69	4,94	5,19	5,44	5,69	5,93	6,18	6,42	6,92	7,42				
3,07	3,33	3,58	3,84	4,09	4,35	4,61	4,86	5,12	5,37	5,63	5,89	6,14	6,40	6,65	7,17	7,68				
3,18	3,45	3,72	3,98	4,25	4,51	4,78	5,04	5,31	5,57	5,84	6,10	6,37	6,64	6,90	7,43	7,96				
705	763	822	880	940	998	1057	1115	1175	1233	1292	1350	1409	1468	1527	1644	1762	49	51	53	56
2,87	3,11	3,35	3,58	3,82	4,06	4,30	4,54	4,78	5,02	5,25	5,49	5,73	5,97	6,21	6,69	7,17				
2,97	3,21	3,46	3,71	3,95	4,20	4,45	4,69	4,94	5,19	5,44	5,68	5,93	6,18	6,42	6,92	7,41				
3,09	3,35	3,60	3,86	4,12	4,38	4,64	4,89	5,15	5,41	5,66	5,92	6,18	6,44	6,69	7,21	7,72				
3,20	3,48	3,74	4,01	4,27	4,54	4,81	5,07	5,34	5,61	5,88	6,14	6,41	6,68	6,94	7,48	8,01				
3,33	3,61	3,88	4,16	4,44	4,71	4,99	5,27	5,55	5,82	6,10	6,38	6,66	6,93	7,21	7,77	8,32				
711	771	830	890	949	1008	1068	1127	1186	1245	1305	1364	1423	1483	1542	1091	1779	48	50	52	55
2,98	3,23	3,48	3,73	3,98	4,22	4,47	4,72	4,97	5,22	5,47	5,72	5,96	6,21	6,46	6,96	7,46				
3,09	3,35	3,60	3,86	4,12	4,38	4,63	4,89	5,15	5,41	5,66	5,92	6,18	6,44	6,69	7,20	7,72				
3,22	3,49	3,76	4,03	4,30	4,57	4,84	5,11	5,37	5,64	5,91	6,18	6,45	6,72	6,99	7,52	8,06				
3,35	3,63	3,91	4,19	4,47	4,75	5,02	5,30	5,58	5,86	6,14	6,42	6,70	6,98	7,26	7,82	8,37				
3,49	3,78	4,07	4,36	4,65	4,94	5,23	5,52	5,81	6,10	6,39	6,68	6,97	7,26	7,55	8,13	8,72				
719	778	838	898	958	1018	1078	1137	1198	1257	1318	1377	1437	1497	1557	1677	1797	47	49	51	54
3,09	3,35	3,60	3,86	4,12	4,38	4,63	4,89	5,15	5,41	5,66	5,92	6,18	6,44	6,69	7,21	7,72				
3,22	3,49	3,76	4,03	4,30	4,57	4,84	5,11	5,37	5,64	5,91	6,18	6,45	6,72	6,99	7,52	8,06				
3,37	3,65	3,93	4,22	4,50	4,78	5,06	5,34	5,62	5,90	6,18	6,46	6,74	7,03	7,31	7,87	8,43				
3,51	3,80	4,09	4,39	4,68	4,97	5,26	5,56	5,85	6,14	6,43	6,73	7,02	7,31	7,60	8,19	8,77				
3,66	3,96	4,27	4,57	4,88	5,18	5,49	5,79	6,10	6,40	6,71	7,02	7,32	7,62	7,93	8,54	9,15				
726	786	847	907	968	1028	1088	1149	1209	1270	1330	1391	1451	1512	1572	1693	1814	46	48	50	53
3,22	3,49	3,76	4,03	4,30	4,57	4,84	5,11	5,37	5,64	5,91	6,18	6,45	6,72	6,99	7,52	8,06				
3,37	3,65	3,93	4,22	4,50	4,78	5,06	5,34	5,62	5,90	6,18	6,46	6,74	7,03	7,31	7,87	8,43				
3,53	3,83	4,12	4,42	4,71	5,01	5,30	5,59	5,89	6,18	6,48	6,77	7,07	7,36	7,66	8,24	8,83				
3,69	3,99	4,3	4,61	4,91	5,22	5,53	5,83	6,14	6,45	6,76	7,06	7,37	7,68	7,98	8,60	9,21				
3,85	4,17	4,49	4,81	5,13	5,45	5,78	6,10	6,42	6,74	7,06	7,38	7,70	8,02	8,34	8,98	9,63				
733	794	855	915	977	1038	1099	1161	1221	1285	1343	1407	1465	1529	1587	1710	1832	45	47	49	52
3,37	3,65	3,93	4,22	4,50	4,78	5,06	5,34	5,62	5,90	6,18	6,46	6,74	7,03	7,31	7,87	8,43				
3,53	3,83	4,12	4,42	4,71	5,01	5,30	5,59	5,89	6,18	6,48	6,77	7,07	7,36	7,66	8,24	8,83				
3,69	3,99	4,30	4,61	4,91	5,22	5,53	5,83	6,14	6,45	6,76	7,06	7,37	7,68	7,98	8,60	9,21				
3,88	4,20	4,53	4,85	5,17	5,50	5,82	6,14	6,47	6,79	7,11	7,43	7,76	8,08	8,40	9,05	9,70				
4,06	4,40	4,74	5,08	5,42	5,75	6,09	6,43	6,77	7,11	7,45	7,79	8,12	8,46	8,80	9,48	10,23				
740	801	863	924	986	1048	1109	1171	1232	1294	1356	1418	1479	1541	1603	1726	1849	44	46	48	51

Горизонтальные строчки цифр в табл. 9.8, напечатанные жирно, выражают уменьшенную в 100 раз теплоотдачу труб и приборов, расположенных до рассчитываемого прибора (считая по направлению движения воды), т. е.

$$\Sigma Q_p = 10^{-2} (Q_\phi + \Sigma Q_n + \Sigma Q'_{np} + \frac{0,5}{\alpha} Q_n), \quad (9.17)$$

где Q_ϕ – фиктивная тепловая нагрузка, если принята $t_1 < 150^\circ C$, учитывающая понижение расчетной темпе-

ТАБЛИЦА 9.9. ЗНАЧЕНИЯ КОЭФФИЦИЕНТА Ф, УЧИТЫВАЮЩЕГО РАСХОД ВОДЫ И СХЕМУ ПРИСОЕДИНЕНИЯ ОТОПИТЕЛЬНОГО ПРИБОРА ПО ТАБЛ. 9.10

Тип прибора	№ схемы	Значения ф при расходе воды в подводе к прибору $G_{пр}$, кг/ч																	
		30	35	40	45	50	60	70	100	140	180	225	275	335	400	470	600	800	1000
Радиаторы чугунные секционные																			
а) движение теплоносителя в приборе сверху-вниз																			
МС-140-108	1	1,34	1,34	1,34	1,35	1,35	1,35	1,35	1,35	1,35	1,35	1,35	1,35	1,35	1,35	1,35	1,35	1,35	1,35
МС-140-98	1	1,27	1,28	1,28	1,28	1,29	1,29	1,29	1,29	1,29	1,29	1,29	1,29	1,29	1,29	1,29	1,29	1,29	1,29
М-140А	1	1,04	1,05	1,05	1,05	1,05	1,05	1,05	1,05	1,05	1,05	1,05	1,05	1,05	1,05	1,05	1,05	1,05	1,05
М-140А	1	1,13	1,14	1,14	1,14	1,14	1,14	1,14	1,14	1,14	1,14	1,14	1,14	1,14	1,14	1,14	1,14	1,14	1,14
М-90	1	1,23	1,23	1,23	1,24	1,24	1,24	1,24	1,24	1,24	1,24	1,24	1,24	1,24	1,24	1,24	1,24	1,24	1,24
МС-90-108	1	1,4	1,41	1,41	1,41	1,42	1,42	1,42	1,42	1,42	1,42	1,42	1,42	1,42	1,42	1,42	1,42	1,42	1,42
б) движение теплоносителя в приборе снизу-вниз																			
МС-140-108	2	1,22	1,24	1,25	1,27	1,27	1,27	1,29	1,31	1,35	1,35	1,35	1,35	1,35	1,35	1,35	1,35	1,35	1,35
МС-140-98	2	1,17	1,18	1,19	1,21	1,21	1,21	1,23	1,25	1,28	1,28	1,28	1,28	1,28	1,28	1,28	1,28	1,28	1,28
М-140-А	2	0,90	0,97	0,98	0,99	1,0	1,01	1,01	1,02	1,05	1,05	1,05	1,05	1,05	1,05	1,05	1,05	1,05	1,05
М-140 А	2	1,04	1,05	1,06	1,07	1,08	1,1	1,11	1,11	1,14	1,14	1,14	1,14	1,14	1,14	1,14	1,14	1,14	1,14
МС-90	2	1,13	1,14	1,15	1,16	1,17	1,19	1,21	1,24	1,24	1,24	1,24	1,24	1,24	1,24	1,24	1,24	1,24	1,24
МС-90-108	2	1,29	1,31	1,32	1,33	1,34	1,36	1,38	1,42	1,42	1,42	1,42	1,42	1,42	1,42	1,42	1,42	1,42	1,42
в) движение теплоносителя в приборе сверху-вверх (значения ф принимаются с поправочным коэффициентом Ψ по табл. 9.11)																			
МС-140-108	3	1,12	1,14	1,16	1,18	1,19	1,22	1,23	1,25	1,27	1,28	1,29	1,30	1,31	1,32	1,33	1,34	1,36	1,37
МС-140-98	3	1,07	1,09	1,10	1,12	1,13	1,16	1,17	1,19	1,21	1,22	1,23	1,24	1,25	1,26	1,27	1,28	1,29	1,30
М-140А	3	0,88	0,89	0,91	0,92	0,93	0,95	0,96	0,98	0,99	1,0	1,01	1,02	1,03	1,03	1,04	1,05	1,06	1,07
М-140А	3	0,95	0,97	0,98	1,0	1,01	1,03	1,05	1,06	1,07	1,09	1,09	1,10	1,11	1,12	1,13	1,14	1,15	1,15
М-90	3	1,04	1,06	1,08	1,09	1,10	1,13	1,14	1,16	1,17	1,19	1,20	1,21	1,22	1,23	1,23	1,25	1,26	1,27
МС-90-108	3	1,18	1,20	1,22	1,24	1,26	1,28	1,30	1,32	1,34	1,35	1,36	1,37	1,38	1,39	1,40	1,42	1,43	1,44
Радиаторы стальные панельные																			
а) движение теплоносителя в приборе сверху-вниз																			
РСВ1 однокорпусный	1	1,25	1,25	1,26	1,26	1,26	1,26	1,26	1,26	1,26	1,26	1,26	1,26	1,26	1,26	1,26	1,26	1,26	1,26
РСВ1 двухрядный	1	1,09	1,09	1,09	1,11	1,11	1,11	1,11	1,11	1,11	1,11	1,11	1,11	1,11	1,11	1,11	1,11	1,11	1,11
РСГ2 однокорпусный	1	1,22	1,22	1,23	1,23	1,24	1,24	1,24	1,25	1,26	1,27	1,28	1,28	1,29	1,29	1,29	1,29	1,29	1,29
РСГ2 двухрядный	1	1,46	1,47	1,47	1,47	1,47	1,47	1,48	1,48	1,48	1,48	1,49	1,49	1,49	1,49	1,49	1,49	1,49	1,49
б) движение теплоносителя в приборе снизу-вниз																			
РСВ1 однокорпусный	2	1,14	1,16	1,17	1,18	1,19	1,21	1,23	1,26	1,26	1,26	1,26	1,26	1,26	1,26	1,26	1,26	1,26	1,26
РСВ1 двухрядный	2	0,99	1,0	1,02	1,03	1,03	1,05	1,06	1,09	1,09	1,09	1,09	1,09	1,09	1,09	1,09	1,09	1,09	1,09
РСВ1 однокорпусный	3	1,05	1,06	1,08	1,10	1,11	1,14	1,15	1,17	1,18	1,20	1,21	1,22	1,23	1,24	1,24	1,26	1,27	1,28
РСВ1 двухрядный	3	0,91	0,93	0,94	0,96	0,97	0,99	1,0	1,02	1,03	1,04	1,05	1,06	1,07	1,08	1,08	1,09	1,10	1,12
РСГ2 однокорпусный	3	1,07	1,08	1,09	1,10	1,12	1,13	1,18	1,21	1,24	1,24	1,26	1,28	1,28	1,28	1,28	1,28	1,28	1,28
РСГ2 двухрядный	3	1,24	1,25	1,26	1,28	1,29	1,30	1,32	1,36	1,40	1,43	1,45	1,48	1,48	1,48	1,48	1,48	1,48	1,48
Конвекторы настенные с кожухом «Универсал», «Универсал С», без кожуха «Аксор» и приборы типа «Коралл» в двухрядном исполнении по высоте																			
При движении теплоносителя снизу-вверх значения ф принимаются с поправочным коэффициентом Ψ по табл. 9.11																			
Универсал	4	0,41	0,42	0,43	0,44	0,44	0,46	0,47	0,57	0,59	0,61	0,62	0,63	0,64	0,65	0,66	0,67	0,68	0,68
Универсал С	4	0,39	0,4	0,41	0,42	0,43	0,44	0,46	0,49	0,57	0,58	0,59	0,6	0,61	0,62	0,64	0,65	0,65	0,65
Аксорд	2	0,57	0,57	0,57	0,58	0,58	0,58	0,58	0,59	0,60	0,60	0,61	0,61	0,61	0,61	0,62	0,63	0,63	0,63
Коралл	2	0,53	0,53	0,53	0,53	0,54	0,54	0,55	0,55	0,56	0,56	0,56	0,56	0,57	0,57	0,57	0,58	0,58	0,58
	2	0,75	0,76	0,76	0,77	0,77	0,78	0,78	0,79	0,80	0,81	0,82	0,82	0,83	0,83	0,84	0,85	0,85	0,87

Конвекторы с кожухом настенные, напольные и прочие отопительные приборы, теплоотдача которых не зависит от направления движения теплоносителя

Комфорт-20	0.52	0.54	0.55	0.56	0.57	0.59	0.61	0.65	0.76	0.78	0.79	0.8	0.81	0.82	0.83	0.85	0.86	0.87	0.88
Ритм	0.42	0.47	0.48	0.50	0.51	0.52	0.53	0.55	0.56	0.61	0.63	0.63	0.63	0.63	0.63	0.63	0.63	0.63	0.63
КВ	0.39	0.44	0.45	0.46	0.47	0.48	0.50	0.53	0.56	0.71	0.72	0.73	0.74	0.75	0.76	0.77	0.79	0.80	0.81
Коралл однорядный	0.74	0.75	0.76	0.77	0.78	0.79	0.80	0.83	0.86	0.88	0.89	0.90	0.92	0.94	0.96	0.98	1.0	1.02	1.05
Коралл двухрядный по глубине	0.82	0.82	0.82	0.83	0.83	0.84	0.85	0.86	0.87	0.88	0.89	0.90	0.92	0.94	0.96	0.98	1.0	1.02	1.05
Прогресс-15	0.75	0.76	0.76	0.77	0.77	0.78	0.79	0.80	0.81	0.82	0.83	0.83	0.83	0.83	0.83	0.83	0.84	0.85	0.86
Прогресс-20	0.53	0.54	0.54	0.54	0.55	0.55	0.56	0.57	0.58	0.59	0.60	0.60	0.61	0.62	0.62	0.62	0.63	0.65	0.65
	0.47	0.47	0.47	0.48	0.48	0.49	0.49	0.51	0.52	0.52	0.53	0.54	0.54	0.55	0.55	0.55	0.57	0.57	0.58
	0.51	0.51	0.51	0.52	0.52	0.52	0.53	0.54	0.55	0.56	0.57	0.58	0.59	0.60	0.60	0.61	0.62	0.63	0.65
	0.50	0.51	0.51	0.51	0.52	0.52	0.53	0.54	0.56	0.57	0.58	0.59	0.59	0.60	0.61	0.62	0.63	0.65	0.65
	0.44	0.44	0.44	0.45	0.46	0.46	0.46	0.47	0.49	0.50	0.50	0.51	0.52	0.53	0.53	0.54	0.55	0.56	0.56
	0.48	0.47	0.47	0.48	0.50	0.50	0.50	0.52	0.53	0.54	0.55	0.56	0.57	0.57	0.58	0.59	0.60	0.60	0.60
	0.48	0.44	0.44	0.44	0.45	0.45	0.46	0.47	0.48	0.49	0.50	0.50	0.51	0.52	0.52	0.53	0.54	0.54	0.54
	0.44	0.45	0.45	0.45	0.46	0.46	0.46	0.47	0.48	0.49	0.50	0.50	0.51	0.51	0.52	0.52	0.53	0.54	0.54
	0.41	0.41	0.41	0.41	0.42	0.42	0.43	0.44	0.45	0.46	0.46	0.47	0.47	0.48	0.49	0.49	0.50	0.51	0.51
	0.38	0.39	0.39	0.40	0.40	0.41	0.42	0.43	0.44	0.45	0.46	0.46	0.47	0.48	0.49	0.49	0.50	0.51	0.51
	0.52	0.53	0.53	0.54	0.54	0.54	0.55	0.56	0.57	0.58	0.59	0.60	0.61	0.62	0.62	0.63	0.65	0.66	0.67
	0.46	0.47	0.47	0.48	0.48	0.49	0.49	0.50	0.51	0.52	0.53	0.54	0.55	0.56	0.56	0.58	0.58	0.58	0.58
Трубы ребристые чугунные	1	2	3	4	5	6	7	8	9	10	11	12	13	14	15	16	17	18	19
Трубы стальные D = 40 - 100	1	2	3	4	5	6	7	8	9	10	11	12	13	14	15	16	17	18	19

φ = 1,3

Независимо от расхода воды

Независимо от расхода воды φ = 1,58

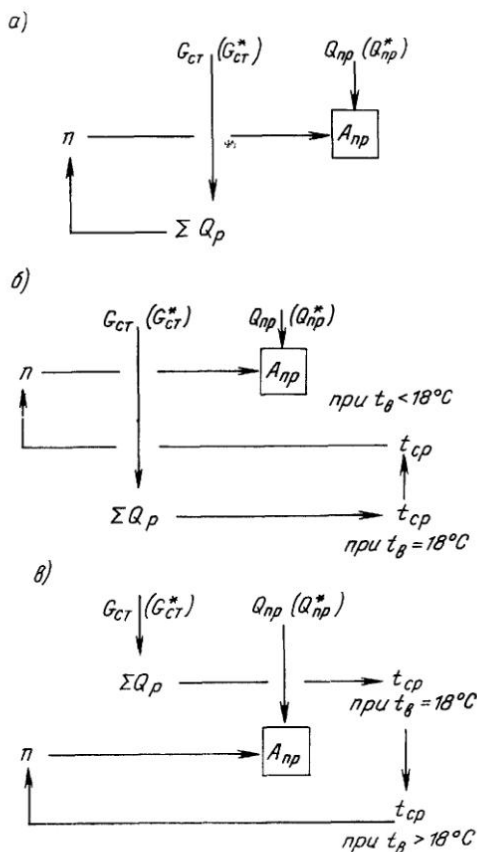


Рис. 9.2. Ключ к табл. 9.8 для определения требуемой площади A_{np} отопительных приборов при $t_a = 18^\circ\text{C}$ (а), при $t_a < 18^\circ\text{C}$ (б), при $t_a > 18^\circ\text{C}$ (в)

ратуры воды от 150°C (выбрана за исходную при составлении табл. 9.8) до температуры $(t_r - \Sigma\Delta t_m)$:

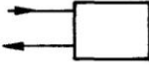
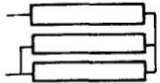
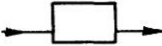
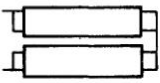
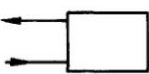
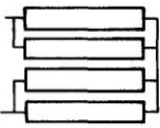
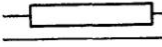
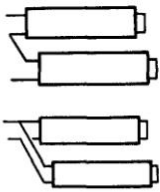
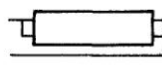

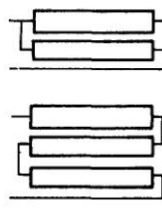
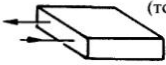
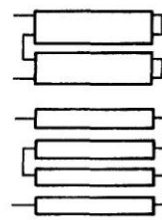

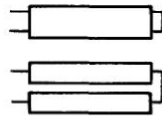
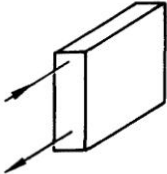

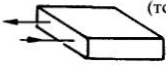

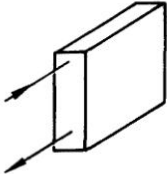
$$Q_\phi = G_{\text{таб}} c [150 - (t_r - \Sigma\Delta t_m)]; \quad (9.18)$$

$G_{\text{таб}}$ - принятое ближайшее табличное значение расхода воды в стояке (ветви) G_{ct} . Остальные обозначения см. к формулам (9.7) и (9.10)

Табл. 9.8 составлена для расчета площади отопительных приборов по их тепловым нагрузкам с поправочным коэффициентом ϕ (Q_{np}/ϕ). При расчете в Вт цифры в заголовке таблицы одновременно обозначают и расходы воды в стояке G_{ct} . При расчете в ккал/ч тепловые нагрузки приборов и расходы воды в стояке берут в заголовке по отдельным горизонтальным строчкам с пометкой звездочкой, т.е. Q_{np}^* и G_{ct}^* . Требуемую площадь A_{np} находят по табл. 9.8 в зависимости от G_{ct} , Q_{np}/ϕ и t_a , применяя ключ (рис. 9.2). Значения ϕ принимаются по табл. 9.9 в зависимости от расхода

ТАБЛИЦА 9.10

СХЕМЫ ПРИСОЕДИНЕНИЯ ОТОПИТЕЛЬНЫХ ПРИБОРОВ К ТРУБАМ СИСТЕМЫ ВОДЯНОГО ОТОПЛЕНИЯ

№ схемы	Схема присоединения	№ схемы	Схема присоединения
Радиаторы чугунные секционные, стальные панельные типов РСВ, РСГ			
1		6	
2		7	
3		8	
Конвекторы типов «Аккорд», «Коралл», «Прогресс», ребристые и гладкие трубы			
1		9	
2		10	
3		11	
4		12	
5		13	
Конвекторы с кожухом типа «Комфорт 20», «Ритм», «КВ», «Универсал»			
		1	
		2	
		3	
		4	

Примечание. Блоки приборов из ребристых и гладких труб по схемам № 2, 3, 4, 5, 6, 7, а также блоки приборов «Прогресс», «Аккорд», по схемам № 5, 7, 8, 9 промышленность не изготавливает. При необходимости обвязка может производиться на месте монтажа.

воды и схемы присоединения приборов по табл. 9.10.

Если действительный расход воды в стояке (ветви) $G_{ст}$, полученный в результате повторно-

го гидравлического расчета системы (для системы с конвекторами), отличается от первоначально принятого $G'_{таб}$, то уточненную площадь $A_{гр}$ определяют по значению ΣQ_p [см. формулу

ЗНАЧЕНИЯ ПОПРАВочНОГО КОЭФФИЦИЕНТА ψ , УЧИТЫВАЮЩЕГО ДВИЖЕНИЕ ТЕПЛОНОСИТЕЛЯ В ПРИБОРЕ СНИЗУ-ВВЕРХ

Тепловой поток прибора, Вт (ккал/ч)	Значения ψ при расходе воды в подводе к прибору $G_{\text{пр}}$, кг/ч																		
	30	35	40	45	50	60	70	100	140	180	225	275	315	400	470	600	800	1000	
$Q_{\text{пр}}$ До 400 (344) 400-525 (344-451) 525-700 (451-602) 700-870 (602-748) 870-1000 (748-860) 1000-1150 (860-989)	0,93	0,94	0,95	0,95	0,96	0,96	0,97	0,98	0,98	0,98	0,99	0,99	0,99	0,99	0,99	1,0	0,99	0,99	
	0,92	0,93	0,94	0,95	0,95	0,96	0,96	0,98	0,98	0,99	0,99	0,99	0,99	0,99	0,99	0,99	0,99	1,0	
	0,89	0,89	0,92	0,93	0,95	0,95	0,97	0,98	0,98	0,98	0,99	0,99	0,99	0,99	0,99	0,99	0,99	0,99	
	0,86	0,88	0,89	0,91	0,92	0,93	0,94	0,96	0,97	0,98	0,98	0,98	0,99	0,99	0,99	0,99	0,99	0,99	
	0,84	0,86	0,88	0,89	0,90	0,92	0,93	0,95	0,97	0,97	0,98	0,98	0,99	0,99	0,99	0,99	0,99	0,99	
	0,84	0,84	0,86	0,88	0,89	0,91	0,92	0,94	0,96	0,97	0,97	0,97	0,98	0,99	0,99	0,99	0,99	0,99	0,99
	0,84	0,84	0,86	0,88	0,89	0,91	0,92	0,94	0,96	0,97	0,97	0,97	0,98	0,99	0,99	0,99	0,99	0,99	0,99
	0,84	0,84	0,86	0,88	0,89	0,91	0,92	0,94	0,96	0,97	0,97	0,97	0,98	0,99	0,99	0,99	0,99	0,99	0,99
	0,84	0,84	0,86	0,88	0,89	0,91	0,92	0,94	0,96	0,97	0,97	0,97	0,98	0,99	0,99	0,99	0,99	0,99	0,99
	0,84	0,84	0,86	0,88	0,89	0,91	0,92	0,94	0,96	0,97	0,97	0,97	0,98	0,99	0,99	0,99	0,99	0,99	0,99

(9.17)], измененному на величину

$$\Delta Q_{\phi} = 10^{-2} \left(\frac{G_{\text{таб}}}{G'_{\text{таб}}} - 1 \right) Q_{\phi}, \quad (9.19)$$

где $G_{\text{таб}}$ - табличное значение расхода воды в стояке (ветви), принятое по действительному значению $G_{\text{ст}}$.

При пользовании табл. 9.8 следует иметь в виду, что при расходе воды в приборе менее 160 кг/ч (при тепловой нагрузке в ккал/ч менее 186 кг/ч) нужно принимать увеличенные в 10 раз значения $G_{\text{ст}}$ и $\Sigma Q_{\text{п}}$; при тепловой нагрузке более 1550 Вт (более 1330 ккал/ч) определять $A_{\text{пр}}$ половины прибора по уменьшенной в 2 раза тепловой нагрузке или, определив $A_{\text{пр}}$ по величине $Q_{\text{пр}}$, полученную площадь $A_{\text{пр}}$ разделить на ф.

Требуемую площадь $A_{\text{пр}}$, м², приборов двухтрубных систем отопления можно определять также по табл. 9.8 по значениям $t_{\text{в}}$ и $t_{\text{ср}}$, вычисляя $t_{\text{ср}}$ по формуле (9.8). После определения $A_{\text{пр}}$ отопительных приборов находят их расчетную площадь $A_{\text{р}}$, м²,

$$A_{\text{р}} = A_{\text{пр}} \beta_4 / b, \quad (9.20)$$

где b принимают по табл. 9.1, а β_4 - по табл. 9.12.

Сопоставляя площадь $A_{\text{р}}$ со значениями площади нагревательной поверхности приборов (A , м²), приведенными в прил. X, выбирают необходимый типоразмер и номинальный тепловой поток прибора, учитывая, что площадь выбираемого прибора не должна быть меньше $A_{\text{р}}$. Некоторые приборы (имеющие отличный от основного ряда коэффициент теплопередачи) следует подбирать по условному значению A , которое дано в графе A прил. X. в знаменателе дроби со звездочкой.

По значению $A_{\text{р}}$ для чугунных секционных радиаторов вычисляют минимальное число секций по формуле

$$N_{\text{мин}} = \frac{A_{\text{р}}}{a_{\text{с}} \beta_3}, \quad (9.21)$$

где $a_{\text{с}}$ - площадь нагревательной поверхности одной секции, м²; β_3 - коэффициент учета числа секций в приборе (для радиаторов МС-140 коэффициент β_3 заменяется на β_3)

$$\beta_3' = 0,97 + \frac{0,06}{A_{\text{р}}}. \quad (9.22)$$

По результатам расчета по формулам (9.21) и (9.22) при $\beta_4 = 1$ составлена табл. 9.13. Расчетное число секций принимают по

Тепловой поток прибора, Вт (ккал/ч)	Значения Ψ при расходе воды в подводе к прибору $G_{пр}$, кг/ч																	
	30	35	40	45	50	60	70	100	140	180	225	275	335	400	470	600	800	1000
1150–1500 (989–1290)				0,85	0,86	0,89	0,90	0,93	0,95	0,96	0,97	0,97	0,98	0,99	0,99	0,99	0,99	0,99
1500–1750 (1290–1505)			0,87				0,88	0,92	0,94	0,95	0,96	0,97	0,97	0,98	0,99	0,99	0,99	0,99
1750–2000 (1505–1720)				0,86			0,86	0,90	0,93	0,95	0,96	0,96	0,97	0,98	0,98	0,98	0,99	0,99
2000–2300 (1720–1978)					0,88	0,91	0,93	0,93	0,91	0,93	0,95	0,96	0,96	0,97	0,97	0,98	0,98	0,99
2300–2500 (1978–2150)						0,88	0,91	0,93	0,93	0,94	0,95	0,96	0,96	0,97	0,97	0,98	0,98	0,99
2500–2750 (2150–2365)							0,86	0,90	0,92	0,94	0,95	0,96	0,96	0,97	0,97	0,98	0,98	0,99
2750–3000 (2365–2580)								0,85	0,89	0,92	0,93	0,95	0,95	0,96	0,97	0,97	0,98	0,98

Тепловой поток прибора, Вт (ккал/ч)	Значения Ψ при расходе воды в подводе к прибору $G_{пр}$, кг/ч																	
	30	35	40	45	50	60	70	100	140	180	225	275	335	400	470	600	800	1000
До 400 (344)	0,98	0,98	0,98	0,98	0,99	0,99	0,99	0,99	0,99	0,99	0,99	0,99	0,99	0,99	0,99	0,99	0,99	0,99
400–525 (344–451)	0,97	0,98	0,98	0,98	0,99	0,99	0,99	0,99	0,99	0,99	0,99	0,99	0,99	0,99	0,99	0,99	0,99	0,99
525–700 (451–602)	0,96	0,97	0,97	0,98	0,98	0,98	0,98	0,99	0,99	0,99	0,99	0,99	1,0	1,0	1,0	1,0	1,0	1,0
700–870 (602–748)	0,95	0,96	0,97	0,97	0,97	0,98	0,98	0,99	0,99	0,99	0,99	0,99	0,99	0,99	0,99	0,99	0,99	0,99
870–1000 (748–860)	0,95	0,96	0,96	0,97	0,97	0,97	0,98	0,98	0,99	0,99	0,99	0,99	0,99	0,99	0,99	0,99	0,99	0,99
1000–1150 (860–989)	0,95	0,96	0,96	0,96	0,97	0,97	0,97	0,98	0,99	0,99	0,99	0,99	0,99	0,99	0,99	0,99	0,99	0,99
1150–1500 (989–1290)	0,95	0,95	0,96	0,96	0,96	0,97	0,97	0,98	0,98	0,98	0,99	0,99	0,99	0,99	0,99	0,99	0,99	0,99
1500–1750 (1290–1505)	0,95	0,95	0,96	0,96	0,96	0,97	0,97	0,98	0,98	0,98	0,99	0,99	0,99	0,99	0,99	0,99	0,99	0,99
1750–2000 (1505–1720)	0,95	0,95	0,96	0,96	0,96	0,97	0,97	0,98	0,98	0,98	0,98	0,99	0,99	0,99	0,99	0,99	0,99	0,99
2000–2300 (1720–1978)	0,96	0,96	0,97	0,97	0,97	0,98	0,98	0,98	0,98	0,98	0,98	0,99	0,99	0,99	0,99	0,99	0,99	0,99
2300–2500 (1978–2150)	0,96	0,96	0,97	0,97	0,97	0,98	0,98	0,98	0,98	0,98	0,98	0,98	0,99	0,99	0,99	0,99	0,99	0,99
2500–2750 (2150–2365)	0,95	0,95	0,96	0,96	0,96	0,97	0,97	0,98	0,98	0,98	0,98	0,98	0,99	0,99	0,99	0,99	0,99	0,99
2750–3000 (2365–2580)	0,96	0,96	0,97	0,97	0,97	0,98	0,98	0,98	0,98	0,98	0,98	0,98	0,98	0,99	0,99	0,99	0,99	0,99

Для двухтрубных систем ($\Delta t = 95 - 70^\circ\text{C}$) $\Psi = 0,85$

Коннекторы настенные «Аксорд», «Универсал С» и приборы типа «Коралл» в двухрядном исполнении по высоте

Для двухтрубных систем ($\Delta t = 95 - 70^\circ\text{C}$) $\Psi = 0,95$

ТАБЛИЦА 9.12

ЗНАЧЕНИЯ КОЭФФИЦИЕНТА β_4 , УЧИТЫВАЮЩЕГО СПОСОБ УСТАНОВКИ ОТОПИТЕЛЬНЫХ ПРИБОРОВ

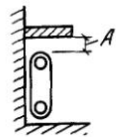
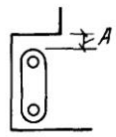
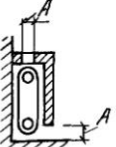
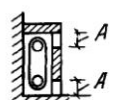

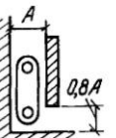
Эскиз установки прибора	Способ установки прибора	A, мм	β_4
	У стены без ниши и перекрыт доской в виде полки	40 80 100	1,05 1,03 1,02
	В стенной нише	40 80 100	1,11 1,07 1,06
	У стены без ниши и закрыт деревянным шкафом со щелями в его передней стенке у пола и в верхней доске	260 220 180 150	1,12 1,13 1,19 1,25
	То же, но с щелями в верхней части передней доски открытыми закрытыми сетками	130 130	1,2 1,4
	У стены без ниши и закрыт шкафом в верхней доске шкафа прорезана щель B, ширина которой не менее глубины прибора. Спереди шкаф закрыт деревянной решеткой, не доходящей до пола на расстояние A (не менее 100 мм)	100	1,15
	У стены без ниши и закрыт экраном, не доходящим до пола на расстояние 0,8 A		0,9

ТАБЛИЦА 9.13

РАСЧЕТНАЯ ПЛОЩАДЬ НАГРЕВАТЕЛЬНОЙ ПОВЕРХНОСТИ ЧУГУННЫХ СЕКЦИОННЫХ РАДИАТОРОВ A_p

Число секций	Расчетная площадь нагревательной поверхности радиатора A_p , м ² , при типе прибора					
	МС-140-108	МС-140-98	М-140 АО	М-140 А	М-90 А	МС-90-108
2	0,49	0,48	0,6	0,55	0,55	0,42
3	0,73	0,72	0,93	0,8	0,64	0,60
4	0,97	0,96	1,22	1,04	0,84	0,78
5	1,21	1,2	1,51	1,29	1,06	0,97
6	1,46	1,44	1,80	1,54	1,22	1,15

Продолжение табл. 9.13

Число секций	Расчетная площадь нагревательной поверхности радиатора A_p , м ² , при типе прибора					
	МС-140-108	МС-140-98	М-140 АО	М-140 А	М-90 А	МС-90-108
7	1,70	1,68	2,09	1,78	1,42	1,33
8	1,94	1,92	2,38	2,03	1,61	1,51
9	2,19	2,16	2,67	2,28	1,8	1,69
10	2,43	2,4	2,96	2,52	2,0	1,84
11	2,67	2,64	3,25	2,77	2,19	2,05
12	2,92	2,88	3,54	3,02	2,39	2,24
13	3,16	3,12	3,83	3,26	2,58	2,42
14	3,40	3,36	4,12	3,51	2,77	2,60
15	3,64	3,6	4,41	3,75	2,97	2,78
16	3,81	3,76	4,7	4,0	3,16	2,99
17	4,05	4,0	4,99	4,25	3,36	3,14
18	4,29	4,23	5,28	4,49	3,55	3,22
19	4,52	4,47	5,57	4,74	3,74	3,50
20	4,76	4,7	5,86	4,99	3,94	3,69
21	4,90	4,83	6,15	5,23	4,13	3,87
22	5,13	5,07	6,44	5,48	4,32	4,05
23	5,36	5,3	6,73	5,73	4,52	4,23
24	5,60	5,53	7,02	5,97	4,71	4,41
25	5,83	5,76	7,31	6,22	4,91	4,59

табл. 9.13 по ближайшему большему значению A_p .

9.6. Примеры теплового расчета отопительных приборов

Пример 9.1. Определить число секций чугунного секционного радиатора М-90, устанавливаемого у наружной стены без ниши под подоконником (на расстоянии от него 40 мм) на пятом этаже пятиэтажного здания, в двухтрубной насосной системе водяного отопления с нижним расположением магистралей (принята схема 2 присоединения прибора), если $t_r = 95^\circ\text{C}$, $t_o = 70^\circ\text{C}$, $t_n = 20^\circ\text{C}$, понижение температуры воды в подающей магистрали до стояка $\Sigma\Delta t_m = 2^\circ\text{C}$, $Q_n = 1148$ Вт. Барометрическое давление в месте строительства 1013,3 гПа (760 мм рт. ст.).

Принимаем высоту этажа здания 2,5 м в чистоте, средний расход воды в стояке 250 кг/ч, диаметр труб $D_y = 20$ мм. Тогда суммарное понижение температуры воды в подающем стояке, проложенном через первый – четвертый этажи здания, найдем по формуле (9.9)

$$\Sigma\Delta t_{n \text{ ст}} = \frac{78 \cdot 10 \cdot 1,03 \cdot 1,02 \cdot 3600}{4187 \cdot 250} = 2,8^\circ\text{C},$$

где 78 Вт/м – теплоотдача 1 м вертикальной трубы (см табл. II 22)

Расход воды в радиаторе по формуле (13.14)

$$G_{\text{пр}} = \frac{Q_n \beta_1 \beta_2}{c(t_{\text{вх}} - t_{\text{вых}})} = \frac{1148 \cdot 1,03 \cdot 1,02 \cdot 3600}{4187(95 - 2 - 2,8 - 70)} = 52 \text{ кг/ч.}$$

Средняя температура воды в радиаторе по формуле (9.8) с учетом понижения температуры воды в подающих магистрали и стояке $t_{\text{ср}} = 0,5(95 - 2 - 2,8 + 70) = 80,1^\circ\text{C}$. Тогда разность температур $\Delta t_{\text{ср}} = 80,1 - 20 = 60,1^\circ\text{C}$.

Теплоотдачу подводок вертикальных (0,3 м) и горизонтальных (2,0 м) труб $D_y = 15$ мм вычисляем при $t_{\text{вх}} = 95 - 2 - 2,8 \approx 90^\circ\text{C}$ и $t_{\text{вых}} = 70^\circ\text{C}$ по формуле (9.13)

$$Q_{\text{тр}} = 59 \cdot 0,15 + 77 \cdot 0,35 + 37 \cdot 0,15 + 50 \cdot 1,65 = 124 \text{ Вт.}$$

По формуле (9.12) $Q_{\text{пр}} = 1148 - 0,9 \cdot 124 = 1036$ Вт.

Пользуясь табл. 9.1 и 9.2, по формуле (9.8) определим значение комплексного коэффициента Φ_x

$$\Phi_x = \left(\frac{60,1}{70}\right)^{1,15} \cdot \left(\frac{52}{360}\right)^{0,08} \cdot 1,0 \cdot 1,0 \cdot 1,092 = 0,78;$$

тогда требуемый номинальный тепловой поток по формуле (9.11) составит

$$Q_{\text{н.т}} = \frac{1036 \cdot 0,95}{0,78} = 1262 \text{ Вт.}$$

Используя значение $Q_{\text{н.т}}$ одной секции радиатора М-90 (см. прил. X), определим ориентировочное число секций прибора $N = 1262/140 = 9,01$.

Вычислим затем по формуле (9.15)

$$\beta_3 = 0,97 + \frac{34}{9 \cdot 140} = 0,997,$$

находим по формуле (9.14) минимальное число секций прибора при $\beta_4 = 1,05$ по табл. 9.12

$$N_{\text{мин}} = \frac{1262 \cdot 105}{140 \cdot 0,997} = 9,5.$$

Принимаем к установке десять секций.

Пример 9.2. По условиям примера 9.1, по вычисленному значению $t_{\text{ср}} = 80,1^\circ\text{C}$ определить число секций радиатора, используя данные табл. 9.8.

По табл. 9.9 для радиатора М-90, подключенного по схеме 2, при $G_{\text{пр}} = 52$ кг/ч находим $\phi = 1,17$.

$$\text{По табл. 9.8 при } Q_{\text{пр}}/\phi = \frac{1036 \cdot 0,95}{1,17} = 833,$$

$t_{\text{ср}} = 80,1^\circ\text{C}$ и $t_{\text{в}} = 20^\circ\text{C}$ находим $A_{\text{пр}} = 1,8 \text{ м}^2$.

Так как в формуле (9.20) коэффициент $b = 1$, а $\beta_4 = 1,05$, то $A_p = A_{\text{пр}} \cdot 1,05 = 1,89 \text{ м}^2$.

По табл. 9.13 число секций в приборе $N = 10$.

Пример 9.3. Определить значения ΣQ_p для приборов, присоединенных по проточной схеме к однотрубному стояку системы отопления четырехэтажного здания с верхним расположением подающей магистрали при параметрах теплоносителя $\Delta t = 95 - 70^\circ\text{C}$. Тепловые нагрузки приборов на каждом этаже: $Q_{\text{п4}} = 1200$; $Q_{\text{п3}} = 1100$; $Q_{\text{п2}} = 1000$; $Q_{\text{п1}} = 1300$ Вт. Падение температуры воды в подающей магистрали до стояка $\Sigma \Delta t_{\text{м}} = 2^\circ\text{C}$. Расход воды в стояке $G_{\text{ст}} = 200$ кг/ч.

Так как в системе $t_r < 150^\circ\text{C}$, по формуле (9.18) находим общую для приборов стояка фиктивную тепловую нагрузку $Q_{\text{ф}} = 200 \times 4187 [150 - (95 - 2)] : 3600 = 13259$ и, пользуясь формулой (9.17), определим значение ΣQ_p перед каждым прибором стояка, считая, что коэффициент затекания $\alpha = 1$:

прибор на 4 этаже

$$\Sigma Q_p = 10^{-2} (13259 + 0 + 115 + 0,5 \cdot 1200) = 139,7;$$

прибор на 3 этаже

$$\Sigma Q_p = 10^{-2} (13259 + 1200 + 115 \cdot 2 + 0,5 \times 1100) = 153;$$

прибор на 2 этаже

$$\Sigma Q_p = 10^{-2} (13259 + 1200 + 1100 + 115 \cdot 3 + 0,5 \cdot 1000) = 164;$$

прибор на 1 этаже

$$\Sigma Q_p = 10^{-2} (13259 + 1200 + 1100 + 1000 + 115 \cdot 4 + 0,5 \cdot 1300) = 176,7.$$

Пример 9.4. При барометрическом давлении в месте строительства 1013,3 гПа (760 мм рт. ст.) по значениям ΣQ_p , подсчитанным в примере 9.3, определить по табл. 9.8 требуемую площадь отопительных приборов, в качестве которых приняты конвекторы «Универсал», а их тепловые нагрузки $Q_{\text{пр}}$, подсчитанные по формуле (9.12), уменьшены на 5% или 60 Вт и составляют: $Q_{\text{пр4}} = 1000$ Вт при $t_{\text{в}} = 18^\circ\text{C}$; $Q_{\text{пр3}} = 950$ Вт при $t_{\text{в}} = 18^\circ\text{C}$; $Q_{\text{пр2}} = 800$ Вт при $t_{\text{в}} = 18^\circ\text{C}$; $Q_{\text{пр1}} = 1160$ Вт при $t_{\text{в}} = 20^\circ\text{C}$.

По табл. 9.9 при расходе воды $G_{\text{пр}} = 200$ кг/ч, подаче ее сверху-вниз и присоединении прибора по схеме 4 коэффициент $\phi = 0,61$.

Так как для большинства приборов $Q_{\text{пр}}/\varphi > 1550$, то, определив по табл. 9.8 значение $A_{\text{пр}}$ по величине $Q_{\text{пр}}$, полученную площадь делим на коэффициент φ .

Пользуясь ключом (см. рис. 9.2, а), по табл. 9.8 находим:

прибор на 4 этаже

$$A_{\text{пр}} = 1,72/0,61 = 2,82 \text{ м}^2;$$

прибор на 3 этаже

$$A_{\text{пр}} = 1,82/0,61 = 2,98 \text{ м}^2;$$

прибор на 2 этаже

$$A_{\text{пр}} = 1,69/0,61 = 2,77 \text{ м}^2;$$

прибор на 1 этаже (ключ по рис. 9.2, в)

$$A_{\text{пр}} = 2,84/0,61 = 4,65 \text{ м}^2.$$

Пример 9.5. Уточнить площадь нагревательной поверхности конвекторов, полученную в примере 9.4, считая, что в результате гидравлического расчета окончательный расход воды в стояке и приборе составляет $G_{\text{пр}} = 180$ кг/ч. По уточненной площади подобрать типоразмер приборов.

По табл. 9.9 $\varphi = 0,61$ (остаётся без изменения).

По формуле (9.19) при $Q_{\phi} \cdot 10^{-2} = 132,6$

$$\Delta Q_{\phi} = 132,6 \left(\frac{180}{200} - 1 \right) = -13.$$

По полученной величине ΔQ_{ϕ} исправляем значения ΣQ_p (см. пример 9.3) и, определив расчетную площадь A_p по прил. X, находим типоразмер прибора:

прибор на 4 этаже

$$\Sigma Q_p = 139,7 - 13 = 126,7;$$

По табл. 9.8 требуемая площадь $A_{\text{пр}} = 1,72/0,61 = 2,82 \text{ м}^2$.

Так как в формуле (9.20) коэффициенты b и β_4 равны единице, $A_p = A_{\text{пр}} = 2,82 \text{ м}^2$.

По прил. X принимаем к установке конвектор «Универсал» КН20-1,049К;

прибор на 3 этаже

$$\Sigma Q_p = 153 - 13 = 140;$$

$$A_p = 1,86/0,61 = 3,05 \text{ м}^2.$$

Устанавливаем конвектор КН20-1,18К;

прибор на 2 этаже

$$\Sigma Q_p = 164 - 13 = 151;$$

$$A_p = 1,73/0,61 = 2,84 \text{ м}^2.$$

Устанавливаем конвектор КН20-1,049К:
прибор на 1 этаже

$$\Sigma Q_p = 176,7 - 13 = 163,7;$$

$$A_p = 3,53/0,61 = 5,79 \text{ м}^2.$$

Устанавливаем последовательно два конвектора общей площадью $A_p = 2,57 + 3,30 = 5,87 \text{ м}^2$.

Приняты к установке конвекторы КН20-0,918П и КН20-1,18К.

9.7. Регулирование теплопередачи отопительных приборов

В системах водяного отопления применяется качественное и количественное регулирование: качественное – центральное (на тепловой станции), групповое (в центральном тепловом пункте) и местное (в тепловом пункте здания); количественное (кроме указанных мест) индивидуальное у каждого отопительного прибора.

При местном регулировании повышению тепловой устойчивости системы способствует сокращение количества циркулирующей воды по мере понижения температуры воды, подаваемой в систему. Тепловая устойчивость системы водяного отопления здания обеспечивается при проведении автоматического пофасадного качественно-количественного регулирования: качественного по изменению температуры наружного воздуха и скорости ветра, качественного и количественного – по отклонению температуры в воздухе в характерных помещениях.

В системах парового отопления применяется количественное регулирование.

Индивидуальное количественное регулирование может быть ручным и автоматическим. Автоматическое регулирование предусматривается в соответствии с требованиями главы СНиП «Отопление, вентиляция и кондиционирование воздуха». Для ручного регулирования при паровом отоплении применяют вентили с золотником без прокладки; при водяном отоплении – регулирующие краны. Вентили и краны КРП и КРТ с пониженным гидравлическим сопротивлением используют в однострунных системах, краны с повышенным гидравлическим сопротивлением (двойного регулирования КРД, проходные КРП с дросселирующим устройством, «Термис» и пр.) – в двухтрубных. Конвекторы типа КН («Комфорт-20», «Универсал») имеют регулирующие воздушные кла-

паны; в однотрубных системах такие конвекторы устанавливают без регулирующих кранов, в двухтрубных с кранами КРД.

При прерывистом отоплении обеспечивается общее отключение отопительных приборов помещений с переменным тепловым режимом.

Для автоматического регулирования служат регуляторы прямого и косвенного действия. Их гидравлическое сопротивление должно быть пониженным в однотрубных и повышенным в двухтрубных системах.

9.8. Установка отопительных приборов

Расстояния от строительных конструкций зданий до отопительных приборов и между приборами следует принимать в соответствии с нормативными указаниями (см. также рис. 9.1).

Приборы с теплоносителем при температуре выше 105°C необходимо размещать на расстоянии не менее 100 мм от сгораемых элементов зданий. При размещении приборов следует учитывать возможность прокладки подвоек к ним по прямой линии.

В помещениях категорий *A*, *B* и *B* не допускается размещать отопительные приборы в нишах, за исключением лестничных клеток, где выступы приборов не должны сокращать необходимую ширину проходов.

При смещенной установке отопительного прибора от оси светового проема стояк располагают на расстоянии 150 ± 50 мм от откоса проема, а длину подводки принимают 360–400 мм при трубах $D_y = 15\text{--}20$ мм и 500 мм при трубах $D_y = 25$ мм.

Устанавливают отопительные приборы на кронштейнах, болтах или металлических подставках.

Отопительные приборы без воздушного клапана для возможности регулирования теплопередачи соединяют «на сцепке» в пределах одного помещения, за исключением вспомогательных помещений (коридоров, кладовых и т.п., а также кухонь жилых зданий), где допускается приборы присоединять на сцепке к приборам соседних помещений. Диаметр соединительных труб сцепки принимают по диаметру отверстий в приборах, длина сцепки не должна превышать 1,5 м. Число приборов, соединяемых на сцепке, при односторонней подводке к приборам от однотрубных и двухтрубных стояков должно быть не более двух.

Разносторонняя подводка труб к радиаторам от двухтрубных стояков рекомендуется при числе секций более 25 или при установке более двух приборов, соединенных на сцепке.

Размеры отверстий при открытой прокладке и борозд при скрытой прокладке в строительных конструкциях принимаются в зависимости от вида прокладываемого теплопровода (табл. 9.14).

ТАБЛИЦА 9.14
РАЗМЕРЫ ОТВЕРСТИЙ И БОРОЗД В СТРОИТЕЛЬНЫХ КОНСТРУКЦИЯХ

Теплопровод	Размеры, мм	
	отверстия борозды	
Стояк		
однотрубный	100 × 100	130 × 130
двухтрубный	150 × 100	200 × 130
Подводка к прибору и сцепка	100 × 100	60 × 60
Магистраль	250 × 300	–
Главный стояк	200 × 200	200 × 200

ГЛАВА 10. ВОДЯНОЕ ОТОПЛЕНИЕ

10.1. Общие сведения

Водяное отопление применяется при местном и централизованном теплоснабжении. Система отопления состоит из теплового пункта, магистралей, отдельных стояков и ветвей с приборными узлами.

Принципиальная схема системы насосного водяного отопления при местном теплоснабжении дана на рис. 10.1, *a*. На схеме показан

открытый расширительный бак, присоединенный к общей обратной магистрали перед циркуляционным насосом.

Принципиальные схемы систем водяного отопления при централизованном водяном теплоснабжении изображены на рис. 10.1, *б–д*. Насосную систему, гидравлически независимо присоединенную к наружным теплопроводам (см. рис. 10.1, *б*), применяют для создания местного теплогидравлического режима при

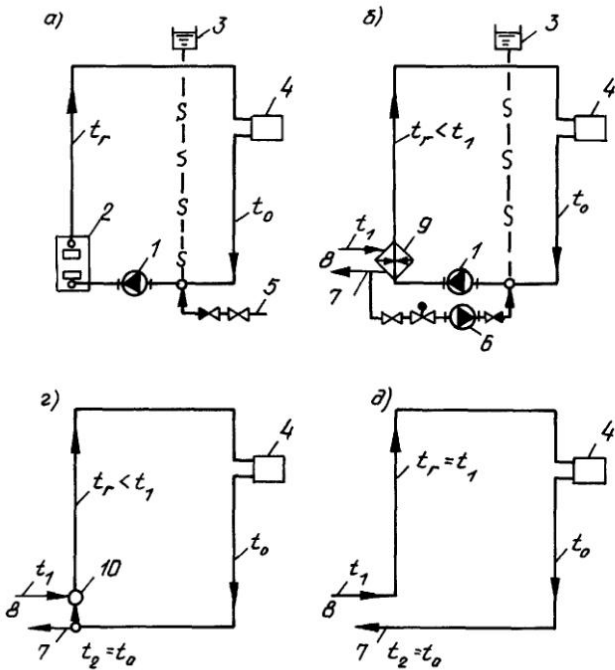


Рис. 10.1. Принципиальные схемы систем водяного отопления

а - при местном теплоснабжении, б - при централизованном теплоснабжении; 1 - циркуляционный насос, 2 - котел, 3 - расширительный бак; 4 - отопительный прибор; 5 - водопровод, 6 - подпиточный насос, 7 и 8 - наружные обратный и подающий теплопроводы, 9 - теплообменник, 10 - смешительная установка

$t_r < t_1$. В гидравлически независимой гравитационной системе (см. рис. 10.1, в) отсутствует циркуляционный насос, расширительный бак присоединен к верхней точке труб.

Систему, непосредственно (зависимо) присоединенную к наружным теплопроводам со смешением воды (см. рис. 10.1, в), используют для получения $t_r < t_1$, когда в ней допускается повышение гидростатического давления до давления, под которым находится вода в наружном обратном теплопроводе. Температура воды t_1 в наружном подающем теплопроводе понижается до температуры t_r с помощью смешительного насоса или водоструйного элеватора.

Систему, присоединенную к наружным теплопроводам без смешения воды (см. рис. 10.1, г), применяют тогда, когда в ней допускается $t_r = t_1$ без местного качественного регулирования.

В насосных системах водяного отопления устанавливают специальные маломощные циркуляционные насосы (рис. 10.2, а) и центробежные насосы общепромышленного назначения (рис. 10.2, б). Предпочтение отдается маломощным циркуляционным насосам, закрепляемым на трубах без фундамента. Такой насос выбирают по заводской характеристике (рис. 10.3, а)

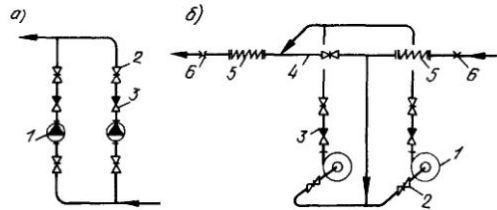


Рис. 10.2. Схемы присоединения труб к циркуляционным бесфундаментным (а) и общепромышленным (б) насосам

1 - насос, 3 - задвижка; 3 - обратный клапан; 4 - обводная труба с задвижкой (нормально закрыта), 5 - виброизолирующая вставка; б неподвижная опора

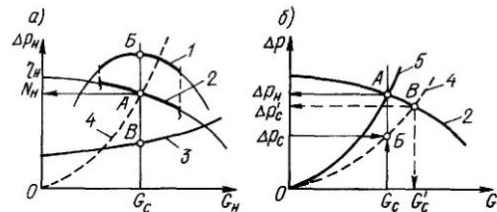


Рис. 10.3. Характеристики циркуляционных насосов

а - бесфундаментного; б - общепромышленного; 1, 2, 3 - характеристики соответственно КПД, давления, мощности; 4 и 5 - характеристики системы отопления до и после регулирования

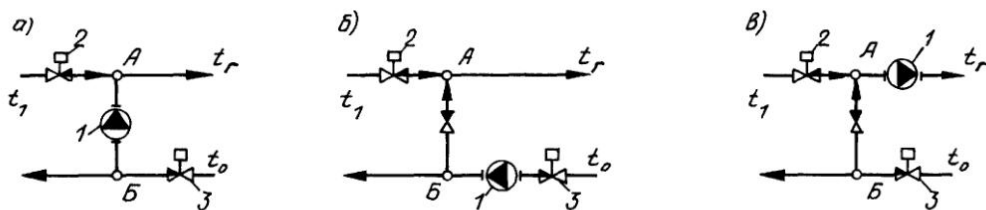


Рис. 10.4. Принципиальные схемы смесительной установки с насосом на перемычке между магистралями системы отопления (а), на обратной магистрали (б), на подающей магистрали (в)

1 – смесительный насос; 2 – регулятор температуры; 3 – регулятор расхода воды в системе отопления

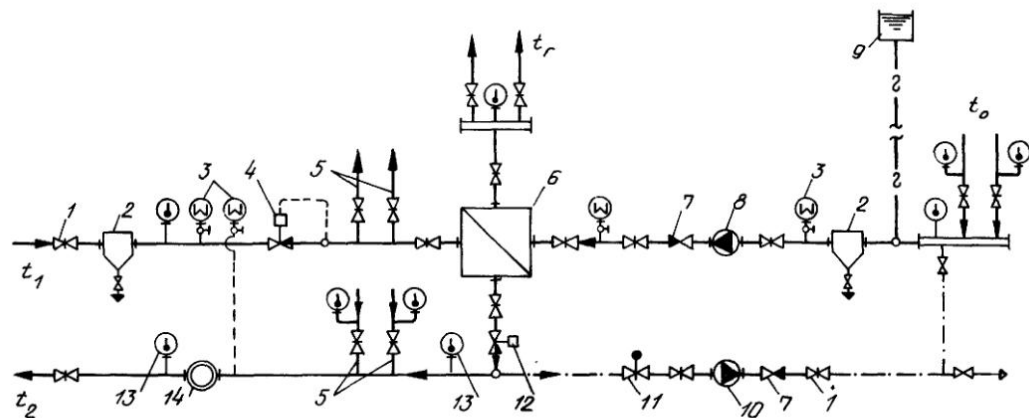


Рис. 10.5. Принципиальная схема местного теплового пункта при независимом присоединении системы насосного водяного отопления к наружным теплопроводам

1 – задвижка; 2 – грязевик; 3 – манометры; 4 – регулятор давления; 5 – ответвления к системам вентиляции и горячего водоснабжения; 6 – теплообменник; 7 – обратный клапан; 8 – циркуляционный насос; 9 – расширительный бак; 10 – подпиточный насос; 11 – клапан с электроприводом; 12 – регулирующий клапан; 13 – термометр; 14 – тепломер

в пределах высоких значений КПД в зависимости от общего расхода воды в системе отопления G_c , причем давление насоса Δp_n , развиваемое в рабочей точке А, принимают за исходное при гидравлическом расчете системы.

Высоконапорный насос общепромышленного назначения выбирают (с проверкой допустимости действующего гидростатического давления во всасывающей трубке) также по заводской характеристике (рис. 10.3, б) в зависимости от расхода воды G_c и потерь давления в системе Δp_c . При этом излишек давления насоса в рабочей точке А (на рисунке показан ординатой АБ) должен быть устранен (например, путем применения регулятора давления) во избежание получения нерасчетных G_c и Δp_c . При выборе насоса учитывают также относительное изменение потерь давления в системе по формуле $-0,6 + z^{0,38} (0,16 + 0,05O_2)$ через z

лет при содержании кислорода O_2 , мг/л, в холодной воде.

Смесительный насос в зависимой системе отопления (см. рис. 10.1, з) можно устанавливать на перемычке между подающей и обратной магистралями (рис. 10.4, а) или включать в обратную (рис. 10.4, б) либо подающую (рис. 10.4, в) магистраль системы.

Давление, создаваемое смесительным насосом на перемычке [устанавливают, когда $(p_1 - p_2) \geq \Delta p_c$], предопределено разностью давления в наружных подающем (p_1) и обратном (p_2) теплопроводах.

Давление, создаваемое смесительным насосом на обратной или подающей магистрали [устанавливают, когда $(p_1 - p_2) < \Delta p_c$], определяет циркуляционное давление в системе отопления независимо от разности давления в наружных теплопроводах.

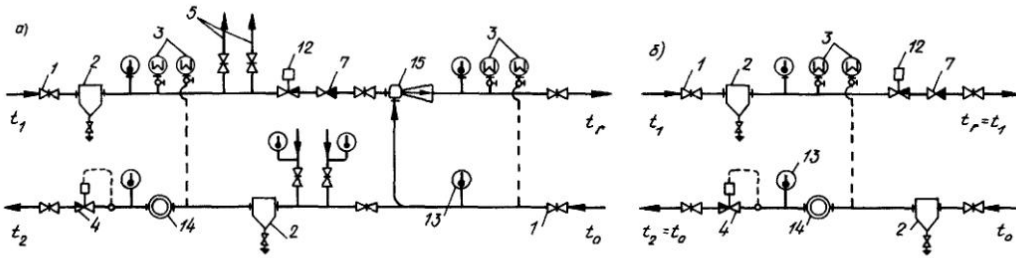


Рис. 10.6. Принципиальные схемы местного теплового пункта при непосредственном присоединении системы водяного отопления к наружным теплопроводам со смешением воды с помощью водоструйного элеватора 15 (а) и без смешения воды (б)

На рис. 10.5 показана принципиальная схема местного теплового пункта при независимом присоединении системы насосного водяного отопления к наружным теплопроводам с необходимой запорной, контрольно-измерительной и регулирующей арматурой. Теплообменников желательно устанавливать не менее двух. На подающем теплопроводе высокотемпературной воды помещают регулятор давления «после себя», на обратном теплопроводе – регулятор расхода, влияющий на температуру воды, поступающей в систему отопления.

На рис. 10.6, а изображена принципиальная схема установки водоструйного элеватора с контрольно-измерительными и другими приборами, характерными для местного теплового пункта при зависимом присоединении системы отопления к наружным теплопроводам со смешением высокотемпературной и охлажденной воды. Применяют также автоматизированный элеватор с регулируемым соплом (например, типа ЭРСА).

На рис. 10.6, б дана схема местного теплового пункта системы отопления, присоединенной к наружным теплопроводам, без смешения воды.

10.2. Классификация систем

Системы водяного отопления различают:

а) по схеме соединения труб с отопительными приборами – однотрубные с последовательным соединением приборов, двухтрубные с параллельным соединением приборов и бифилярные с последовательным соединением сначала всех первых половин приборов, затем для течения воды в обратном направлении всех вторых их половин;

б) по положению труб, объединяющих ото-

пительные приборы по вертикали или по горизонтали, – вертикальные и горизонтальные;

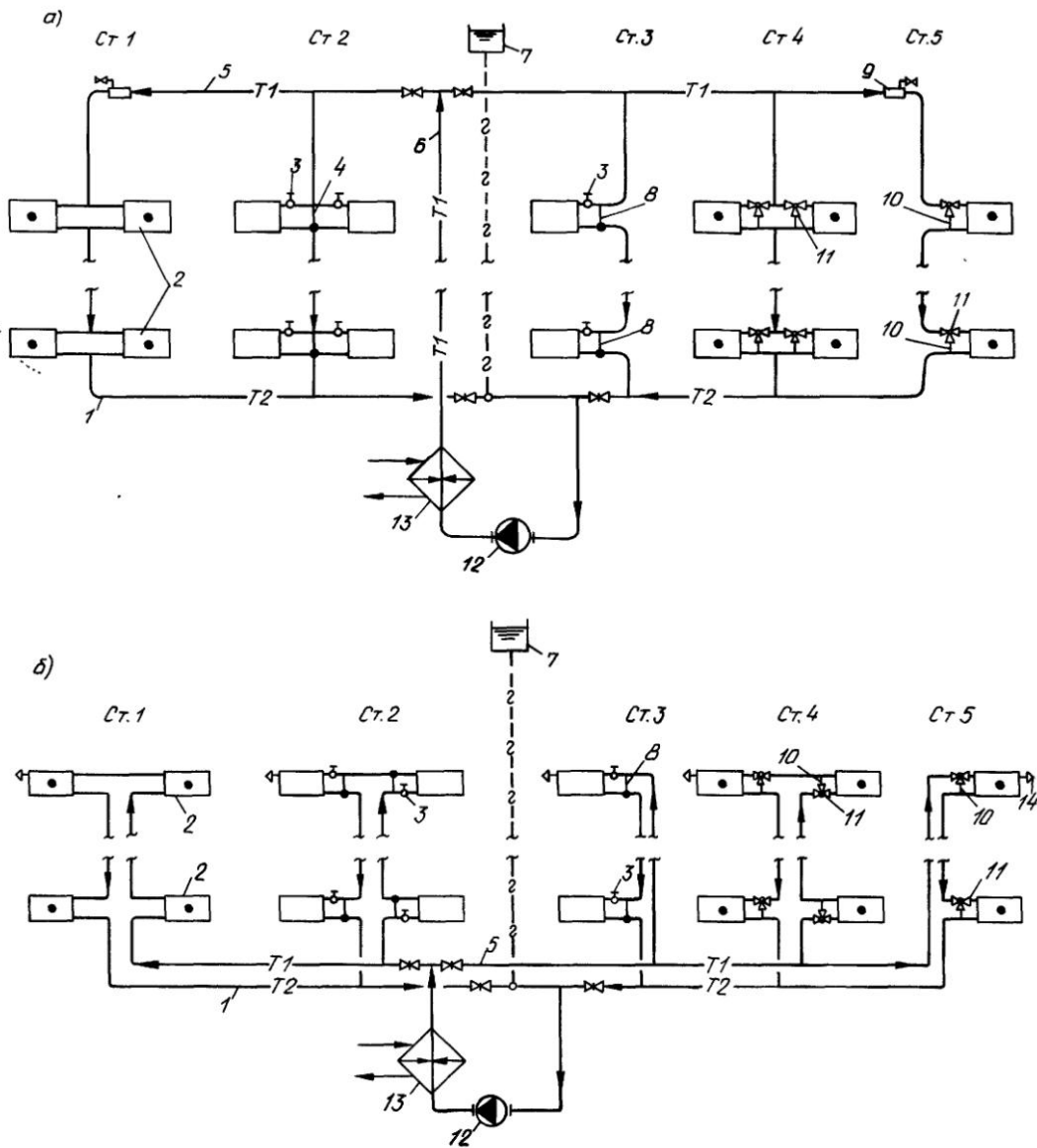
в) по расположению магистралей – с верхней разводкой при прокладке подающей магистрали выше отопительных приборов; с нижней разводкой при расположении и подающей и обратной магистралей ниже приборов; с «опрокинутой» циркуляцией воды при прокладке обратной магистрали выше приборов;

г) по направлению движения воды в подающей и обратной магистралях – с тупиковым (встречным) и попутным (в одном направлении) движением воды в магистралях.

На рис. 10.7, а приведена схема вертикальной однотрубной системы насосного водяного отопления с верхней разводкой, с двусторонним (стояки 1, 2, 4) и односторонним (стояки 3, 5) присоединением приборов к стоякам. Стояки показаны условно трех различных типов: нерегулируемого проточного (стояк 1); с замыкающими участками осевыми (стояк 2) и смещенными (стояк 3) с проходными регулируемыми кранами (КРП, поставленные со стороны входа теплоносителя в приборы); проточно-регулируемого с обходными участками (стояки 4, 5) с трехходовыми регулируемыми кранами (КРТ).

На рис. 10.7, б дана схема вертикальной однотрубной системы насосного водяного отопления с нижней разводкой и П-образными стояками условно трех типов (по аналогии с рис. 10.7, а): нерегулируемого проточного (стояк 1), регулируемого со смещенными замыкающими участками и кранами КРП (стояки 2, 3), проточно-регулируемого с обходными участками и кранами КРТ (стояки 4, 5). При непарных отопительных приборах восходящую часть стояков делают «холостой» (стояки 3, 5).

На рис. 10.7, в показана схема вертикальной однотрубной системы насосного отопления



с опрокинутой циркуляцией воды и проточным расширительным баком. Стойки могут быть проточными (стойки 1, 3) или со смещенными обходными (стойки 2, 5) и замыкающими (стойка 4) участками. Проточный стояк I изображен с конвекторами типа «Комфорт-20», имеющими две горизонтально расположенные греющие трубы и регулирующий воздушный клапан.

На рис. 10.8 приведена схема горизонтальной однотрубной системы насосного водяного отопления с ветвями условно различной кон-

струкции. Проточная ветвь I изображена для радиаторов, установленных на двух этажах, причем радиаторы на первом этаже объединены воздушной трубой, на втором этаже снабжены воздушными кранами. Бифилярная ветвь II показана для трубчатых отопительных приборов (конвекторов, гладких и ребристых труб). Ветвь III дана для регулируемых приборных узлов с кранами КРП и замыкающими участками постоянной длины с дросселирующими вставками. Аналогично может быть вы-

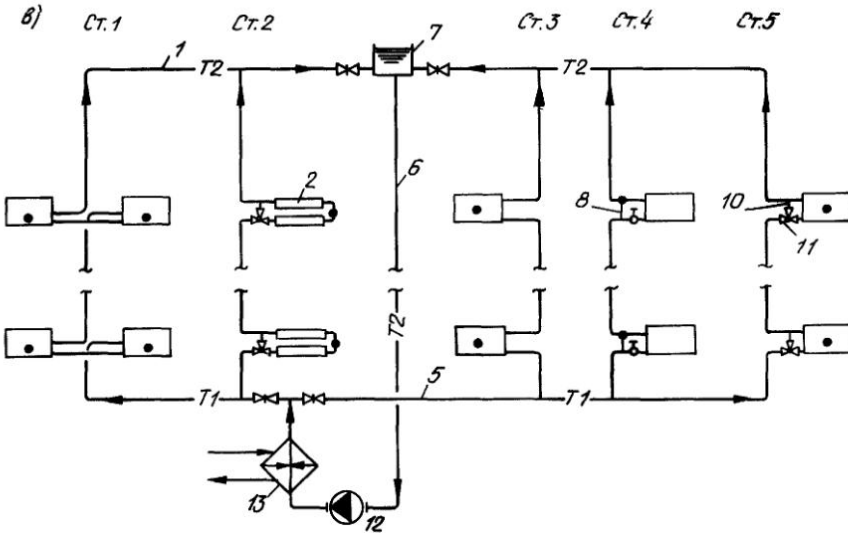


Рис. 10.7. Схемы вертикальных одновентильных систем насосного водяного отопления с верхней разводкой (а), с нижней разводкой (б) и с опрокинутой циркуляцией воды (в)

1 – обратная магистраль; 2 – отопительный прибор; 3 – кран регулирующий проходной; 4 – осевой замыкающий участок; 5 – подающая магистраль; 6 – главный стояк; 7 – расширительный бак; 8 – смещенный замыкающий участок; 9 – проточный воздухоотборник; 10 – обходной участок; 11 – кран регулирующий трехходовой; 12 – циркуляционный насос; 13 – теплообменник; 14 – воздушные краны, черными точками помечены условные центры охлаждения воды в стояках

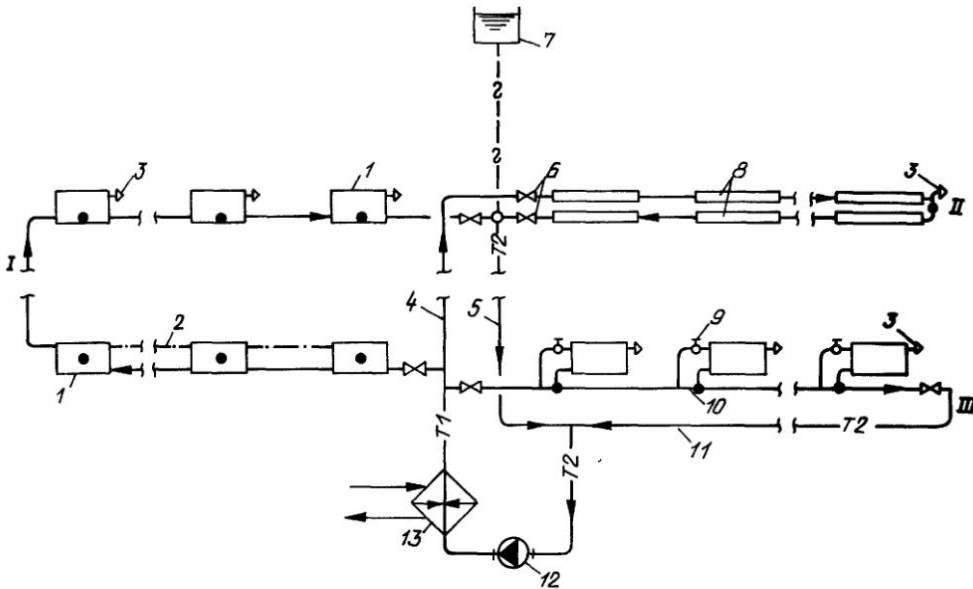


Рис. 10.8. Схема горизонтальной одновентильной системы насосного водяного отопления с ветвями

1 – проточной для радиаторов на разных этажах; 11 – проточной бифилярной; 111 – с замыкающими участками постоянной длины; 1 – радиаторы; 2 – воздушная труба; 3 – воздушные краны; 4 – подающий стояк; 5 – обратный стояк; 6 – вентили; 7 – расширительный бак; 8 – конвектор двухтрубный; 9 – кран регулирующий проходной; 10 – замыкающий участок; 11 – обратная магистраль; 12 – циркуляционный насос; 13 – теплообменник (черными точками помечены условные центры охлаждения воды в ветвях)

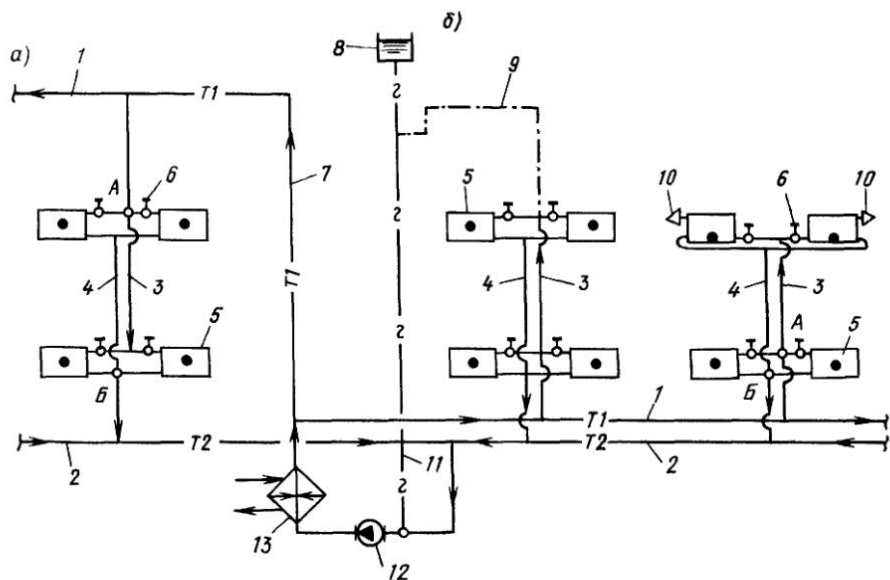


Рис. 10.9. Схема вертикальной двухтрубной системы насосного водяного отопления с верхней разводкой (а), с нижней разводкой (б) 1 и 2—подающие и обратные магистрали; 3 и 4—подающие и обратные стояки; 5—отопительные приборы; 6—краны двойной регулировки; 7—главный стояк; 8—расширительный бак; 9—воздушная линия; 10—воздушные краны; 11—соединительная труба расширительного бака; 12—циркуляционный насос; 13—теплообменник

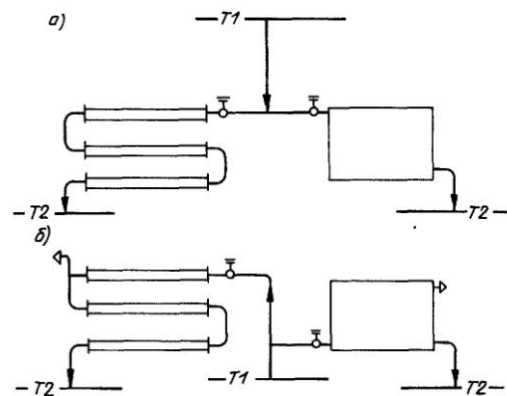


Рис. 10.10. Приборные узлы горизонтальной двухтрубной системы отопления с верхней разводкой (а), с нижней разводкой (б)

полнена ветвь с обходными участками и кранами КРТ, хотя в этом случае затруднен централизованный спуск воды.

На рис. 10.9 изображена схема вертикальной двухтрубной системы насосного водяного отопления с верхней (в левой части рисунка) и нижней разводкой. При нижней разводке удаление воздуха из системы может быть централизованным (через воздушную линию) и мест-

ным (через воздушные краны). В приборные узлы входят краны двойной регулировки (КРД) или краны повышенного гидравлического сопротивления—КРП с дросселирующим устройством (в системах отопления многоэтажных зданий с нижней разводкой).

Основные приборные узлы, относящиеся к горизонтальным двухтрубным системам с верхней разводкой показаны на рис. 10.10, а, с нижней разводкой—на рис. 10.10, б. Слева изображено змеевиковое (последовательное) соединение трубами таких приборов, как гладкие и ребристые трубы, плитные конвекторы, справа—присоединение колончатых радиаторов по схемам сверху—вниз (см. рис. 10.10, а) и снизу—вниз (см. рис. 10.10, б).

10.3. Последовательность проектирования системы

Исходные данные для проектирования: назначение и технология, планировка и строительные конструкции здания; климатические условия и положение здания на местности; источник теплоснабжения; температура помещений.

Расчет теплового режима. Теплотехни-

ческий расчет наружных ограждений конструкций, расчет теплового режима в помещениях, определение тепловых нагрузок для отопления (см. раздел I и гл. 8).

Выбор системы. Выбор параметров теплоносителя и гидравлического давления в системе, вида отопительных приборов и схемы системы (с технико-экономическим обоснованием в необходимых случаях).

Конструирование системы. Размещение отопительных приборов, стояков, магистралей и других элементов системы. Деление системы на части постоянного и периодического действия, для позонного и пофасадного регулирования. Назначение уклона труб; схемы движения, сбора и удаления воздуха; компенсации удлинения и изоляции труб; мест спуска и наполнения водой стояков и системы. Выбор вида запорно-регулирующей арматуры, ее размещение.

Конструирование заканчивают вычерчиванием схемы системы с нанесением тепловых нагрузок отопительных приборов и расчетных участков.

Теплогидравлический расчет системы. Гидравлический расчет системы. Тепловой расчет труб и приборов (см. гл. 9).

До гидравлического расчета проводят предварительный тепловой расчет (без учета теплоотдачи труб) отопительных приборов с греющими элементами из труб (конвекторы, змеевиковые радиаторы, бетонные панели), потери давления по длине которых заметно влияют на общие потери давления в стояках и ветвях. В этом случае предварительно выбранные размеры приборов уточняют после выполнения гидравлического расчета.

Допустимо делать окончательный тепловой расчет приборов любого вида до гидравлического расчета двухтрубных систем при скрытой прокладке труб.

После гидравлического расчета проводят сразу окончательный тепловой расчет «емкостных» отопительных приборов (радиаторы секционные и панельные колончатые, ребристые и гладкие трубы $D_y = 40 - 100$ мм), потери давления в которых допустимо оценивать по местному сопротивлению на входе и выходе воды, а также тепловой расчет гравитационной системы отопления малоэтажных зданий.

10.4. Выбор системы

При проектировании водяного отопления предпочтение отдается насосным однотрубным системам из унифицированных узлов и деталей с автоматическим пофасадным регулированием. Гравитационные системы применяют при отсутствии централизованного теплоснабжения, технико-экономическом обосновании их преимущества по сравнению с насосными или при технологической необходимости полного исключения шума и вибрации конструкций в здании.

Наиболее экономичные однотрубные системы проточного типа проектируют тогда, когда индивидуальное регулирование теплоотдачи отопительных приборов не обязательно или предусматривается установка приборов с воздушными регулирующими клапанами (например, конвекторов типа КН-20).

Однотрубные системы проточно-регулируемого типа (с кранами КРТ) используют в тех случаях, когда необходимо индивидуальное регулирование теплоотдачи приборов.

Однотрубные системы с замыкающими участками у приборов (с кранами КРП) применяют взамен проточно-регулируемых, когда требуется уменьшить потери давления в приборных узлах, несмотря на относительное увеличение площади нагревательной поверхности приборов (большее при узлах с осевым замыкающим участком, меньшее при узлах со смещенным замыкающим участком). Учитывают, что при смещенных замыкающих участках обеспечивается компенсация теплового удлинения этажестояков.

Вертикальные однотрубные системы рекомендуют для зданий, имеющих три этажа и более. Однотрубные системы с верхней разводкой устраивают для обеспечения централизованного удаления воздуха из системы вне рабочих помещений.

Однотрубные системы с нижней разводкой применяют в бесчердачных зданиях с техническими подпольями и подвалами, а также при необходимости поэтажно включать систему в действие в процессе строительства здания.

Однотрубные системы с опрокинутой циркуляцией воды устраивают преимущественно в зданиях повышенной этажности, в зданиях с обогреваемыми чердачными помещениями (с «теплыми» чердаками) или верхними техническими этажами. В таких системах рекоменду-

ют применять отопительные приборы с греющими элементами из стальных труб (например, конвекторы).

Однотрубные системы следует разделять на две последовательно соединенные части, когда расчетная разность температуры воды превышает 45°C (например, $130-70^{\circ}\text{C}$).

Горизонтальные однотрубные системы рекомендуется применять в протяженных зданиях, в зданиях с ленточным остеклением, в зданиях, где каждый этаж имеет различное технологическое назначение или тепловой режим.

Бифилярные системы целесообразно устраивать при одинаковых тепловых нагрузках приборов, при автоматическом поддержании заданной температуры помещений путем пофасадного (вертикальные системы) или поэтажного (горизонтальные системы) количественного регулирования теплоотдачи отопительных приборов.

Вертикальные насосные двухтрубные системы с нижней разводкой могут применяться в зданиях, состоящих из разноэтажных частей, с установкой у отопительных приборов кранов КРД (малозэтажные здания) или КРП с дросселирующим устройством, т.е. повышенного гидравлического сопротивления (многоэтажные—до восьми этажей—здания), а также при установке индивидуальных автоматических регуляторов у каждого отопительного прибора.

Двухтрубные системы с верхней разводкой можно устраивать в малозэтажных зданиях (один—два этажа), особенно при естественной циркуляции воды. Такие системы используются для квартирного отопления при радиусе действия не более 15 м по горизонтали. Применение горизонтальных насосных двухтрубных систем следует избегать; при выборе по необходимости такие системы делают с попутным движением воды в магистралях (при расчете строят эпюру циркуляционного давления—см. п. 10.9.1 и рис. 10.23).

Для сокращения длины и диаметра магистралей вертикальные системы отопления многоэтажных зданий рекомендуется применять с тупиковым движением воды, особенно если предусматривается автоматическое пофасадное регулирование. В насосных системах значительной протяженности при малой тепловой нагрузке стояков следует использовать для уязки потерь давления в параллельно соеди-

ненных участках (если расхождение при тупиковом движении воды превышает 15%) попутное движение воды в магистралях.

Предельная (расчетная) температура теплоносителя в системах водяного отопления зданий и сооружений различного назначения указана в п. 7.2.

10.5. Гидравлическое давление в системе

Гидравлическое давление следует проверять в наиболее высоко и низко расположенных точках выбранной системы отопления.

Давление в системе отопления, гидравлически независимой от наружной тепловой сети (см. рис. 10.1, *a-в*), определяется положением и местом присоединения расширительного бака, давлением в нем (если бак закрытый) и давлением, развиваемым насосом.

Давление в зависимо присоединенной системе отопления связано с давлением в наружных теплопроводах. Минимальное и максимальное давление и динамику изменения давления при циркуляции воды устанавливают путем построения эпюры гидравлического давления. На рис. 10.11 изображена эпюра гидравлического давления в системе отопления (двойные линии между точками *A, B, B, Г, Д*) высотой *h*, присоединенной к наружным теплопроводам, с одним центром охлаждения (ц.о.) в точке *B*. Штрихпунктирными линиями показано изменение давления в системе в статическом режиме, причем в наиболее высоко расположенной точке *B* оно принимается избыточным (от 0,01 МПа или $0,1 \text{ кгс/см}^2$) при $t_r < 100^{\circ}\text{C}$ до 0,4 МПа или 4 кгс/см^2 при $t_r = 150^{\circ}\text{C}$). Гидростатическое давление p_2 в точке *Д* общей обратной магистрали определяет необходимое давление в месте соединения системы отопления с наружным обратным теплопроводом (может поддерживаться на более высоком уровне регулятором давления «до себя»); оно является исходным для построения пьезометрических линий в расчетном динамическом режиме (сплошные линии на рисунке).

Давление в точке *Г*, наиболее низкой и удаленной от теплового пункта, выражает наибольшее давление в обратной магистрали системы; это давление не должно превышать рабочего давления, допустимого для арматуры и отопительных приборов.

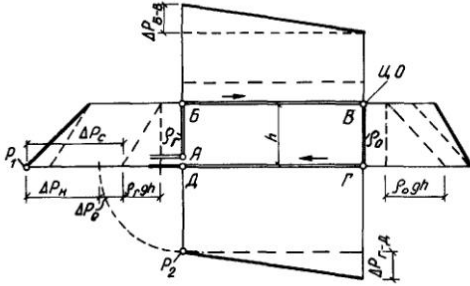


Рис. 10.11. Эпюра гидравлического давления в системе отопления, непосредственно соединенной с наружными теплопроводами В – точка наименьшего давления, Г – точка наибольшего давления, Д – точка постоянного давления в системе

Давление в точке В показывает наименьшее давление в системе в динамическом режиме. Если, например, высота системы 20 м, ориентировочные потери давления от точки В до точки Д составляют 50 кПа, а давление в наружном обратном теплопроводе $p_2 = 0,25$ МПа, то давление в точке В составит $p_B = 0,25 + 0,05 - 0,20 = 0,10$ МПа, т. е. будет недостаточным для предотвращения вскипания воды, имеющей температуру более 120°C.

Давление в точке В показывает наибольшее давление в подающей магистрали в динамическом режиме.

Давление в точке А выражает необходимое давление p_1 в подающей магистрали системы:

$$p_1 = p_2 + \Delta p_c - \Delta p_g, \quad (10.1)$$

где Δp_c – потери давления при циркуляции воды в системе; Δp_g – естественное циркуляционное (гравитационное) давление, возникающее в системе

10.6. Конструирование системы

10.6.1. Трубы

Для пропуска теплоносителя могут использоваться металлические (стальные, медные, свинцовые и др.) и неметаллические (пластмассовые, стеклянные и др.) трубы. Преимущественно применяют стальные шовные (сварные) трубы. Бесшовные трубы устанавливают только в местах, недоступных для ремонта.

Из стальных шовных труб используются неоцинкованные (воздушные и дренажные линии выполняют из оцинкованных труб) водопроводные трубы (ГОСТ 3262–75*) обыкновенные, усиленные и легкие $D_y = 10, 15, 20,$

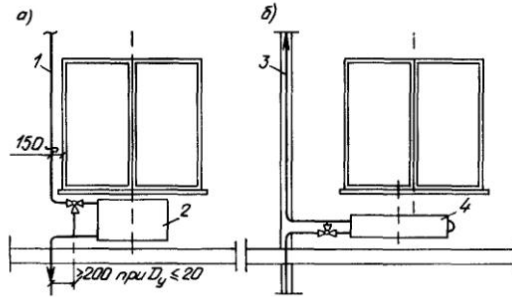


Рис. 10.12. Узлы вертикальных проточно-регулируемых однотрубных систем отопления с приоконными стойками и радиаторами (вертикальные оси приборов и окон совпадают) (а), с замоналичеными в перегородки стойками и конвекторами (приборы смещены к стойкам от вертикальной оси окон) (б)

1 – приоконный сголок, 2 – радиатор, 3 – замоналиченный сголок, 4 – конвектор

25, 32, 40 и 50 мм и стальные электросварные трубы (ГОСТ 10704–76*), выбираемые со стенками наименьшей толщины (по выпускаемому сортаменту).

Усиленные трубы применяют в уникальных долговременных сооружениях со скрытой прокладкой труб, обыкновенные – при скрытой прокладке; легкие трубы предназначены под сварку или накатку резьбы для их соединения в системах с открытой прокладкой труб. Площади поперечного сечения обыкновенных, усиленных и легких труб одного и того же условного диаметра различны (например, для трубы D_y 20 мм площади соответственно относятся как 1,0:0,926:1,057), что следует иметь в виду при гидравлическом расчете.

В большинстве случаев применяются открытые прокладки отопительных труб и их теплоотдачу учитывают при тепловом расчете отопительных приборов (см. гл. 9). По специальным требованиям прокладка труб может быть скрытой: магистрали переносят в технические помещения, стояки и подводки к приборам скрывают в каналах и бороздах (размеры – см. табл. 9.14) или замоналичивают (в местах расположения разборных соединений труб и арматуры предусматривают лючки).

Размеры подводок к отопительным приборам должны, как правило, унифицироваться. На рис. 10.12 изображены узлы вертикальных проточно-регулируемых однотрубных систем с подводками постоянной длины (см. также рис. 10.7, а–в). В любом случае длина подводки или сцепки не должна превышать 1,25–1,5 м, уклон подводки – 5–10 мм на всю ее длину (при

длине до 0,5 м допускается прокладка подводки без уклона).

При размещении стояков исходят из следующего: обособляют стояки для отопления лестничных клеток, помещают стояки в углах наружных стен, предусматривают их изгибы для компенсации теплового удлинения труб (см. рис. 10.12, а).

Магистралы в производственном здании прокладывают в пределах помещений под потолком, в средней зоне и у пола. При применении горизонтальной однетрубной системы в одной трубе совмещают функции магистралы, стояка и подводки. Длину прямого участка (с приборами) такой системы до изгиба – компенсатора удлинения труб рекомендуется принимать не более 12 м.

Магистралы в гражданском здании или административно-бытовом здании промышленного предприятия, как правило, прокладывают в технических помещениях. В северной строительной-климатической зоне (при расчетной температуре $t_n = -40^\circ\text{C}$ и ниже) размещение магистралей на чердаках (кроме теплых чердаков) и в проветриваемых технических подпольях зданий не допускается. Не допускается также прокладка транзитных теплопроводов через помещения убежищ, электротехнические помещения и пешеходные тоннели.

В гражданском здании шириной более 9 м предусматривают прокладку магистралей, обеспечивающую разделение системы отопления на две пофасадные части.

При размещении магистралей предусматривают свободный доступ к ним для осмотра, ремонта и замены, а также уклон (рекомендуется 0,003, при необходимости по СНиП допустим минимальный уклон 0,002) и компенсацию теплового удлинения труб.

При конструировании системы необходимо учитывать правила производства монтажных работ. В частности, следует выдерживать расстояние 80 мм между осями двухтрубных неизолированных стояков $D_y \leq 32$ мм, при этом подающие трубы располагать справа. Расстояние от поверхности строительных конструкций до оси неизолированных стояков или горизонтальных труб принимать: 35 мм при $D_y \leq 32$ мм, 50 мм при $D_y > 32$ мм с допуском ± 5 мм.

10.6.2. Запорно-регулирующая арматура

На подводках к отопительным приборам устанавливают:

при однетрубных стояках – регулирующие краны (только для эксплуатационного регулирования), имеющие пониженный (до 5) коэффициент местного сопротивления (ручные краны – проходные КРП и трехходовые КРТ; автоматические краны);

при двухтрубных стояках (в том числе при приборах с воздушными клапанами) – регулирующие краны (для пуска-наладочного и эксплуатационного регулирования), имеющие повышенный коэффициент местного сопротивления (ручные краны двойного регулирования КРД, краны КРП с дросселирующим устройством; автоматические краны).

При теплоносителе – высокотемпературной воде необходимо применять регулирующие краны вентильного типа.

Регулирующие краны у отопительных приборов не устанавливают в местах, где может замерзть циркулирующая вода, – это относится к приборам при входе в лестничные клетки, у ворот, у заглузочных наружных проемов и т. п. местах.

Допускается установка одного общего регулирующего крана на трубе, подающей воду к группе отопительных приборов, расположенных в одном помещении. При наличии в помещении двух приборов, присоединенных к разным стоякам, может быть установлен один регулирующий кран у большего прибора.

Арматуру на стояках в малоэтажных (один–три этажа) зданиях не ставят (рис. 10.13, а). В четырех–семизэтажных зданиях на стояках устанавливают проходные пробочные краны (рис. 10.13, б–в), вместо спускных кранов можно применять тройники или муфты с пробками для выпуска воздуха.

При высокой температуре воды вместо проходных кранов применяют вентили, а тройники с пробками заменяют спускными кранами со штуцерами для присоединения гибких шлангов. В зданиях, имеющих восемь и более этажей (рис. 10.13, г), установка спускных кранов (вместо тройников с пробками) обязательно независимо от температуры воды; проходные краны заменяют вентилями также и при гидростатическом давлении, превышающем 0,6 МПа (6 кгс/см²).

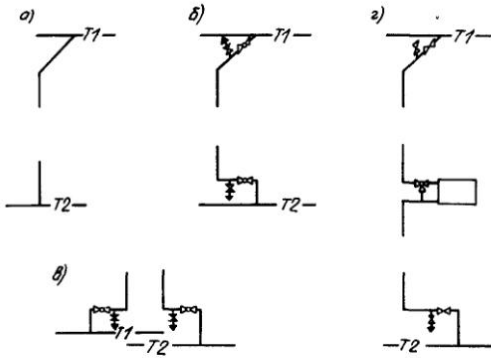


Рис. 10.13. Схемы присоединения стояков к магистралям систем отопления двух-трехэтажных зданий (а), четырех-семиэтажных при верхней разводке (б) и при нижней разводке (в), восьмиэтажных и более высоких зданий (г)

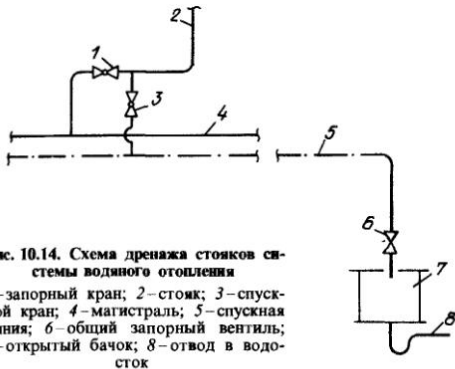


Рис. 10.14. Схема дренажа стояков системы водного отопления

1-запорный кран; 2-стояк; 3-спускной кран; 4-магистраль; 5-спускная линия; 6-общий запорный вентиль; 7-открытый бак; 8-отвод в водосток

На стояках в лестничных клетках запорные краны устанавливают независимо от числа этажей. Запорно-регулирующую и спускную арматуру предусматривают также и на отдельных частях системы.

В системе с нижней разводкой и воздушной линией запорные краны, кроме кранов в основании стояков, ставят на вертикальной воздушной трубе каждого стояка.

В системе со спускной линией для опорожнения отдельных стояков или ветвей (в горизонтальной системе, начиная с трехэтажных зданий, и в вертикальной системе в зданиях, имеющих технические этажи или более 16 этажей) устанавливают общий запорный вентиль на линии у перепускного бака для отвода воды в водосток (рис. 10.14).

Основная запорно-регулирующая арматура, применяемая в местных тепловых пунктах системы отопления, показана на принципиальных схемах в п. 10.1.

10.6.3. Насосы

Циркуляционные насосы (см. прил. XIII) устанавливают по схемам, приведенным на рис. 10.2, и включают, как правило, в общую обратную магистраль системы. При необходимости уменьшить гидравлическое давление в теплообменниках или котлах насосы могут быть включены в общую подающую магистраль, причем техническая характеристика насосов должна соответствовать расчетным параметрам горячей воды. Рабочий и резервный циркуляционные насосы снабжаются обратными клапанами. Можно устанавливать один бесфундаментный насос, а резервный хранить на складе. При использовании насосов общепромышленного назначения (например, типа К) выполняют виброизоляцию труб и обводную линию (см. рис. 10.2). Управление работой насосов автоматизируется с выбором периодичности переключения в зависимости от типа насоса (например, через 24 ч).

Смесительные насосы (см. рис. 10.4) устанавливают по тем же схемам и правилам, что и циркуляционные.

Подпиточный насос (см. схему системы отопления на рис. 10.1, б) применяют при недостаточном гидростатическом давлении в наружных теплопроводах (не только в обратных, но и в подающих) для заполнения системы отопления и восполнения убыли воды в ней. Насос выбирают с относительно малой подачей и значительным давлением, необходимым для подъема воды до высшей точки системы (например, типа КМП). Для подпитки системы следует использовать деаэрированную воду из наружных теплопроводов. Управление действием подпиточного насоса автоматизируется (например, с использованием реле уровня в открытом расширительном баке, см. рис. 10.18, б).

Мощность насосов, Вт, пропорциональна произведению подачи, $\text{м}^3/\text{с}$, на создаваемое давление, Па ($\text{кгс}/\text{м}^2$).

10.6.4. Противопожарные требования

Водяное отопление не допускается в зданиях и помещениях категорий А и Б в случаях, перечисленных в п. 7.2, а также если могут выделяться вещества, способные к самовозгоранию или взрыву при соприкосновении или взаимодействии с водой; если хранятся или

применяются вещества, выделяющие при контакте с водой горючие газы или пары (например, карбид кальция).

Отопительные приборы, размещаемые в помещениях категорий *A*, *B* и *B*, должны иметь легко очищаемую гладкую поверхность, их необходимо устанавливать без ниш (кроме лестничных клеток) и ограждать экранами при температуре теплоносителя более 130°C. Предельно допустимая температура теплоносителя указана в п. 7.2.

Экраны у отопительных приборов при любой температуре теплоносителя следует предусматривать в помещениях, предназначенных для наполнения и хранения баллонов со сжатыми и сжиженными горючими и негорючими газами, а также в помещениях для хранения легковоспламеняющихся жидкостей с температурой вспышки паров 28°C и ниже (бензин, бензол и др.) и самовозгорающихся веществ и материалов (табак и др.).

Отопительные приборы и трубы при расчетной температуре воды $t_r > 105^\circ\text{C}$ должны отстоять от сгораемых элементов здания не менее чем на 100 мм. На трубах в местах пересечения перегородок, внутренних стен и перекрытий должны быть гильзы из несгораемых материалов (отходы листовой стали, обрезков труб и т.п.). Кольцевой зазор между гильзой и трубой (не менее 15 мм) заполняют несгораемым теплоизоляционным материалом. Гильзы можно не устанавливать в местах пересечения несгораемых перекрытий стояками однотрубной системы с проточными приборами или со смещенными обходными и замыкающими участками у приборов.

Трубами системы отопления допускается пересекать противопожарные стены, но с прочной и плотной заделкой строительным раствором зазоров вокруг труб и обеспечением свободного теплового удлинения труб по обе стороны стен.

Совместная прокладка (или пересечение) труб системы отопления в канале с технологическими трубами, по которым транспортируются горючие жидкости, имеющие температуру вспышки паров ниже 120°C, или горючие и агрессивные пары и газы, не допускается.

10.6.5. Изоляция системы

Отопительные трубы и другие элементы системы необходимо изолировать для сокра-

щения бесполезных теплотерь и для снижения уровня звукового давления и вибрации в помещениях здания.

Тепловую изоляцию труб предусматривают в неотапливаемых помещениях, в подпольных каналах, в бороздах в наружных стенах и т.п. местах. Тепловую изоляцию помещают за отопительными трубами, замоноличенными в наружные стены. Применяют также в местах, где возможно замерзание воды, — в трубах (например, близ наружных дверей, ворот и других открываемых наружу проемов), в воздухооборниках и расширительных баках в холодных помещениях.

Тепловой изоляцией покрывают также транзитные теплопроводы, отопительные трубы в помещениях, искусственно охлаждаемых, а также опасных в отношении воспламенения или взрыва газов, паров, жидкостей и пыли. Предусматривают тепловую изоляцию во избежание перегрева помещений или ожогов людей.

На теплопроводы, поверхность которых является нагревательной для помещений (например, в технических помещениях), тепловую изоляцию не наносят.

Материал тепловой изоляции должен обеспечивать коэффициент полезного действия не менее 0,75; выполняют ее из несгораемых (в помещениях категорий *A*, *B* и *B*) или трудносгораемых материалов в виде конструкции, обеспечивающей минимум затрат ручного труда при производстве изоляционных работ и надежной в эксплуатации.

Термическое сопротивление слоя изоляции должно быть не менее 0,86 К·м²/Вт (1,0°C × м²·ч/ккал) для труб $D_y \leq 25$ мм и 1,22 К × м²/Вт (1,42°C·м²·ч/ккал) для труб $D_y > 25$ мм.

На покровно-защитный слой тепловой изоляции наносят цветковые обозначения для каждой из подающих и обратных труб в одном помещении (см. «Правила устройства и безопасной эксплуатации трубопроводов пара и горячей воды»).

Виброзвуковую изоляцию устраивают для помещений с длительным пребыванием людей. Фундаменты насосов общепромышленного назначения отделяют от конструкций здания и дополняют виброизолирующими амортизаторами. Магистраль системы изолируют от насосов двумя гибкими вставками (см. рис. 10.2)

из армированной резины, а в местах пересечения стен и перекрытий снабжают амортизирующими прокладками из резинового полотна или асбестового картона. Зазоры между трубами, прокладками и строительными конструкциями заполняют упругой мастикой.

В насосном помещении для снижения уровня звукового давления выполняют акустическое покрытие стен и потолка звукопоглощающими плитами или штукатуркой.

В том случае, когда вибрация и шум в здании недопустимы даже на низком уровне, насосное помещение устраивают вне здания или проектируют гравитационную систему отопления.

10.6.6. Компенсация теплового удлинения труб

Удлинение стальной трубы при нагревании приращение ее длины Δl , мм, составляет

$$\Delta l = 0,012(t_r - 5)l, \quad (10.2)$$

где t_r — расчетная температура теплоносителя, °C; l — длина прямого участка трубы, м.

Ориентировочно считают, что при низкотемпературной воде 1 м стальной подающей трубы предельно удлиняется на 1 мм, обратной трубы — на 0,8 мм, при высокотемпературной воде — до 1,75 мм/м.

При проектировании системы предусматривают компенсацию удлинения труб с тем, чтобы предотвратить недопустимую их деформацию и чтобы напряжение на изгиб в трубах не превышало 80 МПа (800 кгс/см²).

Компенсация удлинения подводов к отопительным приборам делается в горизонтальной однотрубной системе путем их изгиба; между каждым пятью—шестью приборами вставляются П-образные компенсаторы или гофрированные патрубки.

Специальный изгиб подводов необходим также при длинных гладкотрубных приборах и при установке нескольких отопительных приборов «на сцепке».

Компенсация удлинения стояков системы в малоэтажном здании обеспечивается путем изгиба их в местах присоединения к подающей магистрали (см. рис. 10.13, а). В четырех-семиэтажных зданиях делают также изгиб стояков и в местах присоединения их к обратной магистрали (см. рис. 10.13, б—в). В зданиях, имеющих более семи этажей, для компенсации

удлинения труб в средней части стояков устанавливают П-образные компенсаторы (как и на главном стояке системы) либо специально изгибают трубы с отсосом отопительных приборов от оси стояков (см. рис. 10.13, з). В этом случае на стояках между компенсаторами помещают неподвижные опоры.

Для компенсации удлинения каждого этажа стояка однотрубной системы можно использовать его изгибы при смещении замыкающего или обходного участка от оси стояка. Расстояние от стояка в помещении высотой 2,5 м до смещенного участка должно быть при низкотемпературной воде не менее 200 мм.

Компенсация удлинения магистралей выполняется прежде всего естественными их изгибами, связанными с планировкой здания, и только прямые магистрали значительной длины, особенно при высокой температуре воды, снабжаются П-образными компенсаторами* или гофрированными патрубками.

При проектировании П-образных компенсаторов неподвижные опоры размещают таким образом, чтобы тепловое удлинение участка магистрали между опорами не превышало 50 мм.

Расстояние между подвижными опорами принимают в зависимости от диаметра горизонтальных магистралей по табл. 10.1.

ТАБЛИЦА 10.1
РАССТОЯНИЕ МЕЖДУ ПОДВИЖНЫМИ ОПОРАМИ ТРУБ

D_p , мм	Расстояние, м, между опорами труб		D_p	Расстояние, м, между опорами труб	
	без тепло-вой изоляции	с тепло-вой изоляцией		без тепло-вой изоляции	с тепло-вой изоляцией
15	2,5	1,5	65	6	4
20	3	2	80	6	4
25	3,5	2	100	6,5	4,5
32	4	2,5	125	7	5
40	4,5	3	150	8	6
50	5	3			

Примечание. Расстояние указано исходя из напряжения на изгиб 25 МПа (250 кгс/см²), возникающего в металле трубы при просадке одной из опор

* Справочник проектировщика. Проектирование тепловых сетей/Под ред. А. А. Николаева. — М.: Стройиздат, 1965.

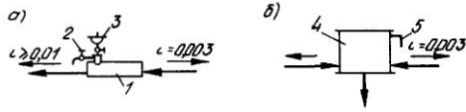


Рис. 10.15. Способы удаления воздушных скоплений из систем водяного отопления с верхней разводкой подающей магистрали (а), обратной магистрали (б)

1 горизонтальный проточный воздухооборник; 2 – спускной кран; 3 – автоматический воздухоотводчик; 4 – проточный расширительный бак; 5 – переливная труба

10.6.7. Перемещение и удаление воздушных скоплений

При подпитке водопроводной водой (см. рис. 10.1, а) в систему может вноситься свыше 30 г/т растворенного (абсорбированного) воздуха; при подпитке деаэрированной теплофикационной водой (см. рис. 10.1, б–в) – менее 0,1 г/т. Растворенный воздух переходит в свободное состояние при повышенной температуре и пониженном давлении воды, т. е. в верхней части подающих теплопроводов системы.

Перемещение и сбор свободного воздуха связаны со скоростью витания и всплывания воздушных пузырьков. Скорость витания пузырьков воздуха составляет: в вертикальных трубах 0,2–0,25 м/с, в наклонных и горизонтальных трубах 0,1–0,15 м/с. Скорость их всплывания не превышает скорости витания.

В насосной системе с верхней разводкой (см. рис. 10.7, а) для перемещения пузырьков воздуха к воздухооборникам уклон магистралей рекомендуется делать против направления движения воды (рис. 10.15, а). Так же делается уклон обратных магистралей и в насосной системе с опрокинутой циркуляцией воды (см. рис. 10.7, в) для перемещения воздушных скоплений к центральному воздухооборнику или расширительному баку, помещаемому над главным обратным стояком (рис. 10.15, б). В гравитационной системе с верхней разводкой допустим уклон (не менее 0,005) магистралей по направлению движения воды (см. рис. 10.1, в).

Минимальный внутренний диаметр d_n , мм, проточного воздухооборника (d_n должен превышать диаметр примыкающей магистрали по крайней мере в 2 раза) определяют по формуле

$$d_n = 2G^{0,5}, \quad (10.3)$$

где G – расход воды в воздухооборнике, кг/ч.

Длина горизонтальных воздухооборников должна в 2–2,5 раза превышать их диаметр

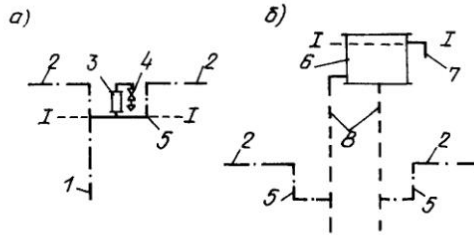


Рис. 10.16. Способы централизованного удаления воздушных скоплений из систем водяного отопления с нижней разводкой а – через вертикальный воздухооборник; б – через расширительный бак; 1 – воздушная труба стояка; 2 – воздушные линии; 3 – вертикальный непроточный воздухооборник; 4 – спускной кран; 5 – воздушная петля; 6 – открытый расширительный бак; 8 – соединительные грубы; 1–1 – верхний уровень воды

(размеры воздухооборников выбираются по типовым чертежам).

В стояках насосной однотрубной системы с нижней разводкой (см. рис. 10.7, б) рекомендуется скорость движения воды не менее 0,25–0,3 м/с для уноса пузырьков воздуха. Воздушные краны, устанавливаемые на отопительных приборах (см. рис. 10.7, б и 10.8), предназначены для использования при проведении пуско-наладочных и ремонтных работ.

Магистрали $D_y > 50$ мм, а также ветви горизонтальных систем независимо от диаметра допускается прокладывать без уклона при скорости движения воды не менее 0,25 м/с.

В двухтрубной системе с нижней разводкой для сбора воздуха используются отопительные приборы на верхнем этаже или воздушные трубы (см. рис. 10.9). Воздушные трубы стояков объединяются воздушной линией – горизонтальной оцинкованной трубой D_y 15 мм с одной воздушной петлей $h = 500$ мм, которая соединяется с вертикальным непроточным воздухооборником (рис. 10.16, а) или с трубами открытого расширительного бака (рис. 10.16, б).

Воздух, скопившийся в воздухооборниках, выпускают в атмосферу вручную через спускные краны 2 (см. рис. 10.15) и 4 (см. рис. 10.16) или через автоматические воздухоотводчики 3 (см. рис. 10.15), если они имеются (например, типа УВ-1, применяемые в Москве).

Воздух, скопившийся в отопительных приборах, в верхней точке стояка или магистрали, выпускается в атмосферу через воздушные краны (например, игольчатого типа D_y 15 с воздуховыпускным отверстием $d = 2$ мм).

Воздухоотводящие трубки от воздухооборников рекомендуется прокладывать в пределах

холодных помещений под слоем общей тепловой изоляции рядом с отопительной магистралью и выводить в обогреваемые помещения (например, в лестничную клетку).

10.6.8. Расширительный бак

Расширительные баки (открытые и закрытые с воздушной или газовой подушкой) применяют при тепловой мощности систем отопления одного или нескольких зданий не более 6 МВт (5 Гкал/ч). При мощности более 6 МВт необходимое давление в системах поддерживается постоянно действующими подпиточными насосами.

Открытый расширительный бак (рис. 10.17) устанавливают над верхней точкой системы (с учетом п. 10.5); закрытый, находящийся под избыточным давлением, помещают чаще всего в тепловом пункте.

На рис. 10.18 показаны схемы соединения открытого расширительного бака с системой. В насосной системе малоэтажного здания используют схему с выводом контрольной трубы D , 20 мм и переливной трубы к раковине в тепловом пункте (рис. 10.18, а). Расширительная и циркуляционная трубы присоединяются к общей обратной магистрали преимущественно близ всасывающего патрубка циркуляционного насоса на расстоянии l не менее 2 м одна от другой. Диаметр расширительной трубы 32 мм, циркуляционной - 25 мм, переливной - 50 мм (для баков общей вместимостью менее 500 л диаметры уменьшаются на один торговый размер).

В насосной системе многоэтажного здания переливная труба отводится к водосточному стояку (чугунному), а вместо контрольной трубы устраивают электрическую сигнализацию и автоматическое управление подпиткой системы с помощью двух реле уровня, соединенных трубой $3'$ (рис. 10.18, б) с баком. В 10-16-этажных зданиях расстояние l (см. рис. 10.18, а) может быть сокращено до конструктивно приемлемого минимума, а диаметры расширительной и циркуляционной труб уменьшены до 20-15 мм.

В гравитационной системе с верхней разводкой открытый расширительный бак присоединяют к высшей точке подающей магистрали (рис. 10.18, в).

Полезный объем открытого расширительного бака определяют в зависимости от объема

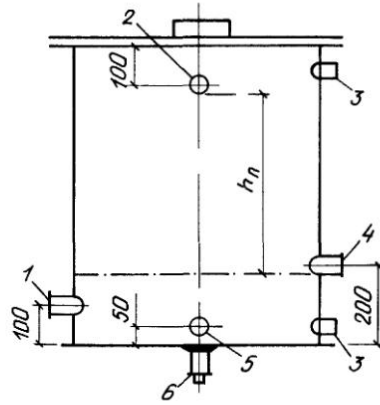


Рис. 10.17. Открытый расширительный бак с патрубками для присоединения труб: циркуляционной 1, переливной 2, труб реле уровня 3, контрольной (сигнальной) 4, расширительной 5 (6 - муфта с пробкой; h_n - полезная высота бака)

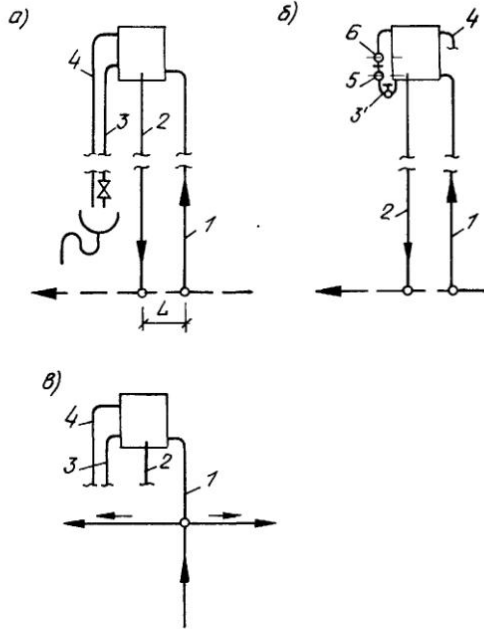


Рис. 10.18. Присоединение открытого расширительного бака к магистралям

а - обратной в насосной системе отопления с ручным контролем; б - то же, с автоматизированными сигнализацией и регулированием уровня воды в баке; в - подающей в гравитационной системе; 1-4 - трубы соответственно расширительная, циркуляционная, контрольная, переливная; 5 и 6 - реле соответственно нижнего и верхнего уровня воды в баке, соединенные трубой $3'$ (с вентилем D , 15) с баком

воды в системе V_c по формуле (размеры баков принимают по типовым чертежам)

$$V_{\text{пол}} = k V_c, \quad (10.4)$$

где k — коэффициент, учитывающий объемное расширение воды (табл. 10.2).

ТАБЛИЦА 10.2

ОБЪЕМНОЕ РАСШИРЕНИЕ ВОДЫ, НАГРЕВАЕМОЙ В СИСТЕМЕ ОТОПЛЕНИЯ (В ДОЛЯХ ПЕРВОНАЧАЛЬНОГО ОБЪЕМА)

Расчетная температура горячей воды, °С	Объемное расширение воды	Расчетная температура горячей воды, °С	Объемное расширение воды
85	0,022	115	0,031
95	0,024	130	0,035
105	0,027	135–150	0,042
110	0,029		

Примечание. Предусмотрено наполнение системы теплофикационной водой ($t = 40 - 45^\circ\text{C}$); при наполнении системы водопроводной водой ($t = 5^\circ\text{C}$) объемное расширение воды увеличивать вдвое.

Общий объем воды в системе отопления V_c , л, определяют по формуле

$$V_c = (V_{пр} + V_{кал} + V_{тр} + V_{кот}) Q_c, \quad (10.5)$$

где $V_{пр}$, $V_{кал}$, $V_{тр}$, $V_{кот}$ — объем воды, л, соответственно в приборах, калориферах, трубах, котлах, приходящий на 1 кВт тепловой мощности системы отопления (табл. 10.3); Q_c — тепловая мощность системы водяного отопления, кВт (1,16 тыс. ккал/ч).

ТАБЛИЦА 10.3

ОБЪЕМ ВОДЫ В ЭЛЕМЕНТАХ СИСТЕМЫ ОТОПЛЕНИЯ

Элемент системы отопления	Объем воды, л/кВт, при расчетной температуре горячей воды в системе, °С						
	85	95	105	110	115	130	135–150
Радиатор чугунный секционный глубиной:							
140 мм	10,8	9,5	8,9	8,5	8,2	7,2	6,8
90 «	14,4	12,9	11,9	11,4	11,0	9,6	9,2
Конвекторы:							
«Аккорд», «Прогресс-20»	1,07	1,0	0,97	0,94	0,86	0,69	
«Прогресс-15»	0,76	0,71	0,69	0,66	0,60	0,52	
Радиатор стальной панельный	8,1	7,1	6,6	6,4	6,1	5,3	5,1
Ребристая труба чугунная	—	5,6	5,2	5,0	4,8	4,3	3,6
Гладкая труба $D_s = 70 - 100$ мм	35,7	31,6	30,4	29,7	28,6	24,9	21,5
Бетонная отопительная панель	—	1,72	1,59	1,52	1,46	1,29	
Конвекторы типов КН, КО, КВ	—	0,69	0,64	0,63	0,62	0,60	0,59
Калорифер пластинчатый	0,47	0,43	0,40	0,39	0,38	0,34	0,33
Труба при циркуляции:							
искусственной	7,6	6,9	6,4	6,0	5,6	5,2	4,7
естественной	—	13,8	—	—	—	—	—
Котел чугунный секционный	2,6	2,6	2,6	—	—	—	—
Теплообменник скоростной	0,23	0,21	0,19	0,18	0,17	0,15	—

Примечание. Объем воды в паружных теплопроводах определяют по проекту теплоснабжения

Объем закрытого расширительного бака при начальном давлении в нем, равном атмосферному, превышает объем открытого бака. Искусственное повышение начального давления воздуха или газа в баке позволяет уменьшить его объем. * Замена сжатого воздуха азотом устраняет абсорбцию воздуха.

10.7. Расчетное циркуляционное давление в системе

В системе отопления **расчетное давление** для создания циркуляции воды Δp_p определяется по формулам:

в насосной вертикальной однотрубной системе при качественном регулировании теплоносителя

$$\Delta p_p = \Delta p_n + \Delta p_e; \quad (10.6)$$

то же, при автоматическом качественно-количественном регулировании теплоносителя

$$\Delta p_p = \Delta p_n + 0,70 \Delta p_e; \quad (10.7)$$

в насосных двухтрубной и горизонтальной однотрубной системах

$$\Delta p_p = \Delta p_n + 0,40 \Delta p_e; \quad (10.8)$$

в гравитационной системе

$$\Delta p_p = \Delta p_e, \quad (10.9)$$

где Δp_n — давление, создаваемое циркуляционным насосом для обеспечения необходимого расхода воды в системе; Δp_e — естественное циркуляционное давление:

$$\Delta p_e = \Delta p_{e,пр} + \Delta p_{e,тр}. \quad (10.10)$$

Естественное циркуляционное давление, возникающее в расчетном кольце системы вследствие охлаждения воды в трубах $\Delta p_{e,тр}$, Па, находят по рис. П.1 или по формуле при N участках в кольце (без множителя g при расчете в кгс/м²):

$$\Delta p_{e,тр} = \sum_{i=1}^N h_i (\gamma_{i+1} - \gamma_i) \approx \beta g \sum_{i=1}^N h_i (t_i - t_{i+1}), \quad (10.11)$$

где h_i — вертикальное расстояние между условными центрами охлаждения i -го участка и нагревания, м; γ_i , γ_{i+1} — удельный вес воды, Н/м³, при температуре в

* Отопление, вентиляция, кондиционирование воздуха. Справочное руководство. Пер. с англ.—М.: Госстройиздат, 1963

начале t_i и в конце t_{i+1} того же участка (объемная масса, кг/м³, при расчете давления в кгс/м²).

В насосных системах с нижней разводкой величиной $\Delta p_{e,тр}$ можно пренебрегать.

Естественное циркуляционное давление, возникающее в расчетном кольце системы вследствие охлаждения воды в **отопительных приборах** $\Delta p_{e,пр}$, Па, определяется по формулам:

а) в вертикальной однотрубной системе при N приборах в стояке, входящем в расчетное кольцо (без множителя g при расчете в кгс/м²).

$$\Delta p_{e,пр} = \frac{\beta g}{c G_{ст}} \sum (Q_i h_i), \quad (10.12)$$

где Q_i – необходимая теплоподача теплоносителем в i -е помещение:

$$Q_i = Q_{п,i} \beta_1 \beta_2, \quad (10.13)$$

$Q_{п,i}$ – теплопотери i -го помещения, Вт (ккал/ч); β_1 и β_2 – поправочные коэффициенты (см. гл. 9); h_i – вертикальное расстояние между условными центрами: охлаждения в стояке для i -го прибора и нагревания (средина высоты теплообменника или котла, точка смещения воды в тепловом пункте и т. п.), м; центры охлаждения воды в стояках помечены на рис. 10.7, а – черными точками; расстояние h_i может измеряться от уровня магистрали, прокладываемой в подвальном помещении (техническом подполье, подпольном канале); c – удельная массовая теплоемкость воды [4187 Дж/(кг·К) или 1,0 ккал/(кг·°C)]; β – среднее приращение плотности (объемной массы) при понижении температуры воды на 1°C (табл. 10.4); $G_{ст}$ – расход воды в стояке, кг/с (кг/ч); при гидравлическом расчете системы с равными перепадами температуры воды в стояках

$$G_{ст} = \frac{\sum Q_{п,i}}{c \cdot \Delta t_c} \beta_1 \beta_2, \quad (10.14)$$

где $\Delta t_c = t_r - t_o$ – расчетная разность температуры воды в системе, °C.

ТАБЛИЦА 10.4
ЗНАЧЕНИЕ β , КГ/(М³·°C), В ЗАВИСИМОСТИ ОТ РАСЧЕТНОЙ РАЗНОСТИ ТЕМПЕРАТУРЫ ВОДЫ В СИСТЕМЕ

$t_r - t_o, ^\circ\text{C}$	β	$t_r - t_o, ^\circ\text{C}$	β
85–65	0,60	115–70	0,68
95–70	0,64	130–70	0,72
105–70	0,66	150–70	0,76

Используя формулу (10.14), получим (без множителя g при расчете в кгс/м²)

$$\Delta p_{e,пр} = \frac{\beta g}{Q_{ст}} (t_r - t_o) \sum (Q_{п,i} h_i), \quad (10.12 \text{ а})$$

где $Q_{ст} = \sum Q_{п,i}$ – тепловая нагрузка стояка;

б) в горизонтальной однотрубной или двухтрубной системе в расчетном кольце через ветвь или отопительный прибор на нижнем этаже (без множителя g при расчете в кгс/м²)

$$\Delta p_{e,пр} = h_1 (\gamma_o - \gamma_r) \approx \beta g h_1 (t_r - t_o), \quad (10.15)$$

где h_1 – вертикальное расстояние между условными центрами охлаждения в ветви или отопительном приборе на нижнем этаже и нагревания в системе, м; центры охлаждения воды помечены на рис. 10.8 и 10.9 черными точками.

В насосных системах допустимо не учитывать Δp_e , если оно составляет менее $0,10 \Delta p_{п}$.

Насосное циркуляционное давление $\Delta p_{п}$ выбирается:

а) при зависимом присоединении системы отопления без смешения (см. рис. 10.1, д), а также со смесительным насосом на перемычке (см. рис. 10.4, а) – равным располагаемой разности давления $p_1 - p_2$ [см. формулу (10.1)] в точке ввода наружных теплопроводов в здание (с ограничением исходя из предельно допустимой скорости движения воды в трубах по табл. 10.5);

ТАБЛИЦА 10.5

ДОПУСТИМАЯ СКОРОСТЬ ДВИЖЕНИЯ ВОДЫ $w_{доп}$ В ТРУБАХ СИСТЕМ ОТОПЛЕНИЯ

Допустимый уровень звуковой мощности L_A , дБА	Значения $w_{доп}$ при большем из коэффициентов местного сопротивления арматуры на трубах, превышающих к помещению				
	до 5	10	15	20	30
25	1,5/–	1,1/0,7	0,9/0,55	0,75/0,5	0,6/0,4
30	1,5/–	1,5/1,2	1,2/1,0	1,05/0,8	0,85/0,65
35	1,5/–	1,5/1,5	1,5/1,1	1,2/0,95	1,0/0,8
40	1,5/–	1,5/1,5	1,5/1,5	1,5/1,5	1,3/1,2
45 и более	1,5/–	1,5/1,5	1,5/1,5	1,5/1,5	1,5/1,4

Примечания. 1. В числителе даны значения $w_{доп}$ при всех видах арматуры, кроме прямых вентилях, в знаменателе – при прямых вентилях

2. Во вспомогательных зданиях и помещениях предприятий, в которых допустимый эквивалентный уровень звука превышает 45 дБА, скорость движения воды в трубах допустима до 2 м/с, в производственных зданиях – до 3 м/с

б) при зависимом присоединении системы отопления со смешением в элеваторе (см. рис. 10.1, з и 10.6) – исходя из располагаемой

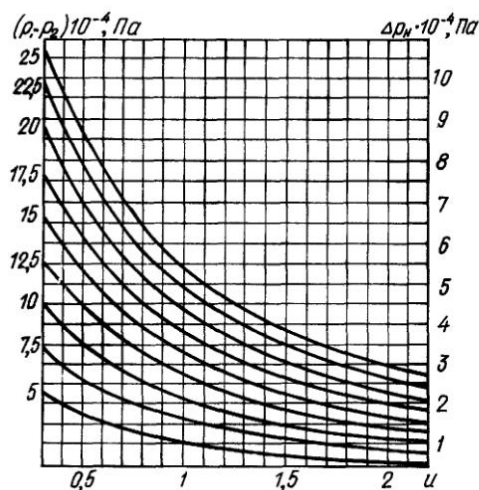


Рис. 10.19. Изменение насосного циркуляционного давления Δp_n в зависимой системе водяного отопления со смещением в водоструйном элеваторе

p_1 и p_2 — давление в наружных подающем и обратном теплопроводах; u — коэффициент смещения

разности давления $p_1 - p_2$ и коэффициента смещения элеватора по рис. 10.19;

в) при местном теплоснабжении (см. рис. 10.1, а) с перспективой элеваторного присоединения к теплофикационной сети — исходя из предполагаемой разности давления в точке будущего ввода теплопроводов $p_1 - p_2 = 150$ кПа (напора 15 м) и коэффициента смещения элеватора — по табл. 10.6;

ТАБЛИЦА 10.6

НАСОСНОЕ ЦИРКУЛЯЦИОННОЕ ДАВЛЕНИЕ В ЭЛЕВАТОРНОЙ СИСТЕМЕ ВОДЯНОГО ОТОПЛЕНИЯ Δp_n , кПа (кгс/м²), ПРИ $p_1 - p_2 = 150$ кПа (НАПОРЕ 15 М)

Расчетная температура воды в системе, °С		Насосное давление Δp_n при температуре воды t_1 , °С, и коэффициенте смещения u					
t_r	t_0	$t_1 = 115$		130		150	
		u	Δp_n	u	Δp_n	u	Δp_n
85	65	1,50	22 (2200)	2,25	15 (1500)	3,25	12 (1200)
95	70	0,80	36 (3600)	1,40	23 (2300)	2,20	16 (1600)
105	70	0,29	65 (6500)	0,71	39 (3900)	1,29	25 (2500)
115	70	-	-	0,33	62 (6200)	0,78	37 (3700)

г) при независимом присоединении системы отопления (см. рис. 10.1, б), при зависимом со смесительным насосом на обратной или подающей магистрали (см. рис. 10.4, б-в), а также при местном теплоснабжении (см. рис. 10.1, а) без перспективы присоединения к тепло-

фикационной сети — исходя из потери давления в системе при предельно допустимой скорости движения воды в трубах (см. табл. 10.5);

д) в северной строительно-климатической зоне при элеваторном присоединении к теплофикационной сети — не более 8 кПа (800 кгс/м²).

10.8. Способы гидравлического расчета системы отопления

Гидравлический расчет системы выполняются двумя основными способами:

1 — по характеристикам гидравлического сопротивления (исходя из выбранного диаметра труб, когда определяется расход воды в них); 2 — по удельным линейным потерям давления (исходя из принятого расхода воды в трубах, когда подбирается их диаметр).

Перепады температуры воды в стояках или ветвях системы в первом случае получаются неравными (допустимое отклонение от $\Delta t_c \pm 7^\circ\text{C}$ при Δt_c до 45°C), во втором случае принимаются равными Δt_c .

10.8.1. Способ гидравлического расчета по характеристикам сопротивления

При расчете по этому способу линейные (от трения) и местные (в местных сопротивлениях) потери давления на участке системы Δp , Па (кгс/м²), находят по формуле (с переводным коэффициентом k при расчете в кгс/м²)

$$\Delta p = kSG^2, \quad (10.16)$$

где G — расход воды на рассчитываемом участке, кг/ч; kS — характеристика гидравлического сопротивления участка, Па/(кг/ч)² [(кгс/м²)/(кг/ч)²], определяемая по формуле (с переводными коэффициентами k при расчете в кгс/м²)

$$kS = kA \left(\frac{\lambda}{d_n} l + \Sigma \zeta \right), \quad (10.17)$$

k — переводной коэффициент: для СИ — $k = 1,0$; для системы МКГСС — $k = 0,102$; A — удельное динамическое давление на участке, Па/(кг/ч)²; принимается по табл. 10.7 или вычисляется по формуле

$$A = 6,25/10^8 \rho d_n^4; \quad (10.18)$$

d_n и l — внутренний диаметр и длина участка, м; λ/d_n — приведенный коэффициент гидравлического трения; принимается по табл. 10.7; $\Sigma \zeta$ — сумма коэффициентов местных сопротивлений на участке; выбирается по табл. II.12–II.20 (см. также табл. 10.8 и 10.9); ρ — средняя плотность воды, кг/м³.

ТАБЛИЦА 10.7

ДИНАМИЧЕСКИЕ ХАРАКТЕРИСТИКИ ТРУБ НАСОСНЫХ СИСТЕМ ВОДЯНОГО ОТОПЛЕНИЯ (ПРИ $k = 1,0$)

ГОСТ	Диаметр трубы, мм		Удельное динамическое давление $A \cdot 10^4$, Па $\frac{(\text{кг/ч})^2}{\text{м}}$	Приведенный коэффициент гидравлического трения (среднее значение) λ/d_v , $\frac{1}{\text{м}}$	Расход воды при скорости 1 м/с $G/\text{м}$, кг/ч м/с	Удельная характеристика сопротивления $S_{y\lambda} \cdot 10^4$, Па $\frac{\text{м}}{(\text{кг/ч})^2}$
	условного прохода	внутренний				
	D_y	d_n				
3262 75* (обыкновенные)	10	12,6	26,50	3,60	425	95,40
	15	15,7	10,60	2,70	690	28,62
	20	21,2	3,19	1,80	1250	5,74
	25	27,1	1,23	1,40	2000	1,72
	32	35,9	0,39	1,0	3500	0,39
	40	41	0,23	0,80	4650	0,18
	50	53	0,082	0,55	7800	0,045
10704-76*	50	49	0,113	0,60	6600	0,068
	65	70	0,0269	0,40	13400	0,0108
	80	82	0,0142	0,30	18400	0,0043
	100	100	0,00642	0,23	27600	0,00148
	125	125	0,00265	0,18	43000	0,00048
	150	149	0,00135	0,15	61000	0,00020

Потери давления, Па (кгс/м²), на участке можно определять также по формуле

$$\Delta p = (G/\sigma)^2, \quad (10.19)$$

где σ – проводимость участка, кг/(ч·Па^{0,5}) [кг/ч × (кгс/м²)^{0,5}]; связана с характеристикой сопротивления зависимостью (с переводным коэффициентом k при расчете в кгс/м²)

$$\sigma = \frac{1}{\sqrt{kS}}. \quad (10.20)$$

Соотношение между характеристикой сопротивления и проводимостью определяется по шкале $kS - \sigma$ (рис. 10.20, на котором значения произведения kS даны увеличенными в 10⁴ раз).

При соединении отдельных участков в циркуляционное кольцо **общая характеристика сопротивления:**

а) при последовательном соединении N участков

$$kS_{\text{общ}} = \sum_1^N kS_i; \quad (10.21)$$

б) при параллельном соединении N участков (образующих трубный или приборный узел между общими точками деления и слияния потоков), отнесенная к общему расходу воды,

$$kS_{y\lambda} = \frac{1}{\left(\sum_1^N \sigma_{y\lambda}\right)^2} =$$

$$= \frac{1}{\left(\frac{1}{\sqrt{kS_1}} + \frac{1}{\sqrt{kS_2}} + \dots + \frac{1}{\sqrt{kS_N}}\right)^2}. \quad (10.22)$$

Если проводимость такого узла $\sigma_{y\lambda} = \sum \sigma_{y\lambda}$, его составляющих, то **коэффициент затекания воды** в один из этих участков, отнесенный к общему расходу воды

$$\alpha_1 = \frac{\sigma_1}{\sum_1^N \sigma_{y\lambda}} = \frac{1}{1 + \frac{\sigma_2 + \dots + \sigma_N}{\sigma_1}} = \frac{1}{1 + \frac{\sqrt{kS_1}}{\sqrt{kS_2}} + \dots + \frac{\sqrt{kS_1}}{\sqrt{kS_N}}}. \quad (10.23)$$

в) при параллельном соединении N стояков (образующих систему с тупиковым движением воды в магистралях) общая характеристика сопротивления системы, отнесенная к общему расходу воды в головных участках,

$$kS_c = \frac{kS_{ct1} + kS_2 \left(\sum_1^2 \alpha_i\right)^2 + \dots + kS_N \left(\sum_1^N \alpha_i\right)^2}{\left(\sum_1^N \alpha_i\right)^2}, \quad (10.24)$$

где kS_{ct1} – характеристика сопротивления тупикового стояка l с примыкающей парой участков магистралей (коэффициент затекания воды в стояк l принят за единицу – $\alpha_1 = 1,0$), kS_2, \dots, kS_N – то же, пар участков

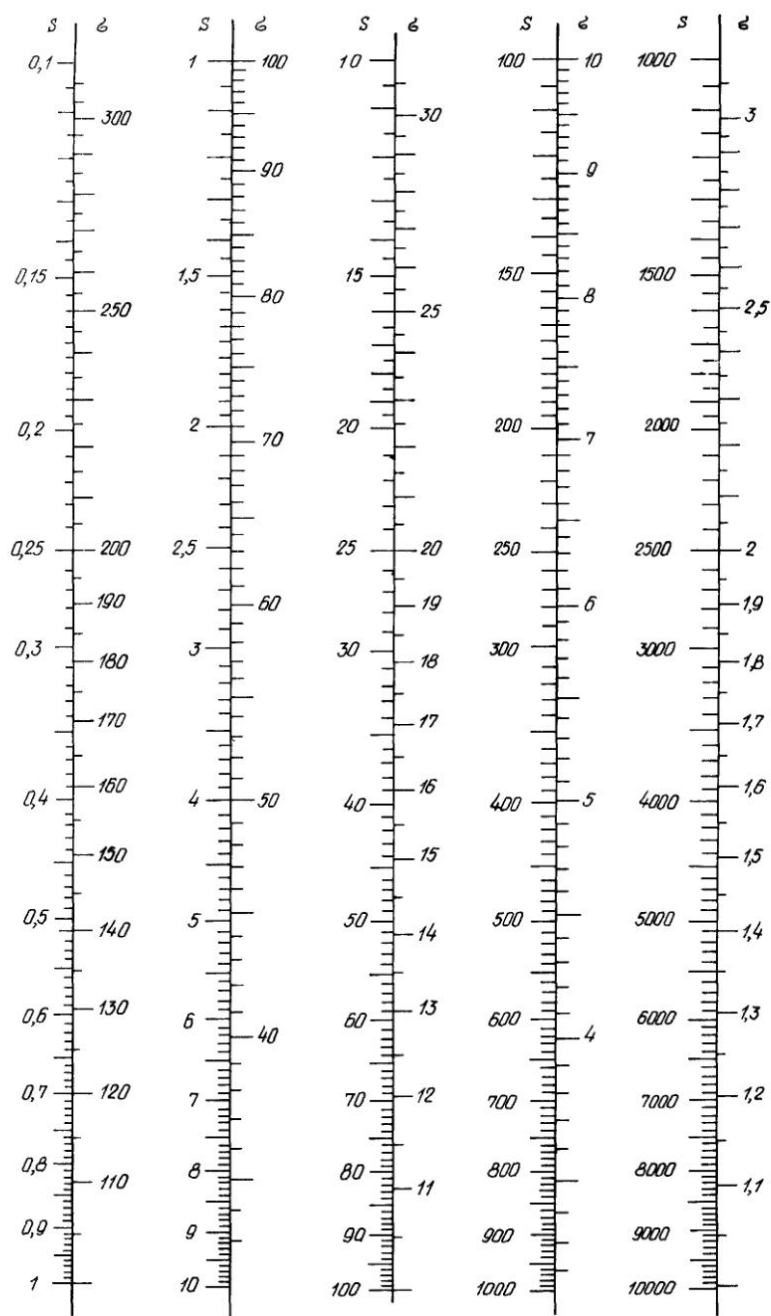


Рис. 10.20. Шкала соотношения характеристики гидравлического сопротивления S и проводимости σ труб (значения даны увеличенными в 10^4 раз при $k = 1,0$)

магистралей, примыкающих к стоякам 2, ..., N; α_i – коэффициент затекания воды в стояк i с проводимостью σ_i , определяемый по формуле

$$\alpha_i = \sigma_i / \sigma_{к.и}, \quad (10.25)$$

$\sigma_{к.и}$ – проводимость контура, состоящего из тупикового стояка l , и примыкающих, последовательно соединенных, пар участков магистралей до стояка i .

$$\sigma_c = \sigma_{к.н} \sum_1^N \alpha_i, \quad (10.26)$$

где $\sigma_{к.н}$ – проводимость контура, определяемая по формуле (10.20), исходя из значения числителя в формуле (10.24); $\sum \alpha_i$ – сумма коэффициентов затекания воды во все стояки системы.

Потери давления в такой системе отопления с расходом воды G_c определяют по формуле (10.16) исходя из значения kS_c [формула (10.24)] или по формуле (10.19) исходя из значения σ_c [формула (10.26)].

10.8.2. Способ гидравлического расчета по удельным линейным потерям давления

При расчете по этому способу линейные (от трения) и местные (в местных сопротивлениях) потери давления на участке теплопровода Δp , Па (кгс/м²), находят по формуле

$$\Delta p = k(Rl + Z), \quad (10.27)$$

где k – переводной коэффициент: для СИ – $k = 1,0$; для системы МКГСС – $k = 0,102$; R – удельная линейная потеря давления на 1 м трубы, Па/м; определяется по табл. II.1 и II.2 в зависимости от заданного расхода воды G_i , кг/ч, рассчитываемого по формуле, аналогичной формуле (10.14):

$$G_i = \frac{Q_i}{c\Delta t_c} \beta_1 \beta_2; \quad (10.28)$$

l – длина рассчитываемого участка, м; Z – местные потери давления на участке, Па; определяются по табл. II.3.

Потери давления в циркуляционном кольце составляют:

при последовательном соединении N участков

$$\Delta p_{сум} = k \sum_1^N (Rl + Z); \quad (10.29)$$

при параллельном соединении двух участков, стояков или ветвей

$$\Delta p_i = \Delta p_j. \quad (10.30)$$

При гидравлическом расчете используют значения коэффициентов местных сопротивлений (КМС), приведенные в табл. II.12–II.20. Для отдельных отопительных приборов ниже даны дифференцированные значения КМС. Значения КМС радиаторов чугунных секционных, присоединенных к трубам по схеме снизу–вниз (см. гл. 9), указаны в зависимости от числа секций в приборе (табл. 10.8).

ТАБЛИЦА 10.8

ЗНАЧЕНИЯ КОЭФФИЦИЕНТА МЕСТНОГО СОПРОТИВЛЕНИЯ ПРОТОЧНЫХ (СНИЗУ–ВНИЗ) ЧУГУННЫХ СЕКЦИОННЫХ РАДИАТОРОВ ПРИ $w > 0,1$ М/С

Диаметр условного прохода подводки, мм	КМС при числе секций					
	4	8	12	16	20	24
15	1,45	1,60	1,70	1,80	1,85	1,85
20	1,50	1,90	2,25	2,60	2,90	3,20
25	1,65	2,20	2,65	3,0	3,25	3,40
32	1,80	2,60	3,70	5,0	6,50	8,0

Средние значения КМС радиаторов стальных панельных и конвекторов приведены в табл. 10.9. Значение КМС прибора с подводками можно определить по формуле

$$\zeta_{нр} = S_{нр.уз} / A, \quad (10.31)$$

где $S_{нр.уз}$ – характеристика сопротивления приборного узла; определяется по формуле (10.22) при $k = 1,0$ с учетом числа параллельно соединенных нагревательных элементов в приборе; A – удельное динамическое давление; принимается по табл. 10.7 для диаметра подводки к прибору.

10.9. Гидравлический расчет системы по удельным линейным потерям давления

Расчет начинают с **основного циркуляционного кольца** системы, в котором установлено наименьшее значение Δp_1 – отношения расчетного циркуляционного давления Δp_p к длине кольца Σl :

$$\Delta p_1 = \Delta p_p / \Sigma l. \quad (10.32)$$

В насосной вертикальной однотрубной системе – это кольцо через наиболее нагруженный стояк из удаленных от теплового пункта при тупиковом движении воды или через наиболее нагруженный из средних стояков при попутном движении воды в магистралах. В насосной двухтрубной системе – это кольцо че-

ТАБЛИЦА 10.9

ЗНАЧЕНИЯ КОЭФФИЦИЕНТА МЕСТНОГО СОПРОТИВЛЕНИЯ СТАЛЬНЫХ РАДИАТОРОВ И КОНВЕКТОРОВ

Прибор	Марка прибора	КМС при диаметре условного прохода подводки, мм							
		10		15		20		25	
Радиатор стальной	РСВ1 РСГ2	0,2		0,5		1,7		4,5	
		0,6		1,35		4,5		12,0	
Конвектор «Универсал»	КН20-к	0,5		1,35		4,5		11,6	
		1,0		2,4		8,1		20,9	
		0,15		0,35		1,18		3,15	
		0,37		0,9		2,98		7,9	
Конвектор «Универсал-С»	КН20-к	1,42		3,4		11,4		30	
		2,05		4,9		16,4		43,8	
		0,32		0,78		2,6		6,9	
		0,35		0,84		2,8		7,5	
Конвектор «Комфорт-20»	КН20-к	0,4		1,1		3,4		9,1	
		0,9		2,2		7,4		19,8	
		0,1		0,3		1,0		2,7	
		0,6		1,5		5,0		13,4	
Конвектор «Аккорд»	КА-к	0,3		0,8		2,8		7,5	
		0,6		1,5		4,9		13,0	
		0,9		2,1		6,9		18,4	
Конвектор «Аккорд»	КА-п	0,2		1,2		3,9		10,3	
		0,7		1,8		5,9		15,8	
		0,8		3,2		10,7		28,6	
		1,8		4,5		14,8		39,5	
Конвектор «Ритм»	КО20-1,37-к КО20-1,37-п КО20-0,915-п КО20-2,14-к КО20-2,14-п	0,8		1,9		6,2		16,6	
		0,5		1,1		3,8		10,1	
		0,3		0,8		2,6		6,9	
		1,0		2,4		7,9		21,1	
		0,7		1,7		5,7		15,2	
Конвектор высокий	КВ-20	5,6		13,5		45,0		120,0	

Примечание. Для конвекторов «Универсал», «Универсал-С», «Комфорт-20» и «Аккорд» даны значения КМС при минимальной (в числителе), максимальной (в знаменателе), а также средней длине нагревательных элементов.

рез нижний отопительный прибор аналогично выбранных стояков.

$$R_{cp} = \frac{(1-k)\Delta p_p}{\Sigma l}, \quad (10.33)$$

В горизонтальной однотрубной системе многоэтажного здания основное циркуляционное кольцо выбирают по меньшему значению Δp_1 [см. выражение (10.32)] в двух кольцах через ветви на верхнем и нижнем этажах. Так же поступают при расчете гравитационной системы, сравнивая значения Δp_1 в циркуляционных кольцах через отопительные приборы, находящиеся на различных расстояниях от теплого пункта.

При подборе диаметра труб в циркуляционном кольце исходят из принятого расхода воды и среднего ориентировочного значения удельной линейной потери давления R_{cp} , определяемого по формуле

где k – коэффициент, учитывающий долю местных потерь давления в системе (табл. П.21); Σl – общая длина последовательных участков, составляющих расчетное циркуляционное кольцо, м.

При выборе диаметра однотрубных стояков с движением воды снизу – вверх в замыкающих участках принимают во внимание не только максимально допустимый расход воды (по скорости – см. табл. 10.5), но и минимальный расход (для обеспечения затекания воды в приборы). В табл. 10.10 для ориентировки указан минимально допустимый расход воды в таких стояках с радиаторными узлами. Для стояков с приборными узлами иного вида, особенно при

ТАБЛИЦА 10.10

МИНИМАЛЬНЫЙ РАСХОД ВОДЫ ПРИ ДВИЖЕНИИ ЕЕ СНИЗУ ВВЕРХ В ОДНОТРУБНЫХ СТОЯКАХ С РАДИАТОРНЫМИ УЗЛАМИ, ИМЕЮЩИМИ СМЕЩЕННЫЕ ЗАМЫКАЮЩИЕ УЧАСТКИ (ВЫСОТОЙ 0,5 М) И КРАНЫ КРП

Расчетная температура воды в системе $t_r - t_0$ °C	Диаметр условного прохода труб, мм			Минимальный расход воды $G_{ст}$ кг/ч
	стоянка	замыкающего участка	подводок	
95 70	15	15	15	200
105 70				220
95 70	20	15	20	150
105-70				170
95-70	25	20	25	330
105 70				360

высоких приборах, минимальный расход воды определяют расчетом.

При выборе диаметра труб в системах отопления с нижним расположением обеих магистралей учитывают, что минимальный расход воды в верхней части П-образных однострунных стояков, при котором обеспечивается унос воздуха из труб, составляет: при $D_y 15$ мм $G_{ст} = 140$, при $D_y 20$ мм $G_{ст} = 250$, при $D_y 25$ мм $G_{ст} = 400$ кг/ч.

В результате расчета потери давления в основном циркуляционном кольце, состоящем из N последовательных участков [см. формулу (10.29)], должны составлять (при $k = 1,0$):

$$\sum_1^N (Rl + Z) \approx 0,9\Delta p_p, \quad (10.34)$$

т.е. должны быть меньше Δp_p приблизительно на 10% (запас).

Расчет второстепенных циркуляционных колец системы проводят исходя из расчета основного кольца. В каждом новом кольце рассчитывают только дополнительные (не общие) участки, параллельно соединенные с участками основного кольца. При этом стремятся к получению равенства [по формуле (10.30)]:

$$\Sigma (Rl + Z)_{доп} = \Delta p_p \text{ доп}, \quad (10.35)$$

где $\Delta p_p \text{ доп}$ — располагаемое циркуляционное давление для расчета дополнительных не общих участков

Это давление принимают равным потерям давления (ранее вычисленным) на параллельно

соединенных с ними участках, входящих в основное кольцо:

двухтрубной системы

$$\Delta p_p \text{ доп} = \Sigma (Rl + Z)_{осн}; \quad (10.36)$$

однотрубной системы

$$\Delta p_p \text{ доп} = \Sigma (Rl + Z)_{осн} + (\Delta p_{\epsilon \text{ доп}} - \Delta p_{\epsilon \text{ осн}}) \quad (10.37)$$

с поправкой на разность естественных циркуляционных давлений в рассчитываемом и основном кольцах [по формуле (10.12)].

Расхождение (невязка) в расчетных потерях давления на параллельно соединенных участках допустимо при тупиковом движении воды в магистралях до 15%, при попутном движении $\pm 5\%$.

10.9.1. Гидравлический расчет вертикальной однострунной системы

После расчета основного циркуляционного кольца системы с тупиковым движением воды в магистралях строят для определения располагаемого давления в точках присоединения стояков эпюру циркуляционного давления в магистралях (пример построения — см. п. 10.9.2).

Для построения эпюры циркуляционного давления в магистралях системы с попутным движением воды необходим гидравлический расчет кроме основного кольца еще двух второстепенных циркуляционных колец. Эти кольца выбирают через ближний и дальний (от теплового пункта) наиболее нагруженные стояки.

При гидравлическом расчете промежуточных стояков определяют располагаемое циркуляционное давление по формуле, аналогичной формуле (10.37), используя построенную эпюру циркуляционного давления в магистралях. Для увязки потерь давления могут применяться составные стояки из труб различного диаметра. В первую очередь изменяют диаметр труб, соединяющих стояки с магистралями.

При невозможности увязки потерь давления путем изменения диаметра труб гидравлический расчет выполняют способом характеристик гидравлического сопротивления (см. п. 10.10). В исключительных случаях прибегают к диафрагмированию стояков. Диаметр диафрагмы d_d , мм, определяют (принимая его

не менее 5 мм) исходя из расхода воды в стояке $G_{ст}$, по формуле

$$\left. \begin{aligned} d_d &= 3,54(G_{ст}^2/\Delta p_d)^{0,25} \\ [d_d &= 2,0(G_{ст}^2/\Delta p_d)^{0,25}], \end{aligned} \right\} \quad (10.38)$$

где Δp_d – необходимые для увязки потери давления в диафрагме, Па (кгс/м²).

При гидравлическом расчете стояков с замыкающими участками значения коэффициента затекания воды в приборы принимают по табл. 9.3 или вычисляют по формуле (10.23). Так следует поступать, когда **дополнительная характеристика гидравлического сопротивления** S_e замыкающего участка (з.у), связанная с действием естественного циркуляционного давления в малом кольце отопительного прибора, $S_e < S_{e.пред}$ (табл. 10.11).

ТАБЛИЦА 10.11

ЗНАЧЕНИЯ $S_{e.пред} \cdot 10^4$, ПА/(КГ/Ч)², В МАЛОМ ЦИРКУЛЯЦИОННОМ КОЛЬЦЕ ОТОПИТЕЛЬНОГО ПРИБОРА ВЫСОТОЙ $h_{пр} = 0,5$ М (ПРИ $k = 1,0$)

Диаметр замыкающего участка (з.у) $D, \text{ мм}$	Один прибор при движении воды		Два прибора с осевым з.у		
	сверху-вниз с з.у		снизу-вверх с з.у		
	смещенным	осевым	смещенным	осевым	
15	45	20	35	15	
20	10	5	9	3	
				25	10

Значение S_e , Па/(кг/ч)², при тепловой нагрузке прибора $Q_{пр}$, Вт, и расходе воды в стояке $G_{ст}$, определяется по формуле

$$S_e = 31\beta h_{пр} Q_{пр} / G_{ст}^3 \quad (10.39)$$

при β – по табл. 10.4.

Если $S_e > S_{e.пред}$, то коэффициент затекания воды в прибор, односторонне присоединенный к стояку, рассчитывают по видоизмененной формуле (10.23)

$$\alpha_1 = \frac{1}{1 + \sqrt{\frac{kS_1}{k(S_2 \pm S_e)}}}, \quad (10.40)$$

где знак плюс принимают при движении воды в стояке сверху – вниз, знак минус – при движении снизу – вверх.

При двустороннем присоединении приборов к стояку и равенстве характеристик сопротивления приборных узлов значения S_e допус-

тимо вычислять по формуле (10.39), вводя в нее коэффициент 2,0.

Характеристика сопротивления смещенного замыкающего участка S_2 длиной 0,5 м в формуле (10.40) может быть принята равной: при $D, 15-84 \cdot 10^{-4}$, при $D, 20-24 \cdot 10^{-4}$ Па/(кг/ч)².

Результаты гидравлического расчета системы отопления заносятся в бланк (см. табл. 10.12); порядок заполнения бланка изложен в Справочнике проектировщика. – 3-е изд. – М.: Стройиздат, 1975. – С. 94.

Пример 10.1. Выполним гидравлический расчет основного циркуляционного кольца вертикальной однотрубной системы отопления с верхней разводкой, тупиковым движением воды в магистралях, присоединенной через водоструйный элеватор к наружным теплопроводам, при параметрах теплоносителя $t_1 = 150^\circ\text{C}$, $t_r = 95^\circ\text{C}$, $t_o = 70^\circ\text{C}$. Тепловые нагрузки приборов и участков (Вт), длины участков указаны на схеме (рис. 10.21). Приборы – радиаторы РСВ установлены у световых проемов, присоединены к стоякам без углов со смещенными обходными участками на третьем этаже (с кранами КРТ), с осевыми замыкающими участками на втором и со смещенными замыкающими участками на первом этаже (с кранами КРП).

Основное циркуляционное кольцо выбираем через стояк I; длина кольца 56 м (принимая, что правая часть системы значительно длиннее левой). Расчетное циркуляционное давление определяем по формуле (10.6), пренебрегая как незначительной величиной $\Delta p_{e.пр}$:

$$\Delta p_p = \Delta p_n + \Delta p_{e.пр} = 5600 + 980 = 6580 \text{ Па} \quad (671 \text{ кгс/м}^2).$$

принимая $\Delta p_n = 5600$ Па и определяя по формуле (10.12а)

$$\Delta p_{e.пр} = \frac{0,64 \cdot 9,81}{4500} (1600 \cdot 3 + 1100 \cdot 6 + 1800 \cdot 9,25) \times (95 - 70) = 980 \text{ Па}.$$

Расход воды в стояке по формуле (10.14)

$$G_{ст} = \frac{4500 \cdot 3600 \cdot 1,06 \cdot 1,1}{4187(95 - 70)} = 180 \text{ кг/ч}.$$

Средняя удельная потеря давления на трение по формуле (10.33)

$$R_{ср} = \frac{0,65 \cdot 6580}{56} = 76 \text{ Па/м}.$$

Результаты гидравлического расчета (по табл. II.1 и II.2 вносим в бланк (табл. 10.12).

Проверяем правильность выбора коэффициентов затекания воды в приборы. По формуле (10.39) определяем для приборов:

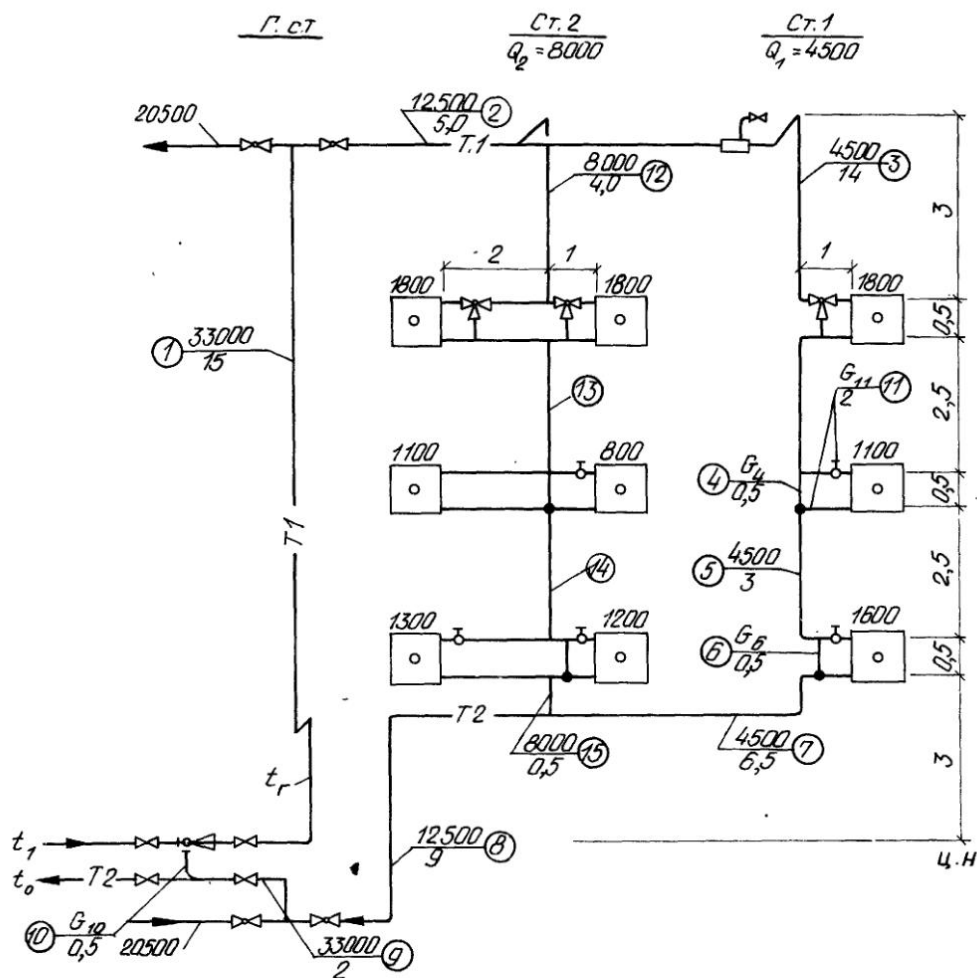


Рис. 10.21. Схема вертикальной однопроводной системы водяного отопления с верхней разводкой и тупиковым движением воды в магистралях (к примеру 10.1)

1 – водоструйный elevator; 2 – воздухоотборник; ц. н. – центр нагревания воды

на втором этаже

$$S_e = 31 \cdot 0,64 \cdot 0,5 \cdot 1100 : 180^3 = 18,7 \cdot 10^{-4};$$

на первом этаже

$$S_e = 31 \cdot 0,64 \cdot 0,5 \cdot 1600 : 180^3 = 27,2 \cdot 10^{-4}.$$

Так как полученные значения $S_e < S_{e, пред}$ по табл. 10.11, то коэффициенты затекания воды могут быть выбраны по табл. 9.3.

Запас давления в основном циркуляционном кольце

$$\frac{6580 - 5961}{6580} 100 = 9,4\%$$

удовлетворяет условию, выраженному формулой (10.34).

При расчете приняты следующие коэффициенты местных сопротивлений на участках (по табл. П.12–П.16), причем для смежных участков местное сопротивление тройника отнесено к участку с меньшей тепловой нагрузкой:

Участок 1:

завдвижка D, 40 мм	0,5
отводы D, 32 мм, 3 шт.	0,5 · 3 = 1,5
	<hr style="width: 100px; margin-left: 0;"/>
	$\Sigma \zeta_1 = 2,0$

Участок 2	кран пробочный проходной	
тройник на растекании при	$D, 25$ мм	1,5
$\bar{G}_{отв} = G_{отв} / G_{ств} = 500 / 1320 = 0,38$	тройник на противотоке при	
кран пробочный проходной $D, 25$ мм	$\bar{G}_{отв} = 500 / 1320 = 0,38$	7,8
		$\Sigma \zeta_8 = 10,3$
	Участок 9	
	отвод $D, 32$ мм	0,5
	задвижка $D, 40$ мм	0,5
		$\Sigma \zeta_9 = 1,0$
Участок 3	Участок 10	
тройник на проходе при	тройник на ответвлении II группы	
$\bar{G}_{прох} = 180 / 500 = 0,36$	при $\bar{G}_{отв} = 907,5 / 1320 = 0,7$ и делении потока	$\zeta_{10} = 1,2$
воздухооборник		
отводы $D, 15$ мм, 4 шт		
тройник на проходе при $\bar{G}_{прох} = 1,0$		
радиатор РСВ при $D, 15$ мм		
кран трехходовой $D, 15$ мм при проходе		
		$\Sigma \zeta_3 = 14,3$
		$\Sigma \zeta_4 = 1,14 \cdot 2 \approx 2,3$
Участок 4		
два тройника на проходе при		
$\bar{G}_{прох} = 1 - \alpha = 1 - 0,33 = 0,67$		
Участок 5		
отвод $D, 15$ мм		$\zeta_5 = 0,8$
Участок 6		
тройник на ответвлении при		
$\bar{G}_{отв} = 1 - 0,5 = 0,5$ и деления потока		
то же, при слиянии потоков		
		$\Sigma \zeta_6 = 7,4$
Участок 7		
отводы $D, 15$ мм, 2 шт		$0,8 \cdot 2 = 1,6$
тройник на проходе при		
$\bar{G}_{прох} = 0,36$		4,8
		$\Sigma \zeta_7 = 6,4$
Участок 8		
отводы $D, 25$ мм, 2 шт		$0,5 \cdot 2 = 1,0$

Пример 10.2. Определим располагаемое циркуляционное давление и среднюю удельную потерю давления на трение для гидравлического расчета второстепенного циркуляционного кольца системы отопления, изображенной на рис 10 21

Гидравлический расчет второстепенного кольца через стояк 2 сводится в данном случае к расчету самого стояка 2. Располагаемое циркуляционное давление для расчета стояка 2 определяем по формуле (10 37)

$$\Delta p_{р ст 2} = \Sigma (Rl + Z)_{3-7} + (\Delta p_{е ст 2} - \Delta p_{е ст 1}) = 3245 + (1027 - 980) = 3292 \text{ Па,}$$

$$\text{где } \Delta p_{е ст 2} = \frac{0,64 \cdot 9,81}{8000} (2500 \cdot 3 + 1900 \cdot 6 + 3600 \cdot 9,25) \times (95 - 70) = 1027 \text{ Па}$$

$R_{ср}$ вычисляем по формуле (10 33) при $\Sigma l = 15,5$ м

$$R_{ср} = 0,65 \cdot 3292 \cdot 15,5 = 138 \text{ Па/м.}$$

ТАБЛИЦА 10.12

ГИДРАВЛИЧЕСКИЙ РАСЧЕТ ОСНОВНОГО ЦИРКУЛЯЦИОННОГО КОЛЬЦА ОДНОТРУБНОЙ СИСТЕМЫ ВОДЯНОГО ОТОПЛЕНИЯ

участок	Данные по схеме			Принято						$Rl + Z$ Па
	Q Вт	G кг/ч	l м	$D, \text{ мм}$	v м/с	R Па/м	Rl Па	$\Sigma \zeta$	Z Па	
1	33000	1320	15 0	32	0,37	64	960	2,0	134	1094
2	12500	500	5,0	25	0,245	43	215	11,6	340	555
3	4500	180	14 0	15	0,265	101	1414	14,3	490	1904
4	–	120	0,5	15	0 175	47	23	2,3	35	58
5	4500	180	3,0	15	0,265	101	303	0,8	28	331
6	–	90	0,5	15	0,13	28	14	7,4	61	75
7	4500	180	6,5	15	0,265	101	657	6,4	220	877
8	12500	500	9,0	25	0,245	43	387	10,3	302	689
9	33000	1320	2,0	32	0,37	64	128	1,0	67	195
10	–	907 5	0 5	25	0,445	133	67	1 2	116	183

$$\Sigma l = 56,0$$

$$\Sigma Rl = 4168$$

$$\Sigma Z = 1793$$

$$5961$$

$$(608$$

$$\text{кгс/м}^2)$$

Примечание. Расход воды на участке 4 при $\alpha = 0,33$ (по табл 9 3) $G_4 = (1 - 0,33)180 = 120$ кг/ч

Расход воды на участке 6 при $\alpha = 0,5$ $G_6 = 0,5 \cdot 180 = 90$ кг/ч

Расход воды на участке 10 при коэффициенте смешения $u = 2,2$ $G_{10} = G_1 \cdot u / (1 + u) = 1320 \cdot 2,2 / 3,2 = 907,5$ кг/ч

В результате гидравлического расчета, аналогично расчету в примере 10.1, найдено при $G_{ст} = 320$ кг/ч; $d_{ст} = 20$ мм, $d_{3,y} = d_{подл} = 15$ мм.

Пример 10.3. Выполним гидравлический расчет малого циркуляционного кольца отопительного прибора на втором этаже в стояке 1 системы отопления, изображенной на рис. 10.21. Расход воды в стояке $G_{ст} = 180$ кг/ч.

Располагаемое циркуляционное давление

$$\Delta p_{р. мал} = \Sigma(Rl + Z)_{3,y} + 0,5\beta gh_{пр}(t_{вх} - t_{вых}) = 58 + 29 = 87 \text{ Па,}$$

где $\Sigma(Rl + Z)_{3,y} = \Sigma(Rl + Z)_4 = 58$ Па

по табл. 10.12 исходя из коэффициента затекания воды в прибор $\alpha = 0,33$;

$$0,5\beta gh_{пр}(t_{вх} - t_{вых}) = 0,5 \cdot 0,64 \cdot 9,81 \cdot 0,5 \cdot 18,4 = 29 \text{ Па}$$

$$\text{при } t_{вх} - t_{вых} = \frac{Q_{пр}\beta_1\beta_2}{cG_{пр}} = \frac{1100 \cdot 3600 \cdot 1,06 \cdot 1,1}{4187 \cdot 0,33 \cdot 180} = 18,4^\circ\text{C.}$$

Результаты гидравлического расчета (по табл. П.1 и П.3) вносим в табл. 10.13.

ТАБЛИЦА 10.13

ГИДРАВЛИЧЕСКИЙ РАСЧЕТ ПОДВОДОК К ПРИБОРУ НА ВТОРОМ ЭТАЖЕ

Учас-ток	Q, Вт	G, кг/ч	l, м	D _{пр} , мм	w, м/с	R, Па/м	Rl, Па	Σζ	Z, Па	Rl + Z, Па
11	60	2	15	0,09	10,3	20,6	13,55	54	74,6	

Коэффициенты местных сопротивлений (табл. П.14):

тройник на ответвлении при $\alpha = 0,33$ и деления потока	11,1
10 же, при слиянии потоков	-1,65
радиатор РСВ при D_{15} мм	0,6
кран КРП D_{15} мм	3,5

$$\Sigma\zeta = 13,55$$

Получено: $\Sigma(Rl + Z)_{подл} < \Delta p_{р. мал}$.

Следовательно, действительный коэффициент затекания будет несколько больше принятого при расчете. Невязка не превышает 15%, поэтому расчет оставляем без изменения.

10.9.2. Гидравлический расчет вертикальной двухтрубной системы

Этот расчет выполняют аналогично расчету однотрубной системы (см. п. 10.9.1). Увязочный расчет циркуляционных колец через

отопительные приборы на нижнем этаже выполняют без учета естественного циркуляционного давления [см. формулу (10.36)]; через приборы на вышерасположенных этажах – с учетом дополнительного естественного циркуляционного давления.

В частности, располагаемое циркуляционное давление для гидравлического расчета дополнительных не общих участков, соединяющих отопительные приборы на втором этаже с рассчитанными участками приборов на первом этаже, составляет (без множителя g при расчете в кгс/м²):

в насосной системе

$$\Delta p_p^H = \Sigma(Rl + Z)_n + 0,40\beta gh_2(t_r - t_o); \quad (10.41)$$

в гравитационной системе

$$\Delta p_p^H = \Sigma(Rl + Z)_n + \beta gh_2(t_r - t_o); \quad (10.42)$$

где $\Sigma(Rl + Z)_n$ – потери давления (ранее вычисленные) на участках, параллельно соединенных с новыми не общими участками (между точками А и Б на рис. 10.9); h_2 – вертикальное расстояние между условными центрами охлаждения приборов на втором и первом этажах (показаны черными точками на рис. 10.9).

Пример 10.4. Выполним гидравлический расчет насосной (элеваторной) двухтрубной системы водяного отопления с нижней разводкой и попутным движением в магистралях из труб (по ГОСТ 10704–76*) (рис. 10.22) при расчетной температуре воды $t_r = 95^\circ\text{C}$, $t_o = 70^\circ\text{C}$. Отопительные приборы – стальные панельные радиаторы РСГ-2, размещенные у световых проемов.

Насосное циркуляционное давление, передаваемое в систему элеватором, $\Delta p_n = 10$ кПа.

Основное циркуляционное кольцо через стояк VII и прибор на первом этаже. Вычислим по формулам (10.8) и (10.15) при $\beta = 0,64$ кг/(м³·°C) по табл. 10.4 и $h_1 = 2,8$ м расчетное циркуляционное давление:

$$\Delta p_p = \Delta p_n + 0,40\Delta p_e = 10000 + 0,40 \cdot 0,64 \cdot 9,81 \cdot 2,8 (95 - 70) = 10176 \text{ Па.}$$

Находим по формуле (10.33)

$$R_{ср} = \frac{0,65 \cdot 10176}{123,7} = 53,5 \text{ Па/м.}$$

Заполняем расчетный бланк (табл. 10.14), определяя расход воды на участках по формуле (10.14), как в примере 10.1 (при $\beta_1 = 1,06$ и $\beta_2 = 1,1$), и пользуясь таблицами прил. П.

Сумма коэффициентов местных сопротивлений на участках магистралей и стояка найдена как и для

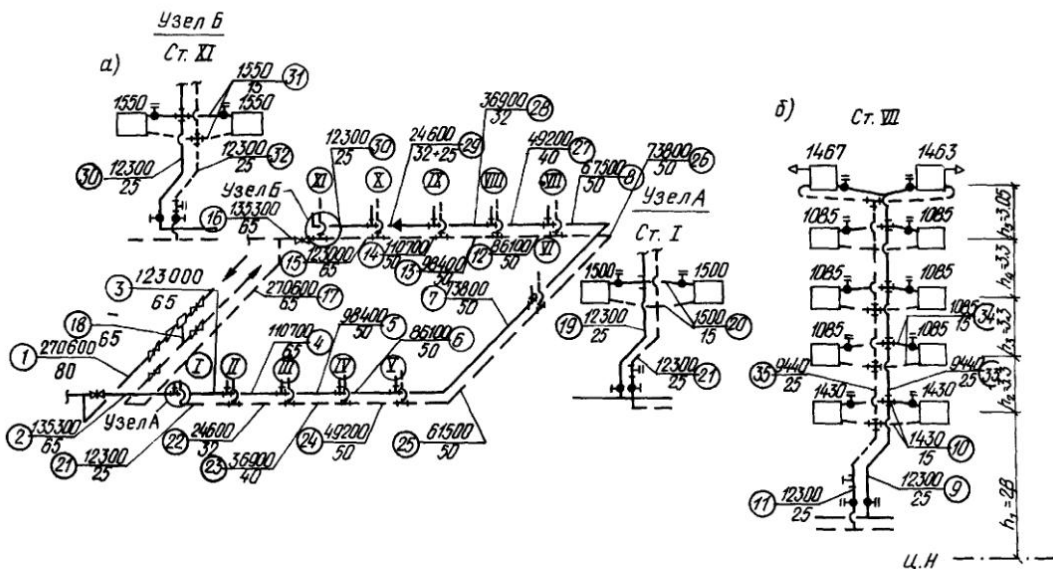


Рис. 10.22. Насосная двухтрубная система водяного отопления с нижней разводкой и попутным движением воды в магистралях
 а - схема магистралей; б - схема стояка VII; узлы А и Б - нижние части стояков I и XI (к примеру 10.4)

системы в примере 10.1; например, для подводок к радиатору (участок 10) она составляет:

крестовина на ответвлении при делении потока - по табл. II.18 при $\bar{d}_{отв} = 15:25 = 0,59$, $\bar{G}_{отв} = 57:492 = 0,11$ и $\bar{G}_{отв.1} = \bar{G}_{отв.2} = \dots$	15,3
кран двойной регулировки $D_p 15$ мм	14,0
радиатор РСГ-2 при $D_p 15$ мм	1,2
крестовина на ответвлении при слиянии потоков - по табл. II.16 при $\bar{d}_{отв} = 0,59$ и $\bar{G}_{отв.1} = \bar{G}_{отв.2} = 0,11$	-2,4
	<hr/>
	$\Sigma \bar{C}_{10} = 28,1$

В результате расчета для получения равенства (10.34) потребовалось уменьшить диаметр участка 17 (устаревшие данные в табл. 10.14 поставлены в скобках), так как был получен запас циркуляционного давления, значительно превышающий 10%.

В результате уточнения гидравлического расчета запас циркуляционного давления в системе составляет

$$\frac{\Delta p_p - \Sigma(Rl + Z)}{\Delta p_p} \cdot 100 = 10\%.$$

Циркуляционное кольцо через стояк I и прибор на первом этаже. Располагаемое циркуляционное давление для гидравлического расчета не общих участков, параллельно соединенных с участками основного циркуляционного кольца, т.е. участков 19-26:

$$\Delta p_p = \Sigma(Rl + Z)_{3-11} = 2995 \text{ Па};$$

$$R_{cp} = \frac{0,65 \cdot 2995}{60,2} = 32 \text{ Па/м}.$$

Потери давления на участках 19-26 (см. табл. 10.14):

$$\Sigma(Rl + Z)_{19-26} = 3017 \text{ Па}.$$

Невязка (-0,7%) находится в допустимых пределах.

Циркуляционное кольцо через стояк XI и прибор на первом этаже. Располагаемое циркуляционное давление для гидравлического расчета участков 27-32:

$$\Delta p_p = \Sigma(Rl + Z)_{9-15} = 2881 \text{ Па};$$

$$R_{cp} = \frac{0,65 \cdot 2881}{36,2} = 52 \text{ Па/м}.$$

Потери давления на участках 27-32 (см. табл. 10.14)

$$\Sigma(Rl + Z)_{27-32} = 2843 \text{ Па}.$$

Невязка равна 1,3% < 5%.

Для упрощения гидравлического расчета насосной двухтрубной системы отопления допустим выбор коэффициентов местного сопротивления сварных тройников в магистралях по табл. II.20.

На рис. 10.23 представлена эпюра циркуляционного давления в магистралях системы отопления, построенная на основании гидравлического расчета построения на основании гидравлического расчета трех циркуляционных колец через приборы на первом этаже ближнего I, среднего VII и дальнего XI стояков. На рисунке отмечены запас А циркуляционного давления в основном кольце (ОК) системы и невязки Б и В, полученные при расчете параллельно соединенных участков, соответственно через стояки I и XI.

ТАБЛИЦА 10.14

ГИДРАВЛИЧЕСКИЙ РАСЧЕТ ДВУХТРУБНОЙ СИСТЕМЫ ВОДЯНОГО ОТОПЛЕНИЯ

Данные по схеме				Принято							Разница $Rl + Z$, Па
Участок	Q , Вт	G , кг/ч	l , м	$D_{з}$, мм	w , м/с	R , Па/м	Rl , Па	$\Sigma \zeta$	Z , Па	$Rl + Z$, Па	
1	2	3	4	5	6	7	8	9	10	11	12
Основное циркуляционное кольцо, через стояк УП и прибор на первом этаже, $\Delta p_p = 10176$ Па, $R_{cp} = 53,5$ Па/м											
1	270600	10800	9,0	80	0,56	48	432	0,8	123	555	
2	135300	5400	8,0	65	0,39	30	240	6,8	506	746	
3	123000	4920	8,0	65	0,355	25	200	0,2	12	212	
4	110700	4430	8,0	65	0,32	21	168	0,2	10	178	
5	98400	3930	8,0	50	0,52	78	624	0,2	26	650	
6	86100	3450	6,0	50	0,46	60	360	0,2	21	381	
7	73800	2950	12,0	50	0,39	45	540	0,5	37	577	
8	61500	2460	12,0	50	0,33	31	372	0,5	27	399	
9	12325	493	1,8	25	0,24	42	76	8,4	236	312	
10	1430	57	3,0	15	0,083	12	36	28,1	95	131	
11	12325	493	1,4	25	0,24	42	59	3,4	96	155	
12	86100	3450	6,0	50	0,46	60	360	0,7	72	432	
13	98400	3930	8,0	50	0,52	78	624	0,7	93	717	
14	110700	4430	8,0	50	0,59	98	784	0,7	119	903	
15	123000	4920	8,0	65	0,355	25	200	0,5	31	231	
16	135300	5400	4,0	65	0,39	30	120	5,5	408	528	
17	270600	10800	12,0	(80)	(0,56)	(48)	(576)	(1,4)	(214)	(790)	
				65	0,78	116	1392	1,4	416	1808	+ 1018
18	-	7425	0,5	65	0,54	56	28	1,5	213	241	
			123,7							8138	+ 1018

$$\text{Запас} = \frac{10176 - 8138}{10176} \cdot 100 = 20\%$$

После уменьшения диаметра участка 17 запас составляет

$$\frac{10176 - (8138 + 1018)}{10176} \cdot 100 = 10\%$$

Циркуляционное кольцо через стояк I и прибор на первом этаже

$$\Delta p_p = \Sigma (Rl + Z)_{11} = 2995 \text{ Па}, R_{cp} = 32 \text{ Па/м}$$

19	12300	492	1,8	25	0,24	42	76	8,4	235	311	
20	1400	56	3,0	15	0,081	11	33	28,1	90	123	
21	12300	492	9,4	25	0,24	42	395	6,9	194	589	
22	24600	984	8,0	32	0,305	48	384	1,5	68	452	
23	36900	1440	8,0	40	0,31	38	304	1,2	56	360	
24	49200	1968	6,0	50	0,26	20	120	0,7	23	143	
25	61500	2460	12,0	50	0,33	31	372	1,0	53	425	
26	73800	2950	12,0	50	0,39	45	540	1,0	74	614	
			60,2							3017	

$$\text{Невязка} = \frac{2995 - 3017}{2995} \cdot 100 = -0,7\%$$

Циркуляционное кольцо через стояк XI и прибор на первом этаже

$$\Delta p_p = \Sigma (Rl + Z)_{15} = 2881 \text{ Па}, R_{cp} = 52 \text{ Па/м}$$

27	49200	1968	6,0	(50)	(0,26)	(20)	(120)	(0,2)	(7)	(127)	
				40	0,42	70	420	0,2	17	437	+ 310
28	36900	1440	8,0	32	0,45	100	800	0,3	30	830	
29	24600	984	(8,0)	(25)	(0,45)	(131)	(1048)	(0,3)	(30)	(1078)	
				4,0	0,305	48	192	0,3	14	206	
				4,0	0,45	131	524	-	-	524	- 348
30	12300	492	9,8	25	0,24	42	412	4,4	123	535	
31	1550	62	3,0	15	0,091	14	42	28,1	114	156	
32	12300	492	1,4	25	0,24	42	59	8,4	96	155	
			36,2							2881	- 38

Продолжение табл. 10.14

Данные по схеме				Принято							Разница $Rl + Z$, Па
Участок	Q , Вт	G , кг/ч	l , м	D_y , мм	w , м/с	R , Па/м	Rl , Па	$\Sigma \zeta$	Z , Па	$Rl + Z$, Па	
1	2	3	4	5	6	7	8	9	10	11	12

$$\text{Невязка: } \frac{2881 - 2881}{2881} 100 = 0\%$$

После изменения диаметра участков 27 и 29—

$$\frac{2881 - (2881 - 38)}{2881} 100 = 1,3\%$$

Циркуляционное кольцо через стояк VII и прибор на втором этаже

$$\Delta p_p^{\text{II}} = \Sigma(Rl + Z)_{10} + 0,40 \beta g h_2 (t_r - t_o) = 131 + 0,40 \cdot 0,64 \cdot 9,81 \cdot 3,3 \cdot 25 = 131 + 207 = 338 \text{ Па; } R_{cp} = 23 \text{ Па/м}$$

33	9440	378	3,3	25	0,185	25	83	1,5	25	108
34	1085	43	3,0	15	0,063	4,9	15	28,1	55	70
35	9440	378	3,3	25	0,185	25	83	2,4	40	123
										301
			9,6							

$$\text{Невязка: } \frac{338 - 301}{338} 100 = 10,9\%$$

Из эпюры видно, что разность давления во всех промежуточных стояках обеспечивает необходимое направление движения воды. Однако для стояков VIII и IX разность давления в подающей и обратной магистралях слишком велика. Для уменьшения ее изменяем диаметр участков 27 и 29 (см. табл. 10.14, где устаревшие числа заключены в скобки), составляя участок 29 из труб D_y 32 мм ($l_1 = 4,0$ м) и D_y 25 мм ($l_2 = 4,0$ м). Окончательная линия давления показана на рис. 10.23 пунктиром.

Построение подобных эпор циркуляционного давления рекомендуется при гидравлическом расчете ограниченного числа циркуляционных колец в двухтрубных системах отопления во избежание обратной циркуляции воды в отдельных стояках.

Циркуляционное кольцо через стояк VII и прибор на втором этаже. Располагаемое циркуляционное да-

вление для гидравлического расчета не общих участков, параллельно соединенных с участком 10 основного циркуляционного кольца, находим по формуле (10.41) при $\Sigma(Rl + Z)_{10} = 131$ Па, $\beta = 0,64$ (табл. 10.4) и $h_2 = 3,3$ м (см. рис. 10.22)

$$\Delta p_p^{\text{II}} = 131 + 0,40 \cdot 0,64 \cdot 9,81 \cdot 3,3 (95 - 70) = 131 + 207 = 338 \text{ Па,}$$

$$R_{cp} = \frac{0,65 \cdot 338}{9,6} = 23 \text{ Па/м.}$$

Потери давления на участках 33–35 (см. табл. 10.14) равны 301 Па; невязка 10,9%.

Гидравлический расчет циркуляционных колец через отопительные приборы расположенных выше этажей выполняется аналогично.

10.10. Гидравлический расчет системы по характеристикам сопротивления

Способ расчета, основанный на заданной проводимости труб, применяют при проектировании насосных вертикальных и горизонтальных одnogрубных систем, вертикальных двухтрубных систем с кранами повышенного сопротивления. В результате расчета определяют потокораспределение в системе между ветвями, стояками и приборами — действительное при скорости движения воды выше 0,8 м/с, с отклонением от действительного до 5% при скорости не ниже 0,3 м/с.

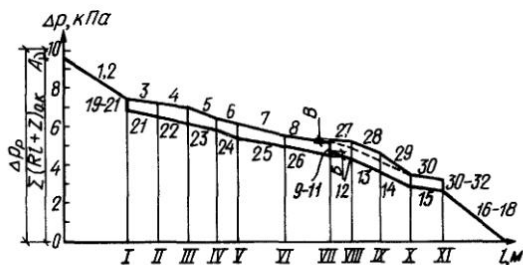


Рис. 10.23. Эпюра циркуляционного давления в двухтрубной системе отопления с попутным движением воды а магистралях (см. рис. 10.22)

I—XI — номера стояков, 1—32 — номера расчетных участков

10.10.1. Гидравлический расчет вертикальной однострунной системы, разделенной на пофасадные части с тупиковым движением воды в магистралях*

Диаметр труб выбирают исходя из расчетного циркуляционного давления Δp_p (см. п. 10.7). Для этого в циркуляционном кольце системы через последний (тупиковый) стояк определяют R_{cp} по формуле (10.33). Для каждого участка вычисляют удельную характеристику сопротивления по формуле

$$S_{уд} = R_{cp}/G_{cp}^2, \quad (10.43)$$

где G_{cp} — ориентировочный расход воды на участке, кг/ч, определяемый по формуле (10.28).

Диаметры труб назначают, сопоставляя полученные значения $S_{уд}$ с величинами $S_{уд}$ для стандартных диаметров труб по табл. 10.7. Для повышения тепловой устойчивости системы при выборе диаметра труб принимают: для стояков — ближайший меньший диаметр, для магистралей — ближайший больший диаметр труб.

Допустимость скорости движения воды при выборе диаметра труб проверяют по табл. 10.5, вычисляя скорость по данным табл. 10.7, где приведен расход воды при скорости 1,0 м/с (если, например, расход воды в трубе D_{y15} составляет 500 кг/ч, то скорость движения воды $w = 500 : 690 = 0,72$).

Расчет начинают с последнего (тупикового) стояка, задаваясь расходом воды в нем, соответствующим несколько большему перепаду температуры воды (в пределах 7°C) по сравнению с Δt_c , принятым для системы в целом.

Пример 10.5. Определим характеристику сопротивления стояка l (см. рис. 10.21) по условиям примера 10.1.

Расход воды в стояке l по формуле (10.14), задаваясь $\Delta t_{ст} = \Delta t_c + 3^\circ\text{C}$,

$$G_{ст.1} = \frac{4500 \cdot 3600 \cdot 1,06 \cdot 1,1}{4187(25 + 3)} \approx 160 \text{ кг/ч.}$$

Удельная характеристика сопротивления при $R_{cp} = 76$ Па/м по формуле (10.43)

$$S_{уд} = 76 : 160^2 = 29,7 \cdot 10^{-4} \text{ Па/м (кг/ч)}^2.$$

Принимаем по табл. 10.7 диаметр стояка D_{y15} .

Стояк l состоит из последовательно соединенных участков 3, 5, 7 и разветвленных приборных узлов между ними (на первом и втором этажах).

Характеристика сопротивления участка 3 (см. рис. 10.21) при $l = 14$ м и $\Sigma \zeta = 14,3$ (включая проточный приборный узел с краем КРТ на третьем этаже) по формуле (10.17):

$$S_3 = 10,6(2,7 \cdot 14 + 14,3) 10^{-4} = 552,3 \cdot 10^{-4} \text{ Па/(кг/ч)}^2.$$

Для определения характеристики сопротивления разветвленного приборного узла на втором этаже найдем проводимости [по формуле (10.20)] подводок к прибору (индекс «п») и замыкающего участка (индекс «з.у»):

$$S''_n = 10,6(2,7 \cdot 2 + 13,55) 10^{-4} = 200,9 \cdot 10^{-4};$$

$$\sigma''_n = 100 : (200,9)^{0,5} = 7,1;$$

$$S''_{з.у} = 10,6(2,7 \cdot 0,5 + 2,3) 10^{-4} = 38,7 \cdot 10^{-4};$$

$$\sigma''_{з.у} = 100 : (38,7)^{0,5} = 16,1.$$

Характеристика сопротивления узла по формуле (10.22)

$$S''_{уз} = 1 : (7,1 + 16,1)^2 = 18,6 \cdot 10^{-4}.$$

Попутно вычислим коэффициент затекания воды в прибор на втором этаже по формуле (10.23)

$$\alpha''_n = 7,1 : (7,1 + 16,1) = 0,31$$

(в примере 10.1 $\alpha = 0,33$).

Аналогично определим для участка 5 и приборного узла на первом этаже:

$$S_5 = 10,6(2,7 \cdot 3 + 0,8) 10^{-4} = 94,3 \cdot 10^{-4};$$

$$S''_n = 10,6(2,7 \cdot 1,0 + 8,5) 10^{-4} = 118,7 \cdot 10^{-4};$$

$$\sigma''_n = 9,2;$$

$$S''_{з.у} = 10,6(2,7 \cdot 0,5 + 7,4) 10^{-4} = 92,8 \cdot 10^{-4};$$

$$\sigma''_{з.у} = 10,4;$$

$$S''_{уз} = 1 : (9,2 + 10,4)^2 = 26 \cdot 10^{-4}.$$

Коэффициент затекания воды в прибор на первом этаже

$$\alpha'_n = 9,2 : (9,2 + 10,4) = 0,47$$

(в примере 10.1 $\alpha = 0,5$).

Наконец, $S_7 = 10,6(2,7 \cdot 6,5 + 6,4) 10^{-4} = 253,9 \cdot 10^{-4}$.

Таким образом, характеристика сопротивления стояка l (с примыкающей парой участков магистралей) по формуле (10.21)

$$S_{ст.1} = (552,3 + 18,6 + 94,3 + 26 + 253,9) 10^{-4} = 945,1 \cdot 10^{-4} \text{ Па/(кг/ч)}^2,$$

а проводимость стояка l по формуле (10.20)

$$\sigma_{ст.1} = 100 : 945,1^{0,5} = 3,2 \text{ кг/(ч} \cdot \text{Па}^{0,5}\text{)}.$$

После расчета последнего (тупикового) стояка l

* Гидравлический расчет системы по относительным характеристикам сопротивления приведен в Справочнике проектировщика. 3-е изд.—М.: Стройиздат, 1975.

переходят к расчету предпоследнего стояка 2. Выбрав диаметр труб и вычислив характеристику сопротивления $S_{ст.2}$ и проводимость $\sigma_{ст.2}$ (см. пример 10.5), находят коэффициент затекания воды $\alpha_{ст.2}$ в стояк 2 как отношение проводимостей $\sigma_{ст.2}$ и $\sigma_{ст.1}$ [см. формулу (10.25)]. Умножая расход воды в последнем стояке $G_{ст.1}$ на полученный коэффициент затекания воды $\alpha_{ст.2}$, определим расход воды $G_{ст.2}$, а затем и перепад температуры воды $\Delta t_{ст.2}$ в предпоследнем стояке.

Если $\Delta t_{ст.2}$ отличается от принятого для системы Δt_c не более чем на $\pm 7^\circ\text{C}$ (при большем отличии изменяют проводимость стояка 2), то рассчитывают следующий стояк 3. Определив проводимость $\sigma_{ст.3}$ этого стояка и вычислив значение $S_{к.3} = S_{ст.1} + S_2(1 + \alpha_{ст.2})^2$ — см. числитель формулы (10.24), находят коэффициент затекания воды в стояк 3 $\alpha_{ст.3} = \sigma_{ст.3}/\sigma_{к.3}$ (где $\sigma_{к.3} = 1/S_{к.3}^{0,5}$) и т.д. Повторяя описанный цикл расчета, определяют коэффициенты затекания и расходы воды во всех стояках системы.

Потери давления в системе вычисляют по формуле (10.16) исходя из характеристики сопротивления системы по формуле (10.24) и общего расхода воды в стояках.

Пример 10.6. Определим характеристику сопротивления и расход воды в стояке 2 (см. рис. 10.21) по данным примера 10.5.

Принимаем диаметр труб стояка D_y 20 мм, приборных узлов D_y 15 мм (см. пример (10.2).

Характеристика сопротивления разветвленного приборного узла, состоящего из трех параллельно соединенных участков (узел II на втором этаже):

$$S_{п.1} = 10,6(2,7 \cdot 4 + 14,1) 10^{-4} = 263,9 \cdot 10^{-4};$$

$$\sigma_{п.1} = 100 : 263,9^{0,5} = 6,15;$$

$$S_{п.2} = 10,6(2,7 \cdot 2 + 17,2) 10^{-4} = 239,6 \cdot 10^{-4};$$

$$\sigma_{п.2} = 6,45;$$

$$S_{3,y} = 10,6(2,7 \cdot 0,5 + 1,5) 10^{-4} + 3,19 \cdot 4,5 \cdot 10^{-4} = 44,6 \cdot 10^{-4}; \quad \sigma_{3,y} = 15,0.$$

При суммарной проводимости узла II $\sigma_{y2} = 27,6$ характеристика сопротивления $S_{y2} = 1 : 27,6^2 = 13,1 \cdot 10^{-4}$ (коэффициенты затекания воды $\alpha_{п.1} = 6,15 : 27,6 = 0,22$; $\alpha_{п.2} = 6,45 : 27,6 = 0,23$).

Результаты остальных расчетов сведены в табл. 10.15.

По проводимостям стояка 2 $\sigma_{ст.2} = 100 : 182,6^{0,5} = 7,4$ и стояка I $\sigma_{ст.1} = 3,2$ (см. пример 10.5) найдем коэффициент затекания воды в стояк 2 по формуле (10.25): $\alpha_{ст.2} = 7,4 : 3,2 = 2,31$ и расход воды в стояке 2: $G_{ст.2} = 160 \cdot 2,31 = 370$ кг/ч.

Перепад температуры воды в стояке 2 из формулы (10.14)

$$\Delta t_{ст} = \frac{8000 \cdot 3600 \cdot 1,06 \cdot 1,1}{4187 \cdot 370} = 21,7^\circ\text{C}$$

(< 25°C на $3,3^\circ\text{C}$).

Пример 10.7. Определим диаметр и характеристику сопротивления парных участков магистралей (см. участки 2 и 8 на рис. 10.21), характеристику сопротивления правой части системы и потери давления в ней исходя из данных примеров 10.1, 10.5 и 10.6.

Расход воды на участках магистралей $G_{\text{маг}} = 160 + 370 = 530$ кг/ч.

Удельная характеристика сопротивления при $R_{\text{ср}} = 76$ Па/м по формуле (10.43)

$$S_{yд} = 76 : 530^2 = 2,7 \cdot 10^{-4} \text{ Па/м (кг/ч)}^2.$$

Принимаем по табл. 10.7 ближайший больший диаметр D_y 25 мм. Дальнейшие расчеты сводим в табл. 10.16.

Характеристика сопротивления правой части системы отопления по формуле (10.24)

$$S_{\text{прав}} = \frac{945,1 + 51,1(1 + 2,31)^2 10^{-4}}{(1 + 2,31)^2} = 137,4 \cdot 10^{-4} \text{ Па/(кг/ч)}^2,$$

ТАБЛИЦА 10.15
РАСЧЕТ ХАРАКТЕРИСТИКИ СОПРОТИВЛЕНИЯ СТОЯКА I ($Q = 8000$ Вт) СИСТЕМЫ ОТОПЛЕНИЯ (К ПРИМЕРУ 10.6)

Участок	l , м	D_y , мм	λ/d_n , м ⁻¹	λ/l d_n	$\Sigma \zeta$	$A \cdot 10^4$	$S \cdot 10^4$
						Па (кг/ч) ²	Па (кг/ч) ²
12	4	20	1,8	7,2	2,3	3,19	30,3
Узел III *		15	2,7	—	—	10,6	69,5
13	2,5	20	1,8	4,5	—	3,19	14,4
Узел II *		15	2,7	—	—	10,6	13,1
14	2,5	20	1,8	4,5	—	3,19	14,4
Узел I *		15	2,7	—	—	10,6	32,3
15	0,5	20	1,8	0,9	1,8	3,19	8,6

$S_{ст} = 182,6$

* По отдельному расчету.

где 1 и 2,31—коэффициенты затекания воды соответственно в стояки 1 и 2.

Проводимость правой части системы по формуле (10.26)

$$\sigma_{\text{прав}} = \frac{100(1 + 2,31)}{[945,1 + 51,1(1 + 2,31)^2]^{0,5}} = 8,53 \text{ кг/(ч} \cdot \text{Па}^{0,5}).$$

ТАБЛИЦА 10.16

РАСЧЕТ ХАРАКТЕРИСТИКИ СОПРОТИВЛЕНИЯ ПАРНЫХ УЧАСТКОВ МАГИСТРАЛЕЙ СИСТЕМЫ ОТОПЛЕНИЯ (К ПРИМЕРУ 10.7)

Участок	$Q_{\text{нп}},$ Вт	$D,$ мм	$l,$ м	$\lambda/d_{\text{нп}},$ м ⁻¹	$\Sigma \zeta$	$A \cdot 10^4,$ Па (кг/ч) ²	$S \cdot 10^4$ Па (кг/ч) ²
2	12500	25	5,0	1,4	11,6	1,23	22,9
8	12500	25	9,0	1,4	10,3	1,23	28,2
							51,1

Потери давления в правой части системы (см. рис. 10.21) по формуле (10.16)

$$\Delta p_{\text{прав}} = 137,4 \cdot 10^{-4} \cdot 530^2 = 3860 \text{ Па}$$

или приблизительно с одним и тем же результатом по формуле (10.19)

$$\Delta p_{\text{прав}} = (530 : 8,53)^2 = 3861 \text{ Па.}$$

Левую часть системы отопления рассчитывают аналогично, определяя ее характеристику сопротивления $S_{\text{лев}}$ и предварительный расход воды $G'_{\text{лев}}$. Затем, считая расчет правой части основным, находят коэффициент пересчета расходов воды на участках и в стояках левой части системы

$$k_{\text{лев}} = \frac{G_{\text{прав}}}{G'_{\text{лев}}} \left(\frac{S_{\text{прав}}}{S_{\text{лев}}} \right)^{0,5}, \quad (10.44)$$

где $G_{\text{прав}}$ и $G'_{\text{лев}}$ —расходы воды в правой и левой частях системы; $S_{\text{прав}}$ и $S_{\text{лев}}$ —характеристики сопротивления правой и левой частей системы.

После уточнения расхода воды в левой части ($G_{\text{лев}}$) по общему расходу воды в системе $G'_c = G_{\text{прав}} + G_{\text{лев}}$ определяют потери давления на парных головных участках магистралей системы по формуле (10.16)

$$\Delta p_{\text{гол}} = S_{\text{гол}} (G'_c)^2,$$

а также находят общие потери давления в системе

$$\Delta p'_c = \Delta p_{\text{прав}} + \Delta p_{\text{гол}}.$$

Необходимость дальнейших расчетов выявляетсЯ при сопоставлении полученных величин с исходными G_c и Δp_p . Если они достаточно близки (расхождение не превышает 5–10%), то определяют требуемое давление в начале подающей магистрали по

формуле (10.1) и на этом гидравлический расчет системы заканчивают.

Если расхождение между Δp_p и $\Delta p'_c$ велико и оно не может быть устранено путем пересчета потерь давления $\Delta p_{\text{гол}}$ на головных участках магистралей системы, то потери давления в системе приводят в соответствие с Δp_p (с запасом 10%). Для этого определяют новый расчетный расход воды в системе по формуле

$$G_p = G'_c (0,90 \Delta p_p / \Delta p'_c)^{0,5} \quad (10.45)$$

и пересчитывают расходы на всех участках, вводя поправочный коэффициент

$$k_p = G_p / G'_c. \quad (10.46)$$

Соответственно значению коэффициента k_p изменяются и перепады температуры воды в стояках.

Пример 10.8. Определим изменение полученных в примерах 10.5–10.7 расхода и перепада температуры воды в стояках 1 и 2 (см. рис. 10.21), если циркуляционное давление для участков 2–8 увеличится от 3860 (см. пример 10.7) до 4489 Па (см. пример 10.1).

Общий для двух стояков расход воды возрастет до $G_p = 530(4489 : 3860)^{0,5} = 572 \text{ кг/ч}$, а температура обратной воды составит

$$t_o = 95 - \frac{12500 \cdot 3600 \cdot 1,06 \cdot 1,1}{4187 \cdot 572} = 73,1^\circ\text{C}$$

(была $71,4^\circ\text{C}$).

При коэффициенте пересчета расхода воды по формуле (10.46) $k_p = 572 : 530 = 1,079$ получим расход и перепад температуры воды в стояках:

стояк 1: $G_{\text{ст.1}} = 173 \text{ кг/ч}$, $\Delta t_{\text{ст.1}} = 26,1^\circ\text{C}$ (был $28,2^\circ\text{C}$);

стояк 2: $G_{\text{ст.2}} = 399 \text{ кг/ч}$, $\Delta t_{\text{ст.2}} = 20,1^\circ\text{C}$ (был $21,7^\circ\text{C}$).

По измененным расходу и температуре воды уточняют предварительно выбранные размеры отопительных приборов.

10.10.2. Гидравлический расчет горизонтальной однотрубной системы многоэтажного здания

До гидравлического расчета делают предварительный тепловой расчет отопительных приборов для выявления их размеров, так как расчетная длина участков труб в горизонтальных ветвях связана с длиной приборов. Длину приборов определяют исходя из величины номинального теплового потока (см. прил. X).

Отопительные приборы с греющими трубами $D_y = 15 \div 20 \text{ мм}$ включают в горизонтальную ветвь как последовательно соединенные расчетные участки определенной длины (см.

правые приборы на втором этаже на рис. 10.8).

Длину отопительных приборов с каналами, а также с греющими трубами $D_y = 32 \div 100$ мм учитывают при определении длины соединяющих их труб (см. левые приборы на рис. 10.8). Длину замыкающих или обходных участков под приборами устанавливают в зависимости от длины приборов или принимают постоянной при использовании унифицированной редуцирующей вставки.

Основное циркуляционное кольцо системы выбирают с помощью выражения (10.32), вычисляя наибольшее и наименьшее расчетное циркуляционное давление Δp_p по формуле (10.8).

При определении наибольшего Δp_p естественное циркуляционное давление $\Delta p_{e.пр}$ находят по формуле (10.15) с заменой высоты h_1 вертикальным расстоянием между условными центрами охлаждения в ветви на верхнем этаже здания и центром нагревания. Наименьшее Δp_p действует в самом коротком циркуляционном кольце через горизонтальную ветвь на нижнем этаже, когда естественное циркуляционное давление вычисляется по формуле (10.15).

Для повышения тепловой устойчивости системы при ее гидравлическом расчете исходят из условия

$$\Delta p_{нет} \geq \Delta p_{e.макс} \quad (10.47)$$

которое означает, что потери давления в любой горизонтальной ветви системы не должны быть меньше максимального значения естественного циркуляционного давления, возникающего при охлаждении воды в приборах ветви на верхнем этаже здания. При этом скорость движения воды в трубах ветви должна превышать 0,25 м/с для обеспечения уноса воздуха.

Если основное циркуляционное кольцо выбрано и рассчитано через ветвь на **нижнем этаже**, то располагаемое циркуляционное давление для гидравлического расчета новых не общих участков, соединяющих приборы на втором этаже с лежащей ниже ветвью, определяют по формуле (10.41). Величина $\Sigma(RI + Z)_n$ в формуле (10.41) есть потеря давления в горизонтальной ветви на нижнем этаже.

Если основное циркуляционное кольцо выбрано и рассчитано через ветвь на **верхнем** N -м этаже, то располагаемое циркуляционное давление для гидравлического расчета лежащей ниже горизонтальной ветви на $(N - 1)$ -м этаже

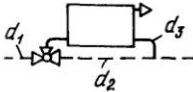
будет равно (без множителя g при расчете в кгс/м²)

$$\Delta p_p^{N-1} = \Sigma(RI + Z)_n - 0,40\beta gh_N(t_r - t_o), \quad (10.48)$$

где $\Sigma(RI + Z)_n$ – потери давления (ранее вычисленные) на участках, параллельно соединенных с новой ветвью, Па; h_N – вертикальное расстояние между условными центрами охлаждения воды в ветвях на N -м и $(N - 1)$ -м этажах, м.

При гидравлическом расчете горизонтальных однотрубных систем потери давления в радиаторных узлах находят по приведенному коэффициенту местного сопротивления узла (табл. 10.17).

ТАБЛИЦА 10.17
ПРИВЕДЕННЫЙ КОЭФФИЦИЕНТ МЕСТНОГО СОПРОТИВЛЕНИЯ РАДИАТОРНОГО УЗЛА ζ'_p В ГОРИЗОНТАЛЬНОЙ ОДНОТРУБНОЙ СИСТЕМЕ ОТОПЛЕНИЯ

Радиаторный узел	Условный диаметр труб, мм			Среднее значение ζ'_p
	d_1	d_2	d_3	
	15	15	15	12,8
	20	20	20	9,6
	25	25	25	28,0
Узел с обходным участком и краном КРТ	15	15	15	10,2
	20	20	20	9,5
	25	20	25/20	20,2
	25	25	25	10,5
Узел с унифицированным обходным участком и краном КРТ	15	15	15	2,6
	15	15	20	1,0
	20	15	20	6,1
	20	20	20	1,9
	25	20	20	7,0
	25	25	20	1,5
Узел с замыкающим участком и краном КРП	15	15	15	2,6
	15	15	20	1,0
	20	15	20	6,1
	20	20	20	1,9
	25	20	20	7,0
	25	25	20	1,5

Примечание. В эскизах сплошными линиями показаны трубы, потери давления в которых включены в значения ζ'_p .

Потери давления в приборных узлах, элементы которых расположены в несколько рядов или ярусов, определяют по характеристике сопротивления узла, значение которой вычисляют по формуле (10.22). При этом коэффициент местного сопротивления отдельного при-

бора принимают по табл. 10.8, 10.9 или прил. II.

Пример 10.9. Выполним гидравлический расчет двух горизонтальных однотрубных ветвей системы с нижним расположением обеих магистралей для отопления помещений на верхних этажах многоэтажного здания при расчетной температуре $t_r = 95^\circ\text{C}$, $t_o = 70^\circ\text{C}$ (рис. 10.24). Отопительные приборы на верхнем этаже – чугунные секционные радиаторы типа М-140 АО, на нижерасположенном – стальные плинтусные конвекторы типа КП*.

Гидравлический расчет горизонтальной ветви на верхнем этаже. Расход воды в ветви при тепловой нагрузке (с учетом коэффициентов β_1 и β_2) 7000 Вт по формуле (10.14)

$$G_n = \frac{7000 \cdot 3600}{4187(95 - 70)} = 240 \text{ кг/ч.}$$

Принимаем диаметр ветви и радиаторных точно-регулируемых узлов D_{r20} мм.

Находим по тепловой нагрузке предварительное число секций каждого радиатора (см. рис. 10.24) и вычисляем общую длину двух участков стояков и межрадиаторных участков в ветви, равную $25,7 - (3,4 + 0,45 \cdot 5) = 20$ м (принимая длину горизонтальных частей подводов к радиатору 0,45 м).

Определим сумму коэффициентов местных сопротивлений в ветви от точки А до точки В по табл. II.12 и II.16:

два тройника на проходе при $G_{\text{прот}} = 0,6$	$1,4 \times 2 = 2,8$
два проходных крана D_{r20} мм	$1,5 \times 2 = 3,0$
два отвода D_{r20} мм	$0,6 \times 2 = 1,2$
пять радиаторных узлов D_{r20} мм по табл. 10.17	$9,6 \times 5 = 48,0$
тройник спускной на проходе при $G_{\text{прот}} = 1,0$	0,7
	$\Sigma \xi_n = 55,7$

Вычисляем характеристику сопротивления ветви по формуле (10.17) при $k = 1,0$ и данным табл. 10.7:

$$S_n = 3,19(1,8 \cdot 20 + 55,7) 10^{-4} = 292,5 \cdot 10^{-4} \text{ Па/(кг/ч)}^2.$$

Находим потерю давления в ветви по формуле (10.16)

$$\Delta p_n = 292,5 \cdot 10^{-4} \cdot 240^2 = 1685 \text{ Па,}$$

считая, что при этом условии (10.47) выполняется.

Гидравлический расчет горизонтальной ветви на нижележащем этаже. Определим располагаемое циркуляционное давление по формуле (10.48)

$$\Delta p_p^n = 1685 - 0,40 \cdot 0,64 \cdot 9,81 \cdot 3,0(95 - 70) = 1497 \text{ Па.}$$

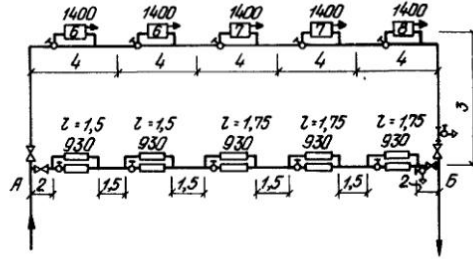


Рис. 10.24. Схема двух горизонтальных однотрубных ветвей системы водяного отопления с нижним расположением обеих магистралей, предназначенных для обогрева помещений на двух верхних этажах многоэтажного здания (к примеру 10.9)

Расход воды в ветви при тепловой нагрузке 4650 Вт, считая $t_r - t_o = 25^\circ\text{C}$

$$G_n = \frac{4650 \cdot 3600}{4187 \cdot 25} = 160 \text{ кг/ч.}$$

По предварительному тепловому расчету принимаем установку плинтусных конвекторов типа 15 КП в два яруса и длину конвекторных блоков: первых двух – 1,5 м, последующих – 1,75 м (см. рис. 10.24).

Предполагаем, что через нижнюю трубу конвектора с регулирующим вентилям протекает 40% (коэффициент затекания $\alpha_1 = 0,4$), а через верхнюю – 60% общего расхода воды в ветви.

Получаем по отдельному расчету характеристики сопротивления отдельных труб D_{r15} мм, а также их проводимости по формуле (10.20): для конвекторных блоков длиной 1,5 м:

$$S_1 = 293 \cdot 10^{-4} \text{ при } l_1 = 1,85 \text{ м, } \sigma_1 = 5,84;$$

$$S_2 = 149 \cdot 10^{-4} \text{ при } l_2 = 2,1 \text{ м, } \sigma_2 = 8,19;$$

для конвекторных блоков длиной 1,75 м:

$$S_1 = 302 \cdot 10^{-4} \text{ при } l_1 = 2,1 \text{ м, } \sigma_1 = 5,75;$$

$$S_2 = 154 \cdot 10^{-4} \text{ при } l_2 = 2,35 \text{ м, } \sigma_2 = 8,06.$$

Определяем характеристики сопротивления конвекторных блоков по формуле (10.22)

$$S_{1,5} = \frac{1}{(5,84 + 8,19)^2} = 50,8 \cdot 10^{-4};$$

$$S_{1,75} = \frac{1}{(5,75 + 8,06)^2} = 52,4 \cdot 10^{-4}.$$

Проверяем правильность ранее выбранного коэффициента затекания для одного из блоков по формуле (10.23)

$$\alpha_1 = 1 : \left(1 + \frac{8,19}{5,84} \right) = 0,416 (\approx 0,4).$$

Общая длина прямых участков ветви без длины конвекторных блоков – 10 м (см. рис. 10.24).

Находим сумму коэффициентов местных сопро-

* В настоящее время не выпускаются.

тивлений в ветви от точки *A* до точки *B* по табл. П.12–П.15:

два тройника 20 × 15 мм на ответвлении (II группа) при $\bar{G}_{отв} = 160/400 = 0,4$ при делении и слиянии потоков	3 + 1 = 4,0
два проходных крана D_y 15 мм	3,5 × 2 = 7,0
тройник спускной на проходе при $\bar{G}_{прох} = 1,0$	0,7
	Σζ _{вн} = 11,7

Вычислим характеристику сопротивления ветви по формулам (10.17) и (10.21) и данным табл. 10.7:

$$S_n = [10,6(2,7 \cdot 10 + 11,7) + 50,8 \cdot 2 + 52,4 \cdot 3] 10^{-4} = 669 \cdot 10^{-4}.$$

Определим потерю давления в ветви по формуле (10.16)

$$\Delta p_n = 669 \cdot 10^{-4} \cdot 160^2 = 1713 \text{ Па.}$$

Невязка:

$$\frac{1497 - 1713}{1497} 100 = -14,4 < 15\%.$$

При фактическом расходе воды в ветви

$$G_n^ф = \left(\frac{\Delta p_n^у}{S_n} \right)^{0,5} = \sqrt{\frac{1497 \cdot 10^4}{669}} = 150 \text{ кг/ч}$$

температура обратной воды понизится до

$$t_o^ф = 95 - \frac{4650 \cdot 3600}{4187 \cdot 150} = 95 - 26,7 = 68,3^\circ\text{C}$$

($\Delta t_{вет} = 26,7^\circ\text{C}$).

На основании гидравлического расчета уточняют предварительно выбранные размеры отопительных приборов с учетом теплоотдачи труб.

10.10.3. Принципы гидравлического расчета вертикальной двухтрубной системы отопления с нижним расположением магистралей и кранами КРП с дросселирующим устройством (кранами повышенного сопротивления) на подводках к приборам

Расчет проводят аналогично рассмотренному выше гидравлическому расчету горизонтальной однотрубной системы (от верхних приборов к низу стояков). При этом исходят из условия (10.47) применительно к потерям давления в кранах. Определяют минимальный и максимальный диаметры отверстия диафрагм в кранах КРП приборов по формуле (10.38) при минимальном и максимальном расходе воды в приборах, считая $\Delta p_d = \Delta p_{е. макс.}$.

Принимая единый (средний) диаметр отверстия диафрагм в кранах, проверяют допустимость скорости движения воды (по табл. 10.5) в подводках к прибору при максимальном расходе воды $G_{пр.}$.

При гидравлическом расчете стояков характеристику сопротивления диафрагмы S_d , Па/(кг/ч)² [(кгс/м²)/(кг/ч)²], в кранах КРП определяют по формуле

$$S_d = 157/d_d^4 [S_n = 16/d_d^4], \quad (10.49)$$

где d_d – диаметр диафрагмы, мм.

Диаметр труб стояков выбирают, как правило, единым снизу доверху исходя из предельно допустимой скорости движения воды при наибольшей тепловой нагрузке в основании стояков. Перепады температуры воды в приборах, получаемые в результате гидравлического расчета стояков, могут отличаться от расчетного перепада, принятого для системы в целом. Желательно ограничить отклонение $\pm 7^\circ\text{C}$ (например, при $\Delta t_c = 25^\circ\text{C}$ перепады температуры от 18 до 32^оС).

После вычисления потерь давления в стояках определяют диаметр труб магистралей в зависимости от полученной разности насосного давления в основании стояков.

10.11. Гидравлический расчет однотрубной системы со стояками унифицированной конструкции и тупиковым движением воды в магистральных по характеристикам гидравлического сопротивления

Стояки принимают из труб $D_y 20$ (или $D_y 15$) с односторонним присоединением приборов. Приборные узлы предусматривают проточно-регулируемого типа с кранами КРТ (см. стояк V на рис. 10.7, а, стояк IV на рис. 10.7, б, стояки II и V на рис. 10.7, в).

Тепловые нагрузки стояков по возможности выравнивают (нагрузки должны отличаться не более чем на 40%). Для увеличения проводимости отдельных стояков с большой тепловой нагрузкой используют приборные узлы с замыкающими участками (с кранами КРП), стояки с транзитной («холостой») подъемной частью и одной (П-образные стояки – см. стояк V на рис. 10.7, б) или двумя (Т-образные стояки) опускными частями; в зданиях повышенной этажности устраивают парные стояки

(с приборными узлами через этаж), стояки с параллельной транзитной трубой до среднего этажа (Ч-образные стояки).

Применение труб большего диаметра, а также стояков с двусторонним присоединением приборов (см. стояк IV на рис. 10.7, а) допускают в исключительных случаях.

10.11.1. Выбор проводимости стояков системы

Требуемую проводимость стояков $\sigma_{тр}$, кг/(ч·Па^{0.5}) [кг/ч·(кгс/м²)^{0.5}], определяют исходя из потерь давления в них, равных $0,7\Delta p_p$ (с запасом 10%), с учетом расположения стояков в системе по формуле

$$\sigma_{тр} = \frac{1,26Q_{ст}}{c\Delta t_c \Delta p_p^{0.5}} \left(1 + 0,43 \frac{i}{n}\right)^{0.5}, \quad (10.50)$$

где $Q_{ст}$ – тепловая нагрузка стояка, Вт (ккал/ч); Δt_c – перепад температуры воды в системе, °С; Δp_p – расчетное циркуляционное давление в системе (см. п. 10.7); i – порядковый номер стояка, считая от общих магистралей; n – общее число стояков.

Проводимость стояков системы приближают, насколько это возможно, к требуемой $\sigma_{тр}$, вычисляя ориентировочную их проводимость $\sigma'_{ст}$, кг/(ч·Па^{0.5}) [кг/ч·(кгс/м²)^{0.5}], по формуле

$$\sigma'_{ст} = \sigma_p k_1 k_2 k_3, \quad (10.51)$$

где σ_p – проводимость стояка с односторонне присоединенными проточно-регулируемыми радиаторными узлами, принимаемая по табл. 10.18 в зависимости от числа N последовательно соединенных этажестояков; k_1 – поправочный коэффициент, зависящий от вида отопительных приборов: для радиаторов $k_1 = 1,0$; для ребристых и гладких труб $k_1 = 0,9$; для конвекторов «Комфорт-20» $k_1 = 0,85$; для остальных типов конвекторов $k_1 = 0,8$; k_2 – поправочный коэффициент, зависящий от конструкции стояка: для прямого или П-образного стояка с односторонним присоединением приборов $k_2 = 1,0$; для П-образного стояка с транзитной подъемной частью $k_2 = 0,9$; для Ч-образного стояка $k_2 = 1,3$; для Т-образного стояка $k_2 = 1,7$; для парного стояка $k_2 = 2,2$.

При двустороннем присоединении приборов и условном диаметре труб стояка и подводяков ($d_{ст} \times d_n$):

$d_{ст} \times d_n$, мм	20 × 15	25 × 15	32 × 15	20 × 20	25 × 20	32 × 20
k_2	0,9	0,97	1,0	1,34	1,66	1,82

k_3 – поправочный коэффициент, зависящий от типа регулирующего крана в приборном узле: для крана КРТ $k_3 = 1,0$; для крана КРП при осевом замыкаю-

щем участке $k_3 = 1,5$; для крана КРП при смещенном замыкающем участке $k_3 = 1,15$.

Пример 10.10. Определим требуемую и ориентировочную проводимость прямого однотрубного стояка $D, 20$ с осевыми замыкающими участками и двусторонним присоединением конвекторов «Аккорд», расположенного вторым от головных участков магистралей при шести стояках системы отопления 10-этажного здания, если $\Delta t_c = 35^\circ\text{C}$, расчетное циркуляционное давление в системе 16 кПа, а тепловая нагрузка стояка 25 кВт.

Требуемая проводимость стояка по формуле (10.50)

$$\sigma_{тр} = 1,26 \left(1 + 0,43 \frac{2}{6}\right)^{0.5} \cdot 25000 \cdot 3600 : 4187 \cdot 35 \times (16000)^{0.5} = 6,55 \text{ кг/(ч·Па}^{0.5}\text{)}.$$

Ориентировочная проводимость стояка по формуле (10.51)

$$\sigma'_{ст} = 4,4 \cdot 0,8 \cdot 1,34 \cdot 1,5 = 7,08 \text{ кг/(ч·Па}^{0.5}\text{)}.$$

Ориентировочная проводимость стояка близка к требуемой. По значениям $\sigma'_{ст}$, отнесенным к $\Sigma \sigma'_{ст}$, и общему расходу воды в системе G_c находят расходы воды в стояках ($G'_{ст} = \sigma'_{ст} G_c / \Sigma \sigma'_{ст}$), необходимые для предварительного расчета приборов [см. формулу (9.6)].

При выборе конструкции стояков проверяют также скорость движения воды. Для этого определяют ориентировочный расход воды в стояке $G'_{ст}$, кг/ч, по формуле

$$G'_{ст} = 0,8 \sigma'_{ст} \Delta p_p^{0.5}. \quad (10.52)$$

В стояке по условиям примера (10.10) при расходе воды $G'_{ст} = 0,8 \cdot 7,08 \cdot 16000^{0.5} = 716$ кг/ч ориентировочная скорость ее движения составляет $716 : 1250 = 0,57$ м/с (см. табл. 10.7), что допустимо (см. табл. 10.5).

10.11.2. Расчет проводимости стояков системы

Проводимость унифицированных стояков определяется по формуле (10.20) исходя из характеристики гидравлического сопротивления $kS_{ст}$.

Характеристики сопротивления стояков, составленных из унифицированных трубных узлов при высоте этажа 2,8 м, можно опреде-

лить по табл. 10.19. При длине труб, отличающейся от указанной в эскизах узлов 1–5, в характеристику сопротивления стояка вносят

ТАБЛИЦА 10.18

ПРОВОДИМОСТЬ σ_p , КГ/(Ч · ПА^{0,5}) В ЧИСЛИТЕЛЕ, [КГ/Ч (КГС/М²)^{0,5}] В ЗНАМЕНАТЕЛЕ, ОДНОТРУБНОГО СТОЯКА С ОДНОСТОРОННИМИ ПРОТОЧНО-РЕГУЛИРУЕМЫМИ РАДИАТОРНЫМИ УЗЛАМИ

Число этажей-стояков N	Проводимость стояка σ_p при D_y , мм		Число этажей-стояков N	Проводимость стояка σ_p при D_y , мм	
	15	20		15	20
3	3,7/11,6	6,7/21,0	15	1,9/5,9	3,7/11,6
4	3,5/10,9	6,2/19,4	16	1,8/5,7	3,6/11,2
5	3,2/10,9	5,7/17,8	17	1,8/5,5	3,5/10,9
6	2,9/9,1	5,4/16,8	18	1,7/5,4	3,4/10,6
7	2,7/8,4	5,1/15,9	19	1,7/5,3	3,3/10,4
8	2,5/7,8	4,8/15,0	20	1,6/5,2	3,3/10,2
9	2,4/7,5	4,6/14,4	21	1,6/5,1	3,2/10,0
10	2,3/7,2	4,4/13,8	22	1,6/5,0	3,1/9,8
11	2,2/6,9	4,2/13,3	23	1,6/4,9	3,1/9,6
12	2,1/6,6	4,1/12,8	24	1,5/4,8	3,0/9,5
13	2,0/6,3	4,0/12,4	25	1,5/4,7	3,0/9,4
14	1,9/6,1	3,8/12,0			

ТАБЛИЦА 10.19

ХАРАКТЕРИСТИКА СОПРОТИВЛЕНИЯ ТРУБНЫХ УЗЛОВ СТОЯКОВ ОДНОТРУБНОЙ СИСТЕМЫ ОТОПЛЕНИЯ (ПРИ $k = 1,0$)

Номер узла	Наименование узла	Эскиз узла	Диаметр трубы D_y , мм	Значения $S_{\Sigma} \cdot 10^4$, Па/(кг/ч) ²
1	Присоединение к подающей магистрали		15 20 25	266/133 57/30 20/11
2	Присоединение к обратной магистрали		15 20 25	229/96 46/19 16/6,7
3	Этажестояк с односторонним присоединением прибора		15 20 25	113 23 8
4	Этажестояк с двусторонним присоединением приборов		15 20 25/20 25	97 21 12 7

Продолжение табл. 10.19

Номер узла	Наименование узла	Эскиз узла	Диаметр трубы D_y , мм	Значения $S_{y3} \cdot 10^4$, Па/(кг/ч) ²
5	Подводки в верхнем этаже П-образного стояка		15	56
			20	12
			25	4
6	Прямая труба длиной 1 м (добавка к узлам 1-5)		15	28,6
			20	5,74
			25	1,72

Примечания. 1. В эскизах сплошными линиями показаны элементы, сопротивление которых включено в S_{y3} .
 2. Для узлов 1 и 2 в числителе дано S_{y3} при прямом вентиле, в знаменателе - при проходном кране

поправки по узлу 6. Трубы приняты по ГОСТ 3262-75* (обыкновенные).

регулируемых приборных узлов с обходными участками S_{y3} , Па/(кг/ч)² (показанных в табл. 10.19 пунктиром) могут быть получены с

Характеристики сопротивления проточно-

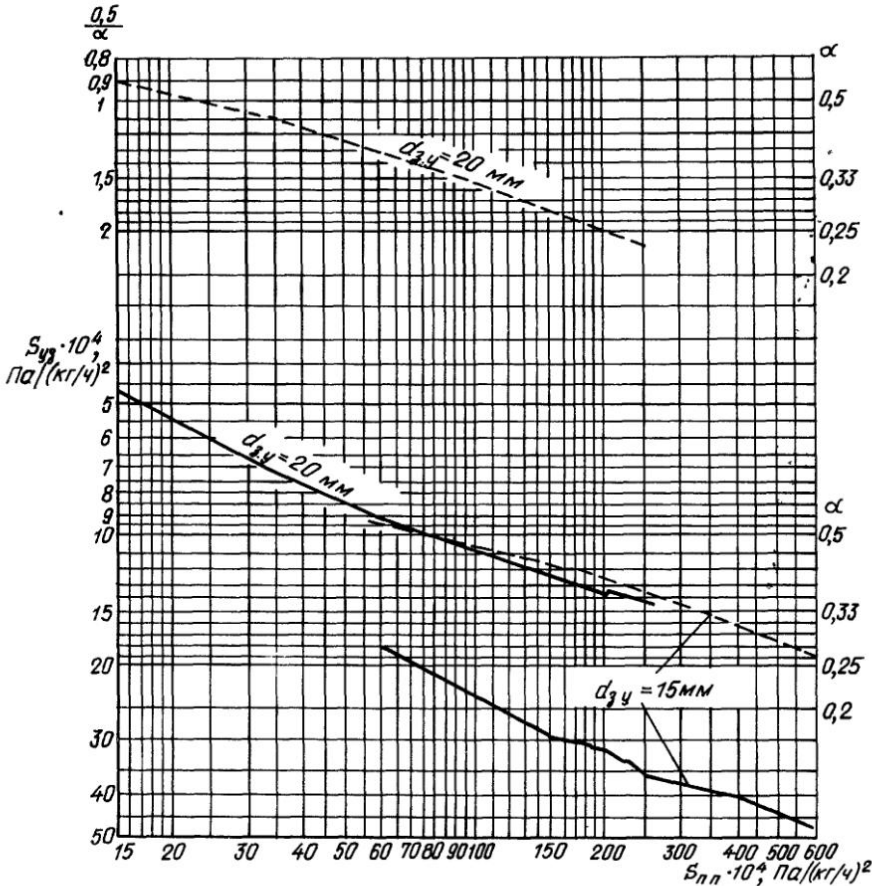


Рис. 10.25. Зависимость характеристики сопротивления $S_{y3} \cdot 10^4$ (сплошные линии) и коэффициента затекания α (пунктирные линии) приборного узла со смещенным замыкающим участком в вертикальной однотрубной системе отпления от характеристик сопротивления подводки с прибором $S_{yn} \cdot 10^4$ (d_y - диаметр замыкающего участка)

ТАБЛИЦА 10.20

ХАРАКТЕРИСТИКА СОПРОТИВЛЕНИЯ ПРИБОРНЫХ УЗЛОВ ОДНОТРУБНОЙ СИСТЕМЫ ОТОПЛЕНИЯ
(ПРИ $k = 1,0$)

Отопительный прибор	Диаметр подводки d_n , мм	Характеристика сопротивления элемента узла $S \cdot 10^4$, Па/(кг/ч) ²	№ схемы присоединения по табл. 9.10									
			обозначения	1	2	3	4	5	6	7	8	9
Конвекторы 15 КП, «Прогресс-15»	15	S_{pp}	57	57	~	114	36	~	14,3	114	14,3	
		S_n	97	97	~	161	88	~	91	161	77	
		S'_n	129	129	~	193	120	~	123	193	109	
			107	107	~	171	103	~	106	140	99	
			139	139	~	202	135	~	138	172	131	
Конвекторы «Прогресс-20», «Аккорд» и прибор «Коралл»	20	S_{pp}	11,5	11,5	~	23	7,2	~	2,9	23	2,9	
		S_n	25	25	~	44	23	~	23	44	20	
			35	35	~	54	32	~	33	54	30	
		S'_n	19	19	~	38	28	~	29	38	24	
			30	30	~	48	37	~	38	48	34	
Ребристые и гладкие трубы	15	S_{pp}	29	0	29	0	29	0	0	~	~	
		S_n	118	134	215	231	97	100	108	~	~	
			150	166	246	262	129	133	140	~	~	
		S'_n	128	144	224	240	112	116	124	~	~	
			160	176	256	271	144	148	155	~	~	
То же	20	S_{pp}	5,7	0	5,7	0	5,7	0	0	~	~	
		S_n	31	36	60	64	25	26	28	~	~	
			40	45	70	74	35	36	38	~	~	
		S'_n	35	40	64	68	30	31	34	~	~	
			44	49	74	78	40	41	43	~	~	
Конвекторы «Универсал», «Комфорт-20», «Ритм» (без регулирующих кранов)	20	S_{pp}	11,5	~	1,45	11,5	~	~	~	~	~	
		S_n	15	~	5,1	15	~	~	~	~	~	
			25	~	~	25	~	~	~	~	~	
Конвектор «Универсал С»	20	S_{pp}	~	~	~	23	~	~	~	~	~	
		S_n	~	~	~	44	~	~	~	~	~	
			~	~	~	54	~	~	~	~		
Конвектор высокий «КВ»	20	$S_{pp} + S_n$	~	166	~	~	~	~	~	~	~	
Радиаторы чугунные секционные и панельные типа РСВ1	15	$S_{pp} + S_n$	87	~	87	~	~	/	~	~	~	
			119	~	119	~	~	~	~	~	~	
		$S_{pp} + S'_n$	100	~	100	~	~	~	~	~	~	
			131	~	131	~	~	~	~	~		
То же	20	$S_{pp} + S_n$	22	~	22	~	~	~	~	~	~	
			31	~	31	~	~	~	~	~	~	
		$S_{pp} + S'_n$	26	~	26	~	~	~	~	~	~	
			~	~	~	~	~	~	~	~		
Радиаторы панельные РСГ2	15	$S_{pp} + S_n$	83	~	83	~	~	~	~	~	~	
			115	~	115	~	~	~	~	~	~	
		$S_{pp} + S'_n$	96	~	96	~	~	~	~	~	~	
			127	~	127	~	~	~	~	~		
То же	20	$S_{pp} + S_n$	31	~	31	~	~	~	~	~		
			41	~	41	~	~	~	~	~		

Продолжение табл. 10.20

Отопительный прибор	Диаметр подводки d_n , мм	Характеристика сопротивления элемента узла $S \cdot 10^4$, Па/(кг/ч) ²										
		обозначения	№ схемы присоединения по табл. 9.10									
			1	2	3	4	5	6	7	8	9	
		$S_{пр} + S'_n$	$\frac{36}{45}$	-	$\frac{36}{45}$	-	-	-	-	-	-	-

Примечания. 1 Характеристики сопротивления S_n и S'_n даны для подводов без уток (в числителе) и с утками (в знаменателе) при расстоянии от оси стояка до патрубка или пробки прибора 600 мм.

2 Диаметр труб обвязки отопительных блоков из ребристых или гладких труб принят по диаметру подводки.

использованием данных табл. 10.20 по формуле (при $k = 1,0$)

$$S_{уз} = S_n + S_{пр} l_{пр}, \quad (10.53)$$

где S_n — характеристика сопротивления подводов к прибору с краном КРТ (при смещенном обходном участке), Па/(кг/ч)²; $S_{пр}$ — характеристика сопротивления прибора длиной $l_{пр}$ м, Па/(кг/ч)²; $l_{пр}$ — длина прибора, м.

Характеристики сопротивления приборных узлов со смещенными замыкающими участками $S_{уз}$, Па/(кг/ч)², при S_e [по формуле (10.39)] $< S_{e, пред}$ (по табл. 10.11) определяют по графику на рис. 10.25 (по сплошным линиям) в зависимости от значения $S_{н,п}$, вычисляемого с использованием данных табл. 10.20 по формуле (при $k = 1,0$)

$$S_{н,п} = S'_n + S_{пр} l_{пр}, \quad (10.54)$$

где S'_n — характеристика сопротивления подводов к прибору с краном КРП (при смещенном замыкающем участке), Па/(кг/ч)².

Если $S_e > S_{e, пред}$, то значение $S_{н,п}$ по формуле (10.54) следует перед определением $S_{уз}$ умножить на α^2 , где α — коэффициент затекания воды в прибор по формуле (10.40).

Пример 10.11. Определим характеристику сопротивления и проводимость стояка $D, 15$ мм (рис. 10.26) с чугунными радиаторами типа М-140 АО на I–III этажах, присоединяемыми по проточно-регулируемой схеме с обходным участком, и плинтусными конвекторами типа 15 КП с трубами длиной 2,35 м на IV–V этажах, присоединяемыми по схеме № 1 (см. табл. 9.10), причем подводки на IV этаже имеют замыкающий участок. Подводки к приборам выполнены с утками, на стояке установлены проходные краны.

Находим в табл. 10.19 характеристики сопротив-

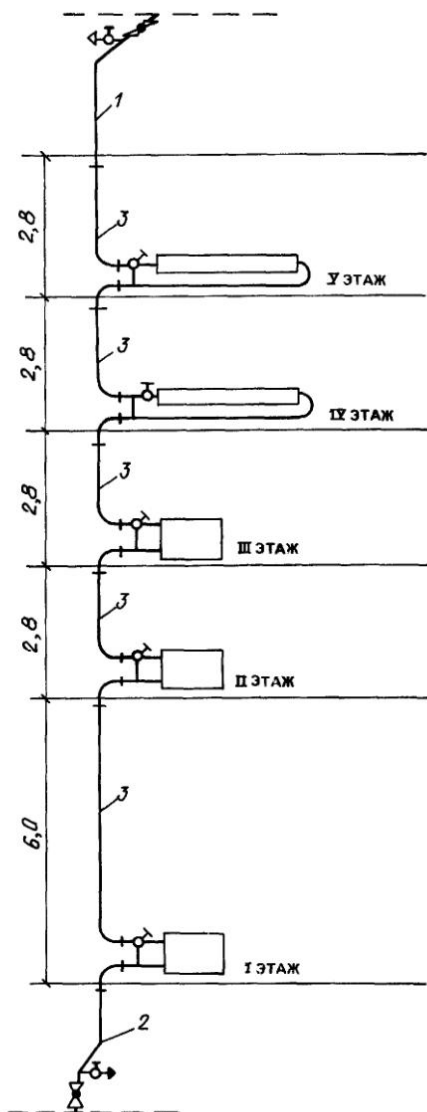


Рис. 10.26. Схема стояка однотрубной системы водяного отопления с верхним расположением подающей магистрали в пятиэтажном здании (к примеру 10.11)

ления трубных узлов № 1–133, № 2–96, № 3–113 (без множителя 10^{-4})

Определим по табл. 10.20 характеристики сопротивления приборных узлов радиатора $S_{ра}$ = 119, конвектора на V этаже по формуле (10.53) $S_{кV} = 129 + 57 \cdot 2,35 = 263$, для конвектора на IV этаже вычисляем по формуле (10.54) $S_{кIV} = 139 + 57 \cdot 2,35 = 273$ и по графику на рис. 10.25 находим $S_{кV} = 37$ (без множителя 10^{-4})

Характеристика сопротивления стояка по формуле (10.21)

$$S_{ст} = (133 + 96 + 113 \cdot 5 + 119 \cdot 3 + 263 + 37) \times 10^{-4} = 1451 \cdot 10^{-4}.$$

Так как высота I этажа превышает высоту узла 3 в табл. 10.19 (6 м вместо 2,8 м), вносим поправку в характеристику сопротивления стояка по узлу 6 (табл. 10.19)

$$S_{ст} = [1451 + (6 - 2,8) \cdot 28,6] 10^{-4} = 1543 \cdot 10^{-4} \text{ Па}/(\text{кг}/\text{ч})^2.$$

Проводимость стояка по формуле (10.20)

$$\sigma_{ст} = 100 \cdot (1543)^{0,5} = 2,55 \text{ кг}/(\text{ч} \text{ Па}^{0,5})$$

10.11.3. Окончательный гидравлический расчет системы при выбранной проводимости стояков унифицированной конструкции

Этот расчет заключается в определении расходов воды в стояках и уточнении потерь давления в системе. Расчет проводится по диаметрам участков магистралей, выбранным по значениям $S_{уд}$ [см. формулу (10.43)], где $R_{ср}$ определяют по $\Sigma l_{маг}$ (без длины стояка) при $0,3\Delta p_p$.

Пример 10.12. Найдем распределение воды по унифицированным стоякам и потери давления в вертикальной однотрубной системе отопления с тупиковым движением воды в магистралях (рис. 10.27), если характеристика сопротивления каждого стояка $S_{ст} = 1543 \cdot 10^{-4} \text{ Па}/(\text{кг}/\text{ч})^2$, проводимость $\sigma_{ст} = 2,55 \text{ кг}/(\text{ч} \text{ Па}^{0,5})$ см. пример 10.11, а расход воды в системе $G_c = 650 \text{ кг}/\text{ч}$. Определим также σ_k ее контура, предполагая его как контур части системы, состоящей из двух одинаковых частей (пренебрегая сопротивлением тройников)

Характеристики сопротивления пар участков магистралей системы по формуле (10.17)

$$\begin{aligned} \text{участков 1-2 при } D_1, 15 - S_1, 2 &= 2 \cdot 10,6(2,7 \cdot 6,0 + 1,0) 10^{-4} = 365 \cdot 10^{-4}, \\ \text{участков 2-3 при } D_2, 20 - S_2, 3 &= 2 \cdot 3,19(1,8 \cdot 6,0 + 1,0) 10^{-4} = 75,3 \cdot 10^{-4}, \\ \text{головных участков при } D_1, 25 - S_1, 25 &= 1 \cdot 23(1,4 \cdot 35,0 + 4,0) 10^{-4} = 65,2 \cdot 10^{-4} \text{ Па}/(\text{кг}/\text{ч})^2 \end{aligned}$$

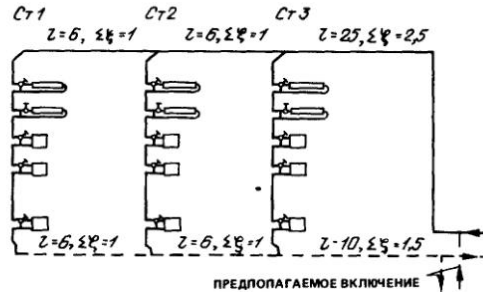


Рис. 10.27. Схема однотрубной системы водяного отопления со стояками унифицированной конструкции и тупиковым движением воды в магистралях (к примеру 10.12)

Коэффициент затекания воды в стояк 2 (считая $\alpha_1 = 1,0$) по формуле (10.25)

$$\alpha_2 = \sigma_2 / \sigma_{к2} = 2,55 [(1543 + 365) 10^{-4}]^{0,5} = 1,11$$

Характеристика сопротивления и проводимость контура, замыкающего стояк 3

$$S_{к3} = [1543 + 365 + 75,3(1,0 + 1,11)^2] 10^{-4} = 2243,2 \cdot 10^{-4};$$

$$\sigma_{к3} = 100 : 2243,2^{0,5} = 2,11.$$

Коэффициент затекания воды в стояк 3 по формуле (10.25)

$$\alpha_3 = 2,55 : 2,11 = 1,21.$$

Характеристика сопротивления и проводимость системы по формуле (10.24) при $\Sigma \alpha_i = 1,0 + 1,11 + 1,21 = 3,32$

$$\begin{aligned} S_c &= [(1543 + 365 + 75,3 \cdot 2,11^2 + 65,2 \times \\ &\times 3,32^2) 10^{-4}] \cdot 3,32^2 = 268,8 \cdot 10^{-4}, \\ \sigma_c &= 100 : 268,8^{0,5} = 6,10 \end{aligned}$$

Проводимость контура по формуле (10.26) $\sigma_k = 6,10 \cdot 3,32 = 1,83$

Потери давления в системе по формуле (10.16)

$$\Delta p_c = 268,8 \cdot 10^{-4} \cdot 650^2 = 11357 \text{ Па}$$

или по формуле (10.19)

$$\Delta p_c = (650/6,1)^2 = 11354 \text{ Па}$$

Заданный расход воды в системе распределяется по стоякам

$$\text{стояк 1 } G_1 = 650 \cdot 1,0 \cdot 3,32 = 196,$$

$$\text{стояк 2 } G_2 = 650 \cdot 1,11 \cdot 3,32 = 217,$$

$$\text{стояк 3 } G_3 = 650 \cdot 1,21 \cdot 3,32 = 237 \text{ кг}/\text{ч}$$

При системе, состоящей из двух частей, выполняют отдельный расчет каждой части (см. пример 10.12). Затем, считая расчет, например, правой части основным (замыкающий контур), находят коэффициент пересчета расхода воды в левой части системы (замыкаемый контур) по формуле (10.25)

При системе, состоящей из четырех частей, выполняют отдельный расчет каждой половины. Затем, считая расчет одной половины основным, определяют по той же формуле коэффициент пересчета расхода воды в другой половине системы

10.12. Гидравлический расчет гравитационной системы

Гидравлический расчет гравитационной системы отопления многоэтажного здания, в которой циркуляция происходит в основном в результате охлаждения воды в отопительных приборах [см. первое слагаемое в формуле (10.10)], выполняется по удельным линейным потерям давления (с использованием материалов и указаний пп 10.7–10.9).

Гравитационная система отопления малоэтажного здания (рис. 10.28), в которой котел помещается на одном уровне с отопительными приборами, называется квартирной и чаще всего выполняется двухтрубной с верхней разводкой. В такой системе расширительный бак присоединяется к главному стояку, помещается в теплое помещение и снабжается переливной трубой D_p , 20 мм, которая выводится в раковину. Полезный объем бака, л, принимается по формуле

$$V_{p6} = 1,7Q_c \quad (V_{p6} = 2Q_c), \quad (10.55)$$

где Q_c – тепловая мощность системы отопления, кВт (тыс.ккал/ч)

Уклон труб $i = 0,01$ делают в таком направлении, чтобы удалять воздух через расширительный бак и опорожнять систему близ котла.

Гидравлический расчет гравитационной квартирной системы, в которой циркуляция происходит в основном под влиянием охлаждения воды в трубах [см. второе слагаемое в формуле 10.10)], выполняются в два этапа.

На **первом этапе**, задавая величину расчетного циркуляционного давления в системе и расходом воды на ее участках, выбирают диаметр труб. На **втором этапе** после теплового расчета труб определяют действительную величину естественного циркуляционного давления, возникающего при охлаждении воды в трубах, и выявляют необходимость уточнения предварительного сделанного гидравлического и теплового расчетов.

Расчетное циркуляционное давление Δp_p , Па (кгс/м² без множителя g), для предварительного гидравлического расчета гравитационной квартирной системы водяного отопления находят по эмпирическим формулам [с учетом формулы (10.15)]:

для двухтрубной системы

$$\Delta p_p = bh_r(l + h_r) \pm bgh_1(t_r - t_0); \quad (10.56)$$

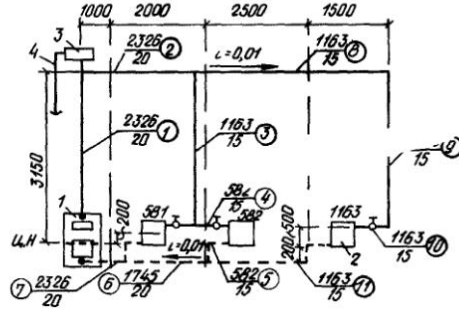


Рис. 10.28. Схема квартирной двухтрубной системы водяного отопления с естественной циркуляцией

1 – котел, 2 – отопительный прибор, 3 – расширительный бак, 4 – переливная труба, ц н – центр нагревания в котле, вертикальные штрихпунктирные линии – оси межкомнатных перегородок

для однотрубной системы

$$\Delta p_p = b\Sigma lh_r/2 \pm bgh_1(t_r - t_0), \quad (10.57)$$

где h_r – вертикальное расстояние от условного центра нагревания воды в котле (принимается на 150 мм выше уровня колосниковой решетки или горелки) до верхней горизонтальной трубы, м; l – горизонтальное расстояние от главного стояка до расчетного, м, Σl – общая длина последовательно соединенных участков расчетного циркуляционного кольца, м, b – коэффициент, равный при неизолированных трубах или тепловой изоляции только главного стояка – 3,9 (0,40), при изолированных главном стояке и обратной магистрали – 3,3 (0,34), при всех изолированных трубах – 1,6 (0,16)

Второе слагаемое получает знак плюс, если центр охлаждения воды в отопительных приборах выше условного центра нагревания воды в котле, и минус – если ниже.

Первое слагаемое в формулах (10.56) и (10.57) ориентировочно выражает естественное циркуляционное давление, возникающее от охлаждения воды в трубах. Для его увеличения рекомендуется уменьшать охлаждение воды в главном стояке и нижних горизонтальных трубах и, наоборот, увеличивать охлаждение воды в верхних горизонтальных трубах, а также располагать котел ниже отопительных приборов (не поднимая приборы над полом выше обычного уровня).

Основное циркуляционное кольцо при гидравлическом расчете гравитационной квартирной системы отопления выбирается по правилу, приведенному в п. 10.9, с использованием формулы (10.32). Гидравлический расчет проводится по способу, изложенному в п. 10.9, причем расход воды на участках цирку-

ляционного кольца определяют по формуле (10.28) в предположении, что теплотери каждого помещения возмещаются только через отопительные приборы при охлаждении воды в них на 20°C

После выбора диаметра всех труб вычисляют теплопередачу в помещении каждого участка труб и находят температуру воды в конце каждого участка (начиная от котла и считая там $t_n = t_r$) по формуле

$$t_k = t_n - \Delta t_{yч}, \quad (10.58)$$

где $t_{yч}$ — понижение температуры воды по длине l участка

$$\Delta t_{yч} = \frac{q_1 l}{c G_{yч}}, \quad (10.59)$$

здесь q_1 — теплопередача 1 м трубы в помещение с температурой t_n , принимается по табл П 22 в зависимости от разности температуры $t_{cp} - t_n$ (на коротких участках допускается расчет по $t_n - t_n$), $G_{yч}$ — расход воды на участке, кг/ч, берется из предварительного гидравлического расчета

Далее рассчитывается действительное естественное циркуляционное давление в основном кольце системы Δp_d по формулам (10.11) и (10.15). При сопоставлении его с потерей давления в этом же кольце, полученной в результате предварительного гидравлического расчета, возможны случаи:

а) $\Sigma(RI + Z) = (0,85 - 1,0)\Delta p_d$ — предварительные гидравлический и тепловой расчеты обстоят без изменения;

б) $\Sigma(RI + Z) = (0,7 - 0,85)\Delta p_d$ или $\Sigma(RI + Z) = (1,0 - 1,15)\Delta p_d$ — требуется изменение предварительного гидравлического расчета, однако тепловой расчет может не уточняться;

в) $0,7\Delta p_d > \Sigma(RI + Z) > 1,15\Delta p_d$ — требуется изменение и гидравлического и теплового расчетов системы

Площадь нагревательной поверхности отопительных приборов рассчитывается на основании известных из теплового расчета труб величин: теплоотдачи трубами Q_{1p} и температуры воды $t_{вх}$, поступающей в приборы. Тепловая нагрузка отопительного прибора Q_{np} , Вт (ккал/ч), составляет

$$Q_{np} = Q_n - 0,9Q_{тр}, \quad (10.60)$$

где Q_n — расчетные геппотери помещения, $Q_{тр} = \Sigma q_1 l$ — теплоотдача трубами в пределах помещения

Средняя расчетная температура воды в отопительном приборе

$$t_{cp} = t_{вх} - \frac{Q_{np} \beta_1 \beta_2}{2cG_{np}}, \quad (10.61)$$

где G_{np} — расход воды в отопительном приборе, кг/ч, берется из гидравлического расчета, β_1 и β_2 — поправочные коэффициенты (см п 9.4).

Пример 10.13. Выполним геппогидравлический расчет гравитационной квартирной двухтрубной системы водяного отопления с верхней разводкой (см рис 10.28) при расчетной температуре воды $t_r = 95^\circ\text{C}$, $t_0 = 70^\circ\text{C}$. Середина высоты отопительных приборов находится над условным центром нагревания воды в котле, $h_1 = 0,2$ м. Тепловые нагрузки Q , Вт, приборов и участков даны с учетом коэффициентов β_1 и β_2 . Главный стояк системы покрывается тепловой изоляцией ($\eta_{ст} = 0,75$). Расчетная температура воздуха в помещениях $t_a = 18^\circ\text{C}$

Выбор основного циркуляционного кольца. Определим расчетное циркуляционное давление по формуле (10.56) в двух циркуляционных кольцах через дальний и средний отопительные приборы

$$\Delta p_p^d = 3,9 \cdot 3,15(7 + 3,15) + 0,64 \cdot 9,81 \cdot 0,2(95 - 70) = 156 \text{ Па};$$

$$\Delta p_p^c = 3,9 \cdot 3,15(3 + 3,15) + 0,64 \cdot 9,81 \cdot 0,2(95 - 70) = 107 \text{ Па}.$$

Находим по формуле (10.32) возможную среднюю потерю давления по длине 1 м каждого циркуляционного кольца

$$\Delta p_d^d = \frac{156}{18,7} = 8,4, \quad \Delta p_d^c = \frac{107}{12,6} = 8,4 \text{ Па/м}.$$

За основное принимаем циркуляционное кольцо через средний отопительный прибор

Предварительный гидравлический расчет системы. Вычислим среднее ориентировочное значение удельной линейной потери давления в основном циркуляционном кольце по формуле (10.33)

$$R_{cp} = \frac{0,5 \cdot 107}{12,6} = 4,2 \text{ Па/м}.$$

Подбираем диаметр легких труб исходя из расхода воды на участках, найденного в предположении, что геппотери помещений возмещаются только отопительными приборами при охлаждении воды в них на 20°C , по способу, рассмотренному в п 10.9

Определяем сумму коэффициентов местных сопротивлений (по табл П 10)

Участок 1		
внезапное сужение		0,5
отвод $D_p 20$ мм при $w = 0,077$ м/с		1,2
		$\Sigma \zeta_1 = 1,7$
Участок 2		
тройник на ответвлении при $\bar{G}_{отв} = 1,0$		$\zeta_2 = 2,3$
Участок 3		
тройник на ответвлении при $\bar{G}_{отв} = 0,5$ и $\bar{d} = 0,74$		$\zeta_3 = 2,0$
Участок 4		
тройник на растекании при $G_{отв} = 0,5$		6,3
кран двойной регулировки $D_p 15$ мм		4,0
утка $D_p 15$ мм при $w = 0,035$ м/с		2,4
вход в радиатор при $D_p 15$ мм и $w = 0,035$ м/с		1,6
		$\Sigma \zeta_4 = 14,3$

Участок 5:
 выход из радиатора при $D_r 15$ мм и $w = 0,035$ м/с 1,6
 утка $D_r 15$ мм при $w = 0,035$ м/с 2,4
 отвод $D_r 15$ мм при $w = 0,035$ м/с 3,6
 тройник на ответвлении при $\bar{C}_{отв} = 0,33$ и $d = 0,74$ 0,3

$\Sigma \zeta_5 = 7,9$

Участок 6:
 тройник на проходе при $\bar{C}_{пр} = 0,75$ $\zeta_6 = 0,93$

Участок 7:
 отвод $D_r 20$ мм при $w = 0,077$ м/с 1,2
 внезапное расширение 1,0

$\Sigma \zeta_7 = 2,2$

$$\begin{aligned}
 & - 0,25(979,56 - 978,94) - \\
 & - 0,25(979,93 - 979,56)] \cdot 9,81 = \\
 & = (11,26 - 0,31)9,81 = 107,4 \text{ Па;} \\
 \Delta p_d^A & = [1,9(962,27 - 961,92) + \\
 & + 3,15(963,92 - 962,27) + \\
 & + 3,15(967,14 - 963,92) + \\
 & + 1,8(968,98 - 967,14) + \\
 & + 0,45(969,3 - 968,98) + 0,2(978,5 - 969,3) - \\
 & - 0,05(978,71 - 978,50) -
 \end{aligned}$$

ТАБЛИЦА 10.21

ПРЕДВАРИТЕЛЬНЫЙ ГИДРАВЛИЧЕСКИЙ РАСЧЕТ КВАРТИРНОЙ СИСТЕМЫ ВОДЯНОГО ОТОПЛЕНИЯ

Участок	Q , Вт	G , кг/ч	l , м	D_r , мм	w , м/с	R , Па/м	Rl , Па	$\Sigma \zeta$	Z , Па	$Rl + Z$, Па
---------	----------	------------	---------	------------	-----------	------------	-----------	----------------	----------	---------------

Основное циркуляционное кольцо через средний прибор

$\Delta p_p^c = 107 \text{ Па}; R_{cp} = 4,2 \text{ Па/м}$

1	2326	100	2,5	20	0,076	6,5	16,3	1,7	4,8	21,1
2	2326	100	3,0	20	0,076	6,5	19,5	2,3	6,5	26,0
3	1163	50	2,7	15	0,067	6,1	16,5	2,0	4,4	20,9
4	582	25	0,5	15	0,034	2,2	1,1	14,3	8,1	9,2
5	582	25	0,7	15	0,034	2,2	1,5	7,9	4,5	6,0
6	1745	75	1,7	20	0,057	3,2	5,4	0,93	1,5	6,9
7	2326	100	1,5	20	0,076	6,5	9,8	2,2	6,2	16,0
									12,6	$\Sigma(Rl + Z)_c = 106,1$

Циркуляционное кольцо через дальний прибор

$\Delta p_p = \Sigma(Rl + Z)_{3-5} + (\Delta p_p^A - \Delta p_p^c) = 36,1 + (156 - 107) = 85,1 \text{ Па}; R_{cp} = 4,1 \text{ Па/м}$

8	1163	50	4,0	15	0,067	6,1	24,4	2,7	5,9	30,3
9	1163	50	2,7	15	0,067	6,1	16,5	2,8	6,1	22,6
10	1163	50	0,5	15	0,067	6,1	3,1	5,8	12,8	15,9
11	1163	50	3,1	15	0,067	6,1	18,9	6,75	14,9	33,8
									10,3	102,6
										$\Sigma(Rl + Z)_{1,2,6,7} = 70,0$
										$\Sigma(Rl + Z)_d = 172,6$

Результаты гидравлического расчета приведены в табл. 10.21.

Тепловой расчет системы начинаем с участка 1 при начальной температуре воды 95°C. Результаты расчета сведены в табл. 10.22. Для определения значений q_1 использована вспомогательная табл. 11.22, $\Delta t_{нч}$ -формула (10.59); t_k -формула (10.58).

Окончательный гидравлический расчет системы. Находим действительное естественное циркуляционное давление в двух рассчианных кольцах по формулам (10.11) и (10.15):

$$\begin{aligned}
 \Delta p_d^c & = [1,9(962,27 - 961,92) + \\
 & + 3,15(963,92 - 962,27) + \\
 & + 1,8(966,01 - 963,92) + \\
 & + 0,45(966,81 - 966,01) + 0,2(973,19 - 966,81) - \\
 & - 0,05(973,74 - 973,19) - \\
 & - 0,15(973,98 - 973,74) -
 \end{aligned}$$

$$\begin{aligned}
 & - 0,15(978,80 - 978,71) - \\
 & - 0,25(979,82 - 978,80) - \\
 & - 0,25(979,56 - 978,94) - \\
 & - 0,25(979,93 - 979,56)]9,81 = \\
 & = (21,3 - 0,53)9,81 = 203,8 \text{ Па.}
 \end{aligned}$$

Сопоставляем потерю давления в циркуляционных кольцах по предварительному расчету с действительным циркуляционным давлением и получаем запасы:

в кольце через средний прибор

$$\frac{107,4 - 106,1}{107,4} 100 = 1,2\%;$$

в кольце через дальний прибор

ТАБЛИЦА 10.22

ТЕПЛОВОЙ РАСЧЕТ КВАРТИРНОЙ СИСТЕМЫ ВОДЯНОГО ОТОПЛЕНИЯ

Участок	G, кг/ч	$t_{\text{уч}}$, м	$D_{\text{г}}$, мм	$t_{\text{н}}$, °C	$t_{\text{в}}$, °C	$t_{\text{н}} - t_{\text{в}}$, °C	q_1 , Вт/м	$l - \Pi_{\text{из}}$	$q_1 l_{\text{уч}}$, Вт	$\Delta t_{\text{ср}}$, °C	$t_{\text{ср}}$, °C	$\rho_{\text{ср}}$, кг/м ³
1	100	2,5	20	95	18	77	87	0,25	54	0,5	94,5	962,27
2	100	3,0	20	94,5	18	76,5	94	-	282	2,4	92,1	963,92
3	50	2,7	15	92,1	18	74,1	66	-	178	3,1	89,0	966,01
4	25	0,5	15	89,0	18	71	69	-	34	1,2	87,8	966,81
Прибор	25	-	-	87,8	18	-	-	-	291*	10	77,8	973,19
5	25	0,7	15	77,8	18	59,8	53,5	-	37,5	1,3	76,5	973,98
6	75	1,7	20	68**	18	50	57	-	97	1,1	66,9	979,56
7	100	1,5	20	66,9***	18	48,9	54	-	81	0,7	66,2	979,93
8	50	4,0	15	92,1	18	74,1	69****	-	276	4,8	87,3	967,14
9	50	2,7	15	87,3	18	69,3	59****	-	160	2,8	84,5	968,98
10	50	0,5	15	84,5	18	66,5	62	-	31	0,5	84,0	969,30
Прибор	50	-	-	84,0	18	-	-	-	884*	15,2	68,8	978,50
11	50	3,1	15	68,8	18	50,8	45	-	139	2,4	66,4	979,82

* Тепловые нагрузки приборов найдены по формуле (10.60) с учетом полезной теплоотдачи труб, находящихся в помещениях.

$$** t_{\text{н}6} = \frac{25 \times 76,5 + 50 \times 66,4}{75} = 68^\circ\text{C}, \rho_{\text{н}6} = 978,94 \text{ кг/м}^3.$$

*** Принято $t_{\text{н}7} = t_{\text{н}6}$ без учета сливания потоков.

**** Теплоотдача труб на участках 8 и 9 вычислена по $(t_{\text{ср}} - t_{\text{в}})$.

$$\frac{203,8 - 172,6}{203,8} 100 = 15\%,$$

которые могут быть допущены.

Гидравлический и тепловой расчеты системы считаем окончательными.

Площадь нагревательной поверхности отопительных приборов определяем: для среднего прибора - по тепловой нагрузке $Q_{\text{нр}} = 291$ Вт, расходу $G_{\text{нр}} = 25$ кг/ч и средней температуре воды в нем $t_{\text{ср}} = 0,5(87,8 + 77,8) = 82,8^\circ\text{C}$ (см. табл. 10.22); для дальнего прибора - по $Q_{\text{нр}} = 884$ Вт, $G_{\text{нр}} = 50$ кг/ч и $t_{\text{ср}} = 0,5(84,0 + 68,8) = 76,4^\circ\text{C}$.

ГЛАВА 11. ПАРОВОЕ ОТОПЛЕНИЕ

В качестве теплоносителя в системах парового отопления используется, как правило, сухой насыщенный водяной пар. Однако применение пара для систем отопления и теплоснабжения вентиляционных установок допускается только при обосновании из-за следующих недостатков парового отопления:

- 1) пониженного срока службы трубопроводов в результате интенсивной коррозии;
- 2) невозможности центрального регулирования теплоотдачи отопительных приборов путем изменения температуры теплоносителя;
- 3) частичного разложения органической пыли на поверхности отопительных приборов, постоянно нагретых до 100°C и более;
- 4) повышенных потерь теплоты паропроводами;
- 5) увеличенных эксплуатационных затрат на отопление;
- 6) возникновения шума, особенно при периодическом действии системы;

7) частого нарушения герметичности резьбовых соединений трубопроводов.

Преимуществами систем парового отопления являются:

- 1) меньшие площади поверхности отопительных приборов;
- 2) быстрый прогрев отопительных приборов при пуске системы;
- 3) незначительное гидростатическое давление в системе;
- 4) меньшие капитальные затраты на сооружение системы отопления.

Области применения систем парового отопления в зависимости от назначения зданий и характера производства приведены в п. 7.2.

11.1. Классификация систем парового отопления

Системы парового отопления в зависимости от абсолютного давления пара подразделяются на:

- а) *вакуум-паровые* – при абсолютном давлении пара менее 0,1 МПа (1 кгс/см²);
- б) *низкого давления* – при давлении пара 0,1–0,12 МПа (1–1,2 кгс/см²);
- в) *низкого (повышенного) давления* – при давлении пара 0,12–0,17 МПа (1,2–1,7 кгс/см²);
- г) *высокого давления* – при абсолютном давлении пара 0,17–0,27 МПа (1,7–2,7 кгс/см²).

Примечание. Предельное давление пара в системах высокого давления указано применительно к местным отопительным приборам. Для calorиферов, пароводяных подогревателей и другого теплоиспользующего оборудования внутренних санитарно-технических систем максимальное давление пара ограничивается заводскими паспортными данными на это оборудование.

В зависимости от конструктивных особенностей и трассировки трубопроводов системы парового отопления подразделяются на *двухтрубные вертикальные* и *однотрубные вертикальные* и *горизонтальные*, с верхней, нижней или средней разводкой магистрального паропровода, тупиковым и попутным движением пара и конденсата (рис. 11.1–11.3).

По способу возврата конденсата в котел или наружные тепловые сети системы отопления могут быть:

- а) *замкнутыми*, в которых конденсат перемещается за счет гидростатического давления или специально предусмотренного остаточного давления пара в системе (см. рис. 11.1, а, б и 11.3, а);
- б) *разомкнутыми*, когда конденсат перекачивается насосом из промежуточного конденсатного бака (см. рис. 11.2 и 11.3, б).

Системы парового отопления, непосредственно соединенные с атмосферой для выпуска из них воздуха, называются *открытыми* (см. рис. 11.1 и 11.2), а не соединенные – *закрытыми* (см. рис. 11.3).

Конденсатопроводы в системах парового отопления бывают:

- а) *сухими*, частично заполненными конденсатом, а частично воздухом (конденсатопровод в системах отопления низкого давления, расположенный выше уровня стояния кон-

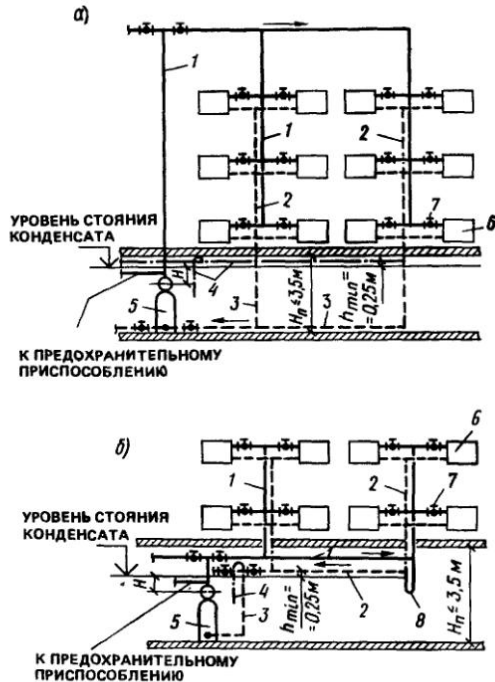


Рис. 11.1. Схемы систем парового отопления низкого давления замкнутых открытых

а – с верхней разводкой паропровода и мокрым конденсатопроводом; б – с нижней разводкой паропровода и сухим конденсатопроводом; 1 – паропровод; 2 и 3 – сухой и мокрый безнапорный конденсатопроводы; 4 – воздушная труба; 5 – котел; 6 – отопительный прибор; 7 – вентиль; 8 – гидравлический затвор

денсата, и в системах высокого давления между отопительным прибором и конденсатоотводчиком; см. рис. 11.1, б – 11.3);

б) *мокрыми безнапорными*, по которым конденсат перемещается самотеком при полном заполнении трубопровода (конденсатопроводы в системах отопления низкого давления, расположенные ниже уровня стояния конденсата; см. рис. 11.1, а);

в) *мокрыми напорными*, по которым перемещается конденсат с помощью насоса либо за счет остаточного давления пара (см. рис. 11.2 и 11.3);

г) *напорными двухфазными (эмульсионными)*, по которым конденсат перемещается совместно с пролетным паром и паром вторичного вскипания (конденсатопровод в системах парового отопления высокого давления между конденсатоотводчиком и конденсатным баком или расширительным бачком; см. рис. 11.3).

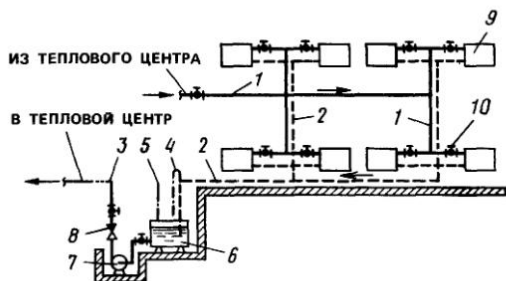


Рис. 11.2. Схема системы парового отопления низкого давления разомкнутой открытой со средней разводкой паропровода и сухим конденсатопроводом

1 — паропровод; 2 и 3 — сухой и мокрый напорный конденсатопроводы; 4 и 5 — воздушная и атмосферная трубы; 6 — конденсатный бак; 7 — насос; 8 — обратный клапан; 9 — отопительный прибор; 10 — вентиль

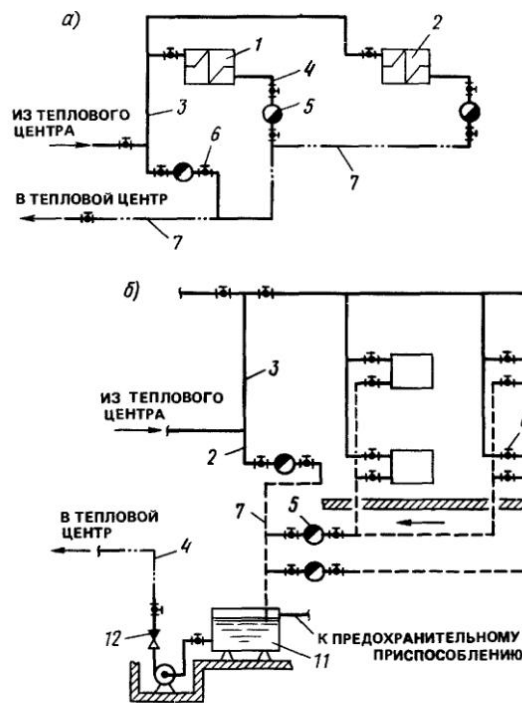


Рис. 11.3. Схемы закрытых систем парового отопления высокого давления замкнутой (а) и разомкнутой (б)

1 и 2 — первая и вторая системы отопления, 3 — паропровод; 4, 7, 8 — мокрый напорный, двухфазный и сухой конденсатопроводы; 5 — конденсатопроводчик; 6 — вентиль; 9 — отопительный прибор; 10 — воздушная труба, 11 — конденсатный бак, 12 — обратный клапан

11.2. Указания по выбору систем и схем парового отопления

Вакуум-паровые системы отопления в СССР не применяются из-за сложности устройства и эксплуатации. Однотрубные вертикальные системы также не получили распространения вследствие возникновения в них гидравлических ударов и значительного шума.

Выбор систем отопления низкого или высокого давления определяется источником пароснабжения, требованиями по ограничению максимальной температуры на поверхности отопительных приборов и прочностными характеристиками теплоиспользующих аппаратов.

Паро- и конденсатопроводы систем парового отопления с радиаторами, конвекторами и другими отопительными приборами, а также систем для производственных нужд должны быть самостоятельными, не связанными с трубопроводами агрегатов воздушного отопления, вентиляционных камер и горячего водоснабжения.

Рекомендуется отдавать предпочтение вертикальным двухтрубным системам с верх-

ней разводкой паропровода.

При невозможности прокладки паропровода на чердаке или под потолком верхнего этажа здания допускается средняя или нижняя разводка паропровода. При этом стояки, по которым образующийся конденсат направляется против движения пара, должны иметь высоту не более 6 м.

Горизонтальные однотрубные проточные системы следует применять в одно- и двухэтажных зданиях объемом до 5000 м³, не требующих регулировки температуры помещений.

Системы парового отопления низкого давления устраивают, как правило, тупиковыми. В системах отопления при избыточном давлении пара более 0,03 МПа (0,3 кгс/см²) рекомендуется предусматривать попутное движение пара и конденсата в магистральных.

В системах парового отопления возврат конденсата осуществляется по замкнутой или разомкнутой схеме. Непосредственный возврат конденсата в котел по замкнутой схеме в системах низкого давления возможен в тех случаях, когда высота столба конденсата H между уровнем стояния конденсата в конденсатопроводе и серединой паросборника (см. рис. 11.1, а) с запасом 0,25 м уравнивает давление пара в котле.

Требуемая высота столба конденсата H , м, определяется по формуле

$$H = \frac{p_{изб} \cdot 10^6}{\rho \cdot g} + 0,25 \quad (11.1)$$

$$(H = \frac{p_{изб} \cdot 10^4}{\gamma} + 0,25),$$

$p_{изб}$ — избыточное давление пара в котле, МПа (кгс/см²); ρ — плотность конденсата, кг/м³; g — ускорение свободного падения, м/с²; γ — удельный вес конденсата, кг/м³.

Избыточное давление пара в котле 0,01 МПа (0,1 кгс/см²) уравнивается (без запаса) столбом конденсата высотой 1 м.

В системах отопления высокого давления применяют, как правило, разомкнутые схемы возврата конденсата, используя пролетный пар

и пар вторичного вскипания, образующийся в расширительных бачках и конденсатных баках (рис. 11.4).

Замкнутые схемы в системах высокого давления могут применяться, когда сумма величин остаточного и гидростатического давления обеспечивает следующие минимальные скорости движения конденсата в трубах различного диаметра:

D_p , мм	15	20	25	32	40 и более
v , м/с	0,3	0,65	0,8	1	1,5

Системы парового отопления низкого давления устраивают по открытой схеме.

Возврат конденсата в системах отопления высокого давления во избежание повышенной коррозии труб следует производить по закрытой схеме. Открытые схемы допускаются применять лишь в особых случаях. При закрытых схемах конденсатные баки не должны иметь атмосферных труб. В баках предусматривается избыточное давление около 0,005–0,015 МПа (0,05–0,15 кгс/см²), которое ограничивается предохранительным приспособлением.

11.3. Конструктивные указания

Принципы трассировки сети трубопроводов по зданию те же, что и при водяном отоплении. Магистральные паропроводы в зданиях выше двух этажей во избежание боль-

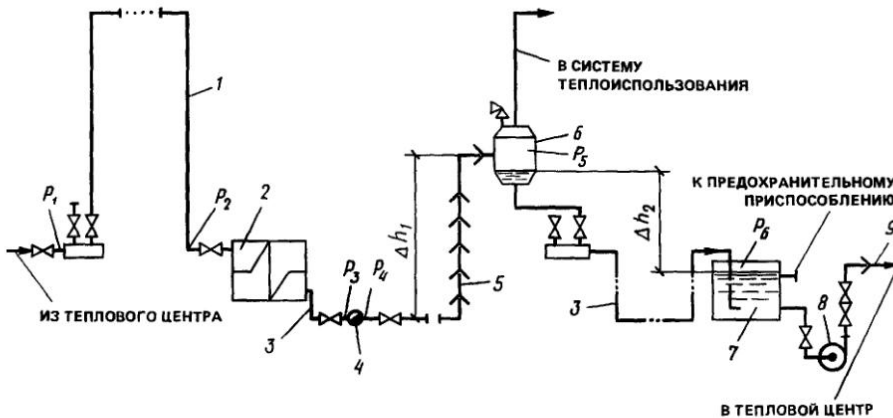


Рис. 11.4. Схема использования пара вторичного вскипания

1 — паропровод; 2 — система высокого давления; 3, 5, 9 — сухой, двухфазный и паропровод; 4 — конденсатоотводчик; 6 — расширительный бачок; 7 — конденсатный бак; 8 — насос

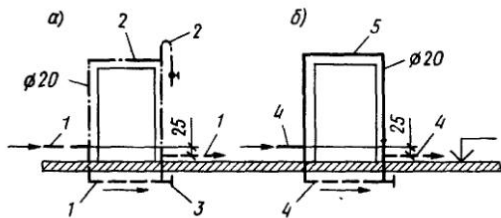


Рис. 11.5. Схема устройства обводных линий у дверей и проемов при мокрых конденсатопроводах (а) и при паровых магистралях в сухих конденсатопроводах (б)

1 — мокрый конденсатопровод; 2 — воздушная труба; 3 — тройник с пробкой для спуска воды и грязи; 4 — паро- или конденсатопровод; 5 — обводной трубопровод

ших теплопотерь рекомендуется прокладывать под потолком одного из этажей (средняя разводка).

Прокладку трубопроводов, как правило, применяют открытую. Скрытая прокладка допускается при технико-экономическом обосновании.

Обводные паро- и конденсатопроводы вокруг дверей, ворот и проемов устраивают по схемам, приведенным на рис. 11.5.

Воздух из паровых систем отводят через воздушные трубки ($d_y = 15$ мм) с кранами, установленными в конечных точках самотечных конденсатопроводов и перед конденсатоотводчиками.

Осушку паровых магистралей осуществляют в местах подъемов, при нижней разводке — в конце паропровода, применяя для этого конденсатоотводчики или гидравлические затворы (в системах отопления низкого давления).

Уклоны магистральных паропроводов по направлению движения пара принимают не менее 0,002, против движения — не менее 0,006; для конденсатопроводов — не менее 0,002. Уклон ответвлений к отопительным приборам должен составлять 10 мм на всю длину подводки.

Способы компенсации тепловых удлинений описаны в п. 10.6.6, противопожарные требования приведены в п. 10.6.4.

В системах парового отопления предусматривают следующую запорно-регулирующую арматуру.

У местных отопительных приборов (теплообменников) устанавливают:

а) в системах отопления высокого давления — вентиль на паровой подводке и конденсатоотводчик на конденсатной подводке или вен-

тиль при применении группового конденсатоотводчика;

б) в системах отопления низкого давления — вентиль на паровой подводке и тройник с пробкой на конденсатной подводке.

У калориферов устанавливают:

а) на паровых подводках к каждому ряду калориферов — воздушный кран и вентиль (кроме первого ряда по ходу холодного воздуха в вентиляционных системах), а также один общий вентиль для выключения установки в целом;

б) на общем конденсатопроводе — воздушный и спускной краны, а также конденсатоотводчик с комплектом вентиля.

На вводах трубопроводов в здание и отдельных ветвях системы отопления устанавливают паровые вентиля для полного или частичного ее выключения.

В горизонтальных однотрубных проточных системах отопления устанавливают вентиля в начале и конце этажных веток. В системах отопления зданий выше четырех-пяти этажей предусматривают запорные вентиля и краны со штуцерами для спуска конденсата из стояков системы.

На стояках, расположенных на лестничных клетках, запорные вентиля рекомендуется устанавливать независимо от количества этажей.

11.4. Расчет паропроводов

11.4.1. Общие сведения

Обозначения расчетных давлений в паро- и конденсатопроводе приведены на рис. 11.4.

Давление пара p_1 в начале паровой магистрали или у котла принимают:

а) в замкнутой системе парового отопления низкого давления с непосредственным возвратом конденсата в котел в зависимости от длины l паропровода от ввода или котла до наиболее удаленного отопительного прибора:

при $l < 100$ м	$p_1 = 0,005$ МПа (0,05 кгс/см ²);
« $l = 100$ м	$p_1 = 0,005 - 0,01$ МПа (0,05–0,1 кгс/см ²);
« $l = 100 - 200$ м	$p_1 = 0,01 - 0,02$ МПа (0,1–0,2 кгс/см ²);
« $l = 200 - 300$ м	$p_1 = 0,02 - 0,03$ МПа (0,2–0,3 кгс/см ²).

При использовании калориферов применяют более высокое давление — до 0,07 МПа (0,7 кгс/см²);

б) в системах отопления высокого давления – в соответствии с давлением на вводе в здание, но не более допустимого для применяемого оборудования.

Давление пара p_2 , МПа (кгс/см²), перед расчетным отопительным прибором до вентиля в системах отопления низкого давления без конденсатоотводчиков следует принимать:

а) при самотечном конденсатопроводе $p_2 \leq 0,002$ (0,02);

б) при напорном конденсатопроводе $p_2 = p_3/0,95$, где p_3 – давление в конденсатопроводе после отопительного прибора.

При наличии конденсатоотводчиков $p_2 = p_4/0,4$, однако оно должно быть не менее 0,035 МПа, где p_4 – давление в конденсатопроводе после конденсатоотводчика.

Давление пара, МПа (кгс/см²), перед расчетным теплообменником до вентиля в системах отопления высокого давления принимают $p_2 = p_4/0,7$.

Максимальные значения температуры пара, допускаемые в системах отопления в зависимости от назначения и характера отапливаемых помещений, приведены в п. 7.2, предельные скорости пара в системах отопления – в табл. 11.1.

ТАБЛИЦА 11.1
ПРЕДЕЛЬНЫЕ СКОРОСТИ ПАРА В СИСТЕМАХ ОТОПЛЕНИЯ

Диаметры трубопроводов (условные), мм	Предельные скорости пара, м/с, при давлении на вводе, МПа (кгс/см ²)		
	до 0,07 МПа (0,7 кгс/см ²) при движении пара и конденсата		
	попутном	встречном	
15	14	10	25
20	18	12	40
25	22	14	50
32	23	15	55
40	25	17	60
50	30	20	70
Более 50	30	20	80

Примечание. Предельные скорости движения пара в системах с давлением на вводе более 0,07 МПа (0,7 кгс/см²) при встречном движении пара и конденсата следует принимать с коэффициентом 0,7 от значений, приведенных в таблице для попутного движения.

Скорость движения пара в подъемных стояках, где он перемещается против потока конденсата, не должна превышать 0,1–0,14 м/с.

Потери давления, Па (кгс/см²), в паропроводах определяют по формуле

$$\Delta p = k \Sigma (Rl + z), \quad (11.2)$$

где R – удельные потери давления на трение (на 1 м длины участка паропровода), Па; l – длина участка расчетной ветви паропровода, м; z – потери давления на местные сопротивления, Па; $k = 1$ – при определении потерь давления в единицах системы СИ и $k = 0,1$ – в единицах системы МКГСС.

В системах отопления высокого давления потери давления на местные сопротивления могут быть заменены потерей давления на трение в трубе эквивалентной длины $l_{\text{экв}}$, м (см. табл. II.7 прил. II). Тогда

$$\Delta p = k \Sigma [R(l + l_{\text{экв}})] = k \Sigma (Rl_{\text{прив}}). \quad (11.3)$$

За длину расчетной ветви считают длину паропровода от ввода или котла до наиболее удаленного отопительного прибора (теплообменника).

Значения коэффициентов местных сопротивлений приведены в табл. II.10–II.21.

Потери давления на местные сопротивления ориентировочно принимают в зависимости от общих потерь давления в расчетной ветви паропровода: 35% – в системах отопления низкого давления, 20% – в системах отопления высокого давления. Удельные потери давления на трение рекомендуется принимать: для труб начальных участков – выше $R_{\text{ср}}$, для труб конечных стояков – ниже $R_{\text{ср}}$.

Невязка расчетных потерь давления в системах парового отопления не должна превышать 15% для паропроводов и 10% для конденсатопроводов. Для преодоления сопротивлений, не учтенных расчетом, необходимо оставлять запас давления до 10% расчетного.

11.4.2. Расчет паропроводов систем отопления низкого давления

Ориентировочную среднюю удельную потерю давления на трение на 1 м длины паропровода, Па/м (для расчета по табл. II.4), определяют по формуле

$$R_{\text{ср}} = \frac{0,9p_1 - p_2}{k \Sigma l} \frac{100 - \eta}{100}, \quad (11.4)$$

где p_1 и p_2 – давление пара в начале и конце паропровода, Па (кгс/м²); Σl – длина паропровода, м; 0,9 – коэффициент, учитывающий ориентировочный запас в принятом располагаемом давлении; $k = 1$ – при определении давления пара в единицах системы СИ и $k = 0,1$ – в единицах системы МКГСС; η – доля потерь на местные сопротивления, %.

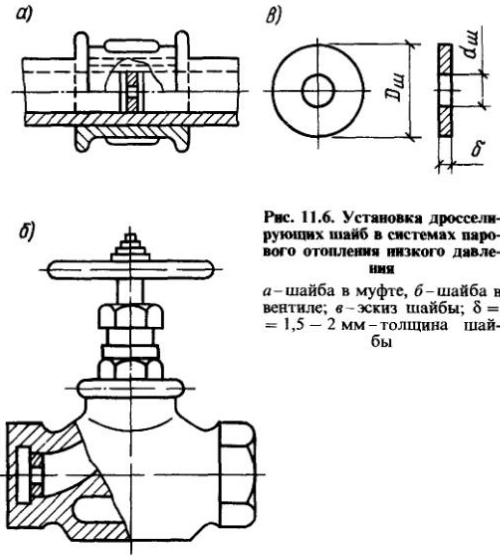


Рис. 11.6. Установка дроселирующих шайб в системах парового отопления низкого давления

а - шайба в муфте, б - шайба в вентиле; в - эскиз шайбы; $\delta = 1,5 - 2$ мм - толщина шайбы

Потери давления на местные сопротивления принимают по табл. П.5, потери на трение - по табл. П.4.

Примечание. Паропроводы с начальным давлением в системе $p_1 > 0,02$ МПа ($0,2$ кгс/см²) рассчитывают по методу и таблицам высокого давления.

Для уравнивания потерь давления в паропроводах устанавливают дроселирующие шайбы (рис. 11.6):

а) на стояках - по одной для всех приборов данного стояка;

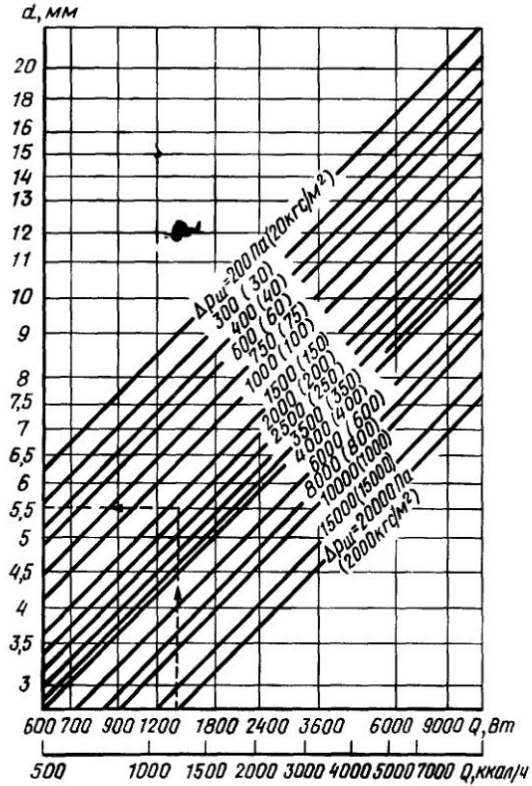


Рис. 11.8. Система парового отопления низкого давления (к примеру расчета П.1)

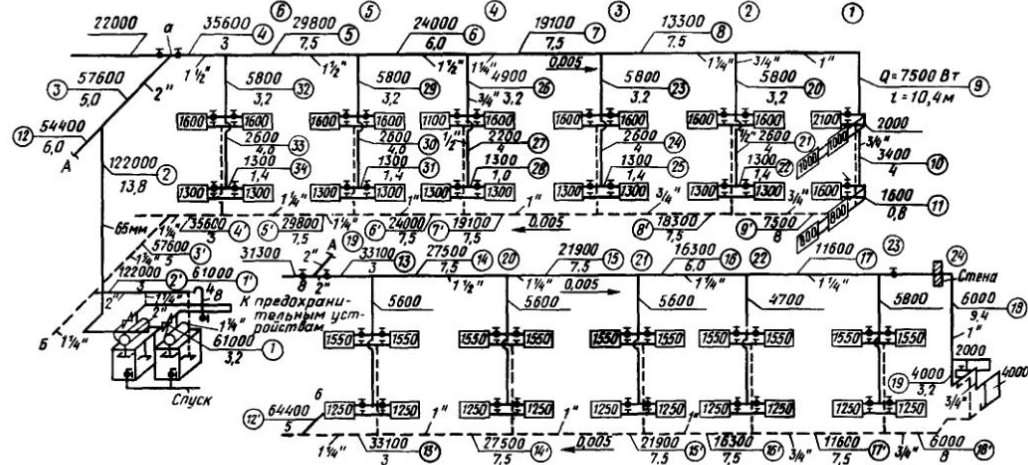


Рис. 11.7. Номограмма для определения диаметров отверстий шайб в зависимости от количества теплоты Q , проходящей по паропроводу

№ участка	Тепловая нагрузка $Q, \text{Вт}$	Намечено						Изменено								
		длина участка $l, \text{м}$	условный диаметр $d_n, \text{мм}$	скорость движения пара $v, \text{м/с}$	удельная потеря давления на трение $R, \text{Па/м}$	потеря давления на трение $Rl, \text{Па}$	сумма коэффициентов местных сопротивлений $\Sigma \zeta$	потеря давления в местных сопротивлениях $z, \text{Па}$	условный диаметр $d_n, \text{мм}$	скорость движения пара $v, \text{м/с}$	удельная потеря давления на трение $R, \text{Па/м}$	потеря давления на трение $Rl, \text{Па}$	сумма коэффициентов местных сопротивлений $\Sigma \zeta$	потеря давления в местных сопротивлениях $z, \text{Па}$	Разность в потерях давления по сравнению с первоначальными, Па	
1	2	3	4	5	6	7	8	9	10	11	12	13	14	15	16	17

$$p_{12-19} = 1966 + 1847 = 3913 \text{ Па};$$

$$p_{3-11} = 2559 + 2738 = 5297 \text{ Па (избыток давления)}.$$

Вносим изменения в расчетные данные участка 15, тогда

$$p_{12-19} = 3913 + 327,6 = 4240 \text{ Па} \quad 5297 \text{ Па}.$$

$$\text{Стояк 4 } p_{7-11} = 1560,4 \text{ Па}$$

26	4900	3,2	20	10	65	208	1,5	47,5
27	2200	4	15	8,13	65	260	5	105,0
28	1300	1	15	4,74	24	24	7,8	55,5
		8,2				492		208,0

$$\Delta p = 1560,4 - (492 + 208) = 850,4 \text{ Па (избыток давления)}.$$

Диаметр отверстия дроссельной шайбы $d = 12 \text{ мм}$ (см. рис. 11.7).

11.4.3. Расчет паропроводов систем отопления высокого давления

При расчете паропроводов первоначально рассчитывают конденсатопровод и определяют давление в начале конденсатопровода, а затем давление перед теплообменником, необходимое как минимальное. Теплообменник и конденсатоотводчик экономически целесообразно выбирать по давлению сверх минимального, однако это вызывает увеличение диаметров парового и конденсатопроводов. Если давление пара перед теплообменником задано, в первую очередь рассчитывают паропровод.

При расчете паропроводов потери теплоты, Вт (ккал/ч), неизолированным паропроводом вычисляют по формуле¹

$$Q_{\text{пот}} = 5,82 d_n l \quad (11.5)$$

$$(Q_{\text{пот}} = 5 d_n l),$$

где d_n — наружный диаметр паропровода, мм; l — длина паропровода, м.

Средняя удельная потеря давления на трение, Па/м, для расчета по табл. П.4 состоит:

$$R_{\text{ср}} = \frac{(0,9p_1 - p_2)\rho_{\text{ср}} \cdot 100 - \eta}{\Sigma l} \cdot \frac{100 - \eta}{100} \quad (11.6)$$

$$\left(R_{\text{ср}} = \frac{(0,9p_1 - p_2)\gamma_{\text{ср}} \cdot 100 - \eta}{0,1 \Sigma l} \cdot \frac{100 - \eta}{100} \right),$$

где p_1 и p_2 — давление пара в начале и конце паропровода, Па (кгс/м^2); $\rho_{\text{ср}}$ — плотность пара, кг/м^3 , соответствующая среднему давлению пара $(p_1 + p_2)/2$, Па; η — доля потерь на местные сопротивления, %; Σl — длина паропровода, м; $\gamma_{\text{ср}}$ — удельный вес пара, кг/м^3 , соответствующий среднему давлению пара $(p_1 + p_2)/2$, (кгс/м^2).

Потери давления на трение принимают по табл. П.6.

Длину трубопровода, эквивалентную потерям давления на местные сопротивления, определяют по табл. П.7.

Пример 11.2. Рассчитать паропровод для схемы системы отопления, приведенной на рис. 11.9.

Давление пара в начале паропровода $p_1 = 0,5 \text{ МПа}$, перед теплообменником не менее $p_2 = 0,2 \text{ МПа}$.

Длина паропровода в расчетной ветви $\Sigma l = 230 \text{ м}$ (паропровод не изолирован).

Решение. Среднее давление пара (при $\rho_{\text{ср}} = 2,37 \text{ кг/м}^3$ и $\gamma_{\text{ср}} = 2124 \text{ кДж/кг}$)

$$p_{\text{ср}} = \frac{0,5 + 0,2}{2} = 0,35 \text{ МПа}.$$

Среднее условное падение давления на трение на

¹ Могут быть также определены по табл. П.23.

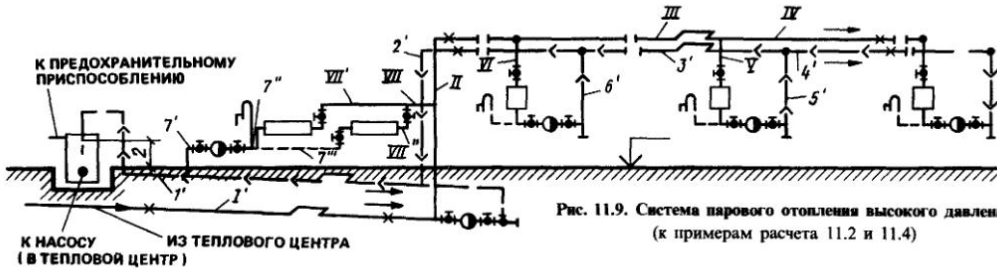


Рис. 11.9. Система парового отопления высокого давления (к примерам расчета 11.2 и 11.4)

$$R_{cp} = \frac{(0,9 \cdot 0,5 - 0,2) \cdot 2,37 \cdot 100 - 20}{230} \cdot \frac{100 - 20}{100} = 0,00206 \text{ МПа} = 2060 \text{ Па.}$$

Потери давления на местные сопротивления приняты равными 20%.

Ориентируясь на среднее условное удельное падение давления 2060 Па и расход пара G , кг/ч, на отдельных участках паропровода, находим по табл. П.6 диаметр паропровода, скорость пара и потери давления на трение для каждого участка паропровода

Далее определяем истинные значения скорости пара и потерь давления на участках, разделив их найденные

условные значения на величину ρ_{cp} участков. Расчет паропровода сведен в табл. 11.3.

Участок IV. Первая строка - IV пр (предварительный расчет). В качестве первого приближения в графе 7 принято $\rho_{cp} = 0,35$ МПа, определенное для всего паропровода, так как ρ_1 на участке IV первоначально неизвестно

$G_{кон}$ (графа 3) определяется по величине $r_{cp} = 2124$ кДж/кг. Значения d_v (графа 11) и R' (графа 10) принимают, ориентируясь на $R_{cp} = 2060$ Па $Q_{пот}$ (графа 12) рассчитывают по l и d_v , соответствующему d_v (на участке IV $Q_{пот} = 5,82 \cdot 76 \cdot 45 = 19800$ Вт).

Значения l_{max} (графа 16) определяют по d_v (графа 11) и $\Sigma \zeta$ (графа 15); R (графа 18) - по R' (графа 10) и ρ_{cp} (графа 8).

Вторая строка - IV пр (предварительный расчет). В

ТАБЛИЦА 11.3

ГИДРАВЛИЧЕСКИЙ РАСЧЕТ ПАРОПРОВОДОВ СИСТЕМ ОТОПЛЕНИЯ ВЫСОКОГО ДАВЛЕНИЯ (РАСЧЕТНЫЙ БЛАНК)

№ участка	Тепловая нагрузка конечного участка (с учетом потерь теплоты на последующих участках) $Q_{кон}$, Вт	Расход пара в конце участка $G_{кон} = (Q_{кон} / 3,6) / r_{cp}$, кг/ч	Длина участка l , м	Давление, МПа			Плотность пара ρ_{cp} , кг/м ³	Теплота испарения r , кДж/кг	Потеря на трение на 1 м при $\rho = 0,08$ МПа R^1 , Па
				в конце участка ρ_2	в начале участка ρ_1	среднее ρ_{cp}			
IVпр	523400	890	45	-	-	0,35	2,37	2124	750
IVпр	523400	870	45	0,2	0,219	0,21	1,67	2164	700
IVок	523400	870	45	0,2	0,226	0,213	1,69	2163	700
IIIпр	1070900	1820	45	-	-	0,35	2,37	2124	3000
IIIпр	1070900	1800	45	0,226	0,293	0,26	1,92	2149	3000
IIIок	1070900	1800	45	0,226	0,309	0,268	1,96	2147	3000
IIпр	1617500	2740	30	-	-	0,35	2,37	2124	2850
IIпр	1617500	2740	30	0,309	0,352	0,331	2,27	2130	2850
IIок	1617500	2740	30	0,309	0,354	0,332	2,28	2129	2850
Iпр	1812700	3070	110	-	-	0,35	2,37	2124	1200
Iпр	1812700	3090	110	0,354	0,432	0,393	2,58	2115	1230
Iок	1812700	3090	110	0,354	0,427	0,391	2,57	2115	1230

$\Sigma l = 230$

Запас $[(0,5 - 0,427) : 5] 100 = 14,6\%$

Vпр	523400	870	10	0,2	0,226	0,213	1,69	2163	700
Vок	523400	870	10	0,215	0,226	0,221	1,73	2161	700
VIпр	523400	880	10	0,2	0,309	0,255	1,9	2150	3500
VІок	523400	880	10	0,27	0,309	0,29	2,07	2141	3500
VIIпр	178900	300	5	0,2	0,375	0,288	2,06	2141	4000
VІІок	178900	300	5	0,361	0,375	0,368	2,46	2120	4000
VII'пр	87200	147	19	0,2	0,361	0,281	2,03	2143	2650
VII'ок	87200	148	19	0,328	0,361	0,344	2,34	2126	2700
VII''пр	87200	147	5	0,2	0,361	0,281	2,03	2143	2650
VII''ок	87200	148	5	0,347	0,361	0,354	2,39	2124	2700

Продолжение табл. 11.3

№ участка	d_n или d_s , мм	Теплопотери паропровода $Q_{пот} = 5,82d_n l$, Вт	Расчетная тепловая нагрузка на участке $Q_p = Q_{пот} + 0,5Q_{пот}$, Вт	Расчетное количество пара на участке $G = (Q_p = 3,6)r_{cp}$, кг/ч	Сумма местных сопротивлений $\Sigma \zeta$	Длина трубопровода, эквивалентная местным сопротивлениям $l_{экв}$, м	$l_{прив} = l + l_{экв}$, м	Истинная потеря давления на трение, Па		Скорость пара, м/с	
								на 1 м $R = R' r_{cp}$	общая на весь участок $R/l_{прив}$	v' при $p = 0,08$ МПа	истинная $v = v'/r_{cp}$
1	11	12	13	14	15	16	17	18	19	20	21
IVпр	65	19800	533300	905	6	16,4	61,4	316	19430	–	–
IVпр	65	19800	533300	890	6	16,4	61,4	419	25700	–	–
IVок	65	19800	533300	890	6	16,4	61,4	414	25400	61,6	36,4
IIIпр	65	19800	1080800	1832	3,1	8,2	53,2	1266	67340	–	–
IIIпр	65	19800	1080800	1811	3,1	8,2	53,2	1563	81330	–	–
IIIок	65	19800	1080800	1812	3,1	8,2	53,2	1531	81430	127	64,8
IIпр	80	15500	1625300	2755	1,8	6,1	36,1	1203	43410	–	–
IIпр	80	15500	1625300	2750	1,8	6,1	36,1	1256	45320	–	–
Iок	80	15500	1625300	2750	1,8	6,1	36,1	1250	45130	138	60,5
Iпр	100	69000	1847200	3130	10	44,1	154,1	506	78030	–	–
Iпр	100	69000	1847200	3150	10	44,1	154,1	476	73500	–	–
Iок	100	69000	1847200	3150	10	44,1	154,1	479	73750	103	40,1
Vпр	65	4400	525600	875	6	16,4	26,4	414	10930	–	–
Vок	65	4400	525600	875	6	16,4	26,4	405	10670	61,6	36,4
VIпр	50	3300	525100	880	6	11,1	21,1	1842	38870	–	–
VIок	50	3300	525100	885	6	11,1	21,1	1691	35680	113	54,6
VIIпр	32	1100	179500	300	2	2,1	7,1	1942	13790	–	–
VIIок	32	1100	179500	305	2	2,1	7,1	1630	11545	91,9	37,4
VIIпр	25	3500	88950	150	8	6,6	25,6	1305	33420	–	–
VIIок	25	3500	88950	151	8	6,6	25,6	1154	29540	66,5	28,4
VIIIпр	25	930	87670	147	7	5,8	10,8	1305	14094	–	–
VIIIок	25	930	87670	149	7	5,8	10,8	1130	12200	66,5	28,4

графе 5 дано минимально необходимое давление в конце участка. В графе 6 указано давление, требуемое в начале участка (с учетом $Rl_{прив} = 19430$ Па по строке 1).

В графах 8 и 9 приведены r_{cp} и r_{cp} , соответствующие среднему давлению 0,21 МПа (графа 7).

$Q_{кон}$ (графа 3) и Q_p (графа 14) уточняются по r_{cp} (графа 9) R (графа 18) определяется с учетом r_{cp} (графа 8).

Третья строка – IV ок (окончательный расчет).

В графе 6 указывается давление, которое (с учетом $Rl_{прив} = 257$ Па по строке 2) требуется в начале участка для обеспечения в конце участка давления 0,2 МПа.

Участки III, II, I рассчитывают аналогично, по количеству теплоты в конце каждого участка иренимается с учетом потерь теплоты на последующих участках.

Участок V (расчет ответвлений от магистрали). В графе 5 строки 1 указывается минимальное необходимое давление 0,2 МПа. Затем аналогично указанному выше находят истинную общую потерю давления на участке 10930 Па. Учитывая давление в начале участка 0,226 МПа, получим фактическое давление в конце данного участка 0,215 МПа, которое принимаем как исходное для расчета теплообменника.

Аналогично рассчитывают участки VI, VII, VIII и VIII. Если давление, полученное в конце какого-либо участка, окажется при расчете теплообменника чрезмерно большим, его снижают дросселирующей шайбой.

Примечание. Для расчетов, не требующих особой точности, можно пренебречь потерей теплоты трубопроводами, в этом случае не нужно заполнять графы 12, 13, 14 и изменять величины $Q_{кон}$ в графе 2 и $Q_{пот}$ в графе 3.

Если эти потери составляют более 5% теплопотерь помещения, в котором проходят трубопроводы, то учет их в тепловом балансе помещений обязателен.

11.5. Расчет конденсатопроводов

При возврате конденсата через напорный конденсатопровод, общий для систем парового отопления различного давления, необходимо соблюдать следующие условия:

1) в месте слияния конденсата обеспечивать одинаковое давление, передаваемое из различных систем отопления;

2) в местах слияния конденсата на конденсатопроводах устанавливать клапаны, регулирующие давление «после себя»;

3) для замера давлений после клапанов необходимо устанавливать штуцера для присоединения подводящих трубок от манометров;

4) при расчете напорных и двухфазных конденсатопроводов ориентировочные потери давления на местные сопротивления принимать равными 20% общих потерь в конденсатопроводе.

Потери давления на местные сопротивления в напорных и двухфазных конденсатопроводах рекомендуется определять, заменяя их эквивалентными (по потере давления) длинами трубопровода по табл. II.9. При расчете этих конденсатопроводов следует предусматривать запас давления в расчетной ветви наиболее удаленного теплообменника до 30%.

11.5.1. Сухие и мокрые безнапорные конденсаторы

Диаметры безнапорных конденсаторов систем парового отопления низкого давления определяют по табл. 11.4.

ТАБЛИЦА 11.4

ДИАМЕТРЫ СУХИХ И МОКРЫХ БЕЗНАПОРНЫХ КОНДЕНСАТОПРОВОДОВ СИСТЕМ ПАРОВОГО ОТОПЛЕНИЯ НИЗКОГО ДАВЛЕНИЯ

Условный диаметр труб D_p , мм	Тепловой поток, кВт, выделенный при конденсации пара на участках конденсаторов				
	сухого		мокрого горизонтального или вертикального при общей длине участков, м		
	горизонтального	вертикального	до 50	50-100	более 100
15	4,65	6,98	32,56	20,93	9,30
20	17,45	25,59	81,41	52,34	29,08
25	32,56	48,85	145,88	93,04	46,52
32	79,08	116,30	314,01	203,53	98,86
40	120,95	180,27	436,13	290,75	133,75
50	250,05	372,16	755,95	465,20	250,05
60	581,50	872,25	1744,50	1221,15	581,50
80	872,25	1302,56	2616,75	1744,50	872,25
100	1453,75	2151,55	4070,50	2674,90	1453,75

Диаметры горизонтальных участков сухого конденсатора системы парового отопления низкого давления применительно к примечанию 11.1 приведены в табл. 11.5.

ТАБЛИЦА 11.5

ДИАМЕТРЫ ГОРИЗОНТАЛЬНЫХ УЧАСТКОВ СУХОГО КОНДЕНСАТОПРОВОДА

№ участка	Тепловая нагрузка, Вт	Диаметр конденсаторов, мм	№ участка	Тепловая нагрузка, Вт	Диаметр конденсаторов, мм
9'	7500	20	1'	61000	32
8'	13300	20	18'	6000	20
7'	19100	25	17'	11600	20
6'	24000	25	16	16300	25
5'	29800	32	15	21900	25
4'	35600	32	14'	27500	25
3'	57600	32	13'	33100	32
2'	12000	40	12'	64400	32

При определении диаметров безнапорных конденсаторов систем парового отопления низкого давления принимают не геометрическую длину участков трубопровода, а расчетную их длину l_p , м, рассчитываемую по формуле

$$l_p = Kl, \quad (11.7)$$

где K – коэффициент, учитывающий местные сопротивления: для участков магистралей $K = 1,1$, для прочих участков $K = 1,5$; l – геометрическая длина участка конденсатора, м.

11.5.2. Напорные конденсаторы

Расчетный объем конденсата, л/ч, для каждого участка конденсаторов определяют по формуле

$$V_k = \frac{4,5Q_{нач}}{r_{cp} \rho_k} \quad (11.8)$$

$$\left(V_k = \frac{1,25Q_{нач}}{r_{cp} \gamma_k} \right),$$

где $Q_{нач}$ – тепловая нагрузка в начале соответствующего участка паропровода, Вт (ккал/ч); r_{cp} – теплота испарения при среднем давлении на соответствующем участке паропровода, кДж/кг (ккал/кг) (см. табл. I.3); ρ_k – плотность конденсата, принимаемая равной 1 кг/л; γ_k – удельный вес конденсата, принимаемый равным 1 кг/л; 4,5 (1,25) – коэффициент, учитывающий увеличение количества конденсата в период прогрева системы.

Тепловая нагрузка, Вт (ккал/ч), в начале паропровода находят по формуле

$$Q_{нач} = Q_{кон} + Q_{пот}, \quad (11.9)$$

где $Q_{кон}$ – тепловая нагрузка конечного участка паропровода, Вт (ккал/ч); $Q_{пот}$ – потеря теплоты на участке неизолированного паропровода, Вт (ккал/ч).

При расчете конденсаторов, выполняемом до расчета паропроводов, принимают:

а) потери теплоты на участках неизолированного паропровода:

d , мм	15-20	25-50	> 50
$Q_{пот}$, Вт (ккал/ч)	$0,1Q_{кон}$	$0,03Q_{кон}$	$0,02Q_{кон}$

б) теплоту испарения:

при паре низкого давления	$r_{cp} = 2268$ кДж/кг (540 ккал/кг);
при паре высокого давления	$r_{cp} = 2142$ кДж/кг (510 ккал/кг).

Давление, МПа (кгс/см²), в расширительном баке (см. рис. 11.4) определяют по формуле

$$p_5 = p_6 + 0,01\Delta h + \Delta p \quad (11.10)$$

$$(p_5 = p_6 + 0,1\Delta h + \Delta p),$$

где p_6 – давление в конце конденсатора, МПа

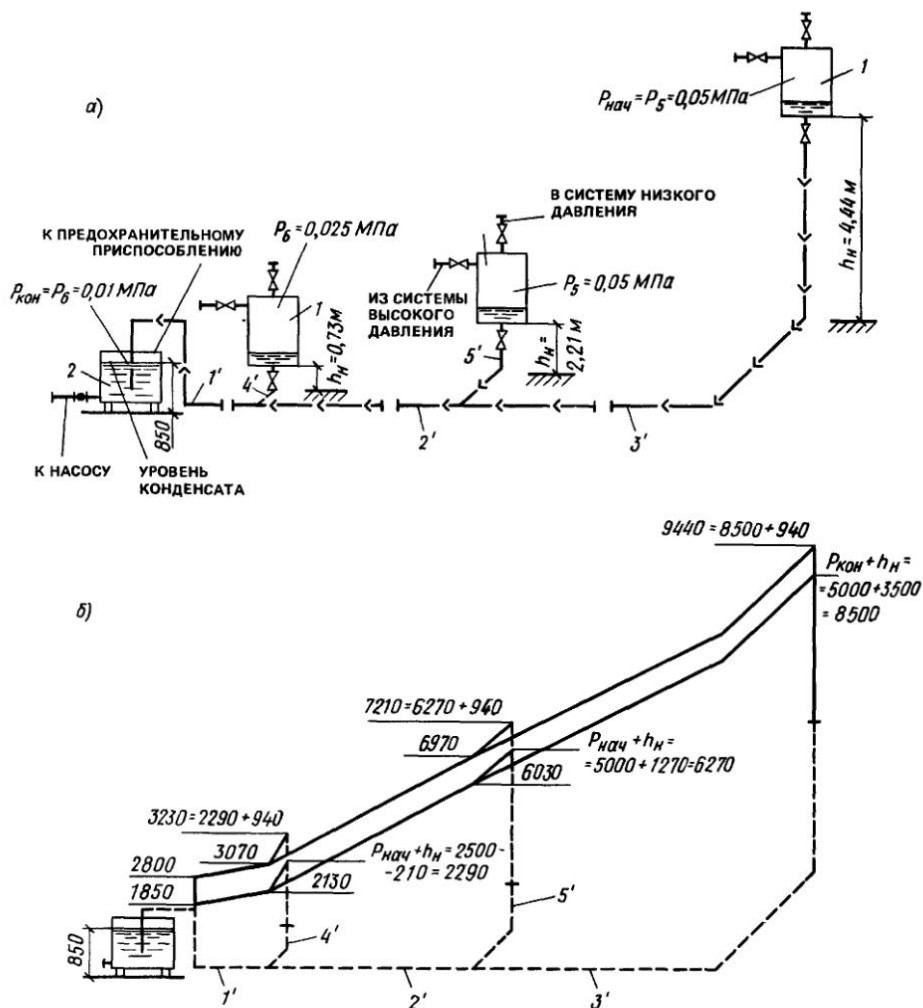


Рис. 11.10. Схема напорного конденсатопровода (а) от параллельно работающих расширительных бачков и пьезометрический график (б)

1 расширительный бачок, 2 – конденсатный бак

(кгс/см²), при возврате конденсата в открытый конденсатный бак $p_6 = 0$; Δh – разность отметок конца и начала конденсатопровода, м (со знаками плюс или минус в зависимости от соотношения величин отметок), Δp – потеря давления на трение и местные сопротивления в конденсатопровode (от расширительного бачка до конденсатного бака), МПа (кгс/см²)

Давление в расширительном бачке принимают не более 0,05 МПа (0,5 кгс/см²).

Давление в начале каждого рассчитываемого участка конденсатопровода определяют по формуле (11.10), считая, что входящие в нее

величины относятся не ко всему конденсатопроводу, а к данному участку.

Диаметры напорных конденсатопроводов следует определять по табл. 11.8. Скорости движения конденсата в напорных конденсатопроводах принимают максимально возможными по располагаемому напору.

Пример 11.3. Рассчитать напорный конденсатопровод для схемы, показанной на рис. 11.10

Для всех участков конденсатопровода заданы значения V_k и l , которые приведены в графах 2 и 8 табл. 11.6, а для участка 1', кроме того, давление в конденсатном баке $p_6 = p_{кон}$, указанное в графе 13 табл. 11.6

ГИДРАВЛИЧЕСКИЙ РАСЧЕТ НАПОРНЫХ КОНДЕНСАТОПРОВОДОВ (РАСЧЕТНЫЙ БЛАНК)

№ участ- ка	2	3	4	5	6	7	8	9	10	11	12	МПа		14	15							
												$\Delta p = R l_{\text{прод}}$	$\Delta h = h_c - h_n$									
$V_k = \frac{4,5 Q_{\text{max}}}{L \sqrt{P_k}}$	$v, \text{ м/с}$	$D, \text{ мм}$	$R, \text{ Па/м}$	$\Sigma \zeta$	$l_{\text{зад}}$	l	$l_{\text{прод}}$	$\Delta p = R l_{\text{прод}}$	$\Delta h = h_c - h_n$	$\Delta h \times 10^{-5}$	P_6 ($P_{\text{рас}}$)	P_5 ($P_{\text{мин}}$)	Запас давления									
															МПа							
Расчет магистрального конденсатопровода																						
1'	4320	40	0,945	425	1,5	1,52	5	6,52	0,0028	850	0,0085	0,01	0,0213	Показан на								
2	2870	32	0,913	512	1,5	1,18	75	76,18	0,0390	0	0	0,0213	0,0603	пьезометрах								
3'	1320	25	0,623	310	8,0	4,82	75	79,82	0,0247	-3500	-0,0350	0,0603	0,500	9400 - 8500 =								
															= 940 мм							
															9440 - 100 =							
															= 10%							
															0,0665		-0,0265		0,01		0,0500	
															Расчет ответвлений							
4'	1450	25	0,68	370	4,0	2,41	2	4,41	0,0016	+210	+0,0021	0,0213	0,025									
5'	1550	25	0,729	425	4,5	2,71	3	5,71	0,0024	-1270	0,0127	0,0603	0,050									

Примечания: 1. Расчеты конденсатоотводчиков до расширительного бабка, а также систем, использующих пар вторичного вскипания и пролетный пар из расширительных бабков, в данном примере не рассматриваются.

2. Длины $l_{\text{зад}}$ эквивалентные потерям в местных сопротивлениях, принимают по табл. П 9

Давления в расширительных баках приняты: на участках Z' и S' (в целях возможно более низкой их установки) — предельно допустимые $p_5 = p_{\text{max}} = 0,05$ МПа; на участке Z'' (при заданной по конструктивным соображениям высоте расположения бака $h_n = 0,73$ м) $p_5 = p_{\text{нач}} = 0,025$ МПа. На участке I' $h_n = 850$ мм. Конденсатопровод расположен непосредственно над полом.

Решение. Результаты расчета конденсатопровода сводят в бланк (табл. 11.6).

Высоты расположения расширительных бачков должны быть:

на участке Z' : $h_n = 2470 + 6030 - 5000 = 3500$ мм; для запаса устанавливают бачок на высоте 4440 мм (запас 940 мм);

на участке S' : $h_n = 240 + 6060 - 5000 = 1270$ мм; для запаса устанавливают бачок на высоте 2210 мм (запас 940 мм);

на участке Z'' : $h_n = 160 + 2430 - 2500 = -210$ мм; для запаса устанавливают бачок на высоте, 730 мм [запас $730 - (-210) = 940$ мм].

Высоту установки бачков условно вычислили от поверхности пола до их дна, учитывая, что бачки могут быть заполнены конденсатом на 20% объема. Это компенсирует превышение оси конденсатопровода над полом.

11.5.3. Двухфазные конденсатопроводы

Расчетный объем конденсата, л/ч, для каждого участка конденсатопровода определяют по формуле

$$V_k = \frac{Q_{\text{нач}} \cdot 3,6}{r_{\text{ср}} \rho_k} \quad (11.11)$$

$$\left(V_k = \frac{Q_{\text{нач}}}{r_{\text{ср}} \gamma_k} \right).$$

Условные обозначения те же, что и в формуле (11.8).

Начальное давление, МПа (кгс/см²), после конденсатоотводчика или подпорной шайбы, устанавливаемых за теплообменником, определяют по формуле

$$p_4 = p_5 + 0,01 \Delta h + \Delta p \quad (11.12)$$

$$(p_4 = p_5 + 0,1 \Delta h + \Delta p),$$

где p_5 — давление в конце конденсатопровода или в расширительном бачке (либо в цеховом конденсатном баке, обозначаемое в этом случае p_6), МПа (кгс/см²).

Давление в начале каждого рассчитываемого участка конденсатопровода определяют по формуле (11.12), считая, что входящие в нее величины относятся не ко всему конденсатопроводу, а к данному участку. При этом вместо p_4 указывают $p_{\text{нач}}$, а вместо p_5 (или p_6) — $p_{\text{кон}}$.

Диаметры двухфазных конденсатопроводов определяют так же, как и диаметры напорных конденсатопроводов, с пересчетом по формуле

$$d_{\text{см}} = \mu d_k, \quad (11.13)$$

где d_k — диаметр конденсатопровода, принимаемый по табл. П.8 прил. П; μ — поправочный коэффициент, принимаемый по табл. 11.7.

ТАБЛИЦА 11.7

ЗНАЧЕНИЯ ПОПРАВОЧНОГО КОЭФФИЦИЕНТА

Давление пара перед теплообменником p_2 , МПа	Значения μ при давлении в конце расчетного участка конденсатопровода p_4 , МПа													
	0	0,01	0,02	0,03	0,04	0,05	0,06	0,07	0,08	0,09	0,1	0,15	0,2	
0,01	1,4													
0,02	1,6	1,4												
0,03	1,7	1,6	1,3											
0,04	1,8	1,7	1,5	1,3										
0,05	1,9	1,8	1,6	1,5	1,3									
0,06	1,9	1,8	1,7	1,6	1,4	1,3								
0,07	2,0	1,9	1,8	1,7	1,6	1,4	1,2							
0,08	2,0	1,9	1,8	1,7	1,6	1,5	1,4	1,2						
0,09	2,1	2,0	1,9	1,8	1,7	1,6	1,5	1,4	1,2					
0,1	2,1	2,0	1,9	1,8	1,8	1,7	1,6	1,5	1,4	1,2				
0,15	2,25	2,2	2,1	2,0	1,9	1,9	1,8	1,8	1,7	1,6	1,6			
0,2	2,3	2,25	2,2	2,1	2,1	2,0	1,9	1,9	1,8	1,8	1	1,5		
0,25	2,4	2,3	2,25	2,25	2,2	2,1	2,1	2,0	1,9	1,9	1,8	1,6	1,4	
0,3	2,5	2,4	2,3	2,25	2,25	2,2	2,2	2,1	2,0	2,0	1,9	1,8	1,6	
0,35	2,5	2,5	2,4	2,3	2,25	2,25	2,25	2,2	2,1	2,1	2,0	1,8	1,7	
0,4	2,6	2,5	2,5	2,4	2,3	2,25	2,25	2,5	2,2	2,1	2,1	1,9	1,8	
0,5	2,6	2,6	2,5	2,5	2,4	2,4	2,3	2,3	2,25	2,25	2,25	2,0	1,9	

При использовании формулы (11.13) потери давления, подсчитанные для случая перемещения конденсата, остаются неизменными и при перемещении двухфазной смеси.

При ориентировочных расчетах, когда не требуется увязка давлений в местах слияния двухфазной смеси, диаметры конденсатопроводов систем парового отопления высокого давления принимают по табл. 11.4, как для мокрых безнапорных конденсатопроводов.

Максимальную высоту подъема конденсата после конденсатоотводчиков принимают не более 8 м.

Пример 11.4. Рассчитать двухфазный конденсатопровод для закрытой схемы системы отопления (см. рис. 11.9).

Тепловая нагрузка $Q_{\text{нач}} = Q_{\text{кон}} + Q_{\text{пот}}$, Вт. Теплоу испарения по участкам конденсатопровода и давление перед теплообменниками p_2 принимают по табл. 11.3. Давление в конденсатном баке $p_{\text{кон}} = 0,025$ МПа.

Решение. Результаты расчета конденсатопровода сводят в бланк (табл. 11.8). Расчет начинают с участка с

наибольшей тепловой нагрузкой. Величину $p_{\text{нач}}$ определяют как сумму величин, указанных в графах 13, 14 и 16:

$$p_{\text{нач}} = \Sigma R_{\text{общ}} + p_{\text{кон}} + \Sigma(h_x - h_n)0,01 = 0,1079 + 0,025 - 0,601 = 0,1229 \text{ МПа.}$$

Величина $p_{\text{нач}}$ представляет собой давление, которое должно быть предусмотрено после конденсатоотводчика в начале участка 4'.

При $p_{\text{нач}} = 0,1229$ МПа давление перед теплообменником $p_2 = 0,1229 : 0,7 = 0,176$ МПа (минимально необходимое). Согласно расчету паропровода, фактически располагаемое в конце участка IV давление $p_2 = 0,2$ МПа.

В графе 18 перед чертой приведены минимально требуемые давления, за чертой – располагаемые давления (по расчету паропроводов).

Коэффициенты μ (графа 19) для участков I' – 4' определены при $p = 0,2$ МПа и $p_{\text{кон}}$ на участках. По коэффициентам μ определены $d_{\text{см}}$ (графа 20).

ТАБЛИЦА 11.8

ГИДРАВЛИЧЕСКИЙ РАСЧЕТ ДВУХФАЗНЫХ КОНДЕНСАТОПРОВОДОВ (РАСЧЕТНЫЙ БЛАНК)

№ участка	$Q_{\text{нач}} = Q_{\text{кон}} + Q_{\text{пот}}$, Вт	$r_{\text{ср}}$, кДж/кг	$G_x = 3,6 \times Q_{\text{нач}} / (r_{\text{ср}} \times \rho_x)$, кг/ч	d_x , мм	v , м/с	R , Па/м	$\Sigma \zeta$	$L_{\text{экв}}$, м	l , м	$l_{\text{прив}} = l_{\text{экв}} + l$, м
1	2	3	4	5	6	7	8	9	10	11
1'	1881734	2117	3210	32	1,02	640	3	2,35	47	49,35
2'	1632619	2129	2770	32	0,88	475	5	3,92	70	73,92
3'	1090661	2150	1830	32	0,585	210	4	3,14	45	48,14
4'	543121	2171	903	20	0,753	675	15	6,06	40	46,06
5'	527769	2167	880	20	0,733	640	10	4,04	12	16,04
6'	526839	2142	888	20	0,739	650	10	4,04	12	16,04
7'	180032	2125	305	15	0,576	700	9	2,05	10	12,05
7''	90714	2134	154	15	0,291	185	9	2,05	3	5,05
7'''	88155	2129	149	15	0,281	162	9	2,05	17	19,05

Продолжение табл. 11.8

№ участка	$\Delta p = R l_{\text{прив}}$		$p_{\text{кон}}$, МПа	$\Delta h = h_x - h_n$, м	0,01 Δh , МПа	$p_{\text{нач}}$, МПа	Давление перед теплообменником требуемое (располагаемое), МПа	μ	$d_{\text{см}}$, мм
	Па	МПа							
1	12	13	14	15	16	17	18	19	20
1'	31584	0,0316	0,025	2	0,02	0,0766	0,176(0,2)	2,15	70
2'	35112	0,0351	0,0766	- 6	- 0,06	0,0517	0,176(0,2)	1,83	60
3'	10109	0,0101	0,0517	-	-	0,0618	0,176(0,2)	1,98	60
4'	31091	0,0311	0,0618	3	0,03	0,1229	0,176(0,2)	1,90	40
5'		0,1079	0,025		- 0,01	0,1229			
6'	10266	0,0103	0,0618	3	0,03	0,1021	0,146(0,215)	1,93	40
7'	10426	0,0104	0,0517	3	0,03	0,0921	0,132(0,270)	2,15	40
7''	8435	0,0084	0,0766	- 1	- 0,01	0,0750	0,107(0,361)	2,15	32
7'''	934	0,0009	0,0750	- 1	- 0,01	0,0659	0,094(0,328)	2,10	20
7''''	3086	0,0031	0,0750	- 1	- 0,01	0,0681	0,097(0,347)	2,15	20

Аналогично определены диаметры труб на участках 5' – 7'.

Ввиду того что на участках 7', 7'' и 7''' при $d_k = 15$ мм получены малые скорости, соответствующие диаметры $d_{см}$ приняты с некоторым уменьшением.

11.6. Указания по выбору и расчету оборудования систем парового отопления

Указания по выбору, размещению и расчету отопительных приборов даны в гл. 9

11.6.1. Устройства для удаления конденсата

Для удаления конденсата от потребителей пара применяются термодинамические и поплавковые конденсатоотводчики (см. прил. IX), гидравлические затворы (рис. 11.11), а также подпорные шайбы (рис. 11.12). Рекомендуется использовать преимущественно термодинамические конденсатоотводчики, которые устойчиво работают при начальном давлении свыше 0,1 МПа (1 кгс/см²) и противодавлении до 50% начального давления. При установке термодинамических конденсатоотводчиков следует предусматривать надежное удаление воздуха из системы, так как попадание его под тарелку снижает работоспособность конденсатоотводчика.

При начальном давлении менее 0,1 МПа (1 кгс/см²) рекомендуется устанавливать конденсатоотводчики с опрокинутым поплавком (конденсационные горшки), которые надежно работают при перепаде давлений более 0,05 МПа (0,5 кгс/см²) при постоянном и переменном режимах расходования пара.

Конденсатоотводчики подбирают, как правило, по условной пропускной способности $K_{гп}$, т/ч, которая определяется в зависимости от расчетного расхода жидкости через конденсатоотводчик и перепада давления на нем.

При подборе всех типов конденсатоотводчиков расчетное количество «горячего» конденсата следует принимать:

а) после теплопотребляющих аппаратов $G = 1,2 G_{\max p}$, где $G_{\max p}$ – максимальный расчетный расход пара, т/ч;

б) для дренажа паропроводов $G = 2G_{\max k}$, где $G_{\max k}$ – максимальное количество конденсирующегося пара на дренируемом участке паропровода, т/ч.

Давление пара перед конденсатоотводчи-

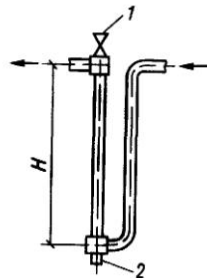


Рис. 11.11. Гидравлический затвор

1 – кран для продувки, 2 – пробка для спуска грязи

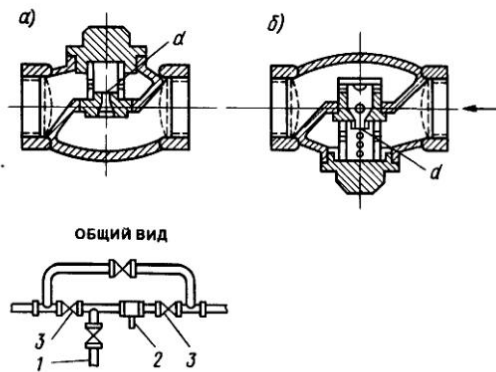


Рис. 11.12. Установка подпорных шайб без обратного клапана (а), с обратным клапаном (б)

1 – контрольный штуцер $d_s = 15$ мм, 2 – подпорная шайба, 3 – вентили

ком p_3 , МПа (кгс/см²), как правило, следует принимать равным 95% давления пара перед теплопотребляющим аппаратом p_2 , за которым устанавливается конденсатоотводчик, т е $p_3 = 0,95p_2$.

При определении давления пара перед конденсатоотводчиками, установленными в отдалении от теплопотребляющих аппаратов, следует учитывать потери давления в трубопроводе на участке между аппаратом и конденсатоотводчиком.

После конденсатоотводчика давление p_4 в трубопроводе принимается:

а) при выдавливании конденсата – не более 50% давления пара после теплопотребляющего аппарата, за которым установлен конденсатоотводчик, $p_4 = 0,5p_3$;

б) при свободном сливе конденсата на выходе из трубопровода $p_4 = 0,01$ МПа (0,1 кгс/см²);

в) при сливе конденсата в открытый бак $p_4 = 0,02$ МПа (0,2 кгс/см²).

Условная пропускная способность $K_{гп}$, т/ч,

конденсатоотводчиков определяется по формулам:

а) для термодинамических конденсатоотводчиков

$$K_{vy} = \frac{10 G}{A \sqrt{\Delta p \rho_k}} \quad (11.14)$$

$$\left(K_{vy} = \frac{G}{A \sqrt{\Delta p \gamma_k}} \right),$$

где G – расчетный расход «горячего» конденсата, т/ч; Δp – перепад давлений на конденсатоотводчике, МПа (кгс/см²); ρ_k – плотность конденсата, протекающего через конденсатоотводчик при температуре конденсата t_k , кг/м³; γ_k – удельный вес конденсата, (г/см³); A – коэффициент, учитывающий температуру конденсата и перепад давлений на конденсатоотводчике, принимаемый по рис. 11.13;

б) для конденсатоотводчиков с опрокинутым поплавком при $t_k/t_n = 0,85 \div 1$

$$K_{vy} = \frac{20 G}{\sqrt{\Delta p \rho_k}} \quad (11.15)$$

$$\left(K_{vy} = \frac{2 G}{\sqrt{\Delta p \gamma_k}} \right),$$

где t_n – температура насыщенного пара, °С;

в) для конденсатоотводчиков с опрокинутым поплавком при $t_k/t_n < 0,85$

$$K_{vy} = \frac{10 G}{\sqrt{\Delta p \rho_k}} \quad (11.16)$$

$$\left(K_{vy} = \frac{G}{\sqrt{\Delta p \gamma_k}} \right)$$

Расчитанный K_{vy} не должен превышать максимального значения, указанного в технических данных конденсатоотводчиков.

Конденсатоотводчики с открытым поплавком подбирают по их предельной производительности G , кг/ч, определяемой по формуле

$$G = \frac{3,2 d^2 \sqrt{\Delta p \rho_k}}{k} \quad (11.17)$$

$$\left(G = \frac{32 d^2 \sqrt{\Delta p \gamma_k}}{k} \right),$$

где d – диаметр клапанного отверстия, принимаемого по техническим характеристикам, мм; k – поправочный коэффициент: $k = 3,5$ при перепаде давлений до 0,2 МПа и $k = 4$ при перепаде давлений свыше 0,2 МПа (2 кгс/см²).

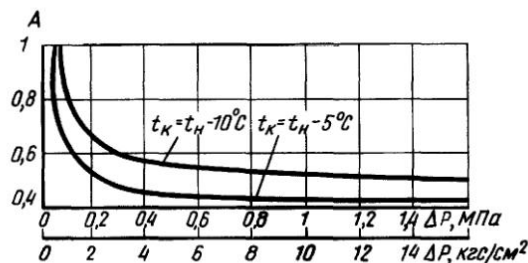


Рис. 11.13. Зависимость коэффициента A от перепада давлений на конденсатоотводчике при температуре конденсата t_k на 5 и 10°С ниже температуры насыщения пара t_n

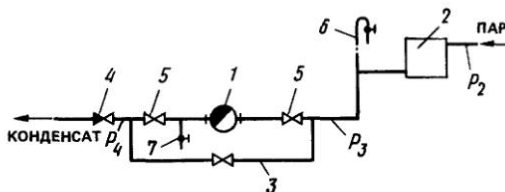


Рис. 11.14. Схема установки конденсатоотводчика
1 – конденсатоотводчик; 2 – теплообменный аппарат; 3 – обводной трубопровод; 4 – обратный клапан, устанавливаемый при подъеме конденсата; 5 – вентиль; 6 – воздушная труба; 7 – контрольный спускник

Конденсатоотводчики следует размещать после теплопотребляющих аппаратов ниже точек отбора конденсата и соединять с ними вертикальными или горизонтальными трубопроводами с уклоном не менее 0,01 в сторону конденсатоотводчика (рис. 11.14).

Диаметры вентиля в обвязке конденсатоотводчика должны соответствовать диаметру входного отверстия конденсатоотводчика. Обратный клапан после обвязки конденсатоотводчика предусматривается при сбросе конденсата в общий конденсатопровод, когда в трубопроводе сброса конденсата имеется противодавление, или при подаче конденсата в паропровод более низкого давления.

Гидравлические затворы изготавливают из труб. Они предназначены для отвода конденсата из паропроводов систем парового отопления низкого давления при давлении пара до 0,05 МПа (0,5 кгс/см²).

Высота защитного столба конденсата в гидрозатворе h_z должна приниматься в зависимости от давления в точке присоединения гидрозатвора p :

p , МПа	0,01	0,02	0,03	0,04	0,05
h_z , м	1,2	2,25	3,3	4,4	5,5

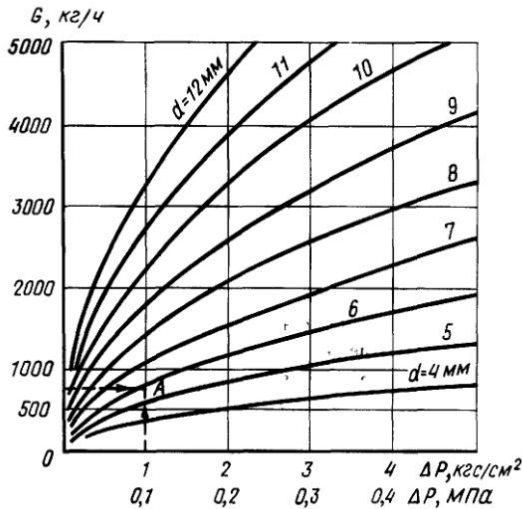


Рис. 11.15. Номограмма для определения диаметра отверстия d подпорной шайбы

Диаметр труб гидрозатвора d , мм, принимают исходя из условия пропуска максимального количества конденсата со скоростью 0,2–0,3 м/с, а при свободном сливе конденсата определяют по формуле

$$d = 25 \sqrt{G}, \quad (11.18)$$

где G – расчетный расход конденсата, т/ч.

В отдельных случаях для отвода конденсата от теплообменных аппаратов при давлении после них до 0,6 МПа (6 кгс/см²), когда колебание расхода пара не превышает 30%, допускается применять подпорные шайбы. Подпорные шайбы не применяются для дренирования конденсата из паропроводов и если при уменьшении тепловой нагрузки сокращается площадь теплоотдающей поверхности теплообменного аппарата.

Диаметр отверстия $d_{ш}$, мм, подпорной шайбы для конденсата с $\rho = 1000$ кг/м³ определяют по номограмме (рис. 11.15) или по формуле

$$d_{ш} = 0,12 \sqrt[4]{\frac{G^2}{\Delta p}} \quad (11.19)$$

$$\left(d_{ш} = 0,21 \sqrt[4]{\frac{G^2}{\Delta p}} \right),$$

где G – расход конденсата, кг/ч; Δp – разность давлений до и после шайбы, МПа (кгс/см²): $\Delta p = p_3 - p_4$.

Схема установки подпорной шайбы приведена на рис 11.12.

Пример 11.5. Подобрать конденсатоотводчик для системы парового отопления при следующих условиях: максимальное расчетное количество пара $G_{\max \rho} = 0,60$ т/ч, давление пара перед отопительными приборами $p_2 = 0,4$ МПа, конденсат после конденсатоотводчика поступает в конденсатопровод с противодавлением $p_4 = 0,16$ МПа, $t_c = 108,7^\circ\text{C}$, $\rho_c = 953$ кг/м³.

Решение. Принимаем расчетное количество конденсата $G = 1,2 G_{\max \rho} = 1,2 \cdot 0,60 = 0,70$ т/ч.

Давление пара перед конденсатоотводчиком $p_3 = 0,95 p_2 = 0,95 \cdot 0,4 = 0,38$ МПа.

Перепад давления до и после конденсатоотводчика

$$\Delta p = p_3 - p_4 = 0,38 - 0,16 = 0,22 \text{ МПа.}$$

При заданных условиях может быть использован термодинамический конденсатоотводчик, для которого условная пропускная способность равна

$$K_{vy} = \frac{10 G}{A \sqrt{\Delta p \rho_c}} = \frac{10 \cdot 0,72}{0,52 \sqrt{0,22 \cdot 953}} = 0,956 \text{ т/ч.}$$

Принимаем к установке термодинамический конденсатоотводчик типа 40ч12нж с условным проходом 20 мм, имеющий $K_{vy} = 1$.

11.6.2. Редукционные и предохранительные клапаны

Снижение давления пара в системах парового отопления может производиться с помощью редукционных клапанов типа 18ч2бк* и регуляторов давления прямого действия «после себя» типов 21Б4бк и 21ч5бк.

Редукционный клапан подбирается по площади проходного сечения f , см², рассчитываемой по формуле

$$f = G/0,6 g, \quad (11.20)$$

где G – расход пара, кг/ч; g – расход пара через 1 см² проходного сечения редукционного клапана, кг/(ч × см²), определяемый по рис. 11.16.

При подборе редукционного клапана необходимо учитывать, что одним клапаном можно снизить давление не более чем в 5 раз, т.е. $p_1/p_2 \leq 5$. При большем перепаде следует устанавливать два клапана последовательно.

На паропроводе редукционный клапан размещают между двумя запорными вентилями. За клапаном устанавливают предохранительный клапан и манометр для контроля давления в паропроводе.

Пример 11.6. Определить площадь проходного сечения редукционного клапана при $p_1 = 0,45$ МПа, $p_2 = 0,25$ МПа и $G = 450$ кг/ч. Пар насыщенный.

Решение. По номограмме из точки А (соответствующей

* В настоящее время не выпускаются.

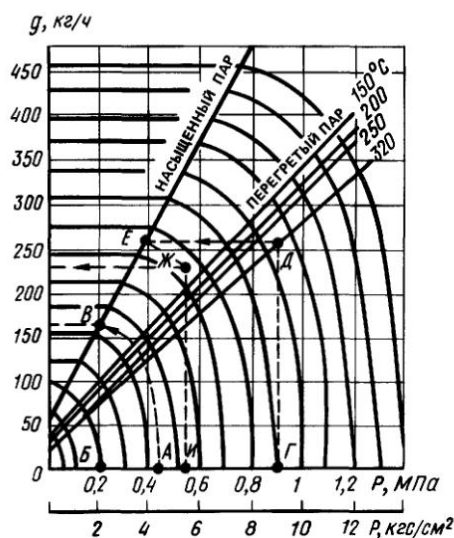


Рис. 11.16. Номограмма для подбора редукционных клапанов типа 18Ч26к

$p_1 = 0,45$ МПа) проводим кривую до пересечения с прямой, проведенной из точки Б (соответствующей $p_2 = 0,25$ МПа). Полученную точку В сносим влево и находим расход пара $g = 168$ кг/(ч·см²). Сечение клапана должно быть

$$f = \frac{G}{0,6g} = \frac{450}{0,6 \cdot 168} = 4,5 \text{ см}^2,$$

Пример 11.7. Определить площадь проходного сечения редукционного клапана при $p_1 = 0,9$ МПа, $p_2 = 0,55$ МПа и $G = 2000$ кг/ч. Температура перегретого пара 320°C.

Решение. По номограмме из точки Г (соответствующей $p_1 = 0,9$ МПа) проводим кривую ГДЕ до пересечения с прямой, проведенной из точки И (соответствующей $p_2 = 0,55$ МПа). Полученную точку Ж сносим влево и находим $g = 230$ кг/(ч·см²). Сечение клапана должно быть не менее

$$f = \frac{2000}{0,6 \cdot 230} = 14,5 \text{ см}^2.$$

Регуляторы давления следует подбирать в соответствии с указаниями ГОСТ 16443–70 «Устройства исполнительные. Методы расчета пропускной способности, выбора условного прохода и пропускной характеристики».

Для предотвращения повышения давления сверх допустимого применяют, как правило, пружинные и рычажно-грузовые предохранительные клапаны. При давлении пара до 0,05 МПа (0,5 кгс/см²) в качестве предохранительных устройств допускается использовать гидрозатворы.

Диаметр прохода предохранительного клапана d , см, определяют по формуле

$$d = \frac{0,0006 G}{h(p + 0,1)} \quad (11.21)$$

$$\left(d = \frac{0,006 G}{h(p + 1)} \right),$$

где G – наибольший расход пара, кг/ч; $h = 0,05$ – высота подъема клапана, см; p – давление пара, МПа (кгс/см²).

Диаметр предохранительного клапана должен быть не менее 40 мм, диаметр выкидной трубы – не менее диаметра самого клапана. Не разрешается устанавливать запорную арматуру на выкидной трубе.

11.6.3. Расширительные бачки и конденсатные баки

Уровень конденсата в расширительных бачках (баках-сепараторах) не должен быть выше 5 м от отметки пола помещения. При этом объем конденсата должен занимать не более 20% общего объема бачка.

Давление пара в расширительных бачках принимают в пределах 0,05 МПа (0,5 кгс/см²). Расширительные баки должны быть оборудованы предохранительными клапанами.

Объем расширительного бачка, м³, определяют по формуле

$$V = 0,0005 v G x k, \quad (11.22)$$

где v – удельный объем пара при соответствующем давлении в баке, м³/кг; G – расход конденсата во всех подключенных конденсатопроводах, кг/ч; x – массовое паросодержание конденсата в долях единицы; $x = (i_1 - i_2)/r_2$; i_1, i_2 – теплосодержание конденсата соответственно при давлении пара перед конденсатоотводчиком и в расширительном баке (энтальпия воды на линии насыщения), кДж/кг (ккал/кг); r_2 – скрытая теплота парообразования при давлении в расширительном баке, кДж/кг (ккал/кг); $k = 1,02 - 1,05$ – коэффициент, учитывающий наличие пролетного пара.

Объем конденсатных баков для сбора конденсата от местных систем отопления и перекачки его на тепловой пункт принимают равным: 15-минутному расходу при автоматическом управлении насосами и 30-минутному – при ручном управлении.

Давление паровой подушки в местных конденсатных баках принимают 0,005–0,015 МПа (0,05–0,15 кгс/см²). Водяная часть в баке должна составлять не более 80% объема бака.

11.6.4. Насосы для перекачки конденсата

Для перекачки конденсата из отдельных конденсатных баков на тепловой пункт на общем конденсатопроводе устанавливают параллельно работающие насосы (по два на каждый конденсатный бак). Подачу каждого насоса принимают равной часовому расходу конденсата.

Для перекачки конденсата из конденсатного бака в паровой котел систем отопления низкого давления устанавливают один насос подачей, равной 2-часовому расходу конденсата. Давление, МПа (кгс/см²), создаваемое насосом при перекачке конденсата в котел систем низкого давления, определяют по формуле

$$p = p_k + 0,01\Delta h + 0,1 + \Delta p \quad (11.23)$$

$$(p = p_k + 0,1\Delta h + 1 + \Delta p),$$

где p_k – давление в котле, МПа (кгс/см²); Δh – разность отметок нижнего уровня воды в конденсатном баке и уровня воды в котле или высшей точке питательного трубопровода, м; Δp – потери давления в питательном трубопроводе, МПа (кгс/см²).

Разность высот, м, между нижшим уровнем конденсата в баке и осью насоса для предупреждения кавитации должна соответствовать

$$H \geq \frac{p_n + \Delta p + (p_t - p_n) - p_{к.б}}{\rho_k g} \quad (11.24)$$

$$\left(H \geq \frac{p_n + \Delta p + (p_t - p_n) - p_{к.б}}{\gamma_k} \right),$$

где p_n – давление насыщенного пара, соответствующее температуре перекачиваемого конденсата, Па (кгс/м²) (см. прил. I); Δp – потери давления во всасывающем трубопроводе, Па (кгс/м²); p_t – давление насыщенного пара, соответствующее температуре конденсата, увеличенной на 5°, Па (кгс/м²); $p_{к.б}$ – давление над поверхностью в конденсатном баке, Па (кгс/м²); ρ_k – плотность конденсата, кг/м³; γ_k – удельный вес конденсата, кг/м³; $g = 9,81$ м/с² – ускорение свободного падения.

Если при этом величина H получится отрицательной, следовательно, для нормальной работы насоса подпор не требуется и возможна работа насоса на всасывание. Глубину всасывания в этом случае можно принимать меньшей или равной H , но не превышающей вакуумметрическую высоту всасывания, указанную в каталоге насосов.

ГЛАВА 12. ВОЗДУШНОЕ ОТОПЛЕНИЕ

12.1. Общие сведения

Воздушное отопление рекомендуется применять в производственных, общественных и административно-бытовых помещениях при рециркуляции воздуха или совмещении с системами общеобменной приточной вентиляции и кондиционирования воздуха. В помещениях категорий *A* и *B* следует проектировать воздушное отопление без рециркуляции.

Отопление может осуществляться децентрализованными или центральными системами воздушного отопления. В децентрализованных системах воздушного отопления нагрев внутреннего воздуха и циркуляция его в помещении обеспечиваются воздушно-отопительными агрегатами (см. прил. XI). В отапливаемом помещении следует устанавливать не менее двух агрегатов. Отопление агрегатами используется в тех случаях, когда отсутствует приточная вентиляция или расход приточного воздуха незначителен и не может обеспечить эффективного воздухораспределения в режиме воздушного отопления.

Воздушно-отопительные агрегаты предназначены для отопления помещений категорий *B*, *G* и *D*. При этом необходимо соблюдать требования СНиП 2.04.05–86 о возможности рециркуляции воздуха в зависимости от вида вредностей, поступающих в воздух помещений.

Основные расчетные показатели воздушно-отопительных агрегатов приведены в табл. 12.1.

Воздушное отопление агрегатами целесообразно осуществлять по одной из двух схем: путем подачи воздуха сверху наклонными струями в направлении рабочей зоны (рис. 12.1, *a*) или путем подачи воздуха выше рабочей зоны горизонтальными струями («сосредоточенная подача»), когда рабочие места находятся в зоне обратного потока воздуха (рис. 12.1, *б*). Рекомендуется применять наклонную подачу воздуха, при которой более эффективно используется номинальная теплопроизводительность агрегатов. При этом воздух следует подавать под углом 35° к горизонту, что обеспечивает максимальную дальность струи и, следовательно, обуславливает установку минималь-

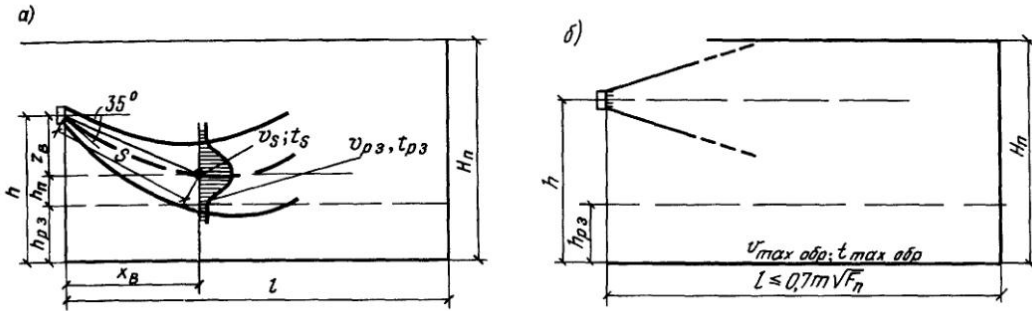


Рис. 12.1. Схемы подачи воздуха наклонными (а) и горизонтальными струями (б)

ного числа агрегатов в отапливаемом помещении

Сосредоточенная подача применяется в тех случаях, когда при наклонной подаче не удается обеспечить нормируемые параметры воз-

духа рабочей зоны или когда номинальная теплопроизводительность агрегатов при наклонной подаче используется меньше, чем при сосредоточенной.

Центральные системы воздушного отопле-

ТАБЛИЦА 12.1

ОСНОВНЫЕ РАСЧЕТНЫЕ ПОКАЗАТЕЛИ ВОЗДУШНО-ОТОПИТЕЛЬНЫХ АГРЕГАТОВ

Обозначение агрегатов (индекс)	Производительность по воздуху L_0 м ³ /ч	Теплопроизводительность $Q_{ном}$ Вт(ккал/ч), при обогреве		Избыточная температура подаваемого воздуха $\Delta t_{0 ном}$ °С	Скорость воздуха на выходе из агрегата v_{0r} м/с	Расчетная площадь воздухоораспределительного устройства F_{0r} , м ²
		паром	водой			
A02-4-01У3	4000	—	47700(41100)	35,8	4,4	0,25
A02-6-3-01У3	6300	—	74000(63700)	35,3	5,3	0,33
A02-10-01У3	10000	—	117000(100500)	34,8	5,8	0,48
A0Д2-4-01У3	4000	—	44600(38400)	33,3	4,4	0,25
A0Д2-6-3-01У3	6300	—	67600(58300)	32,1	5,2	0,34
A0Д-10-01У3	10000	—	107500(92700)	31,4	6,3	0,44
A0У2-4-01У3	3200	—	40700(35000)	40,2	3,5	0,25
A0У2-6-3-01У3	5100	—	63800(55000)	39,1	4,3	0,33
A0У2-10-01У3	8500	—	107500(92700)	37,8	5	0,55
СТД-100-01 У3 (теплоноситель пар)	8770	116300(100000)	—	39	8	0,3
СТД-100-02-У3 (теплоноситель — вода)	8490	—	112800(97000)	39	7,7	0,3
СТД-300М-01У3	28200	344000(296000)	—	34	11,7	0,67
СТД-300П	24600	—	349000(300000)	44	10,2	0,67
АПВС 50-30	3300	46500—58200	34900(30000)	41,3 — 50,7	4,15	0,22
АПВС 70-40	3900	58200 79700 (50000—68500)	45400(39000)	31 43,8 — 60 34,1	2,82	0,38
АПВС 110-80	6900	116300—128000 (100000 110000)	93000(80000)	49,5 — 54,4 39,6	3,13	0,61
АПВ 200-140	13900	163300 232600	162800(140000)	34,4 — 49,3 34,4	4,95	0,78
АПВ 280-190	18800	221000—325600 (190000—280000)	221000(190000)	34,5 — 50,8 34,5	4,03 5,11	1,3 1

Примечания: 1 Агрегаты А0Д2 и А0У2 в настоящее время не выпускаются 2 Агрегаты СТД-100-02-У3 и АПВС намечено заменить воздушно-отопительными агрегатами А02 3 Для агрегатов АПВС и АПВ приведена избыточная температура воздуха при обогреве паром (в числителе), при обогреве водой (в знаменателе) 4 Для агрегатов АПВ 280-190 в числителе приведены скорость воздуха на выходе из агрегата и расчетная площадь воздухоораспределительных устройств, изготавливаемых предприятием УВД Днепропетровской обл., в знаменателе — изготавливаемых в Псковской обл

ния или системы общеобменной приточной вентиляции, совмещенные с воздушным отоплением, следует проектировать с резервным вентилятором и электродвигателем, автоматически включающимися при остановке основного, либо предусматривать не менее двух систем, объединенных воздуховодом или коллектором.

Системы нужно рассчитывать так, чтобы при выходе из строя основного вентилятора или одной из систем теплопроизводительность оставшихся систем обеспечивала температуру воздуха в помещении, принятую для проектирования дежурного отопления, а производительность по воздуху оставшихся в работе систем приточной вентиляции, используемых для воздушного отопления, обеспечивала бы не менее 50% требуемого расхода приточного воздуха.

В центральных системах воздушного отопления воздух по воздуховодам поступает в приточные воздухораспределительные устройства, через которые выпускается в отапливаемое помещение. Воздух в помещение рекомендуется подавать одной или несколькими прямооточными горизонтальными компактными струями. Конструкция воздухораспределителя должна обеспечивать изменение угла подачи струи в вертикальной плоскости. Для установки минимального числа воздухораспре-

делительных устройств следует применять воздухораспределители с большими значениями скоростных коэффициентов m (табл. 12.2), располагая их выше рабочей зоны помещения так, чтобы обеспечивать движение обратного потока воздуха через рабочую зону. Места выпуска воздуха нужно назначать с таким расчетом, чтобы воздушные струи не встречали на своем пути массивных строительных конструкций или оборудования.

Выпуск воздуха при сосредоточенной подаче рекомендуется осуществлять при высоте помещения менее 8 м — настилающимися струями, при высоте помещения более 8 м — ненастилающимися струями на высоте не менее (см. рис. 12.1)

$$h = h_{p,z} + 0,3 \sqrt{F_n}$$

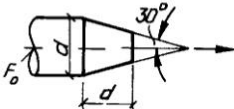
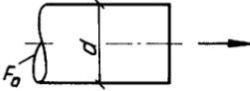
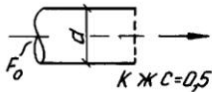
где h — расстояние от пола до места выпуска воздуха по вертикали, м; $h_{p,z}$ — высота рабочей зоны, м; F_n — площадь поперечного сечения помещения, приходящаяся на одну струю, м².

Струя настиляется на потолок при выпуске воздуха на расстоянии от пола $h > 0,85 H_n$ (где H_n — высота помещения, м). Ненастиляющаяся струя образуется при $h = (0,35-0,65) H_n$.

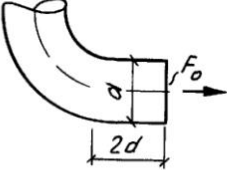
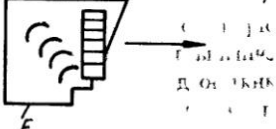
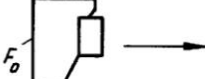
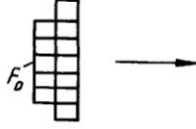
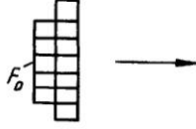
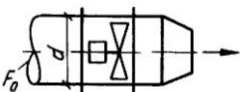
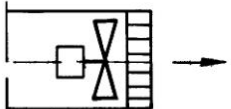
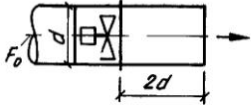
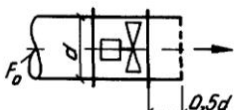
Расстояние в плане между агрегатами или воздухораспределительными устройствами при установке их в ряд принимается не более трех высот помещения. При многорядной установке

ТАБЛИЦА 12.2

СКОРОСТНЫЕ И ТЕМПЕРАТУРНЫЕ КОЭФФИЦИЕНТЫ ВОЗДУХОРАСПРЕДЕЛИТЕЛЕЙ

Тип воздухораспределителя	Схема	m	n
Цилиндрическая труба с конфузоров		7,7	5,8
Цилиндрическая труба		6,8	4,8
То же, с сеткой		6	4,5

Продолжение табл. 12.2

Тип воздухораспределителя	Схема	т	п
То же с отводом		5,4	4,1
Воздухораспределитель для подачи воздуха компактной струей типа ВГК (серия 4 904-68)		6,2	5,1
Воздухораспределитель для сосредоточенной подачи воздуха прямоструйный типа ВСП (серия 5 904-18)		5,7	3,8
Решетка воздухоприточная регулируемая типа РР (серия 1 494-8)		4,5	3,2
Решетки и сетки при коэффициенте живого сечения 0,8-0,5*		6	4,2
Конфузор за осевым вентилятором (площадь выхода 0,7 начальной)		6	4,2
Спрямяющая решетка непосредственно за осевым вентилятором		4,5	3,8
Патрубок за осевым вентилятором		3,9	2,9
Редкая сетка за осевым вентилятором в коротком патрубке		2,8	1,7

* За расчетную площадь принимается площадь сечения решетки

целесообразно применять встречную подачу воздуха.

Воздух на рециркуляцию или вытяжку рекомендуется забирать из рабочей зоны со стороны мест выпуска. Удаление воздуха или забор его на рециркуляцию из верхней зоны помещения может приводить к повышению расхода теплоты на отопление.

Как правило, системы общеобменной приточной вентиляции и кондиционирования воздуха следует совмещать с воздушным отоплением и применять их в тех случаях, когда в соответствии с обязательным приложением 10 СНиП 2.04.05–86 допускается воздушное отопление. Для помещений, работа в которых производится 8 ч и менее в сутки, совмещение указанных систем с воздушным отоплением должно быть обосновано.

Расчет совмещенных систем воздушного отопления, когда выбор схемы подачи воздуха и типоразмер воздухораспределителя обусловлены требованиями вентиляции или кондиционирования воздуха, следует проводить по данным справочника проектировщика, приведенным в главе «Организация воздухообмена и распределение воздуха в помещениях». При этом необходимо проверять расчетом соблюдение требуемых ГОСТ 12.1.005–76 и СНиП 2.04.05–86 скоростей движения воздуха и температур, когда системы работают в режиме воздушного отопления, и обеспечивать расход воздуха L_0 не менее требуемого для воздушного отопления, т. е.:

а) для вертикальной подачи воздуха вниз должно соблюдаться условие $h - h_{p,3} < 0,45 H$, где H – геометрическая характеристика приточной струи [см. формулу (12.1)]. Следовательно,

$$L_0 \geq \frac{100 (n\Delta t_0)^2 (h - h_{p,3})^4}{v_0^3 m};$$

б) для наклонной подачи воздуха в направлении рабочей зоны $h - h_{p,3} < 0,67 H \sqrt{\sin^3 \alpha}$, где α – угол подачи воздуха к горизонту. Следовательно,

$$L_0 \geq \frac{20 (n\Delta t_0)^2 (h - h_{p,3})^4}{v_0^3 (\sin^3 \alpha) m},$$

но не менее требуемого для вертикальной подачи воздуха вниз;

в) для сосредоточенной горизонтальной подачи воздуха

$$L_0 \geq \frac{0,002 (mnF_n \Delta t_0)^2}{v_0^3}.$$

12.2. Расчет систем воздушного отопления*

Наклонная подача нагретого воздуха под углом 35° к горизонту рассчитывается в следующем порядке:

1) определяют геометрическую характеристику приточной струи

$$H = 5,45 \frac{mv_0 \sqrt{F_0}}{\sqrt{n\Delta t_0}}, \quad (12.1)$$

где m и n – скоростной и температурный коэффициенты воздухораспределителя; v_0 – начальная скорость движения воздуха, отнесенная к расчетной площади воздухораспределительного устройства F_0 ; $\Delta t_0 = t_0 - t_{p,3}$ – избыточная температура подаваемого воздуха;

2) вычисляют координаты вершины приточной струи

$$X_b = 0,635 H; \quad Z_b = 0,307 H; \quad (12.2)$$

3) рассчитывают длину помещения, на которой одной приточной струей обеспечивается эффективное воздухораспределение (из условия $X_b/l = 0,3 \div 0,5$)

$$l = 1,58 H;$$

4) определяют путь струи от места истечения до вершины

$$S = 0,7 H;$$

5) рассчитывают максимальную скорость и избыточную температуру воздуха на вершине приточной струи

$$v_s = \frac{mv_0 \sqrt{F_0}}{S}; \quad (12.3)$$

$$\Delta t_s = \frac{n\Delta t_0 \sqrt{F_0}}{S}; \quad (12.4)$$

6) сопоставляют полученные значения v_s и Δt_s с нормируемыми величинами скорости и температуры воздуха рабочей зоны. Если $v_{\text{норм}} < v_s$ или $\Delta t_{\text{норм}} < \Delta t_s$, то определяют необходимое значение превышения h_n вершины струи над уровнем рабочей зоны:

$$v_{\text{норм}} = v_s e^{-74,4 (h_n/s)^2}; \quad (12.5)$$

$$\Delta t_{\text{норм}} = \Delta t_s e^{-37,2 (h_n/s)^2}; \quad (12.6)$$

* По данным ЦНИИпромзданий и институтов охраны труда ВЦСПС.

7) принимают большее из полученных значений h_n (но не более $h_n = 2$ м) и определяют высоту выпуска воздуха над уровнем пола

$$h = h_{p,з} + h_n + Z_n. \quad (12.7)$$

Сосредоточенную подачу воздуха рассчитывают по следующим зависимостям:

1) допустимая избыточная температура подаваемого воздуха

$$\Delta t_0 = 1300 \frac{v_0^2 \sqrt{F_0}}{m F_n}; \quad (12.8)$$

2) максимальная скорость движения воздуха в рабочей зоне (обратном потоке)

$$v_{\text{макс обр}} = K v_0 \sqrt{\frac{F_0}{F_n}}, \quad (12.9)$$

где K – коэффициент, принимаемый в зависимости от числа воздухо-распределителей (агрегатов), устанавливаемых в один ряд

Число воздухо-
распределителей
в ряду

	1	2	4	6	8	10	12	14	16	и более
K	1,3	1,15	1,05	1,0	0,95	0,9	0,8	0,7	0,65	

3) максимальная избыточная температура воздуха в рабочей зоне (обратном потоке)

$$\Delta t_{\text{макс обр}} = 1,4 \Delta t_0 \sqrt{\frac{F_0}{F_n}}. \quad (12.10)$$

Скоростные и температурные коэффициенты для всех типов агрегатов (кроме СТД-300М) рекомендуется принимать равными $m = 4,5$; $n = 3,8$, для агрегатов СТД-300М $m = 6$, $n = 4,5$.

Для расчета необходимы следующие исходные данные.

а) размеры отапливаемого помещения (длина L_n , ширина B_n и высота H_n);

б) удельная тепловая характеристика помещения q , рассчитанная из условия возмещения расхода теплоты, согласно СНиП 2.04.05–86, с введением дополнительного коэффициента 1,1 при сосредоточенной подаче всех агрегатов, кроме СТД-300М. При расчете централизованных систем воздушного отопления и сосредоточенной подаче воздуха коэффициент принимают равным 1,1 при заборе воздуха из верхней зоны помещения,

в) температура и скорость движения воздуха в рабочей зоне $t_{p,з}$ и $v_{\text{норм}}$ в соответствии с требованиями ГОСТ 12.1.005–76;

г) температура наружного воздуха t_n согласно СНиП 2.04.05–86.

12.2.1. Подбор воздушно-отопительных агрегатов

Рекомендуемые области применения и высота установки агрегатов приведены в табл. 12.3 и 12.4. Области применения агрегатов установлены исходя из условия полного использования их номинальной теплопроизводительности на основе расчетов воздухораспределения по серии АЗ-840 «Рекомендации по выбору отопительно-рециркуляционных агрегатов» – М., 1981.

ТАБЛИЦА 12.3

ОБЛАСТЬ ПРИМЕНЕНИЯ АГРЕГАТОВ ПРИ НАКЛОННОЙ ПОДАЧЕ ВОЗДУХА

l м	h м	Обозначение агрегата	Максимальные параметры воздуха в рабочей зоне	
			Δt °С	v м/с
6–9	4,1	А0У2-4-01У3	5	0,2
	4,4	АПВС 50-30 (пар)	6	0,25
	4,2	АПВС 70-40 (пар)	6	0,15
	3,9–3,8	АПВС 70-40 (вода)	6	0,15
	4,3	АПВС 100-80 (пар)	6	0,05
	4,2	АПВС 110-80 (вода)	6	0,1
9	4,7	А02-4-01У3	6	0,4
	4,7	А0Д2-4-01У3	6	0,4
	4,8	А0У2-6,3-01У3	6	0,25
	4,6	АПВС 50-30 (вода)	6	0,5
	5,3	АПВ 280-190 (пар)*	11	2,8
12	5,4	А02-6,3-01У3	6	0,5
	5,5	А0Д2-6,3-01У3	6	0,6
	5,3	А0У2-10-01У3	11	1,1
	5,1	АПВ 200-140 (пар)	11	1,7
	5,7	АПВ 280-190 (вода)*	11	0,7
	5,7	АПВ 280-190 (пар)**	11	0,6
15–18	5,4	А02-10-01У3	6	0,7
	5,8	АПВ 200-140 (вода)	11	1,3
	6,1	АПВ 280-190 (вода)**	11	1,2
	5,1	А0Д2-10-01У3	11	2,6
18	5,2	СТД-100-01У3	11	2,7
	5,2	СТД-100-02У3	11	2,6
	7,3	СТД-300П	11	3,1
36–60	6,9	СТД-300М-01У3	11	5

Примечания: 1 Таблица составлена при $h_n = 1$ м из условия обеспечения скорости движения воздуха в рабочей зоне не более 0,7 м/с и нормируемой разности температур $\Delta t = 6$ °С. При $\Delta t = 11$ °С постоянные рабочие места следует располагать вне зоны действия агрегата (на расстоянии не ближе $\pm 1,5$ м от вершины приточной струи в плане, т.е. $X_p = 0,535H$), а скорость движения воздуха не регламентируется. 2 Отмеченные* агрегаты АПВ 280-190 изготавливаются предприятиями УВД Днепропетровской обл., отмеченные** – Псковской обл.

ТАБЛИЦА 12.4

ОБЛАСТЬ ПРИМЕНЕНИЯ АГРЕГАТОВ ПРИ СОСРЕДОТОЧЕННОЙ ПОДАЧЕ ВОЗДУХА

$l, м$	$h, м$	$F_{пл}, м^2$	Обозначение агрегата	Максимальные параметры воздуха в рабочей зоне	
				$\Delta t, ^\circ C$	$v, м/с$
12-15	3,4	21	A02-4-01У3	5,5	0,6-0,3
	3,4	15	A0Д2-4-01У3	5	0,6-0,3
	3,3	20	АПВС 50-30	4,5	0,6-0,3
18-24	3,8	35	A02-6,3-01У3	4,8	0,7-0,35
	4,1	51	A02-01-01У3	4,7	0,75-0,35
	3,8	37	A0Д2-6,3-01У3	4,3	0,65-0,3
24-36	4,4	64	A0Д2-10-01У3	3,6	0,7-0,35
	4,5	68	СТД-100-01У3	3,6	0,7-0,35
	4,4	64	СТД-100-02У3	3,7	0,7-0,35
36-40	5,8	160	СТД-300М-01У3	3,1	1 0,5
	5,6	150	СТД-300П	4,1	0,9-0,45

Примечания: 1. Больше значение скорости движения воздуха соответствует максимальному значению K (см. стр. 143), меньшее – минимальному значению в зависимости от числа агрегатов, устанавливаемых в один ряд; 2. Агрегат АПВС 50-30 обеспечивает нормируемую разность температур не более $6^\circ C$ только при обогреве водой ($Q_{ном} = 34900 \text{ Вт}$).

Подбор агрегатов производят следующим образом:

1) назначают длину зоны обслуживания агрегатом l , исходя из размеров помещения, требуемых параметров воздуха в рабочей зоне, руководствуясь табл. 12.3 и 12.4;

2) принимают предварительно ширину зоны обслуживания $b = l$ при наклонной подаче или при сосредоточенной подаче $b = \frac{2}{H_n} \left(\frac{l}{m}\right)^2$, но не более $b = 3H_n$ для обеих схем подачи воздуха;

3) определяют объем ячейки помещения, обслуживаемой одним агрегатом, $V = lbH_n$;

4) находят требуемую теплопроизводительность агрегата Q по известным $V, q, t_{p,з}$ и t_n по формуле

$$Q = qV(t_{p,з} - t_n)$$

и принимают по ее величине предварительно тип агрегата;

5) сопоставляют требуемую теплопроизводительность с теплопроизводительностью агрегатов, рекомендуемых к применению для ячейки заданной длины по табл. 12.3 и 12.4, и принимают окончательно тип агрегата;

6) уточняют ширину зоны обслуживания по формуле

$$b_1 = \frac{Q_{ном}}{Q} b;$$

7) определяют необходимое количество агрегатов $N = \frac{L_n B_n}{lb_1}$ и, приняв ближайшее большее целое число агрегатов, корректируют ширину b . Допустимый диапазон изменения величины b при наклонной подаче $b = (0,5 - 2) l$;

8) делают окончательный расчет требуемой теплопроизводительности агрегата и температуры подаваемого агрегатом воздуха:

$$Q = \frac{qV_n(t_{p,з} - t_n)}{N};$$

$$t_0 = t_{p,з} + \Delta t_{o, ном} \frac{Q}{Q_{ном}},$$

где V_n – объем отапливаемого помещения, $м^3$.

Лучшим считается решение, при котором число агрегатов будет наименьшим, но не менее двух. Окончательный выбор следует обосновывать сопоставлением решений по приведенным затратам.

12.2.2. Расчет централизованных систем воздушного отопления

Расчет ведется для сосредоточенной подачи воздуха при условии обеспечения скорости движения воздуха в рабочей зоне не более нормируемой $v_{норм}$ и максимально допустимой температуры подаваемого воздуха.

Последовательность расчета:

1) находят требуемую площадь поперечного сечения помещения, приходящуюся на один воздухораспределитель, по формуле

$$F_{п}^{тр} = \left[\frac{A}{lmnq(t_{p,з} - t_n)} \left(\frac{v_{норм}}{K} \right)^3 \right]^2,$$

где $A = 1,57 \cdot 10^6$ при q в $Вт/(м^3 \cdot ^\circ C)$ или $A = 1,35 \cdot 10^6$ при q в $ккал/(ч \cdot м^3 \cdot ^\circ C)$; l – длина зоны, обслуживаемой одним воздухораспределителем, $м$, которая принимается не более $l = 0,7m \sqrt{F_{п}}$;

2) рассчитывают предварительно ширину зоны обслуживания одного воздухораспределителя, т.е. шаг установки воздухораспределителей

$$b = F_n / H_n$$

при соблюдении условия $b \leq 3H_n$;

3) определяют необходимое количество воздухораспределителей

$$N = \frac{L_n B_n}{lb}$$

и, приняв ближайшее большее целое число воздухораспределителей, корректируют размеры b и $F_n = b H_n$;

4) находят требуемую расчетную площадь воздухораспределителя

$$F_0^{тп} = F_n \left(\frac{v_{норм}}{v_0 K} \right)^2,$$

где v_0 принимают исходя из акустических требований к данному помещению, но не более 15 м/с. К установке следует принимать воздухораспределитель ближайшего большего типоразмера;

5) по принятым величинам F_0 и v_0 рассчитывают расход воздуха на один воздухо-распределитель

$$L_0 = 3600 F_0 v_0;$$

6) находят температуру подаваемого воздуха

$$t_0 = t_{p,з} + \frac{AqV_n(t_{p,з} - t_n)}{BL_0 N},$$

где $A = 3,6$ [$A = 1$]; $B = 1,2$ кДж/(м³·°С) [$B = 0,29$ ккал/(м³·°С)] – переводные коэффициенты.

12.3. Примеры расчета систем воздушного отопления

Пример 12.1. В цехе размером $84 \times 36 \times 12$ м ($V_n = 36288$ м³) требуется осуществить отопление агрегатами. Категория работ –тяжелая, т.е. нормируемая скорость движения воздуха в рабочей зоне должна быть не более $v_{норм} = 0,7$ м/с, а температура $t_{p,з} = 13^\circ\text{C}$. Температура наружного воздуха $t_n = -33^\circ\text{C}$. Удельная тепловая характеристика помещения $q = 0,79$ Вт/(м³·°С).

Решение. Назначают длину зоны обслуживания помещения одним агрегатом $l = 12$ м.

Принимают предварительно наклонную подачу воздуха и назначают ширину зоны обслуживания $b = l = 12$ м.

Определяют объем обслуживаемой ячейки $V = 12 \cdot 12 \cdot 12 = 1728$ м³.

Находят требуемую теплопроизводительность агрегата

$$Q = 0,79 \cdot 1728 (13 + 33) = 62800 \text{ Вт.}$$

По табл. 12.3 при $l = 12$ м выбирают агрегаты А02-6,3-01У3, номинальная теплопроиз-

водительность которых 74000 Вт (см. табл. 12.1).

Уточняют ширину зоны обслуживания

$$b_1 = \frac{74000}{62800} 12 = 14,1 \text{ м.}$$

Определяют необходимое число агрегатов

$$N = \frac{84 \cdot 36}{12 \cdot 14,1} = 17,9 \approx 18 \text{ шт.}$$

Принимают 18 агрегатов типа А02-6,3-01У3, высота установки которых по табл. 12.3 равна $h = 5,4$ мм. Ширина зоны обслуживания $b = 84/6 = 14$ м (рис. 12.2). Требуемая теплопроизводительность агрегата

$$Q = \frac{0,79 \cdot 36288 (13 + 33)}{18} = 73300 \text{ Вт.}$$

Температура подаваемого воздуха

$$t_0 = 13 + 35,3 \frac{73300}{74000} = 48^\circ\text{C.}$$

Рассмотрим решение при сосредоточенной подаче воздуха. Назначим максимальную возможную длину зоны обслуживания $l = 36$ м. Исходя из условия обеспечения максимального значения F_n , по табл. 12.3 принимаем агрегат типа СТД-300П. Так как в этом случае получается однорядная установка агрегатов, то их число определяем по формуле

$$N = \frac{L_n H_n}{F_n} = \frac{84 \cdot 12}{150} = 6,7 \approx 7 \text{ шт.}$$

Ширина зоны обслуживания составит $b = L_n/N = 84/7 = 12$ м (рис. 12.3, а).

Объем ячейки, обслуживаемой одним агрегатом, $V = 36 \cdot 12 \cdot 12 = 5184$ м³.

Высота установки агрегатов должна быть не менее $h = 2 + 0,3 \sqrt{12 \cdot 12} = 5,6$ м.

Требуемая теплопроизводительность агрегата при $q = 0,79 \cdot 1,1 = 0,87$ Вт/(м³·°С) равна

$$Q = 0,87 \cdot 5184 (13 + 33) = 207460 \text{ Вт.}$$

Следовательно, коэффициент использования номинальной производительности каждого агрегата составляет

$$\eta = Q/Q_{ном} = 207460/349000 = 0,59.$$

Сопоставляя результаты, можно сделать вывод, что наклонная подача более эффективна для отопления данного цеха. При наклонной подаче меньше расход теплоты, но требуется

установка большего числа агрегатов меньшей номинальной теплопроизводительности при большем коэффициенте использования их номинальной теплопроизводительности

$$\eta = Q/Q_{\text{ном}} = 73300/74000 = 0,99.$$

Пример 12.2. Рассчитать для условий примера 12.1 центральную систему воздушного отопления. Воздух на рециркуляцию забирается из рабочей зоны. Начальная скорость движения воздуха не более 12 м/с.

Решение. Принимаем, что воздухоораспределители типа ВГК устанавливают вдоль продольной стены цеха ($l = 36$ м).

Требуемая площадь поперечного сечения помещения, приходящаяся на один воздухоораспределитель (рис. 12.3, б),

$$F_{\text{н}}^{\text{тп}} = \left[\frac{1,57 \cdot 10^6}{36 \cdot 6,2 \cdot 5,1 \cdot 0,79 (13 + 33)} \left(\frac{0,7}{1} \right)^3 \right]^2 = 168,6 \text{ м}^2,$$

где $m = 6,2$; $n = 5,1$ (см. табл. 12.2); $K = 1$ (см. стр. 143) при предварительно принятых шести воздухоораспределителях в ряду.

Рассчитаем шаг установки воздухоораспределителей

$$b = 168,6/12 = 14,05 \text{ м}.$$

Определим необходимое количество воздухоораспределителей

$$N = \frac{84 \cdot 36}{36 \cdot 14,05} = 6 \text{ шт.}$$

Корректируем шаг установки $b = 84/6 = 14$ м

и площадь поперечного сечения помещения, приходящуюся на один воздухоораспределитель $F_{\text{н}} = 12 \cdot 14 = 168 \text{ м}^2$.

Находим требуемую расчетную площадь воздухоораспределителя

$$F_{\text{н}}^{\text{тп}} = 168 \left(\frac{0,7}{12 \cdot 1} \right)^2 = 0,57 \text{ м}^2.$$

Принимаем к установке воздухоораспределители ВГК-2 ($F_0 = 0,64 \text{ м}^2$) по типовым чертежам серии 4.904-68 (рис. 12.3, б). При этом высота установки воздухоораспределителей должна быть не менее $h = 2 + 0,3 \sqrt{168} = 5,9$ м, а скорость выпуска воздуха составит

$$v_0 = \frac{0,7}{1} \sqrt{\frac{168}{0,64}} = 11,3 \text{ м/с}.$$

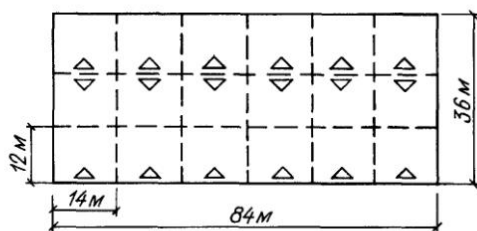


Рис. 12.2. План производственного цеха. Схема наклонной подачи воздуха агрегатами А02-6,3 01У3

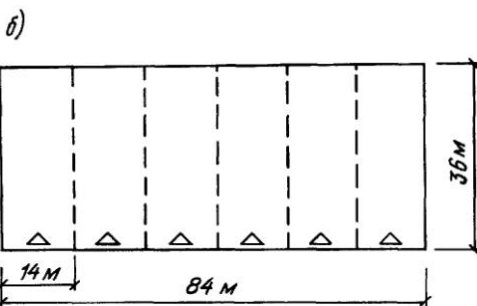
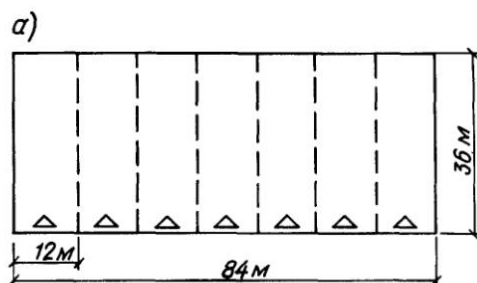


Рис. 12.3. Схемы сосредоточенной подачи воздуха агрегатами СТД-300П (а) и воздухоораспределителями ВГК-2 (б)

Расход воздуха, подаваемого одним воздухоораспределителем,

$$L_0 = 3600 \cdot 0,64 \cdot 11,3 = 26130 \text{ м}^3/\text{ч}.$$

Температура подаваемого воздуха будет равна

$$t_0 = 13 + \frac{3,6 \cdot 0,79 \cdot 36288 (13 + 33)}{1,2 \cdot 26130 \cdot 6} = 38,2^\circ\text{C}.$$

ГЛАВА 13. ПАНЕЛЬНО-ЛУЧИСТОЕ ОТОПЛЕНИЕ

13.1. Общие сведения

При панельно-лучистом отоплении средняя температура поверхностей в обслуживаемом помещении (включая температуру поверхности нагревательных приборов) выше, чем температура воздуха.

Панельно-лучистое отопление осуществляется с помощью встроенных, пристроенных или подвесных излучающих панелей. Встроенные и пристроенные излучающие панели представляют собой бетонные плиты, в массиве которых заделаны нагревательные элементы, как правило, металлические трубы. Можно также использовать полиэтиленовые трубы (из полиэтилена повышенной термостойкости), трубы из других материалов, каналы в панелях перекрытий и т. п. Бетонные отопительные панели часто совмещают с бетонными ограждающими конструкциями зданий из трехслойных плит.

Совмещение нагревательных элементов с ограждающими конструкциями повышает индустриальную готовность систем панельно-лучистого отопления с бетонными панелями, снижает металлоемкость, стоимость и трудовые затраты на их монтаж, обеспечивает повышенные санитарно-гигиенические показатели систем. Выбор способа обогрева помещений и схемы отопления с бетонными панелями зависит от конструктивно-планировочных решений зданий и технологии изготовления их элементов.

К недостаткам систем панельного отопления с нагревательными элементами в конструкциях относятся большая теплоемкость, затрудняющая индивидуальное регулирование теплоотдачи панелей, а также сложность ремонта и замены отдельных элементов системы.

В качестве теплоносителя при панельном отоплении, как правило, используется нагретая вода; можно использовать нагретый воздух в случае применения в качестве теплоотдающих плит перекрытий с пустотами. Водяные системы панельного отопления следует присоединять к источникам теплоснабжения с умягченной и деаэрированной водой, что необходимо для уменьшения внутренней коррозии труб и обеспечения длительного срока эксплуатации. Системы отопления с бетонными панелями, как правило, применяют в жилых и общественных зданиях, в промышленных зданиях – толь-

ко в случае повышенных требований к чистоте воздуха в помещениях.

Подвесные излучающие панели состоят из греющих труб, экрана и тепловой изоляции. Экран крепится к трубам прижимным или сварным способом. Системы лучистого отопления с подвесными панелями обеспечивают равномерное распределение температуры воздуха в помещении, небольшую его подвижность, сокращающую перенос пыли и других вредных веществ. Система бесшумна в работе, не занимает полезной площади в рабочей или обслуживаемой зоне помещений, имеет срок службы более 15 лет.

Расход теплоты в системах лучистого отопления с подвесными излучающими панелями в среднем меньше, чем в других системах за счет равномерного распределения и снижения температуры воздуха в помещении на 2–3°C без ухудшения теплового состояния человека. Экономия теплоты до 20%.

К недостаткам систем следует отнести повышенную по сравнению с воздушным отоплением металлоемкость (до 2,5 раза), возможность ухудшения естественного освещения помещений с верхним светом вследствие затенения световых проемов панелями, невозможность обеспечения одинаковых санитарно-гигиенических условий на рабочих местах, расположенных на разных уровнях либо затененных конструкциями или оборудованием.

В качестве теплоносителя при отоплении подвесными излучающими панелями, как правило, используется вода с температурой до 150°C; можно использовать также пар, нагретый воздух или продукты сгорания.

Системы отопления с подвесными излучающими панелями, как правило, целесообразно применять в производственных помещениях высотой до 30 м и в помещениях общественных зданий (спортивные залы, выставочные павильоны) как вновь строящихся, так и реконструируемых.

13.2. Конструкции отопительных панелей и схемы систем

В зависимости от конструктивных особенностей и способа установки различают бетон-

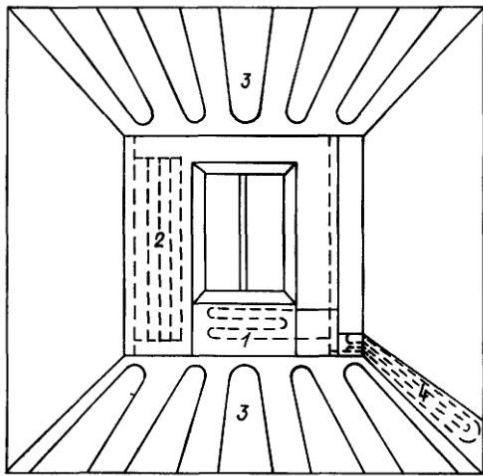


Рис. 13.1. Типы бетонных отопительных панелей
 1 – подоконная, 2 – стеновая, 3 – потолочно-напольная, 4 – плинтусная

ные панели следующих типов (рис. 13.1): стеновые (подоконные и плинтусные), потолочные, напольные. В многоэтажных зданиях панели, размещаемые в междуэтажных перекрытиях, являются потолочно-напольными

Нагревательные элементы в бетонных отопительных панелях могут быть выполнены в виде змеевика или регистра (рис. 13.2). Змеевики обладают высоким гидравлическим сопротивлением и применяются в том случае, если имеется достаточное располагаемое давление. Для уменьшения сопротивления применяют змеевики с параллельными участками. В этом случае гидравлическая характеристика параллельных участков не должна отличаться более чем на 40% при движении воды сверху вниз и на 15% при движении воды снизу вверх и в горизонтальных системах. При горизонтальной укладке змеевика скорость теплоносителя должна быть не менее 0,25 м/с, чтобы исключить возможность образования воздушных пробок

Наибольшее распространение в жилищном строительстве получили стеновые совмещенные (рис. 13.3) и приставные подоконные панели (рис. 13.4). Плинтусные приставные панели (рис. 13.5) применяются в основном для отопления детских учреждений. Напольные панели используются для обогрева лестничных площадок, полов вестибюлей, реже в жилых помещениях. Трубы, заделываемые в бетон, не должны иметь признаков коррозии. Нагревательные

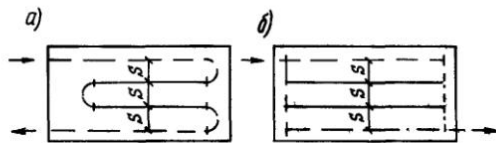


Рис. 13.2. Нагревательные элементы в отопительных панелях
 а – змеевиковый, б – регистровый

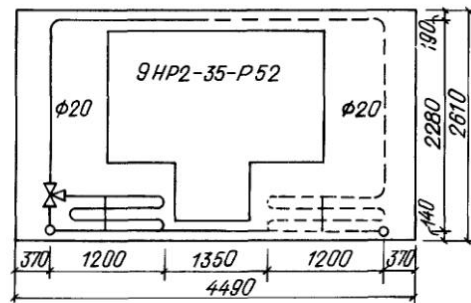


Рис. 13.3. Стеновая совмещенная панель конструкции Челябинскгражданпроекта

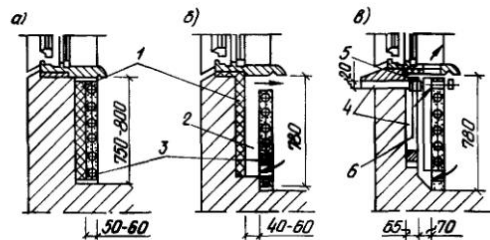


Рис. 13.4. Подоконные приставные бетонные панели
 а – с односторонней теплоотдачей, б – с двусторонней теплоотдачей и каналом для подачи подогретого наружного воздуха, в – с двусторонней теплоотдачей и каналом для подачи подогретого наружного воздуха, 1 – тепловая изоляция, 2 – конвективный канал, 3 – отопительная панель, 4 – приточный канал, 5 – запорный клапан, 6 – металлический экран

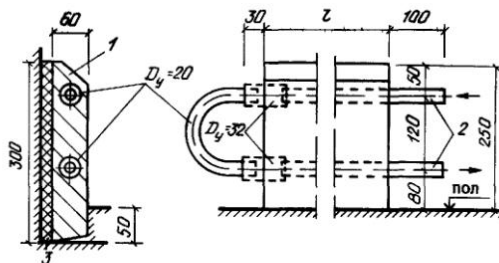


Рис. 13.5. Плинтусная приставная бетонная панель
 1 – бетон, 2 – концы стальных труб для присоединения к стойке, 3 – тепловая изоляция

элементы необходимо испытывать на гидравлическую плотность давлением 1,5 МПа (15 кгс/см²) в течение 10 мин. при этом максимальное гидростатическое давление в системе панельного отопления не должно превышать 1 МПа (10 кгс/см²).

Системы отопления со стеновыми и подоконными панелями могут быть одно- и двухтрубными. Применение стеновых панелей в однотрубной системе с П-образными стояками позволяет унифицировать нагревательные элементы по этажам.

Потолочно-напольные системы рекомендуется устраивать двухтрубными с нижней разводкой и опрокинутой циркуляцией, что обеспечивает свободное удаление воздуха. У каждого нагревательного элемента (змеевика или регистра), как правило, следует устанавливать регулировочные краны для обеспечения монтажной регулировки и возможности отключения не менее 30% поверхности нагрева. Плинтусные панели чаще всего соединяют в горизонтальные цепочки, которые подсоединяют к двухтрубным стоякам.

Средняя температура t_{cp} , °С, на поверхности бетонных отопительных панелей не должна превышать:

для полов		
детских яслей-садов	24	
жилых зданий	24	
производственных помещений	26	
помещений с временным пребыванием людей	30	
для потолков при высоте помещения, м:		
2,5-2,8	28	
2,9-3,0	30	
3,1-3,4	33	
3,5-6	36	
для стен на высоте от поверхности пола:		
до 1 м	95	
более 1 до 3,5 м	45	

Температура на обогреваемой поверхности стен, расположенной выше 3,5 м от уровня пола, не нормируется.

Перепад температуры теплоносителя в однотрубных водяных системах со стеновыми или подоконными панелями составляет 105–70°, в двухтрубных 95–70°С. В потолочно-напольных системах, как правило, при меньших значениях начальной температуры и перепада температур эти параметры определяются из условия обеспечения допустимой температуры поверхности панелей и скорости движения воды в горизонтальных участках.

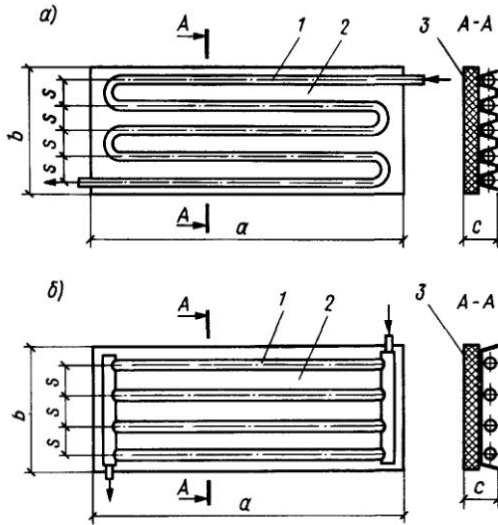


Рис. 13.6. Подвесные излучающие панели с гофрированным (а) и плоским экраном (б)
1 — труба; 2 — экран; 3 — тепловая изоляция

Подвесные излучающие панели состоят из труб в виде змеевиков или регистров, экрана (как правило, металлического) и тепловой изоляции (рис. 13.6). В водяных системах отопления с подвесными панелями диаметр греющих труб обычно принимается $d_y = 15 \div 20$ мм, шаг труб $s = 50 \div 200$ мм. Экран выполняется из стального листа толщиной 0,2–1,0 мм или алюминия толщиной 0,1–0,5 мм.

Греющие трубы и экран панели следует окрашивать в темный цвет (степень черноты поверхности труб и экрана $\epsilon \geq 0,8$), например, грунтом ГФ-020. Целесообразно применять гофрированные экраны с высотой гофров $h = 20 \div 70$ мм. В качестве теплоизоляции используются прошивные маты из минеральной ваты толщиной 0,05–0,1 м, перлитобетон толщиной 0,03–0,07 м и другие материалы.

Подвесные излучающие панели разработаны ЦНИИпромзданий, Гипрониавиапромом и ГПИ Сантехпроект. По расположению входного и выходного патрубков панели делятся на правые и левые. Подвесные панели устанавливают под перекрытием (горизонтальные панели), на стенах и колоннах (наклонные панели). Панели соединяют в ленты на сварке, чередуя правые и левые. Крепятся панели к фермам, покрытию, стенам, колоннам с помощью специально предусмотренных в конструкции эле-

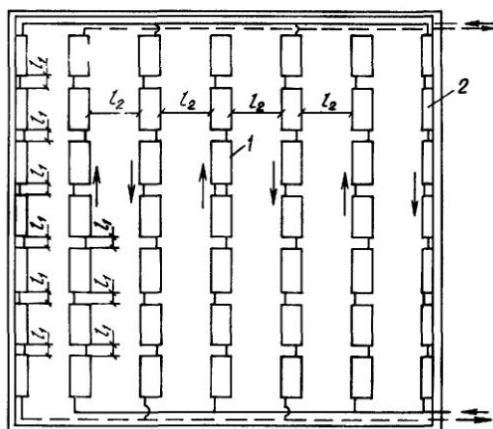
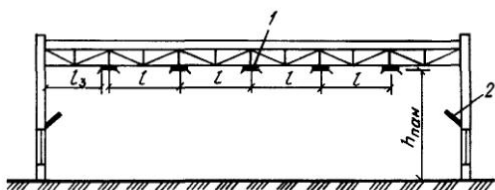


Рис. 13.7. Размещение подвесных излучающих потолочных (1) и настенных (2) панелей в помещении

ментов. Способ крепления выбирается в зависимости от конкретных условий.

Компенсацию теплового удлинения трубопроводов в системах со змеевиковыми панелями обеспечивает соединение греющих труб; в системах с панелями в виде регистров — устройства, рассмотренные в гл. 10.

Выбор возможных вариантов размещения подвесных панелей в помещении обусловлен требованиями по равномерности облучения рабочей зоны и равномерного распределения температуры воздуха по высоте, позволяющей уменьшить теплопотери через стены и покрытие помещения.

Панели, устанавливаемые на наружных стенах (колоннах), размещают равномерно по периметру рабочей зоны в один ряд на высоте 3–4 м от пола под углом 45° на расстоянии до 2 м между краями.

Горизонтальные панели размещают равномерно выше мостовых кранов. Расстояние между панелями в ленте и между лентами устанавливается из условия соблюдения соот-

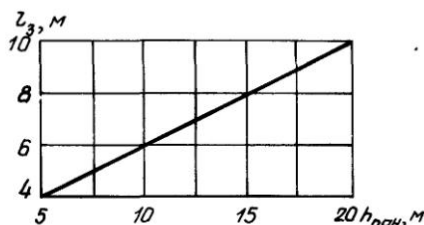


Рис. 13.8. Зависимость расстояния от крайних подвесных излучающих панелей до стен l_3 от высоты их подвески $h_{пан}$

ношения $l_{1,2}/h_{пан} < 1,0$ (рис. 13.7). Расстояние между крайними горизонтальными панелями и стеной помещения определяют по рис. 13.8.

Системы отопления с подвесными излучающими панелями обычно устраивают горизонтальными однотрубными со встречным движением теплоносителя в соседних ветвях (см. рис. 13.7). В качестве теплоносителя используется высокотемпературная вода (150–70°C). Максимально допустимая температура поверхности панелей определяется расчетом.

13.3. Тепловой расчет панельно-лучистого отопления

После определения теплотерь каждого помещения Q , Вт (ккал/ч) (расчет теплотерь помещений с подвесными излучающими панелями проводят без учета повышения температуры внутреннего воздуха по высоте), намечают схемы размещения теплоотдающих поверхностей и нагревательных элементов. Теплоотдачу отопительных панелей, теплотехнические характеристики которых известны, определяют по расчетной разности температур $\Delta t = t_{сп} - t_{в}$.

Теплоотдача бетонных панелей, совмещенных с ограждающими конструкциями, определяется расчетом.

13.3.1. Расчет вертикальных отопительных панелей с односторонней теплоотдачей

Вертикальные бетонные отопительные панели с односторонней теплоотдачей в помещении в большинстве случаев представляют собой панели наружных стен, во внутренний слой тяжелого бетона которых замоноличены нагревательные элементы: участки стояков, змеевики или регистры, размещаемые в подоконной части наружных стен (рис. 13.9).

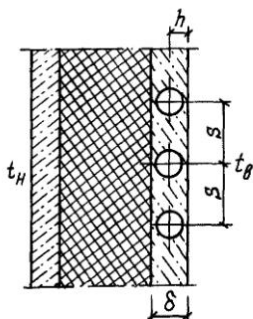


Рис. 13.9. Размещение нагревательных элементов в наружной стеновой панели

Теплоотдача в помещение (лицевая теплоотдача) 1 м трубы в бетоне $q_{\text{лиц}}$, Вт/м [(ккал/(ч·м))], определяется по формуле

$$q_{\text{лиц}} = q_{\delta_i} K_G K_\lambda K_\delta, \quad (13.1)$$

где q_{δ_i} — теплоотдача 1 м трубы нагревательного элемента, определяемая по табл. 13.1 или по формуле

$$q_{\delta_i} = 1,16 [0,96 (t_{\text{cp}} - t_{\text{в}}) - 4,8] \times (1,13 - 0,13 \frac{h}{d_n}) e^{a(S-0,1)/S} 0,954; \quad (13.2)$$

K_G , K_λ и K_δ — поправочные коэффициенты, учитывающие расход теплоносителя через трубы нагревательного элемента G , кг/с (кг/ч), коэффициент теплопроводности λ , Вт/(м·°С) [ккал/(ч·м·°С)] и толщину слоя бетона δ , м, в который замоноличены трубы; t_{cp} — средняя температура теплоносителя, °С; $t_{\text{в}}$ — температура воздуха в помещении, °С; h — расстояние от оси замоноличенной трубы до внутренней поверхности стены, м; d_n — наружный диаметр замоноличенной трубы, м; a — коэффициент, принимаемый в зависимо-

сти от диаметра трубы нагревательного элемента, м, зависящая от расстояния S от оси рассматриваемого участка трубы нагревательного элемента до границы поверхности теплоотдачи.

Для определения границ поверхности теплоотдачи различают следующие случаи расположения нагревательных элементов.

1. Рассматриваемая труба находится между двумя другими трубами (рис. 13.10, а). В этом случае значение S принимается равным половине среднего (с учетом уклонов) расстояния между осями двух смежных труб.

2. С одной или обеих сторон рассматриваемой трубы отсутствуют другие трубы (рис. 13.10, б). Значение S равно расстоянию от оси трубы до соответствующего торца наружной стеновой панели с учетом четвертей и ширины оконных (балконных) откосов от поверхности стены до оконных (балконных) коробок. Оконные откосы, изолированные деревянными подоконными досками, при определении S не учитываются.

3. Рассматриваемая труба находится в замыкающих участках П-образных контуров (рис. 13.10, в). Значение S внутри контура принимается равным 0,1 м.

Калачи змеевиков, отводы или отогнутые под прямым углом трубы нагревательных элементов (при условии, что длина этих труб не превышает 0,4 м) рассчитывают совместно с ближайшими участками нагревательного элемента (с одинаковым значением S , определенным для участка большей длины).

Максимальное значение S принимается

ТАБЛИЦА 13.1

ТЕПЛОТДАЧА ТРУБ НАГРЕВАТЕЛЬНЫХ ЭЛЕМЕНТОВ

$t_{\text{cp}} - t_{\text{в}}, ^\circ\text{C}$	h/d	Теплоотдача, Вт/м, 1 м труб диаметром, мм							
		15				20			
		при ширине поверхности S , мм							
		100	200	300	400	100	200	300	400
64,5	1	66,4	100,9	116,9	126,9	66,4	102,9	119,1	129,3
	1,5	62,1	94,4	109,3	118,6	62,1	97,7	113	122,7
	2	57,8	87,8	101,6	110,4	57,8	91,1	105,4	114,4
69,5	1	81,3	123,5	143	155,3	81,3	125,9	145,7	158,3
	1,5	76,1	115,6	133,9	145,3	76,1	119,6	138,4	150,1
	2	70,7	107,5	124,4	135,1	70,7	114	129	140

сти от диаметра труб нагревательного элемента: при $d_n = 10, 15$ и 20 мм коэффициент a соответственно равен 0,78; 0,9 и 0,95; S — расчетная ширина поверхности теплоотдачи (шага) участка трубы нагреватель-

ного элемента, м, зависящая от расстояния S от оси рассматриваемого участка трубы нагревательного элемента до границы поверхности теплоотдачи. При $C_1 = C_2$; $S = C_1 + C_2$; если C_1 и $C_2 \geq 0,2$ м (даже при $C_1 \neq C_2$) значение S принимается равным 0,4 м.

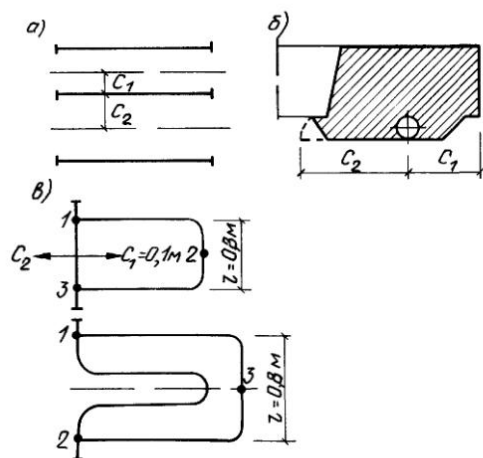


Рис. 13.10. Расчетные схемы нагревательного элемента для определения границ поверхности теплоотдачи
1-2, 2-3; 1-3 – расчетные участки

ТАБЛИЦА 13.2
ЗНАЧЕНИЯ ПОПРАВочНОГО КОЭФФИЦИЕНТА K_8 НА ТОЛЩИНУ СЛОЯ БЕТОНА

S, мм	h/d _n	Значения K_8 при трубах d_n , мм						
		15			20			
		при толщине слоя бетона δ , мм						
		90-70	60	50	40	90-70	60	50
100	1	1	0,99	0,98	0,97	1	0,99	0,98
	1,5	1	0,99	0,98	—	1	—	—
	2	1	—	—	—	1	—	—
200	1	1	0,98	0,97	0,96	1	0,97	0,95
	1,5	1	0,91	0,90	—	1	—	—
	2	1	—	—	—	1	—	—
300	1	0,99	0,97	0,95	0,95	0,98	0,96	0,94
	1,5	0,99	0,91	0,89	—	0,98	—	—
	2	0,98	—	—	—	0,97	—	—
400	1	0,97	0,95	0,92	0,91	0,97	0,94	0,91
	1,5	0,97	0,87	0,86	—	0,96	—	—
	2	0,96	—	—	—	0,96	—	—

Если труба расположена несимметрично относительно границ поверхности теплоотдачи (причем $C_1 \neq C_2$, а C_1 или $C_2 < 0,2$ м), значение $q_{\text{лиц}} i$, Вт/м [ккал/(ч·м)], определяется по формуле

$$q_{\text{лиц}} = (q_{s_1} + q_{s_2})/2, \quad (13.3)$$

где q_{s_1} и q_{s_2} – теплоотдача, Вт/м [ккал/(ч·м)], условных симметрично расположенных нагревательных элементов при $S_1 = 2C_1$ и $S_2 = 2C_2$.

Значения поправочных коэффициентов K_G , K_8 и K_λ определяют по рис. 13.11, 13.12 и по табл. 13.2.

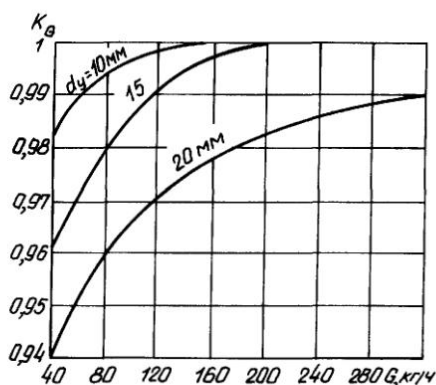


Рис. 13.11. Зависимость поправочного коэффициента K_G от расхода воды G при различных диаметрах труб нагревательных элементов

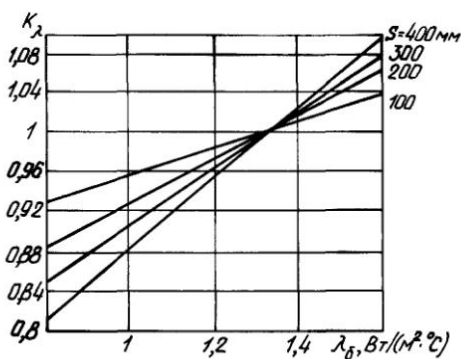


Рис. 13.12. Зависимость поправочного коэффициента K_λ от теплопроводности бетона λ_b при различных расстояниях между трубами S

Общая полезная теплоотдача $q_{\text{пол}}$, Вт/м [ккал/(ч·м)], замоноличенного в наружную стену нагревательного элемента, определяется по формуле

$$q_{\text{пол}} = q_{\text{лиц}} + q_{\text{тн}} i, \quad (13.4)$$

где $q_{\text{тн}}$ – расчетные теплотери части наружной стены, прогреваемой 1 м нагревательного элемента, Вт/м [ккал/(ч·м)],

$$q_{\text{тн}} = K_{\text{ст}} S (t_n - t_n); \quad (13.5)$$

$K_{\text{ст}}$ – коэффициент теплопередачи участка наружной стены, в который замоноличены трубы, Вт/(м²·°C) [ккал/(ч·м²·°C)]; t_n – расчетная температура наружного воздуха, °C.

Суммарный расход теплоты $q_{\text{общ}}$, Вт/м [ккал/(ч·м)], с учетом бесполезных потерь теплоты в сторону наружного воздуха составляет

$$q_{\text{общ}} = (1 - \bar{q}) q_{\text{пол}}, \quad (13.6)$$

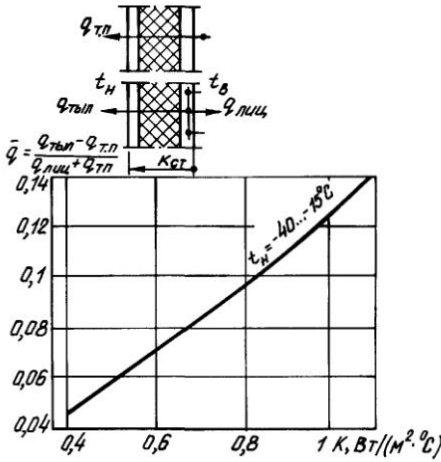


Рис. 13.13. Зависимость относительных дополнительных потерь тепла \bar{q} от коэффициента теплопередачи наружной стены $K_{ст}$

где \bar{q} – относительная величина дополнительных потерь теплоты

$$\bar{q} = \frac{q_{тыл} - q_{пл}}{q_{пол}} \quad (13.7)$$

$q_{тыл}$ – теплоотдача 1 м нагревательного элемента в сторону наружного воздуха, Вт/м [ккал/(ч·м)].

Значение \bar{q} при применении трехслойных наружных панелей определяют по рис. 13.13; оно, как правило, не должно превышать 0,1.

Общая полезная теплоотдача всех нагревательных элементов, замонтированных в наружную стену, $Q_{пол}$, Вт/[ккал/(ч·м)], составляет

$$Q_{пол} = \sum_1^n q_{пол} l_{эл}, \quad (13.8)$$

где $l_{эл}$ – общая длина i -го нагревательного элемента, м.

13.3.2. Расчет горизонтальных отопительных панелей с двусторонней теплоотдачей

Горизонтальные бетонные отопительные панели с двусторонней теплоотдачей в большинстве случаев представляют собой панели перекрытий с замонтированными в массив или уложенными в слой бетона над или под панелью нагревательными элементами – трубными змеевиками или регистрами.

Расчетная схема горизонтальной панели показана на рис. 13.14. Шаг труб (расчетную поверхность теплоотдачи) S , м, в зависимости

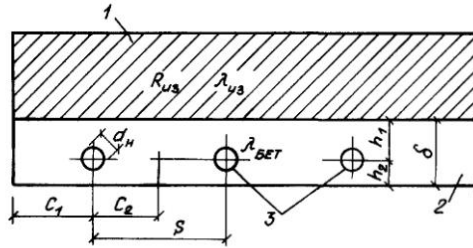


Рис. 13.14. Расчетная схема размещения нагревательных элементов в конструкции перекрытия (сплошная плита)
1 – конструкция пола; 2 – тяжелый бетон; 3 – нагревательные элементы

от расстояния C от оси рассчитываемого участка трубы определяют так же, как и при расчете вертикальных отопительных панелей. Для плит перекрытий максимальное значение $C = 0,4$ м, для плит покрытий $C = 0,3$ м. При определении длины труб П-образных контуров нагревательных элементов из длины каждого участка такого контура вычитается $0,125(C_1 + C_2)$ предыдущего по ходу теплоносителя участка.

Теплоотдача 1 м трубы с поверхности потолка $q^{пт}$, Вт/м [ккал/(ч·м)], составляет

$$q^{пт} = q_{баз}^{пт} K_{\delta}^{пт} K_{\lambda}^{пт} K_{смеш}^{пт} K_R K_d K_G K_r, \quad (13.9)$$

где $q_{баз}^{пт}$ – теплоотдача 1 м трубы с поверхности потолка базисной конструкции, Вт/м [ккал/(ч·м)] (рис. 13.15).

Значения поправочных коэффициентов $K_{\delta}^{пт}$ определяют по табл. 13.3, коэффициентов $K_{\lambda}^{пт}$, $K_{смеш}^{пт}$, K_R , K_d , K_G , K_r (только для плит покрытий) – по табл. 13.4.

Теплоотдача 1 м трубы с поверхности пола $q^{пл}$, Вт/м [ккал/(ч·м)], составляет

$$q^{пл} = \frac{K_{\delta}^{пл} K_{\lambda}^{пл} K_{смеш}^{пл}}{K_{\delta}^{пт} K_{\lambda}^{пт} K_{смеш}^{пт}} (q_{общ} - q_{пт}), \quad (13.10)$$

где $q_{общ}$ – суммарная теплоотдача 1 м трубы с поверхности потолка и пола, Вт/м [ккал/(ч·м)]

$$q_{общ} = \frac{q^{пт}}{0,813 R_{из}}; \quad (13.11)$$

$K_{\delta}^{пт}$, $K_{\lambda}^{пт}$, $K_{смеш}^{пт}$ – поправочные коэффициенты, определяемые по табл. 13.4 и 13.5.

Если вместо плит перекрытий используют пустотелые настилы толщиной 0,22 м, то нагревательные элементы замонтичивают в специальный слой тяжелого бетона, размещаемого поверх настила (рис. 13.16, а) или под ним (рис. 13.16, б). Теплоотдача плит перекрытий в этих случаях вычисляется по формулам

ТАБЛИЦА 13.3

ЗНАЧЕНИЯ ПОПРАВочНОГО КОЭФФИЦИЕНТА $K_{\delta}^{пт}$

S м	Значения $K_{\delta}^{пт}$ при толщине слоя бетона δ , мм					
	50		100		160	
	при d_n , мм					
	15	20	15, 20 и 25	15	20	25
0,2	0,98	0,98	1	0,93	0,93	0,93
0,4	0,92	0,96	1	1	1	0,99
0,5	0,89	0,92	1	1,02	1	0,99
0,6	0,88	0,9	1	1,03	1	0,99
0,7	0,87	0,89	1	1,04	1	1
0,8	0,86	0,89	1	1,04	1,02	1,01

ТАБЛИЦА 13.4

ФОРМУЛЫ ДЛЯ ОПРЕДЕЛЕНИЯ ПОПРАВочНЫХ КОЭФФИЦИЕНТОВ

Формулы для определения поправочного коэффициента

Пределы применения формул

$$\begin{aligned}
 K_{\lambda}^{пт} &= 0,48 \lambda_{бет} + 0,51 & 0,7 \leq \lambda_{бет} \leq 1,9 \\
 K_{\lambda}^{па} &= 0,21 \lambda_{бет} + 0,78 & 0,7 \leq \lambda_{бет} \leq 1,9 \\
 K_R &= 0,12 R_{из} + 0,86 & 0,2 \leq R_{из} \leq 0,9 \\
 K_d &= 0,64 d_n^{1,47} & 17 \leq d_n \leq 33,5 \\
 K_G &= 4,57 \cdot 10^{-4} G + 0,92 & 20 \leq G \leq 140 \\
 K_G &= 2,44 \cdot 10^{-5} G + 0,98 & 140 \leq G \leq 820 \\
 & & G > 820 \\
 K_r &= 1 - 3,5 \cdot 10^{-3} \frac{t_n - t_n}{R_{констр}} & 0 \leq \frac{t_n - t_n}{R_{констр}} \leq 35 \\
 K_{смещ}^{пт} &= 0,852 + 0,214 S + & 0,25 \leq \frac{h_1}{h_2} \leq 0,5 \\
 & + \left(\frac{h_1}{h_2} - 0,25 \right) \left(0,51 - 0,635 S \right) \\
 K_{смещ}^{па} &= 1,11 - 0,11 \frac{h_2}{h_1} & 0,5 \leq \frac{h_1}{h_2} \leq 1 \\
 K_{смещ}^{па} &= 0,17 S + 0,93 & \frac{h_1}{h_2} = 0,25 \\
 & & h_1 \leq h_2 \\
 K_{смещ}^{па} &= 1 &
 \end{aligned}$$

ТАБЛИЦА 13.5

ЗНАЧЕНИЯ ПОПРАВочНОГО КОЭФФИЦИЕНТА $K_{\delta}^{па}$

$\frac{R_{из}^{па}}{M^2 \times C} \times \frac{^{\circ}C}{Вт}$	Значения $K_{\delta}^{па}$ при толщине слоя бетона δ , мм								
	50		100		160				
	при шаге S м								
	0,2	0,4	0,6	0,8	0,2	0,4	0,6	0,8	
0,22	1	0,95	0,91	0,9	1	1	1,04	1,05	1,05
0,56	1	0,95	0,88	0,8	1	1,01	1,06	1,08	1,08
0,86	0,96	0,88	0,79	0,79	1	1,01	1,1	1,14	1,14

(13 9) и (13 10) с учетом поправочных коэффициентов $K_{пуст}$, определяемых по табл. 13 6.

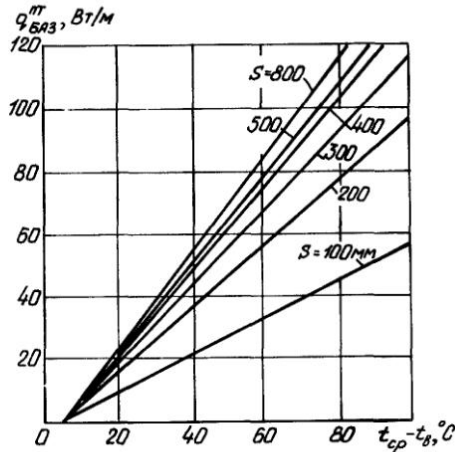


Рис. 13.15. Зависимость теплоотдачи базисной конструкции плиты перекрытия $q_{баз}^{пт}$ от разности $t_{cp} - t_n$

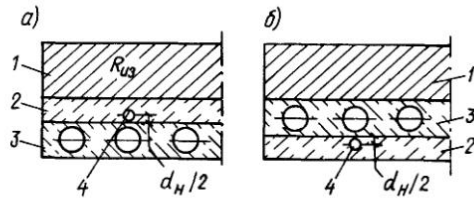


Рис. 13.16. Расчетные схемы размещения нагревательных элементов поверх перекрытия (а) и под перекрытием (б)
1 — конструкция пола, 2 — дополнительный слой тяжелого бетона, 3 — пустотная плита перекрытия, 4 — нагревательные элементы

ТАБЛИЦА 13.6

ЗНАЧЕНИЯ ПОПРАВочНОГО КОЭФФИЦИЕНТА $K_{пуст}$

Конструкция	Значения $K_{пуст}$	
	потолка	пола
Слой тяжелого бетона, в который замонтированы трубы, размещаемый поверх пустотного настила	0,63	1,05
То же, под пустотным настилом	1,08	0,83

При размещении нагревательных элементов в плитах покрытий (чердачных или бесчердачных) происходят дополнительные потери теплоты в сторону наружного воздуха, относительная величина которых определяется по формуле

$$\bar{q} = 0,31 R_{констр}^{-1,15}, \quad (13 12)$$

где $R_{\text{констр}}$ – термическое сопротивление слоев конструкции покрытия, $\text{м}^2 \cdot \text{°C}/\text{Вт}$ ($\text{м}^2 \cdot \text{ч} \cdot \text{°C}/\text{ккал}$).

Расход теплоносителя, подаваемого в нагревательные элементы покрытия, G_r , $\text{кг}/\text{ч}$, равен

$$G_r = \frac{3,6Q_{\text{тп}}(1 + \bar{q})}{c_p \Delta t_n}, \quad (13.13)$$

Δt_n – перепад температуры теплоносителя, принятый для нагревательных элементов покрытия, °C , $Q_{\text{тп}}$ – теплотери, возмещаемые нагревательными элементами в плитах покрытия, Вт ($\text{ккал}/\text{ч}$); c_p – теплоемкость теплоносителя, $\text{кДж}/(\text{кг} \cdot \text{°C})$ [$\text{ккал}/(\text{кг} \cdot \text{°C})$]; для воды $c_p = 4,19 \text{ кДж}/(\text{кг} \cdot \text{°C})$.

Среднюю температуру поверхности потолка $\tau_{\text{сп}}^{\text{пт}}$ и пола $\tau_{\text{сп}}^{\text{пл}}$, °C , значение которой не должно превышать нормируемых, определяют по формулам:

$$\tau_{\text{сп}}^{\text{пт}} = t_b + \frac{q_{\text{пт}}}{\alpha_{\text{пт}}}; \quad (13.14)$$

$$\tau_{\text{сп}}^{\text{пл}} = t_b + \frac{q_{\text{пл}}}{\alpha_{\text{пл}}}, \quad (13.15)$$

где $q_{\text{пт}}$ и $q_{\text{пл}}$ – теплоотдача обогреваемой поверхности потолка и пола, $\text{Вт}/\text{м}^2$ [$\text{ккал}/(\text{м}^2 \cdot \text{ч})$]

$$q_{\text{пт}} = q^{\text{пт}}/S; \quad (13.16)$$

$$q_{\text{пл}} = q^{\text{пл}}/S; \quad (13.17)$$

$\alpha_{\text{пт}}$ и $\alpha_{\text{пл}}$ – коэффициенты теплоотдачи поверхности потолка и пола, $\text{Вт}/(\text{м}^2 \cdot \text{°C})$ [$\text{ккал}/(\text{ч} \cdot \text{м}^2 \cdot \text{°C})$]

$$\alpha_{\text{пт}} = C_{\text{пр}} b + 1,16(\tau_{\text{сп}}^{\text{пт}} - t_b)^{0,33}, \quad (13.18)$$

$$\alpha_{\text{пл}} = C_{\text{пр}} b + 2,16(\tau_{\text{сп}}^{\text{пл}} - t_b)^{0,33}, \quad (13.19)$$

$C_{\text{пр}} \approx 5,0$ – приведенный коэффициент излучения, $\text{Вт}/\text{м}^2 (\text{К}/100)$ [$\text{ккал}/\text{м}^2 \cdot \text{ч} (\text{К}/100)$], b – температурный фактор

$$b \approx 0,81 + 0,005(\tau_{\text{сп}} + \tau_{\text{сп}}^{\text{п}}); \quad (13.20)$$

$\tau_{\text{сп}}$ – средняя температура теплоотдающей поверхности, °C ; $\tau_{\text{сп}}^{\text{п}}$ – средняя температура внутренних поверхностей ограждений помещения, °C .

Для средней температуры коэффициенты теплоотдачи, а также теплоотдача поверхностей ограждений в помещении могут быть приняты по табл. 13.7. Зная теплоотдачу поверхности потолка $q_{\text{пт}}$ или пола $q_{\text{пл}}$, по табл. 13.7 находят соответствующую теплоотдачу и разность температур $\Delta t = \tau_n - t_b$ теплоотдающей поверхности τ_n и воздуха в помещении t_b .

Средняя температура теплоотдающей поверхности

$$\tau_{\text{сп}} = \tau_n = t_b + \Delta t. \quad (13.21)$$

ТАБЛИЦА 13.7

ЗНАЧЕНИЯ КОЭФФИЦИЕНТОВ ТЕПЛОТДАЧИ α , $\text{Вт}/(\text{м}^2 \cdot \text{°C})$, И ПЛОТНОСТИ ТЕПЛООВОГО ПОТОКА q , $\text{Вт}/\text{м}^2$, ПОВЕРХНОСТЕЙ ПОТОЛКА, ПОЛА И СТЕНЫ

$\Delta t = \tau_n - t_b$	$\alpha_{\text{пт}}$	$q_{\text{пт}}$	$\alpha_{\text{пл}}$	$q_{\text{пл}}$	$\alpha_{\text{ст}}$	$q_{\text{ст}}$
2	6,4	12,8	7,65	15,4	7,02	14,1
4	6,83	27,3	8,42	34	7,63	30,5
6	7,15	43	8,98	53	8,06	49
8	7,42	59	9,42	74	8,42	67
10	7,65	77	9,8	98	8,73	87
12	7,85	94	10,13	121	9	108
14	8,04	113	10,44	147	9,23	129
16	8,21	131	10,73	172	9,47	152
18	8,37	150	10,99	198	9,69	174
20	8,56	171	11,27	226	9,9	198
22	8,7	192	11,51	254	10,11	222
24	8,84	212	11,72	281	10,32	248
26	9,02	235	12	312	10,53	273
28	9,21	258	12,25	343	10,73	300
30	9,35	280	12,48	374	10,91	327

Учитывая достаточно низкие значения нормируемой температуры поверхности пола и потолка, в ряде случаев приходится решать обратную задачу – по заданному конструктивному решению заделки труб находить среднюю температуру теплоносителя $t_{\text{сп}}$, при которой значения температуры поверхности $\tau_{\text{сп}}$ не превышают нормируемых. В этом случае из формулы (13.9) находят $q_{\text{баз}}^{\text{пт}}$, а затем определяют $t_{\text{сп}}$, °C

$$t_{\text{сп}} = \frac{q_{\text{баз}}^{\text{пт}}}{0,45e^{1,12(S-0,1)/S}} + t_b + 5. \quad (13.22)$$

По средней температуре теплоносителя $t_{\text{сп}}$, расходу G , $\text{кг}/\text{ч}$, и скорости воды в горизонтальных участках труб не менее $0,25 \text{ м}/\text{с}$ определяют:

перепад температуры теплоносителя Δt , °C :

$$\Delta t = t_r - t_0 = \frac{3,6q^{\text{пт}}l}{c_p G}; \quad (13.23)$$

начальную температуру теплоносителя t_r , °C :

$$t_r = t_{\text{сп}} + \frac{1,8q^{\text{пт}}l}{c_p G}; \quad (13.24)$$

конечную температуру теплоносителя t_0 , °C :

$$t_0 = t_r - \frac{3,6q^{\text{пт}}l}{c_p G}; \quad (13.25)$$

где l – длина труб, м , $q^{\text{пт}}$ – теплоотдача 1 м трубы с поверхности потолка, $\text{Вт}/\text{м}$ [$\text{ккал}/(\text{ч} \cdot \text{м})$].

ТАБЛИЦА 13.8

ТЕХНИЧЕСКИЕ ХАРАКТЕРИСТИКИ ПОДВЕСНЫХ ИЗЛУЧАЮЩИХ ПАНЕЛЕЙ

Показатели	Тип излучающей панели с экраном			
	плоским длиной		гофрированным длиной	
	2 м*	4 м*	2 м*	ПЛО-11,5-5**
Габариты $a \times b \times c$, м	1,89 × 0,727 × 0,18	3,89 × 0,727 × 0,18	2,0 × 1,0 × 0,125	2,3 × 0,6 × 0,1
Масса панели (без воды), кг	39	76,54	57,3	24
Диаметр греющих труб d_g , мм	25 × 2	25 × 2	25 × 2	15
Общая теплоотдача горизонтальной панели (при $t_r = 150 - 70$ °C) $Q_{пг}$, Вт	1140	2250	1560	1080
Доля лучистой составляющей теплоотдачи Ψ панелей				
горизонтальных	0,63	0,63	0,63	0,63
наклонных	0,45	0,45	0,45	0,45
Приведенный коэффициент гидравлического сопротивления ζ ***	7,2****	8,5****	42,8	43
Средняя относительная избыточная температура поверхности панели	0,68	0,68	0,77	0,77
$\bar{\theta} = t_{пг} - t_{вн}/t_r - t_{вн}$				

* Разработаны ЦНИИпромзданий и ГПИ Сантехпроект

** Разработана ЦНИИпромзданий и Гипроиниавиапром

*** Коэффициент ζ учитывает потери на трение и в местных сопротивлениях**** Коэффициенты отнесены к $d_g = 32$ мм (диаметр штуцера).

13.3.3. Расчет подвесных излучающих панелей

Характеристики подвесных излучающих панелей приведены в табл. 13.8.

При расчете определяют число настенных и потолочных панелей в помещении и проверяют выполнение требований равномерности распределения температуры воздуха по высоте и допустимого облучения человека потолочными панелями. Общую теплоотдачу подвесных излучающих панелей $Q_{пн}$, Вт (ккал/ч), вычисляют по формуле

$$Q_{пн} = K_1 K_2 Q_{тп}, \quad (13.26)$$

где $Q_{тп}$ – расчетная потребность помещения в теплоте, Вт (ккал/ч); K_1 и K_2 – коэффициенты, значения которых определяют по табл. 13.9 и 13.10.

ТАБЛИЦА 13.9

ЗНАЧЕНИЯ ПОПРАВочНОГО КОЭФФИЦИЕНТА K_1

Отношение ширины помещения к высоте подвески панелей, A/H	Значения K_1 при кратности инфильтрационного воздухообмена K , 1/ч		
	0	0,25	0,5
2	0,90	0,88	0,86
3	0,88	0,85	0,83
5	0,86	0,83	0,80
10	0,86	0,82	0,78

ТАБЛИЦА 13.10

ЗНАЧЕНИЯ ПОПРАВочНОГО КОЭФФИЦИЕНТА K_2

Высота подвески панелей H , м	Значения K_2 при влагосодержании воздуха в помещении, г/кг сухого воздуха				
	2	4	6	8	10
3	1,01	1,01	1,02	1,02	1,03
5	1,01	1,02	1,03	1,03	1,04
10	1,02	1,03	1,04	1,04	1,05
20	1,03	1,04	1,05	1,05	1,06
30	1,04	1,05	1,05	1,06	1,06

Расчетную теплоотдачу потолочной панели $q_{пт}$ в зависимости от разности средней температуры теплоносителя $(t_r - t_0)/2$ и температуры воздуха t_v определяют по рис. 13.17.

В зависимости от схемы размещения панелей в помещении определяют число настенных панелей $n_{ст}$ и их суммарную теплоотдачу $Q_{ст}$, Вт (ккал/ч):

$$Q_{ст} = 1,4 n_{ст} q_{пт}. \quad (13.27)$$

Число настенных панелей ограничивается исходя из условия, что их теплоотдача не должна превышать 40% общей теплоотдачи подвесных панелей

$$Q_{ст}/Q_{пн} < 0,4. \quad (13.28)$$

Число потолочных излучающих панелей

$$n_{пт} = (Q_{пн} - Q_{ст})/q_{пт} \quad (13.29)$$

Число потолочных панелей не должно превышать максимально допустимого $n_{пт}^{max}$, т. е.

$$n_{пт} \leq n_{пт}^{max}; \quad (13.30)$$

$$n_{пт}^{max} = \left(0,5 + \frac{0,6}{B/H}\right) \frac{Q_{н.з}}{(1-\psi)q_{пт}}, \quad (13.31)$$

где $Q_{н.з}$ - потери теплоты через ограждения помещения, расположенные выше уровня подвески панелей, Вт (ккал/ч); ψ - доля лучистой теплоотдачи панели от общей (см. табл. 13.8); B/H - ширина и высота помещения, м.

При невыполнении условия (13.30) следует увеличить число настенных панелей

$$n_{ст}^{доп} = (n_{пт} - n_{пт}^{max})/1,4, \quad (13.32)$$

если это возможно при соблюдении условия (13.29), либо отказаться от использования подвесных панелей для отопления.

Допустимая облученность человека потолочными панелями определяется выполнением условия

$$\Phi_{ч-п} \leq \Phi_{max}. \quad (13.33)$$

Максимально допустимый коэффициент облученности человека потолочными панелями Φ_{max} определяют по рис. 13.18 в зависимости от средней температуры излучающих панелей $t_{п}^{ср}$, °С:

$$t_{п}^{ср} = t_{в} + \theta \left(\frac{t_{г} - t_{о} - t_{в}}{2} \right). \quad (13.34)$$

Действительный коэффициент облученности человека $\Phi_{ч-п}$ равен

$$\Phi_{ч-п} = 4\Phi_{ч-пт} \frac{n_{пт} F_{п}}{F_{пт}}, \quad (13.35)$$

где $\Phi_{ч-пт}$ - коэффициент облученности человека с площади поверхности потолка $F_{пт}$ (рис. 13.19); $F_{п}$ - площадь поверхности потолочной панели, м², определяемая по табл. 13.8.

Если условие (13.33) не выполняется, использовать подвесные панели не следует.

Пример 13.1. Определить лицевую, полезную и общую теплоотдачу стеновой бетонной отопительной панели (см. рис. 13.2) для следующих условий: $d_{гс} = 20$ мм; $\delta = 100$ мм; $h = 40$ мм; $\lambda = 1,1$ Вт/(м²·°С); $K_{ст} = 0,75$ Вт/(м²·°С); $t_{ср} = 64,5$ °С; $\Delta t = t_{г} - t_{в} = 42$ °С; $G = 80$ кг/ч.

Длина и шаг труб средних: $l_1 = 4,8$ м; $S_1 = 0,1$ м; крайних: $l_2 = 9,6$ м, $S_2 = 0,20$ м; одиночных: $l_3 = 9,2$ м; $S_3 = 0,35$ м.

Определим лицевую теплоотдачу нагревательных элементов панели по формуле (13.1):

по табл. 13.1 $q_{\delta_1} = 57,8$; $q_{\delta_2} = 91,1$; $q_{\delta_3} = \frac{105 + 114,4}{2} = 109,9$; по рис. 13.11 $K_G = 0,96$; по рис. 13.12 $K_{\lambda_1} = 0,97$;

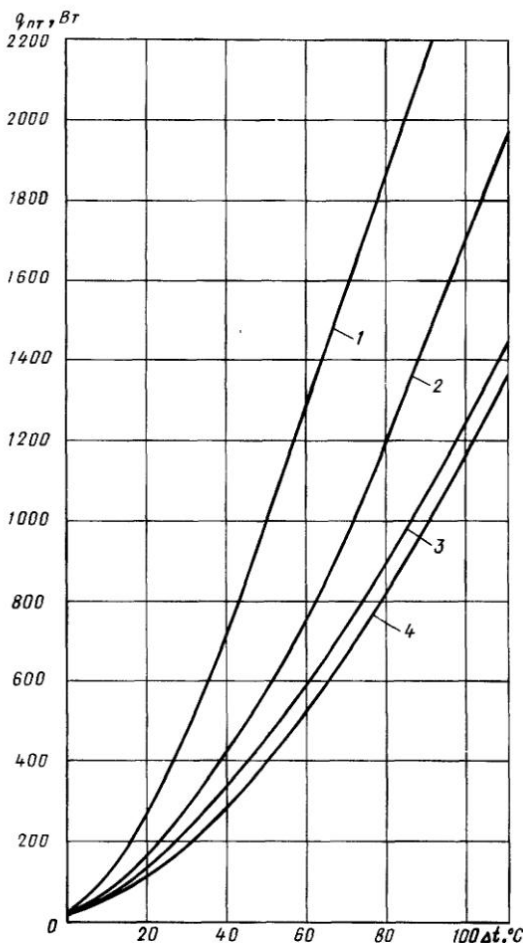


Рис. 13.17. График для определения теплоотдачи потолочных подвесных излучающих панелей $q_{пт}$

1 и 3 - с плоским экраном $F_{э} = 2,84$ и $1,38$ м²; 2 - с гофрированным экраном $F_{э} = 2,0$ м²; 4 - ПЛО-11,5-5, $F_{э} = 1,38$ м²

$K_{\lambda_2} = 0,94$; $K_{\lambda_3} = 0,93$; по табл. 13.2 (при $h/d = 2$) $K_{\delta_1} = 1$; $K_{\delta_2} = 1$; $K_{\delta_3} = 0,97$; $q_{лиц1} = 57,8 \cdot 0,96 \cdot 0,97 \cdot 1 = 53,8$; $q_{лиц2} = 91,1 \cdot 0,96 \cdot 0,94 \cdot 1 = 82,2$; $q_{лиц3} = 109,9 \cdot 0,96 \cdot 0,93 \cdot 0,97 = 95,2$.

Общая лицевая теплоотдача нагревательных элементов составит:

$$Q_{лиц1} = 53,8 \cdot 4,8 = 258,2; \quad Q_{лиц2} = 82,2 \cdot 5,6 = 460,3;$$

$$Q_{лиц3} = 95,2 \cdot 9,2 = 875,8; \quad Q_{лиц} = 1594,3 \text{ Вт.}$$

Определим полезную теплоотдачу нагревательных элементов панели по формуле (13.4):

$$q_{тп1} = 0,75 \cdot 0,1 \cdot 42 = 3,1; \quad q_{тп2} = 0,75 \cdot 0,2 \cdot 42 = 6,2;$$

$$q_{тп3} = 0,75 \cdot 0,35 \cdot 42 = 11;$$

$$q_{пол1} = 53,8 + 3,1 = 56,9; \quad q_{пол2} = 82,2 + 6,2 = 88,4;$$

$$q_{пол3} = 95,2 + 11 = 106,2.$$

Общая полезная теплоотдача нагревательных элементов составит:

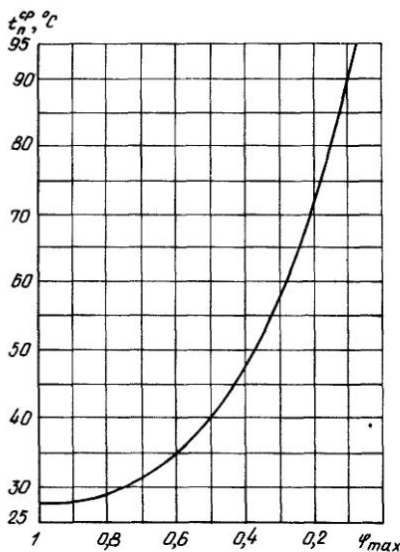


Рис. 13.18. Зависимость средней температуры поверхности t_n^{cp} панели от максимального коэффициента облученности человека панелями φ_{max}

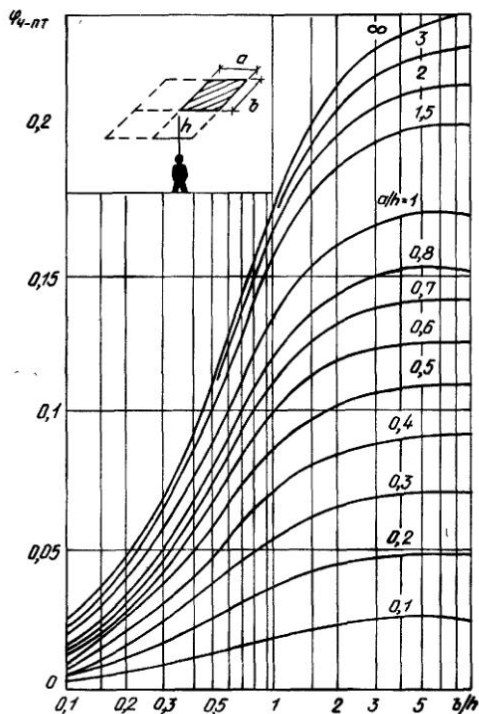


Рис. 13.19. Зависимость коэффициента облученности человека с поверхности потолка φ_{ch-pn} от геометрии помещения

$$Q_{пол1} = 56,9 \cdot 4,8 = 273,1; Q_{пол2} = 88,4 \cdot 5,6 = 495;$$

$$Q_{пол3} = 106,2 \cdot 9,2 = 977; Q_{пол} = 1745 \text{ Вт.}$$

Общий расход теплоты определим по формуле (13.6) при $\bar{q} = 0,08$ (см. рис. 13.13)

$$Q_{общ} = (1 + 0,08) 1745 = 1885 \text{ Вт.}$$

Пример 13.2. Определить количество подвесных излучающих панелей для отопления помещения механосборочного цеха размером $15 \times 20 \times 7,4$ м. Район застройки – Москва. Внутренних тепловыделений нет. Кратность инфильтрационного воздухообмена $0,5$ $1/ч$. Влажосодержание воздуха в помещении 4 г/кг. Теплотери помещения с учетом затрат на нагрев инфильтрационного воздуха 55750 Вт, в том числе теплотери верхней зоны 12250 Вт. Высота подвески панелей $5,5$ м от поверхности пола. Теплоноситель – вода с температурой $150-70^\circ\text{C}$.

По формуле (13.26), табл. 13.9 и 13.10 определим общую теплоотдачу панелей ПЛО-11,5-5

$$Q_{пн} = 55750 \cdot 0,8 \cdot 1,02 = 45490 \text{ Вт.}$$

Расчетная теплоотдача потолочной панели при разности средней температуры теплоносителя и температуры воздуха в помещении $\frac{150 + 70}{2} - 16 = 94^\circ\text{C}$ (см. рис. 13.17) $q_{пт} = 1080$ Вт.

С учетом схемы размещения панелей принимаем к установке 12 настенных панелей и по формуле (13.27) определяем их суммарную теплоотдачу:

$$Q_{ст} = 1,4 \cdot 12 \cdot 1080 = 18144 \text{ Вт.}$$

Проверяем число настенных панелей по условию (13.28)

$$\frac{Q_{ст}}{Q_{пн}} = \frac{18144}{45490} = 0,39 < 0,4.$$

По формуле (13.29) находим число потолочных излучающих панелей

$$n_{пт} = \frac{45490 - 18144}{1080} = 25.$$

По формуле (13.31) найдем максимально допустимое число потолочных панелей и проверим условие (13.30):

$$n_{пт}^{max} = \left(0,5 + \frac{0,6}{15/7,4}\right) \frac{12250}{(1 - 0,65) 1080} = 26 > 25.$$

Вычислим среднюю температуру излучающих панелей по формуле (13.34)

$$t_n^{cp} = 16 + 0,77 \left(\frac{150 + 70}{2} - 16 \right) = 88,4^\circ\text{C}.$$

По рис. 13.19 определим коэффициент облученности человека с поверхности потолка $\varphi_{ch-pn} = 0,18$.

Действительный коэффициент облученности человека панелями по формуле (13.35) будет равен

$$\varphi_{ч.п} = 4 \cdot 0,18 \frac{25 \cdot 1,38}{15 \cdot 20} = 0,084.$$

По рис. 13.18 определяем максимально допустимый коэффициент облученности человека потолочными панелями и проверяем условие (13.33)

$$\varphi_{max} = 0,1 > \varphi_{ч.п} = 0,021.$$

ГЛАВА 14. ЭЛЕКТРИЧЕСКОЕ ОТОПЛЕНИЕ

14.1. Классификация и область применения систем электрического отопления

Использование эффекта непосредственной трансформации электрической энергии в тепловую является весьма перспективным направлением в развитии систем отопления зданий. Электрическое отопление имеет следующие преимущества в сравнении с другими системами отопления:

- а) отсутствие продуктов сгорания и загрязнения окружающей среды;
- б) высокий коэффициент полезного действия;
- в) простота и короткие сроки монтажа электропроводки и нагревательных устройств;
- г) меньшие капитальные затраты;
- д) компактность нагревательных устройств;
- е) гибкость регулирования и простота автоматизации.

К числу недостатков электрического отопления следует отнести:

- а) низкие гигиенические показатели устройств с открытыми высокотемпературными нагревательными элементами;
- б) опасность в пожарном отношении;
- в) высокая отпускная стоимость электроэнергии и ее дефицитность.

Использование электроэнергии для отопления зданий вследствие ее высокой стоимости и дефицитности допускается только при технико-экономическом обосновании и согласовании возможности отпуска энергии с энергоснабжающими организациями в установленном порядке. Электрические системы отопления рекомендуется предусматривать в районах с неэффективной электроэнергией и в местах, где отсутствуют другие источники тепловой энергии. Системы электрического отопления подразделяются на:

- а) лучисто-конвективные (с применением электрорадиаторов, электроконвекторов и электронагревательных печей, а также греющего электрокабеля, заложеного в бетонный пол);
- б) воздушные (с использованием электрокалориферов);
- в) лучистые (с применением инфракрасных электроизлучателей).

Возможная область применения систем электрического отопления в зависимости от назначения зданий и помещений, а также характера производственного процесса приведена в п. 7.2. Электрическим системам следует отдавать предпочтение в случае эпизодического отопления помещений кратковременного использования и при необходимости обогрева локальных рабочих мест в неотапливаемых помещениях.

Применение электрических приборов отопления не допускается в помещениях:

- а) детских дошкольных учреждений;
- б) больниц и других медицинских стационаров (кроме психиатрических и наркологических);
- в) бань, прачечных и душевых павильонов;
- г) категорий *A* и *B*;
- д) категорий *B* с температурой на теплоотдающей поверхности более 110°C ;
- е) категорий *Г* и *Д* с повышенными требованиями к чистоте воздуха, с выделением горючих пылей и аэрозолей, со значительными влаговыведениями;
- ж) зданий III, IIIa, IIIб, IV, IVa и V степеней огнестойкости с температурой на теплоотдающей поверхности более 110°C .

14.2. Лучисто-конвективное электроотопление

В качестве отопительных приборов промышленного производства в системах лучисто-конвективного отопления применяют масляно-наполненные электрорадиаторы, электроконвекторы с открытыми нагревательными спиралями и печи электронагревательные с трубчатыми электронагревателями. Выпускаемые электрорадиаторы и электроконвекторы являются бытовыми приборами и предназначены для дополнительного обогрева жилых и служебных помещений только во время присутствия в помещении людей. Печи электронагревательные могут применяться для постоянного отопления помещений различного назначения с учетом максимальной температуры на теплоотдающей поверхности печи, указанной в паспортных данных.

Подбор электрорадиаторов, электрокон-

векторов и печей электронагревательных производится по теплопотерям помещения, определенным обычным методом (см. гл. 8), с использованием заводских паспортных данных электронагревателей и их технических характеристик.

Лучисто-конвективные системы с использованием греющего электрического кабеля, закладываемого в бетонную подготовку пола, могут применяться в основном для обогрева пола помещений над холодными проветриваемыми подпольями зданий, возводимых в районах с расчетной температурой наружного воздуха (по параметрам Б) минус 40°C и ниже. Электрические системы обогрева полов должны иметь регулирование и защиту кабеля от перегрева, перегрузок и коротких замыканий.

В помещениях, в которых возможно увлажнение или повреждение полов, греющий кабель следует защищать заземляемой или задуляемой металлической сеткой, предотвращающей появление электрического потенциала на поверхности пола.

Проектирование обогреваемых полов с помощью греющего электрического кабеля в зданиях и помещениях любого назначения рекомендуется производить по данным, приведенным в «Руководстве по проектированию и устройству обогреваемых полов жилых и общественных зданий, строящихся в Северной строительной-климатической зоне» (Красноярский ПромстройНИИпроект Минтяжстроя СССР, М.: Стройиздат, 1983).

14.3. Электровоздушное отопление

Электровоздушное отопление является частным случаем воздушного отопления и подчиняется общим правилам проектирования этих систем, изложенным в гл. 12.

В качестве устройств для нагрева воздуха в электровоздушных системах отопления используются электрокалориферы серии СФО-1Т-И2. Этими калориферами комплектуются также автоматизированные установки типа СФОЦ, предназначенные для применения главным образом в системах отопления и вентиляции сельскохозяйственных помещений и зданий промышленного назначения. Чертежи общих видов электрокалориферов и электрокалориферных установок и их технические характеристики приведены в прил. XII.

Нагрев воздуха в калориферах осуществляется с помощью оребренных трубчатых электронагревателей, установленных внутри кожуха. Нагреваемый воздух и воздух в помещении, где устанавливается электрокалорифер, не должен содержать взрыво- и пожароопасных веществ, токопроводящей пыли, газов и паров, способных разрушать материал кожуха, нагревателей и проводов.

Электрокалориферы СФО-1Т-И2 предназначены для применения в районах с умеренным и холодным климатом. Их следует устанавливать в закрытых помещениях при температуре не ниже 1°C и не выше 35°C, при относительной влажности воздуха не более 65% (при температуре воздуха 20°C).

Электрокалориферы могут быть укомплектованы аппаратурой управления, размещаемой в шкафу управления, с помощью которой возможно поддержание заданной температуры нагреваемого воздуха или воздуха в отапливаемом помещении путем последовательного включения и отключения трех ступеней электронагревателей установочной мощностью, составляющей 33,3; 66,7 и 100% полной.

Минимально допустимую производительность электрокалорифера по воздуху и соответствующий ей перепад температур входящего и выходящего воздуха в зависимости от температуры входящего воздуха определяют по рис. 14.1.

14.4. Инфракрасное электроотопление

Системы лучистого отопления с применением инфракрасных электроизлучателей обеспечивают комфортные тепловые условия человеку при пониженных температурах окружающего воздуха.

Инфракрасное излучение не поглощается воздухом и, попадая на тело человека, нагревает подкожные слои на значительную глубину, уменьшая или ликвидируя тем самым дефицит в тепловом балансе человека. Механизм поглощения теплового излучения телом человека обеспечивает ощущение теплового комфорта на длительное время даже после прекращения поступления потока лучистой энергии.

Тепловое ощущение человека в значительной степени зависит как от средней облученности тела человека, так и от облученности его отдельных участков. А это определяется схе-

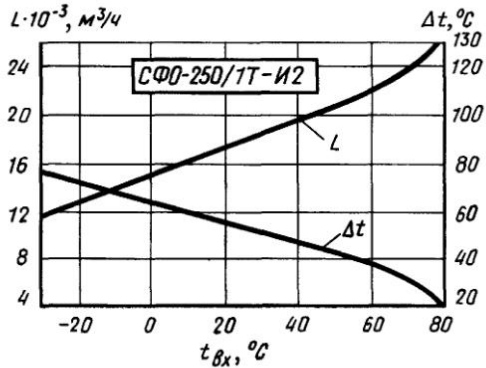
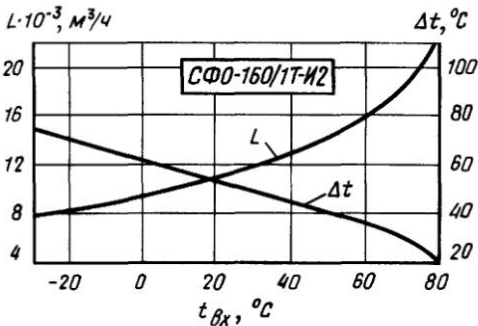
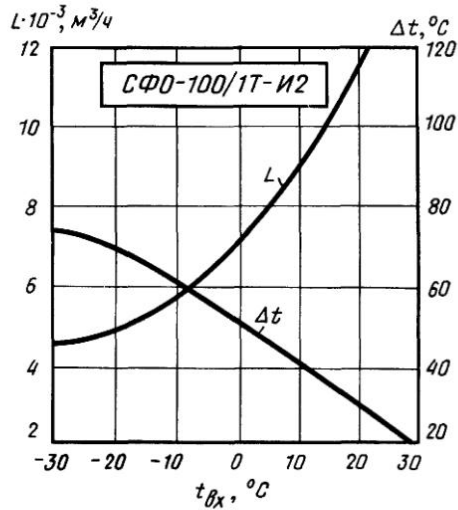
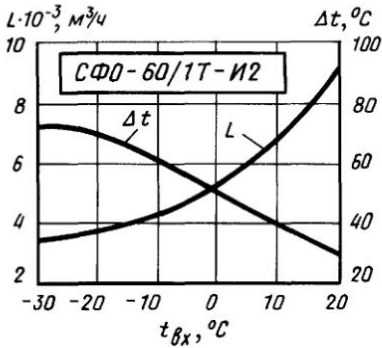
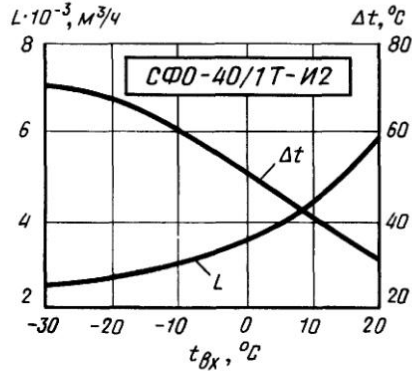
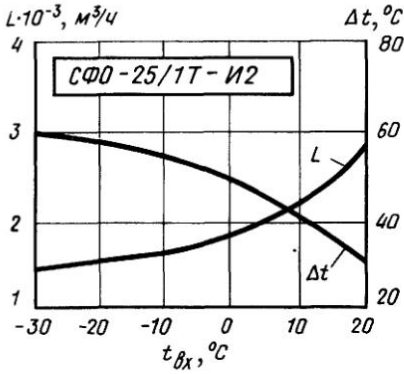


Рис. 14.1. Зависимости минимально допустимой производительности по воздуху L и перепада температур выходящего и входящего воздуха Δt от температуры входящего воздуха (при температуре выходящего воздуха до 50°C)

мой размещения инфракрасных излучателей относительно рабочей площадки и их техническими характеристиками.

В качестве инфракрасных излучателей в системах лучистого электроотопления применяются обогреватели типа ИЭТ-46-И1, представляющие собой протяженный отражатель из полированного алюминия, внутри которого смонтированы нагревательные элементы (рис. 14.2) Электрообогреватель снабжен поворотной скобой с фиксатором Его можно устанавливать на ограждающих конструкциях здания или крепить к стойкам передвижной тележки.

ТЕХНИЧЕСКАЯ ХАРАКТЕРИСТИКА ЭЛЕКТРООБОГРЕВАТЕЛЕЙ ТИПА ИЭТ-46-И1

Номинальная мощность при номинальном напряжении, кВт	2,5
Номинальное напряжение питающей сети, В	220
Мощность нагревательного элемента при номинальном напряжении, Вт	833
Количество нагревательных элементов, шт	3
Система электропитания электрообогревателя	Однофазная с заземляющим проводом
Температура на поверхности, °С	
нагревательного элемента	800–850
отражателя (не более)	200
Ресурс работы нагревателя, ч	2500
Срок службы, лет	5
Масса, кг	3,75

Электрообогреватели (ЭО) рекомендуется размещать снаружи обогреваемой зоны на расстоянии не ближе 1 м от ее границ Предпочтительным является периметральное расположение ЭО Допускается размещение ЭО с трех или двух сторон площадки.

Электрообогреватели можно устанавливать как в горизонтальном, так и в вертикальном положении Высота размещения ЭО над поверхностью обогреваемой площадки 0,7 м при вертикальном положении ЭО и 2,5–5 м при их горизонтальном положении. Горизонтально расположенные ЭО следует наклонять вниз под углом 12–25° к вертикали

Задача теплового расчета систем инфракрасного электрообогрева состоит в определении числа ЭО и рациональной схемы их размещения при обеспечении требуемых параметров теплового комфорта человека, находящегося на обогреваемой площадке. Эта задача решает-

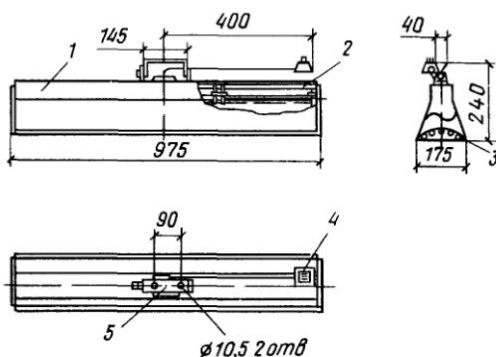


Рис. 14.2. Инфракрасный электрообогреватель ИЭТ 46 И1
1 — отражатель, 2 — вставка, 3 — решетка, 4 — шнур, армированный вилкой, 5 — поворотная скоба

ся путем расчета требуемых параметров теплового комфорта в зависимости от характера производства, температуры и скорости движения воздуха в помещении или на открытой площадке, облученности частей тела человека со стороны технологического оборудования, наличия пылевыведений и сравнения этих параметров с фактическими, которые создаются на конкретной площадке при определенной установке необходимого количества обогревателей

Средняя облученность человека на рабочей площадке q_c от системы инфракрасного обогрева и производственных источников должна быть равна необходимой средней облученности человека q_{nc} при данной температуре окружающего воздуха ($q_c = q_{nc}$) Относительная облученность головы $D_{(1)}$ и лица $D_{(2)}$ не должна превышать максимально допустимых значений облученности $D_{д(1)}$ и $D_{д(2)}$ ($D_{(1)} \leq D_{д(1)}$, $D_{(2)} \leq D_{д(2)}$) Относительная облученность ног $D_{(3)}$ не должна быть меньше минимально допустимой облученности $D_{д(3)}$ ($D_{(3)} \geq D_{д(3)}$). Неравномерность облучения человека δ в пределах рабочей площадки не должна превышать минимально допустимого значения δ_d при данной температуре ($\delta \leq \delta_d$).

Допустимые значения облученности и неравномерности облучения рассчитывают по формулам:

$$q_{nc} = \frac{q_n - q_{(o)}^n}{\beta}, \quad (14.1)$$

$$D_{д(1)} = \frac{1 + \Delta t / (t_n - t_n) - q_{(1)}^n / q_n}{1 - q_{(o)}^n / q_n}, \quad (14.2)$$

$$D_{д(2)} = \frac{1 + \Delta t / (t_n - t_n) - q_{(2)}^n / q_n}{1 - q_{(o)}^n / q_n}; \quad (14.3)$$

$$D_{д(3)} = \frac{1 - \Delta t / (t_n - t_n) - q_{(3)}^n / q_n}{1 - q_{(o)}^n / q_n}; \quad (14.4)$$

$$\delta_d = 2 \frac{\Delta t / (t_n - t_n)}{1 - q_{(o)}^n / q_n}, \quad (14.5)$$

где q_{nc} – необходимая средняя облученность человека на рабочей площадке от систем обогрева, Вт/м²; q_n – необходимая облученность тела человека; $q_n = 1,25\alpha_{\Sigma}(t_n - t_n)$ при коэффициенте суммарной теплоотдачи α_{Σ} , равном:

v , м/с	0,2	0,3	0,5	0,7	1	1,5	2
α_{Σ} , Вт/(м ² ·°С)	8	10,5	12,8	14,3	16,9	20	22

$q_{(o)}^n$ – средняя облученность тела человека от производственных источников, Вт/м²; β – коэффициент ослабления лучистого потока от электрообогревателей пылью, парами воды и т.п.; при запыленности 8–15 мг/м³ принимается равным 0,86; Δt – допустимое отклонение температуры воздуха от нормируемой, принимаемое по ГОСТ 12.1.005–88, °С; t_n – нормируемая температура воздуха, равная среднему значению нормируемого диапазона температуры воздуха, указанного в ГОСТ 12.1.005–88, °С; t_n – минимальная температура воздуха в помещении, °С.

Фактические геометрические и теплотехнические параметры для различных вариантов площадок и схем размещения электрообогревателей указаны в табл. 14.1 и 14.2.

ТАБЛИЦА 14.2

ТЕПЛОТЕХНИЧЕСКИЕ ПАРАМЕТРЫ СХЕМ РАЗМЕЩЕНИЯ ЭЛЕКТРООБОГРЕВАТЕЛЕЙ

№ варианта	q_c , Вт/м ²	$D_{(1)}$	$D_{(2)}$	$D_{(3)}$	δ	$K_c \cdot 10^2$
1	300	0	0,82	0,95	0,08	3
2	450	0	0,82	0,95	0,07	3
3	465	0	0,76	0,75	0,4	4,7
4	153	0	1,12	0,84	0,41	6,1
5	135	0	1,06	0,64	0,48	10,8
6	215	0	0,81	0,91	0,11	4,1
7	235	0	1,16	0,79	0,6	7,5
8	210	0	1,09	0,82	0,63	12,2
9	121	2,2	1,65	0,35	0,13	4,8
10	265	0,6	0,93	0,61	0,58	10,6
11	146	2,4	1,93	0,3	0,33	11,8
12	270	0,6	0,92	0,78	0,44	9,6
13	243	1,8	1,7	0,5	0,39	15,5
14	141	3,5	1,51	0,51	0,63	9
15	134	2,6	1,39	0,59	0,53	8,6

Примечание. Коэффициент эффективности облучения системы обогрева K_c численно равен отношению произведения площади рабочей площадки и средней облученности человека к установочной мощности системы обогрева.

Если параметры приведенных схем размещения электрообогревателей не удовлетворяют условиям теплового комфорта или ограничения на размещение обогревателей не позволяют использовать данные схемы, то для подбора требуемой схемы размещения электрообогревателей и определения ее параметров рекомендуется использовать методику расчета, изложенную в СТП-5755235-215-87 «Расчет систем инфракрасного электрообогрева», утвержденном ВНИИЭТО 29.09.87 г.

Установочная мощность P , кВт, системы электроотопления с электрообогревателями

ТАБЛИЦА 14.1

ГЕОМЕТРИЧЕСКИЕ ПАРАМЕТРЫ СХЕМ РАЗМЕЩЕНИЯ ЭЛЕКТРООБОГРЕВАТЕЛЕЙ (РИС. 14.3)

№ варианта	Тип схемы	Размеры рабочей площадки, м		Расстояние с, м	Шаг d , м	Угол поворота, град		Высота подвеса H , м	Количество электрообогревателей N , шт
		a	b			γ_a	γ_b		
1	Рис. 14.3,а	1	1	1,5	1	12,5	–	0,7	4
2		1	1	1,5	0,5	12,5	–	0,7	6
3		1	1	0	0	0	–	0,7	4
4		2	2	1,5	2	12,5	–	0,7	4
5		4	4	1,5	1,33	12,5	–	0,7	8
6		1	16	1,5	1	0	–	0,7	34
7	Рис. 14.3,б	2	16	1,5	1	0	12,5	0,7	40
8		4	16	1,5	1	0	12,5	0,7	44
9	Рис. 14.3,в	2	2	1,5	1	55	–	2,5	4
10		2	16	1,5	1	45	–	2,5	32
11		4	4	1,5	1	63	–	2,5	8
12	Рис. 14.3,г	2	16	1,5	1	45	25	2,5	36
13		4	16	1,5	1	55	25	2,5	40
14		4	16	1,5	1	35	12	5	40
15		4	16	2,5	1	42	12	5	40

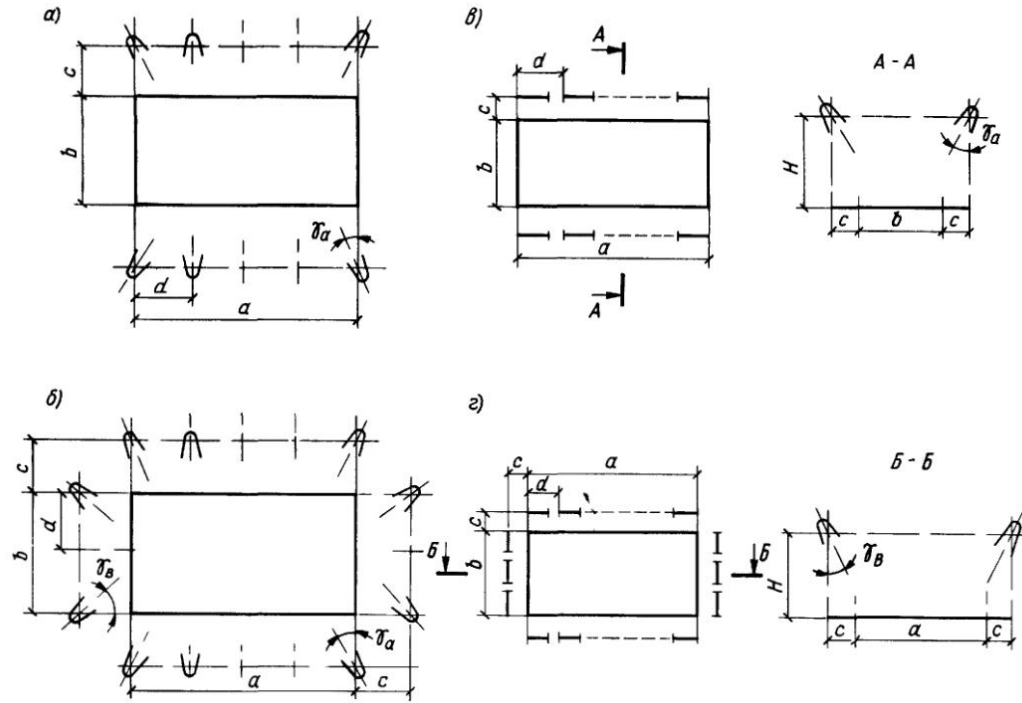


Рис. 14.3. Схемы размещения электрообогревателей системы инфракрасного обогрева при вертикальном положении их (а, б) а горизонтальном (в, г)

ИЭТ-46-И1 определяется по формуле

$$P = 2,5N. \quad (14.6)$$

Пример. Рассчитать систему обогрева непостоянного рабочего места в неотапливаемом производственном помещении со средней запыленностью воздуха при работе средней тяжести

Исходные данные длина и ширина рабочей площадки 1 м. Ограничения на расположение электрообогревателей обогреватели могут устанавливаться с двух сторон от площадки не ближе 1,5–2 м от границы площадки на высоте от 0 до 5 м. Скорость движения воздуха 0,2 м/с. Минимальная температура воздуха в помещении минус 25°C.

Средняя облученность человека производственными источниками, Вт/м² $q_{(0)}^n = 200$, $q_{(1)}^n = 0$, $q_{(2)}^n = 200$, $q_{(3)}^n = 200$

Нормированная температура $t_n = 18,5^\circ\text{C}$. Полуразность между максимально и минимально допустимыми температурами воздуха $\Delta t = 5,5^\circ\text{C}$

При $v = 0,2$ м/с коэффициент $\alpha_\Sigma = 8,0$ Вт/(м² °C)

1 Рассчитаем необходимость облученности тела человека

$$q_n = 1,25 \cdot 8 [18,5 - (-25)] = 435 \text{ Вт/м}^2$$

2 По формулам (14.1)–(14.5) определим требуемые показатели теплового комфорта q_n , $D_{д(1)}$, $D_{д(2)}$, $D_{д(3)}$, δ_d

$$q_{nc} = \frac{q_n - q_{(0)}^n}{\beta} = \frac{435 - 200}{0,86} = 273 \text{ Вт/м}^2;$$

$$D_{д(1)} = \frac{1 + 5,5/[18,5 - (-25)] - 0/435}{1 - 200/435} = 2,45,$$

$$D_{д(2)} = \frac{1 + 5,5/[18,5 - (-25)] - 200/435}{1 - 200/435} = 1,23;$$

$$D_{д(3)} = \frac{1 - 5,5/[18,5 - (-25)] - 200/435}{1 - 200/435} = 0,77;$$

$$\delta_d = 2 \frac{\Delta t / (t_n - t_b)}{1 - q_{(0)}^n / q_n} = \frac{2 \cdot 5,5/[18,5 - (-25)]}{1 - 200/435} = 0,47$$

3 Условиям теплового комфорта удовлетворяют варианты 1 и 3 схем размещения электрообогревателей, приведенных в табл. 14.1 и 14.2. Однако коэффициент эффективности облучения системы обогрева при варианте 3 выше, чем при варианте 1. Запас по фактической облученности $q_c = 465 > q_{nc} = 273$ Вт/м² можно компенсировать системой регулирования.

4 Мощность системы инфракрасного электрообогрева в соответствии с формулой (14.6) составит

$$P = 2,5 \cdot 4 = 10 \text{ кВт}$$

ГЛАВА 15. ОСОБЕННОСТИ ОТОПЛЕНИЯ СЕЛЬСКОХОЗЯЙСТВЕННЫХ ЗДАНИЙ И СООРУЖЕНИЙ

15.1. Системы отопления в животноводческих помещениях

В животноводческих помещениях должны быть обеспечены метеорологические условия, соответствующие климатической зоне максимальной продуктивности в течение расчетного эксплуатационного периода здания.

Системы отопления (охлаждения) должны обеспечивать в зоне пребывания животных заданные температурные параметры воздуха. Так, в помещениях для содержания крупного рогатого скота зоной пребывания является пространство высотой до 1,5 м от поверхности пола, в свиноводческих и овцеводческих помещениях – пространство высотой до 0,9 м.

Мощность систем отопления и другие теплофизические характеристики (термические сопротивления ограждающих конструкций, радиационная температура помещения, условия и соотношения конвективно-лучистого теплообмена животных и др.) определяются на основе решения уравнений энергетического баланса как помещения в целом, так и частных, определяющих отдельные качественные составляющие теплообмена животного.

Уравнение энергетического баланса животноводческого помещения в алгебраической форме может быть записано:

$$Q_{\text{ж}} + Q_{\text{с.р}} + Q_{\text{от}} + Q_{\text{огр}} + Q_{\text{исп}} + Q_{\text{инф}} + Q_{\text{вент}} + Q_{\text{т.о}} = 0, \quad (15.1)$$

где $Q_{\text{ж}}$, $Q_{\text{с.р}}$ и $Q_{\text{от}}$ – теплопоступления от животных, солнечной радиации и системы отопления, Вт; $Q_{\text{огр}}$, $Q_{\text{исп}}$, $Q_{\text{инф}}$, $Q_{\text{вент}}$ – теплопотери через ограждающие конструкции, на испарение жидкости с мокрых и смоченных поверхностей, на нагрев инфильтрующегося в помещение наружного воздуха и на нагрев наружного вентиляционного воздуха, подаваемого в помещение, Вт; $Q_{\text{т.о}}$ – теплопоступления или расход теплоты, связанные с работой технологического оборудования, Вт.

Количество теплоты, поступающее в помещение от животного, определяется по формулам:

$$Q_{\text{ж}}^{\text{общ}} = nq^{\text{общ}} K_1 K_2 K_3; \quad (15.2)$$

$$Q_{\text{ж}}^{\text{св}} = nq^{\text{св}} K_1 K_2 K_3, \quad (15.3)$$

где n – расчетное количество животных в помещении; $q^{\text{общ}}$, $q^{\text{св}}$ – общее и свободное количество теплоты,

ТАБЛИЦА 15.1

КОЛИЧЕСТВО ТЕПЛОТЫ, ВЫДЕЛЯЕМОЙ КРУПНЫМ РОГАТЫМ СКОТОМ (КРС)

Группа животных	Масса, кг	Теплота			
		общая		свободная	
		кДж/ч	ккал/ч	кДж/ч	ккал/ч
Коровы стельные сухостойные и нетели	300	2780	664	2000	478
	400	3300	790	2380	569
	600	4260	1018	3070	733
	800	5000	1196	3610	861
Коровы, лактирующие при уровне лактации, л:	300	2760	658	1970	474
	400	3280	785	2360	565
	500	3560	850	2520	602
	600	4240	1010	3040	727
10	300	2970	708	2140	510
	400	3520	841	2540	605
	500	3960	947	2860	682
	600	4510	1051	3140	757
15	300	3420	817	2460	588
	400	4000	954	2880	687
	500	4550	1056	3180	760
	600	4800	1143	3450	823
Волы откормочные	400	4300	1025	3090	738
	600	5220	1247	3760	898
	800	6250	1490	4500	1073
	1000	7460	1763	5310	1269
Телята: до 1 мес	30	460	110	330	79
	40	650	155	470	112
	50	800	191	575	137
	80	1180	281	847	202
от 1 до 3 мес	40	675	162	490	117
	60	990	236	712	170
	100	1550	370	1130	266
	130	1760	420	1260	302
от 3 до 4 мес	90	1140	273	820	196
	120	1700	406	1250	292
	150	1760	420	1260	302
	200	2480	593	1670	398
Молодняк от 4 мес и старше	120	1480	354	1070	255
	180	1840	450	1360	324
	250	2280	545	1380	329
	350	3000	716	2160	515

выделяемое одним животным, Вт (табл. 15.1 и 15.2); K_1 – коэффициент изменения тепловыделения животного в зависимости от температуры помещения (рис. 15.1); K_2 – коэффициент, учитывающий фактическое количество животных в помещении по сравнению с расчетным (для крупного рогатого скота $K_2 = 0,9$, для свиней $K_2 = 0,8$); K_3 – коэффициент, учитывающий тепловыделения животных в состоянии покоя (в ночное время); для крупного рогатого скота и свиней $K_3 = 0,8$.

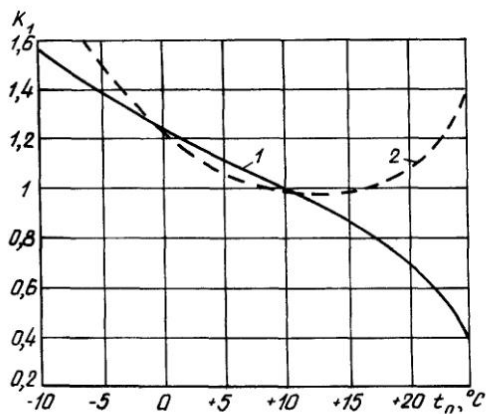


Рис. 15.1. Изменение коэффициента K_1 в зависимости от температуры помещения для коров (1), для свиней (2)

ТАБЛИЦА 15.2
КОЛИЧЕСТВО ТЕПЛОТЫ, ВЫДЕЛЯЕМОЙ СВИНЯМИ

Группа животных	Масса, кг	Теплота			
		общая		свободная	
		кДж/ч	ккал/ч	кДж/ч	ккал/ч
Хряки-производители	100	1235	295	890	212
	200	1700	405	1220	292
	300	2165	517	1560	372
Матки: холостые и легко- супоросные	100	1020	243	733	175
	150	1175	281	846	202
	200	1355	323	975	233
гяжелосупоросные	100	1220	288	870	208
	150	1420	339	1040	244
	200	1620	384	1155	276
подсосные с поросятами	100	2440	584	1760	420
	150	2780	665	2100	480
	200	3220	768	2360	555
Поросята до двухмесяч- ного возраста	1	29,8	7,08	21,4	5,1
	2	57	13,62	41	9,8
	5	204	48,37	146	34,8
	7	257	62,41	188	44,9
	10	383	86,59	261	62,3
	15	460	110	330	70
Поросята-отъемыши	20	505	120,4	363	86,7
	30	600	144,6	436	104
	40	706	168,9	512	122
Ремонтный и откормоч- ный молодняк	50	725	185	557	133
	60	930	222	675	161
	80	1080	258	775	185
	90	1120	273	822	196
	100	1200	287	863	206
	110	1270	302	910	217
	120	1320	314	947	226
Взрослые свиньи	100	1360	317	955	228
	200	1760	420	1270	302
	300	2320	553	1660	398

Примечание. В табл. 15.1 и 15.2 приведены значения тепловыделений животных при температуре помещения $+10^\circ\text{C}$ и относительной влажности воздуха 70%. При других температурах расчетные значения количества теплоты, выделяемой животными, следует принимать с поправочными коэффициентами, приведенными на рис. 15.1. Расчетные значения тепловыделений от животных следует увеличивать на 3% в том случае, если относительная влажность воздуха в помещении для содержания свиней больше 70%, а крупного рогатого скота — больше 75%.

При составлении теплового баланса животноводческого помещения расчетным периодом следует считать ночное время.

При проектировании систем отопления животноводческих помещений расчетную наружную температуру воздуха следует принимать по параметрам «Б» главы СНиП 2.04.05-86.

Значения температуры и относительной влажности внутреннего воздуха в помещениях для содержания животных приведены в табл. 15.3. и 15.4.

В теплый период года, т.е. при температуре наружного воздуха выше 10°C , в животноводческих помещениях температура воздуха не должна превышать больше чем на 5°C расчетную наружную температуру — параметр А — для расчетного региона.

Выбор системы охлаждения воздуха должен быть подтвержден соответствующим технико-экономическим обоснованием.

При расчете теплообмена животного с окружающей средой следует иметь в виду, что температура поверхности тела животного зависит от температуры окружающего воздуха (рис. 15.2).

В лучистом теплообмене животного с внутренними поверхностями ограждающих конструкций участвует не вся поверхность тела животного, а лишь ее часть. Расчетная поверхность тела животного F_n , m^2 , определяется по формуле

$$F_n = KF_{\text{ж}}, \quad (15.4)$$

где K — часть общей поверхности тела животного, участвующая в теплообмене (для коров и свиней в положении стоя $K = 0,8$); $F_{\text{ж}}$ — общая поверхность тела животного.

Для коров

$$F_{\text{ж}} = 10,5p^{2/3}; \quad (15.5)$$

для свиней

$$F_{\text{ж}} = 9,2p^{2/3}, \quad (15.6)$$

где p — живая масса животного, т.

При расчете лучистого теплообмена жи-

ТАБЛИЦА 15.3
ТЕМПЕРАТУРА И ВЛАЖНОСТЬ ВОЗДУХА В ПРОИЗВОДСТВЕННЫХ ПОМЕЩЕНИЯХ ДЛЯ КРС

Здания и помещения	Группа животных	Содержание животных	Расчетная температура воздуха, °С	Относительная влажность воздуха, %	
				максимальная	минимальная
1. Коровники, здания для молодняка и для скота на откорме. Помещения для передержки осемененных коров и содержания быков	Коровы, быки-производители, молодняк старше года, скот на откорме	Привязное и боксовое (с регламентированным использованием выгулов), групповое беспривязное на решетчатых полах	10	75	40
2. Коровники и здания для молодняка молочных пород (в районах с расчетной зимней температурой минус 25°С и ниже). Помещения для отела мясных коров	Коровы и молодняк всех возрастов молочных пород, мясные коровы перед отелом и непосредственно после отела	Беспривязное на глубокой подстилке	3	85	40
3. Коровники и здания для молодняка молочных пород (в районах с расчетной зимней температурой выше минус 25°С)	Коровы и молодняк всех возрастов	То же	Не нормируется		
4. Здания для молодняка	Молодняк от 4–6 до 12 мес	Групповое беспривязное (кроме случаев, указанных в пп. 2 и 3) и боксовое	15	75	40
5. Телятники	Телята от 10–20 дней до 4–5 мес	Групповое беспривязное боксовое и в индивидуальных клетках	15	75	40
6. Родильное отделение: а) помещение для отела коров	Коровы глубокоостельные и новостельные	Привязное и в денниках	15	75	40
б) профилакторий	Телята до 20-дневного возраста	В индивидуальных клетках	20	75	40
7. Помещение для содержания мясных коров с телятами в возрасте от 20 дней до 2 мес	Коровы с телятами до двухмесячного возраста	Беспривязное на глубокой подстилке	Не нормируется		
8. Трехстенные навесы для коров и молодняка мясных пород	Коровы сухостойные и с телятами старше двухмесячного возраста, молодняк всех возрастов	Беспривязное	Не нормируется		
9. Помещение для санитарной обработки скота	Коровы, молодняк, телята	—	18	75	—
10. Доильно-молочное отделение: доильный зал и молочная (помещения для приема, первичной обработки и временного хранения молока)	—	—	15	75	—
11. Пункт искусственного осеменения (манеж и лаборатория)	—	—	18	75	—

Примечание. Приведены нормы параметров воздуха для содержания животных на подстилке. Если животные содержатся без подстилки, то расчетные температуры должны быть повышены: для взрослого скота и молодняка при беспривязном содержании на 5°С, при привязном содержании – на 3°С, а для телят – на 7°С.

вотного следует учитывать коэффициент облученности ограждающих конструкций ϕ_x и коэффициент взаимозатененности K_z (табл. 15.5).

Теплофизические свойства ограждающих конструкций играют большую роль в общем энергетическом балансе животноводческого помещения. Кроме того, ограждающие конструкции в большой степени определяют

климатическую зону максимальной продуктивности животных, формируя лучистый теплообмен животных.

Термические сопротивления ограждений должны обеспечить такую температуру на их внутренних поверхностях, а следовательно, и среднюю радиационную температуру в помещении, при которой лучистый теплообмен

ТАБЛИЦА 15.4
ТЕМПЕРАТУРА И ВЛАЖНОСТЬ ВОЗДУХА В ПОМЕЩЕНИЯХ ДЛЯ СОДЕРЖАНИЯ СВИНЕЙ

Здания и помещения	Температура воздуха в помещениях, °С		Относительная влажность воздуха в помещениях, %		
	пределы				
	расчетная	максимальная	минимальная	максимальная	минимальная
Свинарники – помещения для холостых и супоросных маток (кроме указанных в последнем пункте) и хряков	16	19	13	75	40
То же, для поросят-отъемышей и ремонтного молодняка	20	22	18	70	40
Свинарники-откормочники – помещения для содержания свиней	18	20	14	75	40
Свинарники-маточники – помещения для тяжело супоросных (за 7–10 дней до опороса) и подсосных маток	20	22	18	70	40

ТАБЛИЦА 15.5
ЗНАЧЕНИЕ КОЭФФИЦИЕНТОВ ОБЛУЧЕННОСТИ φ_x И ВЗАИМОЗАТЕНЕННОСТИ K ДЛЯ РАЗЛИЧНЫХ ЖИВОТНОВОДЧЕСКИХ ПОМЕЩЕНИЙ

Ширина помещения, м	φ_x		K
	покрытия	стены	
<i>Коровники</i>			
12	0,31	0,18	0,19
18	0,30	0,15	0,24
<i>Свинарники</i>			
12	0,46	0,27	0,1
18	0,53	0,23	0,07
24	0,57	0,21	0,05

животного с ограждающими конструкциями не превышал бы конвективной теплоотдачи, т. е. чтобы животное не ощущало местного переохлаждения отдельных частей тела. Этому условию соответствует температура поверхности стены $t_w^{ст} = t_n - 3^\circ$ и температура внутренней поверхности покрытия $t_w^п = t_n - 2,5^\circ\text{С}$.

Тепловое воздействие пола на организм животного характеризуется средней интенсивностью теплопоглощения пола в течение расчетного периода и периодом времени ощущения охлаждающего эффекта. В условиях климатической зоны максимальной продуктивности животный период ощущения охлаждающего эффекта не должен превышать времени

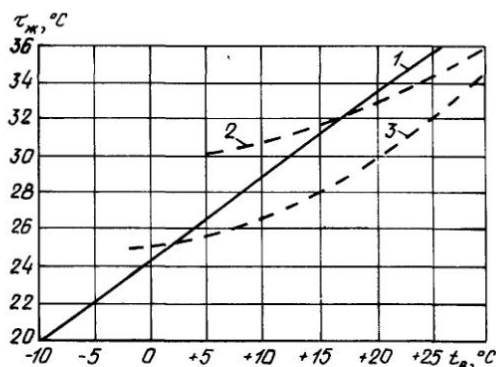


Рис. 15.2. Изменение температуры тела животного $t_{ж}$ в зависимости от температуры окружающего воздуха
1 – для коров; 2 и 3 – для свиней живой массой более 50 кг и менее 50 кг

собственной терморегуляции организма, болезненно отражающейся на физиологическом состоянии индивидуума.

Расчетное теплопоглощение материала конструкции пола определяется коэффициентом активности, $\kappa \text{Дж}/(\text{м}^2 \cdot \text{ч}^{1/2} \cdot ^\circ\text{С})$

$$B_r = \sqrt{\lambda C \gamma}. \quad (15.7)$$

Требуемые значения коэффициентов тепловой активности для полов в животноводческих помещениях различного назначения приведены в табл. 15.6.

Количество теплоты, подаваемой системой отопления в животноводческое помещение, определяется из условий энергетического баланса этого помещения при расчетной наружной отопительной температуре t_n и температуре в зоне пребывания животных $t_{ж}$, соответствующей условиям климатической зоны максимальной продуктивности животных.

В животноводческих помещениях преимущественно следует проектировать системы воздушного отопления, совмещенные с системой подачи свежего наружного воздуха. Параметры воздуха и схема подачи его в помещение определяются количеством теплоты $Q_{от}$, которую необходимо подать в помещение, конструктивными особенностями помещения, технологией содержания животных и другими факторами, зависящими от конкретных условий.

Системы центрального водяного отопления с различными отопительными приборами (радиаторы, регистры, панели) можно применять в родильных отделениях крупного рогатого скота, в помещениях для содержания

ТАБЛИЦА 15.6
ТРЕБУЕМЫЕ ЗНАЧЕНИЯ КОЭФФИЦИЕНТОВ
ТЕПЛОЙ АКТИВНОСТИ $B^*_{т}$ ПОЛОВ
ЖИВОТНОВОДЧЕСКИХ ПОМЕЩЕНИЙ

Назначение помещений	Расчетная температура внутреннего воздуха °С	Показатель тепловой активности, $B^*_{т}$	
		ккал/(м ² ·ч ^{1/2} ·°С)	Дж/(м ² ·ч ^{1/2} ·°С)
Для содержания крупного рогатого скота			
дойных коров и молодняка до 4-6-месячного возраста	15	42	10
других групп крупного рогатого скота	12	54	12
Для содержания свиней:			
поросят-отъемышей до 4-месячного возраста, тяжелоопоросных и подсосных маток	18-20	42	10
других групп свиней	16-18	54	12

Примечание. Если $B^*_{т}$ должно быть выше требуемого значения, необходима утепляющая подстилка или другой материал конструкции пола.

свиноматок с поросятами. Максимальная температура воздуха, подаваемого системой воздушного отопления, не должна превышать 70°С. Температура греющего теплоносителя в системах воздушного отопления может быть принята до 150°С. Приборы в помещении должны быть установлены так, чтобы исключалось прикосание к ним животных.

В животноводческих помещениях можно применять комбинированные системы отопления с использованием локальных систем. Так, в помещениях для молодняка можно устраивать электрообогреваемые полы и устанавливать инфракрасные излучатели различного типа в виде электрических ламп накаливания. Эти системы применяются в сочетании с другими системами отопления и являются дополнительным средством местного обогрева.

В помещениях для содержания животных можно применять системы газового отопления с помощью горелок инфракрасного излучения (ГИИ), работающих как на природном, так и на сжиженном (пропан-бутан) газе. Горелки должны быть оборудованы специальными отсосами вытяжной вентиляционной системы.

При проектировании таких систем следует иметь в виду, что основным показателем их

работы является плотность облученности животных. Количество горелок n_t , необходимых для отопления помещения, определяется по формуле

$$n_t = Q_{от}/Q_t, \quad (15.8)$$

где Q_t — номинальная тепловая мощность горелки, Вт.

Рассчитанное количество горелок должно быть размещено в помещении таким образом, чтобы облученность животных не превышала норм, приведенных в табл. 15.7.

ТАБЛИЦА 15.7
НОРМЫ ОБЛУЧЕННОСТИ ЖИВОТНЫХ

Вид животного	Норма облученности	
	Вт/м ²	ккал/(ч × м ²)
Телята	85-130	100-150
Поросята в возрасте до 1 мес	130-155	150-180
То же, более 1 мес	85-130	100-150
Свиноматки	70-85	80-100

Облученность, создаваемая одной горелкой инфракрасного излучения, определяется по номограммам, приведенным на рис. 15.3.

В табл. 15.8 даны рекомендации по применению систем отопления в животноводческих помещениях различного назначения.

ТАБЛИЦА 15.8
РЕКОМЕНДУЕМЫЕ СИСТЕМЫ ОТОПЛЕНИЯ
ЖИВОТНОВОДЧЕСКИХ ПОМЕЩЕНИЙ

Вид помещения	Система отопления	
	основная	дополнительная
Коровники	Воздушная, совмещенная с приточной вентиляцией	—
Родильные отделения	То же	Водяная, электрообогреваемые полы, газовые излучатели ГИИ
Телятники	»	Инфракрасные излучатели — электрические лампы накаливания, газовые излучатели ГИИ
Свинарники-маточники	»	Электрообогреваемые полы, инфракрасные излучатели — электрические лампы накаливания, газовые излучатели ГИИ
Свинарники-откормочники	»	—

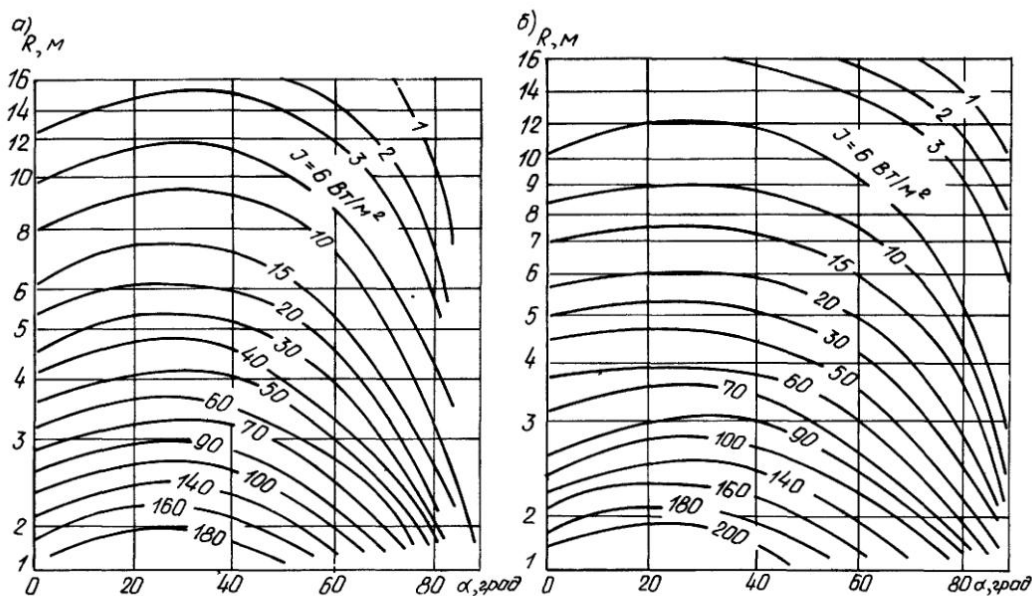


Рис. 15.3. Номограмма для определения плотности облученности J , Вт/м², создаваемой горелкой инфракрасного излучения с керамической (а) и металлокерамической (б) насадками площадью 500 см²

R — расстояние от поверхности насадок ГИИ до точки, в которой определяется облученность, м, α — пространственный угол между нормалью к плоскости излучающей насадки и направлением на точку, в которой определяется плотность облученности

15.2. Птицеводческие помещения

Системы отопления птицеводческих помещений должны обеспечивать заданные температурные режимы в условиях стационарного энергетического баланса при расчетной отопительной наружной температуре. Расчетные параметры наружного воздуха следует принимать по параметрам Б главы СНиПа.

В холодный период года температура внутреннего воздуха в помещении определяется видом птиц, их возрастом и технологией содержания (табл. 15.9).

Температура внутреннего воздуха в основных производственных помещениях птицефабрик приведена в табл. 15.10.

В помещениях для содержания молодняка следует предусматривать зоны обогрева локальными системами для поддержания в них следующих температур, °С:

куры в возрасте 1–30 дней	35–22
индейки в возрасте 1–20 «	35–22
утки в возрасте	
1 10 дней	26
11–30 «	26–22

При составлении энергетического баланса птицеводческого помещения необходимо принимать в расчет теплопоступления от птиц, находящихся в этом помещении. Тепловой поток от птиц $Q_{\text{пт}}$ определяется по формуле

$$Q_{\text{пт}} = nPqK_1K_2K_3, \quad (15.9)$$

где n — расчетное число голов птиц, P — масса одной птицы, кг, q — тепловыделения птицы, Вт/кг (табл. 15.11); $K_1 = 0,6$ — поправочный коэффициент на тепловыделения в ночное время; K_2 — поправочный коэффициент на отклонение температуры воздуха в птичнике от расчетной (табл. 15.12); $K_3 = 0,85 - 0,9$ — коэффициент заполнения птичника, т.е. отношение фактического количества голов птиц, находящихся большую часть времени в помещении, к расчетному

При составлении энергетического баланса помещения следует учитывать количество теплоты, Вт, расходуемой на испарение влаги из помета

$$Q_{\text{исп}} = \frac{2500 n P_n}{3,6 \cdot 24} z, \quad (15.10)$$

где n — число голов птицы; P_n — выход помета от одной птицы, кг/сут (табл. 15.13); z — степень усушки помета

ТАБЛИЦА 15.9
ТЕМПЕРАТУРА И ВЛАЖНОСТЬ ВНУТРЕННЕГО ВОЗДУХА В ПОМЕЩЕНИЯХ ДЛЯ СОДЕРЖАНИЯ ПТИЦ

Вид и возрастная группа птицы	Расчетная температура в холодный период года, °С, при содержании			Оптимальная относительная влажность, %
	напольном			
	в помещении	под брудерами	клеточном	
Взрослая птица				
Куры	16-18	—	16-18	60-70
Индейки	16	—	—	60-70
Утки	14	—	—	70-80
Гуси	14	—	—	70-80
Цесарки	16	—	16	65-70
Перепела	—	—	20-22	60-70
Молодняк птицы				
Молодняк кур в возрасте, недели				
ремонтный:	28-24	35-22	33-24	60-70
1-4	18-16	2	18	60-70
5-11	16	—	16	60-70
12-22(26)	—	—	—	—
дылчат-бройлеры:				
1	28-26	35-30	32-28	65-70
2-3	22	29-26	25-24	65-70
4-6	20	—	20	65-70
7-9	18	—	18	60-70
Молодняк индеек в возрасте, недели:				
1	30-28	37-30	35-32	60-70
2-3	28-22	29-25	31-27	60-70
4-5	21-19	25-21	26-22	60-70
6-17	20-17	—	21	60-70
18-30(34)	16	—	18	60-70
Молодняк уток в возрасте, недели:				
1	26-22	35-26	31-24	65-75
2-4	20	25-22	24-20	65-75
5-8	16	—	18	65-75
9-26(28)	14	—	14	65-75
Молодняк гусей в возрасте, недели:				
1-3(4)	26-22	30	30-22	65-75
4(5)-9	20-18	—	20-18	65-75
10-39	14	—	14	70-80

ТАБЛИЦА 15.10
ТЕМПЕРАТУРА ВОЗДУХА t, В ПРОИЗВОДСТВЕННЫХ ПОМЕЩЕНИЯХ

Помещения	Температура, °С
Для приема яиц	15-22
Для сортировки яиц	18-22
Для хранения яиц	8-12
Инкубаторный зал	20-22
Для обработки молодняка	24-26
Для хранения молодняка	28-30

ТАБЛИЦА 15.11
КОЛИЧЕСТВО ТЕПЛОТЫ, ВЫДЕЛЯЕМОЙ РАЗЛИЧНЫМИ ГРУППАМИ ПТИЦ

Вид и возрастная группа птицы	Живая масса птицы, кг	Свободная теплота	
		кДж/ч	ккал/ч
Взрослая птица			
Куры яичных пород (в клетках)	1,5-1,7	24,6	5,88
Куры мясных пород (на полу)	3,0-3,5	21,3	5,08
Индейки	6,0-7,0	17,4	4,16
Утки	3,5	28,3	6,76
Гуси	5,0-6,0	10,5	2,47
Молодняк птицы			
Ремонтный молодняк яичных кур в возрасте, недели:			
1	0,06	63,8	15,24
2-4	0,25	51,2	12,24
5-8	0,60	30,1	7,20
9-17	1,14	27,9	6,66
10-22	1,45	26,4	6,31
Ремонтный молодняк мясных кур в возрасте, недели:			
1	0,08	56,3	13,45
2-4	0,48	42,8	10,22
5-9	1,40	29,1	6,95
10-20	2,30	19,5	4,67
21-26	2,80	20,3	4,86
Дылчат-бройлеры в возрасте, недели:			
1-8 (в клетках)	1,30	28,6	6,84
1-9 (на полу)	1,40	31,0	7,40
Ремонтный молодняк индеек в возрасте, недели:			
1	0,10	43,9	10,48
2-4	0,60	33,6	8,04
5-17	4,00	24,5	5,85
18-34	6,00	26,1	6,24
Индюшата на мясо в возрасте, недели:			
1-10	2,20	36,6	8,75
1-8	1,90	36,6	8,75
9-16	4	22,6	5,40
9-23	7,00	19,6	4,68
Ремонтный молодняк уток в возрасте, недели:			
1	0,2-0,3	62,0	14,82
2-4	1,0-1,5	40,3	9,63
5-7 (8)	2,2-2,8	21,2	5,07
8(9)-28	3,0-3,5	19,0	4,55
Утята на мясо в возрасте 1-8 недель	2,2-2,5	21,5	5,14

Примечания: 1 Во всех помещениях для содержания молодняка старшего возраста и взрослого поголовья птицы допускается в зимний период отклонение температуры воздуха помещения от расчетной на 2°С.

2 Температура внутреннего воздуха помещений приведена для холодного периода и относится к зоне размещения птицы. Зонай размещения птицы при напольном содержании считается пространство высотой до 0,8 м от поверхности пола, а в птичниках для кур и индеек, оборудованных насестами и гнездами, — на 0,5 м выше наиболее приподнятых насестов и гнезд. При клеточном содержании зоной размещения считается пространство на всю высоту клеточных батарей.

3 В теплый период года (при температуре наружного воздуха выше 10°С) расчетная температура воздуха помещения птичника допускается не более чем на 5°С выше среднемесячной температуры наружного воздуха в 13 ч самого жаркого месяца, но не выше 33°С для яичной и 26°С — для мясной птицы.

Продолжение табл. 15.11

Вид и возрастная группа птицы	Живая масса птицы, кг	Свободная теплота	
		кДж/ч	ккал/ч
Ремонтный молодняк гусей в возрасте, недели:			
1-3 (4)	1,30	40,3	9,62
4(5)-9	4,00	22,6	5,41
10-34	6,00	10,9	2,60
35-39	6,50	11,4	2,73
Гусыня на мясо в возрасте, недели:			
1-4	1,70	40,3	9,62
5-9	2,00	22,8	5,46

ТАБЛИЦА 15.12
КОЭФФИЦИЕНТЫ ДЛЯ ОПРЕДЕЛЕНИЯ ВЫДЕЛЕНИЯ ТЕПЛОТЫ ПТИЦЕЙ ПРИ РАЗЛИЧНЫХ ТЕМПЕРАТУРАХ ВОЗДУХА В ПОМЕЩЕНИИ

Температура воздуха в помещении, °С	Свободная теплота	
	от молодняка старше 30 дней и взрослой птицы	от молодняка до 30 дней
4	1,15	—
8	1,10	—
12	1,05	—
16	1,00	—
20	1,00	1,00
24	1,05	1,00
26	1,07	1,03
28	1,10	1,05
32	1,15	1,10
36	0,80	0,90

ТАБЛИЦА 15.13
ПРИМЕРНЫЙ ВЫХОД ПОМЕТА ОТ ПТИЦЫ

Вид птиц	Выход помета от одной птицы, кг/сут
Куры яичных пород	0,18
Куры мясных пород	0,3
Индейки	0,45
Утки	0,42
Гуси	0,6

Примечание. При расчетах следует принимать влажность свежего помета кур и индеек 73-76%, уток и гусей - 83-85%. При клеточном содержании усушка помета кур и индеек через 12 ч составляет 13%, а через 24 ч - 27%, при напольном содержании кур и индеек - 50%, а уток и гусей - 35%.

В птицеводческих помещениях необходимо предусматривать, как правило, воздушное отопление, совмещенное с приточной вентиляционной системой. Количество теплоты, подаваемой такой системой, определяется энергетическим балансом помещения. В поме-

щениях для молодняка птиц, а также в других помещениях при соответствующем обосновании можно применять системы центрального водяного отопления с чугунными секционными отопительными приборами или приборами из гладких труб. Температура поверхности отопительных приборов в помещениях для птиц не должна превышать 95°С. Отопительные приборы и трубопроводы необходимо укрывать, обеспечивая доступ к ним для очистки от загрязнения.

Для обогрева молодняка птиц младшего возраста следует применять системы локального обогрева (электрические брудеры или газовые инфракрасные излучатели). Расчет систем локального обогрева сводится к определению числа излучателей и выбору способа расположения их в помещении. Излучатели в помещении должны располагаться таким образом, чтобы облуженность птиц не превышала норм, приведенных в табл. 15.14.

ТАБЛИЦА 15.14
НОРМЫ ОБЛУЧЕННОСТИ ПТИЦ (ЦЫПЛЯТ)

Возраст, дни	Норма облужения	
	Вт/м ²	ккал/(м ² × ч)
До 10	290-348	250-300
От 11-30	174-290	150-250
Старше 30	116-174	100-150

Рекомендуемые системы отопления птичников приведены в табл. 15.15.

ТАБЛИЦА 15.15
СИСТЕМЫ ОТОПЛЕНИЯ ПТИЧНИКОВ

Помещения	Система отопления	
	основная	дополнительная
Напольное содержание		
Цехи промышленного стада кур-несушек, цехи маточного стада	Воздушная, совмещенная с приточной вентиляцией	—
Цехи бройлеров и ремонтного молодняка	Водяная	Воздушная
Клеточное содержание		
Цехи кур-несушек	Воздушная, совмещенная с приточной вентиляцией	—
Цехи выращивания цыплят	Водяная	Обогрев брудерами, газовыми инфракрасными излучателями

15.3. Культивационные сооружения для круглогодичного выращивания овощей

Культивационные сооружения проектируются трех видов: утепленный грунт, парники и теплицы. При выборе вида культивационных сооружений необходимо учитывать следующие классификационные признаки: продолжительность использования в течение года (круглогодичное, сезонное, краткосрочное), наличие или отсутствие бокового ограждения, габариты сооружения (мало-, средне и крупногабаритное), удельный объем, климатический район постройки, принятые культурообороты.

Утепленный грунт – малогабаритное, перемещаемое светопрозрачное сооружение, не имеющее бокового ограждения, обслуживаемое людьми, находящимися вне сооружения; эксплуатируется в течение весенне-летнего периода.

Парник – малогабаритное культивационное сооружение, имеющее боковое ограждение и съемную светопрозрачную кровлю; обслуживается людьми, находящимися вне сооружения, эксплуатируется в течение весенне-летнего периода.

Теплица – крупногабаритное культивационное сооружение, имеющее боковое ограждение и светопрозрачную кровлю, которое обслуживается людьми, находящимися внутри помещения. Сооружения эксплуатируются в течение круглого года.

Создание оптимальных климатических условий в сооружении позволяет получить в 10–20 раз урожай больше, чем в поле. Наибольшее распространение получили теплицы, которые являются высокорентабельными предприятиями. В теплицах выращивают свыше 20 культур, однако подавляющее большинство теплиц занято под огурцы, томаты, салат, лук, редис и другие культуры.

Микроклимат теплицы – это совокупность физических параметров воздушной и корнеобитаемой среды теплицы. Тепловой режим – важнейший фактор микроклимата.

Для обеспечения оптимальной интенсивности фотосинтеза требуется суточная и сезонная динамика температуры воздуха. Днем температура должна быть выше, чем ночью, в солнечную погоду – выше, чем в пасмурную, в период плодоношения – выше, чем до плодоношения. Температура почвы на

глубине 0,3–0,4 м должна быть равномерна и соответствовать заданной. Требуемая температура воздуха теплицы должна быть обеспечена по всему рабочему объему сооружения. Высота рабочего объема по мере роста растений изменяется от 0,3 м от поверхности грунта до 2,5 м.

Температуры воздуха для различных овощей в период их культивации приведены в табл. 15.16.

Теплицы имеют легкие наружные ограждения, выполненные из стекла толщиной 4–5 мм или пленки толщиной 0,1–0,2 мм. Коэффициенты теплопередачи K различных ограждений теплиц приведены в табл. 15.17.

Температурный режим теплицы определяется соотношением теплопотерь и теплопоступлений сооружения и зависит от принятого культурооборота и наружных климатических условий.

В общем виде уравнение энергетического баланса может быть записано на основе расчетной схемы теплового баланса (рис. 15.4).

Мощность системы отопления $Q_{от}$ определяется из уравнения теплового баланса

$$Q_{от} = \Sigma Q_{от} + Q_{гр} + Q_{инф}. \quad (15.11)$$

Основные потери тепла через ограждения – это потери через стены $Q_{верт}$ и скаты $Q_{ск}$:

$$\Sigma Q_{отгр} = Q_{верт} + Q_{ск}. \quad (15.12)$$

Тепловой поток через вертикальные ограждения различен по высоте. В нижней части, где расположены отопительные приборы цокольного обогрева, он значительно выше, поэтому потери через вертикальные ограждения следует рассчитывать по зонам:

$$Q_{верт} = Q_{низ} + Q_{верх}, \quad (15.13)$$

где $Q_{низ}$ и $Q_{верх}$ – теплопотери через вертикальные ограждения на участках от поверхности почвы до верхнего уровня отопительных приборов и от верхнего уровня отопительных приборов до ската.

Температура вертикальных поверхностей в пределах высоты отопительных приборов больше, чем в верхней зоне, на 5–15° в зависимости от вида отопительных приборов, расстояния до ограждения, окраски труб, температуры теплоносителя и наружного воздуха, скорости ветра.

ТАБЛИЦА 15.16

РЕКОМЕНДУЕМЫЙ ТЕМПЕРАТУРНО-ВЛАЖНОСТНЫЙ РЕЖИМ В ТЕПЛИЦАХ

Овощи	во время появления всходов	Температура воздуха, °С					
		во время выращивания			в период плодоношения		в период закаливания растения
		пасмурно	солнечно	ночью	днем	ночью	
Огурцы, дыня, арбузы	17–18	20–22	27–30	17–18	25–30	18–20	13–15
Помидоры, баклажаны, перец, кабачки	10–12	20–22	25–27	10–13	22–28	15–17	8–10
фасоль							
Салат, сельдерей, спаржа, лук на зелень	8–9	17–18	20–26	8–12	—	—	7–5
Шпинат, укроп, щавель, петрушка на зелень	8–9	15–16	20–21	8–9	—	—	1
Редис, капуста, брюква	6–7	12–13	16–18	7–8	—	—	1–3

ТАБЛИЦА 15.17

КОЭФФИЦИЕНТЫ ТЕПЛОПЕРЕДАЧИ К

Конструкция ограждения	Значения К	
	Вт/(м ² ·К)	ккал/(ч·м ² ·°С)
Стекло с металлическими шпросами	6,4	5,5
Два стекла, разделенных воздушным промежутком, с металлическими шпросами	3,3	2,8
Стекло с деревянными шпросами	5,8	5,0
Пленочное укрытие:		
одинарное	10,0	8,6
двухслойное	5,8	5,0

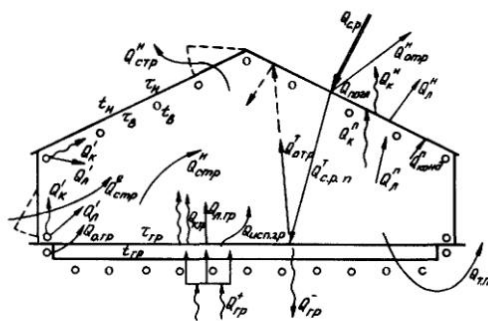


Рис. 15.4. Расчетная схема теплового баланса теплицы

$Q_{ср}$ – теплота солнечной радиации; $Q_{ср,пл}^n$, $Q_{отр}^n$, $Q_{погл}^n$, $Q_{отр,гр}^n$ – теплота солнечной радиации, поступившая в теплицу, отраженная от покрытия, поглощенная покрытием, отраженная грунтом; $Q_{гр}$ – теплота, поглощенная грунтом; $Q_{гр}^+$ – теплота, отдаваемая грунтом; $Q_{к,гр}$, $Q_{л,гр}$ – конвективная и лучистая теплота с поверхности грунта; $Q_{исп,гр}$ – теплота испарения с поверхности грунта; $Q_{к,вн}^n$, $Q_{л,вн}^n$ – конвективная, лучистая и теплота конденсации на внутренней поверхности ограждения; $Q_{к,н}^n$ – конвективная и лучистая теплота наружной поверхности; $Q_{т,н}$ – теплопотери через грунт; $Q_{к,н}$, $Q_{л,н}$ – конвективная и лучистая теплота изгревательных приборов системы обогрева воздушного пространства; $Q_{об,гр}$ – теплота системы обогрева грунта; $Q_{стр}^n$, $Q_{стр}^в$ – теплота естественных и искусственных воздушных струй; $Q_{н,гр}^n$ – теплота наружной струи; $t_{н}$, $t_{в}$, $t_{гр}$ – температура наружной, внутренней поверхности ограждения и поверхности грунта; $t_{н}$, $t_{в}$, $t_{гр}$ – температура наружного, внутреннего воздуха, грунта

Мощность системы отопления $Q_{от}$ следует рассчитывать по максимальному перепаду наружной $t_{н}$ и внутренней $t_{в}$ температуры воздуха с учетом начала периода эксплуатации и принятого культурооборота в теплице. В качестве температуры наружного воздуха $t_{н}$ принимается температура холодных суток расчетного месяца.

К системам отопления теплиц предъявляются следующие основные требования:

1) технологические – обеспечение требуемых температур воздуха в рабочем объеме, листьев растений, корнеобитаемого слоя почвы, локализация холодных конвективных потоков в пристенной зоне, обеспечение снеготаяния на кровле и стока талой воды;

2) вспомогательные – предотвращение перегрева в весенне-летний период, сохранение требуемого светового режима и фотосинтеза

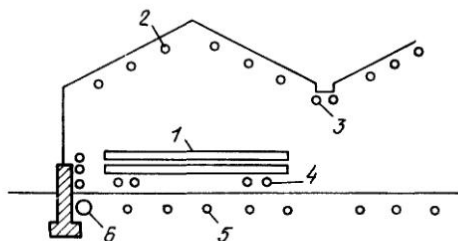


Рис. 15.5. Системы обогрева теплицы

1 – цокольный; 2 – шатровый; 3 – лотковый; 4 – надпочвенный; 5 – подпочвенный; 6 – контурный

растений, поддержание требуемой подвижности воздуха;

3) требования к управляемости системой – подача в сооружение необходимого количества теплоты в зависимости от температуры наружного воздуха, интенсивности солнечной радиации, снегопада и отсутствия снега на кровле, малая инертность;

4) конструктивные – не мешать технологическому процессу, не занимать полезную площадь;

5) эксплуатационно-экономические – надежность в эксплуатации, индустриальность, экономичность по расходу металла и электроэнергии; долговечность.

В теплицах системы отопления могут быть с различными видами теплоносителей – водой, воздухом, паром, горячими газами. Наибольшее распространение получил водяной обогрев.

При устройстве систем водяного обогрева для экономичного обеспечения заданных температурных условий при любом режиме работы теплицы ее следует оборудовать несколькими независимыми системами (рис 15.5);

а) шатрового обогрева – для обеспечения снеготаяния и поддержания температурного режима в верхней зоне,

б) цокольного обогрева – для локализации холодных потоков в пристенной зоне,

в) контурного подпочвенного обогрева – для предотвращения промерзания почвы в пристенной зоне;

г) основного подпочвенного обогрева – для создания требуемого температурного режима в корнеобитаемом слое;

д) надпочвенного обогрева – для обеспечения равномерности температур в надпочвенной зоне.

В системах отопления шатрового, цокольного и надпочвенного обогрева температура теплоносителя $t_r = 95^\circ\text{C}$, $t_0 = 70^\circ\text{C}$; основного подпочвенного обогрева $t_r = 45^\circ\text{C}$, $t_0 = 30^\circ\text{C}$; контурного подпочвенного обогрева $t_r = 130\text{--}150^\circ\text{C}$, $t_0 = 70^\circ\text{C}$.

Нагревательные приборы всех систем (кроме основной подпочвенной) – стальные гладкие трубы (возможны конвекторные трубы). Для основной подпочвенной системы следует использовать асбестоцементные или пластмассовые трубы.

ГЛАВА 16. ИСПОЛЬЗОВАНИЕ ТЕПЛОТЫ СОЛНЕЧНОЙ ЭНЕРГИИ

16.1. Классификация солнечных систем горячего водоснабжения и отопления

Солнечная радиация – практически неисчерпаемый и экологически чистый источник энергии. Мощность потока солнечной энергии у верхней границы атмосферы равна $1,7 \cdot 10^{14}$ кВт, а на поверхности Земли – $1,2 \cdot 10^{14}$ кВт. Общее годовое количество поступающей на Землю солнечной энергии составляет $1,05 \cdot 10^{18}$ кВт ч, в том числе на поверхность суши приходится $2 \cdot 10^{17}$ кВт ч. Без ущерба для экологической среды может быть использовано до 1,5% всей поступающей солнечной энергии.

Среднесуточная интенсивность потока солнечного излучения равна $210\text{--}250$ Вт/м² [$18\text{--}21,2$ МДж/(м²·сут)] в тропических зонах и пустынях, $130\text{--}210$ Вт/м² [$(10,8\text{--}18$ МДж/(м²·сут)] в центральной части СССР и $80\text{--}130$ Вт/м² [$7,2\text{--}10,8$ МДж/(м²·сут)] на Севере СССР, а

максимальная величина достигает 1000 Вт/м². Число часов солнечного сияния в год в республиках Средней Азии составляет $2700\text{--}3035$, в Закавказье $2130\text{--}2520$, на Украине и в Молдавии $2000\text{--}2080$. Количество солнечной энергии, поступающей за год на 1 м² горизонтальной поверхности, в Ашхабаде равно 1720 кВт·ч, в Одессе 1345 кВт·ч, в Москве 1015 кВт·ч. С помощью гелиотехнических устройств может быть полезно использовано $10\text{--}50\%$ этой энергии.

Гелиосистемы теплоснабжения рекомендуется применять в основном в южных районах РСФСР, Украины, Казахстана, в Закавказье, Молдавии и Средней Азии при соответствующем технико-экономическом обосновании:

1) при сезонном теплоснабжении или при режиме теплоснабжения с максимальными нагрузками в летний период;

2) при высокой себестоимости тепловой энергии, отпускаемой традиционным источником теплоты;

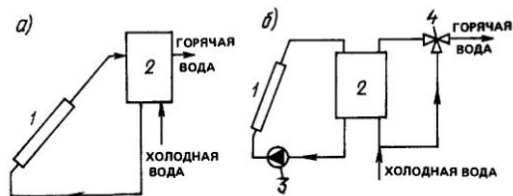


Рис. 16.1. Принципиальные схемы солнечных водонагревательных установок с естественной (а) и принудительной (б) циркулирующей теплоносителя

1 – коллектор солнечной энергии; 2 – бак-аккумулятор горячей воды; 3 – насос; 4 – смесительный вентиль

3) при высоких среднегодовых значениях интенсивности поступающей солнечной радиации и большом количестве солнечных дней;

4) при наличии площадей для размещения КСЭ, отсутствии затенения КСЭ с ограждающими конструкциями здания;

5) при повышенных требованиях к чистоте окружающей воздушной среды;

6) с целью экономии топливно-энергетических ресурсов.

Солнечные системы горячего водоснабжения (ССГВ). Существуют два основных типа ССГВ: с естественной (рис. 16.1, а) и принудительной (рис. 16.1, б) циркулирующей теплоносителя. Если в контуре коллектора солнечной энергии и в баке-аккумуляторе теплоты используется вода, то ССГВ выполняется по одноконтурной схеме. Для предотвращения замерзания теплоносителя в контуре КСЭ может использоваться антифриз, при этом теплота от антифриза к воде передается с помощью теплообменника, и ССГВ выполняется по двухконтурной схеме (рис. 16.2, а и б). ССГВ первого типа обычно используются для небольших потребителей, при этом бак-аккумулятор теплоты должен быть установлен выше КСЭ. Для крупных потребителей горячей воды для циркуляции теплоносителя требуется насос (рис. 16.2, б).

Солнечные системы отопления и горячего водоснабжения. Различают активные и пассивные системы солнечного отопления (ССО). Характерным признаком активных ССО является наличие коллектора солнечной энергии (КСЭ), аккумулятора теплоты, дополнительного (резервного) источника энергии (ДИЭ), теплообменников (в двухконтурных схемах), насосов или вентиляторов, соединительных трубопроводов или воздуховодов и системы регулирования.

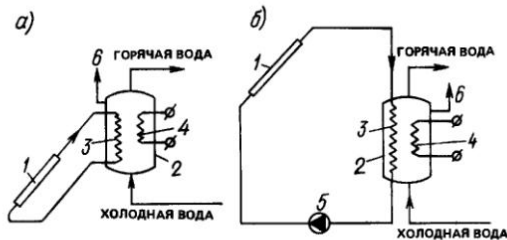


Рис. 16.2. Двухконтурные схемы солнечных водонагревательных установок с естественной (а) и принудительной (б) циркулирующей теплоносителя

1 – коллектор солнечной энергии; 2 – аккумулятор тепла; 3 – теплообменник; 4 – резервный (дополнительный) источник энергии; 5 – насос; 6 – предохранительный клапан

В пассивных системах роль КСЭ и аккумулятора теплоты выполняют ограждающие конструкции здания, а движение нагретого солнечной энергией воздуха осуществляется, как правило, путем естественной конвекции. В пассивных системах обеспечивается прямое улавливание стенами и полом здания солнечной энергии, поступающей через окна большой площади, расположенные в южной стене, ее аккумулирование теплоаккумулирующей массой (стены, пол, емкости с водой и т. п.), либо улавливание солнечной энергии в пристроенной к южной стене здания теплице и передача теплоты внутрь помещений и т. д. Для снижения теплотерь здания в ночное время на светопрозрачных поверхностях предусматривают тепловую изоляцию (щиты, ставни и т. п.).

Применение пассивных ССО экономически целесообразно в районах с достаточно высоким уровнем инсоляции, большим числом часов солнечного сияния и умеренной температурой наружного воздуха. Наиболее эффективной является пассивная ССО с теплоаккумулирующей бетонной стеной темного цвета, которая расположена с южной стороны, имеет остекленную наружную поверхность и отверстия для циркуляции воздуха на уровне пола и потолка (рис. 16.3). КПД этой системы может достигать 40%. При применении пассивных ССО здания должны иметь улучшенную тепловую изоляцию и удовлетворять требованиям сохранения энергии.

В настоящее время, как правило, используются активные гелиосистемы. В зависимости от вида теплоносителя в контуре КСЭ различают жидкостные и воздушные системы. Теплоносителем в КСЭ может быть жидкость

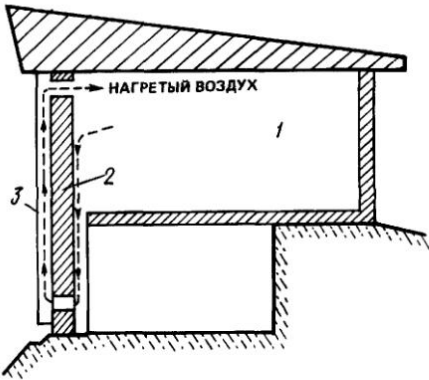


Рис. 16.3. Пассивная солнечная система отопления здания с естественной циркуляцией воздуха в пространстве между остекленным южным фасадом и теплоаккумулирующей стеной
1 – здание; 2 – теплоаккумулирующая стена; 3 – остекление

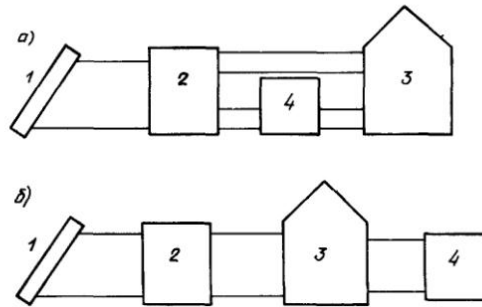


Рис. 16.6. Принципиальные схемы гелиотеплонасосной системы теплоснабжения с последовательным (а) и параллельным (б) подключением теплового насоса

1 – коллектор солнечной энергии; 2 – аккумулятор теплоты; 3 – тепловой потребитель (здание); 4 – тепловой насос

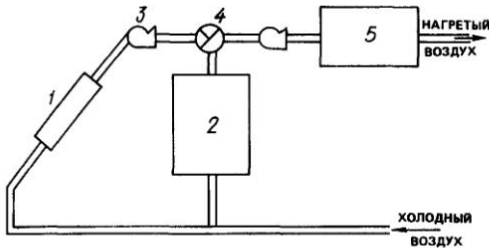


Рис. 16.4. Принципиальная схема воздушной гелиосистемы отопления

1 – коллектор солнечной энергии; 2 – галечный аккумулятор тепла; 3 – вентилятор; 4 – переключающий клапан; 5 – резервный (дополнительный) источник энергии

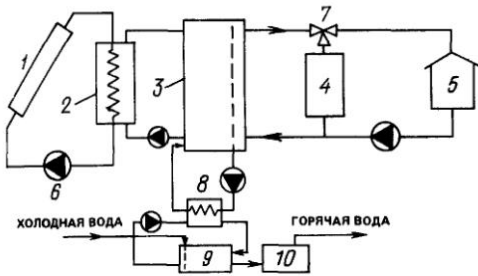


Рис. 16.5. Схема жидкостной гелиосистемы отопления и горячего водоснабжения

1 – коллектор солнечной энергии; 2 – теплообменник в контуре КСЭ; 3 – аккумулятор тепла; 4 – резервный (дополнительный) источник энергии; 5 – здание; 6 – насос; 7 – смесительный вентиль; 8 – теплообменник в контуре горячего водоснабжения; 9 – бак горячей воды; 10 – дублир-доводчик

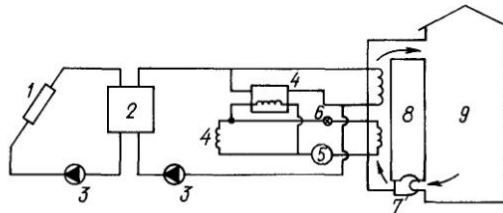


Рис. 16.7. Схема комбинированной гелиотеплонасосной системы отопления здания с использованием теплового насоса с двумя испарителями

1 – коллектор солнечной энергии; 2 – аккумулятор тепла; 3 – насос; 4 – испарители теплового насоса; 5 – компрессор; 6 – дроссельный вентиль; 7 – вентилятор; 8 – конденсатор; 9 – здание

(вода, 40–50%-ный раствор этилен- или пропиленгликоля, органические теплоносители и др.) или газ (воздух). Каждый из теплоносителей имеет определенные преимущества и недостатки. Так, использование воздуха позволяет исключить проблемы замерзания и коррозии, снизить массу установки, уменьшить возможный ущерб от утечки жидкого теплоносителя и т. д., но теплотехнически воздушные ССО менее эффективны, чем жидкостные. Поэтому в большинстве эксплуатируемых ССО теплоносителем служит вода.

На рис. 16.4 и 16.5 представлены принципиальные схемы воздушной и водяной гелиосистем отопления. Распределение теплоты в здании осуществляется с помощью вентиляционной системы (воздушные ССО), посредством излучающих панелей со встроенными змеевиками с горячей водой, радиаторов и конвекторов, рассчитанных на низкотемпературный теплоноситель (жидкостные ССО).

Возможно применение гибридных систем, объединяющих элементы активных и пассивных систем.

Значительные преимущества имеет **комбинированная гелиотеплонасосная система** теплоснабжения с последовательной (рис. 16.6, а) и параллельной (рис. 16.6, б) схемами подключения теплового насоса. В первом случае испаритель теплового насоса получает теплоту от аккумулятора, а во втором источником теплоты служит окружающая среда. Возможно также использование теплового насоса с двумя испарителями (рис. 16.7). При совмещении испарителя теплового насоса и неостекленного КСЭ с ограждающей конструкцией здания получается «энергетическая крыша» или «энергетический фасад», которые позволяют использовать солнечную энергию, явную и скрытую теплоту окружающей среды.

Солнечные установки для отопления и горячего водоснабжения зданий входят в состав комбинированных гелиотопливных систем теплоснабжения, при этом за счет солнечной энергии обеспечивается частичное покрытие годовой тепловой нагрузки потребителя. Резервный источник теплоты должен обеспечивать полное покрытие расчетной тепловой нагрузки. В отдельных случаях допустимо неполное резервирование производительности гелиоустановки. Здание должно отвечать современным требованиям теплозащиты и сохранения энергии, а все элементы и оборудование гелиотопливной системы должны быть спроектированы особо тщательно. При соблюдении этих условий может быть обеспечена высокая эффективность использования солнечной энергии.

16.2. Оценка располагаемого количества солнечной энергии

Плотность потока солнечной радиации у верхней границы атмосферы на поверхность, расположенную перпендикулярно направлению солнечных лучей, равна $I_{0\perp} = 1,353 \text{ кВт/м}^2$ (солнечная постоянная), а среднее количество энергии, поступающей за 1 ч на 1 м^2 этой поверхности, равно $F_{0\perp} = 4,871 \text{ МДж/(м}^2 \cdot \text{ч)}$.

В системах солнечного теплоснабжения (ССТ) обычно используются плоские КСЭ, устанавливаемые в наклонном положении. Среднемесячное дневное количество суммар-

ной солнечной энергии, $\text{МДж/(м}^2 \cdot \text{день)}$, поступающей на наклонную поверхность КСЭ, равно:

$$\bar{E}_k = \bar{R} \bar{E}, \quad (16.1)$$

где \bar{E} – среднемесячное дневное количество суммарного солнечного излучения, поступающего на горизонтальную поверхность, $\text{МДж/(м}^2 \cdot \text{день)}$; \bar{R} – отношение среднемесячных дневных количеств солнечной радиации, поступающих на наклонную и горизонтальную поверхности.

Для наклонной поверхности с южной ориентацией

$$R = \left(1 - \frac{\bar{E}_n}{\bar{E}}\right) \bar{R}_n + \frac{1 + \cos \beta}{2} \cdot \frac{\bar{E}_n}{\bar{E}} + \rho \frac{1 - \cos \beta}{2}, \quad (16.2)$$

где \bar{E}_n – среднемесячное дневное количество диффузной (рассеянной) солнечной энергии, поступающей на горизонтальную поверхность, $\text{МДж/(м}^2 \cdot \text{день)}$; \bar{R}_n – коэффициент пересчета прямого излучения с горизонтальной на наклонную поверхность; β – угол наклона КСЭ к горизонту, град; ρ – коэффициент отражения для подстилающей поверхности Земли. Обычно летом $\rho = 0,2$, а зимой при наличии снежного покрова $\rho = 0,7$.

Среднемесячная величина коэффициента \bar{R}_n (рис. 16.8)

$$\bar{R}_n = \frac{\cos(\varphi - \beta) \cos \delta \sin \omega'_3 + \frac{\pi}{180} \omega'_3 \sin(\varphi - \beta) \sin \delta}{\cos \varphi \cos \delta \sin \omega_3 + \sin \varphi \sin \delta \frac{\pi}{180} \omega_3}, \quad (16.3)$$

где φ – широта местности, град; δ – склонение Солнца, град; ω_3 и ω'_3 – часовой угол захода Солнца на горизонтальной и наклонной поверхностях, град.

Угол склонения Солнца в данный день n равен:

$$\delta = 23,45 \sin\left(360 \frac{284 + n}{365}\right). \quad (16.4)$$

На рис. 16.9 показаны основные углы, используемые в приведенных формулах.

Для среднего дня I–XII месяцев величина δ равна:

Месяцы	I	II	III	IV	V	VI	VII	VIII	IX	X	XI	XII
δ , град	-20,9	-13	-2,4	9,4	18,8	23,1	21,2	13,5	2,2	-9,6	-18,9	-23,0

ТАБЛИЦА 16.1
СРЕДНЕМЕСЯЧНОЕ СУТОЧНОЕ ПОСТУПЛЕНИЕ СУММАРНОЙ E И ДИФФУЗНОЙ E_d СОЛНЕЧНОЙ РАДИАЦИИ, МДж/(м²·ДЕНЬ), НА ГОРИЗОНТАЛЬНУЮ ПОВЕРХНОСТЬ, КОЭФФИЦИЕНТ ЯСНОСТИ АТМОСФЕРЫ K_t И ТЕМПЕРАТУРА НАРУЖНОГО ВОЗДУХА T_a , °C

	I	II	III	IV	V	VI	VII	VIII	IX	X	XI	XII
Алма-Ата (43,4° с. ш.)												
E	6,34	9,24	12,01	16,54	20,52	22,66	23,62	20,79	16,96	11,20	6,67	5,13
E_d	3,64	5,21	6,21	6,95	8,1	7,78	6,88	6,34	5,28	4,18	3,34	2,7
K_t	0,49	0,51	0,47	0,49	0,53	0,55	0,59	0,59	0,60	0,56	0,47	0,44
T_a	-11,5	-8,9	0,8	10,3	16,0	20,3	22,9	21,7	15,6	8,0	-1,2	-8,2
Ашхабад (38° с. ш.)												
E	7,42	10,58	13,63	18,34	24,16	26,83	26,59	24,97	20,57	14,71	9,03	6,48
E_d	3,64	5,07	6,34	7,78	8,1	7,92	7,83	6,48	5,98	4,72	3,89	3,24
K_t	0,45	0,50	0,49	0,53	0,61	0,65	0,66	0,68	0,68	0,64	0,51	0,44
T_a	1,0	4,3	9,8	16,4	22,8	27,3	29,3	27,7	22,6	15,3	8,4	3,7
Баку (41,1° с. ш.)												
E	9,99	14,3	18,49	24,05	27,13	29,61	27,40	25,11	20,01	15,66	10,70	8,77
E_d	2,16	2,83	3,78	4,73	5,26	6,53	6,34	5,4	3,89	3,64	2,5	2,02
K_t	0,69	0,73	0,70	0,70	0,69	0,72	0,69	0,70	0,69	0,74	0,69	0,69
T_a	4,0	4,4	6,8	11,8	18,4	23,4	26,5	26,3	22,1	16,9	11,1	6,7
Ереван (40,1° с. ш.)												
E	6,34	10,13	14,04	19,18	24,97	28,22	27	25,11	20,15	14,85	8,06	5,13
E_d	4,05	5,96	7,02	8,02	8,23	7,78	6,88	6,34	5,28	4,86	3,89	3,10
K_t	0,43	0,51	0,52	0,56	0,63	0,68	0,70	0,69	0,68	0,68	0,50	0,38
T_a	-3,7	-2,3	4,0	11,1	15,9	20,1	24,0	24,2	20,0	13,9	6,2	-1,2
Киев (50,5° с. ш.)												
E	3,10	5,36	9,72	13,9	18,76	21,82	20,52	17,28	12,65	7,29	2,92	2,16
E_d	2,29	3,43	5,53	7,51	9,18	10,0	9,45	7,69	5,84	3,91	2,08	1,62
K_t	0,35	0,39	0,44	0,45	0,49	0,53	0,52	0,51	0,50	0,45	0,29	0,3
T_a	-6,1	-5,6	-0,7	7,2	14,3	17,6	18,8	17,7	13,7	7,2	1,0	-3,7
Кишинев (47° с. ш.)												
E	4,05	6,26	10,8	15,84	20,25	23,07	23,62	20,11	14,73	9,18	4,03	2,70
E_d	2,56	3,87	5,8	8,48	9,18	10,0	9,04	7,83	5,98	4,32	2,36	1,83
K_t	0,37	0,39	0,45	0,49	0,53	0,56	0,59	0,58	0,55	0,50	0,34	0,29
T_a	-3,6	-2,6	2,5	9,3	15,6	19,2	21,4	20,5	15,7	10,0	3,9	-1,0
Москва (55,75° с. ш.)												
E	1,89	4,47	9,31	13,34	18,63	19,74	19,17	15,12	10,0	4,86	2,22	1,35
E_d	1,75	3,28	5,94	7,51	8,31	9,73	10,26	8,1	6,12	3,24	1,53	1,08
K_t	0,33	0,40	0,49	0,46	0,50	0,48	0,49	0,47	0,42	0,37	0,33	0,31
T_a	-10,5	-9,7	-4,7	4,0	11,7	16,0	18,3	16,3	10,7	4,1	-2,5	-7,8
Одесса (46,5° с. ш.)												
E	3,78	5,96	10,93	16,82	21,73	24,05	23,08	20,65	15,57	9,18	4,17	3,24
E_d	2,7	3,87	5,94	7,64	8,5	8,48	7,83	6,61	5,42	4,59	2,64	2,29
K_t	0,34	0,37	0,45	0,58	0,59	0,51	0,58	0,59	0,58	0,49	0,34	0,34
T_a	-2,6	-1,9	2,2	8,9	15,8	20,2	22,8	21,9	17,1	11,4	5,0	0,1
Ташкент (41,3° с. ш.)												
E	6,21	8,64	12,15	17,51	23,22	26,34	27,13	24,43	19,46	12,69	7,64	5,4
E_d	3,10	4,02	5,26	6,25	6,75	5,84	5,13	4,59	4,31	4,05	3,06	2,7
K_t	0,44	0,45	0,46	0,52	0,59	0,63	0,68	0,68	0,68	0,60	0,49	0,42
T_a	-0,9	2,0	7,6	14,4	20,0	24,7	26,9	24,9	19,4	12,6	6,4	1,6
Тбилиси (41,7° с. ш.)												
E	5,8	8,34	12,42	16,12	19,71	22,8	22,41	20,52	15,29	10,93	6,11	4,99
E_d	3,24	4,47	6,21	7,23	7,83	7,64	7,83	6,75	5,42	4,32	3,2	2,7
K_t	0,42	0,44	0,47	0,48	0,50	0,55	0,56	0,58	0,53	0,52	0,40	0,37
T_a	0,9	2,6	6,6	11,9	17,3	21,1	24,4	24,2	19,6	13,8	7,6	2,8
Фрунзе (43° с. ш.)												
E	7,56	10,13	12,28	17,37	21,6	25,16	24,3	21,73	17,37	11,61	7,09	5,8
E_d	3,91	5,36	6,34	7,78	6,91	7,78	7,56	6,48	5,56	4,86	3,34	3,10
K_t	0,57	0,55	0,48	0,52	0,55	0,61	0,61	0,61	0,61	0,57	0,49	0,50
T_a	-5,6	-3,2	3,8	11,4	16,9	21,3	24,1	22,6	17,3	10,1	2,2	-2,9

ТАБЛИЦА 16.2

КОЭФФИЦИЕНТ ПЕРЕСЧЕТА ПРЯМОЙ СОЛНЕЧНОЙ РАДИАЦИИ R_n ПРИ РАЗЛИЧНЫХ АЗИМУТАХ ПОВЕРХНОСТИ a_n

Широта, град	I	II	III	IV	V	VI	VII	VIII	IX	X	XI	XII
$a_n = 0$												
35	1,91	1,59	1,28	1,03	0,87	0,81	0,83	0,96	1,17	1,48	1,84	2,02
40	2,26	1,79	1,38	1,06	0,88	0,80	0,83	0,98	1,24	1,64	2,12	2,42
45	2,76	2,07	1,51	1,11	0,89	0,80	0,84	1,01	1,33	1,86	2,55	3,02
50	3,55	2,48	1,68	1,17	0,90	0,81	0,85	1,04	1,45	2,16	3,20	4,00
55	4,94	3,06	1,92	1,25	0,93	0,81	0,86	1,09	1,60	2,60	4,30	5,85
60	7,95	4,03	2,25	1,34	0,95	0,82	0,87	1,15	1,61	3,28	6,44	10,48
$a_n = 15^\circ$												
35	1,87	1,56	1,27	1,03	0,88	0,82	0,84	0,96	1,17	1,45	1,78	1,98
40	2,21	1,76	1,37	1,07	0,88	0,81	0,84	0,98	1,24	1,61	2,07	2,36
45	2,69	2,02	1,49	1,11	0,90	0,81	0,85	1,01	1,33	1,82	2,49	2,94
50	3,45	2,40	1,66	1,17	0,91	0,82	0,86	1,05	1,44	2,11	3,12	3,82
55	4,79	2,97	1,88	1,25	0,93	0,82	0,87	1,10	1,59	2,53	4,17	5,67
60	7,69	3,91	2,20	1,34	0,96	0,83	0,88	1,16	1,80	3,18	6,24	10,15
$a_n = 30^\circ$												
35	1,77	1,49	1,24	1,03	0,90	0,84	0,86	0,97	1,15	1,40	1,69	1,86
40	2,06	1,66	1,33	1,07	0,90	0,84	0,87	0,99	1,22	1,54	1,94	2,20
45	2,48	1,90	1,44	1,11	0,92	0,84	0,87	1,03	1,30	1,73	2,30	2,71
50	3,16	2,23	1,60	1,17	0,93	0,84	0,88	1,06	1,41	1,98	2,86	3,55
55	4,36	2,73	1,80	1,25	0,95	0,84	0,89	1,11	1,55	2,36	3,80	5,15
60	6,95	3,56	2,09	1,35	0,98	0,85	0,90	1,17	1,74	2,93	5,65	9,15

Часовой угол захода (восхода) Солнца для поверхности:

горизонтальной

$$\omega_3 = \arccos(-\operatorname{tg} \varphi \operatorname{tg} \delta); \quad (16.5)$$

наклонной

$$\omega'_3 = \min \{ \omega_3, \arccos[-\operatorname{tg}(\varphi - \beta) \operatorname{tg} \delta] \}. \quad (16.6)$$

В качестве ω'_3 принимается меньшая из двух величин, указанных в фигурных скобках.

Значения среднесезонных величин \bar{E} , \bar{E}_d , коэффициента ясности атмосферы \bar{K}_y и температуры наружного воздуха T_n для ряда городов СССР приведены в табл. 16.1. Значения коэффициента \bar{R}_n для поверхности с углом наклона β , равным широте местности φ , южной ориентацией (азимут $a_n = 0$) и юго-восточной или юго-западной ориентацией ($a_n = 15$ и 30°) приведены в табл. 16.2.

16.3. Классификация и выбор коллекторов солнечной энергии (КСЭ)

Различают плоские коллекторы без изменения плотности потока солнечной энергии и фокусирующие коллекторы с концентрируемым солнечной энергии (параболо-цилиндрические концентраторы, фоклины и т. п.). Для отопления и горячего водоснабжения наиболее

пригодны плоские КСЭ, позволяющие нагревать теплоноситель до $60-80^\circ\text{C}$. При температурах теплоносителя 80°C и выше целесообразно применять фокусирующие или вакуумированные стеклянные трубчатые КСЭ.

Основным элементом КСЭ является лучепоглощающая поверхность (абсорбер) с каналами для теплоносителя. На рис. 16.10–16.13 показаны схемы жидкостных и воздушных КСЭ и примеры конструктивного исполнения некоторых типов КСЭ.

Мощность КСЭ с однослойным остеклением и стальной лучепоглощающей панелью площадью $0,8 \text{ м}^2$ (Братского завода отопительного оборудования) равна 550 Вт/м^2 при $I_n = 800 \text{ Вт/м}^2$ и $T_n = 20^\circ\text{C}$. Размеры КСЭ: $1530 \times 630 \times 98 \text{ мм}$, масса $50,5 \text{ кг}$.

По техническому уровню это КСЭ 1-го поколения, во многих странах уже выпускаются КСЭ 2-го и 3-го поколений.

Тепловая эффективность плоских КСЭ повышается путем снижения оптических и тепловых потерь благодаря применению: 1) нескольких слоев прозрачной изоляции (остекления); 2) селективных покрытий; 3) вакуумирования пространства между лучепоглощающей поверхностью и прозрачной изоляцией и т. п.

Наиболее высокую эффективность имеют вакуумированные стеклянные трубчатые коллекторы (ВСТК). В КСЭ могут применяться тепловые трубы, обладающие такими преимуществами, как термодиодность, отсутствие

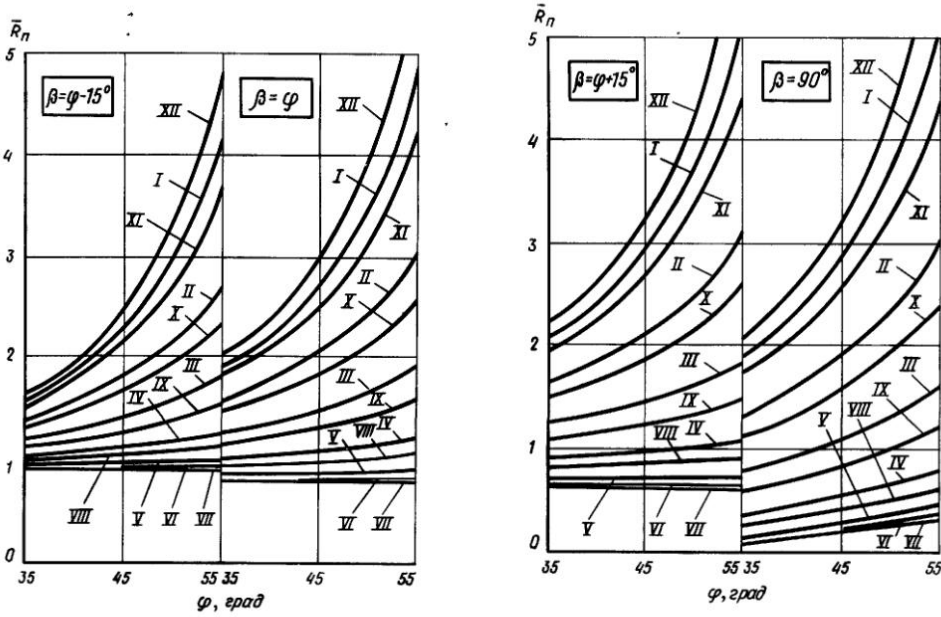


Рис. 16.8. Зависимость среднемесячного коэффициента пересчета прямого солнечного излучения \bar{R}_n с горизонтальной плоскости на поверхность КСЭ от широты местности φ для I-XII месяцев года

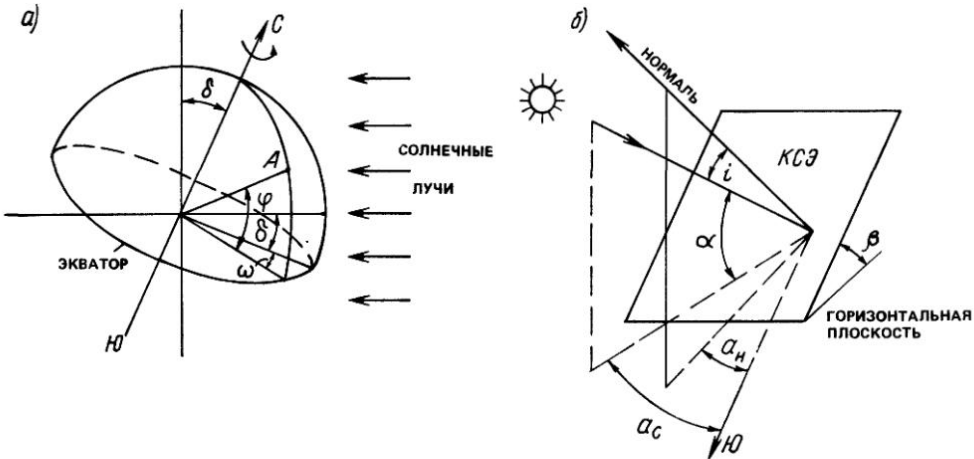


Рис. 16.9. Углы, характеризующие положение точки на земной поверхности (а) и наклонной поверхности коллектора солнечной энергии (б) относительно солнечных лучей

φ - широта местности; ω - часовой угол; δ - склонение Солнца; i - угол падения солнечных лучей на наклонную поверхность КСЭ; α - угол высоты Солнца; α_c - азимут Солнца; α_n - азимут наклонной поверхности

расхода энергии на подачу теплоносителя в КСЭ, низкая тепловая инерция и т.п.

Коэффициент полезного действия КСЭ (мгновенный) равен:

$$\eta_k = \frac{q_k}{I_k} = \frac{m_k c_p (T_{т,к} - T_{т,н})}{I_k}, \quad (16.7)$$

где q_k - удельная теплопроизводительность КСЭ, т.е. количество полезной теплоты, получаемой с 1 м² площади КСЭ за 1 с, Вт/м²; I_k - плотность суммарного потока солнечной радиации, поступающей на поверхность КСЭ, Вт/м²; m_k - удельный массовый расход теплоносителя в КСЭ, кг/(м²·с); c_p - удельная изобарная теплоемкость теплоносителя, Дж/(кг·К);

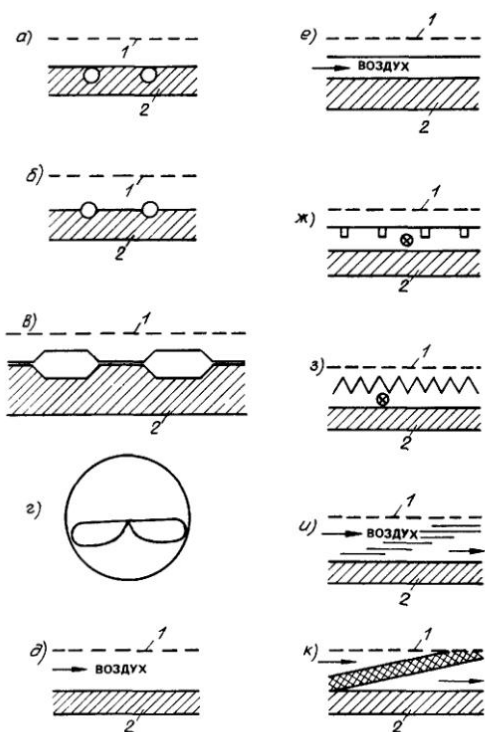


Рис. 16.10. Схемы жидкостных (а-с) и воздушных (д-к) коллекторов солнечной энергии

а-с трубами для теплоносителя, припаянными к абсорберу (лучепоглощающей панели) снизу; б- типа «труба в листе», в- со штампованным абсорбером; з- вакуумированный стеклянный трубчатый коллектор; д, е- с плоскими абсорберами; ж, з- ребристым и гофрированным абсорбером; и- с наполненному зачерненными стеклянными пластинами; к- матричного типа

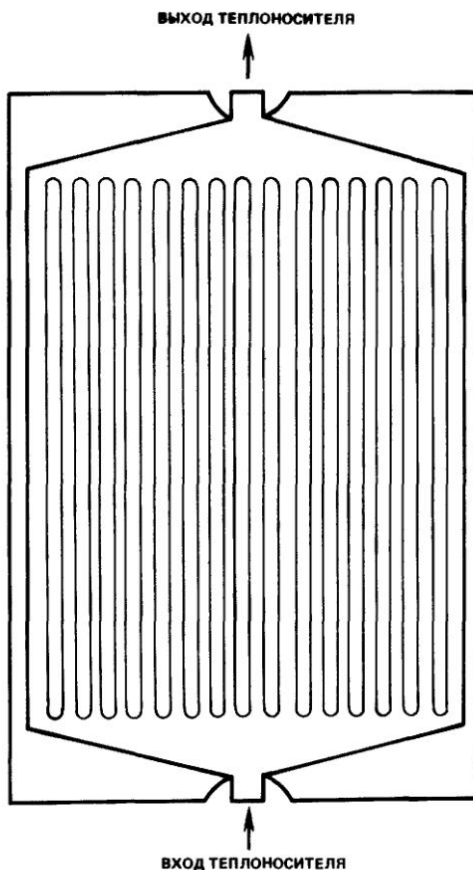


Рис. 16.11. Общий вид жидкостного коллектора со штампованным абсорбером

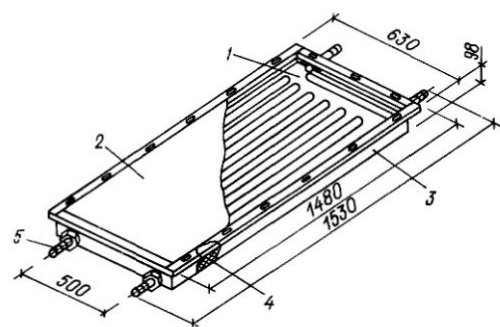


Рис. 16.12. КСЭ Братского завода отопительного оборудования
1- панель поглощающая; 2- стекло; 3- корпус; 4- теплоизоляция; 5- штуцер

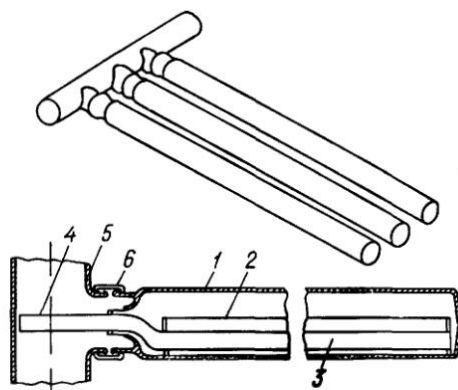


Рис. 16.13. Общий вид и разрез вакуумированного стеклянного трубчатого коллектора

1- стеклянная оболочка; 2- отражатель; 3- абсорбер в виде тепловой трубы (испарительная зона); 4- конденсационная зона тепловой трубы; 5- канал для теплоносителя; 6- соединении стеклянной и металлической частей конструкции

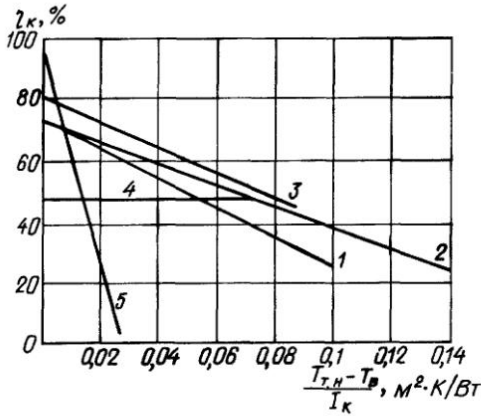


Рис. 16.14. Типичные характеристики различных типов коллекторов солнечной энергии

1-НПК-2 с алюминиевым штампованным абсорбером; 2-НПК-2 с антиотражательным покрытием на трех поверхностях остекления; 3-СПК 1 с покрытием «черный хром» на стальном абсорбере; 4-вакуумированный стеклянный трубчатый коллектор с селективным концентрическим абсорбером; 5-НПК 1 (Н-неселективный; С-селективный; ПК-плоский коллектор; 1, 2-число слоев остекления)

T_n и T_v - температура теплоносителя на входе в КСЭ и выходе из него, °С.

Мгновенный КПД плоского КСЭ равен:

$$\eta_k = \eta_0 - \frac{K_x}{I_k}(T_{n.н} - T_v), \quad (16.8)$$

где K_x -эффективный коэффициент теплопотерь КСЭ, Вт/(м²·К); T_v -температура наружного воздуха, °С; η_0 -эффективный оптический КПД КСЭ.

Характеристика КСЭ-зависимость η_k от $(T_{n.н} - T_v)/I_k$ определяется при его испытании и изображается прямой с нулевой ординатой, равной оптическому КПД при нормальном падении лучей η_0^0 , а тангенс угла наклона прямой дает величину K_x . На рис. 16.14 показаны характеристики наиболее употребительных типов КСЭ. Эффективный оптический КПД для КСЭ с южной ориентацией $\eta_0 = 0,95\eta_0^0$ при однослойном остеклении и $\eta_0 = 0,93\eta_0^0$ при двухслойном остеклении. При наличии теплообменника в контуре КСЭ величины K_x и η_0 необходимо умножить на 0,97.

КПД КСЭ равен нулю в том случае, если плотность потока солнечной энергии I_k не превышает критического значения:

$$I_{кр} = \frac{K_x}{\eta_0}(T_{n.н} - T_v). \quad (16.9)$$

Следовательно, $\eta_k > 0$ при $I_k > I_{кр}$. Сред-

няя величина КПД КСЭ за определенный период времени (день, месяц, год) равна:

$$\bar{\eta}_k = \Sigma(\eta_k I_k) / \bar{I}_k. \quad (16.10)$$

Суммирование производится только для тех отрезков времени, когда $I_k > I_{кр}$, при этом \bar{I}_k -средняя плотность потока солнечной энергии для рассматриваемого периода, Вт/м².

В табл. 16.3 приведены значения максимальной температуры теплоносителей $T_{т.макс}$, оптического КПД η_0 , коэффициента теплопотерь K_x и удельной стоимости C_x основных типов КСЭ.

ТАБЛИЦА 16.3
ОСНОВНЫЕ ТЕХНИЧЕСКИЕ ДАННЫЕ КСЭ

Тип коллектора	$T_{т.макс}, °C$	η_0	$K_x, Вт/(м²·К)$	$C_x, руб/м²$
Неселективный плоский КСЭ:				
с однослойным остеклением НПК-1	80	0,7-0,85	7-10	50-150
с двухслойным остеклением НПК-2		0,65-0,8	4-6	
без остекления		0,9-0,95	18-22	
Селективный плоский КСЭ:				
с однослойным остеклением СПК-1	100	0,65-0,8	4,5-6	120-220
с двухслойным остеклением СПК-2		0,6-0,75	3-4	
Фоклин (коэффициент концентрации 1,5)	120	0,6	0,7-0,8	250
Параболо-цилиндрический концентратор ПЦК	300	0,65-0,85	0,6-0,9	400-600
Вакуумированный стеклянный трубчатый коллектор ВСТК	120-250	0,5-0,75	1-2	200-300

Теплопроизводительность КСЭ. Мгновенное количество полезной энергии, даваемой КСЭ, Вт, равно:

$$Q_x = F_k [I_k \eta_0 - K_x(T_{n.н} - T_v)] = m_x c_p F_k (T_{т.к} - T_{т.н}), \quad (16.11)$$

где F_k -площадь поверхности КСЭ, м².

Среднемесячная удельная суточная теплопроизводительность КСЭ, МДж/(м²·день)

$$q_k = E_k \bar{\Phi} \eta_0, \quad (16.12)$$

где E_k – среднemesячное поступление солнечной энергии на поверхность КСЭ за день, МДж/(м²·день); $\bar{\Phi}$ – среднemesячная величина степени использования солнечной энергии в КСЭ, т.е. доля общего количества солнечной энергии, поступающей на поверхность КСЭ при $I_k > I_{кр}$.

Годовая теплопроизводительность системы солнечного теплоснабжения (ССТ) $Q_c^{год}$ меньше годовой теплопроизводительности КСЭ $Q_k^{год}$ на величину теплотерь в трубопроводах, аккумуляторе теплоты и системе распределения теплоты, а также на величину неиспользованного избытка полезной энергии, которая тем больше, чем больше площадь КСЭ и меньше доля нагрузки горячего водоснабжения.

Максимальная годовая теплопроизводительность плоского КСЭ в IV климатической зоне составляет 750–1000, а в III зоне – 450–650 кВт·ч/(м²·год). Так, при $E_k = 1250$ кВт·ч/(м²·год), $T_{в}^{год} = 8^\circ\text{C}$, $T_{г,н} = 60^\circ\text{C}$, $Q_c^{год} = 500$ кВт·ч/(м²·год) потери в системе ССГВ достигают 30% и $Q_c^{макс} = 350$ кВт·ч/(м²·год). В системах ССТ площадь КСЭ значительно больше, чем в ССГВ, летом возникает неиспользуемый избыток теплоты и $Q_c^{макс} = 200$ кВт·ч/(м²·год). Наиболее существенно на Q_c влияют метеопараметры (E , $T_{в}$ и $E_{д}/E$), характеристики КСЭ (K_k , η_0 , β и a_k), аккумулятора теплоты ($V_{ак}$ и $K_{ак}$) и трубопроводов ($K_{тр}$ и $l_{тр}$), доля нагрузки горячего водоснабжения $Q_{г,н}/Q_n$.

Величина $\bar{\Phi}$ зависит от η_0 и K_k КСЭ, а также от местоположения и назначения гелиосистемы. Эту зависимость можно представить в виде формулы

$$\bar{\Phi} = 1 - a_1 P + a_2 P^2, \quad (16.13)$$

$$\text{где } P = (T_{г,н} - T_{в})/\bar{K}_k; \quad (16.14)$$

$T_{г,н}$ и $T_{в}$ – среднemesячные температуры теплоносителя на входе в КСЭ и наружного воздуха, °C; \bar{K}_k – среднemesячная величина коэффициента ясности атмосферы (см. табл. 16.1); a_1 и a_2 – коэффициенты для основных типов КСЭ, приведенные в табл. 16.4.

Ориентация, угол наклона, размещение и соединение модулей КСЭ. Оптимальная ориентация КСЭ – южная. При отклонении до 30° к востоку или западу от южного направления годовое количество поступающей солнечной энергии уменьшается на 5–10%.

ТАБЛИЦА 16.4
ОСНОВНЫЕ ХАРАКТЕРИСТИКИ КСЭ

Тип КСЭ	η_0	$K_{к2}$ Вт/(м ² × × К)	$a_1 \cdot 10^3$	$a_2 \cdot 10^6$
НПК-1	0,78	8,0	10,7	29,3
НПК-2	0,73	4,6	6,9	12,7
СПК-1	0,75	5,5	7,9	16,4
СПК-2	0,7	3,5	5,6	8,7
ПЦК	0,65	0,8	1,6	1,2
ВСТК	0,6	1,5	8,0	8,0

Оптимальный угол наклона КСЭ β равен широте местности φ для систем круглогодичного действия, $\beta = \varphi + 15^\circ$ для систем, работающих только в отопительный сезон, и $\beta = \varphi - 15^\circ$ для систем, работающих только в летний период.

КСЭ можно размещать на наружных ограждениях здания (крыше, стенах, ограждениях балконов и т.п.) или отдельно от него. Стоимость ССТ значительно снижается при совмещении КСЭ с крышей здания. Теплопроизводительность КСЭ снижается на 2–5% при затенении непрозрачными элементами конструкции и запылении.

При большой площади КСЭ отдельные его модули соединяются между собой по параллельно-последовательной схеме, образуя массив или поле КСЭ. Эффективность поля КСЭ практически всегда ниже КПД отдельного модуля из-за теплотерь соединительных трубопроводов, неравномерности распределения теплоносителя, тепловой инерции и т.п.

16.4. Классификация и выбор аккумуляторов теплоты

Типичные годовые и суточные графики поступления солнечной энергии и изменения нагрузки теплоснабжения здания приведены на рис. 16.15. Применение аккумуляторов теплоты повышает надежность ССТ, обеспечивает покрытие нагрузки ночью и при повышенной облачности, снижает расход топлива.

Системы аккумуляции теплоты (САТ) работают на основе накопления явной или скрытой теплоты и характеризуются энергоемкостью, мощностью потоков подводимой и отводимой теплоты, продолжительностью цикла аккумуляции (краткосрочное – от 6–12 ч до 10 сут и долгосрочное – от 10 сут до

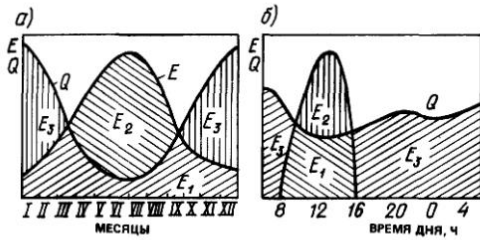


Рис. 16.15. Типичные годовые (а) и суточные (б) графики изменения количества поступающей солнечной энергии E и тепловой нагрузки теплоснабжения здания Q

E_1 – используемая солнечная энергия, E_2 – избыток солнечной энергии (может быть аккумулирован); E_3 – дефицит солнечной энергии (может быть покрыт из дополнительного источника или аккумулятора тепла)

нескольких месяцев аккумулирование), объемной плотностью энергии, диапазоном температур, коэффициентом теплопотерь, капитальными и эксплуатационными затратами. САТ включает теплоаккумулирующий материал (ТАМ), резервуар и тепловую изоляцию. В жидкостных ССТ для аккумулирования теплоты используются баки с горячей водой, обладающей высокой теплоемкостью, а в ССТ с воздушным КСЭ – резервуары с галькой и другими твердыми материалами.

Количество аккумулированной теплоты при отсутствии фазовых переходов ТАМа равно:

$$Q = mc_p(T_2 - T_1), \quad (16.15)$$

где T_1 и T_2 – температура ТАМа до и после зарядки аккумулятора, °С; m – масса ТАМа, кг; c_p – удельная изобарная теплоемкость ТАМа, кДж/(кг·°С).

При суточном аккумулировании теплоты удельный объем водяного бака-аккумулятора для жидкостных ССТ принимается равным 0,05–0,15 м³, а галечного аккумулятора для воздушных ССТ – 0,15–0,35 м³ на 1 м² площади поверхности КСЭ.

Применение ТАМов фазового перехода (плавление-затвердевание) обеспечивает большую объемную плотность аккумулируемой энергии и позволяет уменьшить их массу и объем (табл. 16.5 и 16.6).

Количество теплоты, аккумулируемой при плавлении ТАМа, равно:

$$Q = m[c_t(T_{пл} - T_1) + \Delta i_{пл} + c_ж(T_2 - T_{пл})], \quad (16.16)$$

где c_t и $c_ж$ – удельная теплоемкость твердого и жидкого ТАМа, кДж/(кг·°С); $\Delta i_{пл}$ – скрытая теплота

ТАБЛИЦА 16.5
СРАВНЕНИЕ РАЗЛИЧНЫХ ТАМОВ ДЛЯ АККУМУЛИРОВАНИЯ 1 ГДж ТЕПЛОТЫ (РАЗНОСТЬ ТЕМПЕРАТУР В АККУМУЛЯТОРЕ ТЕПЛОТЫ ПРИНЯТА 10°С)

ТАМ	Масса, кг	Объем, м ³
Галька*	113 636	71,74
Вода	23 866	23,9
Глауберова соль	3 723	2,55
Парафин	4 794	5,27

* Порозность слоя гальки равна 0,4

плавления ТАМа, кДж/кг; $T_{пл}$ – температура плавления, °С

Применение сезонных САТ и аккумуляторов теплоты фазового перехода пока экономически нецелесообразно.

16.5. Общие положения расчета систем солнечного отопления и горячего водоснабжения

Точный тепловой расчет ССТ затрудняется из-за влияния случайных колебаний климатических условий и сложного характера взаимодействия между элементами системы. Поэтому в инженерной практике обычно используются полумпирические методы, которые основаны на обобщении результатов подробного моделирования ССТ с помощью ЭВМ и дают возможность получить долгосрочные характеристики ССТ.

Цель теплового расчета ССТ состоит в определении: удельной суточной тепловой производительности системы q_c ; площади F_k лучепоглощающей поверхности КСЭ; объема теплового аккумулятора $V_{ак}$; удельного массового расхода теплоносителя в контуре КСЭ m_k ; ориентации (азимута α_k) и угла наклона β КСЭ к горизонту; площади поверхностей нагрева теплообменников в контурах КСЭ и потребителя; годовой степени замещения топлива $f_{год}$ и расхода дополнительной энергии $Q_{д и э}$.

Исходные данные для расчета ССТ включают:

- а) местоположение гелиосистемы – широта, долгота и высота местности над уровнем моря;
- б) климатические данные: среднемесячное дневное количество суммарной E и диффузной E_d солнечной радиации, поступающей на гори-

ТАБЛИЦА 16.6

ОСНОВНЫЕ ХАРАКТЕРИСТИКИ ТЕПЛОАКУМУЛИРУЮЩИХ МАТЕРИАЛОВ

ТАМ	$T_{пл}, ^\circ\text{C}$	Плотность ρ , г/см^3	Теплопроводность, $\text{Вт/(м}\cdot\text{К)}$		c_p	Температура, $\text{кДж/(кг}\cdot\text{К)}$	$c_{рм}$	Энтальпия фазо- вого перехода Δh кДж/кг	МДж/м ³
			λ_r	λ_m					
Бетон		2200	0,9–1,75		0,96				
Грунт (мелкие куски)		2560	0,52		0,84				
Галька, гранит		2640	1,7–4,0		0,88		4,19		
Вода				0,7					
Растия калий-натриевых солей (46% NaNO_3 54% KNO_3)				0,57		1,56			
$\text{CaCl}_2 \cdot 6\text{H}_2\text{O}$	29,2	1,62	0,6	0,3	1,47		172,5	258,1	
$\text{Na}_2\text{SO}_4 \cdot 10\text{H}_2\text{O}$	32,4	1,46	0,5	0,3	1,76		251,0	345,2	
$\text{Na}_2\text{HPO}_4 \cdot 12\text{H}_2\text{O}$	35,2	—	0,5	—	1,55		279,6	403,2	
Лауриновая кислота	44,0	—	0,4	0,2	—		175,3	159,6	
Миристиновая »	54,1	—	—	—	1,60		187,8	162,8	
Пальмитиновая »	65,0	—	—	—	1,80		184,5	162,9	
Парафин 2	42,0	0,91	—	—	2,08		187,8	144,0	
Октадекан	28,0	—	—	0,1	2,10		244,2	194,1	
n-Эйкозан	36,7	0,86	—	0,2	2,01		247,0	192,0	

горизонтальную поверхность, температура наружного воздуха T_n ;

в) характеристики КСЭ η_0 и K_k ; геометрические размеры модуля КСЭ, число слоев остекления, вид теплоносителя;

г) месячную тепловую нагрузку отопления Q_o (или данные для ее расчета);

д) среднемесячные значения температур холодной $T_{x,в}$ и горячей $T_{г,в}$ воды;

е) суточное общее потребление горячей воды $V_{г,в}$.

В соответствии с п. 16.1 выбирают тип и схему ССТ, а по п. 16.3 – тип КСЭ и его характеристики. Системы ССГВ с естественной циркуляцией следует применять при площади КСЭ до 20 м^2 для индивидуальных потребителей. В гелиосистемах отопления и ССГВ с большей площадью КСЭ необходимо использовать принудительную циркуляцию теплоносителя.

Температура горячей воды в ССГВ должна быть в пределах $45\text{--}75^\circ\text{C}$, кроме случаев, указанных в СНиП.

При проектировании ССТ вначале выбирают схемное решение и оборудование ССТ, затем последовательно выполняют тепловой, гидравлический и технико-экономический расчеты ССТ с оптимизацией.

В отличие от традиционных систем теплоснабжения, при проектировании которых для выбора оборудования достаточно определить часовые расходы теплоты, при расчете ССТ необходимо вычислять месячные расходы теплоты. Расход теплоты, кДж, на горячее водоснабжение в данном месяце равен:

$$Q_{г,в} = Q_{г,в}^{сут} n_d = 4,19 \cdot 10^3 V_{г,в} (T_{г,в} - T_{x,в}) N n_d, \quad (16.17)$$

где $V_{г,в}$ – суточный расход горячей воды на 1 человека по нормам, $\text{м}^3/(\text{день} \cdot \text{чел.})$; N – число жителей; n_d – число дней в данном месяце; $T_{г,в}$ и $T_{x,в}$ – температуры горячей и холодной воды, $^\circ\text{C}$ (значения $T_{x,в}$ и n_d изменяются по месяцам, а остальные величины постоянные); $Q_{г,в}^{сут}$ – суточный расход теплоты на горячее водоснабжение, кДж.

Месячный расход теплоты на отопление $Q_{o,i}$ определяют путем умножения среднечасового расхода теплоты $Q_o^ч$ на $24n_d$. Величина $Q_o^ч$ определяется по общепринятой методике (см. гл. 8), однако в качестве расчетной температуры принимается среднемесячная температура наружного воздуха T_n . Расчет $Q_{o,i}$ ведется от-

дельно для каждого месяца отопительного периода.

Расход теплоты, кДж/мес, на отопление и горячее водоснабжение (нагрузка теплоснабжения) для данного i -го месяца равен:

$$Q_{н,i} = Q_{o,i} + Q_{г,в,i}. \quad (16.18)$$

Годовые расходы теплоты на отопление, горячее водоснабжение и на теплоснабжение в целом равны:

$$Q_o = \sum_{i=1}^{12} Q_{o,i}; \quad Q_{г,в} = \sum_{i=1}^{12} Q_{г,в,i} \quad \text{и} \quad Q_{н} = \sum_{i=1}^{12} Q_{н,i}. \quad (16.19)$$

Расчет суточной теплопроизводительности ССТ и степени замещения топлива солнечной энергией. Для среднего дня каждого месяца рассчитывают количество солнечной энергии, поступающей на наклонную поверхность КСЭ, для чего определяют угол склонения Солнца δ по формуле (16.4), часовые углы захода Солнца для горизонтальной ω_0 и наклонной ω , поверхностей по формулам (16.5) и (16.6), среднемесячные коэффициенты пересчета солнечной радиации \bar{R}_n и \bar{R} по формулам (16.2) и (16.3) (см. рис. 16.8, табл. 16.2), среднемесячное дневное количество солнечной энергии E_k , поступающей на поверхность КСЭ, по формуле (16.1).

Вследствие нестабильности поступления солнечной энергии системы солнечного отопления должны работать с дополнительным (резервным) источником энергии ДИЭ (котельная, теплосеть и т.п.), обеспечивающим 100% тепловой нагрузки. В то же время ССГВ сезонного действия могут быть запроектированы без дублера, если не предъявляются жесткие требования по бесперебойному горячему водоснабжению (летние душевые, пансионаты, пионерские лагеря и т.п.).

Для систем солнечного отопления тепловой расчет рекомендуется выполнять для апреля (для марта для южных районов при $\varphi = 45^\circ$ с.ш. и южнее). В этом месяце вся тепловая нагрузка должна обеспечиваться за счет солнечной энергии.

При проектировании гелиотопливных систем теплоснабжения необходимо исходить из того, что экономически целесообразно покрывать за счет солнечной энергии лишь определенную долю $f_{год}$ годовой тепловой нагрузки $Q_{н}^{год}$ отопления и горячего водоснабжения, а

остальную часть тепловой нагрузки должен обеспечивать ДИЭ:

$$Q_{\text{ДИЭ}} = (1 - f_{\text{год}}) Q_{\text{н}}^{\text{гол}}. \quad (16.20)$$

Годовая доля солнечной энергии в покрытии тепловой нагрузки (или степень замещения топлива) равна:

$$f_{\text{год}} = \Sigma f Q_{\text{н}}^{\text{м}} / \Sigma Q_{\text{н}}^{\text{м}}. \quad (16.21)$$

Месячная степень замещения топлива

$$f = \frac{Q_{\text{с}}^{\text{м}}}{Q_{\text{н}}^{\text{м}}} = \frac{Q_{\text{н}}^{\text{м}} - Q_{\text{ДИЭ}}^{\text{м}}}{Q_{\text{н}}^{\text{м}}} = 1 - \frac{Q_{\text{ДИЭ}}^{\text{м}}}{Q_{\text{н}}^{\text{м}}}, \quad (16.22)$$

где $Q_{\text{н}}^{\text{м}}$, $Q_{\text{с}}^{\text{м}}$ и $Q_{\text{ДИЭ}}^{\text{м}}$ – месячные величины тепловой нагрузки, теплоты, обеспечиваемой солнечной и дополнительной энергией, ГДж/месяц.

Для расчета по формуле (16.12) среднемесячной суточной удельной теплопроизводительности КСЭ $q_{\text{к}}$ по табл. 16.3 и 16.4 выбираем характеристики КСЭ и коэффициенты a_1 и a_2 ; определяем параметр P по формуле (16.14), величину Φ по формуле (16.13).

Удельный объемный расход теплоносителя $V_{\text{к}}$ для жидкостных КСЭ следует принимать равным $V_{\text{к}} = 0,01 - 0,02 \text{ л}/(\text{м}^2 \cdot \text{с})$, для воздушных КСЭ – $0,005 - 0,02 \text{ м}^3/(\text{м}^2 \cdot \text{с})$.

Удельный объем аккумулятора теплоты водяного $V_{\text{ак}} = 0,05 - 0,1 \text{ м}^3$, галечного $V_{\text{ак}} = 0,15 - 0,35 \text{ м}^3$ на 1 м^2 площади поверхности КСЭ.

Годовая (сезонная) теплопроизводительность системы $Q_{\text{с}}^{\text{гол}}$ и степень замещения $f_{\text{с}}^{\text{гол}}$ для ССГВ меньше $Q_{\text{н}}^{\text{гол}}$ и $f_{\text{год}}$ на 25–35%, а для ССТ – на 30–50% (из-за теплопотерь в системе и неиспользуемого избытка полезной теплоты).

Годовая экономия топлива, т. у. т, обеспечиваемая использованием солнечной энергии,

$$B = f_{\text{год}} Q_{\text{н}}^{\text{гол}} / (Q_{\text{т}} \eta_{\text{тг}}),$$

где $f_{\text{год}}$ – годовая степень замещения, $Q_{\text{н}}^{\text{гол}}$ – годовая нагрузка теплоснабжения, ГДж/год, $Q_{\text{т}} = 29,3 \text{ кДж}/\text{т. у. т}$ – теплота сгорания топлива, отнесенная к 1 т условного топлива; $\eta_{\text{тг}}$ – КПД теплогенерирующей установки, равный 0,45 и 0,6 для индивидуальных теплогенераторов на твердом и жидком (газообразном) топливе и 0,6–0,7 и 0,7–0,8 для котельных производительностью 20–100 ГДж/ч и более на твердом и жидком (газообразном) топливе.

Годовая экономия, руб, составляет

$$\Delta_{\text{год}} = C_{\text{т}} f_{\text{год}} Q_{\text{н}}^{\text{гол}} / \eta_{\text{тг}},$$

где $C_{\text{т}}$ – стоимость тепловой энергии от топливной теплогенерирующей установки, руб/ГДж, можно принять равной 55–65 руб/ГДж в зависимости от района.

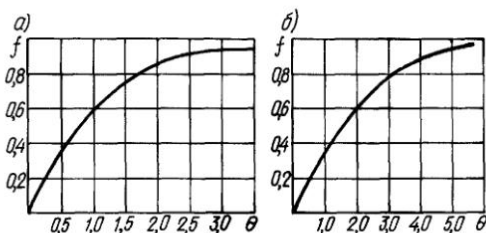


Рис. 16.16. Обобщенные зависимости f от θ для геосистем горячего водоснабжения (а) и отопления и горячего водоснабжения (б)

Срок окупаемости геосистемы, годы:

$$\tau = C_{\text{гс}} F_{\text{к}} / \Delta_{\text{год}},$$

где $C_{\text{гс}}$ – удельные затраты на геосистему, отнесенные к 1 м^2 площади поверхности КСЭ, руб/м². При отсутствии данных можно принять $C_{\text{гс}} = 300 \text{ руб}/\text{м}^2$.

Для предварительного расчета систем солнечного теплоснабжения рекомендуется использовать зависимости f от безразмерного параметра $\theta = E_{\text{к}} F_{\text{к}} / Q_{\text{н}}$, приведенные на рис. 16.16. При построении этих зависимостей принято: а) в базовой системе используется плоский КСЭ типа НПК-2 с двухслойным остеклением, имеющий отношение $K_{\text{к}}/\eta_{\text{о}} = 6,3 \text{ Вт}/(\text{м}^2 \cdot \text{К})$, оптимальный угол наклона КСЭ $\beta_{\text{опт}}$ к горизонту и южную ориентацию; б) удельный объем водяного аккумулятора теплоты равен $0,05 \text{ м}^3/\text{м}^2$ площади КСЭ. При применении КСЭ, имеющих другие значения отношения $K_{\text{к}}/\eta_{\text{о}}$, необходимо внести соответствующую поправку в расчет.

Величины $E_{\text{к}}$ (поток солнечной энергии на поверхность КСЭ) и $Q_{\text{н}}$ (тепловая нагрузка) следует определять для расчетного периода: для ССГВ круглогодичного или сезонного действия – 1 год или летний сезон, а для систем отопления – каждый месяц отопительного сезона.

Можно принимать следующие ориентировочные значения коэффициента пересчета \bar{R} солнечной энергии КСЭ с оптимальным углом наклона КСЭ к горизонту: $\bar{R} = 1,4$ для геосистем отопления (при $\beta_{\text{опт}} = \varphi + 15^\circ$); $\bar{R} = 1,05$ для сезонных ССГВ (при $\beta_{\text{опт}} = \varphi - 15^\circ$) и $\bar{R} = 1,1$ для ССТ круглогодичного действия (при $\beta_{\text{опт}} = \varphi$).

Для геосистем отопления и горячего водоснабжения пользоваться зависимостью f от θ следует только на месячной основе. Величину

месячной тепловой нагрузки Q_n^M необходимо рассчитывать по п. 16.4.

С помощью зависимостей f от θ можно решить две задачи: а) определение годовой величины $f_{\text{год}}$ при заданной площади поверхности КСЭ F_k ; б) определение площади F_k , обеспечивающей заданное значение $f_{\text{год}}$. Последовательность решения первой задачи: для расчетного периода (год, сезон, месяц) определяют Q_n и E_k ; вычисляют параметр θ ; по рис. 16.16 находят $f_{\text{год}}$; рассчитывают годовые (месячные) количества полезной энергии ССТ Q_c и энергии $Q_{\text{ДИЭ}}$, подводимой от топливного источника: $Q_c = f_{\text{год}} Q_n^{\text{год}}$ и $Q_{\text{ДИЭ}} = (1 - f_{\text{год}}) Q_n^{\text{год}}$.

Площадь поверхности КСЭ, необходимую для обеспечения требуемой величины $f_{\text{год}}$, определяют по формуле:

$$F_k = \theta Q_n / E_k. \quad (16.23)$$

Пример ориентировочного расчета ССГВ круглогодичного действия в Кишиневе с потреблением горячей воды $V_{г.в} = 4,8 \text{ м}^3/\text{день}$. Тепловая нагрузка за год равна:

$$Q_n = 365 V_{г.в} \rho c_p (T_{г.в} - T_{х.в}) = 365 \cdot 4,8 \cdot 10^3 \cdot 4,19 (45 - 10) = 257 \text{ ГДж/год.}$$

Принимаем $f_{\text{год}} = 0,5$. По табл. 16.1 определяем годовой приход солнечной энергии $E = 4,72 \text{ ГДж}/(\text{м}^2 \cdot \text{год})$. Коэффициент пересчета $\bar{R} = 1,1$ и $E_k = \bar{R}E = 5,2 \text{ ГДж}/(\text{м}^2 \cdot \text{год})$. По рис. 16.16 находим $\theta = 0,843$. Тогда $F_k = 0,843 \cdot 257 / 5,2 = 41,7 \text{ м}^2$ и объем аккумулятора тепла $V_{ак} = 0,05 F_k = 2,1 \text{ м}^3$.

Величину F_k , м^2 , можно также рассчитать по формуле

$$F_k = Q_n / q_c. \quad (16.24)$$

Тепловая нагрузка Q_n и удельная теплопроизводительность q_c системы сильно изменяются в течение года, поэтому формула (16.23) дает лишь ориентировочные значения F_k .

16.6. Расчет сезонных систем горячего водоснабжения

1. Площадь поверхности КСЭ для сезонной ССГВ, работающей с апреля по сентябрь, можно упрощенно определить по формуле

$$F_k = V_{г.в} / (g_{г.в} \eta_{г.в}), \quad (16.25)$$

где $V_{г.в}$ — средний суточный расход горячей воды, л/день; $g_{г.в}$ — среднесезонная суточная удельная производительность системы по горячей воде, л/(\text{м}^2 \cdot \text{день});

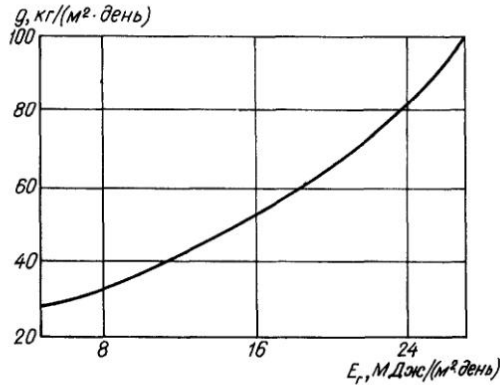


Рис. 16.17. Зависимость удельной суточной производительности систем солнечного горячего водоснабжения от суммарного поступления солнечной энергии E_r на горизонтальную поверхность

$\eta_{г.в} = 0,8 - 0,85$ — коэффициент, учитывающий теплопотери трубопроводов.

2. Величину $g_{г.в}$ следует определять в зависимости от суточного поступления солнечной энергии E на горизонтальную поверхность по рис. 16.17.

3. Если в системе не предусмотрен резервный источник теплоты, то расчет ССГВ ведется по величине E для апреля, но при этом в летние месяцы будет возникать неиспользуемый избыток теплоты. Если же резервный источник теплоты предусмотрен, то расчет ССГВ ведется для июня, тогда в остальной период года система обеспечит долю $f_{ср}$ нагрузки, а резервный источник даст $(1 - f_{ср}) Q_{г.в}$ теплоты.

4. Пример расчета сезонной ССГВ в Кишиневе: $V_{г.в} = 4,8 \text{ м}^3/\text{день}$, $T_{г.в} = 45^\circ\text{C}$ и $T_{х.в} = 15^\circ\text{C}$. Выбираем КСЭ типа НПК-2, $\beta = \varphi - 15^\circ = 32^\circ$.

Вычислим F_k и экономию топлива. По табл. 16.1 определяем $E = 15,84 \text{ МДж}/(\text{м}^2 \cdot \text{день})$ (апрель) и $23,62 \text{ МДж}/(\text{м}^2 \cdot \text{день})$ (июнь). По рис. 16.17 находим $g_{г.в} = 52,5 \text{ л/день}$ (апрель) и 80 л/день (июнь) на 1 м^2 площади КСЭ.

По формуле (16.23) находим $F_k = 107,6 \text{ м}^2$ (апрель) и $70,6 \text{ м}^2$ (июнь). При отсутствии ДИЭ целесообразно использовать КСЭ с $F_k = 107,6 \text{ м}^2$, а при наличии ДИЭ $F_k = 70,6 \text{ м}^2$. Месячные величины f равны: $f_{IV} = 0,66$, $f_V = 0,83$, $f_{VI} = f_{VII} = 1$, $f_{VIII} = 0,82$, $f_{IX} = 0,61$, а средняя за сезон величина $f_{ср} = 0,82$.

Объем аккумулятора $V_{ак} = 0,05 V_k = 3,5 \text{ м}^3$. Расход энергии от ДИЭ за сезон составит $Q_{\text{ДИЭ}} = (1 - f_{ср}) Q_{г.в} = 0,18 \cdot 110 = 19,8 \text{ ГДж}$.

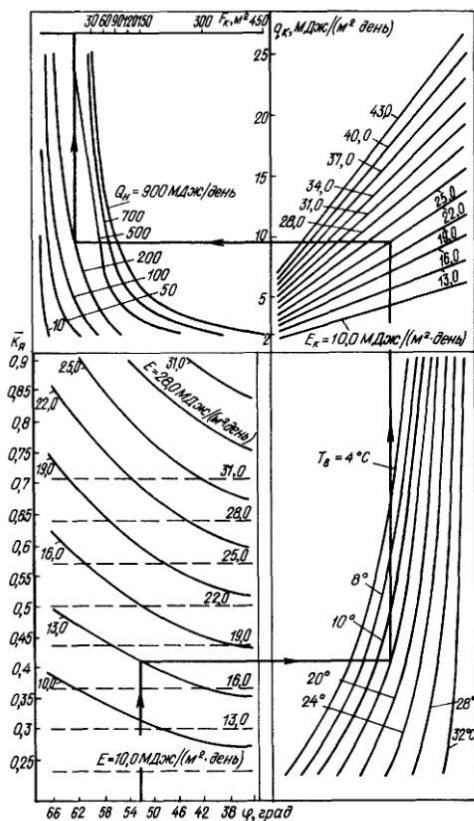


Рис. 16.18. Номограмма для определения среднееесячного суточного поступления солнечной энергии E_s на поверхность КСЭ с оптимальным углом наклона и ориентацией

Экономия топлива (при КПД теплогенератора $\eta_{т.г} = 0,55$):

$$V = \frac{Q_{г.н} - Q_{диз}}{Q_{г.н} \eta_{т.г}} = \frac{110 - 19,8}{29,33 \cdot 0,55} = 6,16 \text{ т у. т/год.}$$

Расчетные номограммы для базовой системы ССГВ. Базовая система ССГВ: плоский КСЭ типа НПК-2 с $K_x/\eta_0 = 6,3 \text{ Вт}/(\text{м}^2 \cdot \text{К})$, $T_{т.н} = 35^\circ\text{C}$, $\beta = \varphi - 15^\circ$, $\rho = 0,2$; водяной аккумулятор теплоты с $V_{ак} = 0,05 \text{ м}^3/\text{м}^2$, $K_{ак} = 1 \text{ Вт}/(\text{м}^2 \cdot \text{К})$, $K_{тр} = 0,3 \text{ Вт}/(\text{м} \cdot \text{К})$, $l_{тр} = 1 \text{ м}/\text{м}^2$, избыток полезной теплоты отсутствует.

Уточненный расчет сезонных систем ССГВ может быть выполнен по номограммам (рис. 16.18 и 16.19).

По исходным данным (φ , E и E_d/E) для апреля и по номограмме на рис. 16.18 определяют E_x при $\beta = \varphi - 15^\circ$.

По исходным данным (φ , E , E_x , T_n и Q_n) по номограмме на рис. 16.19 определяют F_x .

Пример расчета сезонной ССГВ. По номограмме на рис. 16.18 при $\varphi = 47^\circ$ для июня [$E = 23,62 \text{ МДж}/(\text{м}^2 \cdot \text{день})$] получим $E_x = 22 \text{ МДж}/(\text{м}^2 \cdot \text{день})$, а по номограмме на рис. 16.19 по известным величинам φ , E , E_x и $T_n = 19,2^\circ\text{C}$ при суточной тепловой

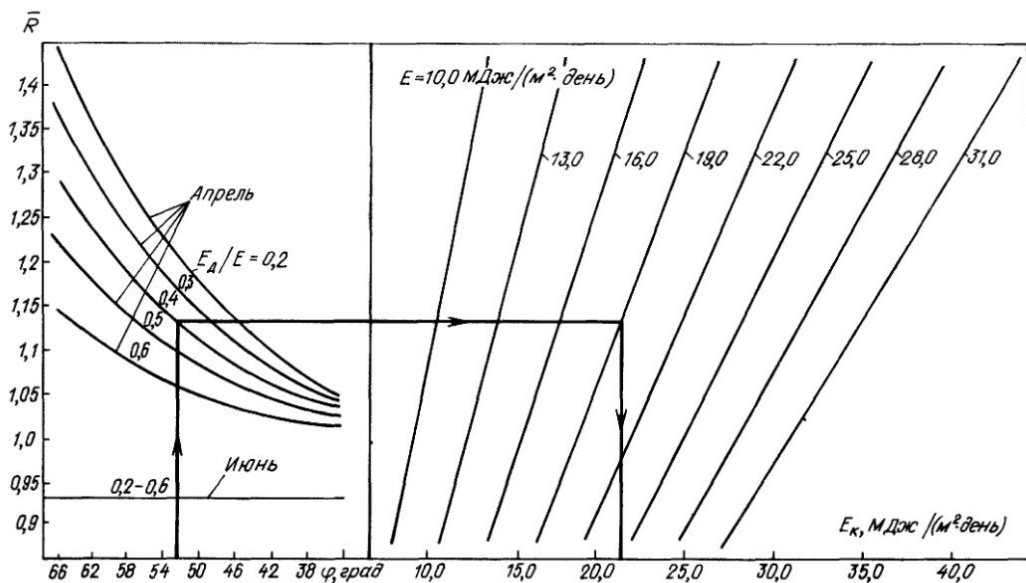


Рис. 16.19. Номограмма для определения площади поверхности КСЭ для сезонных систем солнечного горячего водоснабжения

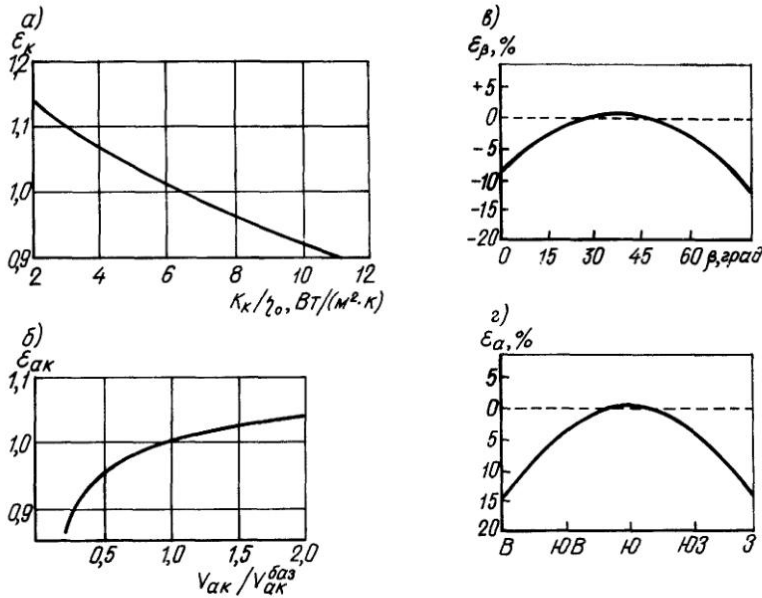


Рис. 16.20 Графики для определения поправочных коэффициентов $\epsilon_x, \epsilon_{ак}, \epsilon_\beta, \epsilon_\alpha$

нагрузке $Q_n = V_{г.в} \rho c_p \Delta T = 4,8 \cdot 4,19 (45 - 15) = 603 \text{ МДж/день}$ находим $F_k = 72 \text{ м}^2$. Расхождение с расчетом порядка 2%.

16.7. Уточнение теплового расчета ССТ с учетом действительных характеристик системы

Для систем солнечного отопления и ССТ круглогодичного действия предварительный расчет следует выполнять с помощью зависимостей f от θ , приведенных на рис. 16.16. Основное влияние на величину F_k оказывают характеристики КСЭ, объем аккумулятора теплоты и метеосостояние. При разработке метода расчета принят КСЭ типа НПК-2 с $K_k/\eta_0 = 6,3 \text{ Вт}/(\text{м}^2 \cdot \text{К})$.

При применении КСЭ с другим значением K_k/η_0 расчетную величину F_k необходимо разделить на поправочный коэффициент ϵ_x , который можно определить по рис. 16.20, а. Влияние удельного объема аккумулятора тепла (для базового варианта принят $V_{ак}^{баз} = 0,05 \text{ м}^3/\text{м}^2$) на величину F_k можно учесть с помощью поправочного коэффициента $\epsilon_{ак}$ (рис. 16.20, б).

При значительном отклонении угла наклона КСЭ от оптимального значения $\beta_{опт}$ и азиму-

тута КСЭ от $\alpha_x = 0$ (южное направление) величину F_k необходимо увеличить с учетом поправочных коэффициентов ϵ_β и ϵ_α (значения ϵ_β для $\phi = 50^\circ$ с.ш. приведены на рис. 16.20, в, а значения коэффициента ϵ_α — на рис. 16.20, з).

Окончательное расчетное значение площади поверхности КСЭ равно:

$$F_{к.расч} = F_k / (\epsilon_x \epsilon_{ак} \epsilon_\beta \epsilon_\alpha).$$

При выборе солнечных систем следует пользоваться табл. 16.7.

Расчет и выбор вспомогательного оборудования (теплообменников, насосов, вентиляторов, ДИЭ, расширительного бака, системы регулирования и т.п.) ведется по общепринятым методикам.

Подробный тепловой расчет ССТ может быть выполнен по методам f - и $\Phi - f$ -кривой*.

Гидравлический расчет ССТ выполняется в соответствии с рекомендациями гл. 10. Технико-экономические расчеты и сравнения вариантов ССТ ведутся по приведенным затратам.

* У. Бекман, С. Клейн, Дж. Даффи. Расчет систем солнечного теплоснабжения.—М.: Энергоиздат, 1982.

ТАБЛИЦА 16.7

РЕКОМЕНДУЕМЫЕ ПАРАМЕТРЫ СОЛНЕЧНЫХ СИСТЕМ

Тип системы	Удельный расход теплоносителя, м ³ /с на 1 м ² площади КСЭ	Удельный объем аккумулятора, м ³ на 1 м ² площади КСЭ	Размер частиц в галечном аккумуляторе, м	Высота слоя гальки, м	Угол наклона к горизонту, град	Ориентировочная площадь поверхности КСЭ (типа НПК-2 или СПК-1), м ²
Система солнечного отопления (ССО) с КСЭ						
жидкостным	0,01–0,02	0,05–0,15	—	—	$\beta = \varphi + 15$	—
воздушным	0,005–0,02	0,15–0,35	0,02–0,03	1–2,5		
Система солнечного горячего водоснабжения (ССГВ) действия						
сезонного круглогодичного	—	—	—	—	$\beta = \varphi - 15$ $\beta = \varphi$	$\left. \begin{matrix} 0,75-1,2 \\ 0,75-1,2 \end{matrix} \right\}$ на 1 чел.
Системы нагрева воды для плавательного бассейна с КСЭ						
наклонным	—	—	—	—	$\beta = \varphi$	$(0,5-0,65) F_{\text{бас}}$
горизонтальным	—	—	—	—	—	$(0,6-0,75) F_{\text{бас}}$

ГЛАВА 17. ИСПОЛЬЗОВАНИЕ ТЕПЛОТЫ ГЕОТЕРМАЛЬНЫХ ВОД

17.1. Классификация геотермальных вод

Геотермальные воды являются новым перспективным источником тепловой энергии. Основные ресурсы геотермальных вод на территории СССР сосредоточены в районах Предкавказья, Закавказья, Западной Сибири, Дальнего Востока, Камчатки и Средней Азии.

В зависимости от теплового потенциала, химического и газового состава геотермальные воды условно классифицируются*:

а) по температуре, °С: слаботермальные (< 40); термальные (40–60); высокотермальные (61–100) и перегретые (более 100);

б) по степени минерализации (сухой остаток, г/л): ультрапресные (до 0,1); пресные (0,1–1); слабосоленоватые (1–3); сильносоленоватые (3–10); соленые (10–35) и рассольные* (более 35);

в) по общей жесткости, мг-экв/л: очень мягкие (0–1,2); мягкие (1,2–2,8); средние (2,8–5,7); жесткие* (5,7–11,7) и очень жесткие* (более 11,7);

г) по кислотности, рН: сильнокислые*

* Геотермальные воды, отмеченные звездочкой, в системах теплоснабжения, как правило, не используются.

(< 3,5); кислые* (3,5–5,5); слабокислые (5,5–6,8); нейтральные (6,8–7,2); слабощелочные (7,2–8,5); щелочные (> 8,5);

д) по газовому составу: сероводородные*, сероводородно-углекислые*, углекислые*, азотно-углекислые, метановые, азотно-метановые, азотные;

е) по газонасыщенности, мл/л: слабая газонасыщенность (менее 100); средняя газонасыщенность (100–1000) и высокая газонасыщенность (более 1000).

В соответствии с «Основами водного законодательства Союза ССР и союзных республик» геотермальные воды, отнесенные в установленном порядке к категории лечебных, используются прежде всего для лечебных и курортных целей. В исключительных случаях органы по регулированию использования и охране вод могут разрешить применение геотермальных вод, отнесенных к категории лечебных, для целей теплоснабжения по согласованию с соответствующими органами здравоохранения и управления курортами.

По условиям залегания геотермальные воды платформенных областей относятся к платформенным, складчатых областей – в основном к трещинно-жилым.

17.2. Специфика геотермального теплоносителя

При проектировании систем геотермального теплоснабжения следует учитывать отличие геотермального теплоносителя от традиционного. Специфика геотермальных вод заключается в следующем:

а) одноразовость использования в системах теплоснабжения и постоянная температура в отличие от обычного теплоносителя, который возвращается после потребителя на повторный нагрев и температура которого регулируется в зависимости от климатических факторов. В системах геотермального теплоснабжения тепловой потенциал, не использованный потребителем, теряется безвозвратно. Технические решения систем теплоснабжения с использованием геотермальных вод для конкретных гидрогеологических параметров должны предусматривать максимальную глубину срабатывания теплового потенциала геотермальной воды и наибольшую равномерность использования расчетного дебита скважины в течение года;

б) сравнительно низкая температура, которая предъявляет определенные требования к выполнению геотермальных систем, предопределяя минимально возможную по техническим соображениям температуру обратной воды (с учетом возможности размещения отопительных приборов в отапливаемых помещениях зданий);

в) во многих случаях агрессивность, повышенная минерализация и жесткость; в зависимости от минерализации и химического состава возможны три способа использования геотермальных вод в системах теплоснабжения: с предварительной подготовкой воды, с применением промежуточных теплообменников и с непосредственной подачей геотермальной воды в систему теплоснабжения;

г) необходимость сброса или обратной закачки отработавшей геотермальной воды;

д) фиксированное расположение месторождения относительно потребителей тепла в отличие, например, от котельной, которая может быть размещена в центре тепловой нагрузки или в непосредственной близости от нее.

При разработке схем геотермального теплоснабжения следует стремиться к обеспечению максимального коэффициента эффективности $\eta_{геот}$ при одновременном минимальном удельном расходе геотермальной воды на еди-

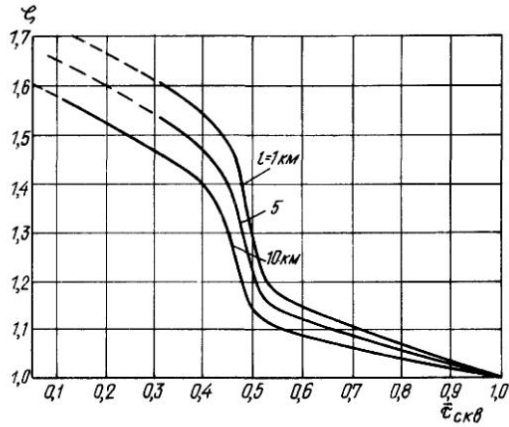


Рис. 17.1. Определение степени относительного увеличения расчетного дебита скважины

ницу расчетной тепловой нагрузки. Коэффициент эффективности представляет собой отношение реально используемого в течение года теплового потенциала скважины к суммарному количеству теплоты, которое могло бы быть получено при срабатывании годового дебита до некоторой условной температуры, в качестве которой принимается температура водопроводной воды в зимний период (5°C):

$$\eta_{геот} = iz\zeta(1 - d_t), \quad (17.1)$$

где $i = t_r - t_o / (t_{гв} - 5)$ — степень относительного срабатывания температурного перепада; z — степень относительного использования максимума нагрузки, определяемая по табл. 17.1; ζ — степень относительного увеличения расчетного дебита скважины, принимается по графику рис. 17.1; d_t — доля в годовом тепловом балансе системы геотермального теплоснабжения таких элементов, которые, используя топливо (например, пиковый догрев), выравнивают потребление геотермальной воды во времени и сокращают ее удельный расход на единицу расчетной тепловой нагрузки (рис. 17.2); t_r и t_o — расчетные температуры теплоносителя, поступающего к данному потребителю (с учетом пикового догрева) и обратного (сбросного или закачиваемого в пласт), $^{\circ}\text{C}$; $t_{гв}$ — температура геотермальной воды на устье скважины, $^{\circ}\text{C}$.

В табл. 17.1 приняты следующие обозначения:

$\tau_{сез}$ — продолжительность отопительного сезона, ч; для систем вентиляции $\tau_{сез}$ определяется с учетом расчетной продолжительности работы в сутки; $\Phi_{ср от}$ и $\Phi_{ср вент}$ — средние за сезон коэффициенты отпуска теплоты для систем отопления и вентиляции, определяемые по формуле

$$\Phi_{ср} = t_a - t_{н ср} / (t_a - t_{н}), \quad (17.2)$$

где t_a — температура воздуха в обслуживаемых поме-

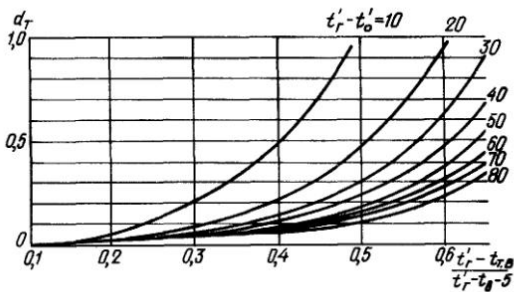


Рис. 17.2. График для определения доли пикового догрева при отоплении

щениях, °C; t_n – расчетная температура наружного воздуха для проектирования отопления или вентиляции, °C; $t_{a\text{ ср}}$ – средняя температура наружного воздуха за период работы отопительной или вентиляционной установки, °C; $\bar{\tau}_{\text{скв}}$ – коэффициент использования скважины, представляющий собой отношение фактического годового отбора геотермальной воды к про-

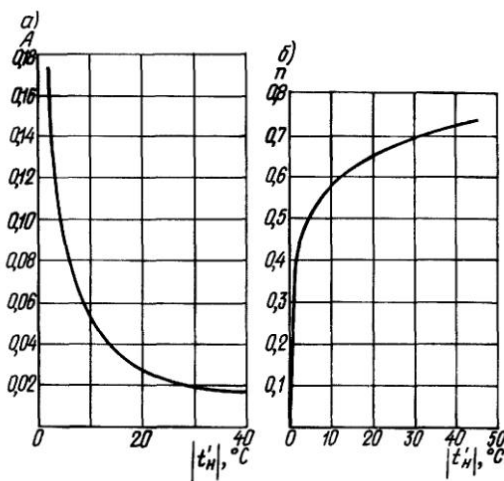


Рис. 17.3. Графики для определения эмпирических коэффициентов A и n

ТАБЛИЦА 17.1

ФОРМУЛЫ ДЛЯ ОПРЕДЕЛЕНИЯ ЗНАЧЕНИЙ z и $\bar{\tau}_{\text{скв}}$

Потребитель	Степень использования максимума нагрузки	Коэффициент использования скважины
Системы отопления с непосредственной подачей геотермальной воды	$z_{\text{от}} = \frac{\tau_{\text{сез}} \varphi_{\text{ср от}}}{8500}$	$\bar{\tau}_{\text{скв от}} = z_{\text{от}} \frac{(t_{\text{в}} - t'_o)}{(t_{\text{в}} - t_{\text{н}} - 5) - \varphi_{\text{от}} (t'_o - t_{\text{н}} - 5)}$
с предварительным пиковым догревом геотермальной воды	$z_{\text{св}} = \frac{\tau_{\text{сез}} \varphi_{\text{ср от}}}{8500}$	$\bar{\tau}_{\text{скв от}} = \frac{\tau}{8500} + \frac{(\tau_{\text{сез}} - \tau_o) \varphi_{\text{от}} (t_{\text{в}} - t_{\text{н}}^{\text{пик}})}{8500 (t_{\text{в}} - t_{\text{н}} - 5) - \varphi_{\text{от}} (t'_o - t_{\text{н}} - 5)}$
Системы вентиляции с непосредственной подачей геотермальной воды	$z_{\text{вент}} = \frac{\tau_{\text{сез}} \varphi_{\text{ср вент}}}{8500}$	$\bar{\tau}_{\text{скв вент}} = z_{\text{вент}} \frac{(t_{\text{в}} - t'_o)}{(t_{\text{в}} - t_{\text{н}}) - \varphi_{\text{вент}} (t'_o - t_{\text{н}})}$
с предварительным пиковым догревом геотермальной воды	$z_{\text{вент}} = \frac{\tau_{\text{сез}} \varphi_{\text{ср вент}}}{8500}$	$\bar{\tau}_{\text{скв вент}} = \frac{\tau_o}{8500} + \frac{(\tau_{\text{сез}} - \tau_o) \bar{\varphi}_{\text{вент}} (t_{\text{в}} - t_{\text{н}}^{\text{пик}})}{8500 (t_{\text{в}} - t_{\text{н}}) - \varphi_{\text{вент}} (t'_o - t_{\text{н}})}$
Системы горячего водоснабжения с непосредственной подачей геотермальной воды	$z_{\text{г в}} = \frac{5500 + 0,35 \tau_{\text{сез}}}{8500}$	$\bar{\tau}_{\text{скв г в}} = \frac{6800 + 0,2 \tau_{\text{сез}}}{8500}$

изведению $8500 G_{\text{скв}}$; $\tau_o = \left(\frac{1 - \varphi_{\text{тн}}}{A}\right)^{1/n}$ – продолжительность работы пикового догрева, ч; A и n – эмпирические коэффициенты, определяемые по графикам на рис. 17.3; $\varphi_{\text{от}}$ и $\varphi_{\text{вент}}$ – относительные коэффициенты отпуска теплоты, средние за период с момента отключения пикового догрева до окончания отопительного сезона и подогрева приточного воздуха, определяемые по выражению

$$\bar{\varphi} = \varphi_o + \varphi_{\text{к}}/2\varphi_{\text{тн}}, \quad (17.3)$$

где φ_o и $\varphi_{\text{к}}$ – коэффициенты отпуска теплоты, соответствующие моментам отключения пикового догрева и окончания отопительного сезона:

$$\varphi_{\text{тн}}^{\text{вент}} = \frac{t_{\text{в}} - t_{\text{н}}}{t'_r - t_{\text{н}}}, \quad (17.4)$$

$$\varphi_{t_0}^{от} = \frac{t_{г.в} - t_{в} - 5}{t'_г - t_{в} - 5}; \quad (17.5)$$

$$\varphi_{\kappa} = 0,557 - 18 \cdot 10^{-4} \tau_{сез}; \quad (17.6)$$

$t_0^{амкл}$ – температура обратной воды, соответствующая φ_{t_0} .

Если предусматривается установка промежуточных теплообменников, то при определении i в числителе вместо величины $t'_г$ следует подставлять разность $(t'_г - \Delta t_{то})$, где $\Delta t_{то}$ – конечная разность температур в промежуточном теплообменнике, принимаемая равной 5–10°C.

В теплотехнических расчетах, связанных с использованием геотермальных вод, значения массовой теплоемкости и объемной массы принимаются такими же, как и при обычной пресной воде.

Повышение $\eta_{геот}$ и сокращение удельного расхода геотермальной воды могут обеспечить:

- 1) создание специальных низкотемпературных систем геотермального отопления с пониженной температурой обратной воды и повышенным расчетным перепадом температур;
- 2) применение пикового догрева и тепловых насосов;
- 3) использование воды после систем отопления в установках горячего водоснабжения, вентиляции, прямооточного воздушного отопления;
- 4) подключение сезонных потребителей геотермальных вод и т. д. Перечисленные способы могут комбинироваться.

Для объекта с нагрузками отопления, вентиляции и горячего водоснабжения $\eta_{геот}^{об}$ можно определить по формуле

$$\eta_{геот}^{об} = [\alpha i_{от} z_{от} (1 - d_{т}^{от}) + \beta i_{вент} z_{вент} (1 - d_{т}^{вент}) + \gamma i_{г.в} z_{г.в} (1 - d_{г.в}^{г.в})] \zeta_{об}, \quad (17.7)$$

где α , β и γ – доли расчетного дебита геотермальной воды, расходуемые на отопление, вентиляцию и горячее водоснабжение; $\zeta_{об} = f(\bar{\tau}_{скв.об})$ – степень относительного увеличения расчетного дебита скважины для объекта в целом, определяемая по рис. 17.1 в зависимости от средневзвешенной величины коэффициента использования скважины $\bar{\tau}_{скв.об}$:

$$\bar{\tau}_{скв.об} = \alpha \bar{\tau}_{скв.от} + \beta \bar{\tau}_{скв.вент} + \gamma \bar{\tau}_{скв.г.в}; \quad (17.8)$$

$$\alpha = \frac{Q'_{от} \cdot 10^3}{c \Delta t'_{от} G'_{г.в}}; \quad \beta = \frac{Q'_{вент} \cdot 10^3}{c \Delta t'_{вент} G'_{г.в}}; \quad \gamma = \frac{Q'_{г.в} \cdot 10^3}{c \Delta t'_{г.в} G'_{г.в}}. \quad (17.9)$$

$Q'_{от}$, $Q'_{вент}$ и $Q'_{г.в}$ – расчетные нагрузки отопления, вентиляции и горячего водоснабжения, МВт (Гкал/ч);

$G'_{г.в}$ – удельный расход геотермальной воды, приходящейся на единицу расчетной тепловой нагрузки объекта, т/ч,

$$G'_{г.в} = \frac{10^3}{c} Q'_{об} \left(\frac{Q'_{от}}{\Delta t'_{от}} + \frac{Q'_{вент}}{\Delta t'_{вент}} + \frac{Q'_{г.в}}{\Delta t'_{г.в}} \right) \quad (17.10)$$

c – удельная теплоемкость воды, кДж/(кг·°С) [ккал/(кг·°С)]; $\Delta t'_{от}$, $\Delta t'_{вент}$ и $\Delta t'_{г.в}$ – расчетный перепад температур, срабатываемый в системах отопления, вентиляции и горячего водоснабжения, °С;

$$\alpha + \beta + \gamma = 1; \quad (17.11)$$

$$Q'_{об} = Q'_{от} + Q'_{вент} + Q'_{г.в}. \quad (17.12)$$

17.3. Техничко-экономическая оценка вариантов систем, использующих теплоту геотермальных вод

Целесообразность применения геотермальных систем теплоснабжения определяется в результате технико-экономического сопоставления с теплоснабжением на базе традиционных источников теплоты.

Экономия топлива $\Delta b_{год}$, т у. т./год, достигаемая в результате использования геотермальных вод, определяется по формуле

$$\Delta b_{год} = 1,22 G'_{скв} (t_{г.в} - 5) \frac{\eta_{геот}}{\eta_{баз}}, \quad (17.13)$$

где $\eta_{баз}$ – коэффициент полезного действия «базисного» генератора теплоты, который замещается геотермальной установкой; $G'_{скв}$ – максимальный дебит скважины в течение всего периода эксплуатации, подсчитанный с учетом неравномерности отбора, т/сут.

При сопоставлении геотермального варианта с традиционным в качестве базисного следует принимать вариант, обеспечивающий оптимальные условия покрытия данной тепловой нагрузки в данных конкретных условиях. Сравнимые варианты должны быть сопоставимы по расчетной тепловой нагрузке и количеству тепловой энергии, передаваемой обслуживаемым объектам в течение года. Если геотермальным вариантом охватывается только часть расчетной тепловой нагрузки объекта, то расчет приведенных затрат по нему, тыс. руб., для сопоставления с базисным вариантом может производиться с введением «замещающего» варианта по формуле

$$P_{гт} = [w P_{гт}^а + (1 - w) P_{зам}^а] Q'_{об}, \quad (17.14)$$

где $P_{гт}$ – приведенные затраты по геотермальному варианту, тыс. руб.; $P_{гт}^а$ – удельные приведенные затраты, приходящиеся на единицу охваченной геотер-

мальным вариантом расчетной тепловой нагрузки, тыс. руб/МВт [тыс. руб/(Гкал/ч)]; $Q_{об}$ – расчетная нагрузка теплоснабжаемого объекта, МВт (Гкал/ч); $w = Q'_{гт}/Q_{об}$ – доля расчетной нагрузки объекта, покрываемая геотермальной системой; $Q'_{гт}$ – расчетная нагрузка, покрываемая геотермальной системой теплоснабжения, МВт (Гкал/ч); $IP_{зам}^a$ – удельные приведенные затраты «замещающего» варианта, который рассчитывается на разность тепловых нагрузок $Q_{об} - Q'_{гт}$, тыс. руб/МВт [тыс. руб/(Гкал/ч)].

Если в геотермальных системах теплоснабжения геотермальная вода используется для нужд горячего водоснабжения и других хозяйственных целей, эксплуатационные расходы в базисном варианте увеличиваются на сумму дополнительных затрат, которые определяются умножением количества геотермальной воды, м³, замещающей потребление водопроводной или технической воды на соответствующие нужды, на стоимость 1 м³ замещаемой воды.

С учетом принятого расчетного срока функционирования геотермальных скважин 25 лет следует определять эксплуатационные расходы (амортизационные отчисления на реновацию) по тем элементам систем геотермального теплоснабжения, которые за пределами расчетного срока не могут использоваться (тепловые сети, аккумулирующие емкости и т. д.). По таким сооружениям норма амортизационных отчислений на реновацию в случае, если она составляет менее 4%, должна быть увеличена до 4%.

Необходимость расширения или нового строительства сбросных сетей и очистных сооружений (или устройств для разбавления сбрасываемой геотермальной воды) должна учитываться в технико-экономических расчетах при обосновании эффективности применения систем геотермального теплоснабжения.

17.4. Принципиальные схемы систем геотермального теплоснабжения

Основная цель в процессе разработки схем систем геотермального теплоснабжения – обеспечение максимального срабатывания теплового потенциала геотермальной воды и возможно более полного использования годового дебита скважин. Указанное положение может не соблюдаться в тех случаях, когда тепловой потенциал скважин превышает нагрузку существующих и перспективных потребителей.

Выбор принципиальной схемы геотермального теплоснабжения при известных гидрогеологических параметрах скважин производится в такой последовательности:

1) на основании химического состава и минерализации гидротерм определяют, может ли данная геотермальная вода подаваться непосредственно в системы теплоснабжения (одноконтурные системы) или должна служить для этих систем первичным теплоносителем (двухконтурные системы);

2) выявляют конкретных потребителей геотермальной воды в расчетном режиме с классификацией их по предъявляемым ими требованиям к потенциалу теплоносителя;

3) намечают ориентировочную последовательность подачи геотермальной воды различным потребителем с учетом их взаиморасположения и необходимости срабатывания теплового потенциала геотермальной воды;

4) определяют расчетные параметры схемы и возможных сезонных потребителей;

5) производят технико-экономический расчет.

Как правило, для выявления оптимальной схемы для конкретного набора потребителей необходимо рассмотреть несколько вариантов. В зависимости от химического состава и минерализации гидротерм могут применяться:

а) **одноконтурные системы теплоснабжения** с зависимым подключением систем отопления и непосредственным водоразбором в системах горячего водоснабжения;

б) **двухконтурные системы теплоснабжения** с независимым подключением систем отопления и закрытым водоразбором в системах горячего водоснабжения;

в) **комбинированные системы** с зависимым подключением систем отопления и закрытым водоразбором в системах горячего водоснабжения.

Одноконтурные системы геотермального теплоснабжения могут проектироваться по одной из следующих принципиальных схем.

I. В районах с ограниченными ресурсами геотермальных вод рекомендуется первоочередное рассмотрение технической возможности и экономической целесообразности использования простейшей схемы с подачей геотермальной воды на горячее водоснабжение при удовлетворении отопительной нагрузки от других источников теплоты (рис. 17.4).



Рис. 17.4. Схема с непосредственной подачей геотермальной воды только на горячее водоснабжение

Схема не может быть применена при $t_{г.в} < t_{г.в}^{мин}$ (где $t_{г.в}^{мин}$ — минимально допустимая температура воды в системе горячего водоснабжения, °С), при открытом водоразборе (геотермальная вода обладает питьевыми качествами) и при $t_{г.в} < t_{г.в} + (5 \div 10)^\circ\text{C}$ в случае использования промежуточных теплообменников.

II. В районах со значительными ресурсами геотермальных вод при ограниченных нагрузках потребителей, расположенных в непосредственной близости от скважин, а также для ограниченного геотермального теплоснабжения отдельных объектов рекомендуется схема геотермального теплоснабжения с параллельной подачей геотермальной воды на отопление и горячее водоснабжение (рис. 17.5, а). Геотермальная вода из скважины направляется непосредственно в отопительные системы и системы горячего водоснабжения (через бак-аккумулятор).

После отопительных систем вода сбрасывается. Регулирование теплоотдачи в системах отопления осуществляется путем подмешивания обратной воды насосами.

В зависимости от схемы подмешивания (центральное или абонентское) распределительные сети представляют собой соответственно четырех- или трехтрубную прокладку (с учетом циркуляционной линии горячего водоснабжения).

Рассмотренная схема не может быть применена при $t_{г.в} \leq t'_{от}$ и $t_{г.в} < t_{г.в}^{мин}$, где $t'_{от}$ — температура воды при расчетной температуре наружного воздуха для систем отопления, °С.

III. В районах с ограниченными ресурсами геотермальных вод при значительных нагрузках потребителей рекомендуется схема геотермального теплоснабжения с последовательной подачей геотермальной воды на отопление и горячее водоснабжение (рис. 17.5, б). Рассмотренная схема неприменима при $t_{г.в} \leq t'_{от}$ и $t_0 < 45-50^\circ\text{C}$.

IV. В районах, где потребность в теплоте превышает тепловой потенциал ресурсов геотермальной воды, рекомендуются схемы геотермального теплоснабжения:

1) с параллельной подачей воды на отопление и горячее водоснабжение с пиковым догревом геотермальной воды, идущей на нужды отопления (рис. 17.6, а);

2) с последовательной подачей геотермальной воды на отопление и горячее водоснабжение с пиковым догревом отопительной воды (рис. 17.6, б). Рекомендуемая принципиальная схема пикового догрева представлена на рис. 17.7.

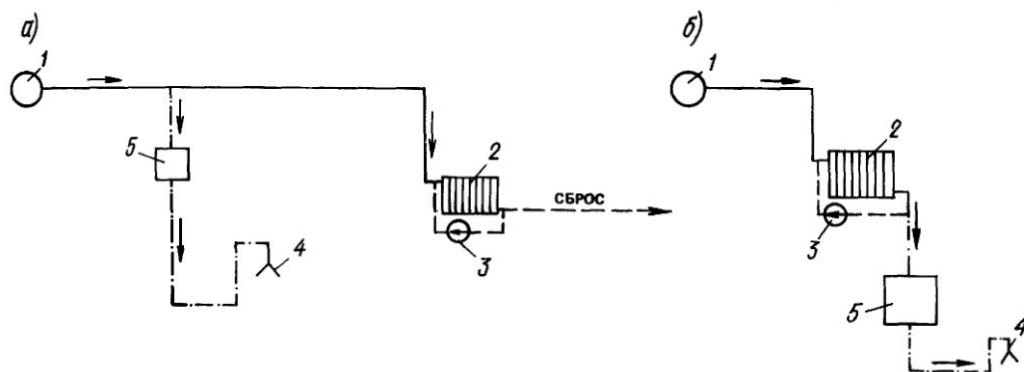


Рис. 17.5. Схема с параллельной (а) и последовательной (б) подачей геотермальной воды на отопление и горячее водоснабжение
1 — скважина, 2 — система отопления, 3 — подмешивающий насос; 4 — система горячего водоснабжения; 5 — бак-аккумулятор

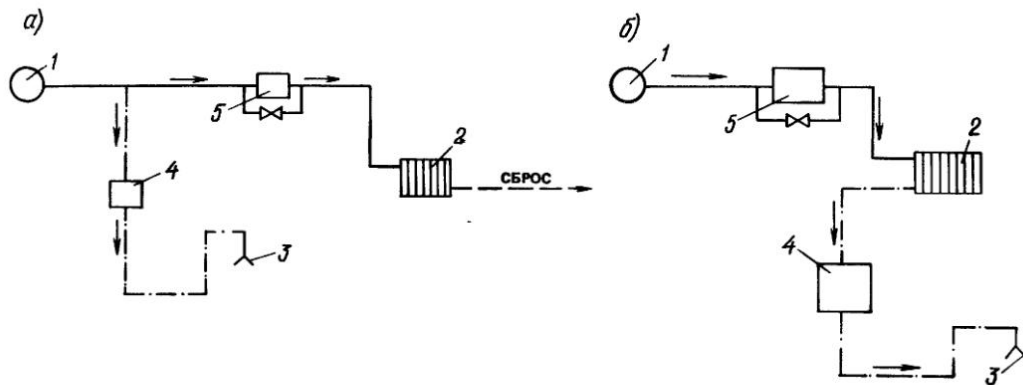


Рис. 17.6. Схема с параллельной (а) и последовательной (б) подачей геотермальной воды на отопление и горячее водоснабжение и пиковым подогревом отопительной воды

1 - скважина, 2 - система отопления; 3 - система горячего водоснабжения, 4 - бак-аккумулятор, 5 - пиковый догрев

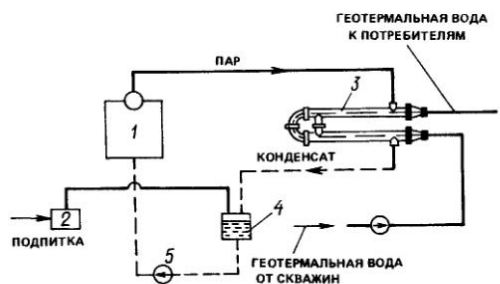


Рис. 17.7. Тепловая схема пиковой котельной

1 - паровой котел, 2 - химводочистка, 3 - пароводяной теплообменник для пикового догрева геотермальной воды; 4 - бак для сбора конденсата; 5 - насос

Регулирование системы теплоснабжения производится постепенным уменьшением доли пикового догрева d_i с последующим переходом на пропуск. Если пиковый догрев незначителен и переход на ранние пропуски нежелателен, качественное регулирование может осуществляться путем центрального или абонентского подмешивания обратной воды. Для данной схемы характерно сокращение удельного расхода геотермальной воды на единицу тепловой нагрузки.

V. При необходимости обеспечения минимального расхода геотермальной воды на единицу расчетной отопительной нагрузки, равного среднечасовому расходу горячего водоснабжения, может быть применена бессливная система геотермального теплоснабжения, при которой $Q_{г.в} = Q_{г.в}$ (рис. 17.8). В указанной схеме при наименьшем удельном расходе воды (по сравнению со всеми другими схемами)

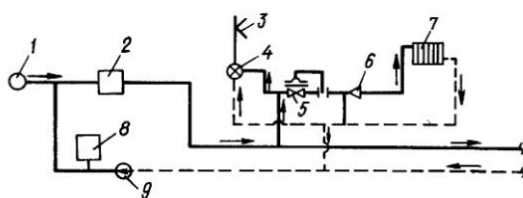


Рис. 17.8. Схема бессливной системы

1 - скважина; 2 - пиковая котельная; 3 - система горячего водоснабжения; 4 - регулятор постоянства температуры; 5 - регулятор постоянства расхода; 6 - элеватор; 7 - система отопления; 8 - бак-аккумулятор; 9 - насос

наблюдаются наибольшая мощность пиковых котельных и наибольший расход топлива.

Регулирование системы теплоснабжения производится путем постепенного сокращения доли пикового догрева, работающего большую часть отопительного сезона, с последующим переходом на пропуск. Эффективность бессливной системы тем выше, чем больше доля горячего водоснабжения в суммарной тепловой нагрузке. Распределительные сети в данной схеме выполняются двухтрубными.

На схеме (см. рис. 17.8) по однострунной магистрали от скважины к пиковой котельной подается геотермальная вода в количестве, равном среднечасовому расходу на горячее водоснабжение $G_{г.в}$, а в подающем трубопроводе двухтрубных распределительных сетей среднечасовой расход $G_{г.в}^r$, т/ч, составит

$$G_{г.в}^r = G_{г.в} + G_{доб}, \quad (17.15)$$

где $G_{доб}$ - добавочный расход, равный расходу в обратном трубопроводе распределительных сетей, т/ч:

$$G_{\text{доб}} = \frac{10^3 - G_{\text{г.в}}(t'_r - 5)}{t'_r - t'_o}. \quad (17.16)$$

В пиковой котельной суммарный расход воды $G_{\text{дв}}^r$ догревается до t'_r и подается в системы отопления через регулятор постоянства расхода и элеватор, а также в системы горячего водоснабжения; при этом температура поддерживается регулятором постоянства температур. На обратной линии распределительных сетей устанавливают бак-аккумулятор и насос.

При реализации бессливной системы возможны три варианта соотношения между температурами геотермальной воды и воды, подаваемой на горячее водоснабжение:

1) $t_{\text{г.в}} < t_{\text{г.в}}$ — вся отопительная нагрузка и часть нагрузки горячего водоснабжения покрываются пиковой котельной. Доля нагрузки горячего водоснабжения $\gamma'_{\text{пик}}$, покрываемая пиковой котельной в расчетном режиме, подсчитывается по формуле

$$\gamma'_{\text{пик}} = \frac{t_{\text{г.в}} - t_{\text{г.в}}}{t_{\text{г.в}} - 5}. \quad (17.17)$$

Расчетная теплопроизводительность пиковой котельной, МВт(Гкал/ч),

$$Q'_{\text{пик}} = Q'_{\text{об}}(\alpha' + \gamma'_{\text{пик}}\gamma'), \quad (17.18)$$

где $Q'_{\text{об}}$ — расчетная тепловая нагрузка объекта, МВт(Гкал/ч).

Пиковая котельная работает круглый год; $d_{\text{г}}^{\text{от}} = 1$. Значение $d_{\text{г}}^{\text{г.в}}$ определяется по уравнению

$$d_{\text{г}}^{\text{г.в}} = \frac{\gamma'_{\text{пик}}\tau_{\text{сез}} + 0,65\gamma'_{\text{пик}}(8500 - \tau_{\text{сез}})}{5500 + 0,35\tau_{\text{сез}}}, \quad (17.19)$$

где $\gamma'_{\text{пик}}$ — доля нагрузки горячего водоснабжения, покрываемая пиковой котельной в летнем режиме

$$\gamma'_{\text{пик}} = \frac{t_{\text{г.в}} - t_{\text{г.в}}}{t_{\text{г.в}} - 15}. \quad (17.20)$$

2) $t_{\text{г.в}} = t_{\text{г.в}}$ — пиковая котельная подбирается на расчетную отопительную нагрузку, т.е. $Q'_{\text{пик}} = Q'_{\text{об}}\alpha'$ и работает в течение всего отопительного сезона; $d_{\text{г}}^{\text{от}} = 1$, $d_{\text{г}}^{\text{г.в}} = 0$.

3) $t_{\text{г.в}} > t_{\text{г.в}}$ — пиковая котельная подбирается на часть отопительной нагрузки

$$Q'_{\text{пик}} = Q'_{\text{об}}\alpha' - G_{\text{г.в}}(t_{\text{г.в}} - t_{\text{г.в}})10^{-3}. \quad (17.21)$$

Доля пикового догревателя отопления $d_{\text{г}}^{\text{от}}$

$$d_{\text{г}}^{\text{от}} = 1 - \frac{G_{\text{г.в}}(t_{\text{г.в}} - t_{\text{г.в}})10^{-3}}{Q'_{\text{об}}\alpha'\varphi_{\text{ср}}}. \quad (17.22)$$

Работа пиковой котельной продолжается до тех пор, пока вносимое геотермальной водой количество теплоты не станет равным необходимой теплопроизводительности отопительной системы, т.е.

$$\varphi_{\tau_o} = \frac{G_{\text{г.в}}(t_{\text{г.в}} - t_{\text{г.в}})10^{-3}}{Q'_{\text{об}}\alpha'}. \quad (17.23)$$

VI. В районах с ограниченными ресурсами геотермальных вод, высокой стоимостью их добычи и транспорта рекомендуется система геотермального теплоснабжения с применением термотрансформаторов (компрессионных тепловых насосов). В летний период эта схема может эксплуатироваться в режиме хладоснабжения.

В тепловых насосах в качестве источников теплоты могут использоваться низкотемпературные геотермальные воды ($t_{\text{г.в}} \geq 15^\circ\text{C}$).

Оптимальную в тепловом балансе системы долю расчетной производительности термотрансформаторов при выработке теплоты следует принимать в пределах 0,1–0,15. Нагрев обратной воды предусматривается до 60°C , отопительный коэффициент при двухступенчатом нагреве принимается $\mu = 4$.

Соотношение расходов нагреваемой в конденсаторах воды $G_{\text{конд}}$ и сбрасываемой через испарители $G_{\text{исп}}$ определяется по формуле

$$m = \frac{G_{\text{конд}}}{G_{\text{исп}}} = \frac{\mu}{\mu - 1} \cdot \frac{t'_o - t'_{\text{сбр}}}{t'_{\text{конд}} - t'_o}, \quad (17.24)$$

где $t'_{\text{конд}}$ и $t'_{\text{сбр}}$ — расчетные температуры воды на выходе из конденсаторов и испарителей (сброс), $^\circ\text{C}$; $t'_{\text{сбр}}$ принимается в пределах $5-10^\circ\text{C}$; t'_o — расчетная температура обратной воды систем отопления, $^\circ\text{C}$; $m = 0,4-0,6$.

Компрессионные тепловые насосы следует размещать на обратной линии геотермальных систем отопления (рис. 17.9). Эффективность работы тепловых насосов возрастает при использовании низкотемпературных отопительных систем, а также за счет последовательно-противоточного включения нескольких агрегатов.

Установленную мощность тепловых насосов $N'_{\text{г.н}}$, кВт, и годовой расход электроэнергии $P^{\text{г.н}}_{\text{год}}$, кВт·ч/год, определяют по формулам:

$$N'_{\text{г.н}} = 1163 \frac{\gamma' Q'_{\text{от}}}{k} \sum_1^k \frac{1}{\mu_i^{\text{ср}}}; \quad (17.25)$$

$$P^{\text{г.н}}_{\text{год}} = 1163 \frac{\gamma_{\text{год}} Q'_{\text{от}} \tau_{\text{сез}} \varphi_{\text{ср}}}{k} \sum_1^k \frac{1}{\mu_i^{\text{ср}}}, \quad (17.26)$$

где γ' — доля расчетной теплопроизводительности теплового насоса; k — число ступеней нагрева; $\mu_i^{ст}$ — действительный отопительный коэффициент в расчетном режиме; $\tau_{сез}$ — продолжительность отопительного сезона, ч; $\varphi_{ср}$ — среднегодовой коэффициент отпуска теплоты

$$\varphi_{ср} = 0,614 - 6 \cdot 10^{-4} \tau_{сез}; \quad (17.27)$$

1163 — коэффициент, вводимый при подстановке $Q'_{от}$, Гкал/ч; при подстановке $Q'_{от}$, кВт, этот коэффициент равен 1.

VII. В регионах с ограниченными ресурсами геотермальных вод может быть использована также система геотермального теплоснабжения с последовательным включением систем водяного и воздушного отопления (рис. 17.10). Геотермальная вода из скважины направляется параллельно в системы горячего водоснабжения (через бак-аккумулятор) и системы отопления. Вода, направляемая на отопление, проходит пиковый догрев и затем поступает в системы водяного отопления и calorifеры второго подогрева систем воздушного отопления. Обратная вода после calorifеров второго подогрева и систем водяного отопления поступает в calorifеры первого подогрева и затем сбрасывается. Наличие пикового догрева в схеме не является обязательным и зависит от величины $t_{т.в.}$

Регулирование теплоотдачи в схеме на рис. 17.10 осуществляется путем уменьшения доли пикового догрева с переходом на пропуск при отключении догрева. Если пиковая котельная не предусматривается или нежелательно переходить на ранние пропуски, регулирование производится путем подмешивания обратной воды. С учетом циркуляционной линии горячего водоснабжения распределительные сети представляют четырехтрубную прокладку.

Для расчета схемы с последовательным включением системы водяного и воздушного отопления рекомендуются следующие параметры: температура сброса $t'_{сбр} = 15-20^\circ\text{C}$; конечная разность температур между обратной водой и нагреваемым воздухом в calorifерах первого подогрева $\Delta t_{кон} \approx 15^\circ\text{C}$; температура приточного воздуха после calorifеров первого подогрева в расчетном режиме $t'_{прит.1} = 15^\circ\text{C}$; расчетная температура приточного воздуха $t'_{прит} = 60-70^\circ\text{C}$; температура после пикового догрева $t'_i \geq t'_{прит} + \Delta t_{кон}$.

VIII. Принципы построения схем двухконтурных систем геотермального теплоснабже-

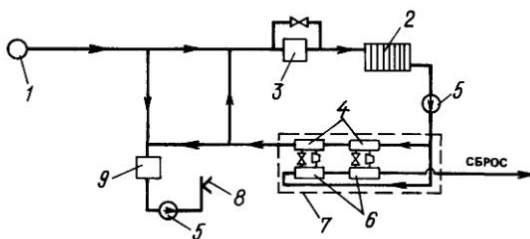


Рис. 17.9. Схема с применением пикового догрева и тепловых насосов

1 — скважина; 2 — система отопления; 3 — пиковая котельная; 4 — конденсаторы; 5 — насос; 6 — испарители; 7 — теплонасосная установка; 8 — система горячего водоснабжения; 9 — бак-аккумулятор

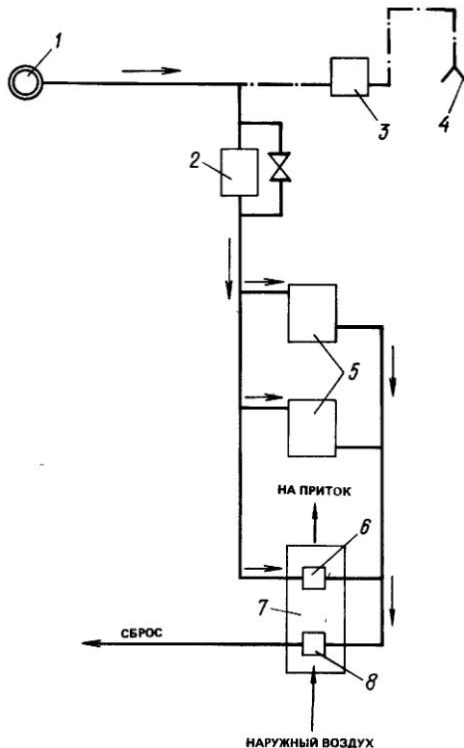


Рис. 17.10. Схема с комбинированным использованием системы водяного и воздушного отопления

1 — скважина; 2 — пиковая котельная; 3 — бак-аккумулятор; 4 — система горячего водоснабжения; 5 — система водяного отопления; 6 — calorifеры второго подогрева; 7 — система воздушного отопления; 8 — calorifеры первого подогрева

ния не отличаются от изложенных выше применительно к одноконтурным. Примеры двухконтурных и комбинированных схем систем показаны на рис. 17.11.

При близком взаиморасположении геотермальных скважин избыточное давление в них

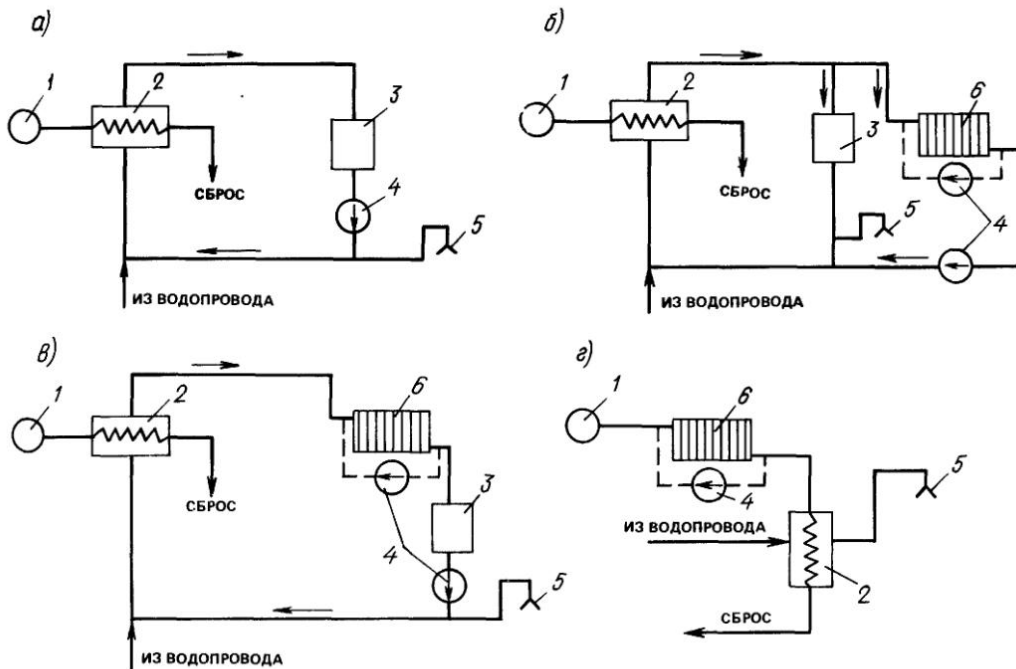


Рис. 17.11. Схемы двухконтурных (а, б) и комбинированной (в, г) систем геотермального теплоснабжения
 1 – скважина; 2 – теплообменник; 3 – бак-аккумулятор, 4 – насос, 5 – система горячего водоснабжения, 6 – система отопления

при соответствующем рельефе местности и отсутствии гидрогеологических противопоказаний может быть использовано для подачи геотермальной воды в сборный бак. Непосредственную гидравлическую связь между скважинами и системой геотермального теплоснабжения осуществлять не рекомендуется. Сборные баки на приведенных выше схемах условно не показаны.

Объединение нескольких скважин сборными сетями и установку одного сборного бака предусматривают с учетом рельефа местности и допустимого противодавления. Примеры расположения скважин и сбора геотермальной воды в общую емкость показаны на рис. 17.12.

В целях предупреждения опорожнения геотермальных систем теплоснабжения или их элементов в связи со свободным сливом отработавшей геотермальной воды при прямоточных схемах рекомендуется предусматривать мероприятия по поддержанию статического давления во всех точках сети, обеспечивающего заполнение наиболее высоко расположенного потребителя. Для этого на обратных трубо-

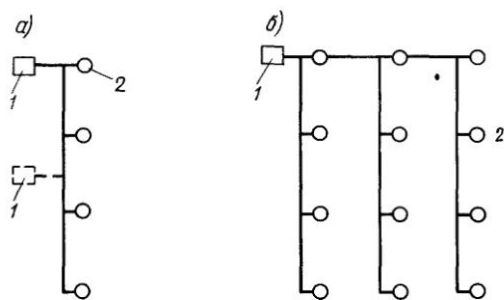


Рис. 17.12. Варианты объединения скважин
 а – схема с двумя вариантами, б – то же, с одним вариантом,
 1 – сборная емкость; 2 – скважина

проводах устанавливают регуляторы давления прямого действия «до себя». В случае отключения отопительных систем, например при регулировании пропусками, следует устанавливать на обратных трубопроводах отопительных систем соленоидные клапаны или другие отключающие устройства.

В целях экономии геотермальной воды начальные и конечные разности температур

греющей и нагреваемой воды в геотермальных теплообменных аппаратах принимаются 5–10°C, если нет явного избытка геотермальной воды.

В пиковых котельных качественное регулирование геотермальной воды осуществляется путем постепенного уменьшения температуры ее нагрева. После отключения пиковой котельной регулирование производится сокращением расхода прямой геотермальной воды, отбираемой из скважин, и соответствующим подмешиванием обратной воды.

В тепловых насосах качественное регулирование производится путем сокращения их теплопроизводительности (отключение отдельных ступеней или установки в целом, регулирование направляющим аппаратом в турбокомпрессорах и др.).

В системах с промежуточными теплообменниками регулирование температуры теплоносителя достигается за счет изменения расхода греющей геотермальной воды. В схемах с пиковым догревом можно предусматривать возможность регулирования пропусками при положительных температурах наружного воздуха после отключения пиковой котельной. Режим пропусков может предусматриваться с центральным или местным регулированием.

17.5. Потребители геотермального тепла

При проектировании систем геотермального отопления необходимо учитывать следующие специфические требования:

- 1) практическую возможность размещения отопительных приборов в отапливаемых помещениях при сравнительно низких температурах теплоносителя;
- 2) создание повышенного расчетного перепада температур теплоносителя в отопительной системе для обеспечения минимального расхода геотермальной воды на единицу тепловой нагрузки;
- 3) минимальное повышение металлоемкости и стоимости системы при понижении температурного напора;
- 4) обеспечение раздельной продувки каждого участка системы отопления;
- 5) создание герметичности и повышенных скоростей теплоносителя (не менее 0,2 м/с), достаточных для выноса воздуха и осадка;
- 6) применение минимального количества арматуры и резьбовых соединений.

В системах геотермального отопления следует преимущественно применять отопительные приборы с бытовой регулировкой теплоотдачи по воздуху, например конвекторы «Универсал». Можно использовать системы панельного и потолочно-напольного отопления. Не рекомендуется применять чугунные секционные радиаторы в системах отопления с непосредственной подачей геотермальной воды (одноконтурные системы теплоснабжения), не обладающей питьевыми свойствами. Перевод существующих радиаторных систем на геотермальное теплоснабжение возможен, как правило, только при применении промежуточных теплообменников.

Для различных отопительных приборов, исходя из условия размещения их в жилых домах открыто у наружных стен, рекомендуются следующие минимальные значения средней температуры теплоносителя, °С:

Конвекторы с кожухом	55
Плитусные конвекторы	55
Плиты перекрытий с замоноличенными трубчатыми нагревательными элементами	35
Наружные стеновые панели с замоноличенными трубчатыми нагревательными элементами	60
Радиаторы чугунные секционные М-140	50

При гидравлическом расчете трубопроводов, по которым транспортируется геотермальная вода, следует принимать эквивалентную шероховатость $K_s = 0,5$ мм. В зависимости от качества геотермальной воды на расчетные потери давления в геотермальной системе отопления вводится коэффициент 1,1–1,5, учитывающий зарастание труб. При отсутствии конкретных данных для обоснованного выбора указанного коэффициента принимается максимальная величина, а на вводе предусматривается установка арматуры для гашения избыточного напора.

Для охлаждения помещений гражданских зданий в теплый период года в районах с сухим жарким климатом может быть использована комбинированная система радиационного отопления–охлаждения. Воздушные системы охлаждения рекомендуется применять в тех случаях, когда по конструктивным или климатическим (повышенная влажность) факторам радиационные системы неприемлемы. Минимальная температура хладоносителя для радиационных систем охлаждения выбирается по графику на рис. 17.13. Допустимая по гигие-

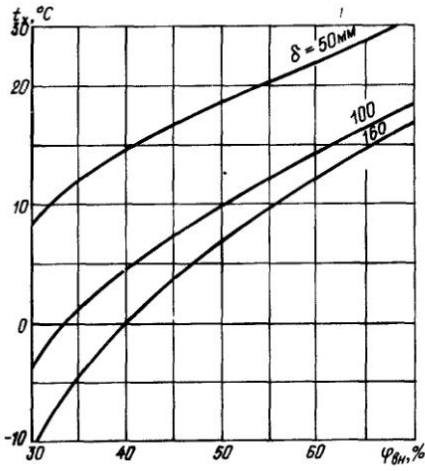


Рис. 17.13. Зависимость температуры хладоносителя от относительной влажности воздуха
 $\phi_{вн}$ – относительная влажность внутреннего воздуха, %, δ – толщина слоя тяжелого бетона, мм, по нейтральной оси которого замоноличены трубы

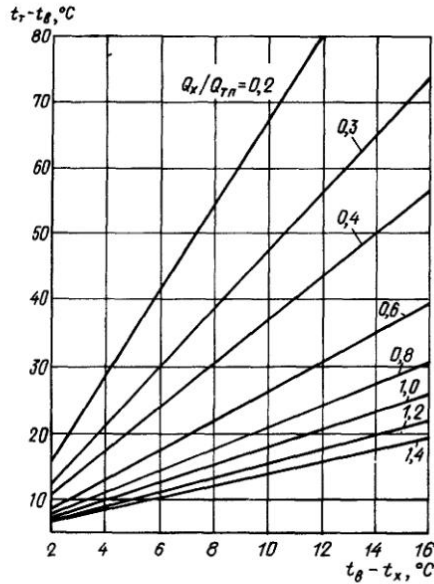


Рис. 17.15. Зависимость температуры теплоносителя от температуры хладоносителя и соотношения холодо- и теплонагрузок для радиационных систем

где $\phi_{обл}$ – коэффициент облученности панели со стороны человека

$$\phi_{обл} = 1 - 0,8 \frac{\Delta h}{l_{cp}}, \quad (17.29)$$

$\Delta h = h_{пом} - 1,7$; $h_{пом}$ – высота помещения от пола до потолка, м; l_{cp} – средний размер охлаждающей панели, равный корню квадратному из ее площади, м.

Среднюю температуру охлаждающей поверхности определяют по рис. 17.14.

Температуру теплоносителя для радиационных систем отопления – охлаждения выбирают в зависимости от температуры хладоносителя и соотношения холодо- и теплонагрузок по рис. 17.15.

Относительное увеличение расчетных потерь давления в радиационных системах при работе их в режиме охлаждения определяется выражением

$$\psi_{л} = \left(\frac{Q_{ох}}{Q_{от}} \cdot \frac{\Delta t_{от}}{\Delta t_{охл}} \right)^2, \quad (17.30)$$

где $\Delta t_{от}$ и $\Delta t_{охл}$ – расчетные перепады температур теплоносителя (хладоносителя) в системе в режимах отопления и охлаждения, °C.

Сезонные потребители (весенние теплицы, парники, обогреваемый грунт, бассейны и др.) включаются по мере сокращения отопитель-

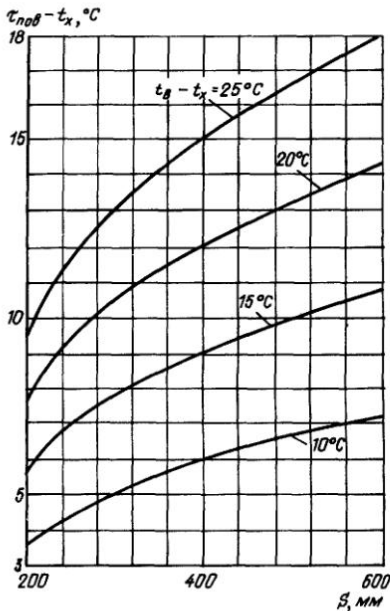


Рис. 17.14. График для определения температур охлаждающих поверхностей

ническим требованиям средняя температура охлаждающей поверхности потолка, °C, определяется по формуле

$$t_{пов}^{доп} \geq 23 - \frac{5}{\phi_{обл}}, \quad (17.28)$$

но-вентиляционной нагрузки в целях выравнивания графика годового потребления теплоты и увеличения степени использования дебита скважин.

Если теплично-парниковое хозяйство является основным потребителем геотермальной воды, процесс включения в работу различных сооружений и соответствующие культурообороты должны предусматриваться с учетом наиболее полного использования дебита и теплового потенциала скважин в течение всего отопительного сезона.

Для отопления теплиц могут применяться воздушные системы с сосредоточенной или равномерной раздачей воздуха, работающие на полной рециркуляции. Геотермальную воду, выходящую из системы отопления с температурой выше 35°C, следует направлять в систему грунтового обогрева теплиц, где дополнительно срабатывает ее тепловой потенциал.

Площадь весенних или зимних теплиц, м², с воздушной системой отопления, которые могут быть присоединены к системе геотермального теплоснабжения, определяют по формуле

$$F_{\text{тепл}} = \frac{0,11 \cdot 10^3 G_{\text{т.в}} (t_{\text{т.в}} - 35)}{t_{\text{в}} - t_{\text{н}}}, \quad (17.31)$$

где $G_{\text{т.в}}$ – располагаемый расход геотермальной воды, т/ч; $t_{\text{т.в}}$ – температура геотермальной воды, используемой в системах отопления теплиц, °C; $t_{\text{в}}$ – температура воздуха внутри теплиц; $t_{\text{н}}$ – температура наружного воздуха, при которой включаются системы обогрева теплиц, °C; для зимних теплиц $t_{\text{н}} = t'_{\text{н}}$, если предусмотрен пиковый догрев геотермальной воды $t_{\text{т.в}} = t'_1$, где t'_1 – температура пикового догрева, °C.

Полезная площадь обогреваемого грунта, охваченная геотермальным теплоснабжением, определяется по формуле

$$F_{\text{гр}} = \frac{G_{\text{т.в}} (t_{\text{т.в}} - t_{\text{т}}^{\text{мин}}) 10^3}{t_{\text{т.в}} + t_{\text{т}}^{\text{мин}} - 2t_{\text{н}}}, \quad (17.32)$$

где $G_{\text{т.в}}$ – располагаемый расход геотермальной воды, т/ч; $t_{\text{т.в}}$ – температура геотермальной воды, °C; $t_{\text{т}}^{\text{мин}}$ – минимально допустимая по агротехническим требованиям температура теплоносителя на выходе из грунтовой системы обогрева, °C; $t_{\text{н}}$ – температура наружного воздуха, при которой происходит включение обогреваемого грунта, °C.

Купально-плавательные бассейны, бани и прачечные могут являться потребителями геотермальной теплоты как в сезонном разрезе, так и в расчетном режиме.

Приложения

Приложение I

НЕКОТОРЫЕ ФИЗИЧЕСКИЕ ВЕЛИЧИНЫ

ТАБЛИЦА I.1

ФИЗИЧЕСКИЕ СВОЙСТВА ВЛАЖНОГО ВОЗДУХА ПРИ ДАВЛЕНИИ 101,33 кПа

Температура $t, ^\circ\text{C}$	Параметры 1 м ³ сухого воздуха			Упругость водяного пара, полностью насыщающего воздух, гПа	Содержание, г, водяного пара, полностью насыщающего воздух		
	масса, кг	объем, м ³			в 1 м ³ влаж- ного воздуха	в 1 кг влаж- ного воздуха	на 1 кг сухой части влаж- ного воздуха
		при $t ^\circ\text{C}$ (исход- ная температу- ра 0°C), $1 + \alpha t$	при 0°C (ис- ходная тем- пература $t ^\circ\text{C}$) $(1 + \alpha t)^{-1}$				
-20	1,396	0,927	1,079	1,23	1,1	0,8	0,77
-19	1,39	0,93	1,075	1,35	1,2	0,85	0,86
-18	1,385	0,934	1,071	1,49	1,3	0,92	0,93
-17	1,379	0,938	1,066	1,61	1,4	1,03	1,04
-16	1,374	0,941	1,062	1,38	1,5	1,1	1,11
-15	1,368	0,945	1,058	1,87	1,6	1,19	1,2
-14	1,363	0,949	1,054	2,06	1,7	1,29	1,3
-13	1,358	0,952	1,05	2,24	1,9	1,39	1,4
-12	1,353	0,956	1,046	2,44	2	1,49	1,5
-11	1,348	0,959	1,042	2,45	2,2	1,64	1,65
-10	1,342	0,963	1,038	2,85	2,3	1,78	1,79
-9	1,337	0,967	1,034	3,02	2,5	1,91	1,93
-8	1,332	0,971	1,03	3,27	2,7	2,06	2,08
-7	1,327	0,974	1,026	3,54	2,9	2,23	2,25
-6	1,322	0,978	1,023	3,83	3,1	2,38	2,4
-5	1,317	0,982	1,019	4,21	3,4	2,58	2,6
-4	1,312	0,985	1,015	4,50	3,6	2,78	2,8
-3	1,308	0,989	1,011	4,86	3,9	3,09	3,1
-2	1,303	0,993	1,007	5,25	4,2	3,28	3,29
-1	1,298	0,996	1,004	5,68	4,5	3,57	3,58
0	1,293	1	1	6,11	4,9	3,78	3,8
1	1,288	1,004	0,996	6,59	5,2	4,07	4,15
2	1,284	1,007	0,993	7,07	5,6	4,4	4,48
3	1,279	1,011	0,989	7,58	6	4,71	4,77
4	1,275	1,015	0,986	8,13	6,4	5,05	5,1
5	1,270	1,018	0,982	8,71	6,8	5,35	5,4
6	1,265	1,022	0,979	9,33	7,3	5,7	5,78
7	1,261	1,026	0,975	9,99	7,7	6,1	6,21
8	1,256	1,029	0,972	10,7	8,3	6,6	6,65
9	1,252	1,033	0,968	11,4	8,8	7	7,13
10	1,248	1,037	0,965	12,3	9,4	7,5	7,63
11	1,243	1,04	0,961	13,1	9,9	8	8,15
12	1,239	1,044	0,958	14	10,6	8,6	8,75
13	1,235	1,048	0,955	15	11,2	9,2	9,35
14	1,23	1,051	0,951	16	12	9,8	9,97
15	1,226	1,055	0,948	17	12,8	10,5	10,6
16	1,222	1,059	0,945	18,2	13,6	11,2	11,4
17	1,217	1,062	0,941	19,4	14,4	11,9	12,1
18	1,213	1,066	0,938	20,6	15,3	12,7	12,9
19	1,209	1,07	0,935	22,2	16,2	13,5	13,8
20	1,205	1,073	0,932	23,3	17,2	14,4	14,7
21	1,201	1,077	0,929	25,0	18,2	15,3	15,6
22	1,197	1,081	0,925	26,4	19,3	16,3	16,8
23	1,193	1,084	0,922	28	20,4	17,3	17,7
24	1,189	1,088	0,919	29,8	21,6	18,4	18,8
25	1,185	1,092	0,916	31,7	22,9	19,5	20
26	1,181	1,095	0,913	33,6	24,2	20,7	21,4
27	1,177	1,099	0,91	35,6	25,6	22	22,6
28	1,173	1,103	0,907	37,8	27	23,4	24

Продолжение табл. 1.1

Температура $t, ^\circ\text{C}$	Параметры 1 м ³ сухого воздуха			Упругость водяного пара, полностью насыщающего воздух, гПа	Содержание, г, водяного пара, полностью насыщающего воздух		
	масса, кг	объем, м ³			в 1 м ³ влаж- ного воздуха	в 1 кг влаж- ного воздуха	на 1 кг сухой части влаж- ного воздуха
		при t °C (исход- ная температу- ра 0°C), $1 + \alpha t$	при 0°C (ис- ходная тем- пература t' °C) $(1 + \alpha t')^{-1}$				
29	1,169	1,106	0,904	4	28,5	24,8	25,6
30	1,165	1,11	0,901	42,4	30,1	26,3	27,2
31	1,161	1,114	0,898	45	31,8	27,8	28,8
32	1,157	1,117	0,895	46,7	33,5	29,5	30,6
33	1,154	1,121	0,892	50,3	35,4	31,2	32,5
34	1,15	1,125	0,889	53	37,3	33,1	34,4
35	1,146	1,128	0,886	56,2	39,3	35	35,6
36	1,142	0,132	0,884	59,4	41,4	37	38,8
37	1,139	1,136	0,881	62,7	43,6	39,2	41,1
38	1,135	1,139	0,878	66,2	45,9	41,4	43,5
39	1,132	1,143	0,875	69,9	48,3	43,8	46
40	1,128	1,147	0,872	73,7	50,8	46,3	48,9
41	1,124	1,15	0,869	77,8	53,4	48,9	51,7
42	1,121	1,154	0,867	81,9	56,1	51,6	54,8
43	1,117	1,158	0,864	86,4	58,9	54,5	58
44	1,114	1,161	0,861	91	61,9	57,5	61,3
45	1,11	1,165	0,858	95,8	65	60,7	65
46	1,107	1,169	0,856	100,8	68,2	64	68,9
47	1,103	1,172	0,853	106,1	71,5	67,5	72,8
48	1,1	1,176	0,85	111,5	75	71,7	77
49	1,096	1,18	0,848	117,3	78	75	81,5
50	1,093	1,183	0,845	123,3	83,3	79	86,3
51	1,089	1,187	0,843	129,5	86,3	83,2	91,3
52	1,086	1,191	0,84	135,9	90,4	87,7	96,6
53	1,083	1,194	0,837	142,9	94,6	92,3	102
54	1,08	1,198	0,835	149,9	99,1	97,2	108
55	1,076	1,202	0,832	157,3	103,6	102,3	114
56	1,073	1,205	0,83	165	108,4	107,6	121
57	1,07	1,209	0,827	173	113,3	113,2	128
58	1,067	1,213	0,825	181,4	118,5	119,1	136
59	1,063	1,216	0,822	190,1	123,8	125,2	144
60	1,06	1,22	0,82	199,1	129,3	131,7	152

ТАБЛИЦА 1.2

ЭНТАЛЬПИЯ i ВОЗДУХА ПРИ ДАВЛЕНИИ 1013,3 гПа

Темпе- ратура, °C	Значения i , кДж/кг, при относительной влажности воздуха ϕ , %										
	100	90	80	70	60	50	40	30	20	10	0
-35	-34,77	-34,82	-34,86	-34,86	-34,90	-34,94	-34,98	-35,02	-35,02	-35,07	-35,11
-30	-29,51	-29,55	-29,63	-29,67	-29,76	-29,8	-29,84	-29,92	-29,97	-30,05	-30,09
-25	-24,11	-24,2	-24,28	-24,41	-24,49	-24,57	-24,70	-24,78	-24,81	-24,99	-25,08
-20	-18,47	-18,64	-18,81	-18,97	-19,10	-19,26	-19,43	-19,56	-19,73	-19,89	-20,08
-15	-12,12	-12,41	-12,70	-12,99	-13,29	-13,58	-13,87	-14,17	-14,46	-14,75	-15,04
-10	-6,10	-6,47	-6,89	-7,27	-7,69	-8,06	-8,44	-8,86	-9,23	-9,65	-10,03
-9	-4,72	-5,14	-5,6	-6,01	-6,43	-6,89	-7,17	-7,73	-8,15	-8,61	-8,98
-8	-3,30	-3,80	-4,26	-4,72	-5,22	-5,68	-6,14	-6,60	-7,10	-7,56	-8,02
-7	-1,88	-2,38	-2,92	-3,42	-3,92	-4,47	-4,97	-5,47	-6,01	-6,52	-7,02

Температура, °C	Значения ι , кДж/кг, при относительной влажности воздуха ϕ , %										
	100	90	80	70	60	50	40	30	20	10	0
-6	0,42	-0,96	-1,54	-2,09	-2,67	-3,21	-3,76	-4,34	-4,89	-5,47	-6,01
-5	1,12	0,50	-0,12	-0,75	-1,33	-1,96	-2,5	-3,17	-3,80	-4,38	-5,01
-4	2,67	2,00	1,33	0,66	0	-0,66	-1,33	-2,0	-2,64	-3,34	-4,01
-3	4,26	3,55	2,8	2,09	1,33	0,62	-0,12	-0,83	-1,54	-2,29	-3,0
-2	5,93	5,14	4,34	3,55	2,75	1,96	1,17	0,38	-0,42	-1,21	-2,0
-1	7,6	6,77	5,89	5,01	4,18	3,3	2,42	1,58	0,71	-0,12	-1,0
0	9,36	8,44	7,4	6,56	5,6	4,68	3,72	2,80	1,88	0,92	0
1	11,12	10,1	9,07	8,06	7,06	6,01	5,01	4,01	3,0	2,0	1,0
2	12,87	11,99	10,70	9,61	8,52	7,44	6,35	5,26	4,18	3,09	2,0
3	14,71	13,54	12,33	11,16	9,79	8,81	7,64	6,48	5,35	4,18	3,0
4	16,55	15,29	14,04	12,79	11,53	10,28	9,02	7,77	6,52	5,25	4,01
5	18,51	17,13	15,80	14,42	13,08	11,74	10,36	9,02	7,69	6,35	5,01
6	20,48	19,01	17,55	16,13	14,67	13,20	11,78	10,32	8,90	7,44	6,01
7	22,53	20,98	19,43	17,84	16,30	14,75	12,95	11,66	10,11	10,45	7,02
8	24,70	23,03	21,31	19,64	17,97	16,30	14,67	12,99	11,32	9,69	8,02
9	26,87	25,08	23,28	21,48	19,68	17,89	16,13	14,33	12,58	10,78	9,02
10	29,17	27,21	25,28	23,36	21,44	19,52	17,63	15,71	13,79	11,91	10,03
11	31,51	29,42	27,37	25,28	23,24	21,19	19,14	17,13	15,08	13,04	11,0
12	33,94	31,72	29,51	27,33	25,12	22,90	20,73	18,55	16,38	14,21	12,03
13	36,49	34,10	31,72	29,34	27,0	24,66	22,32	19,98	17,68	15,34	13,04
14	39,08	36,57	34,02	31,47	28,96	26,45	23,99	21,48	19,01	16,51	14,04
15	41,8	39,08	36,36	33,69	31,01	28,34	25,66	22,99	20,31	17,68	15,04
16	44,61	41,71	38,83	35,98	33,10	30,22	27,37	24,53	21,69	18,85	16,05
17	47,65	44,51	41,42	38,33	35,23	32,18	29,13	26,08	23,07	20,06	17,05
18	50,57	47,23	44,30	40,79	37,49	34,19	30,93	27,67	24,45	21,27	18,05
19	53,92	50,16	46,81	43,47	40,0	36,28	32,81	29,34	25,91	22,48	19,06
20	57,26	53,50	49,74	45,98	42,21	38,41	34,69	31,01	27,33	23,70	20,06
21	60,61	56,43	52,66	48,48	44,72	40,58	36,65	32,72	28,84	24,91	21,06
22	64,37	59,77	55,59	51,41	47,23	43,05	38,66	34,48	30,34	26,20	22,07
23	68,13	65,53	58,93	54,3	49,74	45,14	40,75	36,28	31,85	27,46	23,07
24	71,89	66,88	62,28	57,26	52,25	47,65	43,05	38,12	33,39	28,71	24,07
25	76,07	70,64	64,37	60,19	55,17	50,16	45,14	40,0	34,99	30,01	25,08
26	80,25	74,82	68,97	63,53	58,10	52,66	47,23	41,8	36,61	31,35	26,08
27	84,85	78,58	72,73	66,88	61,02	55,59	49,74	43,89	38,28	32,68	27,08
28	89,4	83,18	76,91	70,64	64,37	58,10	52,25	45,98	40,0	34,02	28,08
29	94,05	87,36	80,67	73,98	67,71	61,02	54,34	48,07	41,71	35,36	29,09
30	99,48	91,96	84,85	77,74	71,06	63,95	57,26	50,16	43,47	36,74	30,09
31	104,5	96,97	89,45	81,92	74,40	66,88	59,77	52,66	45,14	38,16	31,09
32	110,35	101,15	94,05	86,10	78,16	70,22	62,28	54,75	47,23	38,82	31,48
33	116,2	107,42	98,64	90,28	81,92	73,56	65,20	57,26	48,90	41,0	33,10
34	122,05	112,86	103,66	94,46	85,69	79,0	68,13	59,35	50,99	42,63	34,10
35	128,32	118,71	109,09	99,48	89,87	80,67	71,06	61,86	53,08	45,14	35,11
36	135,01	124,56	112,86	104,08	94,05	84,01	74,40	64,79	55,17	45,56	36,11
37	142,12	130,83	119,96	109,09	98,64	87,78	77,33	67,29	57,26	46,33	37,11
38	149,22	137,52	125,8	114,5	103,24	91,96	80,67	69,80	59,35	48,48	38,12
39	157,16	144,6	132,50	117,67	107,84	96,14	84,36	72,73	61,44	50,16	39,12
40	165,5	152,15	138,77	125,8	112,86	100,32	88,19	75,65	63,53	51,83	40,12
41	173,88	159,67	145,46	131,67	118,29	104,91	91,54	78,58	66,04	53,50	41,13
42	182,66	167,61	152,57	137,94	123,72	109,51	95,72	81,9	68,55	55,17	42,21
43	192,28	175,91	159,25	144,62	129,16	114,11	99,48	85,27	71,06	56,84	43,05
44	201,89	184,75	169,03	151,31	135,43	119,54	103,66	88,61	73,56	58,52	44,30
45	212,34	193,95	176,39	158,84	141,70	124,56	108,26	91,96	76,07	60,61	45,14
46	223,21	203,98	185,17	166,36	147,97	129,99	112,44	95,30	78,58	62,28	45,98
47	234,9	214,01	193,95	173,88	154,66	135,85	117,45	99,06	81,5	63,95	47,23
48	246,62	224,88	203,14	182,24	161,76	141,70	122,05	102,82	84,43	63,95	48,07
49	259,57	236,17	213,18	191,02	169,29	146,97	127,07	107,0	87,36	68,13	49,32
50	272,95	247,87	223,63	199,80	176,81	154,24	132,5	111,18	90,28	69,80	50,16
51	287,16	260,41	234,49	209,41	184,75	160,93	137,94	115,36	93,21	71,89	50,99

Продолжение табл. 1.2

Температура, °С	Значения i , кДж/кг, при относительной влажности воздуха ϕ , %										
	100	90	80	70	60	50	40	30	20	10	0
52	301,79	273,37	245,78	219,03	188,93	168,03	143,37	119,54	96,55	73,98	52,25
53	317,68	287,16	257,90	229,48	201,89	175,56	149,64	124,14	99,48	76,07	53,08
54	334,4	301,79	270,44	240,35	211,09	183,08	155,49	129,16	103,24	78,58	54,34
55	351,95	317,26	284,24	252,05	221,12	191,02	162,18	134,17	107,0	80,67	55,17
56	369,93	332,31	297,61	263,75	230,73	199,38	168,45	139,19	110,35	82,76	56,0
57	389,1	348,6	312,66	276,71	241,18	208,16	175,56	144,62	114,11	85,27	57,26
58	409,64	366,16	327,71	289,67	252,05	216,94	182,66	150,06	117,87	87,78	58,10
59	430,95	383,30	343,59	303,46	263,75	225,75	190,19	155,49	122,05	90,28	59,35
60	454,36	401,69	360,31	317,68	276,29	235,33	197,71	161,34	126,23	92,37	60,19
65	593,56	526,68	462,30	402,11	344,85	293,01	242,02	194,78	149,22	106,17	65,20
70	79,42	693,88	599,83	515,81	437,22	365,75	298,87	235,33	176,81	122,05	70,22

ТАБЛИЦА 1.3
ФИЗИЧЕСКИЕ СВОЙСТВА НАСЫЩЕННОГО ПАРА
(ПО ВУКАЛОВИЧУ)

Продолжение табл. 1.3

Давление p , кПа	Температура t , °С	Удельный вес V , м ³ /кг	Плотность ρ , кг/м ³	Энтальпия i , кДж/кг		Удельная теплота испарения r , кДж/кг	Давление p , кПа	Температура t , °С	Удельный вес V , м ³ /кг	Плотность ρ , кг/м ³	Энтальпия i , кДж/кг		Удельная теплота испарения r , кДж/кг
				жидкости	пара						жидкости	пара	
-99	6,7	131,6	0,007599	28,13	2508,8	2480,8	90	118,01	0,9462	1,057	494,49	2699,0	2204,5
-95	32,55	28,72	0,03482	136,14	2556,0	2419,8	100	119,62	0,9018	1,109	501,34	2701,5	2200,3
-90	45,45	14,95	0,06689	189,98	2579,0	2389,2	150	126,79	0,7318	1,367	531,69	2711,5	2179,8
-80	59,67	7,789	0,1284	249,33	1604,5	2355,0	200	132,88	0,6169	1,621	557,6	2719,9	2162,3
-70	68,68	5,324	0,1878	286,99	2620,0	2332,8	250	138,19	0,5338	1,873	580,6	2727,0	2146,4
-60	75,42	4,066	0,2459	315,21	2631,3	2316,1	300	142,92	0,4709	2,124	600,66	2733,3	2132,6
-50	80,86	3,299	0,3031	337,99	2640,0	2301,9	350	147,2	0,4215	2,373	619,05	2738,7	2119,67
-40	85,45	2,782	0,3595	357,26	2648,0	2290,6	400	151,11	0,3817	2,61	635,77	2743,3	2107,55
-30	89,45	2,408	0,4153	374,0	2654,7	2280,6	500	158,08	0,3214	3,111	665,8	2751,6	2085,4
-20	92,99	2,125	0,4706	388,9	2660,15	2270,9	600	164,17	0,2778	3,6	692,6	2754,6	2065,7
-10	96,18	1,903	0,5255	402,3	2665,1	2262,6	700	169,61	0,2448	4,085	716,4	2763,8	2047,36
0	99,09	1,725	0,5797	414,6	2670,1	2255,5	800	174,53	0,2189	4,508	737,77	2768,4	2028,5
10	101,76	1,578	0,6337	425,8	2674,3	2248,4	900	179,04	0,198	5,051	757,8	2772,59	2015,1
20	104,25	1,455	0,6873	436,30	2678,1	2241,7	1000	183,2	0,181	5,54	775,8	2775,10	1998,04
30	106,56	1,35	0,7407	446,08	2681,8	2235,8	1100	187,1	0,166	6,03	793,36	2778,0	1984,6
40	108,74	1,259	0,7943	455,28	2684,81	2229,6	1200	190,71	0,154	6,5	809,24	2780,95	1971,7
50	110,79	1,181	0,8467	463,9	2688,1	2224,1	1300	194,13	0,143	7	824,71	2783,0	1958,3
60	112,73	1,111	0,9001	472,10	2691,08	2218,7	1400	197,36	0,134	7,46	838,92	2785,13	1946,2
70	114,57	1,05	0,9524	479,90	2694,0	2214,1	1500	200,43	0,126	7,94	852,72	2787,22	1934,5
80	116,33	0,9954	1,0046	487,38	2696,5	2209,1	1600	203,35	0,119	8,4	866,0	2788,89	1922,8

ТАБЛИЦА 14

УДЕЛЬНЫЙ ОБЪЕМ V ПЕРЕГРЕТОГО ВОДЯНОГО ПАРА

Давление $p \cdot 10^3$ кПа	Значения V , м ³ /кг, при температуре перегретого водяного пара t , °C									
	120	140	160	180	200	220	240	260	280	300
0	1,83	1,93	2,02	2,12	2,21	2,31	2,4	2,5	2,59	2,69
0,02	1,52	1,6	1,68	1,76	1,84	1,92	2	2,08	2,16	2,24
0,04	1,3	1,37	1,44	1,51	1,58	1,65	1,71	1,78	1,85	1,92
0,06	1,13	1,2	1,26	1,32	1,38	1,44	1,5	1,56	1,62	1,67
0,08	1,01	1,06	1,12	1,17	1,22	1,28	1,33	1,38	1,44	1,5
0,1	0,9	0,95	1	1,05	1,1	1,15	1,2	1,25	1,3	1,34
0,15	—	0,76	0,8	0,84	0,88	0,92	0,96	0,99	1,03	1,07
0,2	—	0,63	0,66	0,7	0,73	0,76	0,79	0,83	0,86	0,89
0,25	—	0,53	0,57	0,6	0,62	0,65	0,68	0,71	0,73	0,77
0,03	—	—	0,49	0,52	0,54	0,57	0,59	0,62	0,64	0,67
0,04	—	—	0,39	0,41	0,43	0,45	0,47	0,49	0,51	0,53
0,05	—	—	0,32	0,34	0,35	0,38	0,39	0,41	0,43	0,44
0,06	—	—	—	0,29	0,3	0,32	0,33	0,35	0,36	0,38
0,07	—	—	—	0,25	0,26	0,28	0,29	0,3	0,32	0,33
0,08	—	—	—	0,22	0,23	0,25	0,26	0,27	0,28	0,29
0,09	—	—	—	0,2	0,21	0,22	0,23	0,24	0,25	0,26
1,0	—	—	—	—	0,19	0,2	0,21	0,22	0,23	0,24
1,1	—	—	—	—	0,17	0,18	0,19	0,2	0,21	0,22
1,2	—	—	—	—	0,16	0,17	0,18	0,18	0,19	0,2
1,3	—	—	—	—	0,15	0,15	0,16	0,17	0,18	0,19
1,4	—	—	—	—	0,14	0,14	0,15	0,16	0,17	0,17
1,5	—	—	—	—	—	0,13	0,14	0,15	0,16	0,16
1,6	—	—	—	—	—	0,12	0,13	0,14	0,15	0,15

ТАБЛИЦА 15

ЭНТАЛЬПИЯ i ПЕРЕГРЕТОГО ВОДЯНОГО ПАРА

Давление p , кПа	Значения i , кДж/кг, при температуре перегретого водяного пара t , °C									
	120	140	160	180	200	220	240	260	280	300
0	2712,8	2752,1	2791,4	2830,6	2869,9	2909,2	2940,99	2988,7	3029,2	3069,37
20	2710,73	2750,44	2790,1	2829,44	2869,11	2908,44	2948,15	2988,28	3028,4	3068,95
40	2708,64	2749,18	2788,89	2828,6	2867,89	2907,6	2947,3	2987,4	3027,57	3068,1
60	2706,55	2747,51	2787,6	2827,35	2867,06	2906,77	2946,48	2986,61	3027,1	3067,7
80	2704,46	2745,84	2786,38	2826,0	2866,22	2905,93	2946,06	2986,19	3026,3	3067,28
100	2702,37	2744,17	2785,55	2825,26	2864,97	2905,1	2945,22	2985,3	3025,9	3066,86
150	—	2740,4	2780,95	2822,33	2862,46	2902,5	2942,7	2983,2	3024,2	3065,19
200	—	2735,8	2778,4	2819,41	2859,95	2900,5	2941,04	2982,0	3022,9	3063,9
250	—	2729,5	2775,5	2817,32	2857,86	2898,8	2939,79	2980,75	3022,14	3025,9
300	—	—	2771,75	2813,97	2854,94	2892,56	2937,28	2978,66	3020,0	3023,81
400	—	—	2762,98	2807,7	2849,5	2891,3	2933,10	2974,9	3017,12	3058,92
500	—	—	2756,2	2801,01	2844,12	2892,76	2971,56	2971,56	3014,19	3056,41
600	—	—	—	2795,58	2840,3	2882,94	2925,58	2968,2	3010,85	3053,49
700	—	—	—	2789,3	2834,87	2878,76	2921,82	2964,87	3007,9	3050,98
800	—	—	—	2781,79	2829,02	2873,75	2918,05	2961,53	3005,0	3048,47
900	—	—	—	2774,68	2823,17	2869,57	2914,29	2957,35	3002,07	3045,54
1000	—	—	—	—	2818,15	2866,22	2912,62	2957,35	3001,24	3044,29
1100	—	—	—	—	2812,30	2861,62	2908,44	2954	2998,31	3041,78
1200	—	—	—	—	2805,61	2856,61	2904,26	2950,24	2994,97	3039,27
1300	—	—	—	—	2799,34	2851,59	2900,08	2946,9	2992,04	3036,35
1400	—	—	—	—	2792,65	2846,16	2895,90	2943,13	2989,11	3033,84
1500	—	—	—	—	—	2840,72	2891,72	2939,79	2985,77	3030,91
1600	—	—	—	—	—	2835,29	2887,12	2936,03	2982,84	3028,41

ТАБЛИЦА 1.6

ФИЗИЧЕСКИЕ СВОЙСТВА ВОДЫ

Температура t , °C	Давление $p \cdot 10^3$, кПа	Плотность ρ , кг/м ³	Энтальпия i , кДж/кг	Удельная тепло- емкость c , кДж/(кг·°C)	Теплопро- водность λ , Вт/(м·°C)	Темпера- туропровод- ность 10^7 а, м ² /с	Динами- ческая вяз- кость 10^6 μ , с/м ²	Кинемати- ческая вяз- кость 10^6 ν , м ² /с
0	0	999,8	0	4,20	0,56	1,334	1788,5	1,79
10	0	999,6	41,84	4,18	0,562	1,362	1303,4	1,3
20	0	998,2	83,72	4,17	0,59	1,417	999,6	1,0
30	0	995,6	125,4	4,17	0,61	1,473	800,6	0,805
40	0	992,2	166,9	4,17	0,626	1,50	652,6	0,659
50	0	988	208,79	4,17	0,64	1,556	548,8	0,556
60	0	983,2	250,54	4,17	0,657	1,584	470,4	0,479
70	0	977,7	292,30	4,18	0,667	1,64	405,72	0,415
80	0	971,8	334,19	4,188	0,675	1,66	355,6	0,366
90	0	965,3	376,11	4,20	0,680	1,695	314,58	0,326
100	0,03	958,3	418,16	4,20	0,682	1,695	282,24	0,295
110	0,046	951	460,30	4,22	0,685	1,695	254,8	0,268
120	0,102	943,1	502,85	4,238	0,686	1,723	230,3	0,244
130	0,175	934,8	545,07	4,26	0,686	1,723	211,68	0,226
140	0,268	926,1	586,87	4,284	0,685	1,723	196	0,212
150	0,385	916,9	630,76	4,313	0,683	1,723	185,22	0,202
160	0,53	907,4	674,2	4,34	0,682	1,723	171,5	0,19
170	0,708	897,3	717,7	4,38	0,679	1,723	162,68	0,181
180	0,923	886,9	761,59	4,41	0,674	1,723	152,88	0,173
190	1,18	876	805,9	4,455	0,681	1,723	145,04	0,166

Приложение II. ТАБЛИЦЫ ДЛЯ ГИДРАВЛИЧЕСКОГО РАСЧЕТА СИСТЕМ ОТОПЛЕНИЯ ТРУБОПРОВОДОВ ВОДЯНОГО ОТОПЛЕНИЯ ПРИ ПЕРЕПАДАХ ТЕМПЕРАТУРЫ ВОДЫ В СИСТЕМЕ 95-70°C, 105-70° и К_ш = 0,2 мм

Таблица П1. Расчет

Потери давления на трение на 1 м, Па	Количество проходящей воды, кг/ч (верхняя строка), и скорость движения воды, м/с (нижняя строка), по трубам стальным водогазопроводным (ГОСТ 3262-75*) условным проходом, мм														
	легким							обыкновенным							
	10	15	20	25	32	40	50	10	15	20	25	32	40	50	
0,5	2,3	5,8	19	51,9	121	161	288	2,0	5,0	17	46,1	117	154	274	
	0,005	0,008	0,014	0,024	0,033	0,033	0,036	0,005	0,007	0,014	0,023	0,033	0,033	0,035	
0,55	2,5	6,4	20,9	57,1	125	162	303	2,2	5,5	18,7	50,7	121	159	288	
	0,005	0,009	0,016	0,026	0,034	0,034	0,037	0,005	0,008	0,015	0,025	0,034	0,034	0,037	
0,6	2,8	7,0	22,8	62,2	127	171	319	2,4	6,0	20,4	55,3	124	168	303	
	0,006	0,009	0,017	0,029	0,035	0,035	0,039	0,006	0,009	0,016	0,027	0,035	0,036	0,039	
0,65	3,0	7,6	24,7	67,4	129	174	333	2,6	6,5	22,1	59,9	127	172	317	
	0,006	0,01	0,019	0,031	0,035	0,036	0,041	0,006	0,009	0,018	0,029	0,036	0,037	0,041	
0,7	3,2	8,1	26,6	72,6	135	175	347	2,8	7,0	23,8	64,5	131	173	329	
	0,007	0,011	0,020	0,034	0,036	0,036	0,043	0,006	0,01	0,019	0,032	0,037	0,037	0,042	
0,75	3,5	8,7	28,6	78,5	139	181	360	3,0	7,5	25,5	69,1	133	176	342	
	0,007	0,012	0,022	0,036	0,037	0,037	0,044	0,007	0,011	0,02	0,034	0,037	0,38	0,044	
0,8	3,7	9,3	30,5	80,6	140	187	374	3,2	8,0	27,2	75,9	135	177	355	
	0,008	0,013	0,023	0,037	0,038	0,038	0,046	0,007	0,012	0,022	0,037	0,038	0,38	0,046	
0,85	3,9	9,9	32,4	82,8	141	194	387	3,4	8,5	28,9	75,9	136	182	368	
	0,008	0,013	0,025	0,038	0,038	0,040	0,048	0,008	0,012	0,023	0,037	0,038	0,39	0,047	
0,9	4,2	10,5	34,3	82,8	142	200	400	3,7	9,0	30,6	77,9	140	188	380	
	0,009	0,014	0,026	0,038	0,038	0,041	0,049	0,008	0,013	0,024	0,038	0,039	0,040	0,049	
0,95	4,4	11,1	36,2	85,8	147	207	412	3,9	9,5	32,3	80,0	143	194	392	
	0,009	0,015	0,027	0,039	0,039	0,042	0,051	0,009	0,014	0,026	0,039	0,040	0,041	0,050	
1,00	4,6	11,6	38,1	87,1	153	213	424	4,1	10,0	34,0	82,0	147	199	403	
	0,010	0,016	0,029	0,040	0,041	0,043	0,052	0,009	0,015	0,027	0,040	0,041	0,043	0,052	
1,10	5,1	12,8	41,9	89,3	155	225	448	4,5	11,0	37,4	84,0	150	211	426	
	0,011	0,017	0,032	0,041	0,042	0,046	0,055	0,010	0,016	0,030	0,041	0,042	0,045	0,055	
1,2	5,5	14,0	45,7	91,5	163	237	469	4,9	12,0	40,8	86,1	154	222	445	
	0,012	0,019	0,035	0,042	0,044	0,048	0,058	0,011	0,017	0,033	0,042	0,043	0,047	0,057	
1,3	6,0	15,1	49,5	93,6	171	246	490	5,3	13,0	44,2	88,1	161	231	466	
	0,013	0,020	0,037	0,043	0,046	0,050	0,061	0,012	0,019	0,035	0,043	0,045	0,049	0,060	
1,4	6,5	16,3	53,3	95,8	177	257	511	5,7	14,0	47,6	90,2	167	241	486	
	0,014	0,022	0,040	0,044	0,047	0,052	0,063	0,013	0,020	0,038	0,044	0,047	0,052	0,062	
1,5	6,9	17,5	57,7	97,9	184	267	531	6,1	15,0	51,0	92,2	174	250	505	
	0,015	0,024	0,044	0,045	0,049	0,055	0,066	0,014	0,022	0,041	0,045	0,049	0,054	0,065	
1,6	7,4	18,6	59,0	100	191	277	551	6,5	16,0	54,4	94,2	180	260	523	
	0,016	0,025	0,045	0,046	0,051	0,057	0,068	0,015	0,023	0,044	0,046	0,050	0,056	0,067	
1,7	7,8	19,8	60,3	102	198	287	570	6,9	17,0	57,2	96,3	186	268	541	
	0,017	0,027	0,046	0,047	0,053	0,059	0,070	0,016	0,025	0,046	0,047	0,052	0,057	0,069	

1,8	8,3	20,9	61,7	103	205	296	588	7,3	18,0	58,4	98,3	193	277	559
1,9	8,8	22,1	63,0	105	211	305	606	7,7	19,0	59,7	100	199	286	576
2,0	9,2	23,3	64,3	107	217	314	623	8,1	20,0	60,9	102	204	294	592
2,2	10,1	25,6	67,0	108	230	332	655	8,9	22,0	62,2	103	216	311	623
2,4	11,1	27,9	68,3	114	240	347	688	9,7	24,0	64,7	105	226	325	654
2,6	12,0	30,3	69,6	118	251	363	718	10,5	26,0	65,9	110	236	340	683
2,8	12,9	32,6	72,2	123	262	378	749	11,4	28,0	67,2	114	246	354	712
3,0	13,8	34,9	73,6	128	272	393	778	12,2	30,0	69,7	118	256	368	739
3,2	14,8	37,2	74,9	133	282	407	805	13,0	31,9	70,9	123	265	381	766
3,4	15,7	39,6	76,2	138	292	421	833	13,8	33,9	72,1	127	274	394	792
3,6	16,6	40,8	78,8	142	301	435	859	14,6	35,9	73,4	131	283	407	817
3,8	17,5	42,3	80,2	146	310	448	885	15,4	37,9	74,6	135	292	419	842
4,0	18,4	43,0	81,5	151	319	460	910	16,2	39,2	75,9	139	300	431	865
4,5	20,8	45,3	82,1	161	341	492	968	18,3	41,2	77,1	149	321	461	920
5,0	23,1	46,7	86,7	171	360	519	1025	20,3	43,3	80,3	158	339	486	974
5,5	25,4	48,2	91,6	179	379	546	1079	22,3	44,6	84,8	166	357	512	1026
6,0	27,7	49,7	95,7	188	398	573	1131	24,3	46,0	88,6	174	374	537	1076
6,5	30,0	51,2	100	197	416	599	1181	26,4	47,4	92,7	182	391	561	1123
7,0	31,8	52,6	104	205	433	624	1230	28,4	48,8	96,6	189	408	584	1169
7,5	32,7	54,1	108	213	449	648	1276	30,4	49,4	100	197	423	607	1214
8,0	33,6	54,9	112	221	465	671	1321	31,1	50,8	104	204	438	628	1256
8,5	34,1	56,3	116	228	481	693	1365	32,0	52,2	108	211	453	649	1298
9,0	35,1	57,8	120	236	496	715	1407	32,4	52,9	111	218	467	670	1338
9,5	36,0	59,3	124	243	511	736	1448	33,3	54,2	114	224	481	689	1378
10,0	36,5	60,0	127	250	525	756	1489	34,2	54,9	118	230	495	709	1416
11,0	37,9	60,4	134	262	552	795	1564	35,1	55,5	124	242	520	745	1487
	0,081	0,082	0,101	0,121	0,147	0,162	0,193	0,080	0,080	0,099	0,119	0,145	0,159	0,191

Количество проходящей воды, кг/ч (верхняя строка), и скорость движения воды, м/с (нижняя строка), по трубам

стальным водогазопроводным (ГОСТ 3262-75*) условным проходом, мм

Потери давления на трение на 1 м, Па	легким										обыкновенным																									
	10	15	20	25	32	40	50	10	15	20	25	32	40	50	10	15	20	25	32	40	50															
12.0	38.8	63.1	140	275	578	833	1638	36.4	56.9	130	254	545	780	1558	0.083	0.106	0.127	0.155	0.170	0.202	0.236	0.282	0.335	0.400	0.480											
13.0	40.2	66.0	147	287	604	869	1710	37.3	59.5	136	265	569	815	1626	0.086	0.111	0.133	0.161	0.177	0.211	0.243	0.290	0.345	0.410	0.490	0.083	0.108	0.130	0.159	0.182	0.225	0.275	0.335	0.400	0.480	
14.0	41.2	68.8	153	299	629	905	1778	38.6	62.1	142	276	592	848	1691	0.088	0.116	0.138	0.168	0.185	0.219	0.258	0.308	0.365	0.435	0.520	0.610	0.087	0.113	0.135	0.165	0.188	0.235	0.290	0.355	0.425	0.510
15.0	42.1	71.5	159	310	652	939	1845	39.5	64.5	147	287	615	880	1754	0.090	0.120	0.144	0.174	0.192	0.228	0.270	0.325	0.390	0.465	0.555	0.650	0.090	0.118	0.141	0.172	0.195	0.245	0.305	0.375	0.450	0.535
16.0	43.0	74.1	164	322	675	972	1909	40.4	66.8	152	297	636	910	1815	0.092	0.124	0.149	0.180	0.198	0.236	0.280	0.340	0.415	0.495	0.595	0.695	0.092	0.122	0.146	0.178	0.200	0.255	0.320	0.395	0.475	0.565
17.0	44.0	76.6	170	332	698	1003	1971	41.3	69.1	157	307	657	940	1875	0.094	0.129	0.154	0.186	0.205	0.243	0.290	0.350	0.430	0.515	0.620	0.725	0.094	0.126	0.150	0.184	0.208	0.265	0.335	0.415	0.505	0.600
18.0	44.9	79.1	175	343	719	1034	2031	42.2	71.3	162	317	678	969	1932	0.096	0.133	0.158	0.192	0.211	0.250	0.300	0.365	0.450	0.540	0.650	0.760	0.096	0.130	0.155	0.189	0.214	0.275	0.350	0.435	0.530	0.630
19.0	46.3	81.5	180	353	740	1064	2090	43.0	73.5	167	326	698	998	1988	0.099	0.140	0.163	0.198	0.217	0.258	0.310	0.380	0.470	0.565	0.680	0.795	0.099	0.134	0.160	0.195	0.220	0.285	0.365	0.455	0.555	0.660
20.0	46.8	83.8	186	363	761	1094	2147	43.9	75.6	172	335	717	1025	2042	0.100	0.144	0.168	0.203	0.223	0.265	0.320	0.395	0.490	0.590	0.710	0.825	0.100	0.138	0.164	0.200	0.225	0.295	0.380	0.475	0.580	0.690
22.0	47.3	88.1	195	381	799	1149	2255	44.5	79.5	181	352	753	1077	2145	0.101	0.148	0.176	0.214	0.234	0.278	0.335	0.410	0.510	0.615	0.740	0.855	0.101	0.145	0.173	0.210	0.235	0.305	0.395	0.495	0.600	0.715
24.0	49.6	92.4	204	399	837	1203	2361	45.5	83.4	189	369	789	1128	2246	0.106	0.155	0.185	0.224	0.245	0.291	0.350	0.430	0.535	0.640	0.770	0.885	0.106	0.152	0.181	0.220	0.245	0.320	0.415	0.520	0.630	0.745
26.0	51.9	96.5	213	417	873	1255	2462	47.6	87.1	198	385	823	1176	2342	0.110	0.162	0.193	0.233	0.256	0.304	0.365	0.450	0.560	0.670	0.800	0.915	0.110	0.158	0.189	0.230	0.255	0.335	0.435	0.545	0.660	0.775
28.0	54.0	100	222	434	908	1305	2560	49.6	90.7	206	401	856	1224	2435	0.115	0.168	0.200	0.243	0.266	0.316	0.380	0.470	0.585	0.700	0.835	0.950	0.115	0.165	0.196	0.239	0.265	0.350	0.455	0.570	0.690	0.805
30.0	56.2	104	230	450	942	1354	2654	51.5	94.2	214	416	888	1269	2525	0.120	0.175	0.208	0.252	0.276	0.328	0.395	0.490	0.610	0.730	0.870	0.985	0.120	0.171	0.204	0.248	0.275	0.365	0.475	0.595	0.720	0.840
32.0	58.1	108	239	466	975	1400	2745	53.4	97.6	221	430	919	1313	2611	0.124	0.181	0.215	0.260	0.286	0.339	0.410	0.510	0.635	0.760	0.900	1.015	0.124	0.177	0.211	0.257	0.285	0.380	0.495	0.620	0.745	0.870
34.0	60.1	112	246	481	1006	1446	2833	55.2	101	228	444	948	1355	2695	0.128	0.187	0.222	0.269	0.295	0.350	0.425	0.530	0.660	0.790	0.935	1.050	0.128	0.183	0.218	0.265	0.295	0.395	0.515	0.640	0.770	0.895
36.0	62.0	115	254	496	1037	1490	2919	56.9	104	236	458	978	1396	2777	0.132	0.192	0.229	0.277	0.304	0.360	0.440	0.550	0.685	0.820	0.970	1.085	0.132	0.189	0.225	0.273	0.305	0.410	0.535	0.660	0.795	0.920
38.0	63.9	119	262	510	1067	1532	3003	58.6	107	243	472	1006	1437	2856	0.136	0.198	0.236	0.285	0.313	0.371	0.455	0.570	0.710	0.850	1.000	1.115	0.136	0.194	0.231	0.281	0.315	0.425	0.555	0.685	0.820	0.950
40.0	65.7	122	269	524	1096	1574	3084	60.3	110	249	484	1033	1476	2934	0.140	0.204	0.242	0.293	0.321	0.381	0.470	0.590	0.740	0.885	1.040	1.155	0.140	0.200	0.237	0.289	0.325	0.440	0.575	0.710	0.850	0.980
45.0	69.8	130	286	557	1164	1672	3274	64.1	117	265	515	1097	1567	3115	0.149	0.216	0.257	0.311	0.341	0.404	0.495	0.620	0.775	0.925	1.085	1.200	0.149	0.212	0.252	0.306	0.345	0.465	0.605	0.745	0.890	1.025

50,0	73,9	137	302	589	1230	1767	3459	67,9	124	280	544	1160	1656	3290
	0,157	0,186	0,229	0,272	0,329	0,360	0,427	0,154	0,181	0,224	0,267	0,324	0,355	0,422
55,0	77,9	144	317	619	1293	1856	3634	71	130	294	572	1219	1740	3457
	0,166	0,196	0,241	0,286	0,346	0,376	0,449	0,162	0,190	0,236	0,280	0,340	0,373	0,443
60,0	81,6	151	333	648	1353	1942	3802	74,9	136	308	599	1276	1821	3617
	0,174	0,205	0,252	0,300	0,362	0,396	0,469	0,170	0,199	0,247	0,294	0,356	0,390	0,463
65,0	85,2	157	347	675	1411	2025	3963	78,2	142	322	624	1330	1899	3770
	0,181	0,214	0,263	0,312	0,377	0,413	0,489	0,177	0,208	0,258	0,306	0,372	0,407	0,483
70,0	88,7	164	361	702	1467	2105	4118	81,4	148	335	649	1383	1973	3917
	0,189	0,223	0,274	0,325	0,392	0,430	0,508	0,185	0,217	0,268	0,318	0,386	0,423	0,502
75,0	92,0	170	374	728	1520	2181	4267	84,5	153	347	673	1433	2045	4060
	0,196	0,231	0,284	0,337	0,406	0,445	0,527	0,192	0,225	0,278	0,330	0,400	0,438	0,520
80,0	95,3	176	387	753	1572	2256	4411	87,5	159	359	696	1482	2115	4197
	0,203	0,239	0,294	0,348	0,420	0,460	0,545	0,198	0,233	0,288	0,341	0,414	0,453	0,538
85,0	98,4	182	400	777	1622	2328	4551	90,3	164	371	719	1529	2182	4330
	0,210	0,247	0,303	0,360	0,434	0,475	0,562	0,205	0,240	0,297	0,352	0,427	0,467	0,555
90	101	188	412	801	1672	2397	4688	93,1	169	382	741	1576	2248	4460
	0,216	0,254	0,312	0,371	0,447	0,489	0,579	0,211	0,248	0,306	0,363	0,440	0,481	0,571
95	104	193	424	824	1719	2465	4820	96,0	174	393	762	1620	2312	4586
	0,222	0,262	0,321	0,381	0,459	0,503	0,595	0,217	0,255	0,315	0,374	0,453	0,495	0,588
100	107	198	435	846	1765	2532	4949	98,0	179	404	783	1664	2374	4708
	0,228	0,269	0,330	0,391	0,472	0,517	0,611	0,223	0,262	0,324	0,384	0,465	0,508	0,603
110	113	208	457	889	1853	2658	5194	103	188	421	822	1747	2492	4942
	0,240	0,282	0,346	0,411	0,495	0,542	0,641	0,235	0,275	0,346	0,403	0,488	0,534	0,633
120	118	218	478	930	1938	2779	5431	108	197	444	860	1827	2606	5168
	0,251	0,296	0,363	0,430	0,518	0,567	0,670	0,246	0,288	0,356	0,421	0,510	0,558	0,662
130	123	227	499	969	2020	2897	5659	113	206	463	896	1904	2716	5384
	0,262	0,308	0,378	0,448	0,540	0,591	0,699	0,256	0,300	0,371	0,439	0,532	0,582	0,690
140	128	236	519	1007	2099	3009	5878	117	213	481	931	1979	2822	5593
	0,273	0,321	0,393	0,466	0,561	0,611	0,726	0,2670	0,312	0,385	0,457	0,553	0,604	0,717
150	132	245	538	1044	2175	3118	6090	122	221	499	965	2051	2924	5795
	0,283	0,332	0,407	0,483	0,581	0,636	0,752	0,277	0,324	0,400	0,473	0,573	0,626	0,742
160	137	254	556	1079	2248	3223	6295	126	229	516	998	2120	3022	5989
	0,293	0,344	0,421	0,499	0,601	0,658	0,777	0,286	0,335	0,413	0,489	0,592	0,647	0,767
170	142	262	574	1113	2320	3325	6492	130	236	532	1030	2187	3118	6178
	0,302	0,355	0,435	0,515	0,620	0,678	0,801	0,295	0,346	0,426	0,505	0,611	0,668	0,792
180	146	269	591	1147	2389	3424	6685	134	244	548	1061	2252	3211	6361
	0,311	0,366	0,448	0,530	0,638	0,699	0,825	0,304	0,356	0,439	0,520	0,629	0,688	0,815
190	150	277	608	1179	2456	3520	6872	138	250	564	1091	2316	3301	6539
	0,320	0,376	0,461	0,545	0,656	0,718	0,848	0,313	0,366	0,452	0,535	0,647	0,707	0,838
200	154	285	624	1211	2521	3614	7055	142	257	579	1120	2377	3389	6713
	0,329	0,386	0,473	0,560	0,674	0,737	0,871	0,322	0,376	0,464	0,549	0,664	0,726	0,860

Количество прохладящей воды, кг/ч (верхняя строка), и скорость движения воды, м/с (нижняя строка), по трубам

Потери давления на трение на 1 м, Па	стальным водогазопроводным (ГОСТ 3262 75*) условным проходом, мм													
	легким					обыкновенным								
	10	15	20	25	32	40	50	10	15	20	25	32	40	50
220	162	299	655	1271	2646	3792	7403	149	270	608	1176	2495	3556	7044
	0,346	0,408	0,497	0,588	0,707	0,774	0,914	0,338	0,395	0,487	0,576	0,697	0,762	0,903
240	169	313	685	1329	2767	3965	7739	156	283	636	1230	2609	3718	7364
	0,362	0,424	0,519	0,615	0,740	0,809	0,955	0,354	0,413	0,510	0,603	0,729	0,796	0,944
260	177	326	714	1385	2883	4131	8061	162	295	663	1281	2718	3874	7671
	0,377	0,442	0,541	0,641	0,770	0,843	0,995	0,369	0,431	0,531	0,628	0,759	0,830	0,983
280	184	339	742	1439	2994	4290	8371	169	306	689	1331	2823	4023	7966
	0,392	0,460	0,562	0,666	0,800	0,875	1,033	0,383	0,448	0,552	0,653	0,789	0,862	1,021
300	190	351	769	1491	3102	4444	8671	175	317	714	1379	2925	4168	8251
	0,406	0,477	0,583	0,690	0,829	0,907	1,070	0,397	0,464	0,572	0,676	0,817	0,892	1,057
320	197	363	795	1541	3206	4593	8960	181	328	738	1426	3023	4307	8526
	0,420	0,491	0,603	0,713	0,857	0,937	1,106	0,411	0,480	0,591	0,699	0,844	0,922	1,092
340	203	375	820	1590	3307	4737	9240	187	339	761	1471	3118	4443	8793
	0,434	0,508	0,622	0,735	0,884	0,967	1,141	0,424	0,495	0,610	0,721	0,871	0,951	1,127
360	209	386	845	1637	3405	4877	9513	192	349	784	1514	3210	4574	9052
	0,447	0,524	0,640	0,757	0,910	0,995	1,174	0,437	0,510	0,628	0,742	0,897	0,979	1,160
380	215	397	869	1683	3500	5013	9936	198	359	806	1557	3300	4702	9304
	0,460	0,539	0,658	0,778	0,935	1,023	1,226	0,449	0,525	0,646	0,763	0,922	1,007	1,192
400	221	408	892	1728	3593	5146	10194	203	369	827	1598	3388	4826	9702
	0,472	0,553	0,676	0,799	0,960	1,050	1,258	0,462	0,539	0,663	0,783	0,946	1,033	1,243
450	235	433	947	1834	3812	5460	10813	216	391	878	1696	3595	5121	10291
	0,501	0,587	0,717	0,848	1,019	1,114	1,335	0,490	0,572	0,704	0,831	1,004	1,097	1,319
500	248	457	999	1935	4023	5761	11397	228	413	927	1790	3793	5403	10848
	0,529	0,620	0,757	0,895	1,075	1,176	1,407	0,518	0,604	0,743	0,878	1,059	1,157	1,390
550	261	480	1049	2032	4223	6145	11954	239	434	974	1880	3982	5765	11377
	0,556	0,651	0,795	0,940	1,128	1,254	1,475	0,544	0,634	0,780	0,921	1,112	1,234	1,458
600	273	502	1097	2124	4414	6419	12485	250	454	1018	1965	4162	6021	11883
	0,581	0,681	0,831	0,982	1,180	1,310	1,541	0,569	0,663	0,816	0,963	1,162	1,289	1,523
650	284	523	1143	2212	4672	6681	12995	261	473	1061	2047	4406	6267	12368
	0,606	0,709	0,866	1,023	1,248	1,363	1,604	0,591	0,691	0,850	1,003	1,231	1,342	1,585
700	295	543	1187	2297	4848	6933	13486	271	491	1101	2126	4573	6504	12835
	0,629	0,737	0,899	1,062	1,296	1,415	1,665	0,616	0,718	0,882	1,042	1,277	1,393	1,645
750	306	563	1230	2380	5018	7176	13959	281	509	1141	2202	4733	6732	13286
	0,652	0,763	0,932	1,1	1,341	1,464	1,723	0,638	0,744	0,914	1,079	1,322	1,441	1,702
800	316	582	1271	2459	5183	7412	14417	290	526	1179	2275	4888	6953	13721
	0,674	0,789	0,963	1,137	1,385	1,512	1,779	0,660	0,769	0,945	1,115	1,365	1,489	1,758
850	326	600	1311	2536	5342	7640	14861	300	543	1216	2346	5039	7167	14144
	0,695	0,814	0,993	1,173	1,428	1,559	1,834	0,680	0,793	0,974	1,15	1,407	1,535	1,812
900	336	618	1349	2633	5497	7861	15291	309	559	1252	2415	5185	7375	14554
	0,716	0,838	1,022	1,227	1,469	1,604	1,887	0,701	0,817	1,003	1,184	1,448	1,579	1,865
950	345	635	1387	2726	5648	8077	15710	317	574	1287	2523	5327	7577	14953
	0,736	0,861	1,051	1,261	1,509	1,648	1,939	0,720	0,839	1,031	1,237	1,488	1,622	1,916

Потери давления на трение на 1 м, Па	Количество проходящей воды, кг/ч (верхняя строка), и скорость движения воды, м/с (нижняя строка), по трубам стальным электросварным прямошовным (ГОСТ 10704-76*) условным диаметром, мм																														
	10	15	20	25	32	40	50	65	80	100	125	150	200	250	300	350	400														
1000	354	652	1424	2797	5794	8286	16119	326	590	1321	2589	5465	7774	15341	1000	354	652	1424	2797	5794	8286	16119	326	590	1321	2589	5465	7774	15341		
1100	0,756	0,884	1,079	1,293	1,548	1,691	1,989	0,740	0,862	1,058	1,269	1,526	1,664	1,966	1100	0,756	0,884	1,079	1,293	1,548	1,691	1,989	0,740	0,862	1,058	1,269	1,526	1,664	1,966	2,274	2,602
1200	0,793	0,928	1,132	1,357	1,624	1,773	2,087	0,904	1,076	1,310	1,531	1,801	1,946	2,282	1200	0,793	0,928	1,132	1,357	1,624	1,773	2,087	0,904	1,076	1,310	1,531	1,801	1,946	2,282	2,631	2,992
1300	0,829	0,970	1,183	1,417	1,696	1,852	2,179	0,945	1,129	1,374	1,601	1,874	2,024	2,372	1300	0,829	0,970	1,183	1,417	1,696	1,852	2,179	0,945	1,129	1,374	1,601	1,874	2,024	2,372	2,731	3,102
1400	0,864	1,01	1,252	1,475	1,766	1,928	2,268	0,985	1,174	1,429	1,651	1,928	2,081	2,437	1400	0,864	1,01	1,252	1,475	1,766	1,928	2,268	0,985	1,174	1,429	1,651	1,928	2,081	2,437	2,800	3,173
1500	0,897	1,049	1,299	1,530	1,832	2,001	2,354	1,023	1,215	1,476	1,701	2,001	2,156	2,524	1500	0,897	1,049	1,299	1,530	1,832	2,001	2,354	1,023	1,215	1,476	1,701	2,001	2,156	2,524	2,890	3,264
1600	0,93	1,087	1,345	1,584	1,896	2,071	2,437	1,059	1,256	1,524	1,751	2,051	2,207	2,584	1600	0,93	1,087	1,345	1,584	1,896	2,071	2,437	1,059	1,256	1,524	1,751	2,051	2,207	2,584	2,952	3,327
1700	0,963	1,123	1,389	1,636	1,959	2,139	2,517	1,096	1,298	1,572	1,801	2,101	2,258	2,646	1700	0,963	1,123	1,389	1,636	1,959	2,139	2,517	1,096	1,298	1,572	1,801	2,101	2,258	2,646	3,016	3,391
1800	0,991	1,158	1,432	1,686	2,019	2,204	2,594	1,129	1,334	1,614	1,843	2,143	2,301	2,699	1800	0,991	1,158	1,432	1,686	2,019	2,204	2,594	1,129	1,334	1,614	1,843	2,143	2,301	2,699	3,069	3,444
1900	1,020	1,192	1,473	1,735	2,077	2,268	2,668	1,162	1,371	1,656	1,885	2,185	2,344	2,742	1900	1,020	1,192	1,473	1,735	2,077	2,268	2,668	1,162	1,371	1,656	1,885	2,185	2,344	2,742	3,112	3,487
2000	1,049	1,246	1,514	1,783	2,134	2,331	2,742	1,206	1,418	1,704	1,933	2,233	2,392	2,790	2000	1,049	1,246	1,514	1,783	2,134	2,331	2,742	1,206	1,418	1,704	1,933	2,233	2,392	2,790	3,160	3,535
2100	1,076	1,278	1,553	1,829	2,190	2,391	2,814	1,246	1,461	1,748	1,977	2,277	2,436	2,834	2100	1,076	1,278	1,553	1,829	2,190	2,391	2,814	1,246	1,461	1,748	1,977	2,277	2,436	2,834	3,203	3,578
2200	1,103	1,309	1,591	1,874	2,244	2,450	2,883	1,286	1,503	1,790	2,019	2,319	2,478	2,876	2200	1,103	1,309	1,591	1,874	2,244	2,450	2,883	1,286	1,503	1,790	2,019	2,319	2,478	2,876	3,245	3,620
2300	1,130	1,340	1,629	1,918	2,297	2,508	2,951	1,326	1,545	1,832	2,061	2,361	2,520	2,918	2300	1,130	1,340	1,629	1,918	2,297	2,508	2,951	1,326	1,545	1,832	2,061	2,361	2,520	2,918	3,284	3,659
2400	1,156	1,370	1,665	1,962	2,348	2,564	3,017	1,366	1,587	1,874	2,103	2,403	2,562	2,960	2400	1,156	1,370	1,665	1,962	2,348	2,564	3,017	1,366	1,587	1,874	2,103	2,403	2,562	2,960	3,323	3,698
	1,181	1,400	1,701	2,004	2,399	2,619	3,082	1,406	1,629	1,916	2,145	2,445	2,604	3,002		1,181	1,400	1,701	2,004	2,399	2,619	3,082	1,406	1,629	1,916	2,145	2,445	2,604	3,002	3,377	3,752

Продолжение табл. II.1

Количество проходящей воды, кг/ч (верхняя строка), и скорость движения воды, м/с (нижняя строка), по трубам стальным электросварным прямошовным (ГОСТ 10704-76*) условным проходом, мм

Потери давления на трение на 1 м, Па	Количество проходящей воды, кг/ч (верхняя строка), и скорость движения воды, м/с (нижняя строка), по трубам стальным электросварным прямошовным (ГОСТ 10704-76*) условным проходом, мм																
	10	15	20	25	32	40	50	65	80	100	125	150	200	250	300	350	400
0,7	1,5	4,4	22,9	73,7	112	1	312	716	1135	1979	3510	5740	13824	25397	40917	60376	84180
0,005	0,008	0,019	0,034	0,036	0,035	0,036	0,042	0,052	0,059	0,068	0,079	0,089	0,112	0,130	0,147	0,161	0,175
0,75	1,6	4,7	24,5	78,8	119	176	325	744	1179	2056	3646	5961	14350	26357	42455	62637	87323
0,005	0,009	0,02	0,036	0,037	0,037	0,043	0,054	0,061	0,071	0,082	0,093	0,116	0,135	0,152	0,167	0,182	0,194
0,8	1,7	5,0	26,2	81	123	177	337	771	1223	2131	3777	6174	14869	27285	43944	64825	90364
0,005	0,009	0,021	0,037	0,038	0,038	0,045	0,056	0,063	0,073	0,085	0,100	0,120	0,140	0,157	0,173	0,188	0,198
0,85	1,8	5,3	27,8	83,2	126	182	349	798	1265	2204	3905	6382	15553	28186	45388	66948	93313
0,006	0,01	0,023	0,038	0,039	0,039	0,046	0,058	0,065	0,076	0,088	0,106	0,126	0,146	0,164	0,181	0,197	0,206
0,9	1,9	5,6	29,4	83,2	129	188	360	824	1305	2274	4029	6584	15833	29061	46791	69009	96178
0,006	0,010	0,024	0,038	0,040	0,040	0,048	0,060	0,068	0,078	0,090	0,108	0,128	0,148	0,168	0,184	0,200	0,210
0,95	2,0	5,9	31,1	85,3	130	194	372	849	1345	2343	4149	6780	16300	29913	48156	71015	98966
0,006	0,011	0,025	0,039	0,041	0,041	0,049	0,062	0,070	0,080	0,093	0,110	0,125	0,145	0,163	0,179	0,190	0,206
1,00	2,2	6,2	32,7	87,5	132	199	383	874	1384	2410	4267	6971	16755	30743	49486	72970	101682
0,007	0,011	0,027	0,040	0,041	0,041	0,048	0,051	0,063	0,072	0,083	0,096	0,109	0,130	0,148	0,166	0,180	0,195
1,10	2,4	6,9	36,0	89,7	135	211	404	919	1455	2534	4485	7326	17604	32296	51979	76640	106788
0,007	0,013	0,029	0,041	0,042	0,042	0,045	0,054	0,067	0,075	0,087	0,101	0,114	0,142	0,166	0,186	0,205	0,222
1,2	2,6	7,5	39,2	91,9	138	222	425	965	1527	2658	4703	7680	18446	33831	54440	80253	111818
0,008	0,014	0,032	0,042	0,043	0,043	0,047	0,057	0,070	0,079	0,091	0,106	0,120	0,149	0,173	0,195	0,214	0,233
1,3	2,8	8,1	42,5	94,1	138	231	442	1009	1596	2777	4912	8020	19255	35305	56799	83720	116624
0,009	0,015	0,035	0,043	0,043	0,043	0,049	0,059	0,073	0,083	0,095	0,110	0,125	0,156	0,181	0,203	0,224	0,243
1,4	3,0	8,7	45,8	96,2	144	241	461	1051	1662	2892	5114	8347	20033	36724	59072	87058	121260
0,009	0,016	0,037	0,044	0,045	0,045	0,052	0,061	0,076	0,086	0,099	0,115	0,130	0,162	0,188	0,212	0,233	0,252
1,5	3,2	9,4	49,0	98,4	150	250	479	1092	1727	3003	5309	8663	20785	38093	61265	90280	125735
0,010	0,017	0,040	0,045	0,047	0,047	0,054	0,064	0,079	0,089	0,103	0,119	0,135	0,168	0,195	0,219	0,241	0,261
1,6	3,4	10,0	52,3	101	155	260	497	1131	1789	3110	5498	8969	21512	39419	63387	93397	130064
0,011	0,018	0,043	0,046	0,048	0,048	0,056	0,066	0,082	0,093	0,107	0,123	0,140	0,174	0,202	0,227	0,250	0,270
1,7	3,7	10,6	55,3	101	161	268	514	1170	1849	3214	5681	9266	22218	40704	65445	96419	134262
0,011	0,028	0,045	0,046	0,046	0,046	0,057	0,068	0,085	0,096	0,110	0,128	0,144	0,180	0,209	0,234	0,258	0,279
1,8	3,9	11,2	56,5	103	166	277	530	1207	1908	3316	5858	9555	22903	41952	67444	99354	138339
0,012	0,021	0,046	0,046	0,047	0,047	0,059	0,071	0,088	0,099	0,114	0,132	0,149	0,185	0,215	0,242	0,265	0,288
1,9	4,1	11,9	57,8	105	171	286	547	1244	1965	3414	6032	9835	23570	43167	69389	102210	142305
0,013	0,022	0,047	0,047	0,048	0,048	0,061	0,073	0,090	0,102	0,117	0,135	0,153	0,191	0,221	0,249	0,273	0,296
2,0	4,3	12,5	59,0	106	176	294	562	1279	2021	3510	6200	10109	24220	44351	71283	104992	146169
0,013	0,025	0,048	0,048	0,049	0,049	0,063	0,075	0,093	0,105	0,120	0,139	0,157	0,196	0,227	0,255	0,281	0,304
2,2	4,7	13,7	61,4	109	186	311	591	1344	2124	3689	6515	10620	25439	46576	74853	110421	153467
0,015	0,025	0,050	0,050	0,050	0,050	0,067	0,079	0,098	0,110	0,127	0,146	0,165	0,206	0,239	0,268	0,295	0,319
2,4	5,2	15,0	62,7	115	196	325	621	1410	2227	3867	6827	11126	26640	48763	78353	115379	160601
0,016	0,028	0,051	0,051	0,051	0,051	0,068	0,083	0,102	0,115	0,133	0,152	0,173	0,215	0,250	0,281	0,308	0,334
2,6	5,6	16,2	65,1	119	204	340	649	1473	2326	4038	7126	11612	27793	50861	81711	120308	167444
0,017	0,030	0,053	0,053	0,053	0,053	0,073	0,086	0,107	0,120	0,139	0,160	0,181	0,225	0,261	0,293	0,321	0,348
2,8	6,0	17,5	66,3	125	212	354	676	1534	2422	4202	7415	12079	28902	52880	84942	125052	174031
0,019	0,032	0,054	0,054	0,057	0,066	0,090	0,111	0,132	0,144	0,166	0,188	0,218	0,264	0,304	0,340	0,374	0,406

3,0	6,5	18,7	67,6	130	221	368	702	1593	2514	4361	7693	12530	29973	54829	88061	129630	180386
	0,020	0,034	0,055	0,059	0,069	0,079	0,093	0,116	0,130	0,150	0,173	0,195	0,242	0,281	0,315	0,346	0,375
3,2	6,9	20,0	68,8	134	229	381	727	1650	2603	4515	7963	12967	31009	56715	91078	134059	186535
	0,021	0,037	0,056	0,062	0,071	0,082	0,097	0,120	0,135	0,155	0,179	0,202	0,251	0,291	0,326	0,358	0,388
3,4	7,3	21,2	71,2	139	237	394	752	1705	2690	4664	8224	13391	32014	58543	94003	138352	192494
	0,023	0,039	0,058	0,064	0,074	0,084	0,100	0,124	0,139	0,160	0,185	0,209	0,259	0,300	0,337	0,370	0,400
3,6	7,8	22,5	72,5	144	244	407	776	1758	2774	4809	8478	13802	32989	60318	96844	142521	198282
	0,024	0,041	0,059	0,066	0,076	0,087	0,103	0,128	0,144	0,165	0,190	0,215	0,267	0,309	0,347	0,381	0,412
3,8	8,2	23,7	73,7	148	252	419	799	1811	2855	4950	8725	14202	33939	62046	99607	146576	203912
	0,025	0,044	0,060	0,068	0,078	0,090	0,106	0,131	0,148	0,170	0,196	0,222	0,274	0,318	0,357	0,392	0,424
4,0	8,6	25,0	74,9	152	259	431	822	1862	2935	5087	8965	14592	34863	63728	102299	150527	209396
	0,027	0,046	0,061	0,070	0,081	0,092	0,109	0,135	0,152	0,175	0,201	0,227	0,282	0,327	0,366	0,402	0,435
4,5	9,7	28,1	74,0	163	277	461	874	1978	3119	5404	9523	15498	37021	67664	108607	159799	222283
	0,030	0,052	0,060	0,075	0,086	0,099	0,116	0,144	0,161	0,185	0,214	0,241	0,299	0,347	0,389	0,427	0,462
5,0	10,8	31,2	78,2	173	294	486	925	2094	3300	5717	10071	16386	39124	71488	114724	168774	234740
	0,033	0,057	0,064	0,079	0,091	0,104	0,123	0,152	0,171	0,196	0,226	0,255	0,316	0,366	0,411	0,451	0,488
5,5	11,8	34,4	82,6	181	308	512	975	2204	3474	6015	10593	17230	41124	75126	120542	177310	246587
	0,037	0,063	0,067	0,083	0,096	0,110	0,130	0,160	0,180	0,206	0,238	0,268	0,332	0,385	0,432	0,474	0,513
6,0	12,9	35,6	86,8	190	323	537	1022	2310	3639	6300	11091	18037	43036	78602	126100	185467	257907
	0,140	0,065	0,071	0,087	0,101	0,115	0,136	0,168	0,188	0,216	0,249	0,281	0,348	0,403	0,452	0,496	0,536
6,5	14,0	36,7	90,3	198	338	561	1067	2411	3798	6573	11569	18811	44869	81936	131432	193290	268764
	0,043	0,067	0,074	0,091	0,105	0,120	0,142	0,175	0,196	0,226	0,260	0,293	0,363	0,420	0,471	0,516	0,559
7,0	5,1	37,8	94,1	207	352	584	1111	2509	3950	6855	12029	19556	46634	85145	136563	200817	279211
	0,047	0,069	0,077	0,095	0,109	0,125	0,148	0,182	0,204	0,235	0,270	0,305	0,377	0,436	0,489	0,537	0,581
7,5	16,2	38,8	97,8	215	365	607	1153	2603	4098	7089	12473	20275	48337	88241	141514	208080	289291
	0,050	0,071	0,080	0,099	0,114	0,130	0,153	0,189	0,212	0,243	0,280	0,316	0,391	0,452	0,507	0,556	0,602
8,0	17,2	39,0	101	223	378	628	1194	2694	4240	7335	12903	20970	49984	91236	146302	215106	299041
	0,053	0,073	0,083	0,102	0,118	0,135	0,159	0,196	0,219	0,252	0,290	0,327	0,404	0,468	0,524	0,575	0,622
8,5	18,3	40,5	105	230	391	649	1233	2782	4379	7573	13320	21645	51581	94138	150944	221915	308491
	0,056	0,074	0,086	0,106	0,122	0,139	0,164	0,202	0,227	0,260	0,299	0,337	0,417	0,482	0,541	0,593	0,642
9,0	19,4	41,6	108	238	403	670	1271	2868	4513	7804	13724	22399	53131	96957	155451	228527	317667
	0,060	0,076	0,088	0,109	0,126	0,143	0,169	0,208	0,234	0,268	0,308	0,347	0,430	0,497	0,557	0,611	0,661
9,5	20,5	42,1	112	245	415	689	1309	2951	4644	8029	14118	22936	54639	99699	159834	234958	326591
	0,063	0,077	0,091	0,112	0,129	0,148	0,174	0,214	0,240	0,276	0,317	0,357	0,442	0,511	0,572	0,628	0,679
10,0	21,5	42,7	115	252	427	709	1345	3033	4771	8248	14501	23557	56108	102369	164104	241222	335284
	0,066	0,078	0,094	0,116	0,133	0,152	0,179	0,220	0,247	0,283	0,326	0,367	0,454	0,525	0,588	0,645	0,697
11,0	23,7	44,3	121	265	449	745	1413	3185	5011	8661	15225	24731	58896	107445	172229	253152	351852
	0,073	0,081	0,099	0,122	0,140	0,159	0,188	0,231	0,259	0,297	0,342	0,385	0,476	0,551	0,617	0,676	0,732
12,0	25,8	45,9	127	278	470	780	1480	3335	5246	9065	15933	25876	61606	112370	180104	264704	367881
	0,080	0,084	0,103	0,127	0,146	0,167	0,197	0,242	0,271	0,311	0,358	0,403	0,498	0,576	0,645	0,707	0,765
13,0	26,5	47,0	132	290	491	815	1545	3480	5472	9453	16612	26974	64205	117095	187656	275782	383253
	0,082	0,086	0,108	0,133	0,153	0,174	0,206	0,253	0,283	0,324	0,373	0,420	0,519	0,600	0,672	0,737	0,797
14,0	27,2	48,1	138	302	511	848	1607	3618	5689	9827	17265	28031	66707	121641	194923	286442	398044
	0,084	0,088	0,113	0,139	0,159	0,182	0,214	0,263	0,294	0,337	0,388	0,437	0,539	0,623	0,698	0,765	0,828
15,0	28,1	49,7	143	314	531	880	1668	3752	5898	10187	17895	29051	69120	126027	201935	296727	412316
	0,087	0,091	0,117	0,144	0,165	0,188	0,222	0,272	0,305	0,350	0,402	0,453	0,559	0,646	0,723	0,793	0,857
16,0	28,8	48,8	148	325	549	910	1725	3882	6101	10536	18505	30038	71455	130269	208716	306674	426118
	0,089	0,090	0,121	0,149	0,171	0,195	0,230	0,282	0,316	0,362	0,416	0,468	0,578	0,668	0,748	0,819	0,886

Потери давления на трение на 1 м. Па
Количество проходящей воды, кг/ч (верхняя строка), и скорость движения воды, м/с (нижняя строка), по трубам стальным электросварным прямошовным (ГОСТ 10704-76*) условным проходом, мм

Диаметр трубы, мм	Количество проходящей воды, кг/ч (верхняя строка), и скорость движения воды, м/с (нижняя строка), по трубам стальным электросварным прямошовным (ГОСТ 10704-76*) условным проходом, мм																
	10	15	20	25	32	40	50	65	80	100	125	150	200	250	300	350	400
17,0	29,4	50,4	153	336	568	940	1781	4008	6298	10874	19096	30994	73717	134381	215289	316315	439496
	0,091	0,093	0,125	0,154	0,177	0,201	0,257	0,309	0,326	0,373	0,429	0,483	0,596	0,689	0,771	0,845	0,914
18,0	30,1	52,0	158	346	585	969	1836	4129	6489	11202	19670	31922	75914	138374	221671	325676	452485
	0,093	0,096	0,129	0,159	0,182	0,208	0,244	0,300	0,336	0,384	0,442	0,497	0,614	0,709	0,794	0,870	0,941
19,0	30,7	53,6	163	356	602	998	1889	4248	6674	11521	20228	32825	78051	142257	227878	334780	465118
	0,095	0,098	0,133	0,164	0,188	0,214	0,251	0,308	0,345	0,395	0,454	0,511	0,631	0,729	0,815	0,895	0,967
20,0	31,0	55,2	168	366	619	1025	1941	4364	6855	11832	20772	33705	80133	146039	233924	343648	477422
	0,096	0,101	0,137	0,168	0,193	0,219	0,258	0,317	0,355	0,406	0,466	0,525	0,648	0,748	0,838	0,918	0,993
22,0	32,3	58,0	176	385	650	1077	2038	4582	7197	12421	21804	35376	84096	153251	245464	360588	500940
	0,100	0,106	0,144	0,177	0,202	0,231	0,271	0,333	0,372	0,426	0,490	0,551	0,680	0,785	0,879	0,964	1,042
24,0	33,3	60,9	185	403	681	1128	2134	4795	7531	12995	22808	36999	87934	160225	256610	376934	523621
	0,103	0,112	0,151	0,185	0,212	0,241	0,284	0,348	0,390	0,446	0,512	0,576	0,711	0,821	0,919	1,007	1,089
26,0	34,3	63,6	193	421	711	1176	2226	5000	7851	13545	23769	38555	91615	166913	267299	39612	545373
	0,106	0,117	0,157	0,193	0,221	0,252	0,296	0,363	0,406	0,465	0,534	0,601	0,741	0,855	0,957	1,049	1,134
28,0	34,9	66,2	201	438	739	1224	2314	5197	8160	14075	24695	40052	95157	173347	277584	407696	566301
	0,108	0,122	0,164	0,201	0,230	0,262	0,308	0,377	0,422	0,483	0,555	0,624	0,769	0,888	0,994	1,089	1,178
30,0	35,9	68,8	208	454	767	1269	2399	5387	8457	14586	25588	41497	98574	179556	287507	422250	595751
	0,111	0,126	0,170	0,209	0,239	0,272	0,319	0,391	0,438	0,501	0,575	0,646	0,797	0,920	1,030	1,128	1,239
32,0	36,9	71,3	216	470	794	1313	2482	5571	8744	15080	26452	42895	101879	185561	297104	436325	615289
	0,114	0,131	0,176	0,216	0,247	0,281	0,330	0,405	0,452	0,518	0,594	0,668	0,824	0,951	1,064	1,166	1,280
34,0	37,8	73,7	223	486	819	1355	2562	5749	9023	15559	27290	44249	105082	191380	306406	457144	634236
	0,117	0,135	0,182	0,223	0,255	0,290	0,341	0,417	0,467	0,534	0,613	0,689	0,849	0,981	1,097	1,222	1,319
36,0	37,9	76,0	230	500	844	1396	2639	5922	9294	16024	28103	45564	108193	197031	315437	470397	652613
	0,117	0,140	0,187	0,230	0,263	0,299	0,351	0,430	0,481	0,550	0,631	0,710	0,875	1,010	1,130	1,257	1,357
38,0	38,3	78,3	236	515	869	1437	2715	6090	9557	16476	28894	46843	111218	202527	324220	483288	670496
	0,118	0,144	0,193	0,236	0,271	0,308	0,361	0,442	0,495	0,566	0,649	0,730	0,899	1,038	1,261	1,291	1,394
40,0	39,4	80,5	243	529	893	1476	2788	6254	9814	16917	29664	48089	114164	207879	332776	495842	687914
	0,122	0,148	0,198	0,243	0,278	0,316	0,371	0,454	0,508	0,581	0,666	0,749	0,923	1,065	1,192	1,325	1,431
45,0	42,1	85,5	258	562	948	1567	2960	6639	10417	17956	31483	51034	121145	220580	358622	525920	729643
	0,130	0,157	0,211	0,258	0,295	0,336	0,394	0,482	0,539	0,616	0,707	0,795	0,979	1,130	1,284	1,405	1,517
50,0	44,4	90,6	273	594	1002	1656	3127	7011	11000	18956	33231	53851	127830	232721	378021	554369	769112
	0,137	0,166	0,223	0,273	0,312	0,355	0,416	0,509	0,569	0,651	0,746	0,839	1,033	1,193	1,354	1,481	1,600
55,0	46,8	95,4	287	625	1053	1740	3286	7365	11553	19907	34893	56549	134186	248096	396471	581426	806651
	0,144	0,175	0,234	0,287	0,328	0,373	0,437	0,535	0,598	0,683	0,784	0,881	1,085	1,271	1,420	1,554	1,678
60,0	49,1	99,9	300	654	1102	1821	3438	7703	12082	20816	36482	59117	140259	259128	414100	607280	842519
	0,151	0,184	0,246	0,300	0,343	0,390	0,458	0,559	0,625	0,714	0,819	0,921	1,134	1,328	1,483	1,623	1,752
65,0	51,3	104	314	682	1149	1899	3583	8028	12590	21687	38005	61580	146083	269709	431009	632077	876921
	0,158	0,192	0,256	0,313	0,358	0,407	0,477	0,583	0,651	0,744	0,853	0,959	1,181	1,382	1,544	1,689	1,824
70,0	53,4	108	326	709	1195	1973	3723	8340	13078,2	22526	39471	63950	154092	279890	447280	655937	910025
	0,165	0,199	0,266	0,326	0,372	0,423	0,496	0,606	0,677	0,773	0,886	0,996	1,246	1,434	1,602	1,753	1,893

75.0	55.4	11.2	338	735	1239	2045	3859	8641	13549	23335	40885	66237	159500	289714	462978	678960	941965
	0,171	0,207	0,276	0,338	0,386	0,438	0,514	0,628	0,701	0,801	0,918	1,032	1,289	1,485	1,658	1,814	1,959
80.0	57.4	11.6	350	760	1281	2115	3989	8933	14005	24118	42252	68448	164731	299215	478162	701227	972857
	0,177	0,214	0,286	0,349	0,399	0,453	0,531	0,649	0,725	0,828	0,949	1,066	1,332	1,533	1,713	1,874	2,023
85.0	59.3	12.0	361	785	1322	2182	4116	9215	14446	24876	43578	70592	169801	308424	492878	722808	1002798
	0,183	0,221	0,295	0,361	0,412	0,467	0,548	0,669	0,748	0,854	0,979	1,100	1,381	1,581	1,765	1,931	2,086
90	61.1	12.4	373	809	1362	2248	4239	9490	14875	25613	44365	72673	174724	317366	507168	743764	1031871
	0,189	0,228	0,304	0,371	0,424	0,481	0,564	0,689	0,770	0,879	1,007	1,132	1,412	1,627	1,816	1,987	2,146
95	62.9	12.7	383	832	1401	2312	4359	9756	15292	26329	46117	74697	179512	326062	521065	764144	1060146
	0,194	0,235	0,313	0,382	0,436	0,495	0,580	0,708	0,791	0,904	1,036	1,164	1,451	1,671	1,866	2,042	2,205
100	64.7	13.1	394	855	4439	2374	4476	10015	15698	27026	47336	76668	184175	334553	534602	783996	1087687
	0,200	0,241	0,321	0,392	0,448	0,508	0,596	0,727	0,813	0,928	1,063	1,194	1,489	1,714	1,915	2,095	2,262
110	67.9	13.7	413	897	1510	2492	4697	10511	16473	28359	49667	81707	193165	350861	560695	822261	1140076
	0,210	0,253	0,338	0,412	0,470	0,534	0,625	0,763	0,852	0,973	1,115	1,273	1,582	1,798	2,008	2,197	2,372
120	71.2	14.4	433	939	1580	2606	4912	10989	17222	29645	51914	85341	201754	366463	585627	858824	1191502
	0,220	0,265	0,353	0,431	0,492	0,558	0,654	0,798	0,891	1,018	1,166	1,329	1,631	1,878	2,097	2,295	2,478
130	74.3	15.0	451	979	1647	2716	5118	11449	17940	30878	54942	88826	20992	381426	609540	893892	1240155
	0,229	0,277	0,368	0,449	0,513	0,582	0,681	0,832	0,928	1,060	1,234	1,384	1,698	1,955	2,183	2,389	2,579
140	77.0	15.6	469	1017	1711	2822	5317	11890	18631	32065	57015	92179	219119	395825	632549	927636	1286969
	0,238	0,288	0,383	0,467	0,533	0,604	0,708	0,863	0,964	1,101	1,280	1,436	1,762	2,029	2,265	2,479	2,677
150	80.2	16.2	486	1054	1773	2924	5508	12317	19298	33209	59017	95414	225567	409718	654751	960195	1332140
	0,247	0,298	0,397	0,484	0,552	0,626	0,733	0,894	0,999	1,140	1,325	1,486	1,823	2,100	2,345	2,566	2,770
160	82.9	16.8	503	1090	1833	3022	5693	12729	19942	34317	60952	98543	232965	423155	676224	991685	1375828
	0,256	0,309	0,411	0,500	0,571	0,647	0,758	0,924	1,032	1,178	1,369	1,535	1,883	2,169	2,422	2,650	2,861
170	85.6	17.3	519	1125	1891	3118	5873	13129	20567	35957	62828	101576	240153	436178	697035	1022205	1418171
	0,264	0,319	0,424	0,516	0,589	0,668	0,782	0,953	1,064	1,234	1,411	1,582	1,941	2,235	2,496	2,731	2,949
180	88.3	17.8	534	1158	1948	3211	6047	13517	21174	36999	64650	104521	247097	448823	717244	1051840	1459286
	0,272	0,328	0,436	0,532	0,606	0,688	0,805	0,982	1,096	1,270	1,452	1,628	1,998	2,300	2,569	2,811	3,035
190	90.8	18.3	550	1191	2002	3301	6216	13894	21764	38013	66421	107385	253968	461122	736898	1080664	
	0,280	0,338	0,449	0,547	0,624	0,707	0,827	1,009	1,126	1,305	1,492	1,673	2,052	2,363	2,639	2,888	
200	93	18.8	564	1223	2056	3389	6381	14261	22339	39001	68147	110174	260463	473101	756041	1108737	
	0,288	0,347	0,461	0,561	0,640	0,726	0,849	1,036	1,156	1,339	1,530	1,716	2,106	2,425	2,708	2,963	
220	98.0	19.8	592	1283	2158	3556	6696	14964	23821	40904	71473	115552	273176	496193	792943	1162853	
	0,302	0,364	0,484	0,589	0,672	0,762	0,891	1,087	1,233	1,404	1,605	1,800	2,208	2,543	2,840	3,107	
240	102	20.7	620	1342	2256	3718	7000	15641	24880	42723	74651	120690	285423	518257	828202		
	0,317	0,381	0,506	0,616	0,703	0,796	0,932	1,136	1,287	1,466	1,676	1,880	2,307	2,656	2,966		
260	107	21.6	646	1399	2351	3874	7292	16291	25896	44468	77699	125618	296973	539419	862019		
	0,330	0,398	0,528	0,642	0,732	0,830	0,971	1,183	1,340	1,526	1,745	1,957	2,401	2,765	3,087		
280	111	22.5	672	1453	2442	4023	7573	17187	26874	46147	80632	130360	308184	559781			
	0,343	0,413	0,548	0,667	0,760	0,862	1,008	1,248	1,391	1,584	1,811	2,031	2,401	2,869			
300	115	23.3	696	1505	2530	4168	7843	17791	27817	47766	83462	134936	319001	579429			
	0,356	0,428	0,568	0,691	0,787	0,892	1,044	1,292	1,439	1,640	1,874	2,102	2,519	2,970			
320	119	24.1	719	1556	2615	4307	8105	18374	28730	49333	86200	139361	329462	598431			
	0,368	0,443	0,587	0,714	0,814	0,922	1,079	1,334	1,487	1,693	1,936	2,171	2,643	3,067			
340	123	24.9	742	1605	2697	4443	8359	18940	29614	50851	88852	143650	339602				
	0,380	0,457	0,606	0,737	0,840	0,951	1,113	1,375	1,532	1,745	1,995	2,238	2,745				
360	126	25.6	764	1653	2777	4574	8606	19489	30472	52325	91428	147815	349448				
	0,392	0,471	0,624	0,759	0,865	0,979	1,145	1,577	1,796	2,053	2,303	2,543	3,067				
380	130	26.3	786	1699	2855	4702	8845	20023	31307	53759	93934	151865	359023				
	0,403	0,484	0,642	0,780	0,889	1,007	1,177	1,454	1,620	1,845	2,109	2,366	2,902				

ТАБЛИЦА П2

РАСЧЕТ ТРУБОПРОВОДОВ ВОДЯНОГО ОТОПЛЕНИЯ ПРИ ПЕРЕПАДАХ ТЕМПЕРАТУР ВОДЫ В СИСТЕМЕ 130-70°C, 150-70°C И $K_{\text{в}} = 0,2 \text{ мм}$

Количество проходящей воды, кг/ч (верхняя строка), и скорость движения воды, м/с (нижняя строка), по трубам

Потери давления на трение на 1 м, Па

стальным водогазопроводным (ГОСТ 3262, 75*) условным проходом, мм

летким

обыкновенным

	стальным водогазопроводным (ГОСТ 3262, 75*) условным проходом, мм															
	10	15	20	25	32	40	50	10	15	20	25	32	40	50		
0,50	3,0 0,007	7,6 0,010	24,9 0,019	62,4 0,029	110 0,030	148 0,031	296 0,037	2,7 0,006	6,5 0,010	22,2 0,018	58,3 0,029	103 0,029	140 0,030	282 0,037		
0,55	3,3 0,007	8,4 0,011	27,4 0,021	64,6 0,030	112 0,030	157 0,032	313 0,039	2,9 0,007	7,2 0,011	24,5 0,020	60,3 0,030	107 0,030	147 0,032	297 0,038		
0,60	3,6 0,008	9,1 0,013	29,9 0,023	66,7 0,031	114 0,031	165 0,034	328 0,041	3,2 0,007	7,8 0,012	26,7 0,022	62,3 0,031	110 0,031	154 0,033	312 0,040		
0,65	3,9 0,008	9,9 0,014	32,4 0,025	68,8 0,032	119 0,032	172 0,036	341 0,043	3,5 0,008	8,5 0,013	28,9 0,023	64,3 0,032	112 0,032	162 0,035	325 0,042		
0,70	4,2 0,009	10,7 0,015	34,9 0,027	68,8 0,032	123 0,033	179 0,037	356 0,044	3,7 0,009	9,1 0,014	31,1 0,025	66,3 0,033	116 0,033	168 0,036	339 0,044		
0,75	4,5 0,010	11,4 0,016	37,4 0,029	71,0 0,033	129 0,035	186 0,038	370 0,046	4,0 0,009	9,8 0,014	33,4 0,027	66,3 0,034	121 0,034	174 0,038	352 0,046		
0,80	4,8 0,010	12,2 0,017	39,9 0,031	73,1 0,034	133 0,036	193 0,040	384 0,048	4,2 0,010	10,5 0,015	35,6 0,029	68,3 0,034	126 0,035	181 0,039	365 0,047		
0,85	5,1 0,011	12,9 0,018	42,4 0,032	73,1 0,034	138 0,037	199 0,041	397 0,050	4,5 0,010	11,1 0,016	37,8 0,031	70,4 0,035	130 0,037	187 0,041	378 0,049		
0,90	5,4 0,012	13,7 0,019	43,9 0,034	75,2 0,035	143 0,039	206 0,043	410 0,051	4,8 0,011	11,8 0,017	40,0 0,032	70,4 0,035	134 0,038	193 0,042	390 0,051		
1,0	6,0 0,013	15,2 0,021	46,5 0,036	79,5 0,037	151 0,041	219 0,045	435 0,054	5,3 0,012	13,1 0,019	43,8 0,035	74,4 0,037	142 0,040	205 0,044	413 0,054		

Количество проходящей воды, кг/ч (верхняя строка), и скорость движения воды, м/с (нижняя строка), по трубам

Потери давления на трение на 1 м, Па

	стальным водогазопроводным (ГОСТ 3262-75*) условным проходом, мм													
	легким					обыкновенным								
	10	15	20	25	32	40	50	10	15	20	25	32	40	50
1,10	6,6	16,8	47,8	81,3	160	232	457	5,8	14,4	45,0	76,4	151	217	435
	0,014	0,023	0,037	0,043	0,048	0,048	0,057	0,013	0,021	0,036	0,038	0,043	0,047	0,056
1,20	7,2	18,3	49,1	82,0	168	242	480	6,4	15,7	46,2	77,1	158	226	456
	0,016	0,025	0,038	0,038	0,045	0,050	0,060	0,015	0,023	0,037	0,038	0,045	0,049	0,059
1,30	8,0	20,0	50,4	83,0	175	253	502	7,0	17,0	47,5	78,4	165	237	477
	0,017	0,027	0,039	0,039	0,047	0,052	0,063	0,016	0,025	0,038	0,039	0,047	0,051	0,062
1,40	8,4	21,3	52,0	86,0	182	264	523	7,4	18,3	49,0	79,3	172	247	497
	0,018	0,029	0,040	0,040	0,049	0,054	0,065	0,017	0,027	0,039	0,039	0,049	0,054	0,064
1,50	9,1	23,0	53,0	89,0	190	274	543	8,0	20,0	50,0	82,4	179	257	516
	0,020	0,031	0,041	0,042	0,051	0,057	0,068	0,018	0,029	0,040	0,041	0,050	0,056	0,067
1,60	10,0	24,4	54,3	93,0	197	284	563	8,5	21,0	51,2	85,5	185	266	535
	0,021	0,033	0,042	0,043	0,053	0,059	0,070	0,019	0,031	0,041	0,042	0,052	0,058	0,069
1,70	10,3	26,0	56,0	96,0	203	294	582	9,0	22,2	52,4	89,0	192	275	553
	0,022	0,035	0,043	0,045	0,055	0,061	0,073	0,021	0,033	0,042	0,044	0,054	0,060	0,072
1,80	11,0	27,4	57,0	99,0	210	303	600	10,0	23,5	54,0	91,4	198	284	571
	0,023	0,038	0,044	0,046	0,057	0,063	0,075	0,022	0,035	0,043	0,045	0,056	0,062	0,074
1,90	11,5	29,0	57,0	102	216	312	618	10,1	24,8	54,0	94,2	203	292	588
	0,025	0,040	0,044	0,048	0,058	0,065	0,077	0,023	0,037	0,043	0,047	0,058	0,063	0,076
2,00	12,1	30,5	58,2	105	223	321	636	11,0	26,1	55,0	97,0	210	301	604
	0,026	0,042	0,045	0,049	0,060	0,066	0,079	0,024	0,039	0,044	0,048	0,059	0,065	0,078
2,20	13,3	32,3	61,0	111	234	338	668	12,0	29,0	57,3	102	220	317	635
	0,029	0,044	0,047	0,052	0,063	0,070	0,083	0,027	0,042	0,046	0,051	0,062	0,069	0,082
2,40	14,5	33,0	59,3	116	246	355	701	12,7	30,3	59,0	107	231	332	666
	0,031	0,045	0,045	0,054	0,066	0,073	0,088	0,029	0,045	0,047	0,053	0,065	0,072	0,086
2,60	16,0	34,5	62,0	121	257	370	732	14,0	32,0	59,3	112	242	347	696
	0,034	0,047	0,047	0,057	0,069	0,077	0,091	0,032	0,047	0,047	0,056	0,068	0,075	0,090
2,80	17,0	35,2	64,2	126	268	386	762	15,0	32,3	59,5	117	252	362	725
	0,036	0,048	0,049	0,059	0,072	0,080	0,095	0,034	0,048	0,048	0,058	0,071	0,078	0,094
3,00	18,1	35,9	67,0	131	278	400	791	16,0	33,0	62,0	121	262	376	753
	0,039	0,049	0,051	0,062	0,075	0,083	0,099	0,037	0,049	0,050	0,060	0,074	0,081	0,098
3,20	19,3	37,0	69,2	136	288	415	820	17,0	33,6	64,1	126	271	389	779
	0,042	0,050	0,053	0,064	0,078	0,086	0,102	0,039	0,050	0,052	0,062	0,077	0,084	0,101
3,40	20,5	37,4	71,6	141	298	429	847	18,1	34,3	66,3	130	280	402	805
	0,044	0,051	0,055	0,066	0,080	0,089	0,106	0,041	0,051	0,054	0,065	0,079	0,087	0,104
3,60	21,7	38,1	74,0	145	307	443	873	19,1	36,0	68,5	134	289	415	831
	0,047	0,052	0,057	0,068	0,083	0,091	0,109	0,044	0,053	0,055	0,067	0,082	0,090	0,108
3,80	22,9	39,0	76,2	150	316	456	899	20,2	36,0	71,0	138	298	427	855
	0,049	0,053	0,058	0,070	0,086	0,094	0,112	0,046	0,053	0,057	0,069	0,084	0,093	0,111
4,0	24,0	40,0	78,5	154	325	469	924	21,2	36,4	73,0	142	306	439	879
	0,052	0,054	0,060	0,072	0,088	0,097	0,115	0,049	0,054	0,059	0,071	0,087	0,095	0,114

4,50	25,0	41,1	84,0	165	346	498	982	23,2	38,4	78,0	152	326	467	934
5,0	26,3	43,2	89,0	174	366	528	1040	24,5	40,0	82,4	161	345	494	989
5,50	27,2	45,0	93,3	183	386	556	1094	25,4	41,1	86,5	169	363	521	1041
6,00	28,2	45,2	98,0	192	404	582	1147	26,2	42,4	91,0	177	381	546	1090
6,50	29,0	46,1	102	201	422	608	1197	27,1	42,0	95,0	185	398	570	1138
7,00	30,0	48,0	107	209	440	633	1245	27,5	43,3	99,0	193	414	593	1184
7,50	30,5	50,0	111	217	456	657	1291	28,4	45,0	103	200	430	615	1228
8,00	31,0	52,0	115	225	472	680	1336	29,0	47,0	106	208	445	637	1271
8,50	31,4	53,5	119	232	488	702	1380	30,0	48,2	110	215	460	658	1313
9,00	32,3	55,2	122	240	503	724	1423	30,1	50,0	113	221	474	678	1353
9,50	33,0	57,0	126	247	518	745	1464	31,0	51,3	116	228	488	698	1392
10,00	34,0	58,5	130	254	532	766	1504	31,5	53,0	120	234	502	718	1430
11,00	35,1	61,5	136	266	559	804	1580	32,3	55,5	126	246	527	754	1502
12,00	36,0	64,5	143	279	586	842	1654	34,0	58,2	132	258	552	790	1573
13,00	36,2	67,4	149	292	611	879	1725	33,1	61,0	138	269	576	824	1640
14,00	37,7	70,2	155	303	636	914	1794	35,0	63,4	144	280	599	857	1706
15,00	39,2	72,9	161	315	660	948	1860	36,0	66,0	149	291	622	889	1769
16,00	41,0	75,5	167	326	683	981	1924	37,3	68,2	155	301	643	919	1830
17,00	42,0	78,1	172	336	705	1013	1986	38,5	70,5	160	311	664	949	1890
18,00	43,3	82,5	178	347	726	1044	2046	40,0	73,0	165	321	685	978	1946
19,00	45,0	83,0	183	357	747	1074	2105	41,0	75,0	170	331	704	1007	2002
20,00	46,0	85,3	188	367	768	1103	2162	42,1	77,0	174	339	724	1034	2056
22,00	48,2	90,0	198	385	806	1158	2270	44,3	81,0	183	356	760	1086	2159
24,0	51,0	94,0	207	404	844	1212	2375	46,4	85,0	192	373	796	1137	2259
26,00	53,0	98,1	216	421	881	1264	2476	48,5	88,5	200	389	830	1185	2356
	0,054	0,056	0,064	0,077	0,093	0,103	0,123	0,053	0,057	0,063	0,075	0,092	0,101	0,121
	0,057	0,059	0,068	0,081	0,099	0,109	0,130	0,136	0,139	0,148	0,156	0,163	0,171	0,188
	0,059	0,061	0,072	0,086	0,104	0,115	0,137	0,143	0,150	0,158	0,166	0,174	0,182	0,199
	0,061	0,062	0,075	0,090	0,109	0,120	0,143	0,150	0,158	0,166	0,174	0,182	0,190	0,207
	0,062	0,063	0,078	0,094	0,114	0,126	0,149	0,156	0,164	0,172	0,180	0,188	0,196	0,213
	0,064	0,066	0,082	0,098	0,119	0,131	0,155	0,163	0,171	0,179	0,187	0,195	0,203	0,220
	0,066	0,068	0,085	0,102	0,123	0,136	0,161	0,169	0,177	0,185	0,193	0,201	0,209	0,226
	0,067	0,071	0,088	0,105	0,128	0,140	0,167	0,175	0,183	0,191	0,199	0,207	0,215	0,232
	0,068	0,073	0,091	0,109	0,132	0,145	0,172	0,180	0,188	0,196	0,204	0,212	0,220	0,237
	0,070	0,076	0,094	0,112	0,136	0,149	0,178	0,186	0,194	0,202	0,210	0,218	0,226	0,243
	0,071	0,078	0,097	0,115	0,140	0,154	0,183	0,191	0,200	0,208	0,216	0,224	0,232	0,249
	0,073	0,080	0,099	0,119	0,144	0,158	0,188	0,196	0,205	0,213	0,221	0,229	0,237	0,254
	0,076	0,084	0,104	0,125	0,151	0,166	0,197	0,205	0,214	0,222	0,230	0,238	0,246	0,263
	0,077	0,088	0,109	0,131	0,158	0,174	0,207	0,215	0,224	0,232	0,240	0,248	0,256	0,273
	0,078	0,092	0,114	0,136	0,165	0,181	0,215	0,223	0,232	0,240	0,248	0,256	0,264	0,281
	0,081	0,096	0,119	0,142	0,172	0,189	0,224	0,232	0,241	0,249	0,257	0,265	0,273	0,290
	0,084	0,100	0,124	0,147	0,178	0,196	0,232	0,240	0,249	0,257	0,265	0,273	0,281	0,298
	0,087	0,104	0,128	0,152	0,185	0,202	0,240	0,248	0,257	0,265	0,273	0,281	0,289	0,306
	0,090	0,107	0,132	0,157	0,191	0,209	0,248	0,256	0,265	0,273	0,281	0,289	0,297	0,314
	0,093	0,110	0,136	0,162	0,196	0,215	0,254	0,262	0,271	0,279	0,287	0,295	0,303	0,320
	0,096	0,114	0,140	0,167	0,202	0,222	0,263	0,271	0,280	0,288	0,296	0,304	0,312	0,329
	0,104	0,123	0,151	0,180	0,218	0,239	0,283	0,291	0,300	0,308	0,316	0,324	0,332	0,349
	0,109	0,129	0,159	0,189	0,228	0,250	0,297	0,305	0,314	0,322	0,330	0,338	0,346	0,363
	0,114	0,134	0,166	0,197	0,238	0,261	0,309	0,317	0,326	0,334	0,342	0,350	0,358	0,375

Потери давления на трение на 1 м, Па
 Количество проходящей воды, кг/ч (верхняя строка), и скорость движения воды, м/с (нижняя строка), по трубам стальным водогазопроводным (ГОСТ 3262-75*) условным диаметром, мм

	легким										обыкновенным																																
	10	15	20	25	32	40	50	10	15	20	25	32	40	50	10	15	20	25	32	40	50																						
28,00	55,0	102	225	438	915	1314	2573	50,5	92,1	208	405	863	1232	2448	55,0	102	225	438	915	1314	2573	50,5	92,1	208	405	863	1232	2448															
	0,119	0,140	0,175	0,205	0,247	0,271	0,321	0,116	0,136	0,169	0,201	0,244	0,267	0,317	0,119	0,140	0,175	0,205	0,247	0,271	0,321	0,201	0,244	0,267	0,317	0,119	0,140	0,175	0,205	0,247	0,271	0,321	0,201	0,244	0,267	0,317							
30,00	57,1	106	233	454	949	1362	2667	52,4	96,0	216	430	895	1277	2537	57,1	106	233	454	949	1362	2667	52,4	96,0	216	430	895	1277	2537	57,1	106	233	454	949	1362	2667	52,4	96,0	216	430	895	1277	2537	
	0,123	0,145	0,179	0,212	0,257	0,281	0,333	0,120	0,141	0,175	0,208	0,253	0,277	0,329	0,123	0,145	0,179	0,212	0,257	0,281	0,333	0,208	0,253	0,277	0,329	0,123	0,145	0,179	0,212	0,257	0,281	0,333	0,208	0,253	0,277	0,329	0,123	0,145	0,179	0,212	0,257	0,281	0,333
32,00	59,1	110	241	470	982	1409	2758	54,3	99,0	224	434	925	1321	2624	59,1	110	241	470	982	1409	2758	54,3	99,0	224	434	925	1321	2624	59,1	110	241	470	982	1409	2758	54,3	99,0	224	434	925	1321	2624	
	0,127	0,150	0,185	0,220	0,265	0,291	0,344	0,124	0,146	0,181	0,215	0,261	0,286	0,340	0,127	0,150	0,185	0,220	0,265	0,291	0,344	0,215	0,261	0,286	0,340	0,127	0,150	0,185	0,220	0,265	0,291	0,344	0,215	0,261	0,286	0,340	0,127	0,150	0,185	0,220	0,265	0,291	0,344
34,00	61,1	113	249	485	1013	1454	2846	56,1	102	231	449	955	1363	2707	61,1	113	249	485	1013	1454	2846	56,1	102	231	449	955	1363	2707	61,1	113	249	485	1013	1454	2846	56,1	102	231	449	955	1363	2707	
	0,132	0,155	0,191	0,227	0,274	0,300	0,355	0,129	0,151	0,187	0,222	0,270	0,295	0,351	0,132	0,155	0,191	0,227	0,274	0,300	0,355	0,222	0,270	0,295	0,351	0,132	0,155	0,191	0,227	0,274	0,300	0,355	0,222	0,270	0,295	0,351	0,132	0,155	0,191	0,227	0,274	0,300	0,355
36,00	63,0	117	260	500	1044	1498	2931	58,0	105	238	462	984	1405	2789	63,0	117	260	500	1044	1498	2931	58,0	105	238	462	984	1405	2789	63,0	117	260	500	1044	1498	2931	58,0	105	238	462	984	1405	2789	
	0,136	0,160	0,197	0,234	0,282	0,309	0,366	0,133	0,156	0,193	0,229	0,278	0,304	0,362	0,136	0,160	0,197	0,234	0,282	0,309	0,366	0,229	0,278	0,304	0,362	0,136	0,160	0,197	0,234	0,282	0,309	0,366	0,229	0,278	0,304	0,362	0,136	0,160	0,197	0,234	0,282	0,309	0,366
38,00	65,0	120	264	514	1073	1541	3014	60,0	109	245	475	1012	1445	2868	65,0	120	264	514	1073	1541	3014	60,0	109	245	475	1012	1445	2868	65,0	120	264	514	1073	1541	3014	60,0	109	245	475	1012	1445	2868	
	0,140	0,165	0,203	0,241	0,290	0,318	0,376	0,137	0,160	0,199	0,236	0,286	0,313	0,372	0,140	0,165	0,203	0,241	0,290	0,318	0,376	0,236	0,286	0,313	0,372	0,140	0,165	0,203	0,241	0,290	0,318	0,376	0,236	0,286	0,313	0,372	0,140	0,165	0,203	0,241	0,290	0,318	0,376
40,00	67,0	125	272	528	1103	1582	3095	61,2	111	252	489	1040	1484	2945	67,0	125	272	528	1103	1582	3095	61,2	111	252	489	1040	1484	2945	67,0	125	272	528	1103	1582	3095	61,2	111	252	489	1040	1484	2945	
	0,144	0,169	0,208	0,247	0,298	0,327	0,387	0,140	0,165	0,204	0,242	0,294	0,321	0,382	0,144	0,169	0,208	0,247	0,298	0,327	0,387	0,242	0,294	0,321	0,382	0,144	0,169	0,208	0,247	0,298	0,327	0,387	0,242	0,294	0,321	0,382	0,144	0,169	0,208	0,247	0,298	0,327	0,387
45,00	71,0	131	288	561	1171	1680	3286	65,0	118	267	519	1104	1575	3126	71,0	131	288	561	1171	1680	3286	65,0	118	267	519	1104	1575	3126	71,0	131	288	561	1171	1680	3286	65,0	118	267	519	1104	1575	3126	
	0,153	0,180	0,221	0,262	0,317	0,347	0,410	0,149	0,175	0,217	0,257	0,312	0,341	0,405	0,153	0,180	0,221	0,262	0,317	0,347	0,410	0,257	0,312	0,341	0,405	0,153	0,180	0,221	0,262	0,317	0,347	0,410	0,257	0,312	0,341	0,405	0,153	0,180	0,221	0,262	0,317	0,347	0,410
50,00	75,0	139	305	593	1237	1774	3470	69,0	125	283	548	1166	1664	3301	75,0	139	305	593	1237	1774	3470	69,0	125	283	548	1166	1664	3301	75,0	139	305	593	1237	1774	3470	69,0	125	283	548	1166	1664	3301	
	0,162	0,190	0,234	0,277	0,334	0,366	0,433	0,158	0,185	0,229	0,272	0,329	0,360	0,428	0,162	0,190	0,234	0,277	0,334	0,366	0,433	0,272	0,329	0,360	0,428	0,162	0,190	0,234	0,277	0,334	0,366	0,433	0,272	0,329	0,360	0,428	0,162	0,190	0,234	0,277	0,334	0,366	0,433
55,00	79,0	146	321	623	1299	1864	3644	72,4	132	297	576	1225	1748	3467	79,0	146	321	623	1299	1864	3644	72,4	132	297	576	1225	1748	3467	79,0	146	321	623	1299	1864	3644	72,4	132	297	576	1225	1748	3467	
	0,170	0,200	0,246	0,291	0,351	0,385	0,455	0,166	0,195	0,241	0,286	0,346	0,379	0,449	0,170	0,200	0,246	0,291	0,351	0,385	0,455	0,286	0,346	0,379	0,449	0,170	0,200	0,246	0,291	0,351	0,385	0,455	0,286	0,346	0,379	0,449	0,170	0,200	0,246	0,291	0,351	0,385	0,455
60,00	83,0	152	336	652	1360	1950	3811	76,0	138	311	603	1282	1828	3626	83,0	152	336	652	1360	1950	3811	76,0	138	311	603	1282	1828	3626	83,0	152	336	652	1360	1950	3811	76,0	138	311	603	1282	1828	3626	
	0,178	0,209	0,257	0,305	0,368	0,403	0,476	0,174	0,204	0,252	0,299	0,362	0,396	0,470	0,178	0,209	0,257	0,305	0,368	0,403	0,476	0,299	0,362	0,396	0,470	0,178	0,209	0,257	0,305	0,368	0,403	0,476	0,299	0,362	0,396	0,470	0,178	0,209	0,257	0,305	0,368	0,403	0,476
65,00	86,2	159	350	680	1417	2032	3971	79,2	144	325	629	1336	1906	3779	86,2	159	350	680	1417	2032	3971	79,2	144	325	629	1336	1906	3779	86,2	159	350	680	1417	2032	3971	79,2	144	325	629	1336	1906	3779	
	0,186	0,219	0,268	0,318	0,383	0,420	0,496	0,182	0,213	0,263	0,312	0,377	0,413	0,490	0,186	0,219	0,268	0,318	0,383	0,420	0,496	0,312	0,377	0,413	0,490	0,186	0,219	0,268	0,318	0,383	0,420	0,496	0,312	0,377	0,413	0,490	0,186	0,219	0,268	0,318	0,383	0,420	0,496
70,00	90,0	166	364	706	1473	2111	4125	82,4	150	337	653	1388	1980	3925	90,0	166	364	706	1473	2111	4125	82,4	150	337	653	1388	1980	3925	90,0	166	364	706	1473	2111	4125	82,4	150	337	653	1388	1980	3925	
	0,193	0,227	0,279	0,330	0,398	0,436	0,515	0,189	0,221	0,273	0,324	0,392	0,429	0,509	0,193	0,227	0,279	0,330	0,398	0,436	0,515	0,324	0,392	0,429	0,509	0,193	0,227	0,279	0,330	0,398	0,436	0,515	0,324	0,392	0,429	0,509	0,193	0,227	0,279	0,330	0,398	0,436	0,515
75,00	93,0	172	377	732	1526	2188	4274	85,4	155	350	677	1439	2052	4067	93,0	172	377	732	1526	2188	4274	85,4	155	350	677	1439	2052	4067	93,0	172	377	732	1526	2188	4274	85,4	155	350	677	1439	2052	4067	
	0,200	0,236	0,289	0,343	0,413	0,452	0,534	0,196	0,229	0,283	0,336	0,406	0,444	0,527	0,200	0,236	0,289	0,343	0,413	0,452	0,534	0,336	0,406	0,444	0,527	0,200	0,236	0,289	0,343	0,413	0,452	0,534	0,336	0,406	0,444	0,527	0,200	0,236	0,289	0,343	0,413	0,452	0,534
80,00	96,3	178	390	757	1577	2262	4418	88,4	161	362	700	1487	2121	4204	96,3	178	390	757	1577	2262	4418	88,4	161	362	700	1487	2121	4204	96,3	178	390	757	1577	2262	4418	88,4	161	362	700	1487	2121	4204	
	0,207	0,244	0,299	0,354	0,427	0,467	0,552	0,203	0,237	0,293	0,347	0,420	0,459	0,545	0,207	0,244	0,299	0,354	0,427	0,467	0,552	0,347	0,420	0,459	0,545	0,207	0,244	0,299	0,354	0,427	0,467	0,552	0,347	0,420									

130,00	124	229	501	972	2023	2900	5660	114	207	465	899	1908	2719	5385
	0,267	0,314	0,384	0,455	0,547	0,599	0,707	0,707	0,306	0,377	0,446	0,539	0,589	0,698
140,00	129	238	521	1010	2102	3012	5878	118	215	483	934	1982	2824	5593
	0,278	0,326	0,399	0,472	0,568	0,622	0,734	0,734	0,318	0,392	0,463	0,560	0,612	0,725
150,00	134	247	540	1046	2178	3120	6088	123	223	501	968	2053	2926	5793
	0,288	0,338	0,414	0,490	0,589	0,644	0,760	0,760	0,329	0,406	0,480	0,580	0,634	0,751
160,00	138	255	558	1082	2251	3225	6292	127	230	518,0	1001	2122	3024	5987
	0,298	0,350	0,428	0,506	0,608	0,666	0,786	0,786	0,341	0,420	0,496	0,600	0,655	0,776
170,00	143	263	576	1116	2322	3326	6489	131	238	534	1032	2189	3119	6174
	0,308	0,361	0,441	0,522	0,628	0,687	0,810	0,810	0,351	0,433	0,512	0,618	0,676	0,800
180,00	147	271	593	1149	2390	3424	6680	135	245	550	1063	2254	3211	6357
	0,317	0,372	0,454	0,538	0,646	0,707	0,834	0,834	0,362	0,446	0,527	0,637	0,696	0,824
190,00	151	279	610	1181	2457	3520	6866	139	252	566	1093	2317	3301	6534
	0,326	0,382	0,467	0,553	0,664	0,727	0,857	0,857	0,372	0,458	0,542	0,655	0,715	0,847
200,00	155	286	626	1213	2522	3613	7048	142	259	581	1122	2378	3389	6706
	0,335	0,392	0,480	0,568	0,682	0,746	0,880	0,880	0,382	0,471	0,556	0,672	0,734	0,869
220,00	163	301	657	1273	2647	3791	7517	150	272	610	1177	2496	3556	7037
	0,351	0,412	0,503	0,595	0,716	0,783	0,939	0,939	0,401	0,494	0,584	0,705	0,770	0,912
240,00	171	314	687	1331	2767	3963	7851	157	284	638	1231	2609	3717	7472
	0,368	0,431	0,527	0,623	0,748	0,818	0,980	0,980	0,420	0,517	0,610	0,737	0,805	0,969
260,00	178	328	716	1386	2882	4128	8171	163	296	664	1283	2718	3872	7777
	0,383	0,449	0,549	0,649	0,779	0,852	1,020	1,020	0,437	0,538	0,636	0,768	0,839	1,008
280,00	185	340	744	1440	2993	4286	8480	170	308	690	1332	2822	4020	8071
	0,398	0,467	0,570	0,674	0,809	0,885	1,059	1,059	0,455	0,559	0,661	0,797	0,871	1,046
300,00	191	353	770	1492	3100	4512	8777	176	319	715	1380	2923	4164	8354
	0,413	0,483	0,590	0,698	0,838	0,931	1,096	1,096	0,471	0,579	0,684	0,826	0,902	1,083
320,00	198	365	796	1541	3203	4660	9065	182	330	739	1426	3021	4372	8628
	0,427	0,500	0,610	0,721	0,866	0,962	1,132	1,132	0,487	0,599	0,707	0,853	0,947	1,118
340,00	204	376	821	1590	3304	4804	9344	188	340	762	1471	3115	4507	8894
	0,440	0,515	0,629	0,744	0,893	0,992	1,167	1,167	0,502	0,618	0,729	0,880	0,976	1,153
360,00	210	387	846	1637	3457	4943	9615	193	350	785	1514	3207	4637	9151
	0,453	0,531	0,648	0,766	0,915	1,020	1,201	1,201	0,517	0,636	0,751	0,906	1,005	1,186
380,00	216	398	869	1683	3551	5079	9879	199	360	807	1557	3350	4764	9402
	0,466	0,546	0,666	0,787	0,960	1,068	1,234	1,234	0,532	0,654	0,772	0,946	1,032	1,219
400,00	222	409	893	1727	3644	5211	10135	204	370	828	1598	3437	4888	9646
	0,479	0,560	0,684	0,808	0,985	1,076	1,266	1,266	0,546	0,671	0,792	0,971	1,059	1,250
450,00	236	434	947	1833	3865	5527	10750	217	392	879	1696	3645	5185	10232
	0,508	0,595	0,726	0,857	1,045	1,141	1,342	1,342	0,497	0,579	0,641	0,801	1,123	1,326
500,00	249	458	999	1934	4074	5826	11332	229	414	927	1789	3842	5465	10785
	0,536	0,628	0,766	0,905	1,101	1,203	1,415	1,415	0,525	0,612	0,671	0,837	1,184	1,398
550,00	261	481	1049	2062	4273	6110	11885	240	435	974	1909	4030	5732	11311
	0,563	0,659	0,804	0,965	1,155	1,261	1,484	1,484	0,551	0,642	0,709	0,876	1,242	1,466
600,00	273	503	1097	2154	4463	6382	12413	251	455	1018	1993	4209	5987	11814
	0,589	0,689	0,840	1,008	1,206	1,317	1,550	1,550	0,576	0,671	0,739	0,909	1,297	1,531
650,00	285	524	1142	2242	4645	6642	12920	262	473	1060	2075	4381	6231	12297
	0,614	0,718	0,875	1,049	1,256	1,371	1,613	1,613	0,600	0,699	0,769	0,946	1,350	1,594
700,00	296	544	1186	2327	4820	6893	13408	272	492	1101	2153	4546	6466	12761
	0,637	0,745	0,909	1,088	1,303	1,423	1,674	1,674	0,624	0,726	0,796	0,976	1,401	1,654
750,00	306	563	1248	2408	4989	7135	13878	282	509	1159	2229	4706	6693	13209
	0,660	0,772	0,957	1,127	1,349	1,473	1,733	1,733	0,646	0,752	0,822	1,002	1,450	1,712

Количество проходящей воды, кг/ч (верхняя строка), и скорость движения воды, м/с (нижняя строка), по трубам
стальным водогазопроводным (ГОСТ 3262-75*) условным проходом, мм

Потери давления на трение на 1 м, Па	легкие										обыкновенным										
	10	15	20	25	32	40	50	10	15	20	25	32	40	50	10	15	20	25	32	40	50
800,00	317	582	1289	2487	5153	7369	14333	291	526	1197	2302	4860	6913	13642	0,682	0,798	1,046	1,373	1,768	2,246	2,653
850,00	327	600	1329	2564	5312	7596	14775	300	543	1234	2373	5010	7126	14062	0,704	0,823	1,018	1,316	1,711	2,106	2,501
900,00	336	618	1368	2638	5466	7816	15203	309	559	1270	2442	5155	7332	14470	0,725	0,847	1,048	1,346	1,741	2,136	2,531
950,00	346	635	1405	2711	5615	8030	15620	318	574	1304	2509	5296	7533	14866	0,745	0,871	1,077	1,374	1,769	2,164	2,559
1000,00	355	652	1442	2781	5761	8239	16025	326	590	1338	2574	5434	7729	15252	0,765	0,894	1,105	1,402	1,797	2,192	2,587
1100,00	372	695	1512	2917	6042	8641	16807	342	619	1404	2700	5699	8106	15997	0,802	0,953	1,158	1,455	1,849	2,243	2,637
1200,00	389	726	1579	3046	6311	9025	17555	358	657	1466	2820	5953	8467	16708	0,839	0,996	1,210	1,507	1,901	2,295	2,689
1300,00	405	756	1644	3171	6569	9394	18272	373	684	1526	2935	6196	8813	17390	0,873	1,036	1,259	1,556	1,950	2,344	2,738
1400,00	421	785	1706	3291	6817	9748	18961	387	710	1583	3046	6429	9145	18047	0,907	1,075	1,307	1,604	2,000	2,394	2,788
1500,00	443	812	1766	3406	7056	10090	19627	407	735	1639	3152	6655	9466	18680	0,955	1,113	1,353	1,650	2,046	2,440	2,834
1600,00	458	839	1823	3518	7287	10421	20271	421	759	1693	3256	6873	9776	19293	0,986	1,150	1,397	1,694	2,090	2,484	2,878
1700,00	472	865	1880	3626	7512	10742	20894	434	782	1745	3356	7085	10077	19887	1,016	1,185	1,440	1,737	2,136	2,530	2,924
1800,00	485	890	1934	3731	7729	11053	21500	446	804	1795	3453	7290	10369	20463	1,046	1,219	1,482	1,779	2,178	2,572	2,966
1900,00	499	914	1987	3833	7941	11356	22089	459	827	1845	3548	7490	10654	21024	1,075	1,253	1,523	1,820	2,217	2,610	2,999
2000,00	512	938	2039	3933	8148	11651	22663	470	848	1893	3640	7684	10930	21570	1,102	1,285	1,562	1,859	2,256	2,649	3,038
2100,00	524	961	2089	4030	8349	11939	23223	482	869	1939	3730	7874	11200	22103	1,130	1,317	1,601	1,900	2,295	2,690	3,077
2200,00	537	984	2138	4125	8545	12220	23769	493	890	1985	3818	8060	11464	22623	1,156	1,348	1,638	1,937	2,334	2,729	3,116
2300,00	549	1006	2186	4218	8737	12495	24304	505	910	2029	3904	8241	11722	23131	1,182	1,378	1,675	1,974	2,373	2,768	3,154
2400,00	560	1027	2233	4308	8925	12763	24826	515	929	2073	3988	8418	11974	23629	1,208	1,408	1,711	2,015	2,412	2,807	3,192
2500,00	572	1049	2279	4397	9109	13027	25338	526	948	2116	4070	8592	12221	24116	1,233	1,437	1,746	2,046	2,447	2,842	3,230
2600,00	583	1069	2325	4484	9290	13284	25840	536	967	2158	4150	8762	12463	24594	1,257	1,466	1,781	2,076	2,476	2,871	3,268

Потери давления на трение на 1 м, Па	Количество проходящей воды, кг/ч (верхняя строка), и скорость движения воды, м/с (нижняя строка), по трубам стальным электросварным прямоугольным (ГОСТ 10704-76)* условным проходом, мм																
	10	15	20	25	32	40	50	65	80	100	125	150	200	250	300	350	400
0,50	1,4	4,1	21,4	62,7	92,1	140	267	613	968	1687	2991	4885	11780	21610	34707	51152	71320
	0,004	0,008	0,018	0,029	0,029	0,030	0,036	0,045	0,051	0,059	0,068	0,077	0,096	0,112	0,126	0,138	0,150
0,55	1,6	4,5	23,5	64,8	95,2	146	282	644	1016	1769	3133	5121	12314	22600	36386	53663	74788
	0,005	0,008	0,019	0,030	0,030	0,032	0,038	0,047	0,052	0,061	0,071	0,081	0,101	0,117	0,132	0,145	0,157
0,60	1,7	4,9	25,7	67,0	98,4	154	296	673	1066	1856	3287	5369	12905	23678	38113	56198	78312
	0,005	0,009	0,021	0,031	0,031	0,033	0,040	0,049	0,056	0,064	0,075	0,085	0,106	0,123	0,138	0,152	0,165
0,65	1,8	5,3	27,8	69,1	99,6	162	308	704	1114	1940	3433	5607	13472	24712	39769	58633	81693
	0,006	0,010	0,023	0,032	0,032	0,035	0,042	0,052	0,058	0,067	0,078	0,088	0,110	0,128	0,144	0,159	0,172
0,70	2,0	5,7	30,0	69,1	101	167	321	733	1161	2020	3574	5837	14018	25707	41364	60976	84948
	0,006	0,011	0,025	0,032	0,032	0,036	0,043	0,054	0,061	0,070	0,081	0,092	0,115	0,133	0,150	0,165	0,179
0,75	2,1	6,1	32,1	71,3	104	174	334	762	1205	2097	3711	6059	14545	26668	42904	63238	88909
	0,007	0,011	0,026	0,033	0,033	0,038	0,045	0,056	0,063	0,073	0,084	0,095	0,119	0,138	0,155	0,171	0,185
0,80	2,3	6,5	34,2	73,4	108	181	347	790	1249	2173	3843	6273	15056	27599	44394	65427	91131
	0,007	0,012	0,028	0,034	0,034	0,039	0,047	0,058	0,065	0,075	0,087	0,099	0,123	0,143	0,161	0,177	0,192
0,85	2,4	7,0	36,4	75,6	112	187	358	817	1292	2246	3972	6481	15551	28501	45839	67548	94078
	0,007	0,013	0,030	0,035	0,035	0,041	0,048	0,060	0,068	0,078	0,090	0,102	0,127	0,148	0,166	0,183	0,198
0,90	2,5	7,4	38,5	75,6	115	193	370	843	1333	2317	4097	6684	16032	29377	47242	69610	96941
	0,008	0,014	0,032	0,035	0,036	0,042	0,050	0,062	0,070	0,080	0,093	0,105	0,131	0,152	0,171	0,188	0,204
1,00	2,8	8,2	42,1	79,9	123	205	392	893	1412	2454	4336	7073	16956	31061	49938	73569	102440
	0,009	0,015	0,035	0,037	0,039	0,044	0,053	0,066	0,074	0,085	0,099	0,111	0,139	0,161	0,181	0,199	0,216
1,10	3,1	9,0	44,5	80,3	130	217	412	939	1484	2579	4556	7430	17810	32622	52442	77251	107560
	0,010	0,017	0,037	0,037	0,041	0,047	0,056	0,069	0,078	0,090	0,104	0,117	0,146	0,169	0,190	0,209	0,226
1,20	3,4	9,8	45,7	81,5	136	226	433	985	1556	2703	4775	7785	18653	34157	54899	80859	112571
	0,011	0,018	0,038	0,038	0,043	0,049	0,058	0,072	0,081	0,094	0,108	0,123	0,153	0,177	0,199	0,219	0,237
1,30	4,0	10,6	47,0	84,0	142	237	453	1030	1626	2823	4985	8126	19462	35630	57257	84321	117378
	0,011	0,020	0,039	0,039	0,045	0,051	0,061	0,076	0,085	0,098	0,113	0,128	0,159	0,185	0,207	0,228	0,247
1,40	4,0	11,4	48,1	87,0	148	247	472	1072	1693	2939	5188	8454	20241	37048	59527	87654	122005
	0,012	0,021	0,040	0,040	0,047	0,054	0,064	0,079	0,089	0,102	0,118	0,133	0,166	0,192	0,216	0,237	0,257
1,50	4,2	12,5	49,3	90,2	154	257	490	1113	1757	3050	5383	8771	20993	38417	61717	90870	12647
	0,013	0,023	0,041	0,042	0,048	0,056	0,066	0,082	0,092	0,106	0,122	0,138	0,172	0,199	0,224	0,246	0,266

Продолжение табл. II.2

Количество проходящей воды, кг/ч (верхняя строка), и скорость движения воды, м/с (нижняя строка), по трубам стальным электросварным прямошовным (ГОСТ 10704-76*) условным проходом, мм

Потери давления на трение на 1 м, Па	Количество проходящей воды, кг/ч (верхняя строка), и скорость движения воды, м/с (нижняя строка), по трубам стальным электросварным прямошовным (ГОСТ 10704-76*) условным проходом, мм																	
	10	15	20	25	32	40	50	65	80	100	125	150	200	250	300	350	400	
1,60	4,5	13,1	50,5	94,0	159	266	508	1153	1820	3158	5572	9078	21721	39741	63837	93980	130789	
1,70	0,014	0,024	0,042	0,043	0,050	0,058	0,068	0,085	0,095	0,110	0,127	0,143	0,206	0,206	0,231	0,254	0,275	
1,80	5,0	13,9	50,5	97,0	165	275	525	1192	1881	3263	5756	9375	22426	41025	65891	96996	134976	
1,80	0,015	0,026	0,042	0,045	0,052	0,060	0,071	0,088	0,098	0,113	0,131	0,148	0,213	0,213	0,239	0,262	0,284	
1,90	5,1	15,0	52,0	100	170	284	542	1229	1940	3364	5934	9664	23111	42272	67886	99925	139042	
1,90	0,016	0,027	0,043	0,046	0,054	0,062	0,073	0,090	0,102	0,117	0,135	0,152	0,219	0,219	0,246	0,270	0,293	
1,90	5,4	15,5	53,0	103	175	293	558	1266	1997	3463	6107	9945	23778	43486	69827	102774	142998	
1,90	0,017	0,029	0,044	0,048	0,055	0,063	0,075	0,093	0,105	0,120	0,139	0,157	0,225	0,225	0,253	0,278	0,301	
2,00	6,0	16,4	54,2	106	181	301	574	1301	2053	3560	6276	10219	24427	44667	71718	105549	146850	
2,00	0,018	0,030	0,045	0,049	0,057	0,065	0,077	0,096	0,107	0,124	0,143	0,161	0,230	0,230	0,260	0,285	0,309	
2,20	6,2	18,0	55,4	112	190	317	603	1368	2157	3740	6593	10732	25651	46898	75294	110804	154153	
2,20	0,019	0,033	0,046	0,052	0,060	0,069	0,081	0,100	0,113	0,130	0,150	0,169	0,240	0,240	0,263	0,300	0,324	
2,40	7,0	20,0	56,0	117	199	332	633	1434	2261	3918	6905	11238	26850	49080	78784	115926	161263	
2,40	0,021	0,036	0,046	0,054	0,063	0,072	0,085	0,105	0,118	0,136	0,157	0,177	0,250	0,250	0,285	0,313	0,339	
2,60	7,3	21,3	56,3	123	208	347	661	1497	2360	4089	7205	11724	28001	51173	82132	120839	168083	
2,60	0,023	0,039	0,047	0,057	0,066	0,075	0,089	0,110	0,124	0,142	0,164	0,185	0,259	0,265	0,298	0,327	0,354	
2,80	8,0	23,0	58,0	128	217	362	668	1558	2456	4254	7493	12191	29108	53187	83554	125567	174645	
2,80	0,025	0,043	0,048	0,059	0,068	0,078	0,093	0,114	0,129	0,148	0,170	0,192	0,268	0,276	0,309	0,339	0,367	
3,00	8,5	24,5	60,2	133	226	376	715	1617	2548	4413	7772	12642	30177	55131	88463	130129	180977	
3,00	0,026	0,046	0,050	0,062	0,071	0,081	0,096	0,119	0,133	0,153	0,177	0,199	0,270	0,286	0,321	0,352	0,381	
3,20	9,0	26,0	62,5	138	234	389	740	1674	2637	4566	8041	13078	31211	57011	91470	134542	187102	
3,20	0,028	0,048	0,052	0,064	0,074	0,084	0,100	0,123	0,138	0,159	0,183	0,206	0,285	0,296	0,331	0,364	0,394	
3,40	9,6	27,0	65,0	142	242	402	765	1729	2724	4716	8302	13501	32213	58834	94386	138820	193039	
3,40	0,030	0,049	0,053	0,066	0,076	0,087	0,103	0,127	0,143	0,164	0,189	0,213	0,293	0,305	0,342	0,375	0,406	
3,60	10,1	27,1	67,0	147	249	415	789	1783	2808	4861	8556	13912	33186	60604	97216	142973	198804	
3,60	0,032	0,050	0,055	0,068	0,079	0,090	0,106	0,131	0,147	0,169	0,194	0,219	0,300	0,314	0,352	0,387	0,418	
3,80	10,7	28,0	69,0	151	257	427	812	1835	2890	5002	8803	14312	34133	62326	99970	147013	204411	
3,80	0,033	0,051	0,057	0,070	0,081	0,093	0,109	0,135	0,151	0,174	0,200	0,226	0,279	0,323	0,362	0,397	0,430	
4,00	11,3	28,2	70,8	156	264	439	835	1886	2970	5139	9043	14701	35056	64003	102652	150948	209872	
4,00	0,035	0,052	0,058	0,072	0,083	0,095	0,112	0,139	0,155	0,178	0,205	0,232	0,287	0,332	0,372	0,408	0,442	
4,50	13,0	30,0	76,0	166	282	467	887	2004	3155	5458	9603	15610	37217	67943	108963	160220	222753	
4,50	0,040	0,055	0,062	0,077	0,089	0,101	0,120	0,147	0,165	0,190	0,218	0,246	0,304	0,352	0,395	0,433	0,469	
5,00	14,1	31,0	80,3	175	298	494	939	2120	3336	5771	10150	16495	39313	71752	115054	169155	235152	
5,00	0,044	0,057	0,066	0,082	0,094	0,107	0,126	0,156	0,175	0,201	0,231	0,260	0,322	0,372	0,417	0,457	0,495	
5,50	15,5	32,0	84,2	185	314	521	989	2230	3509	6068	10671	17337	41306	75376	120846	177652	246694	
5,50	0,048	0,059	0,070	0,086	0,099	0,113	0,133	0,164	0,184	0,214	0,242	0,273	0,338	0,391	0,438	0,480	0,520	
6,00	17,0	33,0	88,4	194	329	546	1036	2336	3674	6352	11168	18142	43211	78838	126381	185771	258210	
6,00	0,053	0,061	0,073	0,090	0,104	0,118	0,140	0,172	0,192	0,221	0,254	0,286	0,353	0,409	0,458	0,502	0,543	
6,50	18,3	34,0	92,4	203	343	570	1081	2437	3833	6625	11645	18914	45037	82158	131689	193557	269014	
6,50	0,057	0,062	0,076	0,094	0,108	0,123	0,146	0,179	0,201	0,230	0,265	0,298	0,368	0,426	0,477	0,523	0,566	

7,00	19,5	35,0	96,3	211	357	593	1125	2534	3986	6887	12104	19656	46795	85353	136796	201050	279411
	0,061	0,064	0,079	0,098	0,113	0,128	0,151	0,186	0,209	0,239	0,275	0,310	0,383	0,443	0,496	0,544	0,588
7,50	20,0	35,7	100	219	371	615	1167	2628	4133	7140	12547	20373	48492	88435	141725	208278	289441
	0,062	0,066	0,083	0,102	0,117	0,133	0,157	0,193	0,216	0,248	0,285	0,321	0,397	0,459	0,514	0,563	0,609
8,00	20,5	36,5	104	227	384	637	1208	2719	4275	7385	12975	21066	50132	91417	146491	215270	299143
	0,064	0,067	0,086	0,105	0,121	0,138	0,163	0,200	0,224	0,256	0,295	0,332	0,410	0,474	0,531	0,582	0,629
8,50	21,1	37,4	107	234	397	658	1247	2808	4413	7622	13390	21738	51722	94307	151110	222046	308544
	0,066	0,069	0,088	0,109	0,125	0,143	0,168	0,206	0,231	0,265	0,304	0,343	0,423	0,489	0,548	0,600	0,649
9,00	21,5	38,4	110	242	409	678	1286	2893	4547	7853	13794	22391	53266	97113	155596	228626	317676
	0,067	0,071	0,091	0,112	0,129	0,147	0,173	0,213	0,238	0,273	0,313	0,353	0,436	0,504	0,564	0,618	0,668
9,50	22,0	39,0	114	249	421	698	1322	2976	4678	8077	14186	23025	54768	99842	159960	235025	326556
	0,069	0,071	0,094	0,116	0,133	0,151	0,178	0,219	0,245	0,280	0,322	0,363	0,448	0,518	0,580	0,635	0,687
10,00	22,4	39,0	117	256	433	718	1359	3058	4805	8296	14568	23643	56231	102500	164208	241258	335205
	0,070	0,072	0,097	0,119	0,136	0,155	0,183	0,225	0,252	0,288	0,331	0,373	0,460	0,531	0,595	0,652	0,705
11,00	23,1	40,5	123	269	455	754	1428	3211	5045	8709	15292	24817	59014	107566	172315	253158	351726
	0,072	0,075	0,102	0,125	0,143	0,163	0,192	0,236	0,264	0,302	0,347	0,391	0,483	0,558	0,624	0,684	0,740
12,00	24,0	42,5	129	282	476	790	1495	3361	5279	9112	15997	25957	61712	112467	180149	264649	367670
	0,075	0,079	0,107	0,131	0,150	0,171	0,201	0,247	0,276	0,316	0,363	0,409	0,505	0,583	0,653	0,715	0,774
13,00	24,7	44,4	135	294	498	824	1559	3504	5504	9499	16673	27051	64299	117168	187663	275669	382960
	0,077	0,082	0,111	0,137	0,157	0,178	0,210	0,257	0,288	0,330	0,379	0,426	0,526	0,608	0,680	0,745	0,806
14,00	25,3	46,3	140	306	518	857	1621	3642	5721	9871	17324	28103	66788	121691	194892	286272	397672
	0,079	0,086	0,116	0,142	0,163	0,186	0,218	0,268	0,299	0,343	0,394	0,443	0,546	0,631	0,706	0,774	0,837
15,00	26,0	48,1	146	318	537	889	1681	3776	5930	10230	17952	29119	69190	126055	201867	296502	411866
	0,081	0,089	0,120	0,148	0,169	0,193	0,226	0,277	0,310	0,355	0,408	0,459	0,566	0,654	0,731	0,802	0,867
16,00	27,0	50,0	151	329	556	919	1739	3905	6132	10577	18559	30101	71513	130276	208613	306397	425594
	0,083	0,092	0,125	0,153	0,175	0,199	0,234	0,287	0,321	0,367	0,422	0,474	0,585	0,675	0,756	0,828	0,895
17,00	27,0	51,5	156	340	574	949	1795	4031	6328	10914	19147	31053	73765	134366	215151	315986	445858
	0,084	0,096	0,129	0,158	0,181	0,206	0,242	0,296	0,331	0,379	0,435	0,489	0,603	0,697	0,780	0,854	0,938
18,00	27,5	53,1	161	350	591	978	1850	4152	6518	11240	19719	31977	75951	138339	221450	325297	458784
	0,086	0,099	0,133	0,163	0,186	0,212	0,249	0,305	0,341	0,390	0,448	0,504	0,621	0,717	0,803	0,879	0,965
19,00	28,2	55,0	165	360	609	1007	1903	4270	6703	11559	20275	32876	78077	142202	227674	334353	471355
	0,088	0,102	0,137	0,167	0,192	0,226	0,266	0,314	0,351	0,401	0,461	0,518	0,639	0,737	0,825	0,904	0,992
20,00	29,0	56,2	170	370	623	1034	1954	4386	6883	11868	20816	33751	80148	145964	233687	348575	483600
	0,090	0,104	0,140	0,172	0,197	0,224	0,263	0,322	0,360	0,412	0,473	0,532	0,656	0,757	0,847	0,942	1,018
22,00	29,1	59,1	179	389	657	1086	2052	4604	7225	12457	21846	35420	84102	153155	245190	365589	507204
	0,091	0,110	0,147	0,181	0,207	0,235	0,276	0,338	0,378	0,433	0,496	0,558	0,688	0,794	0,888	0,988	1,067
24,00	30,4	62,0	187	407	687	1137	2147	4816	7558	13028	22845	37034	87919	160091	260378	381845	529757
	0,095	0,115	0,155	0,189	0,217	0,246	0,289	0,354	0,396	0,452	0,519	0,584	0,719	0,830	0,943	1,032	1,115
26,00	32,0	65,0	195	425	717	1185	2239	5020	7877	13576	23802	38582	91581	166742	271009	397436	551389
	0,099	0,120	0,161	0,197	0,226	0,257	0,301	0,369	0,412	0,471	0,541	0,608	0,749	0,865	0,982	1,074	1,160
28,00	33,1	67,4	203	442	746	1232	2327	5216	8184	14103	24723	40072	95104	173142	281240	412439	572204
	0,103	0,125	0,168	0,205	0,235	0,267	0,313	0,383	0,428	0,490	0,562	0,632	0,778	0,898	1,019	1,115	1,204
30,00	34,3	70,0	211	458	773	1277	2412	5406	8480	14612	25612	41509	98503	182166	291111	426915	592287
	0,107	0,130	0,174	0,213	0,244	0,277	0,325	0,397	0,444	0,507	0,582	0,654	0,806	0,945	1,055	1,154	1,246
32,00	36,0	72,4	218	474	780	1321	2494	5589	8766	15103	26472	42699	101790	188140	300658	440916	611711
	0,111	0,135	0,180	0,220	0,252	0,286	0,336	0,411	0,459	0,524	0,601	0,676	0,833	0,976	1,089	1,192	1,287
34,00	37,0	75,0	225	490	825	1363	2573	5766	9043	15580	27305	44247	104976	193930	309911	454486	630538
	0,115	0,139	0,186	0,227	0,260	0,295	0,347	0,424	0,473	0,541	0,620	0,697	0,859	1,006	1,123	1,229	1,327
36,00	38,0	77,1	232	505	850	1405	2651	5938	9313	16043	28114	45555	108069	199553	318896	467662	648818
	0,118	0,143	0,192	0,234	0,268	0,304	0,357	0,436	0,488	0,557	0,639	0,718	0,884	1,035	1,156	1,264	1,365

Потери давления на трение на 1 м, Па	Количество проходящей воды, кг/ч (верхняя строка), и скорость движения воды, м/с (нижняя строка), по трубам стальных электросварным прямошовным (ГОСТ 10704-76*) условным диаметром, мм																
	10	15	20	25	32	40	50	65	80	100	125	150	200	250	300	350	400
38,00	39,0	80,0	239	519	875	1445	2726	6106	9575	16493	28901	46827	111078	205021	327635	480477	666597
40,00	0,122	0,148	0,197	0,241	0,276	0,313	0,367	0,449	0,501	0,573	0,657	0,738	0,908	1,063	1,187	1,299	1,403
40,00	40,1	82,0	245	533	899	1484	2799	6269	9830	16932	29667	48067	115805	210347	336146	492959	683914
45,00	0,125	0,152	0,203	0,248	0,283	0,321	0,377	0,461	0,515	0,588	0,674	0,758	0,947	1,091	1,218	1,333	1,439
45,00	43,0	87,0	261	566	954	1575	2971	6654	10433	17969	31482	51005	128300	223107	356537	522862	725401
50,00	0,133	0,161	0,215	0,263	0,301	0,341	0,400	0,489	0,546	0,624	0,715	0,804	1,005	1,157	1,292	1,414	1,526
50,00	45,1	92,0	276	598	1008	1664	3138	7025	11012	18964	33221	53816	129475	235175	375823	551146	764639
55,00	0,141	0,170	0,228	0,278	0,317	0,360	0,423	0,516	0,575	0,659	0,755	0,848	1,059	1,219	1,362	1,490	1,609
55,00	47,5	96,5	290	629	1059	1748	3296	7377	11563	19910	34875	56489	135794	246654	394166	578046	801961
60,00	0,148	0,179	0,239	0,292	0,334	0,379	0,444	0,542	0,605	0,691	0,792	0,890	1,111	1,279	1,428	1,563	1,687
60,00	50,0	101	303	658	1108	1828	3447	7713	12090	20814	36454	59994	141833	257621	411693	603750	837621
65,00	0,155	0,188	0,250	0,306	0,349	0,396	0,464	0,567	0,633	0,723	0,828	0,946	1,160	1,336	1,492	1,632	1,762
65,00	52,0	105	316	686	1155	1906	3592	8036	12591	21681	37969	62444	147623	268141	428504	628402	871823
70,00	0,162	0,196	0,261	0,319	0,364	0,413	0,484	0,590	0,659	0,753	0,863	0,984	1,207	1,390	1,553	1,699	1,834
70,00	54,1	110	329	713	1200	1980	3731	8347	13080	22515	39427	64801	153196	278263	444679	652124	904733
75,00	0,169	0,204	0,272	0,331	0,378	0,429	0,502	0,613	0,685	0,782	0,896	1,021	1,253	1,443	1,611	1,763	1,904
75,00	56,1	114	341	739	1243	2052	3866	8646	13549	23320	41489	67076	158573	288030	460287	675012	936488
80,00	0,175	0,211	0,282	0,343	0,392	0,444	0,521	0,635	0,709	0,810	0,943	1,057	1,297	1,493	1,668	1,825	1,970
80,00	58,1	118	353	764	1286	2121	3996	8936	14002	24098	42849	69276	163774	297476	475382	697150	967201
85,00	0,181	0,219	0,291	0,355	0,405	0,459	0,538	0,657	0,733	0,837	0,973	1,092	1,339	1,542	1,723	1,885	2,035
85,00	60,0	122	364	789	1327	2188	4122	9217	14441	24852	44168	71408	168814	306631	490013	718606	996968
90,00	0,187	0,226	0,301	0,366	0,418	0,474	0,555	0,679	0,756	0,863	1,003	1,125	1,381	1,590	1,776	1,943	2,098
90,00	62,0	125	375	812	1367	2253	4244	9490	14868	25585	45449	73478	173708	315521	504219	739439	1025872
95,00	0,193	0,233	0,310	0,377	0,430	0,488	0,572	0,697	0,778	0,888	1,033	1,158	1,421	1,636	1,827	1,999	2,159
95,00	64,0	129	386	835	1405	2317	4363	9755	15283	26297	46694	75491	178468	324167	518036	759702	1053982
100,00	0,199	0,239	0,318	0,388	0,443	0,502	0,588	0,717	0,800	0,913	1,061	1,190	1,460	1,681	1,877	2,054	2,218
100,00	65,4	132	396	858	1443	2379	4479	10013	15687	27418	47907	77452	183104	332588	531944	779437	1081363
110,00	0,204	0,246	0,327	0,398	0,454	0,515	0,603	0,736	0,821	0,952	1,088	1,221	1,498	1,725	1,926	2,107	2,275
110,00	69,0	139	416	900	1514	2496	4701	10507	16459	28756	50245	81233	192042	348822	557435	817481	1134143
120,00	0,214	0,258	0,343	0,418	0,477	0,541	0,633	0,772	0,862	0,999	1,142	1,280	1,571	1,809	2,020	2,210	2,386
120,00	71,9	145	435	942	1584	2610	4914	10983	17204	30035	52480	84845	200581	364332	582222	853831	1184574
130,00	0,224	0,270	0,359	0,437	0,499	0,565	0,662	0,807	0,901	1,043	1,192	1,337	1,640	1,889	2,110	2,308	2,492
130,00	75,0	152	453	982	1650	2719	5120	11440	18205	31261	54622	88309	208771	379209	605996	888695	1232944
140,00	0,234	0,282	0,374	0,456	0,520	0,589	0,689	0,840	0,943	1,086	1,241	1,392	1,707	1,966	2,196	2,403	2,594
140,00	78,0	158	471	1020	1714	2825	5317	11879	18893	32441	56684	91643	216652	393524	628872	922243	1279486
150,00	0,243	0,295	0,389	0,474	0,540	0,612	0,716	0,873	0,981	1,127	1,288	1,444	1,772	2,040	2,279	2,493	2,692
150,00	81,0	163	488	1057	1776	2926	5507	12303	19556	33580	58674	94859	224256	407336	650944	954612	1324394
160,00	0,252	0,304	0,403	0,491	0,559	0,634	0,742	0,904	1,024	1,166	1,333	1,495	1,834	2,112	2,359	2,581	2,787
160,00	84,0	169	505	1092	1835	3024	5691	12917	20197	34681	60598	97970	231611	420695	672392	985919	1367828
	0,261	0,314	0,417	0,507	0,578	0,655	0,766	0,949	1,057	1,204	1,377	1,544	1,894	2,181	2,436	2,665	2,878

170,00	86,3	174	521	1127	1893	3119	5870	13315	20819	35748	62463	100986	238739	433642	692983	1016262	1409925
	0,269	0,324	0,430	0,523	0,596	0,676	0,790	0,978	1,090	1,241	1,419	1,592	1,953	2,248	2,511	2,747	2,967
180,00	89,0	180	536	1160	1949	3211	6043	13701	21422	36785	64274	103913	245060	446214	713073	1045081	1450801
	0,278	0,334	0,443	0,539	0,614	0,696	0,814	1,007	1,121	1,277	1,460	1,638	2,009	2,314	2,584	2,827	3,053
190,00	91,5	185	552	1193	2004	3301	6212	14076	22009	37793	66035	106760	252392	458441	732613	1074380	1450801
	0,286	0,343	0,455	0,554	0,631	0,715	0,836	1,034	1,152	1,312	1,500	1,683	2,064	2,377	2,655	2,905	3,125
200,00	94,0	190	566	1225	2057	3389	6376	14442	22581	38774	67551	109534	258949	470351	751645	1102290	1450801
	0,293	0,353	0,468	0,569	0,648	0,734	0,859	1,061	1,182	1,346	1,539	1,726	2,118	2,439	2,724	2,980	3,225
220,00	99,0	199	594	1285	2159	3556	6690	15147	23683	40667	71058	114880	271588	493308	788332	1156092	1450801
	0,308	0,370	0,491	0,597	0,680	0,770	0,901	1,113	1,240	1,412	1,614	1,811	2,221	2,558	2,857	3,125	3,375
240,00	103	209	622	1344	2257	3717	7105	15820	24736	42475	74217	119989	283664	515244	823386	1192290	1450801
	0,322	0,387	0,513	0,624	0,711	0,805	0,957	1,162	1,295	1,475	1,686	1,891	2,320	2,672	2,984	3,250	3,500
260,00	108	217	648	1400	2351	3872	7395	16466	25746	44210	77248	124888	295247	536283	857008	1242290	1450801
	0,336	0,404	0,535	0,650	0,741	0,839	0,996	1,210	1,348	1,535	1,755	1,968	2,415	2,781	3,105	3,375	3,625
280,00	112	226	673	1454	2441	4020	7674	17088	26718	45879	80164	129603	306392	556527	885527	1242290	1450801
	0,349	0,420	0,555	0,675	0,769	0,871	1,033	1,255	1,399	1,593	1,821	2,043	2,506	2,886	3,210	3,475	3,725
300,00	116	234	697	1506	2529	4164	7943	17688	27656	47489	82977	134152	317146	576060	905008	1242290	1450801
	0,362	0,435	0,575	0,699	0,797	0,902	1,070	1,299	1,448	1,649	1,885	2,114	2,594	2,987	3,310	3,575	3,825
320,00	120	242	720	1556	2613	4372	8204	18268	28563	49046	85699	138551	327547	594952	934527	1242290	1450801
	0,374	0,449	0,595	0,723	0,823	0,947	1,105	1,342	1,495	1,703	1,947	2,184	2,679	3,085	3,410	3,675	3,925
340,00	124	250	743	1605	2695	4507	8457	18830	29442	50556	88336	142815	337628	615283	964008	1242290	1450801
	0,386	0,464	0,614	0,746	0,849	0,976	1,139	1,383	1,541	1,756	2,007	2,251	2,761	3,177	3,500	3,775	4,025
360,00	127	257	765	1653	2775	4637	8702	19376	30296	52021	90897	146956	347416	645283	1013008	1242290	1450801
	0,398	0,478	0,632	0,768	0,874	1,005	1,172	1,424	1,586	1,806	2,065	2,316	2,841	3,267	3,590	3,865	4,115
380,00	131	264	787	1699	2852	4764	8940	19907	31126	53447	93388	150983	356936	685283	1062008	1242290	1450801
	0,409	0,491	0,649	0,789	0,898	1,032	1,204	1,463	1,629	1,856	2,122	2,380	2,919	3,356	3,680	3,955	4,205
400,00	134	271	807	1744	2975	4888	9172	20424	31934	54835	95814	154905	366209	715283	1112008	1242290	1450801
	0,420	0,504	0,667	0,810	0,937	1,059	1,235	1,501	1,672	1,904	2,177	2,441	2,995	3,442	3,770	4,045	4,295
450,00	143	288	857	1850	3155	5185	9729	21663	33871	58162	101626	164301	388423	765283	1171008	1242290	1450801
	0,446	0,535	0,707	0,859	0,994	1,123	1,310	1,592	1,773	2,020	2,309	2,589	3,177	3,634	3,962	4,237	4,487
500,00	151	304	904	1952	3326	5465	10255	22835	35704	61308	107123	173189	400000	815283	1221008	1242290	1450801
	0,471	0,565	0,747	0,907	1,048	1,184	1,381	1,678	1,869	2,129	2,434	2,730	3,412	3,879	4,207	4,482	4,732
550,00	158	319	949	2082	3488	5732	10756	23949	37446	64300	112352	181642	420000	855283	1270008	1242290	1450801
	0,494	0,593	0,784	0,967	1,099	1,242	1,448	1,760	1,960	2,233	2,552	2,863	3,642	4,119	4,447	4,722	4,972
600,00	166	334	992	2175	3643	5987	11234	25014	39111	67159	117348	189719	450000	905283	1319008	1242290	1450801
	0,517	0,620	0,819	1,010	1,148	1,297	1,513	1,838	2,048	2,332	2,666	2,990	3,879	4,376	4,704	4,979	5,229
650,00	173	348	1033	2264	3792	6231	11693	26035	40708	69902	122140	197466	480000	955283	1368008	1242290	1450801
	0,539	0,646	0,853	1,051	1,194	1,350	1,575	1,913	2,131	2,427	2,775	3,112	4,101	4,608	4,936	5,211	5,461
700,00	179	361	1073	2349	3935	6466	12134	27018	42245	72540	126750	210000	510000	1005283	1417008	1242290	1450801
	0,560	0,671	0,886	1,091	1,240	1,401	1,634	1,985	2,212	2,519	2,880	3,240	4,339	4,856	5,184	5,459	5,709
750,00	186	374	1130	2431	4073	6693	12560	27967	43728	75087	131199	220000	540000	1055283	1466008	1242290	1450801
	0,580	0,695	0,933	1,129	1,283	1,450	1,691	2,055	2,289	2,607	2,981	3,355	4,554	5,081	5,409	5,684	5,934
800,00	192	387	1167	2511	4207	6913	12971	28884	45162	77549	135502	230000	570000	1105283	1515008	1242290	1450801
	0,599	0,718	0,964	1,166	1,325	1,497	1,747	2,122	2,364	2,693	3,078	3,452	4,751	5,278	5,606	5,881	6,131
850,00	198	399	1203	2589	4336	7126	13371	29773	46552	79936	139366	240000	600000	1155283	1564008	1242290	1450801
	0,618	0,741	0,993	1,202	1,366	1,544	1,801	2,187	2,437	2,776	3,161	3,535	4,934	5,461	5,789	6,064	6,314
900,00	204	411	1238	2664	4462	7332	13759	30636	47902	82253	143223	250000	630000	1205283	1613008	1242290	1450801
	0,636	0,763	1,022	1,237	1,406	1,588	1,853	2,251	2,508	2,856	3,241	3,615	5,114	5,641	5,969	6,244	6,494
950,00	210	422	1272	2736	4584	7533	14136	31475	49214	84507	147080	260000	660000	1255283	1662008	1242290	1450801
	0,654	0,784	1,050	1,271	1,444	1,632	1,904	2,312	2,576	2,924	3,309	3,683	5,283	5,810	6,138	6,413	6,663

ТАБЛИЦА II.3

**ПОТЕРИ ДАВЛЕНИЯ НА МЕСТНЫЕ СОПРОТИВЛЕНИЯ
ДЛЯ РАСЧЕТА ТРУБОПРОВОДОВ ВОДЯНОГО ОТОПЛЕНИЯ**

Скорость движения воды, м/с	Потери давления, Па, при сумме коэффициентов местных сопротивлений									
	1	2	3	4	5	6	7	8	9	10
0,010	0,05	0,10	0,15	0,19	0,24	0,29	0,34	0,39	0,44	0,49
0,015	0,11	0,22	0,33	0,44	0,55	0,66	0,77	0,88	0,99	1,10
0,020	0,19	0,39	0,59	0,78	0,98	1,17	0,37	1,56	1,76	1,96
0,025	0,30	0,61	0,92	1,22	1,53	1,83	2,14	2,44	2,65	3,06
0,030	0,44	0,88	1,32	1,76	2,20	2,64	3,08	3,52	3,96	4,40
0,035	0,60	1,20	1,80	2,39	2,99	3,59	4,19	4,79	5,39	5,99
0,040	0,78	1,56	2,35	3,13	3,91	4,69	5,48	6,26	7,04	7,82
0,045	0,99	1,98	2,97	3,96	4,95	5,94	6,93	7,92	8,91	9,90
0,050	1,22	2,24	3,67	4,89	6,11	7,33	8,56	9,78	11,0	12,2
0,055	1,48	2,96	4,44	5,92	7,39	8,87	10,4	11,8	13,3	14,8
0,060	1,76	3,52	5,28	7,04	8,80	10,6	12,3	14,1	15,8	17,6
0,065	2,06	4,13	6,19	8,26	10,33	12,4	14,5	16,5	18,6	20,7
0,070	2,39	4,79	7,18	9,58	12,0	14,4	16,8	19,1	21,6	24,0
0,075	2,75	5,50	8,25	10,1	13,7	16,5	19,2	22,0	24,7	27,5
0,080	3,13	6,26	9,39	12,5	15,6	18,8	21,9	25,0	28,2	31,5
0,085	3,53	7,06	12,6	14,1	17,7	21,2	24,7	28,3	31,8	35,3
0,090	3,96	7,92	11,8	15,8	19,8	23,8	27,7	31,7	35,6	39,6
0,095	4,41	8,82	13,2	17,6	22,1	26,5	30,9	35,3	39,7	44,1
0,10	4,89	9,78	14,7	19,6	24,4	29,3	34,2	39,1	44,0	48,9
0,105	5,39	10,8	16,2	21,6	26,9	32,3	37,7	43,1	48,5	53,9
0,110	5,91	11,8	17,7	23,7	29,6	35,5	41,4	47,3	53,2	59,2
0,115	6,46	12,9	19,4	25,9	32,3	38,8	45,3	51,7	58,2	64,7
0,120	7,04	14,1	21,1	28,2	35,2	42,2	49,3	56,3	63,4	70,4
0,125	7,64	15,3	22,9	30,0	38,2	45,8	53,5	61,1	74,3	82,6
0,130	8,26	16,5	24,8	33,0	41,3	49,6	57,8	66,1	74,3	82,6
0,135	8,91	17,8	26,7	35,6	44,5	53,5	62,4	71,3	80,2	89,1
0,140	9,58	19,2	28,7	38,3	47,9	57,5	67,1	76,7	86,2	95,8
0,145	10,3	20,6	30,8	41,1	51,4	61,7	71,9	82,2	92,5	102
0,150	11,7	23,5	35,2	47,0	58,7	70,5	82,2	94,0	105	117
0,155	11,7	23,5	35,2	47,0	58,7	70,5	82,2	94,0	105	117
0,160	12,5	25,0	37,5	50,1	62,6	75,1	87,6	100	113	125
0,165	13,3	26,6	40,0	53,2	66,5	79,9	93,2	106	120	133
0,170	14,1	28,3	42,4	56,5	70,6	84,8	98,9	113	127	141
0,175	15,0	30,0	45,0	60,0	75,0	90,0	104	120	135	150
0,180	16,7	33,5	50,2	67,0	83,7	100	117	133	150	167
0,185	15,8	31,7	47,5	63,4	89,2	95,0	111	127	143	158
0,190	17,6	35,3	53,0	70,6	88,2	105	123	141	159	176
0,195	18,6	37,2	55,8	74,3	93,0	111	130	148	167	186
0,200	19,6	39,1	58,7	78,2	97,8	117	136	156	176	195
0,205	20,5	41,1	61,6	82,2	102	123	143	164	184	205
0,210	21,6	43,1	64,7	86,2	107	129	151	172	194	215
0,215	22,6	45,2	67,8	90,6	112	135	158	180	203	226
0,220	23,7	47,5	71,0	94,6	118	142	166	189	213	237
0,225	24,7	49,5	74,2	99,0	123	148	173	198	223	247
0,230	25,9	51,7	77,6	103	129	155	181	207	233	259

Продолжение табл. II.3

Скорость движения воды, м/с	Потери давления, Па, при сумме коэффициентов местных сопротивлений									
	1	2	3	4	5	6	7	8	9	10
0,235	27,0	54,0	81,0	107	135	162	189	216	243	270
0,240	28,1	56,3	84,5	112	141	169	197	225	253	281
0,245	29,3	58,7	88,0	117	147	176	205	235	265	293
0,250	30,5	61,1	91,7	122	152	183	214	244	275	305
0,255	31,8	63,6	95,4	127	159	191	222	254	286	318
0,260	33,0	66,1	99,1	132	165	198	231	264	297	330
0,265	34,3	68,6	103	137	172	206	240	275	309	343
0,270	35,6	71,3	106	142	178	214	249	285	321	356
0,275	37,0	74,0	110	148	185	221	259	296	333	370
0,280	38,3	76,6	115	153	192	230	268	307	345	383
0,285	39,7	79,4	119	159	198	238	278	318	357	397
0,290	41,1	82,2	123	164	205	247	288	329	370	411
0,295	42,5	85,1	128	170	213	255	298	340	383	425
0,300	44,0	88,0	132	176	220	264	308	352	396	440
0,305	45,5	90,9	136	182	227	273	318	364	409	455
0,310	47,0	94,0	140	188	235	282	329	375	423	470
0,315	48,5	97,0	145	194	242	291	339	388	436	485
0,320	50,0	100	150	200	250	300	350	400	450	500
0,325	51,6	103	155	206	258	310	361	413	465	516
0,330	53,2	106	159	213	266	319	373	426	479	532
0,335	54,9	109	164	219	274	329	384	439	494	549
0,340	56,5	113	169	226	282	339	395	452	508	565
0,345	58,2	116	174	232	291	349	407	465	524	582
0,350	59,9	120	180	239	299	359	419	479	539	599
0,355	61,6	123	184	246	308	369	431	493	554	616
0,360	63,3	127	190	253	317	380	443	507	570	633
0,365	65,1	130	195	260	325	391	456	521	586	651
0,370	66,9	134	201	268	335	401	468	535	602	669
0,375	68,7	137	206	275	344	412	481	550	619	687
0,380	70,6	141	212	282	353	423	494	565	635	706
0,385	72,5	145	217	290	362	435	507	580	652	724
0,390	74,3	149	223	297	371	446	520	595	669	743
0,395	76,3	152	229	305	381	458	534	610	686	763
0,400	78,2	156	234	313	391	469	547	626	704	782
0,405	80,1	160	240	321	401	481	561	641	722	802
0,410	82,2	164	246	328	411	493	575	657	739	822
0,415	84,2	168	252	337	417	505	589	673	758	842
0,420	86,2	172	259	345	431	517	604	690	776	862
0,425	88,3	176	265	353	441	530	618	706	795	883
0,430	90,4	181	271	361	452	542	633	723	813	904
0,435	92,5	185	277	370	462	555	647	740	832	925
0,440	94,6	189	284	378	473	568	662	757	852	946
0,445	96,8	194	290	387	484	581	678	774	871	968
0,450	99,0	198	297	396	495	594	693	792	891	990
0,455	101	202	303	404	506	607	708	809	911	1012
0,460	103	207	310	414	517	621	724	827	931	1034
0,465	105	211	317	423	528	634	740	846	951	1057
0,470	107	216	324	431	540	648	756	864	972	1080

Продолжение табл. II.3

Скорость движения воды, м/с	Потери давления, Па, при сумме коэффициентов местных сопротивлений									
	1	2	3	4	5	6	7	8	9	10
0,475	110	220	331	441	551	662	772	882	993	1103
0,480	112	225	338	450	563	670	788	901	1014	1126
0,485	115	230	345	460	575	690	805	920	1035	1150
0,490	117	235	352	469	587	704	821	939	1056	1174
0,495	120	239	359	479	599	719	838	958	1078	1197
0,500	122	244	367	489	611	733	855	978	1100	1222
0,51	127	254	381	509	636	763	890	1017	1144	1271
0,52	132	264	397	529	661	793	925	1057	1189	1322
0,53	137	275	412	549	687	824	961	1098	1236	1373
0,54	142	285	427	570	713	855	998	1140	1283	1425
0,55	148	296	444	591	739	887	1035	1183	1331	1479
0,56	153	306	460	613	766	919	1073	1226	1380	1533
0,57	159	318	476	635	794	963	1111	1271	1429	1588
0,58	164	329	493	658	822	987	1151	1316	1480	1644
0,59	170	340	510	681	851	1021	1191	1361	1531	1701
0,60	176	352	528	704	880	1056	1232	1408	1584	1760
0,61	182	364	545	728	909	1091	1273	1455	1637	1819
0,62	188	376	564	752	940	1127	1315	1503	1691	1879
0,63	194	388	582	776	970	1164	1358	1552	1746	1940
0,64	200	400	600	801	1001	1201	1401	1602	1802	2002
0,65	206	413	619	826	1032	1239	1445	1652	1859	2065
0,66	213	426	639	852	1065	1278	1491	1703	1916	2129
0,67	219	439	658	878	1097	1316	1536	1775	1975	2194
0,68	226	452	678	904	1130	1356	1582	1808	2034	2260
0,69	233	465	698	931	1164	1396	1629	1862	2095	2327
0,70	239	479	719	958	1198	1437	1677	1916	2156	2395
0,71	246	493	739	985	1232	1478	1725	1971	2218	2464
0,72	253	507	760	1014	1267	1520	1774	2027	2281	2534
0,73	260	521	781	1042	1302	1563	1824	2084	2344	2605
0,74	268	535	803	1071	1338	1606	1873	2141	2409	2677
0,75	275	550	825	1100	1375	1650	1925	2200	2475	2750
0,76	282	564	847	1129	1412	1694	1976	2259	2541	2823
0,77	290	580	869	1159	1449	1739	2029	2319	2609	2898
0,78	297	594	892	1190	1487	1784	2082	2379	2676	2974
0,79	305	610	915	1220	1525	1830	2136	2441	2746	3051
0,80	313	626	939	1251	1564	1877	2190	2503	2816	3129
0,85	353	706	1059	1413	1766	2119	2472	2826	3179	3532
0,90	396	792	1188	1584	1980	2376	2772	3168	3564	3960
0,95	441	882	1323	1765	2226	2647	3088	3529	3971	4412
1,00	489	978	1466	1955	2444	2933	3422	3911	4400	4888
1,05	539	1078	1617	2156	2695	3234	3773	4311	4850	5390
1,10	592	1183	1775	2366	2958	3549	4141	4732	5324	5915
1,15	646	1293	1939	2586	3232	3879	4526	5172	5818	6465
1,20	704	1408	2112	2816	3520	4224	4928	5631	6335	7039
1,25	764	1528	2292	3055	3819	4583	5347	6111	6874	7638
1,30	826	1652	2478	3304	4131	4957	5783	6609	7435	8261
1,35	891	1782	2673	3564	4455	5346	6237	7127	8018	8909

Продолжение табл. 11.3

Скорость движения воды, м/с	Потери давления, Па, при сумме коэффициентов местных сопротивлений									
	1	2	3	4	5	6	7	8	9	10
1,40	958	1916	2874	3832	4791	5749	6707	7665	8623	9581
1,45	1028	2056	3083	4111	5139	6167	7194	8222	9250	10278
1,50	1100	2200	3300	4400	5500	6600	7700	8800	9900	10999
1,55	1174	2349	3523	4698	5872	7047	8221	9396	10570	11744
1,60	1251	2503	3754	5006	6257	7509	8760	10011	11263	12514
1,65	1331	2662	3993	5324	6654	7985	9316	10647	11978	13309
1,70	1413	2826	4238	5651	7064	8477	9889	11302	12715	14127
1,75	1497	2994	4491	5988	7485	8982	10480	11977	13473	14971
1,80	1583	3167	4751	6335	7919	9503	11087	12671	14254	15838
1,85	1673	3346	5019	6692	8365	10038	11711	13384	15058	16731
1,90	1764	3529	5294	7060	8824	10588	12353	14118	15883	17647
1,95	1859	3718	5577	7435	9294	11153	13012	14870	16730	18588
2,00	1955	3911	5866	7821	9777	11732	13687	15643	17598	19554
2,05	2054	4109	6163	8218	10272	12326	14381	16435	18489	20544
2,10	2156	4312	6467	8623	10779	12935	15090	17247	19402	21558
2,15	2260	4619	6779	9039	11298	13558	15818	18078	20337	22597
2,20	2366	4732	7098	9464	11830	14196	16562	18928	21294	23660
2,25	2475	4950	7424	9899	12374	14848	17324	19798	22273	24748
2,30	2586	5172	7758	10344	12930	15516	18102	20688	23274	25860
2,35	2700	5399	8099	10798	13498	16198	18897	21597	24297	26997
2,40	2816	5641	8447	11263	14079	16895	19710	22526	25342	28158
2,45	2934	5868	8803	11737	14672	17606	20540	23475	26409	29343
2,50	3055	6111	9165	12212	15276	18331	21387	24442	27498	30553
2,55	3179	6357	9536	12715	15894	19072	22251	25430	28608	31787
2,60	3305	6609	9914	13218	16523	19827	23132	26437	29741	33046
2,65	3433	6866	10299	13731	17164	20597	24031	27464	30896	34329
2,70	3564	7127	10691	14254	17818	21382	24946	28510	32073	35637
2,75	3697	7394	11091	14788	18485	22182	25878	29565	33272	36969
2,80	3833	7665	11498	15330	19163	22996	26828	30661	34493	38325
2,85	3971	7941	11912	15883	19853	23824	27794	31765	35736	39706
2,90	4111	8222	12333	16444	20556	24667	28778	32889	37001	41112
2,95	4254	8508	12763	17017	21271	25525	29779	34034	38288	42542
3,00	4399	8799	13199	17599	21998	26397	30797	35197	39596	43996

Рис. II.1. График для определения дополнительных давлений за счет охлаждения воды в трубах

1 и 2 — двухтрубная система с естественной и искусственной циркуляцией, 3 и 4 — однотрубная система с естественной и искусственной циркуляцией (L — горизонтальное расстояние от главного стояка до расчетного).
 Примечания 1. График составлен для открытой прокладки стояков при изолированных магистральных трубопроводах.
 2. При прокладке стояков в бороздах без изоляции вводят поправочный коэффициент 0,75, при прокладке стояков в бороздах с изоляцией дополнительное давление, образующееся вследствие охлаждения воды, не учитывают.

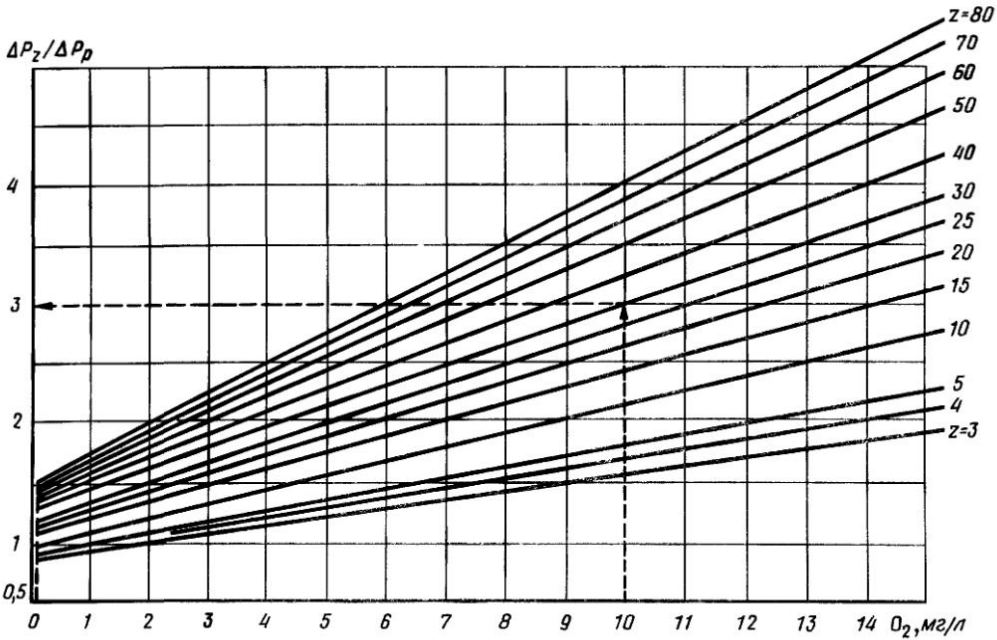
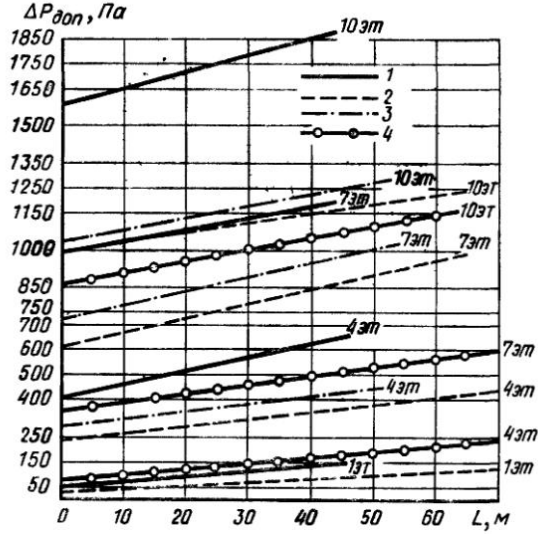


Рис. II.2. Номограмма прогнозирования изменения потерь давления в зависимости от срока эксплуатации и содержания кислорода в теплоносителе системы водяного отопления

ΔP_p и ΔP_2 — расчетные и через 7 лет эксплуатации потери давления в системе отопления, Па, O_2 — содержание кислорода в теплоносителе (воде), мг/л, z — срок эксплуатации системы отопления, лет

РАСЧЕТ ТРУБОПРОВОДОВ ПАРОВОГО

Потери давления на трение на 1 м, Па	Тепловой поток, Вт, (верхняя строка), и скорость движения									
	стальным водогазопроводным обыкновенным (ГОСТ 3262 75*) условным проходом, мм					стальным электросварным				
	10	15	20	25	32	40	50	10	15	20
4,0	230	566	1243	2181	4721	6782	13653	122	354	1219
	1,29	2,05	2,47	2,66	3,27	3,61	4,35	0,94	1,62	2,47
4,5	258	637	1295	2328	5032	7229	14516	137	399	1269
	1,46	2,31	2,58	2,83	3,49	3,85	4,62	1,05	1,82	2,57
5	287	695	1349	2471	5337	7664	15304	153	443	1320
	1,62	2,52	2,68	3,01	3,7	4,08	4,87	1,17	2,02	2,67
5,5	316	720	1330	2607	5599	8038	16123	168	487	1374
	1,78	2,61	2,65	3,17	3,88	4,28	5,13	1,29	2,22	2,79
6	345	746	1393	2724	5876	8433	16907	183	532	1361
	1,94	2,70	2,77	3,32	4,08	4,49	5,38	1,41	2,42	2,76
6,5	374	769	1450	2849	6141	8812	17659	199	576	1413
	2,11	2,79	2,89	3,47	4,26	4,68	5,62	1,52	2,63	2,87
7	403	790	1512	2969	6397	9177	18384	214	612	1473
	2,27	2,87	3,01	3,62	4,44	4,88	5,85	1,64	2,79	2,99
7,5	431	810	1572	3085	6644	9529	19083	229	623	1532
	2,43	2,94	3,13	3,76	4,61	5,07	6,07	1,76	2,84	3,11
8	460	829	1630	3197	6883	9871	19760	244	640	1588
	2,59	3,0	3,24	3,89	4,77	5,25	6,28	1,87	2,92	3,22
8,5	488	846	1686	3306	7115	10202	20417	259	656	1643
	2,75	3,07	3,35	4,02	4,93	5,42	6,49	1,99	2,99	3,33
9	517	863	1741	3413	7341	10524	21055	274	671	1696
	2,91	3,13	3,46	4,15	5,09	5,59	6,70	2,10	3,06	3,43
9,5	544	879	1794	3516	7560	10837	21676	290	685	1748
	3,06	3,19	3,57	4,28	5,24	5,76	6,89	2,22	3,12	3,54
10	546	895	1846	3617	7774	11142	22281	305	698	1799
	3,08	3,24	3,67	4,40	5,39	5,92	7,09	2,34	3,18	3,64
11	569	925	1942	3802	8171	11709	23410	335	723	1892
	3,20	3,35	3,86	4,62	5,66	6,22	7,45	2,58	3,29	3,83
12	590	956	2038	3989	8567	12274	24529	366	745	1986
	3,23	3,46	4,05	4,85	5,94	6,52	7,80	2,80	3,40	4,02
13	608	987	2131	4168	8948	12817	25603	397	766	2076
	3,42	3,58	4,23	5,07	6,20	6,81	8,14	3,04	3,49	4,20
14	625	975	2220	4341	9314	13339	26637	427	786	2163
	3,52	3,53	4,41	5,28	6,46	7,09	8,47	3,27	3,58	4,38
15	641	1010	2306	4507	9668	13843	27635	458	805	2247
	3,61	3,66	4,58	5,48	6,70	7,36	8,79	3,51	3,67	4,55
16	656	1047	2389	4669	10010	14331	28601	461	824	2328
	3,69	3,79	4,75	5,68	6,94	7,62	9,10	3,54	3,76	4,72
17	670	1083	2470	4825	10342	14804	29538	474	843	2407
	3,77	3,93	4,91	5,87	7,17	7,87	9,40	3,63	3,84	4,88
18	684	1118	2549	4977	10664	15263	30447	485	862	2484
	3,85	4,05	5,07	6,06	7,39	8,11	9,69	3,72	3,93	5,03
19	697	1152	2625	5125	10978	15710	31332	496	882	2558
	3,92	4,18	5,22	6,24	7,61	8,35	9,97	3,80	4,02	5,18
20	709	1185	2700	5269	11284	16146	32194	506	904	2631
	3,99	4,30	5,37	6,41	7,82	8,58	10,2	3,88	4,12	5,33
22	734	1246	2838	5537	11855	16961	33813	525	912	2766
	4,13	4,52	5,64	6,74	8,22	9,02	10,7	4,02	4,16	5,60
24	758	1308	2976	5804	12420	17760	35406	542	954	2900
	4,27	4,74	5,92	7,06	8,61	9,45	11,2	4,15	4,35	5,88
26	784	1367	3109	6060	12963	18539	36934	558	997	3029
	4,41	4,95	6,18	7,37	8,99	9,86	11,7	4,27	4,57	6,14
28	780	1424	3236	6307	13485	19283	38405	572	1039	3154
	4,39	5,16	6,43	7,67	9,35	10,2	12,2	4,38	4,74	6,39
30	807	1479	3360	6545	13989	20001	39825	586	1079	3274
	4,54	5,36	6,68	7,96	9,70	10,6	12,6	4,49	4,92	6,63

ТАБЛИЦА II.4

ОТОПЛЕНИЯ НИЗКОГО ДАВЛЕНИЯ ПРИ $K_{ш} = 0,2$ мм

пара, м/с (нижняя строка), по трубам

прямошовным (ГОСТ 10704–76 *) условным проходом, мм

25	32	40	50	65	80	100	125	150	200
2391	4066	6782	12982	29342	46337	80363	141823	230433	552956
2,73	3,15	3,61	4,29	5,29	5,96	6,85	7,91	8,9	11,1
2547	4337	7229	13786	31099	49061	85075	150014	244263	583971
2,90	3,35	3,85	4,56	5,61	6,31	7,25	8,37	9,45	11,7
2703	4600	7664	14535	32931	57934	90024	158686	258310	617271
3,08	3,56	4,08	4,81	5,94	6,68	7,68	8,85	9,99	12,3
2852	4827	8038	15314	34675	54669	94734	166936	271673	648949
3,25	3,73	4,28	5,06	6,26	7,03	8,08	9,31	10,5	13,0
2979	5066	8433	16059	36343	57284	99237	174823	284447	679223
3,4	3,92	4,49	5,31	6,56	7,36	8,46	9,75	11,0	13,6
3116	5296	8812	16774	37944	59794	103558	182391	296702	708265
3,55	4,10	4,69	5,55	6,85	7,69	8,83	10,1	11,5	14,2
3247	5517	9177	17462	39486	62210	107717	189675	308497	736214
3,7	4,27	4,88	5,77	7,12	8,0	9,18	10,6	11,9	14,7
3374	5730	9530	18127	40974	64543	111732	196705	319881	763188
3,85	4,43	5,07	5,99	7,39	8,29	9,53	10,9	12,4	15,3
3496	5937	9871	18770	42414	66799	115617	203507	330894	789277
3,98	4,59	5,25	6,2	7,65	8,58	9,85	11,3	12,8	15,8
3615	6137	10202	19395	43810	68988	119384	210101	341571	814568
4,12	4,74	5,42	6,41	7,90	8,86	10,1	11,7	13,2	16,3
3731	6332	10524	20001	45167	71114	123042	216506	351940	839131
4,25	4,89	5,59	6,61	8,14	9,14	10,4	12,0	13,6	16,8
3844	6522	10837	20591	46487	73182	126602	222737	362027	863023
4,38	5,04	5,76	6,80	8,38	9,40	10,7	12,4	14,0	17,3
3954	6707	11142	21167	47774	75198	130070	228808	371854	886297
4,50	5,18	5,92	6,99	8,61	9,66	11,0	12,7	14,3	17,7
4157	7050	11709	22239	50183	78980	136593	240253	390416	930390
4,74	5,45	6,22	7,35	9,05	10,1	11,6	13,4	15,1	18,6
4360	7393	12274	23303	52561	82704	142999	251462	408556	973336
4,97	5,71	6,52	7,70	9,48	10,6	12,1	14,0	15,8	19,5
4556	7722	12817	24324	54842	86277	149145	262215	425957	1014529
5,19	5,97	6,81	8,04	9,89	11,0	12,7	14,6	16,4	20,3
4744	8038	13339	25307	57038	89716	155059	272562	442702	1054167
5,41	6,21	7,09	8,36	10,2	11,5	13,2	15,2	17,1	21,1
4926	8344	13843	26256	59158	93035	160767	282548	458861	1092414
5,61	6,45	7,36	8,68	10,6	11,9	13,7	15,7	17,7	21,9
5102	8640	14331	27174	61209	96246	166288	292207	474490	1129409
5,81	6,68	7,62	8,98	11,0	12,3	14,1	16,3	18,3	22,6
5273	8927	14804	28065	63197	99359	171641	301571	489640	1165265
6,01	6,90	7,87	9,28	11,4	12,7	14,6	16,8	18,9	23,4
5439	9206	15263	28929	65128	102382	176839	310663	504352	1200084
6,20	7,12	8,11	9,56	11,7	13,1	15,0	17,3	19,5	24,1
5601	9478	15710	29771	67007	105325	181895	319508	518662	1233949
6,38	7,33	8,35	9,84	12,0	13,5	15,5	17,8	20,0	24,7
5758	9742	16146	30590	68837	108188	186821	328123	532602	1266936
6,56	7,57	8,58	10,1	12,4	13,9	15,9	18,3	20,6	25,4
6051	10235	16961	32129	72284	113595	196135	344446	559051	1329682
6,90	7,91	9,02	10,6	13,0	14,6	16,7	19,2	21,6	26,7
6342	10725	17766	33643	75664	118884	205226	360343	584766	1390520
7,23	8,29	9,45	11,1	13,6	15,2	17,5	20,1	22,6	27,9
6621	11194	18539	35096	78905	123958	213946	375591	609430	1448867
7,55	8,65	9,86	11,6	14,2	15,9	18,2	20,9	23,5	29,0
6890	11646	19283	36495	82025	128840	222336	390262	633162	1505008
7,85	9,00	10,2	12,0	14,7	16,5	18,9	21,7	24,5	30,2
7150	12082	20001	37844	85036	133551	230433	404419	656060	1559177
8,15	9,34	10,6	12,5	15,3	17,1	19,6	22,5	25,3	31,3

Потери давления на трение на 1 м, Па	Тепловой поток, Вт, (верхняя строка), и скорость движения									
	стальным водогазопроводным обыкновенным (ГОСТ 3262 75*) условным проходом, мм					стальным электросварным				
	10	15	20	25	32	40	50	10	15	20
32	837	1532	3479	6775	14477	20695	41198	599	1118	3390
	4,71	5,55	6,92	8,24	10,0	11,0	13,1	4,59	5,10	6,87
34	865	1583	3595	6998	14949	21368	42529	612	1156	3503
	4,87	5,74	7,15	8,52	10,3	11,3	13,5	4,69	5,27	7,10
36	893	1634	3707	7215	15409	22022	43822	625	1193	3613
	5,03	5,92	7,37	8,78	10,6	11,7	13,9	4,79	5,44	7,32
38	920	1682	3817	7426	15855	22658	45079	638	1229	3719
	5,18	6,10	7,59	9,04	10,9	12,0	14,3	4,89	5,60	7,54
40	946	1730	3923	7632	16291	23278	46304	651	1264	3823
	5,33	6,27	7,80	9,29	11,3	12,3	14,7	4,99	5,76	7,75
45	1011	1839	4169	8107	17302	24721	49166	663	1343	4062
	5,69	6,67	8,29	9,87	12,0	13,1	15,6	5,08	6,13	8,23
50	1066	1947	4411	8575	18292	26130	51951	697	1423	4299
	6,00	7,06	8,77	10,4	12,6	13,8	16,5	5,34	6,49	8,71
55	1123	2050	4642	9020	19234	27471	54599	735	1499	4524
	6,32	7,43	9,23	10,9	13,3	14,6	17,3	5,63	6,84	9,17
60	1177	2149	4863	9446	20134	28752	57129	771	1571	4740
	6,63	7,79	9,67	11,5	13,9	15,2	18,1	5,91	7,16	9,61
65	1230	2244	5075	9854	20997	29980	59556	805	1641	4946
	6,92	8,13	10,0	11,9	14,5	15,9	18,9	6,17	7,48	10,0
70	1280	2335	5279	10247	21827	31162	61891	838	1708	5145
	7,21	8,47	10,5	12,4	15,1	16,5	19,6	6,42	7,79	10,4
75	1329	2423	5475	10626	22629	32303	64144	870	1772	5337
	7,48	8,78	10,8	12,9	15,6	17,1	20,4	6,67	8,08	10,8
80	1376	2508	5666	10993	23404	33406	66324	901	1835	5522
	7,74	9,09	11,2	13,3	16,2	17,7	21,1	6,91	8,37	11,1
85	1421	2590	5850	11348	24156	34476	68436	931	1895	5702
	8,00	9,39	11,6	13,8	16,7	18,3	21,7	7,14	8,64	11,5
90	1466	2670	6029	11693	24885	35514	70487	961	1954	5877
	8,25	9,68	11,9	14,2	17,2	18,8	22,4	7,36	8,91	11,9
95	1509	2748	6204	12029	25595	36524	72482	989	2011	6047
	8,49	9,97	12,3	14,6	17,7	19,4	23,0	7,58	9,17	12,2
100	1551	2824	6373	12356	26287	37508	74425	1017	2067	6212
	8,73	10,2	12,6	15,0	18,2	19,9	23,6	7,79	9,43	12,5
110	1629	2966	6693	12973	27595	39373	78116	1068	2172	6524
	9,17	10,7	13,7	15,7	19,1	20,9	24,8	8,19	9,90	13,2
120	1707	3107	7006	13577	28871	41188	81700	1120	2275	6829
	9,61	11,2	13,9	16,5	20,0	21,9	26,0	8,58	10,3	13,8
130	1781	3241	7307	14156	30095	42929	85137	1169	2374	7123
	10,0	11,7	14,5	17,2	20,8	22,8	27,0	8,96	10,8	14,4
140	1853	3371	7597	14713	31272	44604	88445	1216	2469	7405
	10,4	12,2	15,1	17,9	21,6	23,7	28,1	9,32	11,2	15,0
150	1922	3496	7876	15251	32408	46221	91636	1262	2561	7677
	10,8	12,6	15,6	18,5	22,4	24,5	29,1	9,67	11,6	15,6
160	1989	3617	8146	15771	33507	47784	94722	1306	2650	7940
	11,2	13,1	16,2	19,2	23,2	25,4	30,1	10,0	12,0	16,0
170	2054	3734	8408	16275	34572	49299	97713	1349	2736	8196
	11,5	13,5	16,7	19,8	23,9	26,2	31,1	10,3	12,4	16,6
180	2117	3848	8662	16764	35606	50770	100617	1391	2819	8444
	11,9	13,9	17,2	20,4	24,7	27,0	32,0	10,6	12,8	17,1
190	2178	3958	8909	17241	36611	52200	103441	1431	2901	8685
	12,2	14,3	17,7	20,9	25,3	27,7	32,9	10,9	13,2	17,6
200	2238	4066	9150	17704	37591	53594	106193	1470	2980	8919
	12,6	14,7	18,2	21,5	26,0	28,5	33,8	11,2	13,5	18,0
220	2350	4269	9606	18584	39453	56246	111438	1544	3129	9364
	13,2	15,4	19,1	22,6	27,3	29,9	35,4	11,8	14,2	18,9

Продолжение табл. II.4

пара, м/с (нижняя строка), по трубам

прямошовным (ГОСТ 10704-76*) условным проходом, мм

25	32	40	50	65	80	100	125	150	200
7401	12504	20695	39150	87948	138108	238264	418112	678207	1611566
8,44	9,67	11,0	12,9	15,8	17,7	20,3	23,3	26,2	32,3
7645	12913	21368	40415	90771	142525	245855	431383	699673	1662343
8,71	9,98	11,3	13,3	16,3	18,3	20,9	24,0	27,0	33,3
7882	13310	22022	41644	93512	146815	253225	444270	720516	1711648
8,98	10,2	11,7	13,7	16,8	18,8	21,5	24,7	27,8	34,4
8112	13696	22658	42840	96179	150987	260395	456804	740788	1759599
9,25	10,5	12,0	14,1	17,3	19,4	22,2	25,4	28,6	35,3
8336	14073	23278	44005	98776	155051	267378	469013	760534	1806305
9,50	10,8	12,3	14,5	17,8	19,9	22,7	26,1	29,4	36,2
8855	14947	24721	46725	104865	164596	283813	497800	807163	1916856
10,0	11,5	13,1	15,4	18,9	21,1	24,1	27,7	31,2	38,4
9366	15804	26130	49373	110767	173827	299669	525515	851979	2022832
10,6	12,2	13,8	16,3	19,9	22,3	25,5	29,3	32,9	40,6
9852	16619	27471	51890	116379	182606	314749	551872	894598	2123611
11,2	12,8	14,6	17,1	20,9	23,4	26,8	30,7	34,6	42,6
10316	17397	28752	54296	121740	190992	329155	577052	935315	2219893
11,7	13,4	15,2	17,9	21,9	24,5	28,0	32,1	36,1	44,5
10761	18144	29980	56604	126883	199036	342972	601201	974365	2312230
12,2	14,0	15,9	18,7	22,8	25,5	29,2	33,5	37,7	46,4
11190	18863	31162	58824	131831	206775	356267	624436	1011937	2401074
12,7	14,5	16,5	19,4	23,7	26,5	30,7	34,8	39,1	48,2
11603	19557	32303	60966	136605	214242	369093	646854	1048187	2486792
13,2	15,1	17,1	20,1	24,6	27,5	31,4	36,0	40,5	49,9
12004	20228	33406	63038	141222	221464	381499	668536	1083247	2569692
13,6	15,6	17,8	20,8	25,4	28,4	32,5	37,2	41,9	51,6
12391	20878	34476	65047	145698	228464	393522	689550	1117225	2692374
14,1	16,1	18,3	21,5	26,2	29,3	33,5	38,4	43,2	54,0
12768	21509	35514	66997	150043	235261	405196	709953	1150218	2770432
14,5	16,6	18,8	22,1	27,0	30,2	34,5	39,6	44,5	55,6
13134	21124	36524	68893	154270	241872	416551	729797	1182306	2846348
14,9	17,1	19,4	22,7	27,8	31,0	35,5	40,7	45,7	57,1
13491	22722	37508	70741	158387	248310	427610	749126	1213559	2920290
15,3	17,5	19,9	23,3	28,5	31,9	36,4	41,7	46,9	58,6
14165	23854	39373	74250	166223	260581	448713	786049	1273316	3062829
16,1	18,4	20,9	24,5	29,9	33,4	38,2	43,8	49,2	61,5
14824	24958	41188	77658	173815	272452	469100	821677	1330920	3199019
16,9	19,3	21,9	25,6	31,5	35,0	39,9	45,8	51,5	64,2
15455	26017	42929	80926	181095	283838	488653	855845	1408426	3329645
17,6	20,1	22,8	26,7	32,6	36,4	41,6	47,7	54,5	66,8
16063	27036	44604	84071	188099	294792	507466	888721	1461593	3455335
18,3	20,9	23,7	27,7	33,9	37,8	43,2	49,5	56,5	69,3
16650	28019	46221	87105	194858	305361	525617	920439	1512892	3576612
18,9	21,6	24,5	28,8	35,1	39,2	44,8	51,3	58,5	71,8
17217	28970	47784	90039	201394	315582	543171	966466	1562509	3693910
19,6	22,4	25,4	29,7	36,3	40,5	46,3	53,9	60,4	74,1
17767	29892	49299	92883	207729	325489	560185	996211	1610597	3807594
20,2	23,1	26,2	30,7	37,4	41,8	47,7	55,5	62,3	76,4
18301	30787	50770	95644	213880	335108	576704	1025093	1657290	3917983
20,8	23,8	27,0	31,6	38,5	43,0	49,1	57,1	64,1	78,6
18820	31657	52200	98330	219862	344463	592770	1053183	1702704	4025344
21,4	24,4	27,7	32,5	39,6	44,2	50,5	58,7	65,8	80,8
19326	32505	53594	100946	225689	353575	608418	1080542	1746937	4129916
22,0	25,1	28,5	33,3	40,7	45,4	51,8	60,2	67,6	82,9
20285	34116	56246	105933	236817	370991	648590	1133283	1832204	4331493
23,1	26,3	29,9	35,0	42,7	47,6	55,3	63,2	70,9	86,9

Потери давления на трение на 1 м, Па	Тепловой поток, Вт, (верхняя строка), и скорость движения									
	стальным водогазопроводным обыкновенным (ГОСТ 3262-75*) условным проходом, мм					стальным электросварным				
	10	15	20	25	32	40	50	10	15	20
240	2461	4468	10050	19439	41260	58816	116510	1617	3276	9797
	13,8	16,2	19,9	23,6	28,6	31,2	37,0	12,4	14,9	19,8
260	2567	4659	10477	20259	42992	61281	121371	1687	3416	10213
	14,4	16,9	20,8	24,6	29,8	32,5	38,6	12,9	15,5	20,7
280	2668	4843	10887	21048	44659	63652	126055	1754	3551	10613
	15,0	17,5	21,6	25,6	30,9	33,8	40,1	13,4	16,2	21,5
300	2767	5020	11282	21810	46267	65939	130570	1819	3682	10998
	15,5	18,2	22,4	26,5	32,0	35,0	41,5	13,9	16,7	22,2
320	2862	5192	11665	22546	47822	68152	134937	1882	3808	11372
	16,1	18,8	23,2	27,4	33,1	36,2	42,9	14,4	17,3	23,0
340	2954	5358	12036	23260	49330	70296	139170	1943	3930	11733
	16,6	19,4	23,9	28,3	34,2	37,4	44,3	14,9	17,9	23,8
360	3043	5519	12396	23953	50793	72379	143279	2002	4048	12084
	17,1	20,0	24,7	29,2	35,2	38,5	45,6	15,3	18,5	24,5
380	3130	5676	12747	24627	52217	74404	147276	2059	4164	12426
	17,6	20,6	25,4	30,0	36,2	39,6	46,9	15,8	19,0	25,2
400	3215	5829	13088	25284	53603	76376	151169	2115	4276	12759
	18,1	21,1	26,0	30,8	37,2	40,6	48,1	16,2	19,5	25,8
450	3413	6188	13892	26834	56884	81047	160404	2246	4540	13542
	19,2	22,4	27,6	32,7	39,5	43,1	51,1	17,2	20,7	27,5
500	3606	6535	14666	28324	60030	85522	172008	2373	4796	14298
	20,3	23,7	29,2	34,5	41,6	45,5	54,7	18,1	21,9	28,9

ТАБЛИЦА П.5

**ПОТЕРИ ДАВЛЕНИЯ НА МЕСТНЫЕ СОПРОТИВЛЕНИЯ ДЛЯ РАСЧЕТА
ТРУБОПРОВОДОВ ПАРОВОГО ОТОПЛЕНИЯ НИЗКОГО ДАВЛЕНИЯ**

Скорость движения пара, м/с	Потери давления, Па, при сумме коэффициентов местных сопротивлений									
	1	2	3	4	5	6	7	8	9	10
3,00	2,9	5,7	8,6	11,4	14,3	17,1	20,0	22,8	25,7	28,5
3,50	3,9	7,8	11,6	15,5	19,4	23,3	27,2	31,1	34,9	38,8
4,00	5,1	10,1	15,2	20,3	25,3	30,4	35,5	40,6	45,6	50,7
4,50	6,4	19,2	19,2	25,7	32,1	38,5	44,9	51,3	57,7	64,2
5,00	7,9	15,8	23,8	31,7	39,6	47,5	55,4	63,4	71,3	79,2
5,50	9,6	19,2	28,8	38,3	47,9	57,5	67,1	76,7	86,3	95,8
6,00	11,4	22,8	34,2	45,6	57,0	68,4	79,8	91,3	103	114
6,50	13,4	26,8	40,2	53,5	66,9	80,3	93,7	107	120	134
7,00	15,5	31,1	46,6	62,1	77,7	93,2	109	124	139	155
7,50	17,8	35,6	53,5	71,3	89,1	107	125	143	160	178
8,00	20,3	40,6	60,8	81,1	101	122	142	162	182	203
8,50	22,9	54,8	68,7	91,6	114	137	160	183	206	229
9,00	25,7	51,3	77,0	103	128	154	179	205	231	257
9,50	28,6	57,2	85,8	114	143	172	200	229	257	286
10,00	31,7	63,4	95,1	127	158	190	222	253	285	317
10,50	34,9	69,9	105	140	175	110	244	279	314	349
11,00	38,3	76,7	115	153	192	230	268	307	345	383
11,50	41,9	83,8	125	168	209	251	293	335	377	419
12,00	45,6	91,3	137	182	228	274	319	365	411	456
12,50	49,5	99,0	148	198	247	297	347	396	446	495
13,00	53,5	107	161	214	268	321	375	428	482	535
13,50	57,7	115	173	231	289	346	404	462	511	577

Продолжение табл. II 4

пара, м/с (нижняя строка), по трубам

прямошовным (ГОСТ 10704–76*) условным проходом, мм

25	32	40	50	65	80	100	125	150	200
21218	35679	58816	110756	247557	387786	677430	1183675	1913674	4524096
24,1	27,5	31,2	36,2	44,6	49,8	57,7	66,0	74,0	90,8
22114	37179	61281	115381	257858	403892	705091	1232008	1991815	4708829
25,2	28,7	32,5	38,1	46,5	51,9	60,1	68,7	77,0	94,5
22974	38622	63652	119831	267768	426123	731708	1278515	2067004	4886585
26,2	29,8	33,8	39,6	48,3	54,7	62,3	71,3	79,9	98,1
23805	40014	65939	124125	277330	441079	757389	1323389	2139553	5058095
27,1	30,9	35,0	41,0	50,0	56,6	64,5	73,8	82,7	101
24608	41360	68152	128277	286578	455544	782229	1366790	2209721	5223976
28,0	31,9	36,2	42,4	51,6	58,5	66,6	76,2	85,5	104
25387	42665	70296	132302	300314	469565	806303	1408855	2277728	5384752
28,9	32,9	37,4	43,7	54,2	60,3	68,7	78,6	88,1	108
26143	43931	72379	136209	309020	483178	829679	1449700	2343763	5540865
29,8	33,9	38,5	45,0	55,7	62,1	70,7	80,9	90,7	111
26878	45164	74404	140010	317488	496418	852414	1489426	2407987	5692699
30,6	34,9	39,6	46,3	57,3	63,8	72,7	83,1	93,2	114
27594	46363	76376	143711	325736	509314	874558	1528118	2470543	5840585
31,5	35,8	40,6	47,5	58,7	65,5	74,6	85,2	95,6	117
29286	49202	81047	152492	345495	540209	927609	1620814	2620406	6194877
33,4	38,0	43,1	50,4	62,3	69,4	79,1	90,4	101	124
30901	51925	85522	163555	364184	569430	977786	1708488	2762149	6529972
35,3	40,1	45,5	54,1	65,7	73,2	83,4	95,3	107	131

Продолжение табл. II 5

Скорость движения пара, м/с	Потери давления, Па, при сумме коэффициентов местных сопротивлений									
	1	2	3	4	5	6	7	8	9	10
14,00	62,1	124	186	248	310	372	435	497	559	621
14,50	66,6	133	200	266	333	399	466	533	599	666
15,00	71,3	143	214	285	356	428	499	570	642	713
15,50	76,1	152	228	304	381	457	532	609	685	761
16,00	81,1	162	243	324	406	487	568	649	730	811
16,50	86,5	172	259	345	431	517	604	690	776	863
17,00	91,6	183	275	366	458	549	641	733	824	916
17,50	97,0	194	291	388	485	582	670	776	873	970
18,00	103	205	308	410	513	616	719	821	924	1027
18,50	108	217	325	434	542	651	759	867	976	1084
19,00	114	229	343	457	572	686	801	915	1029	1144
19,50	120	241	361	482	602	723	843	964	1084	1205
20,00	127	253	380	507	634	760	887	1014	1141	1267
21,00	140	279	419	559	699	838	978	1118	1258	1397
22,00	153	307	460	613	767	920	1073	1227	1380	1534
23,00	168	335	530	670	838	1006	1173	1341	1509	1676
24,00	183	365	548	730	913	1096	1278	1460	1643	1825
25,00	198	396	594	792	990	1188	1386	1584	1782	1980
26,00	214	428	643	857	1071	1285	1499	1714	1928	2142
27,00	231	462	693	924	1155	1386	1617	1848	2079	2310
28,00	248	497	745	994	1242	1490	1739	1987	2236	2484
29,00	266	533	799	1066	1332	1599	1865	2132	2398	2665
30,00	285	570	855	1141	1426	1711	1996	2281	2566	2852

РАСЧЕТ ТРУБОПРОВОДОВ ПАРОВОГО ОТОПЛЕНИЯ

Потери давления на трение на 1 м, Па	Количество проходящего пара, кг/ч (верхняя строка), и						
	стальным водопроводным обыкновенным (ГОСТ 3262-75*) условным проходом, мм						
	10	15	20	25	32	40	50
30	1,7	3,1	7,0	13,5	28,9	41,1	81,8
	3,71	4,37	5,43	6,46	7,85	8,56	10,2
35	1,8	3,3	7,5	14,6	31,1	44,3	88,1
	4,03	4,73	5,85	6,95	8,44	9,24	10,9
40	2,0	3,6	8,1	15,6	33,3	47,6	94,5
	4,33	5,06	6,28	7,46	9,06	9,91	11,8
45	2,1	3,8	8,6	16,6	35,4	50,6	100
	4,59	5,39	6,68	7,94	9,63	10,5	12,5
50	2,2	4,0	9,1	17,6	37,4	53,4	106
	4,86	5,7	7,07	8,39	10,2	11,1	13,2
55	2,3	4,2	9,5	18,5	39,3	56,2	111
	5,12	6,00	7,43	8,82	10,7	11,7	13,9
60	2,4	4,4	10,0	19,4	41,2	58,7	116
	5,36	6,29	7,78	9,23	11,2	12,2	14,5
65	2,5	4,6	10,4	20,2	42,9	61,1	121
	5,6	6,56	8,11	9,63	11,7	12,7	15,2
70	2,6	4,8	10,8	21,0	44,6	63,6	126
	5,82	6,82	8,44	10,0	12,1	13,3	15,7
75	2,7	5,0	11,2	21,7	46,2	65,9	130
	6,04	7,08	8,75	10,3	12,6	13,7	16,3
80	2,8	5,2	11,6	22,5	47,8	68,2	135
	6,25	7,32	9,05	10,7	13,0	14,2	16,9
85	2,9	5,3	12,0	23,2	49,3	70,3	139
	6,46	7,56	9,34	11,1	13,4	14,7	17,4
90	3,0	5,5	12,3	23,9	50,8	72,4	143
	6,65	7,79	9,62	11,4	13,8	15,1	17,9
95	3,1	5,6	12,7	24,6	52,2	74,5	147
	6,85	8,02	9,9	11,7	14,2	15,5	18,4
100	3,2	5,8	13,0	25,3	53,6	76,5	151
	7,04	8,24	10,2	12,0	14,6	15,9	18,9
110	3,3	6,1	13,7	26,5	56,3	80,3	159
	7,39	8,64	10,7	12,6	15,3	16,7	19,8
120	3,5	6,4	14,3	27,7	58,9	83,9	166
	7,73	9,05	11,1	13,2	16,0	17,5	20,7
130	3,7	6,6	14,9	28,9	61,3	87,5	173
	8,07	9,4	11,6	13,8	16,7	18,2	21,6
140	3,8	6,9	15,5	30,0	63,7	90,8	179
	8,39	9,81	12,1	14,3	17,3	18,9	22,4
150	3,9	7,2	16,1	31,1	66,0	94,1	186
	8,70	10,1	12,5	14,8	17,9	19,6	23,2
160	4,1	7,4	16,6	32,2	68,3	97,3	192
	9,0	10,5	12,9	15,3	18,5	20,2	24,0
170	4,2	7,6	17,2	33,2	70,4	100	198
	9,29	10,9	13,4	15,8	19,2	20,9	24,8
180	4,3	7,9	17,7	34,2	72,5	103	204
	9,6	11,2	13,8	16,3	19,7	21,5	25,5
190	4,5	8,1	18,2	35,1	74,5	106	210
	9,8	11,5	14,2	16,7	20,3	22,1	26,2
200	4,6	8,3	18,7	36,1	76,5	109	215
	10,1	11,8	14,6	17,2	20,8	22,7	26,9
220	4,8	8,7	19,6	37,9	80,3	114	226
	10,6	12,4	15,3	18,1	21,8	23,8	28,2
240	5,0	9,1	20,5	39,6	83,9	119	236
	11,1	12,9	15,9	18,9	22,8	24,9	29,5

ТАБЛИЦА II.6

ВЫСОКОГО ДАВЛЕНИЯ ПРИ $K_{ш} = 0,2$ мм

скорость движения пара, м/с (нижняя строка), по трубам

стальным электросварным прямошовным (10704-76*) условным проходом, мм												
10	15	20	25	32	40	50	65	80	100	125	150	200
1,1	2,2	6,8	14,8	24,9	41,1	77,8	174	273	472	825	1340	3185
3,3	4,0	5,39	6,60	7,53	8,56	10,1	12,3	13,8	15,8	18,0	20,3	25,0
1,2	2,4	7,3	15,9	26,8	44,3	83,8	187	294	507	890	1443	3425
3,58	4,35	5,81	7,11	8,13	9,24	10,8	13,3	14,8	16,9	19,5	21,9	26,9
1,3	2,6	7,8	17,1	28,8	47,6	89,8	201	315	544	953	1545	3667
3,86	4,66	6,23	7,63	8,72	9,91	11,6	14,2	15,9	18,2	20,8	23,4	28,9
1,4	2,8	8,4	18,2	30,6	50,6	95,5	213	335	577	1012	1641	3893
4,09	4,96	6,64	8,12	9,28	10,5	12,4	15,1	16,9	19,3	22,1	24,9	30,6
1,4	2,9	8,8	19,2	32,4	53,4	101	226	354	610	1069	1732	4174
4,34	5,25	7,02	8,58	9,81	11,1	13,1	15,9	17,8	20,3	23,4	26,3	32,8
1,5	3,1	9,3	20,2	34,0	56,2	106	237	372	640	1122	1818	4377
4,57	5,53	7,38	9,02	10,3	11,7	13,7	16,7	18,7	21,4	24,5	27,6	34,5
1,6	3,2	9,7	21,1	35,6	58,7	110	248	389	669	1173	1900	4572
4,8	5,8	7,7	9,44	10,8	12,2	14,4	17,5	19,6	22,4	25,6	28,8	35,9
1,7	3,4	10,2	22,0	37,1	61,2	115	258	405	697	1222	1979	4759
4,99	6,04	8,06	9,85	11,2	12,7	14,9	18,3	20,4	23,3	26,7	30,0	37,5
1,7	3,5	10,6	22,9	38,6	63,6	120	268	420	724	1269	2055	4938
5,2	6,3	8,4	10,2	11,7	13,2	15,5	18,9	21,2	24,2	27,7	31,1	38,9
1,8	3,6	10,9	23,7	40,0	65,9	124	278	435	750	1314	2162	5112
5,4	6,52	8,69	10,6	12,1	13,7	16,1	19,7	21,9	25,1	28,7	32,8	40,2
1,9	3,8	11,3	24,6	41,3	68,2	128	287	450	775	1358	2233	5279
5,59	6,75	8,99	10,9	12,5	14,2	16,6	20,3	22,7	25,9	29,7	33,9	41,5
1,9	3,9	11,7	25,3	42,6	70,3	132	296	464	779	1400	2302	5442
5,8	6,97	9,2	11,3	12,9	14,7	17,2	20,9	23,4	26,7	30,6	34,9	42,8
2,0	4,0	12,0	26,1	43,9	72,4	136	305	478	823	1465	2368	5600
5,95	7,18	9,56	11,7	13,3	15,1	17,7	21,6	24,1	27,5	32,0	35,9	44,1
2,0	4,1	12,4	26,8	45,2	74,5	140	313	491	846	1505	2433	5753
6,12	7,38	9,84	11,9	13,7	15,5	18,2	22,2	24,8	28,3	32,9	36,9	45,2
2,1	4,2	12,7	27,6	46,4	76,5	144	322	505	869	1544	2496	5903
6,3	7,6	10,1	12,3	14,1	15,9	18,7	22,7	25,4	29,0	33,7	37,8	46,4
2,2	4,5	13,4	28,9	48,7	80,3	151	338	529	911	1619	2618	6191
6,61	7,9	10,6	12,9	14,7	16,7	19,6	23,9	26,7	30,4	35,4	39,7	48,7
2,3	4,7	14,0	30,3	50,9	83,9	158	353	553	968	1692	2735	6466
6,92	8,35	11,1	13,5	15,4	17,5	20,5	24,9	27,9	32,4	36,9	41,5	50,9
2,4	4,9	14,6	31,5	53,1	87,5	165	368	576	1007	1761	2846	6730
7,22	8,70	11,6	14,1	16,1	18,2	21,3	26,0	29,0	33,7	38,5	43,2	52,9
2,5	5,1	15,1	32,8	55,1	90,8	171	382	598	1046	1827	2954	6985
7,51	9,05	12,0	14,6	16,7	18,9	22,1	27,0	30,1	34,9	39,9	44,8	54,9
2,6	5,2	15,7	34,0	57,1	94,1	177	396	620	1082	1891	3058	7229
7,79	9,38	12,5	15,2	17,3	19,6	22,9	27,9	31,2	36,1	41,3	46,4	56,9
2,7	5,4	16,2	35,1	59,0	97,3	183	409	651	1118	1953	3158	7466
8,06	9,7	12,9	15,7	17,9	20,3	23,7	28,9	32,8	37,4	42,7	47,9	58,8
2,8	5,6	16,7	36,2	60,9	100	189	422	671	1152	2013	3255	7696
8,31	10,0	13,3	16,2	18,5	20,9	24,5	29,8	33,8	38,5	44,0	49,4	60,6
2,9	5,8	17,2	37,3	62,7	103	194	434	690	1186	2072	3350	7919
8,6	10,3	13,7	16,7	19,0	21,5	25,2	30,7	34,8	39,6	45,3	50,8	62,3
2,9	5,9	17,7	38,4	64,5	106	199	454	709	1218	2128	3441	8136
8,8	10,6	14,1	17,1	19,5	22,1	25,9	32,1	35,7	40,7	46,5	52,2	64,0
3,0	6,1	18,2	39,4	66,2	109	205	465	728	1250	2184	3531	8348
9,06	10,9	14,5	17,6	20,0	22,7	26,6	32,9	36,7	41,7	47,7	53,5	65,7
3,2	6,4	19,1	41,3	69,4	114	215	488	763	1311	2290	3703	8755
9,5	11,4	15,2	18,5	21,0	23,8	27,9	34,5	38,5	43,8	50,1	56,2	68,9
3,3	6,7	20,0	43,2	72,6	119	225	510	797	1369	2392	3868	9144
9,9	11,9	15,9	19,3	22,0	24,9	29,2	36,1	40,1	45,8	52,3	58,6	71,9

Потери давления на трение на 1 м, Па	Количество проходящего пара, кг/ч (верхняя строка), и						
	стальным водогазопроводным обыкновенным (ГОСТ 3262-75 *) условным проходом, мм						
	10	15	20	25	32	40	50
260	5,3	9,5	21,4	41,3	87,4	124	246
	11,6	13,5	16,6	19,7	23,8	25,9	30,7
280	5,5	9,9	22,2	42,9	90,8	129	260
	12,0	14,0	17,3	20,4	24,7	26,9	32,5
300	5,7	10,2	23,0	44,4	94,1	134	269
	12,5	14,6	17,9	21,2	25,6	27,9	33,6
320	5,8	10,6	23,8	45,9	97,2	138	278
	12,9	15,1	18,5	21,9	26,4	28,8	34,7
340	6,0	10,9	24,5	47,3	100	142	286
	13,3	15,5	19,1	22,6	27,3	29,7	35,8
360	6,2	11,3	25,2	48,7	103	147	295
	13,7	15,9	19,7	23,2	28,1	30,6	36,8
380	6,4	11,6	26,0	50,1	106	151	303
	14,1	16,5	20,3	23,9	28,8	31,5	37,8
400	6,6	11,9	26,6	51,4	109	158	311
	14,5	16,9	20,8	24,5	29,6	32,8	38,8
450	7,0	12,6	28,3	54,6	115	167	329
	15,4	17,9	22,0	26,0	31,4	34,8	41,1
500	7,4	13,3	29,8	57,6	123	176	347
	16,2	18,9	23,3	27,5	33,7	36,7	43,3
550	7,7	14,0	31,3	60,4	130	185	364
	17,0	19,9	24,4	28,8	35,3	38,5	45,5
600	8,1	14,6	32,8	63,2	136	193	381
	17,8	20,8	25,5	30,1	36,9	40,2	47,5
650	8,4	15,2	34,1	65,8	141	201	396
	18,6	21,6	26,6	31,4	38,4	41,8	49,4
700	8,7	15,8	35,4	69,4	146	208	411
	19,3	22,5	27,6	33,1	39,8	43,4	51,3
750	9,1	16,4	36,7	71,9	152	216	426
	20,0	23,3	28,6	34,3	41,2	44,9	53,1
800	9,4	16,9	37,9	74,2	156	223	439
	20,7	24,1	29,6	35,4	42,6	46,5	54,8
850	9,7	17,5	39,1	76,5	161	229	453
	21,3	24,8	30,5	36,5	43,9	47,9	56,6
900	9,9	18,0	40,3	78,7	166	236	466
	21,9	25,5	31,4	37,5	45,2	49,3	58,2
950	10,2	18,5	42,1	80,9	171	243	479
	22,6	26,3	32,8	38,6	46,4	50,6	59,8
1000	10,5	19,0	43,1	83,0	175	249	492
	23,1	26,9	33,6	39,6	47,6	51,9	61,3
1100	11,0	19,9	45,2	87,0	184	261	515
	24,3	28,3	35,3	41,5	49,9	54,5	64,3
1200	11,5	20,8	47,3	91	192	273	538
	25,4	29,6	36,8	43,3	52,2	56,9	67,2
1300	12,0	21,7	49,2	94,6	199	284	561
	26,5	30,8	38,3	45,1	54,3	59,2	69,9
1400	12,5	22,9	51,0	98,2	207	295	582
	27,5	32,5	39,8	46,8	56,3	61,4	72,6
1500	12,9	23,7	52,8	101	214	305	602
	28,5	33,7	41,2	48,5	58,3	63,6	75,1
1600	13,3	24,5	54,6	105	221	315	622
	29,4	34,7	42,5	50,0	60,2	65,7	77,6
1700	13,7	25,2	56,3	108	228	325	641
	30,3	35,8	43,8	51,6	62,1	67,7	79,9
1800	14,2	25,9	57,9	111	235	334	659
	31,2	36,9	45,1	53,1	63,9	69,6	82,3

Продолжение табл. II 6

скорость движения пара, м/с (нижняя строка), по грубам

стальным электросварным прямошовным (10704-76*) условным проходом мм												
10	15	20	25	32	40	50	65	80	100	125	150	200
3,5	7,0	20,8	45,0	75,6	124	234	530	830	1425	2490	4026	9518
10,4	12,5	16,5	20,1	22,9	25,9	30,4	37,5	41,8	47,6	54,4	61,0	74,9
3,6	7,3	21,6	46,8	78,6	129	247	551	861	1479	2584	4178	9877
10,8	12,9	17,2	20,9	23,8	26,9	32,0	38,9	43,4	49,4	56,5	63,3	77,7
3,7	7,5	22,4	48,4	81,4	134	256	570	891	1531	2675	4324	10224
11,2	13,4	17,8	21,6	24,7	27,9	33,2	40,3	44,9	51,2	58,5	65,6	80,5
3,9	7,8	23,2	50,1	84,1	138	264	589	921	1581	2762	4466	10560
11,6	13,9	18,4	22,4	25,5	28,9	34,3	41,6	46,4	52,8	60,4	67,7	83,1
4,0	8,0	23,9	51,6	86,7	142	272	607	949	1629	2847	4604	10884
11,9	14,3	18,9	23,1	26,3	29,8	35,3	42,9	47,8	54,5	62,2	69,8	85,6
4,1	8,3	24,6	53,2	89,3	147	280	624	976	1677	2930	4737	11200
12,3	14,7	19,6	23,7	27,1	30,6	36,3	44,2	49,2	56,0	64,0	71,8	88,1
4,2	8,5	25,3	54,7	91,8	151	288	642	1003	1723	3010	4867	11507
12,6	15,2	20,1	24,4	27,8	31,5	37,3	45,4	50,5	57,6	65,8	73,8	90,5
4,3	8,7	26,0	56,1	94,2	157	296	658	1029	1767	3088	4993	11806
12,9	15,6	20,6	25,1	28,5	32,8	38,3	46,5	51,8	59,1	67,5	75,7	92,9
4,6	9,3	27,6	59,5	100	167	313	698	1092	1875	3276	5296	12522
13,8	16,6	21,9	26,6	30,3	34,8	40,6	49,3	55,0	62,6	71,6	80,3	98,5
4,8	9,8	29,1	62,8	107	176	330	736	1151	1976	3453	5583	13199
14,5	17,5	23,1	28,1	32,5	36,7	42,8	52,0	57,9	66,0	75,5	84,7	103
5,1	10,3	30,5	66,0	112	184	346	772	1207	2072	3622	5855	13843
15,3	18,4	24,3	29,5	34,1	38,5	44,9	54,5	60,8	69,3	79,2	88,8	108
5,3	10,7	31,9	68,9	117	193	362	806	1261	2165	3783	6116	14459
15,9	19,2	25,4	30,8	35,6	40,2	46,9	57,0	63,5	72,3	82,7	92,7	113
5,5	11,2	33,3	73,0	122	201	377	839	1312	2253	3937	6366	15049
16,7	19,9	26,4	32,6	37,1	41,9	48,8	59,3	66,1	75,3	86,1	96,5	118
5,8	11,6	34,5	75,7	127	208	391	871	1362	2338	4086	6606	15617
17,3	20,8	27,4	33,8	38,4	43,5	50,7	61,6	68,6	78,1	89,3	100	122
6,0	12,0	35,8	78,4	131	215	405	902	1409	2420	4229	6838	16166
17,9	21,5	28,4	35,0	39,8	44,9	52,5	63,7	71,0	80,9	92,5	103	127
6,2	12,4	37,0	81,0	135	223	418	931	1456	2500	4368	7062	16696
18,5	22,2	29,4	36,2	41,1	46,5	54,2	65,8	73,3	83,5	95,5	107	131
6,4	12,8	38,1	83,5	139	229	431	959	1500	2577	4503	7279	17210
19,1	22,9	30,3	37,3	42,3	47,9	55,8	67,8	75,6	86,1	98,4	110	135
6,6	13,2	39,3	85,9	144	236	443	988	1544	2651	4633	7491	17709
19,7	23,6	31,2	38,4	43,6	49,3	57,4	69,8	77,8	88,6	101	113	139
6,7	13,6	41,0	88,2	148	243	455	1014	1586	2724	4760	7696	18194
20,2	24,3	32,6	39,4	44,8	50,6	59,0	71,7	79,9	91,0	104	116	143
6,9	13,9	42,1	90,5	151	249	467	1041	1628	2795	4884	7896	18667
20,8	24,9	33,4	40,4	45,9	51,9	60,6	73,6	82,0	93,4	106	119	147
7,3	14,6	44,1	95,0	159	261	490	1092	1707	2931	5122	8281	19578
21,8	26,1	35,1	42,4	48,2	54,5	63,5	77,2	85,9	97,9	111	125	154
7,6	15,3	46,1	99,2	166	273	512	1140	1783	3062	5350	8649	20448
22,8	27,3	36,6	44,3	50,3	56,9	66,4	80,6	89,8	102	117	131	161
7,9	15,9	48,0	103	173	284	533	1187	1856	3187	5569	9002	21283
23,7	28,5	38,1	46,1	52,4	59,2	69,1	83,9	93,5	106	122	136	167
8,2	16,5	49,8	107	179	294	553	1231	1926	3307	5778	9342	22087
24,7	29,6	39,5	47,8	54,3	61,4	71,7	87,1	97,0	110	126	141	174
8,5	17,1	51,5	111	185	305	572	1275	1994	3423	5981	9670	22862
25,6	30,6	40,9	49,5	56,3	63,6	74,2	90,1	100	114	130	146	179
8,8	18,0	53,2	114	192	315	591	1317	2059	3535	6177	9988	23611
26,4	32,2	42,2	51,1	58,1	65,7	76,6	93,1	103	118	135	151	185
9,1	18,6	54,8	118	198	325	609	1357	2122	3644	6368	10296	
27,2	33,1	43,6	52,7	59,9	67,7	78,9	95,9	106	121	139	156	
9,3	19,1	56,4	121	203	334	627	1397	2183	3750	6552	10593	
28,0	34,1	44,8	54,2	61,6	69,6	81,2	98,7	110	125	143	160	

	Потери давления на трение на 1 м, Па	Количество проходящего пара, кг/ч (верхняя строка), и						
		стальным водогазопроводным обыкновенным (ГОСТ 3262-75*) условным проходом, мм						
		10	15	20	25	32	40	50
1900	14,8	26,7	59,5	114	241	343	677	
	32,6	37,9	46,3	54,5	65,6	71,6	84,5	
2000	15,2	27,3	61,0	117	247	352	695	
	33,5	38,8	47,6	55,9	67,3	73,4	86,7	
2100	15,5	28,0	62,5	120	253	361	712	
	34,3	39,8	48,7	57,3	69,0	75,2	88,8	
2200	15,9	28,7	64,0	123	259	369	729	
	35,1	40,8	49,9	58,7	70,6	77,0	90,9	
2300	16,3	29,3	65,4	125	265	377	745	
	35,9	41,7	51,0	60,0	72,2	78,7	93,0	
2400	16,6	30,0	66,8	128	271	386	761	
	36,7	42,6	52,1	61,3	73,8	80,4	95,0	
2500	17,0	30,6	68,2	131	277	394	777	
	37,4	43,4	53,2	62,6	75,3	82,1	96,9	
2600	17,3	31,2	69,6	133	282	401	792	
	38,1	44,3	45,2	63,8	76,8	83,7	98,9	
2700	17,6	31,8	70,9	136	288	409	808	
	38,9	45,1	55,2	65,0	78,2	85,3	100	
2800	17,9	32,4	72,2	139	293	417	823	
	39,6	45,9	56,2	66,2	79,7	86,9	102	
2900	18,3	32,9	73,5	141	298	424	837	
	40,3	46,8	57,2	67,4	81,0	88,4	104	
3000	18,6	33,5	74,7	143	303	431	851	
	41,0	47,6	58,2	68,5	82,5	89,9	106	
3500	20,1	36,2	80,7	155	328	466	919	
	44,3	51,4	62,9	74,0	89,1	97,1	114	
4000	21,5	38,7	86,3	166	350	498	983	
	47,3	54,9	67,2	79,2	95,2	103	122	
4500	22,8	41,0	91,5	176	371	528	1043	
	50,2	58,3	71,3	83,9	101	110	130	
5000	24,0	43,2	96,5	185	391	557	1099	
	52,9	61,5	75,2	88,5	106	116	137	
6000	26,3	47,4	105	203	429	610	1204	
	57,9	67,3	82,3	96,9	116	127	150	
7000	28,4	51,2	114	219	463	659	1300	
	62,6	72,7	88,9	104	125	137	162	
8000	30,3	54,7	122	234	495	704	1390	
	66,9	77,7	95,1	111	134	146	173	
8000	33,9	61,2	136	262	554	787	1554	
10000	74,8	86,9	106	125	150	164	193	

ТАБЛИЦА П.7

**ЭКВИВАЛЕНТНЫЕ ДЛИНЫ $l_{экв}$ МЕСТНЫХ СОПРОТИВЛЕНИЙ
ДЛЯ РАСЧЕТА ТРУБОПРОВОДОВ ПАРОВОГО ОТОПЛЕНИЯ
ВЫСОКОГО ДАВЛЕНИЯ ПРИ $K_{тр} = 0,2$ ММ**

Условный проход, мм	Значения $l_{экв}$, м, при сумме коэффициентов местных сопротивлений $\Sigma \zeta$														
	0,6	1,0	1,5	2,0	2,5	3,0	3,5	4,0	4,5	5,0	6,0	7,0	8,0	9,0	10,0
10	0,14	0,23	0,34	0,46	0,57	0,69	0,80	0,92	1,03	1,15	1,37	1,60	1,83	2,06	2,29
15	0,20	0,33	0,49	0,65	0,82	0,98	1,14	1,31	1,47	1,63	1,96	2,29	2,94	2,94	3,27
20	0,34	0,56	0,85	1,13	1,41	1,69	1,97	2,26	2,54	2,82	3,38	3,95	4,51	5,08	5,64
25	0,50	0,83	1,24	1,65	2,07	2,48	2,89	3,31	3,72	4,13	4,96	5,78	6,61	7,44	8,26
32	0,64	1,07	1,60	2,13	2,67	3,20	3,73	4,27	4,80	5,33	6,40	7,47	8,53	9,59	10,67
40	0,82	1,36	2,04	2,72	3,40	4,09	4,77	5,45	6,13	6,81	8,17	9,53	10,90	12,26	13,62

Продолжение табл. 11.6

скорость движения пара, м/с (нижняя строка), по трубам

сталным электросварным прямошовным (10704–76*) условным проходом, мм												
10	15	20	25	32	40	50	65	80	100	125	150	200
9,6	19,6	58,0	124	209	343	644	1435	2243	3852	6732	10883	
28,8	35,1	46,1	55,7	63,3	71,6	83,5	101	113	128	147	165	
9,9	20,1	59,5	128	214	352	661	1472	2302	3952	6907	11166	
29,6	35,9	47,3	57,2	64,9	73,4	85,6	104	115	132	150	169	
10,1	20,6	61,0	131	219	361	677	1508	2359	4050	7077	11442	
30,3	36,8	48,4	58,6	66,6	75,2	87,7	106	118	135	154	173	
10,3	21,1	62,4	134	224	369	693	1544	2414	4145	7244	11711	
31,0	37,7	49,5	59,9	68,1	77,0	89,8	109	121	138	158	177	
10,8	21,6	63,8	137	230	377	709	1578	2468	4239	7406	11974	
32,3	38,6	50,7	61,3	69,7	78,7	91,7	111	124	141	161	181	
11,0	22,0	65,2	140	234	386	724	1612	2521	4330	7566		
32,9	39,4	51,8	62,6	71,2	80,4	93,8	114	127	144	165		
11,2	22,5	66,5	143	239	394	739	1646	2573	4419	7722		
33,6	40,2	52,8	63,9	72,6	82,1	95,8	116	129	147	168		
11,4	22,9	67,8	146	244	401	754	1678	2624	4507	7875		
34,3	41,0	53,9	65,2	74,1	83,7	97,7	118	132	150	172		
11,6	23,4	69,1	148	249	409	768	1710	2674	4592	8025		
34,9	41,8	54,9	66,5	75,5	85,3	99,5	121	135	153	175		
11,9	23,8	70,4	151	253	417	782	1742	2723	4677	8172		
35,6	42,5	55,9	67,7	76,9	86,9	101	123	137	156	178		
12,1	24,2	71,6	154	258	424	796	1772	2772	4759	8317		
36,2	43,3	56,9	68,9	78,3	88,4	103	125	139	159	181		
12,3	24,6	72,9	156,8	262	431	809	1803	2819	4841	8459		
36,9	44,0	57,9	70,1	79,6	89,9	104	127	142	161	184		
13,3	26,6	78,7	159	283	466	874	1947	3045	5229			
39,8	47,6	62,5	75,6	85,9	97,1	113	137	153	174			
14,2	28,5	84,1	181	303	498	935	2082	3255	5590			
42,5	50,8	66,8	80,9	91,9	103	121	147	163	186			
15,0	30,2	89,2	192	321	528	991	2208	3453				
45,1	53,9	70,8	85,8	97,5	110	128	156	173				
15,9	31,8	94,1	202	339	557	1045	2327	3639				
47,6	56,8	74,7	90,4	102	116	135	164	183				
17,4	34,9	103	221	371	610	1145	2550					
52,1	62,2	81,8	99,1	112	127	148	180					
18,8	37,6	111	239	401	659	1237						
56,3	67,3	88,4	107	121	137	160						
20,1	40,2	119	256	428	704	1322						
60,2	71,9	94,5	114	129	146	171						
22,4	45,0	133,0	286	479	787							
67,3	80,4	105	127	145	164							

Продолжение табл. 11.7

Условный проход, мм	Значения $l_{\text{экв}}$, м, при сумме коэффициентов местных сопротивлений $\Sigma \zeta$														
	0,6	1,0	1,5	2,0	2,5	3,0	3,5	4,0	4,5	5,0	6,0	7,0	8,0	9,0	10,0
50	1,11	1,85	2,78	3,71	4,63	5,56	6,49	7,41	8,34	9,27	11,12	12,97	14,83	16,68	18,53
65	1,64	2,74	4,10	5,47	6,84	8,21	9,57	10,94	12,31	13,68	16,41	19,15	21,88	24,62	27,35
80	2,04	3,40	5,09	6,79	8,49	10,19	11,88	13,58	15,28	16,98	20,37	23,77	27,16	30,56	33,95
100	2,64	4,40	6,61	8,81	11,01	13,21	15,42	17,62	19,82	22,02	26,43	30,83	35,24	39,64	44,05
125	3,45	5,76	8,63	11,51	14,39	17,27	20,15	23,02	25,90	28,78	34,54	40,29	46,05	51,80	57,56
150	4,34	7,24	10,86	14,48	18,10	21,72	25,34	28,96	32,58	36,20	43,44	50,68	57,92	65,16	72,40
200	6,54	10,90	16,35	21,79	27,24	32,69	38,14	43,59	49,04	54,49	65,38	76,28	87,18	98,08	108,97

РАСЧЕТ НАПОРНЫХ КОНДЕНСАТОПРОВОДОВ ПРИ $K_{\text{н}} = 0,5$ мм

Количество проходящей воды, кг/ч (верхняя строка), и скорость движения воды, м/с (нижняя строка), по трубам

стальным водогазопроводным обыкновенным (ГОСТ 3262-75*) условным проходом, мм

Потери давления на трение на 1 м, Па	стальным электросварным прямшовным (ГОСТ 10704-76*) условным проходом, мм																		
	10	15	20	25	32	40	50	10	15	20	25	32	40	50	65	80	100	125	150
4,0	19,7	31,7	66,2	130	279	400	799	11,6	24,5	64,5	142	240	400	760	1711	2698	4675	8200	13364
0,046	0,047	0,054	0,065	0,08	0,088	0,105	0,105	0,037	0,046	0,054	0,067	0,077	0,088	0,103	0,127	0,143	0,164	0,188	0,213
4,5	20,5	33,1	70,2	137	295	423	846	13,0	25,5	68,4	150	254	423	804	1814	2857	4943	8699	14144
0,048	0,049	0,057	0,069	0,084	0,093	0,111	0,111	0,041	0,048	0,057	0,071	0,081	0,093	0,109	0,135	0,151	0,173	0,200	0,225
5,0	21,4	33,7	74,3	145	312	447	894	14,5	26,6	72,3	159	269	447	849	1916	3016	5218	9182	14926
0,05	0,051	0,061	0,073	0,089	0,098	0,117	0,117	0,046	0,050	0,060	0,075	0,086	0,098	0,116	0,142	0,160	0,183	0,211	0,238
5,5	21,8	34,2	78,1	152	328	470	939	15,4	27,7	76,1	167	283	470	892	2013	3168	5479	9640	15670
0,051	0,051	0,064	0,077	0,094	0,103	0,123	0,123	0,049	0,052	0,064	0,078	0,090	0,103	0,121	0,149	0,168	0,192	0,221	0,250
6,0	22,7	36,8	81,8	160	343	492	982	16,0	28,2	79,7	175	296	491	933	2105	3313	5729	10078	16381
0,053	0,055	0,067	0,08	0,098	0,108	0,129	0,129	0,051	0,053	0,067	0,082	0,094	0,108	0,127	0,156	0,175	0,201	0,231	0,261
6,5	23,1	37,4	85,4	166	358	512	1024	16,7	29,3	83,2	182,4	309	512	973	2194	3452	5969	10499	17063
0,054	0,056	0,07	0,084	0,102	0,112	0,134	0,134	0,053	0,055	0,069	0,086	0,098	0,112	0,132	0,163	0,183	0,200	0,241	0,272
7,0	23,5	38,9	88,8	173	372	533	1064	17,0	30,0	86,5	189	321	533	1011	2279	3585	6199	10900	17718
0,055	0,058	0,073	0,087	0,106	0,117	0,139	0,139	0,054	0,056	0,072	0,089	0,102	0,117	0,138	0,169	0,190	0,216	0,250	0,282
7,5	24,4	40,4	92,1	179	385	552	1102	17,6	30,3	89,7	196	333	552	1047	2361	3714	6422	11293	18351
0,057	0,06	0,075	0,09	0,110	0,121	0,144	0,144	0,056	0,057	0,075	0,092	0,106	0,121	0,143	0,175	0,196	0,225	0,259	0,292
8	24,8	41,8	95,3	186	399	571	1140	17,9	30,8	92,8	203	344	571	1083	2441	3839	6637	11671	18963
0,058	0,062	0,078	0,093	0,114	0,125	0,149	0,149	0,057	0,058	0,077	0,095	0,110	0,127	0,147	0,181	0,203	0,233	0,268	0,302
8,5	25,3	43,2	98,4	192	411	589	1176	18,2	31,5	95,8	209	355	589	1117	2518	3960	6845	12036	19874
0,059	0,064	0,081	0,096	0,118	0,129	0,154	0,154	0,058	0,059	0,08	0,099	0,113	0,129	0,152	0,187	0,209	0,240	0,276	0,316
9	26,1	44,5	101	198	424	607	1211	18,6	32,4	98,8	216	366	607	1151	2593	4077	7048	12391	20450
0,061	0,066	0,083	0,099	0,121	0,133	0,159	0,159	0,059	0,061	0,082	0,101	0,117	0,133	0,157	0,192	0,216	0,247	0,284	0,326
9,5	26,2	45,8	104	203	436	624	1245	18,9	33,4	101	222	376	624	1183	2665	4192	7245	12737	21010
0,061	0,068	0,085	0,102	0,124	0,137	0,163	0,163	0,06	0,063	0,085	0,104	0,120	0,137	0,161	0,198	0,222	0,254	0,292	0,335
10	26,3	47,0	107	209	447	641	1279	19,2	34,3	104	228	386	641	1215	2736	4303	7436	13073	21556
0,062	0,070	0,088	0,105	0,128	0,140	0,167	0,167	0,061	0,064	0,087	0,107	0,123	0,140	0,165	0,203	0,228	0,261	0,300	0,343
11	26,9	49,4	112	219	470	672	1342	19,8	36,0	109	239	405	672	1275	2871	4515	7803	13941	22608
0,062	0,074	0,092	0,110	0,134	0,147	0,176	0,176	0,063	0,068	0,091	0,113	0,129	0,147	0,174	0,213	0,239	0,274	0,320	0,360
12	28,2	51,7	117	229	491	703	1403	20,5	37,7	114	251	425	704	1333	3002	4720	8156	14561	23613
0,065	0,077	0,096	0,115	0,140	0,154	0,184	0,184	0,065	0,071	0,096	0,118	0,135	0,154	0,181	0,223	0,250	0,286	0,334	0,376
13	29,4	54,0	122	239	512	733	1462	21,1	39,4	119	261	442	733	1389	3127	4917	8495	15155	24578
0,068	0,081	0,100	0,120	0,146	0,160	0,192	0,192	0,067	0,074	0,11	0,123	0,141	0,160	0,189	0,232	0,260	0,298	0,348	0,391
14	30,6	56,1	127	248	532	761	1518	21,7	40,9	124	271	459	761	1443	3248	5106	8967	15727	25505
0,071	0,084	0,104	0,125	0,152	0,167	0,199	0,199	0,069	0,077	0,104	0,128	0,146	0,167	0,196	0,241	0,270	0,315	0,361	0,406
15	31,8	58,2	132	257	551	789	1573	22,0	42,5	128	281	476	789	1495	3364	5289	9282	16279	26401
0,074	0,087	0,108	0,129	0,158	0,173	0,206	0,206	0,07	0,08	0,108	0,132	0,152	0,173	0,203	0,250	0,280	0,326	0,374	0,420

16	32.9	60.2	136	266	570	815	1626	22.5	43.9	133	291	492	81.5	1545	3477	5465	9586	16813	27266
	0.076	0.09	0.112	0.134	0.163	0.179	0.213	0.071	0.082	0.111	0.137	0.157	0.179	0.210	0.258	0.289	0.336	0.386	0.434
17	33.9	62.1	141	275	588	841	1677	22.6	45.3	137	300	508	841	1593	3586	5636	9881	17331	28106
	0.08	0.093	0.116	0.138	0.168	0.184	0.220	0.071	0.085	0.115	0.141	0.162	0.184	0.217	0.266	0.298	0.347	0.398	0.448
18	35.0	64.0	145	283	606	866	1727	22.8	46.7	141	309	523	866	1641	3692	5802	10168	17833	28921
	0.081	0.096	0.119	0.142	0.173	0.190	0.226	0.072	0.088	0.118	0.145	0.167	0.190	0.223	0.274	0.307	0.357	0.409	0.461
19	36.0	65.8	149	291	623	891	1775	23.5	48.1	145	318	538	891	1687	3794	6060	10446	18322	29713
	0.083	0.098	0.122	0.146	0.178	0.195	0.233	0.074	0.090	0.122	0.149	0.171	0.195	0.230	0.282	0.321	0.367	0.421	0.472
20	36.9	67.6	153	299	639	914	1822	24.1	49.4	149	326	552	914	1731	3895	6217	10718	18798	30485
	0.086	0.101	0.126	0.150	0.183	0.200	0.239	0.076	0.093	0.125	0.153	0.176	0.200	0.236	0.289	0.329	0.376	0.432	0.485
22	38.8	71.0	161	314	671	959	1912	25.3	51.8	157	343	579	959	1817	4087	6521	11241	19715	31973
	0.09	0.106	0.132	0.157	0.192	0.210	0.250	0.08	0.097	0.131	0.161	0.184	0.210	0.247	0.303	0.345	0.394	0.453	0.509
24	40.6	74.3	168	328	701	1003	1999	26.5	54	164	358	606	1003	1899	4341	6811	11741	20592	33395
	0.094	0.111	0.138	0.165	0.200	0.220	0.262	0.084	0.102	0.137	0.168	0.193	0.220	0.258	0.322	0.360	0.412	0.473	0.532
26	42.3	77.5	175	342	731	1045	2082	27.7	56.6	171	373	631	1045	1978	4518	7089	12220	21433	34758
	0.098	0.116	0.144	0.171	0.209	0.229	0.273	0.087	0.106	0.143	0.175	0.202	0.229	0.269	0.335	0.375	0.429	0.492	0.554
28	44.0	80.5	182	355	759	1085	2162	28.8	58.8	178	388	656	1085	2054	4689	7357	12681	22242	36070
	0.102	0.120	0.149	0.178	0.217	0.238	0.283	0.091	0.110	0.148	0.182	0.209	0.238	0.280	0.348	0.389	0.445	0.511	0.574
30	45.6	83.4	189	368	786	1124	2239	29.8	61.0	184	402	679	1124	2128	4854	7615	13126	23023	37336
	0.106	0.125	0.155	0.184	0.225	0.246	0.293	0.094	0.114	0.154	0.189	0.216	0.246	0.290	0.360	0.403	0.461	0.528	0.595
32	47.2	86.3	195	380	813	1162	2314	30.9	63.0	190	415	702	1162	2199	5013	7864	13557	23778	38561
	0.109	0.129	0.160	0.191	0.232	0.254	0.303	0.097	0.118	0.159	0.195	0.224	0.254	0.299	0.372	0.416	0.476	0.546	0.614
34	48.7	89.0	201	392	838	1198	2425	31.9	65.0	196	429	724	1198	2268	5167	8107	13974	24510	39748
	0.113	0.133	0.165	0.197	0.239	0.262	0.318	0.100	0.122	0.164	0.201	0.231	0.262	0.309	0.384	0.429	0.490	0.563	0.633
36	50.2	91.7	207	404	863	1234	2496	32.8	67.0	202	441	745	1234	2372	5317	8342	14379	25220	40900
	0.116	0.137	0.170	0.203	0.246	0.270	0.327	0.104	0.126	0.169	0.207	0.237	0.270	0.323	0.395	0.441	0.505	0.579	0.651
38	51.6	94.3	213	416	888	1269	2565	33.8	68.9	208	454	767	1269	2438	5463	8571	14774	25912	42021
	0.120	0.141	0.175	0.208	0.253	0.278	0.336	0.106	0.129	0.174	0.213	0.244	0.278	0.332	0.406	0.453	0.518	0.595	0.669
40	53.0	96.98	219	426	911	1302	2631	34.7	70.8	213	466	787	1302	2500	5604	8793	15157	26584	43112
	0.123	0.145	0.180	0.214	0.260	0.285	0.345	0.109	0.133	0.178	0.219	0.250	0.285	0.340	0.416	0.465	0.532	0.610	0.687
45	56.3	102	232	452	966	1381	2790	36.8	75.1	226	494	835	1381	2652	5944	9326	16077	28197	45728
	0.130	0.153	0.191	0.227	0.276	0.302	0.366	0.116	0.141	0.189	0.232	0.266	0.302	0.361	0.441	0.493	0.564	0.647	0.728
50	59.4	108	245	478	1020	1482	2941	38.9	79.3	239	522	881	1481	2796	6266	9831	16946	29722	48202
	0.138	0.162	0.201	0.239	0.291	0.324	0.385	0.123	0.149	0.200	0.245	0.280	0.324	0.380	0.465	0.520	0.595	0.682	0.768
55	62.4	114	258	501	1070	1554	3085	40.9	83.5	251	548	925	1554	2932	6572	10311	17773	31173	50554
	0.145	0.170	0.211	0.251	0.306	0.340	0.404	0.129	0.156	0.210	0.257	0.294	0.340	0.399	0.488	0.545	0.624	0.716	0.805
60	65.3	119	269	524	1137	1623	3222	42.8	87.2	263	573	967	1623	3063	6864	10769	18564	32555	52802
	0.151	0.178	0.221	0.263	0.325	0.355	0.422	0.135	0.164	0.219	0.269	0.308	0.355	0.417	0.510	0.570	0.651	0.747	0.841
65	68.1	124	281	546	1184	1689	3354	44.6	90.8	274	596	1023	1689	3188	7144	11209	19322	33889	54958
	0.158	0.185	0.230	0.274	0.338	0.370	0.439	0.141	0.170	0.229	0.280	0.326	0.370	0.434	0.530	0.593	0.678	0.778	0.875
70	70.7	129	292	567	1128	1753	3480	46.3	94.3	284	619	1062	1753	3308	7414	11632	20051	35168	57032
	0.164	0.193	0.239	0.284	0.351	0.384	0.456	0.146	0.177	0.237	0.291	0.338	0.384	0.450	0.550	0.615	0.704	0.807	0.908
75	73.3	133	302	587	1272	1815	3603	48.0	97.7	294	641	1099	1815	3424	7674	12040	20755	36402	59034
	0.170	0.200	0.248	0.294	0.363	0.397	0.472	0.151	0.183	0.246	0.301	0.350	0.397	0.466	0.570	0.637	0.728	0.836	0.940

Количество проходящей воды, кг/ч (верхняя строка), и скорость движения воды, м/с (нижняя строка), по трубам

Потери давления на трение на 1 м, Па

стальным водопроводным обкладочным (ГОСТ 3262-75*) условным проходом, мм

стальным электросварным прямошовным (ГОСТ 10704-76*) условным проходом, мм

	стальным водопроводным обкладочным (ГОСТ 3262-75*) условным проходом, мм										стальным электросварным прямошовным (ГОСТ 10704-76*) условным проходом, мм									
	10	15	20	25	32	40	50	10	15	20	25	32	40	50	65	80	100	125	150	
80	75,7	138	0,206	0,256	0,304	0,375	0,410	0,487	0,156	0,190	0,254	0,316	0,361	0,410	0,481	0,588	0,752	0,863	0,971	
85	78,1	142	0,213	0,264	0,319	0,387	0,432	0,502	0,161	0,196	0,262	0,326	0,372	0,423	0,496	0,607	0,775	0,890	1,001	
90	80,5	146	0,219	0,272	0,328	0,398	0,435	0,517	0,166	0,201	0,270	0,336	0,383	0,435	0,510	0,624	0,798	0,915	1,03	
95	82,7	150	0,225	0,279	0,337	0,409	0,447	0,531	0,171	0,207	0,277	0,345	0,394	0,447	0,524	0,641	0,817	0,934	1,058	
100	84,9	154	0,231	0,287	0,346	0,419	0,459	0,545	0,176	0,213	0,286	0,354	0,404	0,459	0,538	0,658	0,841	0,965	1,086	
110	89,1	162	0,243	0,301	0,363	0,440	0,481	0,572	0,184	0,223	0,299	0,371	0,424	0,481	0,563	0,690	0,882	1,012	1,138	
120	93,2	169	0,254	0,320	0,379	0,459	0,502	0,597	0,193	0,235	0,318	0,388	0,443	0,502	0,589	0,721	0,906	1,037	1,189	
130	97,1	176	0,264	0,333	0,394	0,478	0,523	0,621	0,201	0,243	0,331	0,403	0,461	0,523	0,613	0,750	0,938	1,071	1,238	
140	101	183	0,274	0,345	0,409	0,496	0,543	0,645	0,208	0,252	0,343	0,419	0,478	0,543	0,637	0,778	0,970	1,102	1,284	
150	104	190	0,284	0,357	0,424	0,513	0,562	0,667	0,216	0,261	0,355	0,433	0,495	0,562	0,659	0,809	0,991	1,122	1,329	
160	107	196	0,294	0,369	0,438	0,530	0,580	0,689	0,223	0,270	0,367	0,447	0,511	0,580	0,681	0,832	1,014	1,146	1,375	
170	111	202	0,303	0,380	0,451	0,547	0,598	0,710	0,230	0,279	0,378	0,461	0,527	0,598	0,702	0,858	1,046	1,178	1,415	
180	114	212	0,317	0,391	0,464	0,562	0,615	0,731	0,237	0,287	0,389	0,475	0,542	0,615	0,722	0,883	1,072	1,204	1,456	
190	117	218	0,326	0,402	0,477	0,578	0,632	0,751	0,244	0,295	0,400	0,488	0,557	0,632	0,742	0,907	1,096	1,228	1,496	
200	120	223	0,334	0,413	0,489	0,593	0,649	0,771	0,250	0,303	0,410	0,500	0,571	0,649	0,761	0,930	1,119	1,251	1,535	
220	126	234	0,350	0,433	0,513	0,622	0,680	0,808	0,262	0,323	0,430	0,525	0,599	0,680	0,798	0,976	1,174	1,306	1,610	
240	132	245	0,366	0,452	0,536	0,649	0,711	0,844	0,274	0,337	0,449	0,548	0,626	0,711	0,834	1,019	1,217	1,350	1,682	

140	255	574	1113	2368	3379	6708	90,6	187	560	1215	2047	3379	6376	14289	22418	38644	67778	109916
0,325	0,381	0,470	0,558	0,676	0,879	0,879	0,286	0,351	0,467	0,570	0,651	0,740	0,868	1,061	1,186	1,356	1,556	1,750
145	264	596	1155	2457	3506	6961	94,1	194	581	1261	2124	3506	6616	14829	23264	40103	70337	114065
0,338	0,395	0,488	0,579	0,702	0,768	0,912	0,297	0,364	0,485	0,592	0,676	0,768	0,900	1,101	1,231	1,407	1,615	1,816
150	274	617	1196	2543	3629	7206	97,4	200	601	1305	2198	3629	6849	15349	24081	41510	72802	118069
0,350	0,409	0,505	0,599	0,726	0,794	0,944	0,307	0,377	0,502	0,613	0,700	0,794	0,932	1,139	1,274	1,456	1,671	1,889
155	283	637	1235	2627	3749	7442	102	207	621	1348	2270	3749	7073	15853	24871	42872	75193	121941
0,361	0,423	0,522	0,619	0,750	0,821	0,975	0,323	0,389	0,519	0,630	0,723	0,821	0,962	1,177	1,316	1,504	1,726	1,942
160	291	657	1273	2708	3864	7671	105	213	640	1390	2340	3864	7291	16340	25636	44191	77507	125694
0,372	0,436	0,538	0,638	0,773	0,846	1,005	0,333	0,401	0,534	0,652	0,745	0,846	0,992	1,213	1,356	1,551	1,779	2,002
165	300	676	1310	2786	3976	7893	108	220	659	1430	2408	3976	7502	16814	26379	45472	79754	129338
0,383	0,448	0,554	0,656	0,795	0,870	1,034	0,342	0,413	0,550	0,671	0,767	0,870	1,021	1,248	1,395	1,595	1,831	2,06
169	308	694	1346	2862	4085	8110	111	226	677	1469	2474	4085	7708	17275	27102	46719	81940	132882
0,397	0,460	0,569	0,674	0,817	0,894	1,062	0,352	0,424	0,565	0,690	0,788	0,894	1,049	1,280	1,434	1,639	1,881	2,116
174	316	712	1381	2937	4191	8320	114	231	694	1507	2538	4191	7908	17724	27806	47932	84068	136334
0,404	0,472	0,584	0,692	0,838	0,917	1,09	0,361	0,435	0,580	0,708	0,808	0,917	1,076	1,316	1,471	1,681	1,930	2,171
184	335	756	1464	3115	4445	8825	121	246	737	1599	2692	4445	8388	18799	29493	50840	89168	144604
0,428	0,501	0,619	0,734	0,889	0,973	1,156	0,383	0,462	0,615	0,750	0,857	0,973	1,141	1,396	1,560	1,784	2,047	2,303
194	353	797	1544	3283	4686	9303	128	259	776	1685	2838	4686	8842	19816	31088	53590	93991	152426
0,451	0,528	0,652	0,773	0,937	1,026	1,218	0,404	0,487	0,648	0,791	0,903	1,026	1,203	1,471	1,644	1,880	2,158	2,427
204	371	836	1619	3444	4914	9757	134	272	814	1768	2977	4914	9273	20783	32606	56206	98579	159866
0,473	0,554	0,684	0,811	0,983	1,076	1,278	0,423	0,510	0,680	0,830	0,948	1,076	1,262	1,543	1,725	1,972	2,263	2,546
213	387	873	1691	3597	5133	10190	140	284	851	1846	3109	5133	9686	21707	34056	58705	102963	166975
0,494	0,579	0,715	0,847	1,027	1,124	1,335	0,442	0,533	0,710	0,867	0,990	1,124	1,318	1,611	1,801	2,06	2,364	2,659
222	403	908	1760	3744	5343	10607	145	295	885	1922	3236	5343	10081	22594	35446	61102	107167	173793
0,515	0,602	0,744	0,882	1,069	1,169	1,389	0,460	0,555	0,739	0,903	1,03	1,169	1,372	1,677	1,875	2,144	2,460	2,768
230	418	943	1826	3885	5544	11007	151	306	919	1994	3358	5544	10462	23446	36784	63408	111212	180353
0,534	0,625	0,772	0,915	1,109	1,214	1,442	0,478	0,576	0,767	0,936	1,069	1,214	1,423	1,741	1,946	2,225	2,553	2,872
238	433	976	1891	4022	5739	11393	156	317	951	2064	3476	5739	10829	24269	38075	65634	115116	186683
0,553	0,647	0,799	0,947	1,148	1,256	1,492	0,494	0,596	0,794	0,969	1,106	1,256	1,473	1,802	2,014	2,303	2,642	2,973
246	447	1008	1953	4153	5927	11767	161	328	982	2132	3590	5927	11184	25065	39324	67787	118891	192806
0,571	0,668	0,825	0,978	1,186	1,297	1,541	0,511	0,616	0,820	1,001	1,143	1,297	1,522	1,861	2,08	2,378	2,729	3,070
253	461	1039	2013	4281	6110	12129	166	338	1013	2197	3701	6110	11528	25837	40534	69873	125550	198740
0,588	0,689	0,851	1,009	1,222	1,337	1,589	0,526	0,635	0,845	1,031	1,178	1,337	1,569	1,918	2,144	2,452	2,813	3,165
261	474	1069	2071	4405	6287	12481	171	347	1042	2261	3308	6287	11862	26586	41710	71898	126103	204502
0,605	0,709	0,875	1,038	1,250	1,376	1,635	0,542	0,653	0,870	1,061	1,212	1,376	1,614	1,974	2,206	2,523	2,895	3,257
268	487	1098	2128	4526	6459	12823	176	357	1070	2323	3912	6459	12188	27314	42853	73869	129558	210105
0,622	0,728	0,899	1,066	1,292	1,414	1,680	0,556	0,671	0,893	1,09	1,245	1,414	1,658	2,028	2,267	2,592	2,974	3,346
275	500	1127	2183	4644	6627	13156	181	366	1099	2384	4014	6627	12504	28024	43966	75788	132924	215564
0,638	0,747	0,923	1,094	1,326	1,450	1,723	0,571	0,688	0,917	1,119	1,278	1,450	1,701	2,08	2,326	2,659	3,051	3,433
288	524	1182	2290	4870	6950	13798	189	384	1152	2500	4210	6950	13114	29392	46112	79487	139412	226085
0,669	0,783	0,968	1,147	1,390	1,521	1,807	0,599	0,722	0,961	1,173	1,340	1,521	1,784	2,182	2,439	2,789	3,200	3,600
301	548	1234	2392	5087	7259	14412	198	401	1203	2611	4397	7259	13698	30699	48162	83021	145611	236138
0,699	0,818	1,011	1,198	1,452	1,589	1,888	0,625	0,754	1,004	1,226	1,400	1,589	1,864	2,279	2,548	2,913	3,343	3,760
314	570	1285	2489	5295	7557	15000	206	418	1252	2718	4577	7556	14257	31952	50129	86401	151557	245780
0,728	0,852	1,052	1,247	1,512	1,654	1,965	0,651	0,785	1,045	1,276	1,457	1,654	1,940	2,372	2,652	3,033	3,479	3,914

Потери давления на трение на I м, Па	Количество проходящей воды, кг/ч (верхняя строка), и скорость движения воды, м/с (нижняя строка), по трубам																		
	стальным водопроводным обжимным (ГОСТ 3262-75*) условным проходом, мм								стальным электросварным прямым проходом (ГОСТ 10704-76*) условным проходом, мм										
	10	15	20	25	32	40	50	10	15	20	25	32	40	50	65	80	100	125	150
1400	325	592	1333	2583	5495	7841	15566	214	433	1300	2820	4749	7841	14795	33158	52021	89673	157278	255058
	0,755	0,884	1,092	1,294	1,569	1,716	2,039	0,675	0,814	1,085	1,324	1,512	1,716	2,013	2,461	2,752	3,146	3,610	4,062
1500	337	612	1380	2674	5687	8116	16113	221	449	1345	2919	4916	8116	15314	34322	53847	92821	162798	264010
	0,782	0,915	1,130	1,340	1,624	1,776	2,11	0,699	0,843	1,123	1,370	1,565	1,776	2,084	2,548	2,848	3,257	3,737	4,204
1600	348	633	1425	2762	5874	8383	16641	228	463	1389	3015	5077	8383	15817	35448	55613	95865	168137	272669
	0,807	0,945	1,167	1,384	1,677	1,835	2,180	0,722	0,871	1,159	1,415	1,616	1,835	2,153	2,631	2,942	3,364	3,860	4,342
1700	359	652	1469	2847	6055	8641	17153	235	478	1432	3108	5234	8641	16304	36539	57325	98815	173312	281061
	0,832	0,974	1,203	1,426	1,729	1,891	2,247	0,744	0,897	1,195	1,459	1,666	1,891	2,218	2,712	3,032	3,467	3,978	4,476
1800	369	671	1512	2929	6230	8891	17651	242	492	1474	3198	5385	8891	16776	37598	58986	101680	178337	289209
	0,858	1,002	1,238	1,468	1,779	1,946	2,312	0,766	0,924	1,230	1,501	1,714	1,946	2,283	2,791	3,120	3,568	4,094	4,605
1900	379	689	1553	3009	6401	9155	18134	249	505	1514	3286	5533	9155	17236	38628	60603	104466	183223	297154
	0,880	1,030	1,272	1,508	1,827	1,999	2,375	0,787	0,945	1,264	1,542	1,761	1,999	2,345	2,868	3,206	3,665	4,206	4,732
2000	389	707	1594	3088	6567	9372	18606	255	518	1553	3371	5677	9372	17684	39632	62177	107180	187983	304853
	0,903	1,056	1,305	1,547	1,875	2,051	2,437	0,807	0,973	1,296	1,582	1,807	2,051	2,406	2,942	3,289	3,761	4,315	4,855

ТАБЛИЦА П.9

ЭКВИВАЛЕНТНЫЕ ДЛИНЫ $L_{\text{эк}}$ МЕСТНЫХ СОПРОТИВЛЕНИЙ
 ДЛЯ РАСЧЕТА НАПОРНЫХ КОНДЕНСАТОПРОВОДОВ В ЗАКРЫТЫХ СИСТЕМАХ
 ПРИ $K_{\text{св}} = 0,5 \text{ мм}$

Условный проход, мм	Значения $L_{\text{эк}}$, м, при сумме коэффициентов местных сопротивлений $\Sigma \zeta$															
	0,6	1,0	1,5	2,0	2,5	3,0	3,5	4,0	4,5	5,0	6,0	7,0	8,0	9,0	10,0	
10	0,09	0,16	0,24	0,31	0,39	0,47	0,55	0,63	0,71	0,78	0,94	1,10	1,25	1,41	1,57	
15	0,14	0,23	0,34	0,46	0,57	0,68	0,80	0,91	1,03	1,14	1,37	1,60	1,82	2,05	2,28	
20	0,24	0,40	0,61	0,81	1,01	1,21	1,41	1,62	1,82	2,02	2,42	2,83	3,23	3,64	4,04	
25	0,36	0,60	0,90	1,20	1,50	1,81	2,11	2,41	2,71	3,01	3,61	4,21	4,82	5,42	6,02	
32	0,47	0,78	1,18	1,57	1,96	2,35	2,75	3,14	3,53	3,92	4,71	5,49	6,28	7,06	7,85	
40	0,61	1,01	1,52	2,02	2,53	3,04	3,54	4,05	4,55	5,06	6,07	7,08	8,09	9,11	10,12	
50	0,84	1,39	2,09	2,78	3,48	4,18	4,87	5,57	6,26	6,96	8,35	9,74	11,14	12,53	13,92	
65	1,25	2,08	3,12	4,16	5,20	6,24	7,28	8,32	9,37	10,41	12,49	14,57	16,65	18,73	20,81	
80	1,56	2,60	3,90	5,20	6,50	7,80	9,10	10,40	11,70	13,00	15,61	18,21	20,81	23,41	26,01	
100	2,04	3,40	5,10	6,80	10,20	10,20	11,90	13,60	15,30	17,00	20,40	23,80	27,20	30,60	34,01	
125	2,69	4,48	6,72	8,95	11,19	13,43	15,67	17,91	20,15	22,39	26,86	31,34	35,82	40,30	44,77	
150	3,40	5,67	8,50	11,33	14,17	17,00	19,83	22,67	25,50	28,33	34,00	39,67	45,33	51,00	56,67	
200	5,17	8,62	12,93	17,23	21,54	25,85	30,16	34,47	38,78	43,09	51,70	60,32	68,94	77,56	86,17	

ТАБЛИЦА II.10

КОЭФФИЦИЕНТЫ ζ МЕСТНЫХ СОПРОТИВЛЕНИЙ ПО ОПЫТНЫМ ДАННЫМ
НИИ САНИТАРНОЙ ТЕХНИКИ

Местное сопротивление	Условный проход, мм	Значения ζ при скорости, м/с				
		0,025	0,05	0,075	0,1	0,2 и бо- лее
Радиаторы двухколонные (вход и выход) диаметром подводки 15 или 20 мм	15	3,8	2,2	1,7	1,6	1,6
	20	2	1,4	1,3	1,2	1,2
Змеевик из труб плоский (длиной 1500 мм, высотой 500 мм)	15	48	28	28	28	28
	20	40	22	22	22	22
Краны пробковые проходные	15	5,7	3,8	3,5	3,4	3
	20	3,7	2	1,6	1,4	1,2
	25	3,2	1,8	1,5	1,3	1
Краны двойной регулировки с цилиндрической пробкой	{ 15	—	—	—	—	4
	{ 20	—	—	—	—	2
шиберного типа	15	4,8	3,9	3,7	3,5	3
Краны греходовые конструкции треста Сантехдеталь	при прямом проходе	{ 15	—	—	—	2
		{ 20	—	—	—	1,5
		{ 25	—	—	—	2
	при проходе с поворотом	{ 15, 20	—	—	—	3
		{ 25	—	—	—	4,5
Краны трехходовые конструкции Глав- мостстроя	при прямом проходе	{ 15	—	—	—	3,2
		{ 20 и более	—	—	—	6,6
	при проходе с поворотом	{ 15	—	—	—	5,5
		{ 20 и более	—	—	—	10,5
Вентили с вертикальными шпинделями (15ч18 бр)	15	—	—	—	—	16
	20	—	—	—	—	10
	25,32	—	—	—	—	9
	40	—	—	—	—	8
	50 и более	—	—	—	—	7
Вентили прямооточные с косыми шпин- делями (15с58)	15, 20, 25	—	—	—	—	3
	32, 40	—	—	—	—	2,5
	50 и более	—	—	—	—	2
Задвижки параллельные	25, 32, 40 50 и более	—	—	—	—	0,5
Отводы под углом 45° (утки) с радиусом закругления $R = 3d$	15	3,2	1,5	0,9	0,7	0,6
	20	1,7	1	0,7	0,65	0,6
	25	1,6	0,8	0,65	0,65	0,6
Скобы с радиусом округления $R = 3d$	15	6	2,2	2,1	2,1	2
	20	4	1,3	1	1	1,2
	25	2,3	1,1	0,7	0,7	0,6
	32	1,4	0,8	0,6	0,5	0,4
Отводы под углом 90° с радиусом за- кругления $R = 3d$	15	5	1,6	1,4	1,3	1,3
	20	3,7	1,5	1,2	1,1	1,1
	25	3	1,2	0,8	0,6	0,6
	32	1	0,3	0,2	0,2	0,2

ТАБЛИЦА П.11
КОЭФФИЦИЕНТЫ ζ МЕСТНЫХ СОПРОТИВЛЕНИЙ (ПРИБЛИЖЕННЫЕ ЗНАЧЕНИЯ)

Местное сопротивление	Значения ζ при условном проходе труб, мм						
	10	15	20	25	32	40	50 и более
Радиаторы двухколонные	2	2	2	2	2	2	2
Котлы:							
чугунные	2,5	2,5	2,5	2,5	2,5	2,5	2,5
стальные	2	2	2	2	2	2	2
Внезапное расширение (относится к большей скорости)	1	1	1	1	1	1	1
Внезапное сужение (относится к большей скорости)	0,5	0,5	0,5	0,5	0,5	0,5	0,5
Отступы	0,5	0,5	0,5	0,5	0,5	0,5	0,5
Тройники:							
проходные (схема I)	1	1	1	1	1	1	1
поворотные на ответвление (схема II)	1,5	1,5	1,5	1,5	1,5	1,5	1,5
на противотоке (схема III)	3	3	3	3	3	3	3
Крестовины:							
проходные (схема IV)	2	2	2	2	2	2	2
поворотные (схема V)	3	3	3	3	3	3	3
Компенсаторы:							
П-образные и лирообразные	2	2	2	2	2	2	2
сальниковые	0,5	0,5	0,5	0,5	0,5	0,5	0,5
Вентили:							
обыкновенные	20	16	10	9	9	8	7
прямоточные	3	3	3	3	2,5	2,5	2
Краны:							
проходные	5	4	2	2	2	—	—
двойной регулировки с цилиндрической пробкой	5	4	2	2	2	—	—
Задвижки параллельные	—	—	—	0,5	0,5	0,5	—
Отводы:							
90° и угта	2	1,5	1,5	1	1	0,5	0,5
двойные узкие	2	2	2	2	2	2	2
широкие	1	1	1	1	1	1	1
Скобы	4	3	2	2	2	2	2

Примечание. Для точных расчетов коэффициенты местных сопротивлений принимают по табл. П.13–П.20.

ТАБЛИЦА П.12

**КОЭФФИЦИЕНТЫ ζ МЕСТНЫХ СОПРОТИВЛЕНИЙ
(ПО ОПЫТНЫМ ДАННЫМ ВНИИГС)
(УСРЕДНЕННЫЕ ЗНАЧЕНИЯ)**

Местное сопротивление	Коэффициент ζ при условном диаметре, мм						
	10	15	20	25	32	40	50
Чугунный радиатор (ГОСТ 8690-75)	1,2*	1,3	1,4	1,5	—	—	—
Стальные панельные радиаторы:							
РСВ	0,28**	0,75	2,4	6,0	—	—	—
	0,25	0,6	2,0	5,3	—	—	—
РСГ2 (двухходовой)	0,58	1,5	4,8	12,3	—	—	—
	0,52	1,2	4,1	11,0	—	—	—
РСГ4 (четырёхходовой)	0,76	2,0	6,4	16,2	—	—	—
	0,67	1,6	5,4	14,4	—	—	—
Конвекторы (ГОСТ 20849-75)							
высокий КВ-20	6,4	16,9	53	135	—	—	—
	5,6	13,5	45	120	—	—	—
островной «Ритм» К020	4,6	1,2	3,8	9,6	—	—	—
	0,41	0,94	3,2	8,5	—	—	—
«Север» КС (проходной)	0,51	1,3	4,2	10,8	—	—	—
	0,45	1,1	3,6	9,6	—	—	—
«Север» КС (концевой)	0,97	2,6	8,1	20,6	—	—	—
	0,86	2,1	6,9	18,3	—	—	—
«Комфорт-20» (концевой)	0,76	2,0	6,4	16,2	—	—	—
	0,68	1,6	5,4	14,4	—	—	—
«Комфорт-20» (проходной)	0,42	1,1	3,5	9,0	—	—	—
	0,38	0,9	3,0	8,0	—	—	—
Конвекторы «Аккорд» (ТУ 21-26-036 70):							
проходной	0,57	1,5	4,7	12,1	—	—	—
	0,50	1,2	4,0	10,7	—	—	—
концевой	0,96	2,6	8,0	20,4	—	—	—
	0,85	2,0	6,8	18,1	—	—	—
двухрядный, концевой	2,3	6,2	19,6	49,8	—	—	—
	2,1	5,0	16,6	44,3	—	—	—
Кран регулирующий трехходовой КРТ.							
при проходе	4,5	4,4	3,5	—	—	—	—
	4	3,5	3	—	—	—	—
» повороте	4,5	4,5	3	—	—	—	—
Кран регулирующий проходной	4,5	4,4	3,5	—	—	—	—
	4	3,5	3	—	—	—	—
Кран регулирующий двойной регулировки	20,4	17,5	15,4	—	—	—	—
	18	14,0	13	—	—	—	—
Вентиль запорный муфтовый	—	19,9	12,4	10,4	9,4	8,4	7,4
	—	15,9	10,5	9,3	8,6	7,6	6,9
Кран конусный проходной муфтовый латунный сальниковый, натяжной	—	4,4	1,8	1,7	—	—	—
	—	3,5	1,5	1,5	—	—	—
Отвод гнутый под углом 90°, $R/d = 3 - 4$	0,9	0,8	0,6	0,5	0,5	0,4	0,3
Утка гнутая под углом 45°, $R/d = 3 - 4$	0,9	0,8	0,7	0,6	0,6	0,6	0,6
Скоба гнутая под углом 180°, $R/d = 3 - 4$	2,5	2,0	1,2	0,6	0,4	0,4	0,4
Компенсатор гнутый П-образный $R/d = 3 - 4$	5,2	4,5	3,0	2,5	2,0	1,8	1,8
Проточный воздухооборник и расширительный сосуд	1,5						
Внезапное расширение	1						
Внезапное сужение	0,5						
Задвижка параллельная (ГОСТ 8437-75)	0,5						
Грязевик	10						

* Значения ζ отопительных приборов разных типоразмеров принимать по данным ВНИИГС

** В числителе приведены значения для легких труб, в знаменателе – для обыкновенных.

ТАБЛИЦА II.13

КОЭФФИЦИЕНТЫ $\zeta_{отв}$ ТРОЙНИКОВ ДЛЯ СТАЛЬНЫХ ВОДОГАЗОПРОВОДНЫХ ТРУБ
(ПО ОПЫТНЫМ ДАННЫМ БЦНИПС)

Схема	$\frac{d_{отв}}{d_{ст}}$	Группа тройников (см табл. II.14)	Значения $\zeta_{отв}$ при $G_{отв} = G_{ст}$											
			0,1	0,2	0,3	0,4	0,5	0,6	0,7	0,8	0,9	1		
	1	I	-65	-10	-2,66	0,625	2	2,3	2,3	2,3	2,3	2,3	2,3	2,3
	0,74	II	-25	-3,62	0	1	1,4	1,6	1,8	1,9	2	2	2	2
	0,66	III	-15,2	-1,29	0,55	1	1,2	1,4	1,55	1,7	1,73	1,73	1,73	1,73
	0,59	IV	-8	0,3	0,8	1	1,1	1,2	1,3	1,4	1,4	1,5	1,5	1,5
	0,52	V	-5	0,4	0,9	1	1,1	1,2	1,25	1,3	1,32	1,34	1,34	1,34
	0,44	VI	-2	0,5	0,9	1	1,1	1,2	1,2	1,2	1,2	1,2	1,2	1,2
	0,3	VII	-0,4	0,6	0,9	1	1,65	1,1	1,1	1,1	1,1	1,1	1,1	1,1
	1	I	90	25	12,5	1,75	5,4	4,15	3,3	2,8	2,55	2,3	2,3	2,3
	0,74	II	33	9,4	4,7	3	2	1,5	1,2	1,05	1	1	1	1
	0,66	III	23	6,88	3,52	2,25	1,6	1,25	1	0,9	0,9	0,9	0,9	0,9
	0,59	IV	13,5	4,73	2,88	1,8	1,34	1,1	0,95	0,83	0,8	0,8	0,8	0,8
	0,52	V	10	3,3	1,88	1,3	1	0,83	0,72	0,67	0,65	0,65	0,65	0,65
	0,44	VI	5,3	1,9	1,4	0,8	0,6	0,52	0,5	0,5	0,5	0,5	0,5	0,5
	0,3	VII	2,1	0,935	0,542	0,4	0,305	0,25	0,215	0,2	0,2	0,2	0,2	0,2
	1	I	80	21,5	11	7	5	3,9	3,25	2,8	2,5	2,3	2,3	2,3
	1	I	100	29	14,5	9	6,3	4,75	3,8	3,1	2,66	2,3	2,3	2,3

ТАБЛИЦА П. 14.
ГРУППЫ ТРОЙНИКОВ

Тройники (размеры, мм)	Группа	Тройники (размеры, мм)	Группа
Разносторонние	I	50 × 15 × 50	VII
20 × 15 × 20	II	50 × 20 × 50	VI
25 × 15 × 25	IV	50 × 25 × 50	V
25 × 20 × 25	II	50 × 32 × 50	III
32 × 15 × 32	VI	50 × 40 × 50	II
32 × 20 × 32	IV	70 × 15 × 70	VII
32 × 25 × 32	II	70 × 20 × 70	VII
40 × 15 × 40*	—	70 × 25 × 70	VI
40 × 20 × 40	V	70 × 32 × 70	V
40 × 25 × 40	III	70 × 40 × 70	IV
40 × 32 × 40*	—	70 × 50 × 70	II

* Значения $\zeta_{отв}$ принимать по интерполляции в соответствии с табл. П.13.

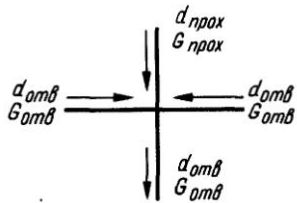


ТАБЛИЦА П.15.
КОЭФФИЦИЕНТЫ $\zeta_{прох}$ ТРОЙНИКОВ
ДЛЯ СТАЛЬНЫХ
ВОДОГАЗОПРОВОДНЫХ
ТРУБ ПРИ СЛИЯНИИ ИЛИ ДЕЛЕНИИ
ПОТОКОВ
(ПО ОПЫТНЫМ ДАННЫМ Б. ЦНИПС)

$G_{прох} = G_{прох}/G_{отв}$	0,1	0,2	0,3	0,4	0,5	0,6	0,7	0,8	0,9	1
$\zeta_{прох}$	70	16	6,7	3,56	2,2	1,61	1	0,86	0,76	0,7

ТАБЛИЦА П.16.

КОЭФФИЦИЕНТЫ $\zeta_{отв}$ КРЕСТОВИН
ДЛЯ СТАЛЬНЫХ
ВОДОГАЗОПРОВОДНЫХ ТРУБ
ПРИ СЛИЯНИИ ПОТОКОВ
(ПО ОПЫТНЫМ ДАННЫМ Б. ЦНИПС)

$\bar{G}_{отв2}$	Значения $\zeta_{отв}$ при $\bar{G}_{отв1}$									
	0,1	0,2	0,3	0,4	0,5	0,6	0,7	0,8	0,9	1
$\bar{d}_{отв} = 1$										
0	-25	3,3	4	3,3	2,6	2,2	1,9	1,7	1,6	1,5
0,1	8	7,3	5,2	3,9	3,1	2,5	2	1,8	1,7	—
0,2	37	14	7,2	4,8	3,6	2,8	2,3	1,9	—	—
0,3	48	15,3	8,2	5,3	3,8	3	2,4	—	—	—
0,4	60	18	9,3	5,9	4,2	3,1	—	—	—	—
0,5	64	19,5	10,2	6,5	4,7	—	—	—	—	—
0,6	78	22,5	11,4	7,3	—	—	—	—	—	—
0,7	95	26,8	13,3	—	—	—	—	—	—	—
0,8	110	30,2	—	—	—	—	—	—	—	—
0,9	124	—	—	—	—	—	—	—	—	—
$\bar{d}_{отв} = 0,76$										
0	-14,8	0,3	1,5	1,5	1,4	1,3	1,2	1,2	1,1	1,1
0,1	-5	2,0	2,2	1,8	1,5	1,4	1,3	1,2	1,1	—
0,2	9,7	4,3	2,8	2,1	1,7	1,5	1,4	1,3	—	—
0,3	10,5	5,7	3,4	2,4	1,9	1,7	1,4	—	—	—
0,4	20,5	6,7	3,7	2,7	2,4	—	—	—	—	—
0,5	27,5	8,2	4,4	2,9	2,2	—	—	—	—	—
0,6	32,8	5,4	4,9	3,2	—	—	—	—	—	—
0,7	38,5	11,6	5,5	—	—	—	—	—	—	—
0,8	45	12,4	—	—	—	—	—	—	—	—
0,9	52,3	—	—	—	—	—	—	—	—	—
$\bar{d}_{отв} = 0,59$										
0	-6,1	-0,3	1	1,1	1	1	1	1	1	1
0,1	-3,1	0,9	1,4	1,2	1,2	1,2	1,2	1,1	1,1	—
0,2	0	1,7	1,5	1,4	1,3	1,3	1,2	1,2	—	—
0,3	4,9	2,5	1,8	1,5	1,4	1,3	1,2	—	—	—
0,4	9,2	3,4	2,2	1,6	1,5	1,4	—	—	—	—
0,5	14,6	4,3	2,6	1,9	1,6	—	—	—	—	—
0,6	17,1	5,2	3	2,1	—	—	—	—	—	—
0,7	20,7	5,8	3	—	—	—	—	—	—	—
0,8	22	5,8	—	—	—	—	—	—	—	—
0,9	23,1	—	—	—	—	—	—	—	—	—

Примечание. $\bar{d}_{отв} = d_{отв}/d_{ств}$ - относительный диаметр ответвления; $\bar{G}_{отв1} = G_{отв1}/G_{ств}$ - относительный расход в ответвлении, для которого определяются значения; $\bar{G}_{отв2}/G_{отв2}$ - относительный расход в противоположном ответвлении.

ТАБЛИЦА П.17.

КОЭФФИЦИЕНТЫ $\zeta_{\text{прот}}$ КРЕСТОВИН ДЛЯ СТАЛЬНЫХ ВОДОГАЗОПРОВОДНЫХ ТРУБ ПРИ СЛИЯНИИ ПОТОКОВ (ПО ОПЫТНЫМ ДАННЫМ Б. ЦНИПС)

$\bar{G}_{\text{прот}} = G_{\text{прот}}/G_{\text{отв}}$	0,1	0,2	0,3	0,4	0,5	0,6	0,7	0,8	0,9	1
$\zeta_{\text{прот}}$	110	24,7	10,7	5,6	3,6	3,6	2	1,7	1,4	1,3

ТАБЛИЦА П.18.

КОЭФФИЦИЕНТЫ $\zeta_{\text{отв}}$ КРЕСТОВИН ДЛЯ СТАЛЬНЫХ ВОДОГАЗОПРОВОДНЫХ ТРУБ ПРИ ДЕЛЕНИИ ПОТОКОВ (ПО ОПЫТНЫМ ДАННЫМ Б. ЦНИПС)

Соотношение расходов	Значения $\zeta_{\text{отв}}$ при $\bar{G}_{\text{отв}}$										
	0,1	0,2	0,3	0,4	0,45	0,5	0,6	0,7	0,8	0,9	1
1 $G_{\text{отв}1} = G_{\text{отв}2}$ $G_{\text{отв}1} = G_{\text{отв}2}$	105	26,6	12,3	7,5	6,2	5,2	3,9	3,2	2,7	2,3	2,2
	105	26,6	12,3	13,7	12,5	7	—	—	—	—	—
0,76 $G_{\text{отв}1} \neq G_{\text{отв}2}$ $G_{\text{отв}1} = G_{\text{отв}2}$	32,5	9,4	4,7	3	2,7	2,1	1,6	1,4	1,2	1,1	1
	32,5	9,4	8,1	6	5,1	4,7	—	—	—	—	—
0,59 $G_{\text{отв}1} \neq G_{\text{отв}2}$ $G_{\text{отв}1} = G_{\text{отв}2}$	14,1	4,1	2,4	1,7	1,5	1,4	1,2	1,1	1	1	0,9
	15,3	4,4	3,4	3,2	2,5	2,1	—	—	—	—	—

ТАБЛИЦА П.19.

КОЭФФИЦИЕНТЫ $\zeta_{\text{прот}}$ КРЕСТОВИН ДЛЯ СТАЛЬНЫХ ВОДОГАЗОПРОВОДНЫХ ТРУБ ПРИ ДЕЛЕНИИ ПОТОКОВ (ПО ОПЫТНЫМ ДАННЫМ Б. ЦНИПС)

$\bar{G}_{\text{прот}} = G_{\text{прот}}/G_{\text{ств}}$	0,1	0,2	0,3	0,4	0,45	0,5	0,6	0,7	0,8	0,9	1
$\zeta_{\text{прот}}$	93	20,6	7,3	3	2,1	1,6	1,2	1	0,9	0,9	0,9

Примечание. Для более точного определения потерь давления при $\bar{G}_{\text{прот}} = 0,1 - 0,2$ рекомендуется тщательное интерполирование

ТАБЛИЦА П.20.

КОЭФФИЦИЕНТЫ МЕСТНОГО СОПРОТИВЛЕНИЯ ζ (УСРЕДНЕННЫЕ) СВАРНЫХ ТРОЙНИКОВ НА МАГИСТРАЛЯХ НАСОСНЫХ СИСТЕМ ВОДЯНОГО ОТОПЛЕНИЯ

Магистраль	Значения ζ								
	для тройников на проходе при $G_{\text{пр}}/G_{\text{сб}}$					для тройников на ответвлении при $G_{\text{отв}}/G_{\text{сб}}$			
	0,6 и менее	0,6-0,7	0,7-0,8	0,8-0,9	0,9	0,1-0,2	0,2-0,3	0,3 и более	
Подающая	0,5	0,3	0,3	0,2	0,2	5	5	5	
Обратная	3	1,5	1,2	0,7	0,5	0	1	1,5	

ТАБЛИЦА П.21

**ДОЛИ ПОТЕРЬ ДАВЛЕНИЯ НА МЕСТНЫЕ СОПРОТИВЛЕНИЯ
И НА ТРЕНИЕ ОТ ОБЩИХ ПОТЕРЬ ДАВЛЕНИЯ В ТРУБОПРОВОДАХ**

Характеристика систем	Доли потерь	
	на местные сопротивления	на трение
Системы водяного отопления с циркуляцией воды (независимо от протяженности по вертикали и горизонтали):		
естественной насосной	0,5 0,35	0,5 0,65
Районные тепловоды со средним расстоянием от источника теплоснабжения до здания:		
около 50 м	0,2	0,8
100 м и более	0,1	0,9
Системы парового отопления:		
низкого давления	0,35	0,65
высокого давления внутри здания	0,2	0,8
в наружных сетях	0,1	0,9
Конденсатные магистрали паружных сетей	0,1	0,9
Конденсатные трубопроводы системы отопления	0,2	0,8

ТАБЛИЦА П.22

**ТЕПЛОТДАЧА ОТКРЫТО ПРОЛОЖЕННЫХ ТРУБОПРОВОДОВ
(ВЕРТИКАЛЬНЫХ – ВЕРХНЯЯ, ГОРИЗОНТАЛЬНЫХ – НИЖНЯЯ СТРОКА)
СИСТЕМ ВОДЯНОГО ОТОПЛЕНИЯ**

$t_r - t_n, ^\circ\text{C}$	Условный диаметр, мм	Теплоотдача 1 м трубы, Вт/м, при $t_r - t_n, ^\circ\text{C}$, через 1°C									
		0	1	2	3	4	5	6	7	8	9
30	10	15	16	17	17	18	18	20	21	21	22
		22	23	23	24	25	26	28	28	29	30
	15	20	21	21	22	23	24	24	25	26	28
		26	28	29	30	31	32	34	35	36	37
	20	23	24	25	26	28	29	31	32	34	35
		32	34	35	36	38	39	41	42	43	44
	25	31	32	34	35	36	37	38	41	42	43
		39	41	43	44	45	47	49	51	52	53
	32	39	41	43	44	45	47	50	51	52	54
		47	50	52	54	56	58	60	63	64	67
	40	51	53	56	58	60	63	65	67	69	72
		53	56	58	60	63	65	67	69	72	74
50	56	58	60	63	65	67	69	72	74	77	
	65	67	69	73	77	78	81	84	87	90	
40	10	22	23	24	24	25	25	27	28	28	29
		31	32	32	34	35	36	37	38	39	41
	15	28	30	30	31	32	34	34	35	36	37
		38	39	41	42	43	44	44	46	47	49
	20	36	37	38	39	41	42	43	44	45	46
		46	47	50	52	53	55	57	58	59	60
	25	44	46	47	49	51	52	53	55	56	58
		57	59	63	65	66	68	71	72	74	75
	32	56	58	60	61	64	65	67	68	71	73
		74	77	79	81	84	86	89	92	94	96
	40	64	66	68	70	72	74	77	78	80	82
		77	79	80	84	86	88	89	92	94	97
	50	79	82	85	87	88	93	95	97	100	103
		93	95	99	101	105	107	110	113	115	118

Продолжение табл. II.22

$t_r - t_n$, °C	Условный диаметр, мм	Теплоотдача 1 м трубы, Вт/м, при $t_r - t_n$, °C, через 1°C									
		0	1	2	3	4	5	6	7	8	9
50	10	30	30	31	32	32	34	35	35	36	37
		41	42	43	44	45	46	47	49	50	50
	15	38	38	39	41	41	43	44	44	45	46
		50	51	52	53	56	57	58	59	60	61
	20	47	49	50	51	52	53	54	56	57	58
		60	61	64	65	66	68	70	71	73	74
	25	59	60	62	64	65	67	68	70	72	73
		73	74	76	79	80	82	85	86	88	91
	32	74	76	78	80	82	84	86	88	91	92
		91	92	94	96	99	101	103	106	108	112
40	85	86	88	91	93	96	97	99	101	103	
	100	102	106	108	110	113	116	118	121	124	
50	106	108	111	114	117	120	123	125	128	131	
	122	125	129	132	135	138	141	144	148	151	
60	10	38	38	39	41	42	42	43	44	44	45
		52	52	53	54	56	57	58	59	60	62
	15	47	49	50	51	52	53	55	55	56	57
		63	65	66	67	69	70	71	73	74	75
	20	59	61	63	64	65	66	67	68	70	72
		77	79	80	81	83	85	86	88	89	92
	25	74	76	78	79	81	83	85	86	88	89
		92	94	96	98	100	102	104	106	108	110
	32	94	96	98	100	102	105	106	108	110	113
		114	115	118	121	123	125	128	130	132	135
40	107	109	111	114	116	119	121	123	125	128	
	127	129	132	135	137	141	143	145	149	151	
50	134	137	141	143	146	149	152	156	158	162	
	155	157	160	164	167	171	174	177	182	185	
70	10	46	48	49	49	50	51	52	52	53	55
		63	64	65	66	67	68	70	71	73	73
	15	59	60	61	63	64	65	66	67	68	70
		77	79	80	81	82	84	86	87	89	91
	20	74	75	77	78	80	81	83	84	86	87
		93	95	96	97	100	102	103	105	107	108
	25	93	94	96	97	100	101	103	107	107	109
		113	114	116	118	121	123	125	128	128	131
	32	117	119	121	123	125	128	130	133	135	137
		138	141	143	145	148	151	153	156	159	162
40	132	135	137	140	143	145	148	151	152	154	
	155	157	160	163	166	168	172	174	178	180	
50	165	167	171	174	178	180	185	187	191	194	
	187	191	194	198	202	205	208	213	215	218	
80	10	56	57	58	58	59	60	61	63	64	65
		75	75	78	79	80	81	82	84	85	86
	15	71	72	73	74	75	77	78	79	81	81
		92	93	94	96	98	100	101	101	102	105
	20	88	89	92	93	94	96	98	99	101	102
		109	111	114	115	117	120	121	123	125	127
	25	110	113	114	116	119	120	122	124	125	128
		134	136	138	141	143	145	146	149	151	153
	32	139	142	144	146	149	151	153	156	158	162
		164	166	170	172	174	178	180	182	186	188
40	158	160	165	166	169	173	174	177	180	182	
	184	186	189	192	195	198	201	204	208	210	
50	196	200	203	207	210	214	217	221	224	228	
	223	227	230	235	238	242	246	250	253	257	

Продолжение табл II 22

$t_r - t_n, ^\circ\text{C}$	Условный диаметр, мм	Теплоотдача 1 м трубы, Вт/м, при $t_r - t_n, ^\circ\text{C}$, через 1°C										
		0	1	2	3	4	5	6	7	8	9	
90	10	65	66	67	68	70	71	72	72	73	74	
		87	88	91	91	93	93	95	96	97	99	
	15	82	84	86	87	88	89	91	92	93	94	
		107	108	110	112	114	115	117	119	120	122	
	20	103	106	107	108	110	112	114	115	116	118	
		128	131	132	135	137	138	141	143	144	146	
	25	130	131	134	136	137	138	139	142	146	148	
		156	158	160	163	164	167	170	172	175	177	
	32	164	166	168	171	173	175	179	181	184	186	
		191	194	196	200	201	204	208	212	214	216	
	40	186	188	190	194	196	200	202	206	208	212	
		214	217	220	223	227	229	232	236	238	242	
	50	231	235	238	243	246	250	253	257	260	264	
		260	265	270	272	275	280	284	288	293	296	
	100	10	75	77	78	79	80	81	82	83	84	85
			101	102	103	105	106	107	108	110	112	113
		15	95	97	99	100	100	101	102	103	105	106
			122	124	126	128	129	131	134	135	136	138
20		120	122	123	124	127	129	130	132	134	136	
		149	152	155	156	158	159	162	164	166	169	
25		149	150	152	154	157	159	162	164	166	167	
		180	182	186	188	191	194	195	199	200	203	
32		188	191	193	196	199	202	204	206	209	212	
		222	224	228	231	235	237	239	243	246	250	
40		214	217	220	223	227	230	233	236	239	242	
		246	250	253	257	260	265	267	271	274	278	
50		268	272	275	279	284	287	292	295	299	303	
		300	305	309	314	318	322	327	330	335	339	
110		10	86	87	88	89	90	91	93	94	95	96
			113	115	116	118	119	120	122	124	125	126
		15	108	109	110	111	113	115	116	117	118	120
			139	140	142	144	145	147	149	151	153	154
	20	136	137	139	140	142	144	146	148	150	152	
		169	171	173	175	177	180	182	184	187	189	
	25	169	172	174	176	178	180	182	184	187	189	
		205	208	211	214	216	219	221	224	227	230	
	32	207	210	212	216	218	222	224	226	229	232	
		244	246	251	254	258	260	262	266	269	274	
	40	235	239	242	245	249	253	256	259	262	265	
		271	275	278	282	286	291	293	297	300	304	
	50	295	299	302	306	312	315	321	324	327	330	
		330	335	339	345	349	354	359	362	368	370	
	120	10	98	99	100	101	102	104	105	106	107	108
			128	130	131	133	135	136	138	140	141	143
		15	122	123	124	126	128	129	130	132	134	135
			156	158	160	162	164	166	168	170	172	173
20		154	156	157	159	160	162	164	166	168	170	
		191	193	195	198	200	202	205	207	209	212	
25		192	194	197	199	201	204	206	208	211	213	
		233	235	238	241	244	247	249	252	255	257	
32		226	229	231	234	237	240	242	244	247	251	
		266	269	273	276	280	282	284	288	291	295	
40		257	260	263	266	270	274	277	280	283	286	
		295	300	302	307	310	315	317	321	325	329	
50		321	326	329	333	338	341	347	350	354	358	
		360	366	369	375	379	383	388	391	397	401	

Продолжение табл. II 22

$t_r - t_n, ^\circ\text{C}$	Условный диаметр, мм	Теплоотдача 1 м трубы, Вт/м, при $t_r - t_n, ^\circ\text{C}$, через 1°C									
		0	1	2	3	4	5	6	7	8	9
130	10	97	100	101	102	103	104	105	106	107	108
		131	132	133	135	136	137	138	141	143	144
	15	123	125	128	129	129	130	130	132	134	135
		159	160	163	165	166	168	171	173	174	176
	20	156	158	159	160	163	166	167	169	171	173
		194	197	200	201	203	204	208	210	212	215
	25	194	194	197	200	202	204	208	210	212	213
		234	236	241	242	246	249	250	255	256	259
	32	244	248	249	253	256	259	261	264	267	270
		289	290	295	298	303	304	306	311	314	319
	40	278	281	284	288	292	295	300	302	305	308
		320	324	327	331	334	340	342	347	350	354
	50	348	352	355	360	365	369	374	378	382	386
		390	395	400	405	409	414	419	422	428	432

Примечание. Теплоотдача труб принята при d_e до 50 мм включительно для труб легких и обыкновенных по ГОСТ 3262 75*, при d_e свыше 50 мм – для труб стальных электросварных прямошовных по ГОСТ 10704 76*

ТАБЛИЦА II.23

ТЕПЛООТДАЧА ОТКРЫТО ПРОЛОЖЕННЫХ ТРУБОПРОВОДОВ СИСТЕМ ПАРОВОГО ОТОПЛЕНИЯ

$t_r - t_n, ^\circ\text{C}$	Теплоотдача 1 м трубы, Вт/м, при диаметре условного прохода, мм												
	10	15	20	25	32	40	50	65	80	100	125	150	200
77	60	74	96	120	142	163	202	257	301	370	430	515	740
81	64	78	101	128	149	171	212	269	316	384	452	541	739
85	66	82	107	133	157	179	223	283	332	402	476	568	777
89	70	86	111	139	164	187	232	296	347	421	498	594	813
93	78	89	124	159	182	209	260	331	387	469	556	664	915
97	81	100	130	163	191	217	271	345	404	488	580	693	955
101	85	104	135	168	198	226	282	359	421	509	603	721	993
105	88	108	139	174	204	236	294	373	437	529	628	750	1032
109	96	117	153	193	225	257	320	407	478	578	684	828	1124
113	100	122	159	200	233	266	332	422	495	600	708	859	1165
117	103	126	165	207	242	276	344	437	513	620	733	890	1208
121	106	131	171	213	250	286	355	453	530	642	758	920	1247
125	110	135	177	221	258	295	367	467	548	663	783	950	1289
129	114	139	182	228	267	304	379	482	565	684	809	981	1330
133	117	144	187	234	275	314	390	498	582	704	834	1010	1372
138	121	149	193	242	284	323	420	511	600	727	859	1042	1413
141	124	152	199	249	290	332	414	527	617	748	884	1071	1455
145	128	157	204	256	299	341	426	542	634	768	909	1102	1496
149	131	161	209	263	307	353	438	557	652	780	934	1133	1537

ТАБЛИЦА П.24

**ТЕПЛОТДАЧА ИЗОЛИРОВАННЫХ ТЕПЛОПРОВОДОВ В ПОДВАЛАХ
И ТЕХНИЧЕСКИХ ПОДПОЛЬЯХ ЗДАНИЙ
(ПРИ КОЭФФИЦИЕНТЕ ЭФФЕКТИВНОСТИ ИЗОЛЯЦИИ 0,75)**

$t_1 - t_2, ^\circ\text{C}$	Теплоотдача 1 м изолированной трубы, Вт/м, при диаметре условного прохода, мм											
	15	20	25	32	40	50	65	80	100	125	150	200
50	13	16	20	24	27	33	40	45	53	65	76	105
55	15	18	22	27	30	36	45	51	60	73	86	118
60	16	20	24	30	34	41	50	57	67	88	96	132
65	18	22	27	34	37	45	55	63	75	91	106	146
70	20	24	30	36	41	50	60	69	83	100	116	160
75	22	27	33	40	44	55	65	75	90	109	127	175
80	24	29	35	43	48	59	71	81	98	119	137	189
85	26	31	38	47	52	63	77	88	106	128	148	204
90	28	34	41	50	56	67	83	95	113	137	159	219
95	30	36	44	53	60	72	89	101	121	147	170	234
100	32	38	47	57	64	77	95	108	129	156	181	250
105	34	41	50	61	68	82	101	115	137	166	193	266
110	36	44	52	65	72	87	108	122	145	176	205	282
115	38	47	55	69	76	92	114	129	154	186	217	299
120	40	49	58	72	80	98	120	136	163	197	229	315
125	42	51	61	76	84	103	127	144	171	207	241	332
130	44	53	64	80	88	108	133	151	180	217	253	348
135	47	56	67	84	93	113	140	158	189	228	265	365
140	49	59	71	87	98	119	145	165	198	238	278	383

ТАБЛИЦА П.25

**ПОНИЖАЮЩИЙ КОЭФФИЦИЕНТ НА ТЕПЛОТДАЧУ
СТАЛЬНЫХ ЭЛЕКТРОСВАРНЫХ ПРЯМОШОВНЫХ
ТРУБ (ГОСТ 10704-76*)**

Диаметр, условный, мм	10	15	20	25	32	40	50
	K	0,82	0,85	0,93	0,9	0,9	0,94

Приложение III.

ТРУБЫ СТАЛЬНЫЕ И СОЕДИНИТЕЛЬНЫЕ ЧАСТИ К НИМ

ТАБЛИЦА III.1.

**ОСНОВНЫЕ РАЗМЕРЫ, мм, И МАССА (БЕЗ МУФТ), кг, ТРУБ СТАЛЬНЫХ ВОДОГАЗОПРОВОДНЫХ ПО
ГОСТ 3262 75 С ИЗМ.**

Условный проход	Наружный диаметр	Толщина стенки труб			Теоретическая масса 1 м труб		
		легких	обыкно- венных	усиленных	легких	обыкно- венных	усиленных
10	17	2,0	2,2	2,8	0,74	0,8	0,98
15	21,3	2,5	2,8	3,2	1,16	1,28	1,43
20	26,8	2,5	2,8	3,2	1,5	1,66	1,86
25	33,5	2,8	3,2	4,0	2,12	2,39	2,91
32	42,3	2,8	3,2	3,0	2,73	3,09	3,78
40	48,0	3,0	3,5	4,0	3,33	3,84	4,34
50	60,0	3,0	3,5	4,5	4,22	4,38	6,16
65	75,5	3,2	4,0	4,5	5,71	7,05	7,88

Примечание. В таблице приведена масса неоцинкованных (черных) труб. Масса оцинкованных труб на 3% больше

ТАБЛИЦА III.2.

ОСНОВНЫЕ РАЗМЕРЫ, мм, И МАССА, кг, ТРУБ СТАЛЬНЫХ ЭЛЕКТРОСВАРНЫХ ПРЯМОШОВНЫХ ПО ГОСТ 10704-75 С ИЗМ.

Условный проход	Наружный диаметр	Толщина стенки	Масса 1 м	Условный проход	Наружный диаметр	Толщина стенки	Масса 1 м
10	14	1,6	0,49	100	108	2,8	7,26
15	18	2	0,79	125	133	3,2	10,24
20	25	2	1,13	150	159	3,5	13,42
25	32	2	1,48	200	219	4	21,21
32	38	2	1,78	250	273	4	26,54
40	45	2	2,12	300	325	4	34,67
50	57	2,5	3,36	350	377	5	45,87
65	76	2,8	5,06	400	426	5	51,91
80	89	2,8	5,95				

ТАБЛИЦА III.3.

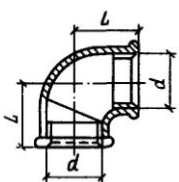
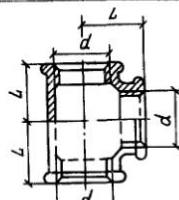
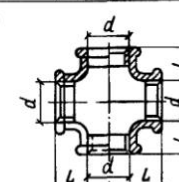
ОСНОВНЫЕ РАЗМЕРЫ, мм, И МАССА, кг, ТРУБ СТАЛЬНЫХ БЕСШОВНЫХ ГОРЯЧЕДЕФОРМИРОВАННЫХ ПО ГОСТ 8732-78 С ИЗМ.

Условный проход	Наружный диаметр × толщина × толщина стенки	Номинальный внутренний диаметр	Масса 1 м
50	57 × 3,5	50	4,62
65	76 × 3,5	69	6,26
80	89 × 3,5	82	7,38
100	108 × 4	100	10,26
125	133 × 4	125	12,73
150	159 × 4,5	150	17,15
168	168 × 5	158	20,1
194	194 × 5	184	23,31
200	219 × 7	205	36,6
250	273 × 8	257	52,28
300	325 × 8	309	62,54
350	377 × 9	359	81,68
400	426 × 10	406	102,59

Примечание. Трубы предназначены для перемещения неагрессивных и малоагрессивных сред при $p_r \leq 2,5$ МПа (25 кгс/см²) и температуре до 300°C.

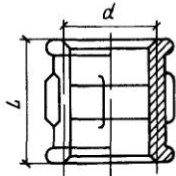
УГОЛЬНИКИ, ТРОЙНИКИ, КРЕСТЫ И МУФТЫ ПРЯМЫЕ

ТАБЛИЦА III.4.

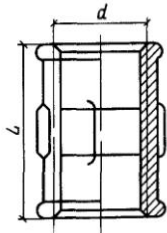
Соединительные части	Обозначение	Размеры, мм, и масса, кг, при условном проходе, мм								
		8	10	15	20	25	32	40	50	
Угольники по ГОСТ 8946-75 с изм. прямые		d	1/4"	3/8"	1/2"	3/4"	1"	1 1/4"	1 1/2"	2"
		L	21	25	28	33	38	45	50	58
		Масса	0,042	0,059	0,094	0,146	0,229	0,352	0,494	0,790
Тройники по ГОСТ 8948-75 с изм. прямые		d	1/4"	3/8"	1/2"	3/4"	1"	1 1/4"	1 1/2"	2"
		L	21	25	28	33	38	45	50	58
		Масса	0,064	0,085	0,133	0,206	0,318	0,490	0,673	1,088
Кресты по ГОСТ 8951-75 с изм. прямые		d	—	3/8"	1/2"	3/4"	1"	1 1/4"	1 1/2"	2"
		L	—	25	28	33	38	45	50	58
		Масса	—	0,105	0,163	0,284	0,383	0,585	0,797	1,251

Продолжение табл. III.4

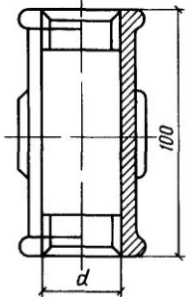
Соединительные части	Обозначение	Размеры, мм, и масса, кг, при условном проходе, мм							
		8	10	15	20	25	32	40	50
Муфты прямые короткие по ГОСТ 8954-75 с изм.	d	1/4"	3/8"	1/2"	3/4"	1"	1 1/4"	1 1/2"	2"
	L	22	24	28	31	35	39	43	47
	Масса	0,031	0,040	0,065	0,096	0,155	0,226	0,309	0,480



Муфты прямые длинные по ГОСТ 8955-75 с изм.	d	1/4"	3/8"	1/2"	3/4"	1"	1 1/4"	1 1/2"	2"
	L	27	30	36	39	45	50	55	65
	Масса	0,034	0,044	0,074	0,108	0,173	0,245	0,342	0,560
	Число ребер	2	2	2	2	4	4	4	5



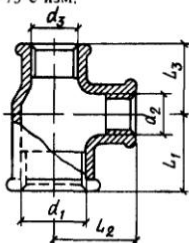
Муфты компенсирующие по ГОСТ 8956-75 с изм.	d	1/4"	3/8"	1/2"	3/4"	1"	1 1/4"	1 1/2"	2"
	Масса	—	—	0,175	0,236	0,342	0,462	0,582	0,832
	Число ребер	—	—	2	2	4	4	4	6



ТРОЙНИКИ И КРЕСТЫ С ДВУМЯ ПЕРЕХОДАМИ

ТАБЛИЦА III.5.

Соединительные части	Обозначение	Размеры, мм, и масса, кг, при условном проходе, мм						
		20 × 15 × 15	20 × 20 × 15	25 × 15 × 20	25 × 20 × 20	32 × 20 × 25	32 × 25 × 25	40 × 25 × 32
Тройники с двумя переходами по ГОСТ 8950-75 с изм.	d_1	3/4"	3/4"	1"	1"	1 1/4"	1 1/4"	1 1/2"
	d_2	1/2"	3/4"	1/2"	3/4"	3/4"	1"	1"
	d_3	1/2"	1/2"	3/4"	3/4"	1"	1"	1 1/4"
	L_1	30	33	32	35	36	40	42
	L_2	31	33	34	36	41	42	46
	L_3	28	31	30	33	35	38	40
	Масса	0,158	0,185	0,215	0,246	0,329	0,374	0,477



Продолжение табл. III.5

Соединительные части	Обозначение	Размеры, мм, и масса, кг, при условном проходе, мм						
		20 × 15 × 15	20 × 20 × 15	25 × 15 × 20	25 × 20 × 20	32 × 20 × 25	32 × 25 × 25	40 × 25 × 32
Кресты с двумя переходами по ГОСТ 8953-75 с изм.	d_1	3/4"	3/4"	1"	1"	1 1/4"	—	—
	d_2	1/2"	3/4"	1/2"	3/4"	3/4"	—	—
	d_3	1/2"	1/2"	3/4"	3/4"	1"	—	—
	L_1	30	33	32	35	36	—	—
	L_2	31	33	34	36	41	—	—
	L_3	28	31	30	33	35	—	—
	Масса	0,200	0,264	0,252	0,316	0,396	—	—

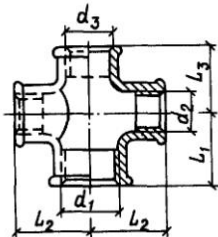
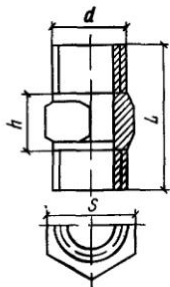


ТАБЛИЦА III.6.

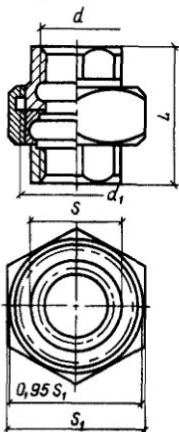
НИПЕЛИ ДВОЙНЫЕ И ГАЙКИ СОЕДИНИТЕЛЬНЫЕ

Соединительные части	Обозначение	Размеры, мм, и масса, кг, при условном проходе, мм							
		8	10	15	20	25	32	40	50
Нипели двойные по ГОСТ 8958 75 с изм.	d	1/4"	3/8"	1/2"	3/4"	1"	1 1/4"	1 1/2"	2"
	S	17	19	24	30	36	46	50	65
	L	36	38	44	47	53	57	59	68
	h	7	7	7	8	8	9	9	10
	Масса	0,029	0,035	0,065	0,090	0,140	0,209	0,210	0,406



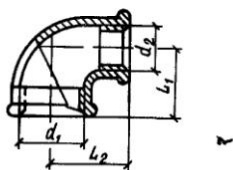
Гайки соединительные по ГОСТ 8959-75 с изм.

d_1	3/4"	7/8"	1 1/8"	1 1/4"	1 3/4"	2"	2 1/4"	2 3/4"
d	1/4"	3/8"	1/2"	3/4"	1"	1 1/4"	1 1/2"	2"
S	19	22	27	32	41	50	55	65
S_1	32	36	46	50	65	70	75	90
L	42	45	48	53	58	65	70	78
Масса	0,216	0,282	0,464	0,588	1,091	1,423	1,702	2,522

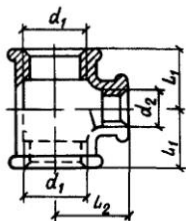


УГОЛЬНИКИ, ТРОЙНИКИ И КРЕСТЫ (с. 272–273)

Соединительные части	Обозначение	Размеры, мм,						
		15 × 10	15 × 20	20 × 10	20 × 15	25 × 15	25 × 20	32 × 15
Угольник переходной по ГОСТ 8947–75 с изм.	d_1	$1/2''$	—	$3/4''$	$3/4''$	1"	1"	$1 1/4''$
	d_2	$3/8''$	—	$3/8''$	$1/2''$	$1/2''$	$3/4''$	$1/2''$
	L_1	26	—	28	30	32	35	34
	L_2	26	—	28	31	34	36	38
	Масса	0,077	—	0,103	0,134	0,173	0,204	0,234



Тройник переходной по ГОСТ 8949–75 с изм.	d_1	$1/2''$	$1/2''$	$3/4''$	$3/4''$	1"	1"	$1 1/4''$
	d_2	$3/8''$	$3/4''$	$3/8''$	$1/2''$	$1/2''$	$3/4''$	$1/2''$
	L_1	26	31	28	30	32	35	34
	L_2	26	30	28	31	34	36	38
	Масса	0,119	0,163	0,168	0,183	0,255	0,285	0,352



Кресты переходные по ГОСТ 8952–75 с изм.	d_1	$1/2''$	—	—	$3/4''$	1"	1"	$1 1/4''$
	d_2	$3/8''$	—	—	$1/2''$	$1/2''$	$3/4''$	$1/2''$
	L_1	26	—	—	30	32	35	34
	L_2	26	—	—	31	34	36	36
	Масса	0,137	—	—	0,212	0,284	0,329	0,382

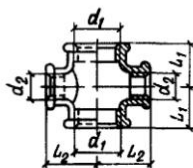


ТАБЛИЦА III.7.

и масса, кг, при условном проходе, мм

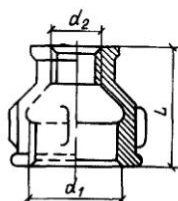
32 × 20	32 × 25	40 × 15	40 × 20	40 × 25	40 × 32	50 × 15	50 × 20	50 × 25	50 × 32	50 × 40
1 1/4"	1 1/4"	—	—	1 1/2"	1 1/2"	—	—	—	—	—
3/4"	1"	—	—	1"	1 1/4"	—	—	—	—	—
36	40	—	—	42	46	—	—	—	—	—
41	42	—	—	46	48	—	—	—	—	—
0,260	0,321	—	—	0,415	0,459	—	—	—	—	—

1 1/4"	1 1/4"	1 1/2"	1 1/2"	1 1/2"	1 1/2"	2"	2"	2"	2"	2"
3/4"	1"	1/2"	3/4"	1"	1 1/4"	1/2"	3/4"	1"	1 1/4"	1 1/2"
38	40	36	38	42	46	38	40	44	48	52
41	42	42	44	46	48	48	50	52	54	55
0,382	0,430	0,459	0,494	0,552	0,616	0,672	0,714	0,788	0,807	0,940

1 1/4"	1 1/4"	—	1 1/2"	1 1/2"	1 1/2"	—	—	2"	2"	2"
3/4"	1"	—	3/4"	1"	1 1/4"	—	—	1"	1 1/4"	1 1/2"
36	40	—	38	42	46	—	—	44	48	52
41	42	—	44	46	48	—	—	52	54	55
0,428	0,492	—	0,543	0,619	0,709	—	—	0,859	0,964	0,055

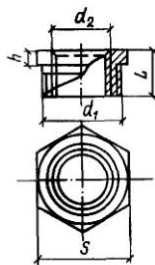
МУФТЫ ПЕРЕХОДНЫЕ И ФУТОРКИ (с. 274–275)

Соединительные части	Обозначение	Размеры, мм,						
		10 × 8	15 × 8	15 × 10	20 × 10	20 × 15	25 × 15	25 × 20
Муфты переходные по ГОСТ 8957–75 с изм.	d_1	3/8"	1/2"	1/2"	1/2"	3/4"	3/4"	1"
	d_2	1/4"	1/4"	3/8"	3/8"	1/2"	1/2"	3/4"
	L	30	36	36	39	39	45	45
	Масса	0,040	0,061	0,064	0,086	0,095	0,134	0,147



Футорки по ГОСТ 8960–75 с изм.

Тип	I	II	I	II	I	II	I
d_1	3/8"	1/2"	1/2"	3/4"	3/4"	1"	1"
d_2	1/4"	1/4"	3/8"	3/8"	1/2"	1/2"	3/4"
L	20	24	24	26"	26	29	29
S	19	24	24	30	30	36	36
h	7	7	7	7	7	7	7
Масса	0,019	0,038	0,032	0,064	0,054	0,106	0,084



КОНТРГАЙКИ, КОЛПАКИ И ПРОБКИ

ТАБЛИЦА III.9.

Соединительные части	Обозначение	Размеры, мм, и масса, кг, при условном проходе, мм							
		8	10	15	20	25	32	40	50
Контргайки по ГОСТ 8961–75 с изм.	d	1/4"	3/8"	1/2"	3/4"	1"	1 1/4"	1 1/2"	2"
	H	6	7	8	9	10	11	12	13
	S	22	27	32	36	46	55	60	75
	D	24,4	31,2	36,9	41,6	53,1	63,5	69,3	86,5
	Масса	0,013	0,023	0,034	0,041	0,077	0,109	0,127	0,212

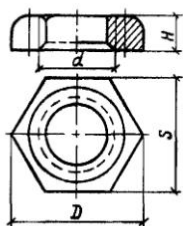


ТАБЛИЦА III.8.

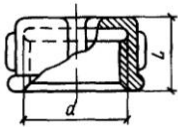
и масса, кг, при условном проходе, мм

32 × 15	32 × 20	32 × 25	40 × 15	40 × 20	40 × 25	40 × 32	50 × 15	50 × 20	50 × 25	50 × 32	50 × 40
1"	1 1/4"	1 1/4"	1 1/4"	1 1/2"	1 1/2"	1 1/2"	—	—	2"	2"	2"
1/2"	3/4"	1"	1 1/2"	3/4"	1"	1 1/4"	—	—	1"	1 1/4"	1 1/2"
50	50	50	55	55	55	55	—	—	65	65	65
0,185	0,209	0,218	0,243	0,258	0,280	0,325	—	—	0,416	0,447	0,473

II	II	I	II	II	II	I	III	III	II	II	II
1 1/4"	1 1/4"	1 1/4"	1 1/2"	1 1/2"	1 1/2"	1 1/2"	2"	2"	2"	2"	2"
1/2"	3/4"	1"	1 1/2"	3/4"	1"	1 1/4"	1 1/2"	3/4"	1"	1 1/4"	1 1/2"
31	31	31	31	31	31	31	48	48	35	35	35
46	46	46	50	50	50	50	65	65	65	65	65
7	7	7	7	7	7	7	8	8	8	8	8
0,221	0,180	0,146	0,299	0,256	0,198	0,122	0,281	0,379	0,471	0,360	0,271

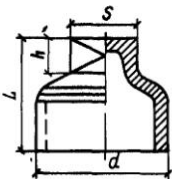
Продолжение табл. III.9

Соединительные части	Обозначение	Размеры, мм, и масса, кг, при условном проходе, мм							
		8	10	15	20	25	32	40	50
Колпаки по ГОСТ 8962-75 с изм.	<i>d</i>	—	—	1/2"	3/4"	1"	1 1/4"	1 1/2"	2"
	<i>L</i>	—	—	19	22	24	27	27	32
	Число ребер	—	—	2	2	4	4	4	6
	Масса	—	—	0,053	0,089	0,138	0,221	0,251	0,474



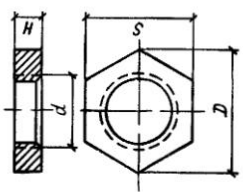
Пробки по ГОСТ 8963-75 с изм.

<i>d</i>	1/4"	3/8"	1/2"	3/4"	1"	1 1/4"	1 1/2"	2"
<i>L</i>	22	24	26	32	36	39	41	48
<i>S</i>	9*	11	14	17	19	22	22	27
<i>h</i>	6	7	7	9	10	12	12	14
Масса	0,016	0,024	0,040	0,069	0,110	0,157	0,186	0,322

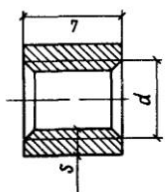


КОНТРАГЛАЙКИ, МУФТЫ ПРЯМЫЕ КОРОТКИЕ, НИПШЕЛИ И СТОНЫ

Соединительные части	Обозначение	Размеры, мм, и масса, кг, при условном проходе, мм											
		8	10	15	20	25	32	40	50	65	80	100	125
Контраглайки по ГОСТ 8968-75 с зам	<i>d</i>	1/4"	3/8"	1/2"	3/4"	1"	1 1/4"	1 1/2"	2"	—	—	—	—
	<i>H</i>	6	7	8	9	10	11	12	13	—	—	—	—
	<i>S</i>	22	27	32	36	46	55	60	75	—	—	—	—
	<i>D</i>	22,4	31,2	36,9	41,6	53,1	63,5	69,4	88,5	—	—	—	—
	Масса	0,014	0,021	0,037	0,044	0,076	0,105	0,113	0,174	—	—	—	—



Муфты прямые по ГОСТ 8966-75	<i>d</i>	1/4"	3/8"	1/2"	3/4"	1"	1 1/4"	1 1/2"	2"	2 1/2"	3"	4"	5"
	<i>L</i>	25	26	34	36	43	48	48	56	65	71	83	92
	<i>S</i>	3,5	3,5	4,0	4,0	5,0	5,0	5,0	5,5	6,0	6,0	8,0	8,0
	Масса	0,023	0,036	0,067	0,086	0,163	0,220	0,255	0,409	0,663	0,838	1,801	2,374



Приложение IV

ОБЩИЕ СВЕДЕНИЯ ОБ АРМАТУРЕ

ТАБЛИЦА IV.1.

ИЗБЫТОЧНЫЕ ДАВЛЕНИЯ, МПа (кгс/см²),
ДЛЯ АРМАТУРЫ ИЗ РАЗЛИЧНЫХ МАТЕРИАЛОВ

Давление		Наибольшее рабочее давление p_p для арматуры из различных материалов при температуре среды, °С				
условное p_y	пробное $p_{пр}$	серый и ковкий чугун		бронза и латунь		сталь
		до 120	до 200	до 120	до 200	до 200
0,1(1)	0,2(2)	0,1(1)	0,1(1)	0,1(1)	0,1(1)	0,1(1)
0,16(1,6)	0,25(2,5)	0,16(1,6)	0,15(1,5)	0,16(1,6)	0,13(1,3)	0,16(1,6)
0,25(2,5)	0,4(4)	0,25(2,5)	0,25(2,5)	0,25(2,5)	0,2(2)	0,25(2,5)
0,4(4)	0,6(6)	0,4(4)	0,36(3,6)	0,4(4)	0,32(3,2)	0,4(4)
0,6(6)	0,9(9)	0,6(6)	0,55(5,5)	0,6(6)	0,5(5)	0,6(6)
1(10)	1,5(15)	1(10)	0,9(9)	1(10)	0,8(8)	1(10)
1,6(16)	2,4(24)	1,6(16)	1,5(15)	1,6(16)	1,3(13)	1,6(16)

Примечание. Рабочее давление для промежуточных значений температуры среды определяется линейной интерполяцией

ТАБЛИЦА IV.2.

ИЗБЫТОЧНЫЕ ДАВЛЕНИЯ, МПа (кгс/см²),
ДЛЯ АРМАТУРЫ И ДЕТАЛЕЙ ТРУБОПРОВОДА
ИЗ СЕРОГО ЧУГУНА МАРОК сч 18-36, сч 21-40, вч 42-12
и кч 30-6

Давление		Рабочее давление p_p при наибольшей температуре среды, °С					
условное p_y	пробное $p_{пр}$	120	200	250	300	350	400
0,10(1)	0,20(2)	0,10(1)	0,10(1)	0,10(1)	0,10(1)	0,08(0,8)	0,07(0,7)
0,16(1,6)	0,25(2,5)	0,16(1,6)	0,15(1,5)	0,13(1,3)	0,13(1,3)	0,12(1,2)	0,11(1,1)
0,25(2,5)	0,40(4)	0,25(2,5)	0,23(2,3)	0,20(2)	0,20(2)	0,19(1,9)	0,16(1,6)
0,40(4)	0,60(6)	0,40(4)	0,36(3,6)	0,34(3,4)	0,32(3,2)	0,30(3)	0,28(2,8)
0,63(6,3)	0,90(9)	0,63(6,3)	0,60(6)	0,50(5)	0,50(5)	0,46(4,6)	0,43(4,3)
1,00(10)	1,50(15)	1,00(10)	0,90(9)	0,80(8)	0,80(8)	0,75(7,5)	0,70(7)
1,60(1,6)	2,40(24)	1,60(16)	1,50(15)	1,40(14)	1,30(13)	1,20(12)	1,00(10)
2,5(25)*	3,80(38)	2,50(25)	2,30(23)	2,10(21)	2,00(20)	1,80(18)	1,60(16)
4,00(40)*	6,00(60)	4,00(40)	3,60(36)	3,40(34)	3,20(32)	3,00(30)	2,80(28)

Примечания: 1 Условные давления, отмеченные звездочкой, следует применять только для деталей трубопроводов, изготовленных из чугуна марок вч 42-12 и кч 30-6

2 Рабочие давления для арматуры и деталей трубопроводов из чугуна марок сч 18-36, сч 21-40 и вч 42-12 следует применять только до температуры среды 300°С включительно

3 Первая ступень рабочего давления распространяется на температуры среды не ниже минус 30°С - для чугуна марок вч 42-12 и кч 30-6 и не ниже минус 15°С - для чугуна марок сч 18-36 и сч 21-40

4 Рабочее давление для промежуточных значений температуры среды определяется линейной интерполяцией

ТАБЛИЦА IV.3.

**ИЗБЫТОЧНЫЕ ДАВЛЕНИЯ, МПа (кгс/см²),
ДЛЯ АРМАТУРЫ И ДЕТАЛЕЙ ТРУБОПРОВОДА
ИЗ БРОНЗЫ ПО ГОСТ 613-79 И ГОСТ 18175-78
С ИЗМ. И ИЗ ЛАТУНИ ПО ГОСТ 17711-80
С ИЗМ. И ГОСТ 15527-70 С ИЗМ.**

Давление		Рабочее давление P_p при наибольшей температуре среды, °С		
условное P_y	пробное P_{np}	120	200	250
0,10(1)	0,20(2)	0,10(1)	0,10(1)	0,07(0,7)
0,16(1,6)	0,25(2,5)	0,16(1,6)	0,13(1,3)	0,11(1,1)
0,25(2,5)	0,40(4)	0,25(2,5)	0,20(2)	0,17(1,7)
0,40(4)	0,60(6)	0,40(4)	0,32(3,2)	0,27(2,7)
0,63(6,3)	0,90(9)	0,63(6,3)	0,50(5)	0,45(4,5)
1,00(10)	1,50(15)	1,00(10)	0,80(8)	0,70(7)
1,60(16)	2,40(24)	1,60(16)	1,30(13)	1,10(11)
2,50(25)	3,80(38)	2,50(25)	2,00(20)	1,70(17)
4,00(40)	6,00(60)	4,00(40)	3,20(32)	2,70(27)

Примечание. Рабочее давление для промежуточных значений температуры среды определяется линейной интерполяцией

ТАБЛИЦА IV.4.

**УСЛОВНЫЕ ПРОХОДЫ
И СООТВЕТСТВУЮЩАЯ ТРУБНАЯ
РЕЗЬБА МУФТОВЫХ КОНЦОВ**

Условный проход, мм	Резьба трубная	Условный проход, мм	Резьба трубная
6	1/4"	32	1 1/4"
10	3/8"	40	1 1/2"
15	1/2"	50	2"
20	3/4"	65	2 1/2"
25	1"	80	3"

Примечание. Резьба трубная по ГОСТ 6527-68 *

ТАБЛИЦА IV.5.

**УСЛОВНОЕ ОБОЗНАЧЕНИЕ АРМАТУРЫ
ПО КЛАССИФИКАЦИИ
ЦЕНТРАЛЬНОГО
КОНСТРУКТОРСКОГО БЮРО
АРМАТУРОСТРОЕНИЯ (ЦКБА)**

Тип арматуры	Условное обозначение	Тип арматуры	Условное обозначение
Кран пробно-спуск- ной	10	Клапаны:	
Кран для трубо- провода	11	обратный по- воротный	19
Запорное устройство указателя уровня	12	запорный	22
Вентиль	B-14-15	регулирующий	25
Клапаны:		смесительный	27
обратный подъем- ный и приемный с сеткой	16	Регулятор давле- ния «после себя» и «до себя»	21
предохранитель- ный	17	Задвижка	30 и 31
		Затвор	32
		Конденсатоот- водчик	45

ТАБЛИЦА IV.6.

ОБОЗНАЧЕНИЕ МАТЕРИАЛА

Материал корпуса	Условное обозна- чение	Материал корпуса	Условное обозна- чение
Сталь:		Пластмассы	п
углеродистая	с	(кроме виниплас- та)	
легированная	лс	Винипласт	вп
коррозионно- стойкая (нержа- вующая)	нж	Титан	тн
Чугун:			
серый	ч		
ковкий	кч		
высокопрочный	вч		
Латунь, бронза	б		
Алюминий	а		

ТАБЛИЦА IV.7.

ОБОЗНАЧЕНИЕ ПРИВОДА

Привод	Условное обозна- чение	Привод	Условное обозна- чение
Механический с пе- редачей		Пневматический	6
червячной	3	Гидравлический	7
цилиндрической	4	Электромагнит- ный	8
конической	5	Электрический	9

ТАБЛИЦА IV.8.

**ОБОЗНАЧЕНИЕ МАТЕРИАЛА
УПЛОТНИТЕЛЬНЫХ ПОВЕРХНОСТЕЙ**

Материал уплотнительных поверхностей	Условное обозна- чение	Материал уплотнительных поверхностей	Условное обозна- чение
Латунь, бронза	бр	Кожа	к
Монель-металл	мн	Эбонит	э
Коррозионно-стой- кая (нержавеющая)	нж	Резина	р
сталь		Пластмассы	п
Стеллит	ст	(кроме вини- пласта)	
		Винипласт	вп

ТАБЛИЦА IV.9.

**СПОСОБ НАНЕСЕНИЯ ВНУТРЕННЕГО
ПОКРЫТИЯ КОРПУСА**

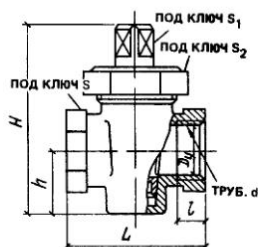
Способ нанесения внутреннего покрытия	Условное обозначение
Гуммирование	гм
Эмалирование	эм
Футерование пластмассой	п

Приложение V

КРАНЫ

ТАБЛИЦА V.1.

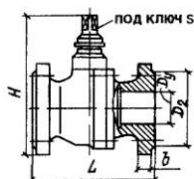
ОСНОВНЫЕ ГАБАРИТНЫЕ И ПРИСОЕДИНИТЕЛЬНЫЕ РАЗМЕРЫ,
мм, И МАССА, кг, КРАНОВ ПРОБКОВЫХ ПРОХОДНЫХ
КОНУСНЫХ САЛЬНИКОВЫХ МУФТОВЫХ 11Б 66к



Условный проход D_2	L	Резьба трубная d	l	H	h	s	s_1	s_2	Масса
15	55	$1/2''$	12	75	26	27	12	36	0,32
20	65	$3/4''$	14	90	31	32	14	46	0,54
25	80	$1''$	16	108	37	41	17	55	0,91
32	95	$1 1/4''$	18	123	44	50	19	60	1,44
40	110	$1 1/2''$	20	168	79	60	22	70	2,45
50	130	$2''$	22	186	85	70	27	90	4,3

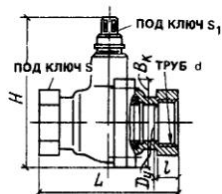
ТАБЛИЦА V.2.

ОСНОВНЫЕ ГАБАРИТНЫЕ И ПРИСОЕДИНИТЕЛЬНЫЕ РАЗМЕРЫ,
мм, И МАССА, кг, КРАНОВ ШАРОВЫХ ПРОХОДНЫХ
САЛЬНИКОВЫХ ФЛАНЦЕВЫХ 11ч 37п
ПО ТУ 26-07-1036-75



Условный проход D_2	L	D_2	b	H	s	Масса
50	180	102	17	192	17	8,3
100	230	158	19	322	19	26

ТАБЛИЦА V.3.
ОСНОВНЫЕ ГАБАРИТНЫЕ И ПРИСОЕДИНИТЕЛЬНЫЕ РАЗМЕРЫ, мм, И МАССА, кг, КРАНОВ ШАРОВЫХ ПРОХОДНЫХ САЛЬНИКОВЫХ МУФТОВЫХ 11ч 38п ПО ТУ 26-07-1036-75

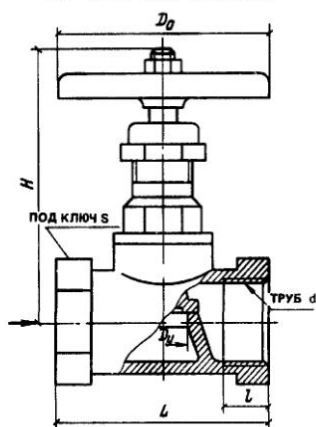


Условный проход D_y	L	Резьба трубная d	l	H	B	s	S_1	Масса
25	120	1"	16	117,5	75	46	9	1,48
32	130	1 1/4"	19	144	84	56	10	2,27
40	150	1 1/2"	22	159	94	60	12	3,57
50	170	2 1/2"	24	184	110	75	17	6

Приложение VI

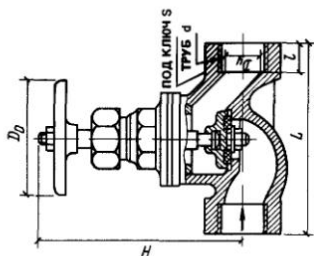
ВЕНТИЛИ ЗАПОРНЫЕ

ТАБЛИЦА VI.1.
ОСНОВНЫЕ ГАБАРИТНЫЕ И ПРИСОЕДИНИТЕЛЬНЫЕ РАЗМЕРЫ, мм, И МАССА, кг, ВЕНТИЛЕЙ ЗАПОРНЫХ МУФТОВЫХ 15Б 16к ПО ГОСТ 9086-74 С ИЗМ.



Условный проход D_y	L	Резьба трубная d	l	H	s	D_0	Масса
15	55	1/2"	12	90	27	65	0,38
20	65	3/4"	14	92	32	65	0,47
25	80	1"	16	110	41	80	0,78
32	95	1 1/4"	18	112	50	100	1,06
40	110	1 1/2"	20	140	60	100	1,78
50	130	2"	22	142	70	120	2,6

ТАБЛИЦА VI.2.
ОСНОВНЫЕ ГАБАРИТНЫЕ И ПРИСОЕДИНИТЕЛЬНЫЕ РАЗМЕРЫ, мм, И МАССА, кг, ВЕНТИЛЕЙ ЗАПОРНЫХ МУФТОВЫХ ИЗ СЕРОГО И КОВКОГО ЧУГУНА



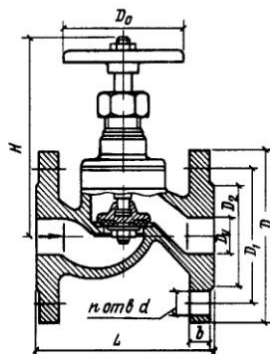
D _г	Рельба трубная d	15ч 8ч, 15ч 8р						15ч 8ч 2, 15ч 8р 2					
		L	l	H	s	D ₀	Масса	L	l	H	s	D ₀	
15	1/2"	90	14	116	30	50	0,75	90	14	118	30	65	
20	3/4"	100	16	120	36	50	1,1	100	16	120	36	65	
25	1"	120	18	148	46	80	1,75	120	18	143	46	80	
32	1 1/4"	140	20	158	55	80	2,7	140	20	145	55	80	
40	1 1/2"	170	22	177	60	100	4,15	170	22	180	60	120	
50	2"	200	24	190	75	120	5,6	200	24	185	75	120	
65	2 1/2"	260	26	245	90	140	13,7	—	—	—	—	—	
80	3"	290	30	265	105	140	16,5	—	—	—	—	—	

Продолжение табл. V12

Масса	15ч 8п, 15ч 86р					15кч 18к, 15кч 18п, 15кч 18п 1, 15кч 18п 2						
	L	l	H	s	D ₀	Масса	L	l	H	s	D ₀	Масса
0,75	90	14	118	30	65	0,75	90	12	118	37	65	0,7
0,9	100	16	120	36	65	0,9	100	14	120	36	65	0,9
1,75	120	18	143	46	80	1,7	120	16	143	41	80	1,5
2,7	140	20	147	55	80	2,7	140	18	145	50	80	2,1
4,15	170	22	175	60	120	4,15	170	20	180	60	120	3,7
5,8	200	24	188	75	120	5,8	20	22	185	70	120	5
—	260	26	245	90	140	13,7	—	—	—	—	—	—
—	290	30	265	105	140	16,5	—	—	—	—	—	—

ТАБЛИЦА VI.3.

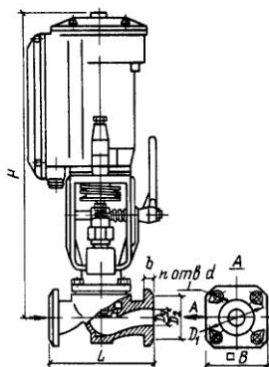
ОСНОВНЫЕ ГАБАРИТНЫЕ И ПРИСОЕДИНИТЕЛЬНЫЕ РАЗМЕРЫ, мм, И МАССА, кг,
ВЕНТИЛЕЙ ЗАПОРНЫХ ФЛАНЦЕВЫХ ИЗ СЕРОГО И КОВКОГО ЧУГУНА 15ч 9п 2; 15ч 9р 2



Условный проход D_y	L	D	D_1	D_2	b	d	H	D_0	n	Масса
25	120	115	85	68	14	14	143	80	4	3,6
32	140	135	100	78	16	18	145	80	4	5,5
40	170	145	110	88	16	18	179	120	4	7,65
50	200	160	125	102	17	18	185	120	4	10,3

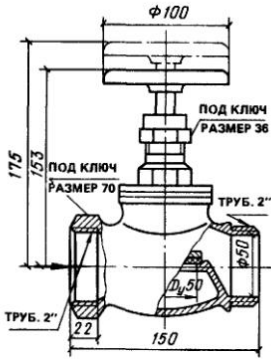
ТАБЛИЦА VI.4.

ОСНОВНЫЕ ГАБАРИТНЫЕ И ПРИСОЕДИНИТЕЛЬНЫЕ РАЗМЕРЫ, мм, И МАССА, кг, ВЕНТИЛЕЙ САЛЬНИКОВЫХ С ЭЛЕКТРОМАГНИТНЫМ ПРИВОДОМ И ЭЛЕКТРОМАГНИТНОЙ ЗАЩЕЛКОЙ ФЛАНЦЕВЫХ 15кч 892п 1-р4;
15кч 892р 1 р4

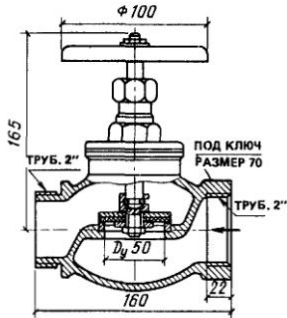


D_y	L	B	D_1	D_2	b	d	H	n	Масса	
									15кч892п1-р4	15кч892р1-р4
25	160	90	85	68	12	14	430	4	18	18,2
50	230	125	125	102	15	18	484	4	22	22,2
65	290	140	145	122	17	18	445	4	33,8	34

Примечание. Вентили 15кч 892р1-р4 изготавливают только по специальному заказу



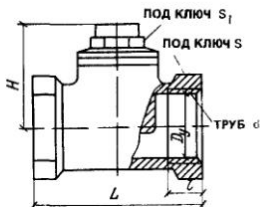
Вентиль запорный пожарный с муфтой и цапкой $D_y = 50$ мм латунный на p_y 0,6 МПа (6 кгс/см²) 1Б 1р, применяемый на пожарных трубопроводах для воды с рабочей температурой до 50°С по ТУ 26-07-226-78



Вентиль запорный пожарный с муфтой и цапкой $D_y = 50$ мм из ковкого чугуна на p_y 1,6 МПа (16 кгс/см²) 15кч 11р, применяемый на пожарных трубопроводах для воды с рабочей температурой до 50°С.

Приложение VII

ОСНОВНЫЕ ГАБАРИТНЫЕ И ПРИСОЕДИНИТЕЛЬНЫЕ РАЗМЕРЫ, мм, И МАССА, кг, КЛАПАНОВ ОБРАТНЫХ ПОДЪЕМНЫХ МУФТОВЫХ ЛАТУННЫХ 16Б 16к ПО ГОСТ 12677-75 С ИЗМ.



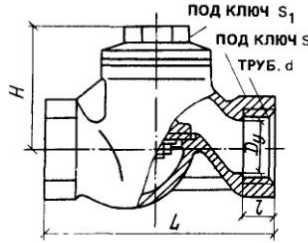
Условный проход D_y	L	Резьба грубая d	l	H	s	s_1	Масса
15	55	1/2"	12	38	27	19	0,23
20	65	3/4"	14	42	32	22	0,3
25	80	1"	16	42	41	22	0,5
40	110	1 1/2"	20	70	60	32	1,43
50	130	2"	22	80	70	36	2

Примечания: 1 Клапаны применяются на трубопроводах для предотвращения обратного потока воды и пара с рабочей температурой до 225°С.

2 Клапаны устанавливают на горизонтальном трубопроводе крышкой вверх.

ТАБЛИЦА VII.2.

ОСНОВНЫЕ ГАБАРИТНЫЕ И ПРИСОЕДИНИТЕЛЬНЫЕ РАЗМЕРЫ, мм, И МАССА, кг, КЛАПАНОВ ОБРАТНЫХ ПОДЪЕМНЫХ МУФТОВЫХ ИЗ КОВКОГО ЧУГУНА 16кч 11р ПО ГОСТ 11823-74 С ИЗМ.



Условный проход D_y	L	Резьба грубая d	l	H	s	s_1	Масса
15	90	1/2"	12	55	27	24	0,5
20	100	3/4"	14	60	36	24	0,8
25	120	1"	16	65	41	27	1
32	140	1 1/4"	18	75	50	32	1,8
40	170	1 1/2"	20	90	60	32	3
50	200	2"	22	100	70	36	4

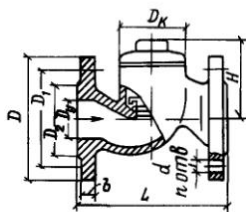
Примечания: 1. Клапаны применяются на трубопроводах для предотвращения обратного потока воды с температурой до 50°С.

2. Клапаны устанавливают на горизонтальном трубопроводе крышкой вверх.

КЛАПАНЫ ТАБЛИЦА VII.1.

ТАБЛИЦА VII.3.

ОСНОВНЫЕ ГАБАРИТНЫЕ И ПРИСОЕДИНИТЕЛЬНЫЕ РАЗМЕРЫ,
мм, И МАССА, кг, КЛАПАНОВ
ОБРАТНЫХ ПОДЪЕМНЫХ ФЛАНЦЕВЫХ ЧУГУННЫХ 16ч3п; 16ч3бр и 16ч3р



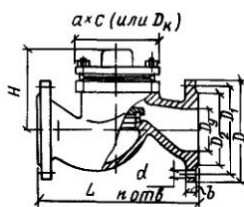
Условный проход D_y	L	D	D_1	D_2	b	d	H	D_x	n	Масса
25	120	115	85	68	14	14	70	—	4	3,3
40	170	145	110	88	16	18	95	80	4	7
50	200	160	125	102	17	18	105	88	4	9,4

Примечания: 1 Клапаны применяются на трубопроводах для предотвращения обратного потока воды и пара с рабочей температурой до 225°C (клапаны 16ч 3бр и 16ч 3п) и воды с рабочей температурой до 50°C (клапан 16ч 3р)

2 Клапаны устанавливают на горизонтальном трубопроводе крышкой вверх

ТАБЛИЦА VII.4.

ОСНОВНЫЕ ГАБАРИТНЫЕ И ПРИСОЕДИНИТЕЛЬНЫЕ РАЗМЕРЫ,
мм, И МАССА, кг,
КЛАПАНОВ ОБРАТНЫХ ПОДЪЕМНЫХ ФЛАНЦЕВЫХ
ЧУГУННЫХ 16ч 6бр и 16ч 6р ПО ГОСТ 19500-74 С ИЗМ.



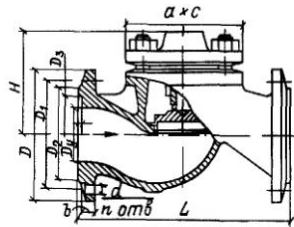
Условный проход D_y	L	D	D_1	D_2	b	d	H	$a \times c$ (или D_x)	n	Масса
65	290	180	145	122	17	18	140	135 × 132	4	18
80	310	195	160	138	19	18	155	162 × 148	4	23,5
100	350	215	180	158	21	18	175	225	8	35,5
150	480	280	240	212	25	22	230	286	8	74

Примечания: 1 Клапаны применяются на трубопроводах для предотвращения обратного потока воды и пара с рабочей температурой до 225°C (клапан 16ч 6бр) и воды с рабочей температурой до 50°C (клапан 16ч 6р)

2 У клапанов 16ч6р пропуск воды при закрытом затворе не допускается

ТАБЛИЦА VII.5.

ОСНОВНЫЕ ГАБАРИТНЫЕ И ПРИСОЕДИНИТЕЛЬНЫЕ РАЗМЕРЫ,
мм, И МАССА, кг, КЛАПАНОВ ОБРАТНЫХ
ПОДЪЕМНЫХ ФЛАНЦЕВЫХ ИЗ КОВКОГО ЧУГУНА
16кч 9п ПО ГОСТ 19501-74 С ИЗМ.

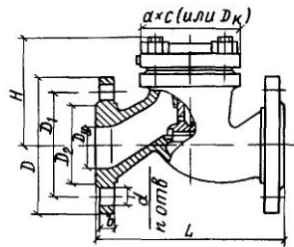


Условный проход D_y	L	D	D_1	D_2	D_3	f	b	d	H	$a \times c$	n	Масса
32	180	135	100	78	66	3	15	18	90	100 × 100	4	5,8
40	200	145	110	88	76	3	15	18	105	112 × 118	4	7,87
50	230	160	125	102	88	3	17	18	105	124 × 127	4	10,3
65	290	180	145	122	110	3	19	18	140	150 × 168	8	18,9
80	310	195	160	138	121	3	21	18	155	176 × 192	8	24,7

Примечание. Клапаны применяются на трубопроводах для предотвращения обратного потока воды и пара с рабочей температурой до 225°C

ТАБЛИЦА VII.6.

ОСНОВНЫЕ ГАБАРИТНЫЕ И ПРИСОЕДИНИТЕЛЬНЫЕ РАЗМЕРЫ,
мм, И МАССА, кг, КЛАПАНОВ ОБРАТНЫХ
ПОДЪЕМНЫХ ФЛАНЦЕВЫХ СТАЛЬНЫХ 16с 13изж



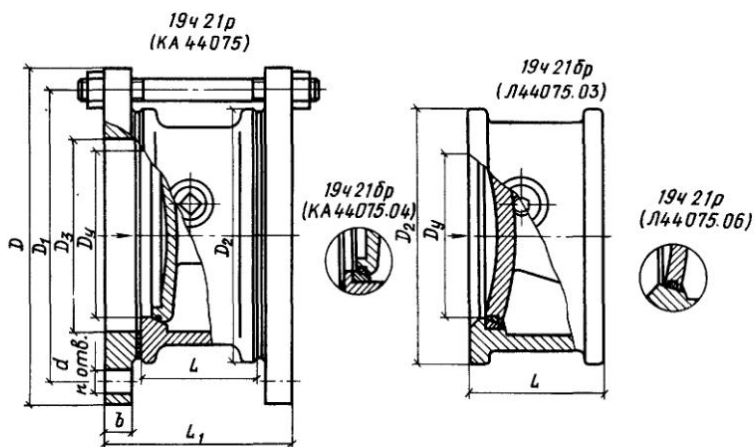
Условный проход D_y	L	D	D_1	D_2	b	d	H	$a \times c$ (или D_k)	n	Масса
40	200	145	110	88	16	18	117	108 × 120	4	10,5
50	230	160	125	102	17	18	117	108 × 120	4	12,8
65	290	180	145	122	19	18	156	190	8	23,3
80	310	195	160	138	19	18	156	190	8	27,3
100	350	230	190	158	21	22	193	215	8	37,1
150	480	300	250	212	27	26	254	290	8	82,7
200	600	375	320	285	35	30	266	370	12	137,6

Примечания: 1 Клапаны применяются на трубопроводах для предотвращения обратного потока воды и пара с рабочей температурой от -40°C до +400°C

2 Клапаны устанавливают на горизонтальном трубопроводе крышкой вверх

ТАБЛИЦА VII.7.

**ОСНОВНЫЕ ГАБАРИТНЫЕ И ПРИСОЕДИНИТЕЛЬНЫЕ РАЗМЕРЫ,
мм, И МАССА, кг, КЛАПАНОВ ОБРАТНЫХ ПОВОРОТНЫХ ОДНОДИСКОВЫХ
ЧУГУННЫХ 19ч 21р И 19ч 216р**



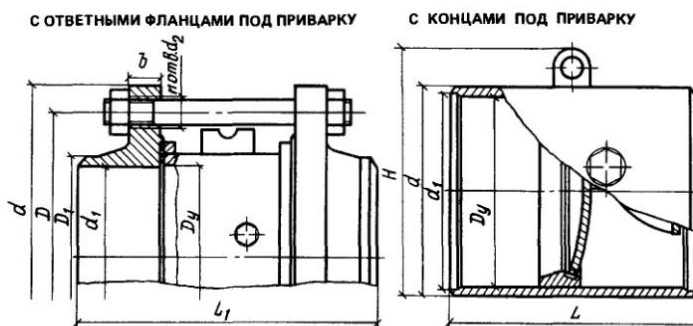
Условный проход D_y	L	L_1	D	D_1	D_2	D_3	b	d	n	Масса	
										без ответных фланцев	с ответными фланцами
50	60	108	160	125	106	59	19	18	4	2,4	9,13
80	70	125	195	160	146	91	21	18	4	4,9	15,7
100	80	136	215	180	164	110	23	18	4	6	17,7
150	100	160	280	240	220	161	25	22	8	11,6	32
200	140	208	335	295	272	222	27	22	12	25,7	—
250	150	220	405	355	328	273	28	26	12	33,7	—

Примечания: 1. Клапаны применяются на трубопроводах для предотвращения обратного потока воды и пара с рабочей температурой до 225°C (клапан 19ч216р) и воды с рабочей температурой до 50°C (клапан 19ч21р).

2. Клапаны устанавливают на горизонтальном трубопроводе или на вертикальном трубопроводе входным патрубком вниз.

ТАБЛИЦА VII.8.

**ОСНОВНЫЕ ГАБАРИТНЫЕ И ПРИСОЕДИНИТЕЛЬНЫЕ РАЗМЕРЫ,
мм, И МАССА, кг, КЛАПАНОВ ОБРАТНЫХ ПОВОРОТНЫХ СТАЛЬНЫХ
С КОНЦАМИ ПОД ПРИВАРКУ 19ч47иж ПО ГОСТ 13252-73 С ИЗМ.**



Продолжение табл. VII.8

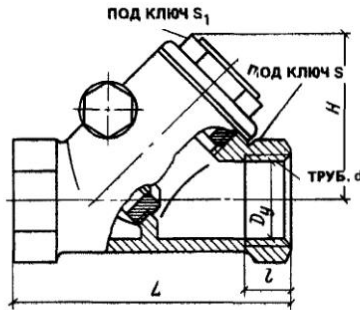
Условный проход D_v	L	L_1	D	D_1	d	d_1	d_2	b	H	n	Масса
200	250	—	—	—	222	204	—	35	270	—	22
300	450	510	510	450	330	303	33	42	405	16	75
400	500	634	655	585	432	401	39	54	506	16	120
600	650	—	—	—	636	596	—	58	710	—	340

Примечания: 1. Клапаны применяются на трубопроводах для предотвращения обратного потока воды и пара с рабочей температурой до 450 °С. Температура окружающей среды от -30 до +50 °С.

2. Клапаны устанавливают на вертикальном трубопроводе входным патрубком вниз, на горизонтальном – так, чтобы ось вращения запорной крышки была расположена выше оси трубопровода и лежала в горизонтальной плоскости.

ТАБЛИЦА VII.9.

ОСНОВНЫЕ ГАБАРИТНЫЕ И ПРИСОЕДИНИТЕЛЬНЫЕ РАЗМЕРЫ, мм, И МАССА, кг, КЛАПАНОВ ОБРАТНЫХ ПОВОРОТНЫХ МУФТОВЫХ ЛАТУННЫХ 19Б 16ж, 19Б 16к ПО ТУ 26-07-1102-75



Условный проход D_v	L	Резьба трубная d	l	S	S_1	H	Масса
8	65	1/4"	11	19	22	43	0,45
15	95	1/2"	15	32	27	60	0,9
25	120	1"	19	41	41	70	1,6
32	135	1 1/4"	22	41	50	80	2

Примечания: 1. Клапаны применяются на трубопроводах для предотвращения обратного потока воды и пара с рабочей температурой до 225 °С.

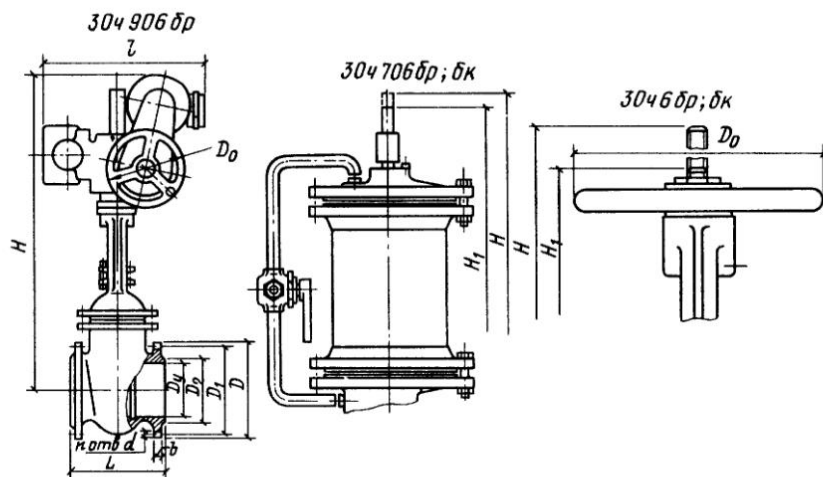
2. Клапаны устанавливают на горизонтальном трубопроводе крышкой вверх, на вертикальном – входным патрубком вниз.

Приложение VIII

ЗАДВИЖКИ

ТАБЛИЦА VIII.1.

РАЗМЕРЫ, мм, И МАССА, кг, ЗАДВИЖЕК ПАРАЛЛЕЛЬНЫХ С ВЫДВИЖНЫМ ШПИНДЕЛЕМ
ФЛАНЦЕВЫХ ЧУГУННЫХ 30ч906бр, 30ч706бр; бк, 30ч6бр; бк



Условное обозначение	Условный проход	L	D	D ₁	D ₂	d	b	H	H ₁	l	D ₀	n	Масса
30ч6бр	50	180	160	125	102	18	17	350	295	-	160	4	17,3
30ч6бр	80	210	195	160	138	18	19	440	350	-	160	4	29
30ч6бр	100	230	180	158	17	18	19	523	410	-	200	8	39,5
30ч906бр								940	-	345	200		75
30ч6бр	125	255	245	210	188	18	21	635	495	-	240	8	56,4
30ч6бр	150	280	280	240	212	23	21	720	560	-	240	8	73,6
30ч906бр								1095	-	398	150		103,2
30ч6бр								900	695	-	280		116,2
30ч706бр	200	330	335	295	268	23	23	1066	858	-	-	8	155,8
30ч906бр								1067	-	530	240		170,9
30ч6бр								1090	830	-	320		168,2
30ч706бр	250	450	390	350	320	23	25	1250	992	-	-	12	209
30ч906бр								1202	-	530	240		221,9
30ч6бр	300	500	440	400	370	23	25	1285	975	-	360	12	241,65
30ч906бр								1350	-	530	240		292
30ч6бр	350	550	500	460	430	23	26	1480	1120	-	400	16	323
30ч706бр								1695,5	1332,5	-	-		410

Продолжение табл. VIII.1

Условное обозначение	Условный проход	L	D	D ₁	D ₂	d	b	H	H ₁	l	D ₀	n	Масса
30ч66р								1660	1250	-	500		438,2
30ч7066р	400	600	565	515	482	27	28	1822	1408	-	-	16	522
30ч9066р								1632	-	530	240		492,8

Примечания: 1. Задвижка 30ч7066р применяется на трубопроводах для воды с рабочей температурой до 40 °С; задвижки 30ч66р и 30ч9066р – для воды и пара с рабочей температурой до 225 °С.

2. Управление задвижкой – ручное маховиком (30ч66р), от гидропривода (30ч7066р) и от электропривода в нормальном исполнении (30ч9066р), тип которого указан в табл. X.2.

3. Задвижки 30ч66р и 30ч7066р устанавливают на трубопроводе в любом рабочем положении, кроме положения «маховиком или гидроприводом вниз», задвижку 30ч9066р устанавливают на горизонтальном трубопроводе электроприводом вверх (допускается устанавливать задвижку горизонтально, в положении «на ребро» и «плашмя» при горизонтальном положении оси электродвигателя, смазывании червячной пары и роликподшипников густой смазкой и наличии опоры под электропривод).

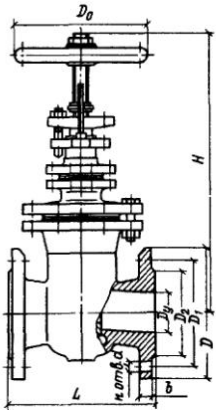
ТАБЛИЦА VIII.2
ТИП ЭЛЕКТРОПРИВОДА

Продолжение табл. VIII.2.

Условный проход задвижки D _z , мм	Тип электропривода	Электродвигатель		Условный проход задвижки D _z , мм	Тип электропривода	Электродвигатель	
		тип	мощность, кВт			тип	мощность, кВт
100 150	ТЭ 099.058-04М	4АА56В4У3 или АОЛ-12-4У3	0,18	200 250 300 400	Б 099.098-03М	4АХС80А4У3 или АОЛС2-21-4У3	1,3

ТАБЛИЦА VIII.3.

РАЗМЕРЫ, мм, И МАССА, кг, ЗАДВИЖЕК КЛИНОВЫХ С НЕВЫДВИЖНЫМ ШПИДЕЛЕМ ЧУГУННЫХ ФЛАНЦЕВЫХ 30ч476р2 ПО ТУ 26-07-1150-76



Условный проход D _z	L	D	D ₁	D ₂	d	b	H	D ₀	n	Масса
50	180	160	125	102	18	17	355	160	4	18,8
80	210	195	160	138	18	19	440	200	4	33,9
100	230	215	180	158	18	19	485	200	8	44,8
150	280	280	240	212	23	21	588	240	8	72,7
200	330	335	295	268	23	23	725	320	8	121,5
400	600	565	515	482	27	28	1140	500	16	431

Примечания: 1. Задвижки применяют на трубопроводах для воды с рабочей температурой до 100 °С.

2. Задвижки устанавливают на трубопроводах в любом рабочем положении.

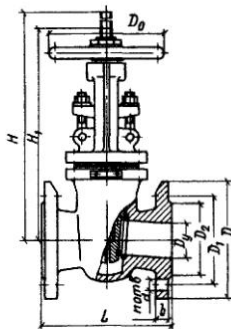


ТАБЛИЦА VIII.4.
РАЗМЕРЫ, мм, И МАССА, кг, ЗАДВИЖЕК КЛИНОВЫХ
С ВЫДВИЖНЫМ ШПИДЕЛЕМ ЧУГУННЫХ ФЛАНЦЕВЫХ 31ч6бр,
31ч6нж ПО ГОСТ 5762-74 С ИЗМ.

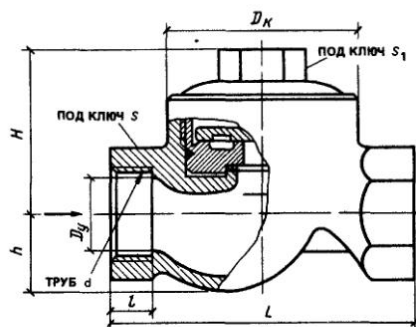
Условное обозначение	Условный проход D_y	L	D	D_1	D_2	b	d	H	H_1	D_0	n	Масса
31ч6бр	50	180	160	125	102	17	18	355	290	160	4	15,9
31ч6бр, 31ч6нж	80	210	195	160	138	19	18	476	362	160	4	25,9
31ч6бр	100	230	215	180	158	19	18	543	435	200	8	36
31ч6бр, 31ч6нж	125	255	245	210	188	21	18	665	527	240	8	55,3
31ч6нж	150	280	280	240	212	21	23	770	600	240	8	77,2
31ч6бр	200	330	335	295	268	23	23	900	695	280	8	125
31ч6бр	250	450	390	350	320	25	23	1090	830	320	12	175

Примечание Задвижки применяют на трубопроводах для воды и пара (31ч6бр), для воды, пара и неагрессивных жидкостей (31ч6нж) с рабочей температурой до 225 °С

Приложение IX

КОНДЕНСАТООТВОДЧИКИ

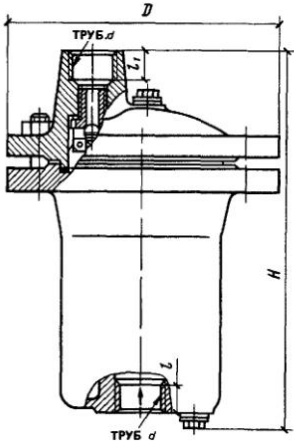
ТАБЛИЦА IX.1.
ОСНОВНЫЕ ГАБАРИТНЫЕ И ПРИСОЕДИНИТЕЛЬНЫЕ РАЗМЕРЫ,
мм, K_y , макс и МАССА, кг, КОНДЕНСАТООТВОДЧИКОВ
ТЕРМИЧЕСКИХ МУФТОВЫХ 45 ч 12нж



Условный проход D_y	L	Труб d	l	H	h	S	S_1	D_k	K_y , макс т/ч	Масса
15	90	1/2"	14	60	17,5	30	30	55	0,8	1
20	100	3/4"	16	65	22,5	36	30	65	1	1,5
25	120	1"	18	70	28	46	41	75	1,25	2
32	140	1 1/4"	20	85	35	55	41	90	1,6	3,5
40	170	1 1/2"	22	90	42,5	60	41	102	2,2	4,5
50	200	2"	24	105	60	75	41	112	2,5	7

Примечание Применяются для автоматического отвода из паропроводов и пароприемников конденсата водяного пара рабочей температурой до 200 °С

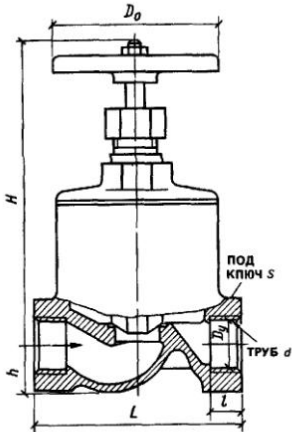
ТАБЛИЦА IX.2.
ОСНОВНЫЕ ГАБАРИТНЫЕ И ПРИСОЕДИНИТЕЛЬНЫЕ РАЗМЕРЫ, ММ, И МАССА, КГ,
КОНДЕНСАТООТВОДЧИКОВ ПОПЛАВКОВЫХ МУФТОВЫХ 45ч13жж



Условный проход D_y	D	Труб d	l	l_1	H	Масса
20	150	3/4"	16	16	244	7
25	175	1"	22	22	275	8,6
40	215	1 1/2"	22	22	350	16,5
50	250	2"	24	24	390	26,5

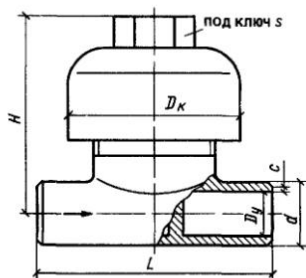
Примечание Применяются на трубопроводах для автоматического отвода конденсата водяного пара рабочей температурой до 300 °С

ТАБЛИЦА IX.3.
ОСНОВНЫЕ ГАБАРИТНЫЕ И ПРИСОЕДИНИТЕЛЬНЫЕ РАЗМЕРЫ,
ММ, $K_{y, макс}$ И МАССА, КГ, КОНДЕНСАТООТВОДЧИКОВ
ТЕРМОДИНАМИЧЕСКИХ С ОБВОДОМ МУФТОВЫХ 45ч15жж



Условный проход D_y	L	Труб, d	l	H	h	s	D_0	$K_{y, макс}, T/°C$	Масса
15	90	1/2"	14	157	17,5	30	65	0,8	2,1
20	100	3/4"	16	157	22,5	36	65	1	2,7
25	120	1"	18	189	28	53	100	1,25	4,2
32	140	1 1/4"	20	197	35	55	100	1,6	5,4
40	170	1 1/2"	22	237	42,5	60	120	2	8,8
50	200	2"	24	242	51,5	75	120	2,5	11,5

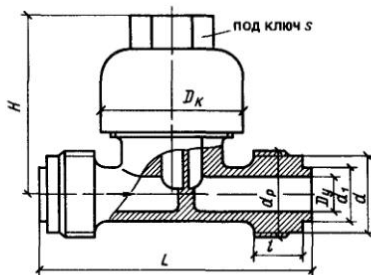
ТАБЛИЦА IX.4.
ОСНОВНЫЕ ГАБАРИТНЫЕ И
ПРИСОЕДИНИТЕЛЬНЫЕ РАЗМЕРЫ,
мм, $K_{V, \max}$ И МАССА, кг,
КОНДЕНСАТООТВОДЧИКОВ ТЕРМОДИНАМИЧЕСКИХ
С ПАТРУБКАМИ ПОД ПРИВАРКУ
45с13иж, 45иж13иж



Условный проход D_p	L	d	c	H	S	D_n	$K_{V, \max}$, т/ч	Масса
10	80	17	1	70	30	54	0,8	0,8
15	90	22	1	70	30	62	0,8	1
25	120	33	1	85	32	78	1	1,7
32	140	40	1	95	41	90	1,25	2,8
40	170	48	1	95	41	105	1,6	4
50	200	60	1	110	41	120	2	6

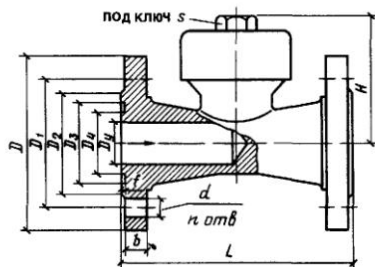
Примечание Применяются для автоматического отвода из паропроводов и пароприемников конденсата водяного пара рабочей температурой до 300 °С

ТАБЛИЦА IX.5.
ОСНОВНЫЕ ГАБАРИТНЫЕ И
ПРИСОЕДИНИТЕЛЬНЫЕ РАЗМЕРЫ,
мм, $K_{V, \max}$ И МАССА, кг, КОНДЕНСАТООТВОДЧИКОВ
ТЕРМОДИНАМИЧЕСКИХ ШТУЦЕРНО-ТОРЦОВЫХ
35с16иж



Условный проход D_p	L	d_p	d	d_1	l	H	S	D_n	$K_{V, \max}$, т/ч	Масса
10	106	M27 × 1,5	24,8	14	16	80	30	54	0,8	1
15	125	M36 × 2	33	22	22	80	30	62	0,8	1,25
25	150	M48 × 2	45	32	32	95	32	78	1	2

ТАБЛИЦА IX.6.
ОСНОВНЫЕ ГАБАРИТНЫЕ И ПРИСОЕДИНИТЕЛЬНЫЕ РАЗМЕРЫ, мм, $K_{V, \max}$
И МАССА, кг, КОНДЕНСАТООТВОДЧИКОВ ТЕРМОДИНАМИЧЕСКИХ
ФЛАНЦЕВЫХ 45с22иж



Условный проход D_p	L	D	D_1	D_2	D_3	D_4	b	f	d	H	S	n	$K_{V, \max}$, т/ч	Масса
25	200	135	100	68	58	42	22	3	18	101	30	4	1,25	7,4
50	250	195	145	102	88	72	25	3	26	136	41	4	2,5	19,3

ОТОПИТЕЛЬНЫЕ ПРИБОРЫ

ТАБЛИЦА X.1.

ТЕХНИЧЕСКАЯ ХАРАКТЕРИСТИКА ОТОПИТЕЛЬНЫХ ПРИБОРОВ

Эскиз	Обозначение прибора	Площадь нагревательной поверхности $A, м^2$	Номинальный тепловой поток $Q_{ном}, Вт (ккал/ч)$	n_1 и n_2 (см. примечание 1)		Строительные размеры, мм				Масса, кг
				n_1	n_2	l	l_1	l_2	l_3	
Радиаторы чугунные секционные (ГОСТ 8690-75)										
	МС-140-108	0,244	185 (159)	-	-	500	588	140	108	7,62
	МС-140-98	0,240	174 (150)	-	-	500	588	140	98	7,4
	М-140 АО	0,299	178 (153)	-	-	500	582	140	96	8,45
	М-140А	0,254	164 (141)	-	-	500	582	140	96	7,8
	М-90	0,2	140 (120)	-	-	500	582	90	96	6,15
МС-90-108	0,187	150 (129)	-	-	500	588	90	108	6,15	
Радиаторы стальные панельные типа РСВ1 (ГОСТ 20335-74 и ТУ 401-11-171-87)										
а) однорядные концевые и проходные (с индексом «п»)										
	РСВ1-1	0,71	504 (433)	-	-	563	518	708	538	7,8
	РСВ1-1п									8,3
	РСВ1-2	0,95	676 (581)	-	-	749	704	894	724	10,3
	РСВ1-2п									10,8
	РСВ1-3	1,19	850 (731)	-	-	935	890	1080	910	12,8
	РСВ1-3п									13,3
	РСВ1-4	1,44	1025 (981)	-	-	1121	1076	1266	1096	15,3
	РСВ1-4п									15,8
	РСВ1-5	1,68	1199 (1031)	-	-	1307	1262	1452	1282	17,9
	РСВ1-5п									18,4
б) двухрядные концевые										
	2РСВ1-1	1,42	873 (751)	-	-	563	518	-	538	15,7
	2РСВ1-2	1,9	1177 (1012)	-	-	749	704	-	724	20,78
	2РСВ1-3	2,38	1475 (1268)	-	-	935	890	-	910	25,82
	2РСВ1-4	2,88	1779 (1530)	-	-	1121	1076	-	1096	30,86
	2РСВ1-5	3,36	2083 (1791)	-	-	1307	1262	-	1282	35,9
Радиаторы стальные панельные четырехходовые типа РСГ2 (ГОСТ 20335-74 и ТУ 21-26-220-78)										
а) однорядные										
	РСГ2-1-2	0,54	400 (344)	-	-	440	-	-	410	6,0
	РСГ2-1-3	0,74	553 (476)	-	-	595	-	-	565	8,3
	РСГ2-1-4	0,95	706 (607)	-	-	755	-	-	725	10,5
	РСГ2-1-5	1,19	881 (758)	-	-	940	-	-	910	13,2
	РСГ2-1-6	1,44	1056 (908)	-	-	1130	-	-	1100	15,9
	РСГ2-1-7	1,68	1231 (1059)	-	-	1315	-	-	1285	18,5
	РСГ2-1-8	1,93	1406 (1209)	-	-	1505	-	-	1475	21,1
	РСГ2-1-9	2,17	1581 (1360)	-	-	1690	-	-	1660	23,8

Продолжение табл. X.1

Эскиз	Обозначение прибора	Площадь нагревательной поверхности A , м ²	Номинальный тепловой поток $Q_{\text{н.т.}}$, Вт (ккал/ч)	n_1 и n_2 (см. примечание 1)		Строительные размеры, мм			Масса, кг		
				n_1	n_2	l	l_1	l_2		l_3	
<p>КОНЦЕВОЙ L_3 ПРОХОДНОЙ 50 80 50</p> <p>УГЛОВАЯ ДЕТАЛЬ КО20-У</p> <p>НАКИДНАЯ ГАЙКА ОТВОДЫ $D_y = 20$</p>	<p>Конвекторы с кожухом напольные островные «Ритм» и «Ритм-1500» (ГОСТ 20849-75* с изменением от 17 ноября 1986 г.) (к – концевой; кв – концевой с патрубком для воздушного крана; п – проходной; у – угловая деталь; т.о – торцевая деталь с отверстием, т.г – торцевая деталь глухая)</p> <p style="text-align: center;"><i>Конвекторы «Ритм»</i></p> <p>КО20-0,915п 2,13 915 – – 990 – 600 982 20 (787)</p> <p>КО20-1,37к 3,195 1370 – – 990 900 – (1178) 900 – 982 22,5 900</p> <p style="text-align: center;"><i>Конвекторы «Ритм-1500»</i></p> <p>КО20-2,14к 4,97 2140 – – 1490 1400 – – 32,6 (1840) 1400 – 1482 32,6 – 1400 32,5</p> <p style="text-align: center;"><i>Детали конвекторов «Ритм» и «Ритм-1500»</i></p> <p>КО20У – – – – – – – 1,93 КО20ТО – – – – – – – 0,6 КО20ТГ – – – – – – – 0,65</p>										
	<p>$D_y = 20$</p>	<p>Конвекторы с кожухом высокие «КВ» (ГОСТ 20849-75* с изменением от 17 ноября 1986 г. и ТУ 21-26-215-78)</p> <p>KB20-5,665-600 12,78 5665 – – 600 – – 77,5 10,65* (4872)</p> <p>KB20-6,8-900 12,78 6800 – – 900 – – 89,5 12,78* (5848)</p> <p>KB20-7,37-1200 12,78 7370 – – 1200 – – 102,6 13,87* (6338)</p>									
		<p>ПРОХОДНОЙ</p> <p>ТРУБА 3/4"</p>	<p>Конвекторы настенные без кожуха «Аккорд» (ТУ 21-26-036 85)</p> <p>а) односторонние концевые (с индексом «к») и проходные (с индексом «п»)</p> <p>КА-0,366к 0,98 366 – – 610 555 460 400 5,0 (315) 4,8</p> <p>КА-0,448к 1,3 488 – – 770 715 620 560 6,5 (385) 6,5</p> <p>КА-560к 1,63 560 – – 930 875 780 720 7,7 (482) 7,5</p> <p>КА-0,560п 1,96 672 – – 1090 1035 940 880 9,5 (578) 9,0</p> <p>КА-0,672к 2,28 784 – – 1250 1195 1100 1040 11,0 (674) 10,5</p> <p>КА-0,784п 2,61 896 – – 1410 1355 1260 1200 12,0 (770) 12,0</p> <p>КА-0,896к 2,94 1008 – – 1570 1515 1420 1360 13,5 (867) 13,0</p> <p>КА-1,008п 3,26 1120 – – 1730 1675 1580 1520 15,0 (963) 14,5</p>								

Продолжение табл. X.1

Эскиз	Обозначение прибора	Площадь нагревательной поверхности A , м ²	Номинальный тепловой поток Q_n Вт (ккал/ч)	n_1 и n_2 (см. примечание 1)		Строительные размеры, мм			Масса, кг		
				n_1	n_2	l	l_1	l_2		l_3	
б) двухрядные концевые (с индексом «к»)											
	K2A-0,621к	1,95	621 (534)	-	-	610	-	460	400	10,5	
	K2A-0,823к	2,6	823 (708)	-	-	770	-	620	560	13,0	
	K2A-1,030к	3,25	1030 (886)	-	-	930	-	780	720	16,0	
	K2A-1,237к	3,9	1237 (1064)	-	-	1090	-	940	880	18,5	
	K2A-1,445к	4,56	1445 (1243)	-	-	1250	-	1100	1040	21,5	
	K2A-1,646	5,19	1646 (1415)	-	-	1410	-	1260	1200	24,5	
	K2A-1,854к	5,85	1854 (1594)	-	-	1570	-	1420	1360	27,0	
	K2A-2,061к	6,5	2061 (1772)	-	-	1730	-	1580	1520	29,5	
Конвекторы настенные без кожуха «Прогресс-15» (в обозначении Q_n заменено условной длиной)											
а) однорядные											
	15K1-0,4	0,88	300 (258)	-	-	380	485	-	348	4,0	
	15K1-0,5	1,11	378 (325)	-	-	480	585	-	448	5,3	
	15K1-0,6	1,33	453 (389)	-	-	580	685	-	548	6,2	
	15K1-0,7	1,55	528 (454)	-	-	680	785	-	648	7,1	
	15K1-0,8	1,77	603 (518)	-	-	780	885	-	748	8,1	
	15K1-0,9	1,99	677 (582)	-	-	880	985	-	848	8,9	
	15K1-1,0	2,21	752 (647)	-	-	980	1085	-	948	9,8	
	15K1-1,1	2,43	827 (711)	-	-	1080	1185	-	1048	10,7	
	15K1-1,2	2,65	902 (776)	-	-	1180	1285	-	1148	11,6	
	б) однорядные удлиненные (составлены из двух конвекторов с зазором между ними 50 мм)										
		15K1-1,3	2,88	930 (800)	-	-	1310	1415	648	1278	11,9
		15K1-1,4	3,10	1055 (907)	-	-	1410	1515	648	1378	12,9
		15K1-1,5	3,32	1130 (972)	-	-	1510	1615	748	1478	13,7
	15K1-1,6	3,54	1205 (1036)	-	-	1610	1715	748	1578	14,7	
	15K1-1,7	3,76	1280 (1101)	-	-	1710	1815	848	1678	15,6	
	15K1-1,8	3,98	1355 (1165)	-	-	1810	1915	848	1778	16,6	
	15K1-1,9	4,20	1430 (1230)	-	-	1910	2015	948	1878	17,5	
	15K1-2,0	4,42	1505 (1294)	-	-	2010	2115	948	1978	18,3	
в) двухрядные											
	15K2-0,4	1,76	538 (463)	-	-	380	485	-	348	8,9	
	15K2-0,5	2,22	678 (583)	-	-	480	585	-	448	10,7	
	15K2-0,6	2,66	812 (698)	-	-	580	685	-	548	12,6	
	15K2-0,7	3,10	947 (814)	-	-	680	785	-	648	14,3	
	15K2-0,8	3,54	1081 (930)	-	-	780	885	-	748	16,3	

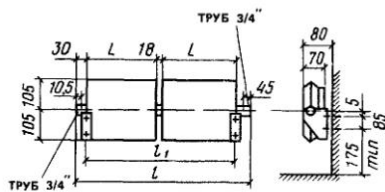
Продолжение табл. X.1

Эскиз	Обозначение прибора	Площадь нагревательной поверхности A , м ²	Номинальный тепловой поток $Q_{н.т.}$, Вт (ккал/ч)	n_1 и n_2 (см. примечание 1)		Строительные размеры, мм				Масса, кг		
				n_1	n_2	l	l_1	l_2	l_3			
	15К2-0,9	3,98	1215 (1045)	-	-	880	985	-	848	17,9		
	15К2-1,0	4,42	1350 (1161)	-	-	980	1085	-	948	19,7		
	15К2-1,1	4,86	1484 (1276)	-	-	1080	1185	-	1048	21,6		
	15К2-1,2	5,30	1617 (1391)	-	-	1180	1285	-	1148	23,5		
	<i>г) двухрядные удлиненные</i>											
	15К2-1,3	5,76	1741 (1497)	-	-	1310	1415	648	1278	26,0		
	15К2-1,4	6,20	1877 (1614)	-	-	1410	1515	648	1378	27,7		
	15К2-1,5	6,64	2010 (1729)	-	-	1510	1615	748	1478	29,6		
	15К2-1,6	7,08	2148 (1847)	-	-	1610	1715	748	1578	31,7		
	15К2-1,7	7,52	2282 (1962)	-	-	1710	1815	848	1678	33,2		
	15К2-1,8	7,96	2418 (2079)	-	-	1810	1915	848	1778	35,2		
	15К2-1,9	8,40	2553 (2195)	-	-	1910	2015	948	1878	37,0		
	15К2-2,0	8,84	2683 (2307)	-	-	2010	2115	948	1978	38,6		
	Конвекторы настенные без кожуха «Прогресс-20» (в обозначении $Q_{н.т.}$ заменено условной длиной)											
	а) однорядные											
см. эскиз для конвектора «Прогресс-15»	20К1-0,4	0,88	290 (249)	-	-	380	485	-	348	4,8		
	20К1-0,5	1,10	362 (311)	-	-	480	585	-	448	5,8		
	20К1-0,6	1,32	435 (374)	-	-	580	685	-	548	6,7		
	20К1-0,7	1,54	507 (436)	-	-	680	785	-	648	7,7		
	20К1-0,8	1,76	580 (499)	-	-	780	885	-	748	8,7		
	20К1-0,9	1,98	652 (561)	-	-	880	985	-	848	9,7		
	20К1-1,0	2,20	725 (623)	-	-	980	1085	-	948	10,7		
	20К1-1,1	2,42	797 (625)	-	-	1080	1185	-	1048	11,6		
	20К1-1,2	2,64	870 (748)	-	-	1180	1285	-	1148	12,6		
		б) однорядные удлиненные (составлены из двух конвекторов с зазором между ними 50 мм)										
		20К1-1,3	2,86	942 (810)	-	-	1310	1415	648	1278	13,9	
		20К1-1,4	3,08	1015 (873)	-	-	1410	1515	648	1378	15,0	
	20К1-1,5	3,30	1087 (935)	-	-	1510	1615	748	1478	16,0		
	20К1-1,6	3,52	1160 (998)	-	-	1610	1715	748	1578	16,9		
	20К1-1,7	3,74	1232 (1059)	-	-	1710	1815	848	1678	17,6		
	20К1-1,8	3,96	1305 (1122)	-	-	1810	1915	848	1778	18,9		
	20К1-1,9	4,18	1377 (1184)	-	-	1910	2015	948	1878	19,7		
	20К1-2,0	4,40	1450 (1247)	-	-	2010	2115	948	1978	21,0		

Продолжение табл. X.1

Эскиз	Обозначение прибора	Площадь нагревательной поверхности A , м ²	Номинальный тепловой поток $Q_{н.т.}$, Вт (ккал/ч)	n_1 и n_2 (см. примечание 1)		Строительные размеры, мм				Масса, кг
				n_1	n_2	l	l_1	l_2	l_3	
в) двухрядные										
	20К2-0,4	1,76	505 (434)	-	-	380	485	-	348	9,77
	20К2-0,5	2,20	613 (527)	-	-	480	585	-	448	11,73
	20К2-0,6	2,64	758 (652)	-	-	580	685	-	548	13,69
	20К2-0,7	3,08	884 (760)	-	-	680	785	-	648	15,65
	20К2-0,8	3,52	1010 (869)	-	-	780	885	-	748	17,5
	20К2-0,9	3,96	1137 (978)	-	-	880	985	-	848	19,58
	20К2-1,0	4,40	1263 (1086)	-	-	980	1085	-	948	21,58
	20К2-1,1	4,84	1389 (1194)	-	-	1080	1185	-	1048	23,46
	20К2-1,2	5,28	1515 (1303)	-	-	1180	1285	-	1148	25,48
г) двухрядные удлиненные										
	20К2-1,3	5,72	1642 (1412)	-	-	1310	1415	648	1278	29,2
	20К2-1,4	6,16	1768 (1520)	-	-	1410	1515	648	1378	31,0
	20К2-1,5	6,60	1894 (1629)	-	-	1510	1615	748	1478	33,0
	20К2-1,6	7,04	2020 (1737)	-	-	1610	1715	748	1578	35,0
	20К2-1,7	7,48	2147 (1846)	-	-	1710	1815	848	1678	37,0
	20К2-1,8	7,92	2273 (1955)	-	-	1810	1915	848	1778	39,0
	20К2-1,9	8,36	2400 (2064)	-	-	1910	2015	948	1878	34,0
	20К2-2,0	8,80	2526 (2172)	-	-	2010	2115	948	1978	43,0

Биметаллический (стальная труба с литыми алюминиевыми модульными секциями оребрения) отопительный прибор «Коралд» (ТУ 21-26-347-87). Прибор может иметь одинаковые по длине ($L = 243$ мм) и неодинаковые модульные секции. При разных модульных секциях в графе « n_2 » указано число секций с меньшей длиной ($L = 123$ мм) (индексы обозначений: с – настенный; н – напольный; к – концевой, п – проходной; 2В – двухрядный по высоте; 2Г – двухрядный по глубине)



а) однорядный настенный

ПА20-0,336с	0,657	336 (289)	1	1	472	360	-	-	3,95
ПА20-0,445с	0,872	445 (384)	2	-	592	480	-	-	5,05
ПА20-0,559с	1,093	559 (481)	2	1	733	621	-	-	6,26
ПА20-0,667с	1,309	667 (574)	3	-	853	741	-	-	7,36
ПА20-0,775с	1,529	775 (666)	3	1	994	882	-	-	8,57
ПА20-0,889с	1,745	889 (764)	4	-	1114	1002	-	-	9,67
ПА20-1,003с	1,966	1003 (862)	4	1	1255	1143	-	-	10,88
ПА20-1,220с	2,402	1220 (1049)	5	1	1516	1404	-	-	13,19

Продолжение табл. X.1

Эскиз	Обозначение прибора	Площадь нагревательной поверхности A , м ²	Номинальный тепловой поток $Q_{\text{н}}$, Вт (ккал/ч)	n_1 и n_2 (см. примечание 1)		Строительные размеры, мм				Масса, кг	
				n_1	n_2	l	l_1	l_2	l_3		
б) двухрядный (по высоте) настенный, концевой											
	ПА20-0,821К2ВС	1,745	821 (706)	4	-	627	480	-	-	10,46	
	ПА20-1,026К2ВС	2,186	1026 (882)	4	2	768	621	-	-	12,79	
	ПА20-1,226К2ВС	2,617	1226 (1054)	6	-	888	741	-	-	14,99	
	ПА20-1,436К2ВС	3,059	1436 (1235)	6	2	1029	982	-	-	17,00	
	ПА20-1,636К2ВС	3,489	1636 (1407)	8	-	1149	1002	-	-	19,61	
	в) двухрядный (по высоте) настенный проходной										
		ПА20-1,226П2ВС	2,617	1226 (1054)	6	-	853	741	-	-	14,74
ПА20-1,436П2ВС		3,059	1436 (1235)	6	2	994	882	-	-	17,16	
ПА20-1,636П2ВС		3,489	1636 (1407)	8	-	1114	1002	-	-	19,36	
ПА20-1,864П2ВС		3,93	1864 (1603)	8	2	1255	1143	-	-	21,76	
г) двухрядный (по глубине) настенный концевой											
		ПА20-0,821К2ГС	1,745	821 (706)	4	-	627	480	-	-	9,97
	ПА20-1,026К2ГС	2,186	1026 (882)	4	2	768	621	-	-	12,39	
	ПА20-1,226К2ГС	2,617	1226 (1054)	6	-	888	741	-	-	14,59	
	ПА20-1,436К2ГС	3,059	1436 (1235)	6	2	1029	882	-	-	17,01	
	ПА20-1,636К2ГС	3,489	1636 (1407)	8	-	1149	1002	-	-	19,21	
	ПА20-1,864К2ГС	3,931	1864 (1603)	8	2	1290	1143	-	-	21,63	
	д) двухрядный (по глубине) настенный проходной										
		ПА20-1,226П2ГС	2,617	1226 (1054)	6	-	853	741	-	-	14,53
ПА20-1,436П2ГС		3,059	1436 (1235)	6	2	994	882	-	-	16,95	
ПА20-1,636П2ГС		3,489	1636 (1407)	8	-	1114	1002	-	-	19,15	
ПА20-1,864П2ГС		3,931	1864 (1603)	8	2	1255	1143	-	-	21,57	

Продолжение табл. X.1

Эскиз	Обозначение прибора	Площадь нагревательной поверхности A , м ²	Номинальный тепловой поток Q_n , Вт (ккал/ч)	n_1 и n_2 (см. примечание 1)		Строительные размеры, мм			Масса, кг	
				n_1	n_2	l	l_1	l_2		l_3
<i>е) двухрядный (по глубине) напольный концевой</i>										
	ПА20-0,821К2ГН	1,745	821 (706)	4	-	647	464	-	-	10,28
	ПА20-1,026К2ГН	2,186	1026 (882)	4	2	788	605	-	-	12,7
	ПА20-1,226К2ГН	2,617	1226 (1054)	6	-	908	725	-	-	14,9
	ПА20-1,436К2ГН	3,059	1436 (1235)	6	2	1049	866	-	-	17,32
	ПА20-1,686К2ГН	3,489	1686 (1450)	8	-	1169	986	-	-	19,52
	ПА20-1,864К2ГН	3,931	1864 (1603)	8	2	1310	1127	-	-	21,94
	<i>ж) двухрядный (по глубине) напольный проходной</i>									
		ПА20-1,226П2ГН	2,617	1226 (1054)	6	-	873	725	-	-
ПА20-1,436П2ГН		3,059	1436 (1235)	6	2	1114	866	-	-	17,26
ПА20-1,636П2ГН		3,489	1636 (1407)	8	-	1134	986	-	-	19,46
ПА20-1,864П2ГН		3,931	1864 (1603)	8	2	1375	1127	-	-	21,88
Трубы отопительные чугунные ребристые										
		ТР-1	2,0	776 (667)	-	-	1000	-	-	-
	ТР-1,5	3,0	1164 (1001)	-	-	1500	-	-	-	53,5
	ТР-2	4,0	1552 (1335)	-	-	2000	-	-	-	71,3

Примечания: 1. В графе n_1 для конвекторов «Универсал» и «Универсал-С» дан монтажный номер комплектации (на изделии наносится на крайней пластине нагревателя и внутренней стороне кожуха). Для приборов «Коралл» в этой графе указывается число секций $L = 243$ мм. Число секций $L = 123$ мм указывается в графе n_2 .

2. Все отопительные приборы, кроме радиаторов и ребристых труб, рассчитаны на рабочее давление $p_{раб} = 1,0$ МПа (10,0 кгс/см²) при температуре теплоносителя $t_r = 150^\circ\text{C}$. Чугунные радиаторы МС-140 и МС-90 применяются при $p_{раб} = 0,9$ МПа (9,0 кгс/см²), остальные радиаторы и ребристые трубы — при $p_{раб} = 0,6$ МПа (6,0 кгс/см²). Температура теплоносителя допускается: для стальных радиаторов и ребристых труб — $t_r = 150^\circ\text{C}$; для чугунных радиаторов — $t_r = 130^\circ\text{C}$ (при термостойких прокладках по особому заказу $t_r = 150^\circ\text{C}$).

3. Конвекторы «Ритм» и «Ритм-1500» предназначены для групповой напольной установки в общественных зданиях. При соединении конвекторов под углом 90° применяется угловая деталь (КО20-У), для декорирования торцов — торцевые детали (КО20-ТО и КО20ТГ). Эти детали, а также дюбели-винты для крепления к полу в комплект поставки не входят и поставляются по требованию.

4. Для конвекторов «Прогресс-15» и «Прогресс-20» значения Q_n даны без учета калачей и патрубков.

5. Для конвекторов «Аккорд» и приборов «Коралл» масса дана с учетом кронштейнов крепления.

6. Применение радиаторов РСГ2 ограничивается системами отопления с гарантированным качеством теплоносителя и не допускается в системах, присоединенных к открытым системам теплоснабжения, и в помещениях с агрессивной средой.

7. Приборы, отмеченные звездочкой, в настоящее время не изготавливаются.

Приложение XI

ОТОПИТЕЛЬНЫЕ АГРЕГАТЫ

ТАБЛИЦА XI. 1.

ТЕХНИЧЕСКИЕ ДАННЫЕ ВОЗДУШНО-ОТОПИТЕЛЬНЫХ АГРЕГАТОВ
ТИПА АПВС

Обозначение агрегата (марка)	Производительность по воздуху		Теплопроизводительность агрегата и температура воздуха на выходе из агрегата при обогреве							
			паром с абсолютным давлением МПа (кгс/см ²)						водой с расчетными температурами $T_r = 130^\circ\text{C}$, $T_o = 70^\circ\text{C}$	
			0,1 (1,1)		0,2 (2)		0,3 (3)			
м ³ /ч	кг/ч	$\frac{Q, \text{ кВт}}{\text{ккал/ч}}$	$t_k, ^\circ\text{C}$	$\frac{Q, \text{ кВт}}{\text{ккал/ч}}$	$t_k, ^\circ\text{C}$	$\frac{Q, \text{ кВт}}{\text{ккал/ч}}$	$t_k, ^\circ\text{C}$	$\frac{Q, \text{ кВт}}{\text{ккал/ч}}$	$t_k, ^\circ\text{C}$	
АПВС 50-30	3300	4030	$\frac{46,5}{40000}$	57,3	$\frac{52,3}{45000}$	62,3	$\frac{58,2}{50000}$	66,7	$\frac{34,9}{30000}$	47
АПВС 70-40	3900	4760	$\frac{58,2}{50000}$	59,8	$\frac{67,5}{58000}$	66,8	$\frac{79,7}{68500}$	76	$\frac{45,4}{39000}$	50,1
АПВС 110-80	6900	8420	—	—	$\frac{116,3}{100000}$	65,5	$\frac{128}{110000}$	70,4	$\frac{93}{80000}$	55,6

Примечание. Показатели агрегатов указаны при начальной температуре воздуха, поступающего в агрегат, 16°C

КОНСТРУКТИВНЫЕ ХАРАКТЕРИСТИКИ ОБОРУДОВАНИЯ
ВОЗДУШНО-ОТОПИТЕЛЬНЫХ АГРЕГАТОВ ТИПА АПВС

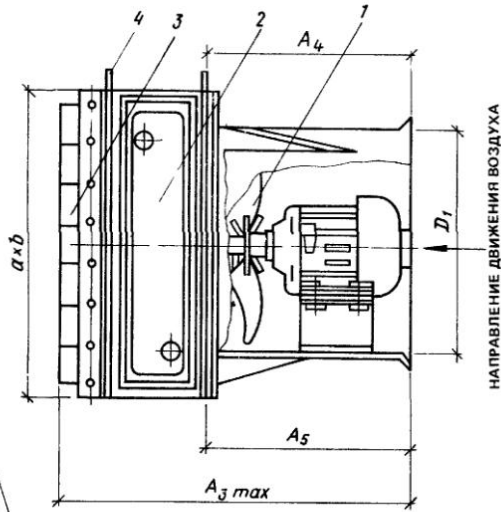
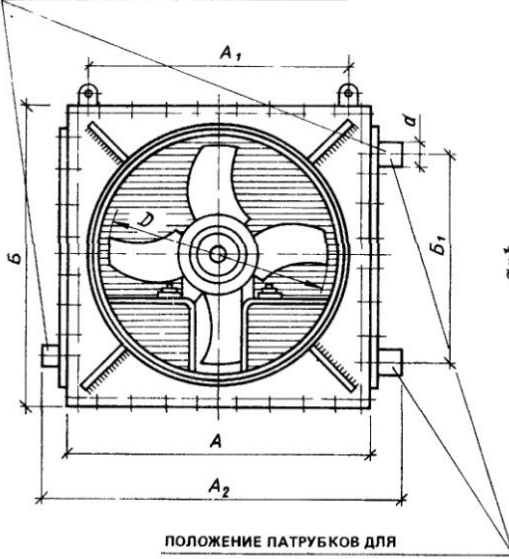
ТАБЛИЦА XI.2.

Обозначение агрегата (марка)	Вентилятор			Электродвигатель			Калорифер			
	тип	номер	диаметр колеса, мм	тип	мощность N, кВт	частота вращения, об/мин	тип и номер	количество	число ходов теплоносителя	площадь поверхности нагрева, м ²
АПВС 50-30	МЦ	4	400	4АХ71В2	1,1	2810	Спираль-	1	10	10,85
АПВС 70-40	МЦ	6	600	4А80А4	1,1	1420	но-навив-	1	7	18,3
АПВС 110-60	МЦ	7	700	4АХ90L4	2,2	1425	ной много- ходовой	1	6	29,4

ТАБЛИЦА XI.3.

ОСНОВНЫЕ РАЗМЕРЫ ВОЗДУШНО-ОТОПИТЕЛЬНЫХ АГРЕГАТОВ ТИПА АПВС

ПОЛОЖЕНИЕ ПАТРУБКОВ ДЛЯ АПВС 70-40



ПОЛОЖЕНИЕ ПАТРУБКОВ ДЛЯ АПВС 50-30 И АПВС 110-80

1 - осевой вентилятор с электродвигателем; 2 - воздушонагреватель (калорифер), 3 - многосворчатый клапан, 4 - петли крепежные

Марка агрегата	Размеры, мм											Диаметр штуцера d , мм ²	Масса кг
	A	A_1	A_2	A_3	A_4	A_5	B	B_1	D	D_1	$a \times b$		
АПВС 50-30	540	250	610	581	312	308	532	410	400	404	470 × 470	40	91
АПВС 70-40	696	500	816	690	412	405	682	526	600	606	626 × 612	40	167
АПВС 110-80	852	750	954	691	428	420	852	708	700	707	782 × 782	50	217

Примечание. Агрегаты воздушно-отопительные типа АПВС намечено снять с производства и заменить их воздушно-отопительными агрегатами типа АО2

ТАБЛИЦА XI.4.

ТЕХНИЧЕСКИЕ ДАННЫЕ ВОЗДУШНО-ОТОПИТЕЛЬНЫХ АГРЕГАТОВ ТИПА АПВ

Обозначение агрегата (марка)	Производительность по воздуху		Теплопроизводительность агрегата и температура воздуха на выходе из агрегата при обогреве							
			паром при абсолютном давлении, МПа (кгс/см ²)						водой с расчетными температурами $T_r = 130^\circ\text{C}$, $T_o = 70^\circ\text{C}$	
			0,11 (1,1)		0,2 (2)		0,3 (3)			
$\text{м}^3/\text{ч}$	кг/ч	$\frac{Q, \text{кВт}}{\text{ккал/ч}}$	$t_k, ^\circ\text{C}$	$\frac{Q, \text{кВт}}{\text{ккал/ч}}$	$t_k, ^\circ\text{C}$	$\frac{Q, \text{кВт}}{\text{ккал/ч}}$	$t_k, ^\circ\text{C}$	$\frac{Q, \text{кВт}}{\text{ккал/ч}}$	$t_k, ^\circ\text{C}$	
АПВ 200-140	13900	16960	$\frac{163}{140000}$	50,4	$\frac{198}{170000}$	57,8	$\frac{232,6}{200000}$	65,3	$\frac{163}{140000}$	50,4
АПВ 280-190	18800	22940	$\frac{221}{190000}$	50,5	$\frac{279}{240000}$	59,6	$\frac{325,6}{280000}$	66,8	$\frac{221}{190000}$	50,5

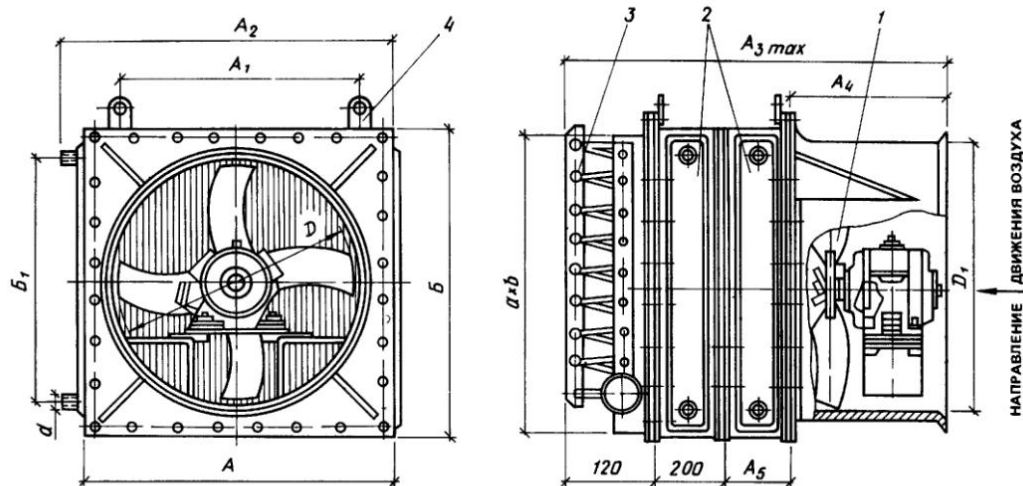
Примечание. Показатели агрегатов указаны при начальной температуре воздуха, поступающего в агрегат, 16°C

ТАБЛИЦА XI.5.

**КОНСТРУКТИВНЫЕ ХАРАКТЕРИСТИКИ ОБОРУДОВАНИЯ
ВОЗДУШНО-ОТОПИТЕЛЬНЫХ АГРЕГАТОВ ТИПА АПВ**

Обозначение агрегата (марка)	Вентилятор			Электродвигатель			Калорифер			
	тип	номер	диаметр колеса, мм	тип	мощность N , кВт	частота вращения n , об/мин	тип и номер	количество	число ходов теплоносителя	площадь поверхности, нагрева M^2
АПВ 200-140	МЦ	8	800	4A100A4	3	1435	КМС-9	2	8	83,2
АПВ 280-190	МЦ	10	1000	4A112МА6	3	955	КМС-11	1	8	124,5
							КМБ-11	1		

ТАБЛИЦА XI.6.

**ОСНОВНЫЕ РАЗМЕРЫ ВОЗДУШНО-ОТОПИТЕЛЬНЫХ
АГРЕГАТОВ ТИПА АПВ**


1 – осевой вентилятор с электродвигателем, 2 – воздухонагреватели (калориферы); 3 – многостворчатый клапан; 4 – петли

Марка агрегата	Размеры, мм										Диаметр штуцера d_1 , мм	Масса, кг	
	A	A ₁	A ₂	A ₃	A ₄	A ₅	B	B ₁	D	D ₁			a × b
АПВ 200-140	1084	875	1118	1025	500	200	919	732	800	808	996 × 790	40	522
АПВ 280-190	1234	1000	1293	1005	500	240	1140	859	1000	1010	1146 × 890	32	780

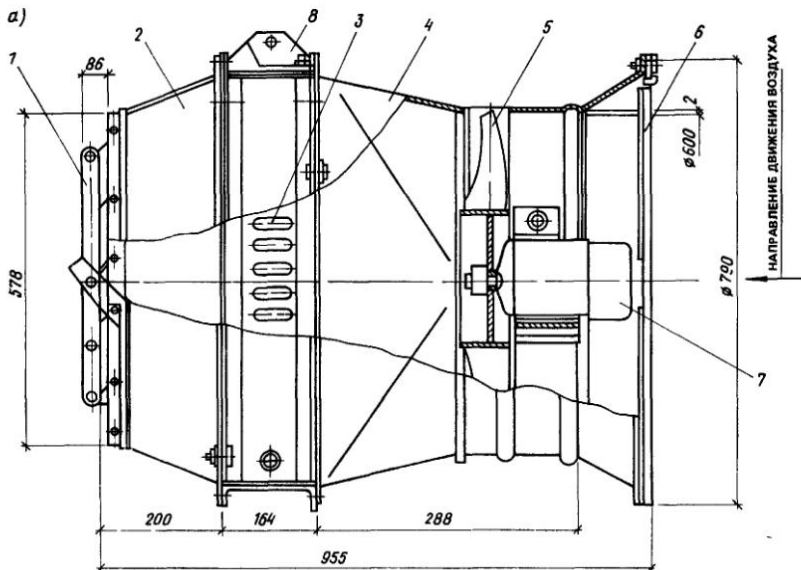
ТАБЛИЦА XI.7.

**КОНСТРУКТИВНЫЕ ХАРАКТЕРИСТИКИ
ОБОРУДОВАНИЯ
ВОЗДУШНО-ОТОПИТЕЛЬНЫХ АГРЕГАТОВ
СТД 100**

Обозначение агрегата (марка)	Вентилятор			Электродвигатель			Воздуонагреватель (калорифер)			
	тип	номер	диаметр колеса, мм	тип	мощность, кВт	частота вращения, об/мин	тип и номер	количество	число ходов теплоносителя	площадь поверхности нагрева, м ²
СТД 100-01-УЗ	ЦЗ-04	6	600	4АХ71В4	0,75	1370	Одноходовой СТД	1	1	24,3
СТД 100-02-УЗ				4АХ71В4	0,75	1370	Многоходовой СТД	2	6	48,6

**ТЕХНИЧЕСКИЕ ДАННЫЕ
ВОЗДУШНО-ОТОПИТЕЛЬНЫХ АГРЕГАТОВ
СТД100
(рис. XI.1)**

Тип агрегата	СТД 100-01.УЗ	СТД 100-02.УЗ	Производительность по теплу, Вт (ккал/ч) . . .	116280 (100000)	112800 (97000)
Теплоноситель	Пар давлением до 0,5 МПа (5 кгс/см ²)	Вода (T _r = 150°C, T ₀ = 70°C)	Температура воздуха, °C:		
Рабочее давление теплоносителя, МПа (кгс/см ²) не более . . .		1,2 (12)	на входе в агрегат	16	16
Производительность по воздуху, м ³ /ч (кг/ч)	8770 (10700)	8490 (10360)	на выходе из агрегата	55	55
			Установленная мощность, кВт	0,75	
			Уровень звуковой мощности, дБА	85	
			Масса агрегата, кг	163	270



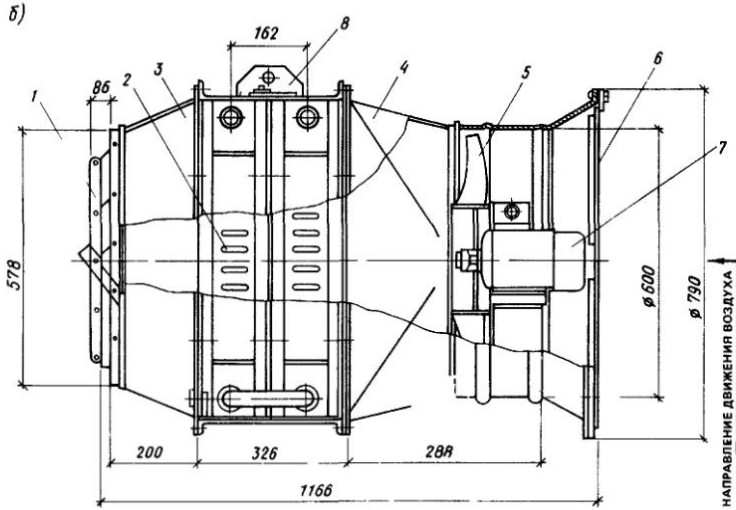


Рис. XI.1 Воздушно-отопительные агрегаты СТД-100 01.УЗ (теплоноситель пар) (а) и СТД-100 02-УЗ (теплоноситель вода) (б)
 1 - поворотные лопатки, 2 - конфузор, 3 - калорифер, 4 - кожух, 5 - вентилятор осевой, 6 - ограждение, 7 - электродвигатель, 8 - крепежные кронштейны

ТАБЛИЦА XI.8

КОНСТРУКТИВНЫЕ ХАРАКТЕРИСТИКИ ОБОРУДОВАНИЯ
 ВОЗДУШНО-ОТОПИТЕЛЬНЫХ АГРЕГАТОВ СТД-300П И СТД-300М-01.УЗ.

Обозначение агрегата (марка)	Вентилятор		Электродвигатель		Воздуонагреватель (калорифер)					
	тип	номер	диаметр колеса, мм	тип	мощность, кВт	частота вращения, об/мин	тип и номер	число ходов теплоносителя	количество	площадь поверхности нагрева, м ²
СТД-300П	К109-19	8	100	4А100L6УЗ	2,2	950	Многоходовой СТД	8	2	158,8
СТД-300М-01 УЗ	Ц4-70 двустороннего всасывания	8	800	4А100S4	3	1450	Однородной СТД	1	1	79,4

ТЕХНИЧЕСКИЕ ДАННЫЕ
 ВОЗДУШНО-ОТОПИТЕЛЬНЫХ АГРЕГАТОВ
 СТД-300П И СТД-300М-01.УЗ (рис. XI.2)

Тип агрегата	СТД-300П	СТД-300М-01.УЗ	Производительность по теплу, Вт (ккал/ч)	349000 (300000)	344000 (296000)
Теплоноситель	Вода ($T_r = 150^\circ$, $T_0 = 70^\circ\text{C}$)	Пар давление до 0,5 МПа (5 кгс/см ²)	Температура воздуха, °С		
Рабочее давление теплоносителя, МПа (кгс/см ²), не более	1,2 (12)	—	на входе в агрегат	16	16
Производительность по воздуху, м ³ /ч (кг/ч)	24600 (300000)	28200 (34500)	на выходе из агрегата	60	50
			Установленная мощность, кВт	2,2	3

Уровень звуковой мощности, дБА, не более
 Частота вращения вентилятора.

85

85

об/мин
 Масса, кг, не более

—
 790

580
 757

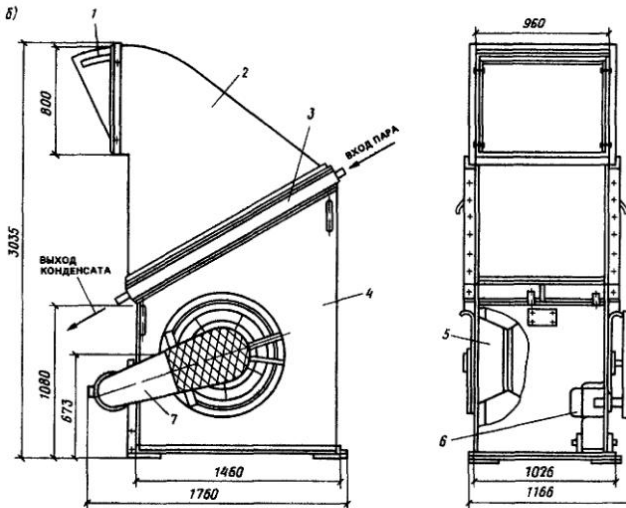
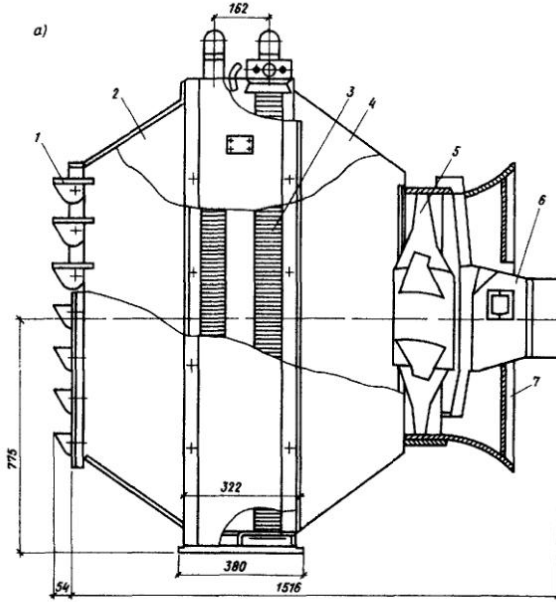


Рис. XI.2. Воздушно-отопительные агрегаты СТД-300П (а) и СТД-300М-01.УЗ (б)

1 - поворотные лопатки; 2 - конфузор; 3 - калорифер; 4 - кожух; 5 - вентилятор; 6 - электродвигатель; 7 - ограждение

Продолжение табл. XI.9.

ТАБЛИЦА XI.9.
ТЕХНИЧЕСКИЕ ДАННЫЕ
ВОЗДУШНО-ОТОПИТЕЛЬНЫХ (РИС. XI.3) АГРЕГАТОВ
ТИПА АО2

Показатели	АО2-4-01.У3	АО2-6,3-01.У3	АО2-10-01.У3
Производительность по воздуху, тыс. м ³ /ч	4	6,3	10
Производительность по теплу, кВт (тыс. ккал/ч)	47,7(41,1)	74(63,7)	117 (100,5)
Температура воздуха на выходе из агрегата, °С	51,8	51,3	50,8

Показатели	АО2-4-01.У3	АО2-6,3-01.У3	АО2-10-01.У3
Теплоноситель и его параметры, °С	Вода ($T_r = 150$, $T_0 = 70$)		
Суммарный уровень звуковой мощности, дБ	788		
Гидравлическое сопротивление, Па (кгс/м ²)	2207 (225)	4709 (480)	12753 (1300)
Установленная мощность, кВт	0,37	0,75	0,75
Масса, кг	131,4	160,6	232,7

Примечание. Показатели агрегатов указаны при температуре воздуха на входе в агрегат 16°С

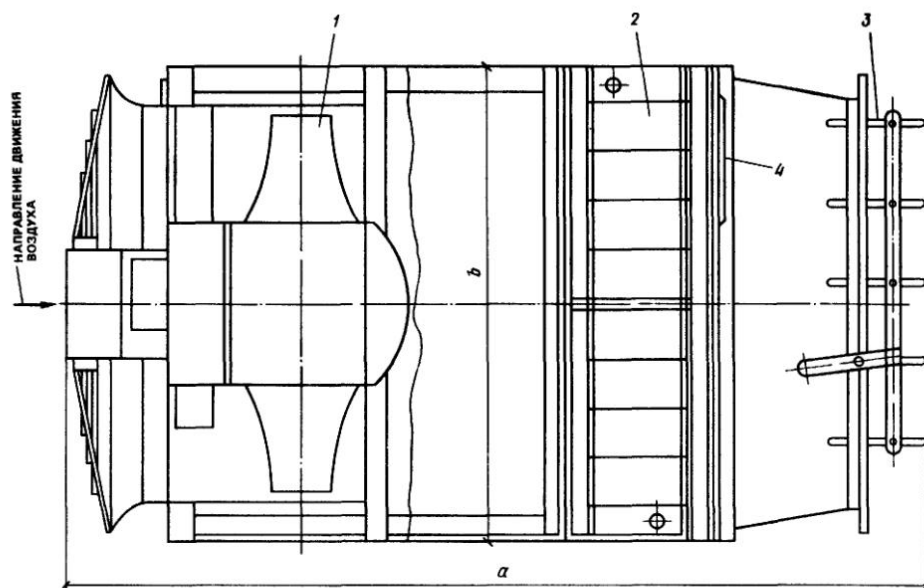


Рис. XI.3. Воздушно-отопительный агрегат типа АО2

1 - осевой вентилятор с электродвигателем; 2 - воздухонагреватель (калорифер); 3 - многостворчатый клапан; 4 - кронштейны крепящие

ТАБЛИЦА XI.10.
КОНСТРУКТИВНЫЕ ХАРАКТЕРИСТИКИ ОБОРУДОВАНИЯ
ВОЗДУШНО-ОТОПИТЕЛЬНЫХ АГРЕГАТОВ ТИПА АО2

Обозначение агрегата (марка)	Вентилятор			Электродвигатель			Воздухонагреватель (калорифер)			Размеры, мм	
	тип	номер	диаметр колеса, мм	тип	мощность, кВт	частота вращения, об/мин	тип и номер	количество ходов	площадь поверхности нагрева, м ²	a	b
АО2-4-01.У3		5	500	4АА63В4	0,37	1370	КВБ-7-П	1 12	18,81	1248	600
АО2-6,3-01.У3	В-06-300	4	400	4АХ71А2	0,75	2840	КВБ-9-П	1 12	26	1250	510
АО2-10-01.У3		6,3	630	4АХ71В4	0,75	1370	КВБ-4-П	2 9 × 2	19,48 × 2	1400	760

ТАБЛИЦА XI.11.

Продолжение табл. XI.11.

ТЕХНИЧЕСКИЕ ДАННЫЕ ВОЗДУШНО-ОТОПИТЕЛЬНЫХ АГРЕГАТОВ ТИПА АОД2 (РИС. XI.4)

Показатели	АОД2-4-01.У3	АОД2-6,3-01.У3	АОД2-10-01.У3
Производительность тыс. м ³ /ч по воздуху:			
нагретому	4	6,3	10
холодному	3,4	5,35	8,5
	0,6	0,95	1,5
Производительность по теплу, кВт (тыс. ккал/ч)	44,6(38,4)	67,6(58,3)	107,5(92,7)
Температура воздуха на выходе из агрегата, °С	55,2	53,8	53,9

Показатели	АОД2-4-01.У3	АОД2-6,3-01.У3	АОД2-10-01.У3
Теплоноситель и его параметры, °С	Вода	($T_r = 150$,	$T_0 = 70$)
Суммарный уровень звуковой мощности, дБ		88	
Гидравлическое сопротивление, Па (кгс/м ²)	1962 (200)	3924 (400)	10791 (1100)
Установленная мощность, кВт	0,37	0,75	0,75
Масса, кг	150,4	167,8	247,8

Примечание. Показатели агрегатов указаны при температуре воздуха на входе в агрегат 16°С.

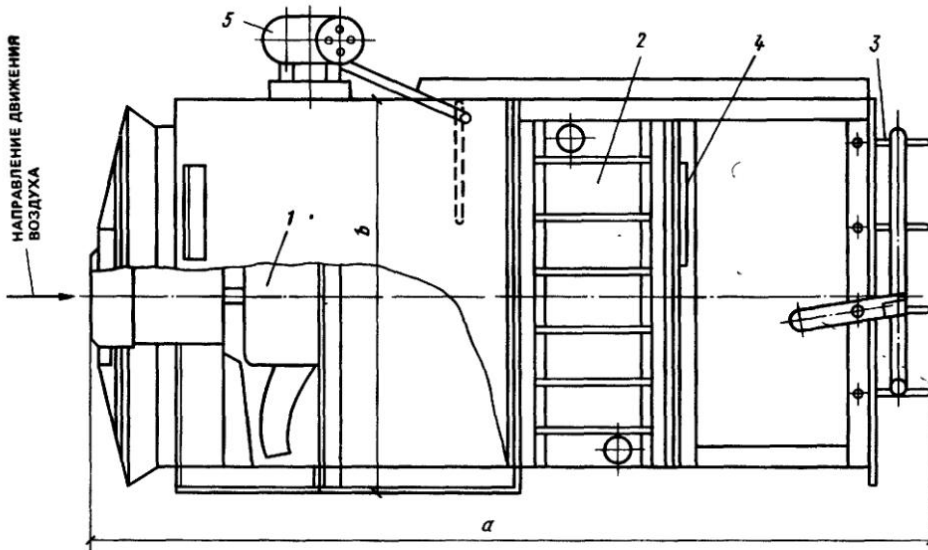


Рис. XI.4. Воздушно-отопительный агрегат типа АОД2

1 - осевой вентилятор с электродвигателем; 2 - воздухонагреватель (калорифер); 3 - многостворчатый клапан; 4 - кронштейны крепления; 5 - механизм управления лопатками обводного клапана

ТАБЛИЦА XI.12.

КОНСТРУКТИВНЫЕ ХАРАКТЕРИСТИКИ ОБОРУДОВАНИЯ ВОЗДУШНО-ОТОПИТЕЛЬНЫХ АГРЕГАТОВ ТИПА АОД2

Обозначение агрегата (марка)	Вентилятор		Электродвигатель		Воздухонагреватель (калорифер)					Размеры, мм		
	тип	номер	диаметр колеса, мм	тип	мощность, кВт	частота вращения, об/мин	тип и номер	количество	число ходов теплоносителя	площадь поверхности нагрева, м ²	a	b
АОД2-4-01.У3		5	500	4АА63В4	0,37	1370	КВБ-7-П	1	12	18,81	1248	600
АОД2-6.3-01.У3	В-06-300	4	400	4АХ71А2	0,75	2840	КВБ-9-П	1	12	26	1250	510
АОД2-10-01.У3		6,3	630	4АХ71В4	0,75	1370	КВБ-4-П	2	9 × 2	19,48 × 2	1300	760

ТАБЛИЦА XI.13.
ТЕХНИЧЕСКИЕ ДАННЫЕ
ВОЗДУШНО-ОТОПИТЕЛЬНЫХ АГРЕГАТОВ
ТИПА АОУ2 (РИС. XI.5)

Показатели	АОУ2-4-01 УЗ	АОУ-6,3-01 УЗ	АОУ2-10-01 УЗ
Производительность по воздуху, тыс м ³ /ч	3,2	5,1	8,5
Производительность по теплу, кВт (тыс ккал/ч)	40,7 (35)	63,8 (55)	107,5 (92,7)
Температура воздуха на выходе из агрегатов, °С	56,2	55,1	53,8
Теплоноситель и его параметры, °С	Вода	($T_r = 150$,	$T_0 = 70$)
Суммарный уровень звуковой мощности, дБ		88	

Показатели	АОУ2-4-01 УЗ	АОУ-6,3-01 УЗ	АОУ2-10-01 УЗ
Гидравлическое сопротивление, Па (кгс/м ²)	1619 (165)	3532 (360)	10790 (1100)
Степень увлажнения, г/кг		5	
Количество испаряющейся воды, кг/ч	19,2	30,6	51
Количество теплоты для испарения воды, кВт (тыс ккал/ч)	13,4 (11,5)	21,26 (18,28)	35,43 (30,47)
Установленная мощность, кВт	0,37	0,75	0,75
Масса, кг	214,5	253,4	287,3

Примечание. Показатели агрегатов указаны при температуре воздуха на входе в агрегат 16°С

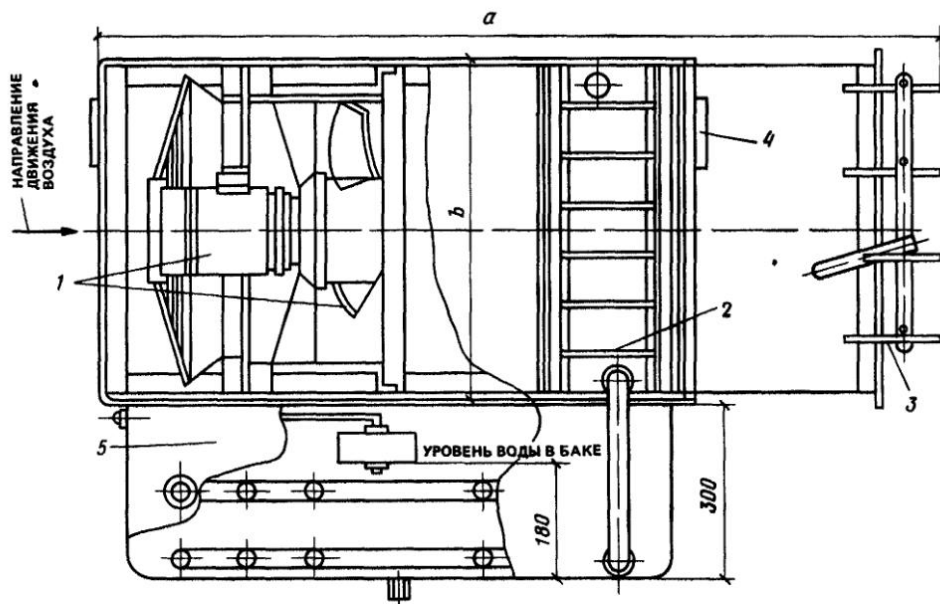


Рис. XI.5. Воздушно-отопительный агрегат типа АОУ-2

1 - осевой вентилятор с электродвигателем, 2 - воздухонагреватель (калорифер), 3 - многостворчатый клапан, 4 - кронштейны крепежные, 5 - увлажнительная ванна

ТАБЛИЦА XI.14.

КОНСТРУКТИВНЫЕ ХАРАКТЕРИСТИКИ ОБОРУДОВАНИЯ
ВОЗДУШНО-ОТОПИТЕЛЬНЫХ АГРЕГАТОВ ТИПА АОУ

Обозначение агрегата (марка)	Вентилятор			Электродвигатель			Воздуонагреватель (калорифер)				Размеры, мм	
	тип	номер	диаметр колеса, мм	тип	мощность, кВт	частота вращения, об/мин	тип и номер	количество	число ходов	площадь поверхности теплоносителя, м ²	a	b
АОУ2-4-01У3		5	500	4АА63В4	0,37	1370	КВБ-7-П	1	12	18,81	1315	600
АОУ2-6,3-01У3	В-06-300	4	400	4АХ71А2	0,75	2840	КВБ-9-П	1	12	26	1425	510
АОУ2-10-01У3		6,3	630	4АХ71В4	0,75	1370	КВБ-4-П	2	9 × 2	19,48 × 2	1678	760

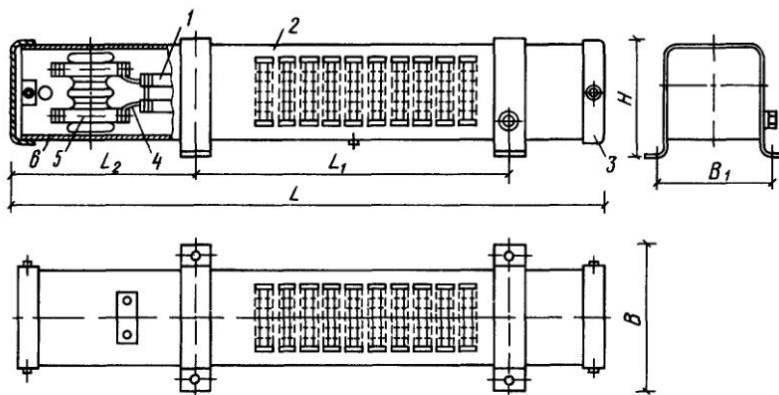
Приложение XII

ОБОРУДОВАНИЕ СИСТЕМ ЭЛЕКТРИЧЕСКОГО ОТОПЛЕНИЯ

ТАБЛИЦА XII.1.

ОСНОВНЫЕ ДАННЫЕ ПЕЧЕЙ ЭЛЕКТРОНАГРЕВАТЕЛЬНЫХ ТИПА ПЭТ

1 – трубчатые электронагревательные элементы, 2 – кожух, 3 – крышка, 4 – перемычка, 5 – токоведущие шпильки, 6 – дно

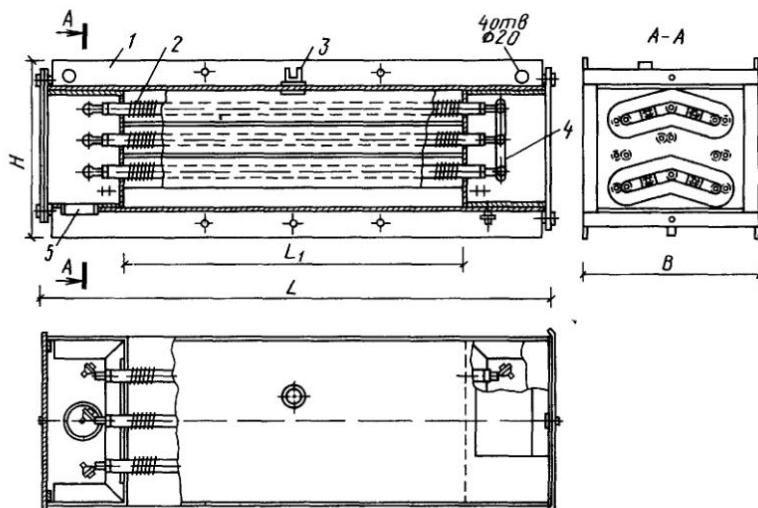


Типо-размер	Мощность, Вт	Напряжение, В	Максимальный перегрев кожуха относительно воздуха, °С	Размеры, мм						Масса, кг
				L	L ₁	L ₂	B	B ₁	H	
ПЭТ-2	1000	380								7
ПЭТ-3	1000	110	150	656	390	171	246	216	172	4,8
ПЭТ-4	1000	220								4,8
ПЭТ-5	500	380	130							4,5
ПЭТ-7	760	220	155	625	345	179	157	127	120	3,5
ПЭТ-9	500	220	130							3,5

ОСНОВНЫЕ ДАННЫЕ ЭЛЕКТРОКАЛОРИФЕРОВ СЕРИИ СФО-1Т-И2

ТАБЛИЦА XII.2

1 — каркас, 2 — электронагреватель, 3 — отверстие для терморегулятора, 4 — шина, 5 — отверстие для ввода кабеля

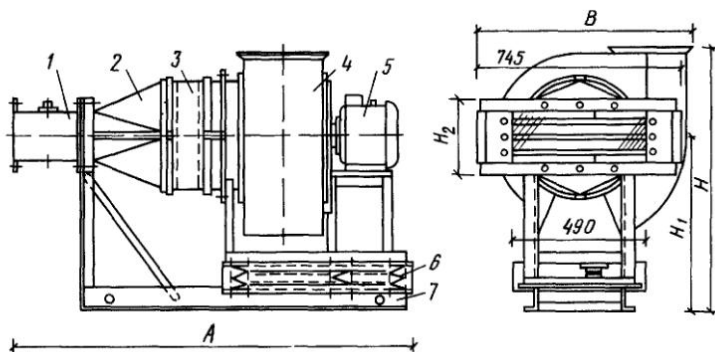


Типоразмер	Мощность, кВт	Напряжение, В		Производительность по воздуху, м ³ /ч, не менее	Аэродинамическое сопротивление, Па, не более	Размеры, мм				Масса, кг
		сети	на нагревателе			L	L ₁	B	H	
СФО-25/1Т-И2	28,5			2000					250	18
СФО-40/1Т-И2	45			3000					385	32
СФО-60/1Т-И2	67,5	380	220	4000	245	745	490	240	520	37
СФО-100/1Т-И2	90			5000					655	47
СФО-160/1Т-И2	157,5			7500					1060	95
СФО-250/1Т-И2	247,5			11 500					1600	150

ТАБЛИЦА XII.3

ОСНОВНЫЕ ДАННЫЕ ЭЛЕКТРОКАЛОРИФЕРНЫХ УСТАНОВОК СЕРИИ СФОЦ

1 — электрокалорифер, 2 — патрубок переходный, 3 — гибкая вставка, 4 — вентилятор, 5 — электродвигатель, 6 — виброизоляторы, 7 — рама



Продолжение табл. XII.3.

Типоразмер	Мощность, кВт	Напряжение, В		Производительность по воздуху, м ³ /ч, не менее	Аэродинамическое сопротивление, Па, не более	Суммарное аэродинамическое сопротивление (с сетью воздуховодов), Па, не более	Размеры, мм					Масса, кг
		сети	на нагревателе				A	B	H	H ₁	H ₂	
СФОЦ-25/0,5-И1	23,6			2500	147	588	1350	800	930	635	250	137
СФОЦ-40/0,5-И1	47,2	380	220	3500	196	883	1450	900	1120	765	385	182
СФОЦ-60/0,5-И1	69,7			4000	245	735	1450	900	1160	805	520	195

Приложение XIII

НАСОСЫ
ТАБЛИЦА XIII.1.

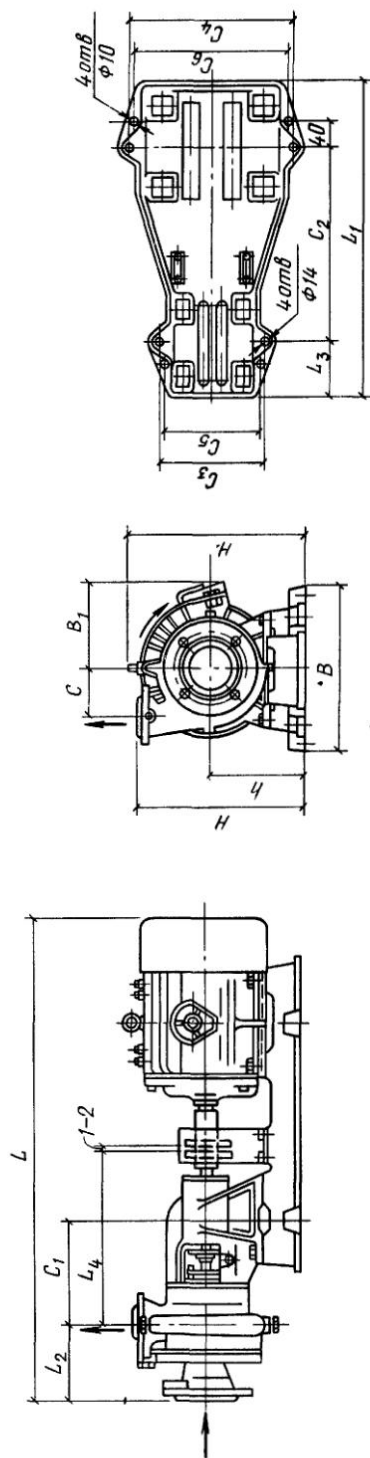
ТЕХНИЧЕСКИЕ ДАННЫЕ НАСОСОВ ЦЕНТРОБЕЖНЫХ КОНСОЛЬНЫХ ТИПА К

Марка насоса		Диаметр рабочего колеса, мм	Номинальная подача		Полный напор H, м	Допустимый кавитационный запас ΔL _{доп} , м	КПД насоса η, %, не менее	Мощность на валу насоса, кВт
новая	старая		м ³ /ч	л/с				
K8/18	1,5к-8/19, 1,5к-6	128	8	2,22	18		0,9	
K8/18a	1,5к-8/19a, 1,5к-6a	115	9,4	2,6	14,2	3,8	53	0,7
K8/18б	1,5к-8/19б, 1,5к-6б	105	9	2,5	11,4			0,6
K20	2к-20/18, 2к-9	129	201	5,5	18			1,5
K20/18a	2к-20/18a, 2к-9a	118	16,8	4,7	15	3,8	65	1,1
K20/18б	2к-20/18б, 2к-9б	106	15,1	4,2	12			0,8
K20/30	2к-20/30 2к-6	162	20	5,5	30			2,7
K20/30a	2к-20/30a, 2к-6a	148	19,8	5,5	25,8	3,8	64	2,1
K20/30б	2к-20/30б 2к-6б	132	18	5	18,8			1,6
K45/20	3к-45/30, 3к-9	168	45	12,5	30	4,3	70	5,5
K45/30a	3к-45/30a, 3к-9a	143	35	9,7	22,5			3,1
K90/20	4к-90/20, 4к-18	148	90	25	20	5,2	78	6,3
K90/20a	4к-90/20a, 4к-18a	136	70	19,5	18,2			4,5
K-50-32-125	—	—	12,5	3,47	20	3,5	55	1,24
K-65-50-160	—	—	25	6,9	32	3,8	64	3,4
K-80-65-160	—	—	50	13,9	32	4	70	6,2
K-80-50-200	—	—	50	13,9	50	3,5	65	10,5
K-100-80-160	—	—	100	27,8	32	4,5	77	11,3
K-100-65-200	—	—	100	27,8	50	4,5	72	18,9
K-100-65-250	—	—	100	27,8	80	4,5	67	32,5
K-150-125-250*	—	—	200	55,6	20	4,2	81	13,4
K-150-125-315*	—	—	200	55,6	32	4	76	22,9
K-200-150-250*	—	—	315	87,5	20	4,2	83	20,7

Примечания: 1 Давление на входе в насос не более 0,2 МПа (2 кгс/м²)

2 Частота вращения насосов составляет 2900 об/мин; насосов, отмеченных звездочкой, — 1450 об/мин.

ТАБЛИЦА XIII
 ОСНОВНЫЕ ГАБАРИТНЫЕ И ПРИСОЕДИНИТЕЛЬНЫЕ РАЗМЕРЫ, мм, И МАССА, кг, НАСОСОВ ЦЕНТРОБЕЖНЫХ
 КОНСОЛЬНЫХ ТИПА К



Марка насоса	Тип электродвигателя	Размеры, мм														Масса, кг				
		L	L ₁	L ₂	L ₃	L ₄	L ₅	B	B ₄	C	C ₁	C ₂	C ₃	C ₄	C ₅	C ₆	H	H ₁	h	насоса
К8/18	1,5к-8/19,	768	508	120	113	346	257	—	75	189	308	210	215	190	120	310	321	185	33,2	64
	1,5к-6	862	535	—	—	—	286	200	—	328	—	—	250	154	—	440	—	—	104	
К8/18а	1,5а-8/19а,	786	508	120	113	346	257	—	75	189	308	210	215	190	120	310	321	185	33,2	64
	1,5к-6а	862	535	—	—	—	286	200	—	328	—	—	250	154	—	440	—	—	104	
К8/18б	1,5к-8/19б,	768	508	120	113	346	257	—	75	189	308	210	215	190	120	310	321	185	33,2	64
	1,5к-6б	862	535	—	—	—	286	200	75	189	328	210	250	154	—	440	—	—	104	
К20/18	2к-20/18,	788	508	120	113	346	257	—	80	189	308	210	215	190	120	310	321	185	34,5	68
	2к-9	862	560	—	—	—	286	200	80	189	328	210	250	154	—	440	—	—	118	

K20/18a	2к-20/18a,	4A80B2	188	508	120	113	346	257	—	80	189	308	210	215	190	120	310	321	185	34,5	68
	2к-9a	BA021-2	862	560	—	—	286	200	200	80	189	328	210	250	190	154	310	440	185	34,5	118
K20/186	2к-20/186,	4A0B2	788	508	120	113	346	257	—	80	189	308	210	215	190	120	310	321	185	34,5	68
	2к-96	BA021-2	862	560	—	—	286	200	200	80	189	328	210	250	190	154	310	440	185	34,5	118
K20/30	2к-20/30,	A02-32-2	867	585	—	—	332	185	—	—	—	358	—	290	230	290	—	339	—	—	109
		4A110S2	832	643	120	113	346	299	—	98	189	337	210	259	190	252	335	343	—	—	92
	2к-6	BA032-2	952	585	—	—	326	200	—	—	—	359	210	290	230	—	—	458	—	—	139
		A02-32-2	867	585	120	113	346	332	185	—	—	358	—	290	230	290	—	339	—	—	109
K20/30a	2к-20/30a,	4A100S2	832	543	120	113	346	299	—	98	189	337	210	257	190	252	335	343	185	38,2	92
	2к-6a	BA032-2	952	585	—	—	326	200	—	—	—	359	210	290	230	—	—	358	—	—	139
K20/306	2к-66	A02-32-2	867	585	120	113	346	332	185	—	—	358	—	290	230	290	—	339	—	—	109
		4A100S2	832	543	—	—	299	—	—	—	—	337	210	257	190	252	335	343	185	38,2	92
	2к-66	BA032-2	952	585	—	—	326	200	—	—	—	359	210	290	230	—	—	458	—	—	139
		A02-42-2	1084	725	150	146,5	427	367	222	—	—	451	—	325	290	320	—	405	—	—	168,4
K45/30	3к-9	4A112M2	1030	665	150	146,5	427	332	—	105	235	443	250	290	230	284	375	413	225	57,6	207
	3к-45/30,	BA042-2	1158	725	—	—	361	330	—	—	—	443	—	325	230	320	—	528	—	—	207
K45/30a	3к-45/30a,	A02-42-2	1084	725	150	146,5	427	367	222	—	—	451	—	325	290	320	—	405	—	—	168,4
		4A112M2	1030	665	—	—	332	—	—	—	—	413	250	290	230	284	375	413	225	57,6	207
	3к-9a	BA042-2	1158	725	—	—	361	330	—	105	235	443	250	325	230	320	—	528	—	—	207
K90/20	4к-90/20,	A02-42-2	1084	725	150	146,5	427	367	222	105	105	451	—	325	290	320	—	405	—	—	173,8
		4A112M2	1030	665	—	—	332	—	—	—	—	413	250	290	230	284	375	413	225	62,4	213
	4к-18	BA042-2	1158	725	—	—	361	330	—	105	105	443	250	325	230	320	—	528	—	—	213
K90/20a	4к-90/20a,	A02-42-2	1084	725	150	146,5	427	367	222	105	105	451	—	325	290	320	—	405	—	—	173,8
		4A112M2	1030	665	—	—	332	—	—	—	—	413	250	290	230	284	375	413	225	62,4	213
	4к-18a	BA042-2	1158	725	—	—	361	330	—	108	108	443	250	325	230	320	—	528	—	—	213

ТАБЛИЦА XIII.3.

Продолжение табл. XIII.3

РАЗМЕРЫ, мм, ПАТРУБКОВ НАСОСОВ
ЦЕНТРОБЕЖНЫХ КОНСОЛЬНЫХ ТИПА К

Марка насоса		D	D ₁	D ₂	d	D ₃	D ₄	D ₅	d ₁
новая	старая	всасывающий патрубок			нагнетательный патрубок				
K8/18	1,5к-8/19, 1,5к-6	40	100	130	14	32	90	120	14
K8/18a	1,5-6а, 1,5-8/19а	40	100	130	14	32	90	120	14
K8/18б	1,5к-8/19б, 1,5к-6б	40	100	130	14	32	90	120	14
K20/18	2к-20/18, 2к-9	50	110	140	14	40	100	130	14

Марка насоса		D	D ₁	D ₂	d	D ₃	D ₄	D ₅	d ₁
новая	старая	всасывающий патрубок			нагнетательный патрубок				
K20,18а	2к-20/18а, 2к-9а	50	110	140	14	40	100	130	14
K20/18б	2к-20/18б, 2к-9б	50	110	140	14	40	100	130	14
K20/30	2к-20/30, 2к-6	50	110	140	14	40	100	130	14
K20/30а	2к-20/30а, 2к-6а	50	110	140	14	40	100	130	14
K20/30б	2к-20/30б, 2к-6б	50	110	140	14	40	100	130	14
K45/30	3к-45/30, 3к-9	80	150	185	18	50	110	140	14

КОМПЛЕКТАЦИЯ ЭЛЕКТРОДВИГАТЕЛЯМИ НАСОСОВ
ЦЕНТРОБЕЖНЫХ КОНСОЛЬНЫХ ТИПА К

ТАБЛИЦА XIII.4.

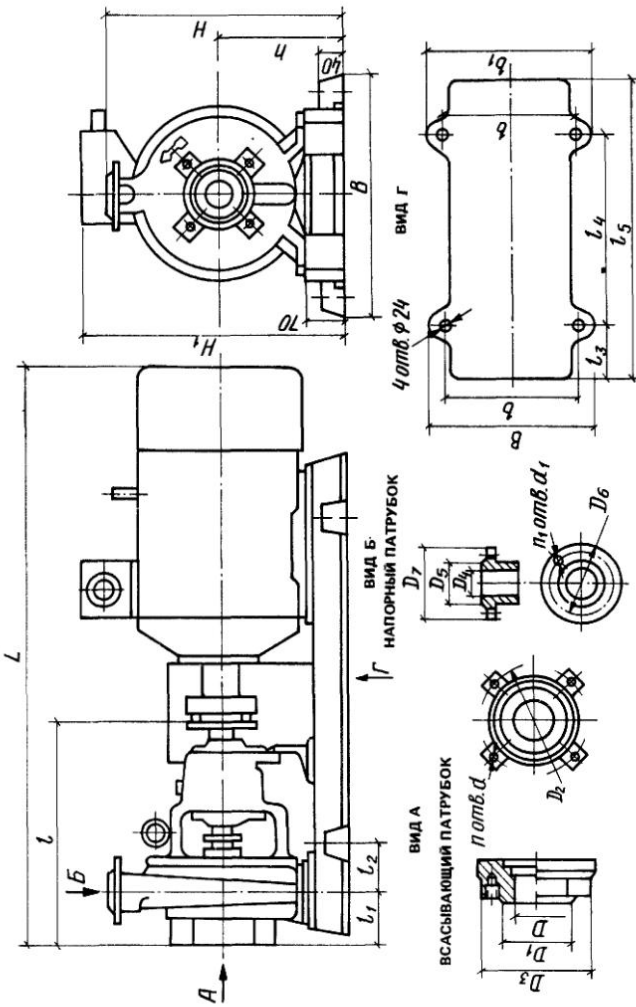
Марка насоса			Электродвигатель			
новая	старая	тип	мощность, кВт	частота вращения, об/мин	напряжение, В	масса, кг
K8/18	1,5к-8/19, 1,5к-6	4A80A2	1,5	2850	220/380	17,4
		BA021-2		2860	220/380	45
K8/18а	1,5к-8/19а, 1,5к-6а	4A80A2	1,5	2850	220/380	17,4
		BA021-2		2860	220/380	45
K8/18б	1,5к-8/19б, 1,5к-6б	4A80A2	1,5	2850	220/380	17,4
		BA021-2		2860	220/380	45
K20/18	2к-20/18, 2к-9	4A80B2	2,2	2850	220/380	20,4
		BA021-2		1,5	2860	220/380
K20/18а	2к-20/18а, 2к-9а	4A80A2	1,5	2850	220/380	17,4
		BA021-2		2860	220/380	45
K20/18б	2к-20/18б, 2к-9б	4A80A2	1,5	2850	220/380	17,4
		BA021-2		2860	220/380	45
K20/30	2к-20/30, 2к-6	A02-32-2	4	2880	220/380	43
		4A100S2		2880	220/380	36
		BA032-2		2900	220/380	70
K20/30а	2к-20/30а, 2к-6а	4A90L2	3	2840	220/380	28,7
		BA031-2		2900	220/380	65
K20/30б	2к-20/30б, 2к-6б	4A80B2	2,2	2850	220/380	20,4
		BA022-2		2860	220/380	52

Продолжение табл. XIII.4

490/20a	4к-90/20a,	A02-41-2	5,5	2900	220/380	62
	4к-18a	BA041-2		2900	220/380	101
K45/30	3к-45/30,	A02-42-2	7,5	2910	220/380	74
		4A112M2		2900	220/380	56
	3к-9	BA042-2		2900	220/380	108
K45/30a	3к-45/30a,	A02-41-2	5,5	2900	220/380	62
	3к-9a	BA041-2		2900	220/380	101
K90/20	4к-90/30, 4к-18	A02-42-2	7,5	2910	220/380	74
		4A112M2		2900	220/380	58
		BA042-2		2900	220/380	108
K 50-32-125	-	4AM80B2Y3	2,2	3000	380	32(80)
K 65-50-160	-	4AM100L2Y3	5,5	3000	380	46(115)
K 80-65-160	-	4AM112M2Y3	7,5	3000	380	50(136)
K 80-50-200	-	4AM160S2Y3	15	3000		52(250)
K 100-80-160	-	4AM160S2Y3	15	3000		75(270)
K 100-65-200	-	4AM180M2Y3	30	3000		82(376)
K 100-65-250	-	4AM200L2Y3	45	3000	380	117(485)
K 150-125-250	-	4AM160M4Y3	18,5	1500		140(420)
K 150-125-315	-	4AM180M4Y3	30	1500		145(427)
K 200-150-250	-	4AM180M4Y3	30	1500		135(425)

Примечание. В скобках дана масса агрегата

РАЗМЕРЫ, мм, ЦЕНТРОБЕЖНЫХ КОНСОЛЬНЫХ НАСОСОВ ТИПА К



Типоразмер насоса	L	B	B_1	H	H_1	l	l_1	l_2	l_3	l_4	l_5	b	h	h_1	h_2	d
К 50-32-125	792	300	-	315	313	465	80	55	130	450	730	250	175	63	95	19
К 65-50-160	865	340	-	335	375	465	80	62	150	500	790	295	195	63	95	19
К 80-65-160	942	390	-	410	428	485	100	70	140	510	790	335	230	70	118	24
К 80-50-200	1127	458	458	430	485	485	100	98	160	600	886	380	230	-	-	-
К 100-65-160	1245	458	458	430	485	600	100	93	167	680	1020	380	230	-	-	-
К 100-65-200	1310	498	498	475	540	600	100	93	167	770	1094	420	250	-	-	-
К 100-65-250	1390	568	568	520	605	625	125	145	237	700	1194	490	270	-	-	-
К 150-125-250	1345	465	465	675	575	670	140	145	237	700	1102	395	320	-	-	-
К 150-125-315	1380	525	510	705	640	690	140	163	275	700	1170	430	350	-	-	-
К 200-150-250	1400	525	510	725	640	690	160	163	275	700	1170	430	350	-	-	-

ТАБЛИЦА XIII. 6

РАЗМЕРЫ, мм, ВСАСЫВАЮЩЕГО И НАГНЕТАТЕЛЬНОГО ПАТРУБКОВ НАСОСОВ
ЦЕНТРОБЕЖНЫХ КОНСОЛЬНЫХ ТИПА К

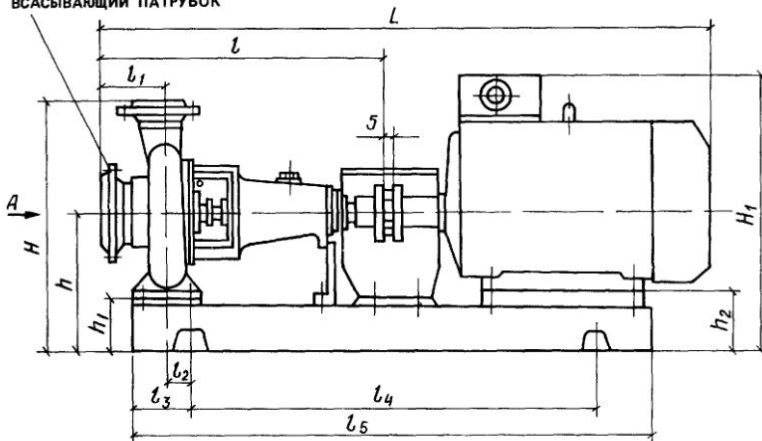
Типоразмер насоса	Фланец всасывающего патрубка						Фланец напорного патрубка					
	D	D_1	D_2	D_3	d	h	D_4	D_5	D_6	D_7	d_1	h_1
К 50-32-125	50	102	125	160	—	4	32	78	100	135	—	—
К 65-50-160	65	122	145	180	—	4	50	102	125	160	—	—
К 80-65-160	80	133	160	195	—	8	65	122	145	180	—	—
К 80-50-200	80	138	160	190	M16	4	50	102	125	160	18	4
К 100-80-160	100	158	180	210	M16	8	80	138	160	195	18	4
К 100-65-200	100	158	180	210	M16	8	65	122	145	180	18	4
К 150-125-250	150	212	240	275	M20	8	125	184	210	245	18	8
К 150-125-315	150	212	240	285	M20	8	125	184	210	245	18	8
К 200-150-250	200	268	295	335	M20	8	150	212	240	280	23	8

ТАБЛИЦА XIII.7

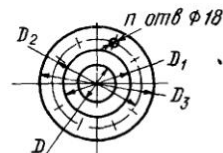
ТЕХНИЧЕСКИЕ ДАННЫЕ НАСОСОВ ЦЕНТРОБЕЖНЫХ КОНСОЛЬНЫХ ТИПА КМ

Типоразмер электронасоса	Подача, м ³ /ч (л/с)	Напор, м	Частота вращения, с ⁻¹ (об/мин)	Допустимый кавитационный запас, м, не более	Двигатель				
					тип	мощность, кВт	частота вращения (синхронная), с ⁻¹ (об/мин)	напряжение, В	частота тока, Гц
КМ 50-32-125	12,5(3,47)	20	48(2900)	3,5	4АМХ80В2ЖУ2	2,2	50(3000)	380	50
КМ 65-50-160	25(6,95)	32		3,8	4АМ10012ЖУ2	5,5			
КМ 80-50-200	50(13,9)	50		3,5	4АМ160S2ЖУ2	15			
КМ 100-80-160	100(27,8)	32		4,5	4АМ160S2ЖУ2	15	50	380	50
КМ 100-65-200	100(27,8)	50		4,5	4АМ180М2ЖУ2	30	(3000)		

ВСАСЫВАЮЩИЙ ПАТРУБОК



ВИД А



НАПОРНЫЙ ПАТРУБОК

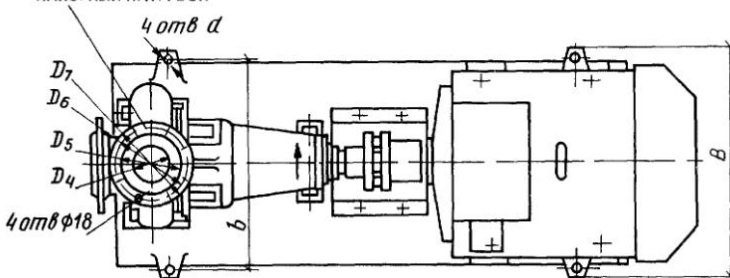
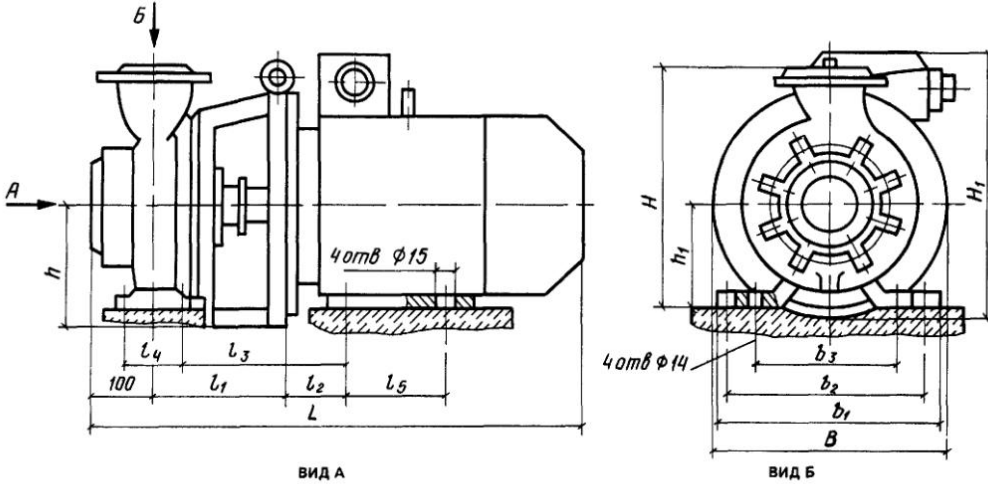


ТАБЛИЦА XIII. 8

РАЗМЕРЫ, мм, И МАССА, кг, НАСОСОВ ЦЕНТРОБЕЖНЫХ КОНСОЛЬНЫХ ТИПА КМ

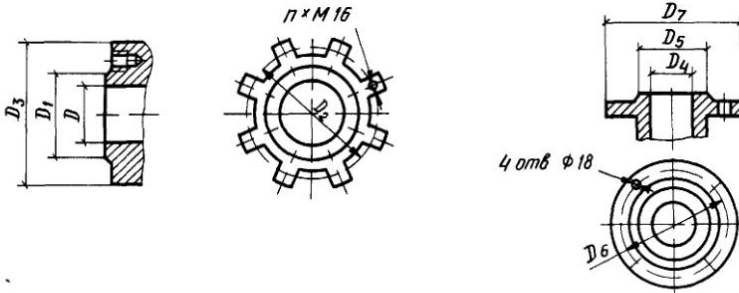


ВИД А

ВСАСЫВАЮЩИЙ ПАТРУБОК

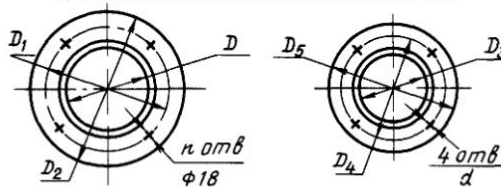
ВИД Б

НАПОРНЫЙ ПАТРУБОК



Типоразмер электронасоса	L	B	H	H ₁	l	l ₁	l ₂	l ₃	l ₄	l ₅	b	b ₁	b ₂	b ₃	h	h ₁	Масса
КМ 50-32-125	491	200	265	276	140,5	130	115	-	-	-	160	-	-	-	125	-	47
КМ 65-50-160	570	250	310	321	158	145	109	-	-	-	170	-	-	-	150	-	76
КМ 80-50-200	825	358	360	430	-	181	108	254	70	178	-	304	254	212	175	160	195
КМ 100-80-160	824	350	360	430	-	196	108	255,5	95	178	-	304	254	212	175	160	197
КМ 100-65-200	850	400	405	470	-	194	121	268,5	95	241	-	339	279	250	200	180	260

ТАБЛИЦА XIII.9

РАЗМЕРЫ, мм, ВСАСЫВАЮЩЕГО И НАГНЕТАТЕЛЬНОГО ПАТРУБКОВ НАСОСОВ
ЦЕНТРОБЕЖНЫХ КОНСОЛЬНЫХ ТИПА КМ

Типоразмер электронасоса	Фланец всасывающего патрубка				Фланец напорного патрубка			
	D	D ₁	D ₂	D ₃	D ₄	D ₅	D ₆	D ₇
КМ 50-32-125	50	102	125	160	32	78	100	135
КМ 65-50-160	65	122	145	180	50	102	125	160
КМ 80-50-200	80	138	160	190	50	102	125	160
КМ 100-80-160	100	158	180	210	80	138	160	195
КМ 100-65-200	100	158	180	210	65	122	145	180

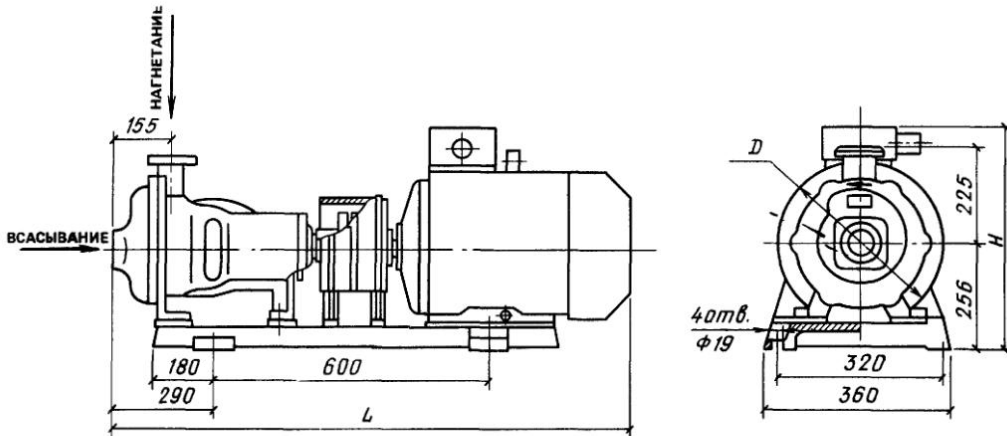
ТЕХНИЧЕСКАЯ ХАРАКТЕРИСТИКА ЦЕНТРОБЕЖНО-ВИХРЕВЫХ НАСОСОВ

ТАБЛИЦА XIII.10

Марка насоса (агрегата)	Подача		Напор, м	Частота вращения, c^{-1} (об/мин)	Мощность насоса, кВт	КПД насоса, %	Допускаемый кавитационный запас (не более), м
	м ³ /ч	л/с					
ЦВК4/85	14,4	4	85		21,8	38	
ЦВК5/120	18	5	120	49(2950)	25,8	43	3
ЦВК6,3/160	22,7	6,3	160		29,9	43	

ГАБАРИТНЫЕ И ПРИСОЕДИНИТЕЛЬНЫЕ РАЗМЕРЫ, мм, И МАССА, кг, ЦЕНТРОБЕЖНО-ВИХРЕВЫХ НАСОСОВ (АГРЕГАТОВ)

ТАБЛИЦА XIII.11



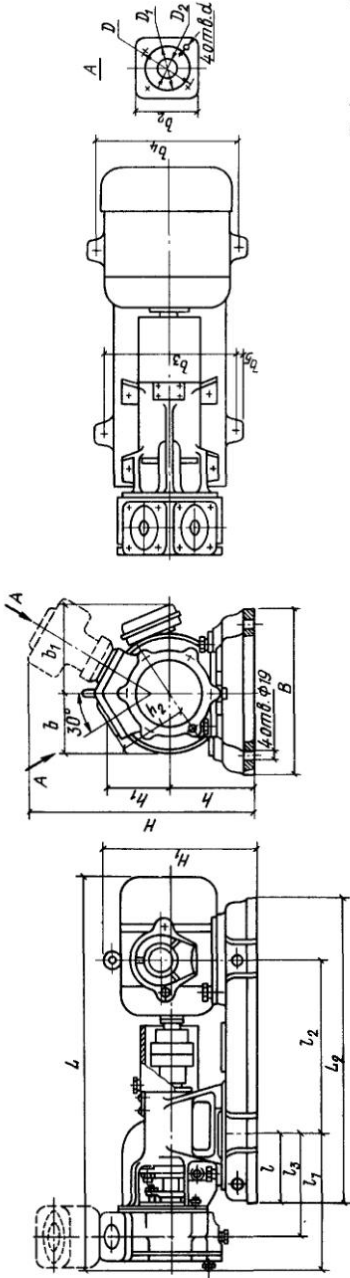
Марка насоса (агрегата)	Двигатель		L	H	D	Масса	
	тип	мощность, кВт				насоса	агрегата
ЦВК 4/85	4A180S2Y3	22	1220	545	410	90	300
	B180S2Y3		1310	655	460		320
ЦВК5/120	4A180M2Y3	30	1260	545	410	90	360
ЦВК6,3/160	B180M2Y3		1350	655	460		430

ТАБЛИЦА XIII. 12.

ТЕХНИЧЕСКАЯ ХАРАКТЕРИСТИКА ВИХРЕВЫХ НАСОСОВ

Марка насоса	Подача		Напор, м	Частота вращения, с ⁻¹ (об/мин)	Мощность насоса, кВт, не более	Допускаемый кавитационный запас, м, не более	Максимальная высота самоссыпания, м	КПД, %
	л/с	м ³ /ч						
ВК 2/26А, ВК 2/26АБ-2Г, ВК 2/26Б, ВК 2/26Б-2Г	2	7,2	26	24(1450)	4,6	5	—	33
ВК 2/26К, ВКС 2/26АБ-2Г, ВКС 2/26Б, ВКС 2/26Б-2Г	2	7,2	26	24(1450)	4,6	5	4	
ВК 4/24АБ-2Г, ВК 4/24Б, ВК 4/24АБ-2Г, ВК 4/24К-2Г	4	14	24	25(1450)	7	6	—	41
ВКС 4/24АБ-2Г, ВКС 4/24Б, ВКС 4/24Б-2Г	4	14	24	25(1450)	7	6	4	
ВК 5/24А, ВК 5/24АБ-2Г, ВК 5/24Б	5	18	24	25(1450)	8,3	6,5	—	38
ВК 5/24Б-2Г, ВК 5/24К, ВК 5/24К-2Г	5	18	24	25(1450)	8,3	6,5	—	38
ВКС 5/24А, ВКС 5/24АБ-2Г, ВКС 5/24Б, ВКС 5/24Б-2Г	5	18	24	25(1450)	8,3	6,5	4	
ВК 10/45А, ВК 10/45Б, ВК 10/45К	10	36	45	25(1450)	27	7	—	35
ВКС 10/45А, ВКС 10/45Б	10	36	45	25(1450)	27	7	3	

ГАБАРИТНЫЕ И ПРИСОЕДИНИТЕЛЬНЫЕ РАЗМЕРЫ,
мм, И МАССА, кг, ВИХРЕВЫХ НАСОСОВ (АГРЕГАТОВ)



Продолжение табл. XIII.13

Марка агрегата	Двигатель		Размеры, мм										Масса, кг																				
	тип	мощность, кВт	L	L ₁	l	l ₁	l ₂	l ₃	B	b	b ₁	b ₂	b ₃	b ₄	b ₅	h	H	H [*]	H ₁	h ₁	h ₂	D	D ₁	D ₂	d	М12	Масса насоса	Агрегат					
ВК 2/26, ВКС 2/26	3	805	257	555	102	257	365	192	310	117,5	117,5	100	250	250	30	328	361	328	198	107	117	100	80	40	40	M12	29,7	77	29,7 29,7 32,4	81 81 80			
			262	810	262	262	192	192	193	448	448	30	448	361	328	198	107	117	100	80	40	40	M12	29,7	77								
			284	831	284	284	193	193	193	388	388	30	388	361	328	198	107	117	100	80	40	40	M12	29,7	77								
ВК 2/26, ВКС 2/26	4	835	257	580	192	257	379	192	310	117,5	117,5	100	250	250	35	328	361	328	198	107	117	100	80	40	40	M12	29,7	83	29,7 29,7 32,4	87 87 86			
			262	840	262	262	192	192	193	448	448	35	448	361	328	198	107	117	100	80	40	40	M12	29,7	83								
			284	861	284	284	193	193	193	388	388	35	388	361	328	198	107	117	100	80	40	40	M12	29,7	83								
BAO 42-4	5,5	1030	257	680	192	257	451	192	310	170	330	240	254	254	35	340	460	340	210	210	210	210	210	210	210	210	210	210	210	29,7 33,2 32,4	157 161 160		
			269	1035	269	269	192	192	193	460	460	35	460	460	340	210	210	210	210	210	210	210	210	210	210	210	210	210	210			210	
			284	1056	284	284	193	193	193	340	340	35	340	460	340	210	210	210	210	210	210	210	210	210	210	210	210	210	210			210	210
B11,2M4	5,5	1045	257	620	192	257	413	192	290	140	230	240	240	240	25	328	448	338	198	198	198	198	198	198	198	198	198	198	198	29,7 33,2 32,4	147 150 142		
			262	1045	262	262	192	192	193	448	448	25	448	448	338	198	198	198	198	198	198	198	198	198	198	198	198	198	198			198	198
			284	1066	284	284	193	193	193	338	338	25	338	448	338	198	198	198	198	198	198	198	198	198	198	198	198	198	198			198	198

Продолжение табл. XIII.13

Марка агрегата	Двигатель		Масса																								
	тип	мощность, кВт	L	L ₁	l	l ₁	l ₂	l ₃	B	b	b ₁	b ₂	b ₃	b ₄	b ₅	H*	H ₁	h	h ₁	h ₂	D	D ₁	D ₂	d			
BK 4/24, BKC 4/24	AM51-4**	4,5	947	952	770	257	262	520	192	366	142	214	303	303	32	358	478	228						29,7	116	33,2	119
	4A112M4Y3	5,5	902	907	620	257	262	413	192	290	130	130	240	240	25	328	448	198	107 117					29,7	107	33,2	115
BK 4/24, BKC 4/24	AO2-42-4M**	5,5	956	961	680	102	257	451	192	310	150	226	240	254	35	340	460	210						29,7	114	33,2	127
	П40M**	2,8	964	969		257	262	454	192	326	247	150	100	270	270	28	368	488	238	100 80 40 M12					29,7	115	33,2
BK 4/24, BKC 4/24	4A112M4Y3	5,5	914	914	620	269	269	413	195	290	130	130	240	240	25	332	444	198						34,9	109	33,6	117
	4A132S4Y3	7,5	942	942	640	269	290	432	195	310	151	151	240	254	35	344	456	210	110 120 100 80 40 M12					34,9	131	35,6	139
BK 4/24, BKC 4/24	BAO 51-4	7,5	1092	1092	695	269	290	470	195	325	178	330	266	254	35	372	558	238						34,9	192	35,6	200
	BI32S4	7,5	1082	1082	640	269	290	432	196	310	170	230	240	254	35	344	456	210	110 120 100 80 40 M12					32,1	152	35,6	160
BK 5/24, BKC 5/24	П151M**	7,4	1061	1061	750	269	269	497	195	340	290	174	266	266	30	402	514	268						32,1	187	35,6	195
	A4132M4Y3	11	998	998	680	275	275	451	195	310	151	-	240	254	35	350	464	210						36,7	146	37,9	150
			1018	1018		296	296	196							350									40	152		

Продолжение табл. XIII.13

БК 5/24, БКС 5/24	4А112МУ3	5,5	920 920 940	275 275 296	195 413 196	290 130 130	338 452 338	240 240 240	25 396 198	115 125 110	90 50 M12	33,7	107
												37,9	111
БКС 5/24	BAO 52-4	10	1133 1133 1153	275 275 296	195 486 196	325 178 330	378 492 378	240 266 240	35 558 238	115 125 110	90 50 M12	33,7	210
												37,9	214
БКС 10/45	B132M4	11	1104 1104 1124	275 275 296	195 451 196	310 170 230	350 464 350	240 254 240	35 518 210	115 125 110	90 50 M12	33,7	196
												37,9	200
БКС 10/45	АО2-52-4М**	10	1044 1044	275 275	486 195	325 165	492 268	266 266	30 408	115 125 110	90 50 M12	33,7	185
												37,9	165
БКС 10/45	П31М**	7,4	1099 1099	275 275	497 195	340 290	522 174	290 290	25 512	115 125 110	90 50 M12	44	228
												48	232
БКС 10/45	4А160МУ3	18,5	1174 1174 1203	297 297 325	205 560 213	179 179 108	392 512 242	290 290	25 392	115 125 110	90 50 M12	44	234
												50	234
БК 10/45, БКС 10/45	4А180М4У3	30	1269 1238	297 297 325	205 366 205	205 205	412 522	412 262	25 412	121 140	130 110	44	266
												60	270
БКС 10/45	BAO 72.4	30	1287 1316	297 297 325	205 410 213	240 390	432 692	282	33 25	121 140	130 110	44	392
												50	398
БКС 10/45	B180M4	30	1302 1331	297 297 325	205 366 213	220 340	412 652	262	25 412	121 140	130 110	44	392
												60	396
БКС 10/45	АО2-72-4М**	30	1228 1228	297 297	205 410	230 316	587 282	282	33 432	121 140	130 110	44	316
												60	320

Продолжение табл. XIII 13

* Насосы с литой плитой
 ** Насосы со штампованной плитой

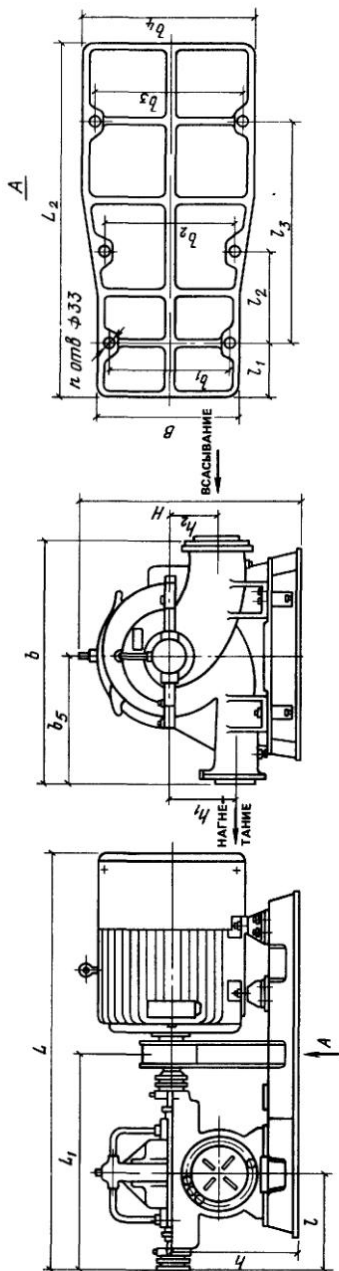
ТЕХНИЧЕСКАЯ ХАРАКТЕРИСТИКА НАСОСОВ ЦЕНТРОБЕЖНЫХ ТИПА Д

ТАБЛИЦА XIII.14.

Марка насоса	Диаметр рабочего колеса, мм	Обозначение обложки рабочего колеса	Подача		Напор, м (предельное отклонение + 5%)	Частота, вращения, с ⁻¹ (об/мин)	Мощность насоса, кВт, не более	Оптимальный КПД, %, не менее	Допускаемый ка-витационный за-пас, м
			м ³ /ч	л/с					
Д200-95 (4НДв)	280	—	100	28	23	24(1450)	10	70	3,5
	255	а			19,8				
	280 255 240	— а б	200	55	95 77 64	49(2950)	85	70	6,5
Д200-36 (5НДв)	350	—	200	55	36	24(1450)	35	72	5,5
	320	а			28				
	300	б	23						
Д320-70 (6НДс)	242	—	320	89	70	49(2950)	90	78	6
	220	а	320	89	53				
	205	б	300	83	44				
Д320-50 (6НДв)	405	—	320	89	50	24(1450)	76	76	4,5
	365	а			37				
	340	б	29						
Д500-65 (10Д-6)	465	—	500	140	65	24(1450)	(135)	76	4,5
	432	а			53				
	390	б	40						
Д630-90 (8НДв)	525	—	630	175	90	24(1450)	265	75	6,5
	490	а			76				
	450	б	63						
	525	—	500	140	36	16(960)	94	75	5
	490	а	490	136	28				
	450	б	440	122	23				
Д800-57 (12Д-9)	432	—	800	220	57	24(1450)	177	82	4
	405	а			47				
	360	б	33						
Д1250-65 (12НДс)	460	—	1250	350	65	24(1450)	314	86	6
	430	а			50				
	390	б	38						
Д1250-65 (12НДс)	460	—	800	220	28	16(960)	95	86	4,5
	430	а			22,5				
	390	б	17,5						
Д1250-125 (14Д-6)	625	—	1250	350	125	24(1450)	620	76	5
	570	а			98				
	535	б	83						
Д1600-90 (14НДс)	540	—	1600	445	90	24(1450)	500	87	7
	515	а			75				
	460	б	58						
	540	—	1000	280	40	16(960)	148	87	5
	515	а			36				
	460	б	26						
Д2000-21	460	—	2000	550	21	16,3(980)	150	86	5
	425	а			14				
	460	—	1250	350	14	12(730)	100	86	3
425	а	10							
Д2000-100 (20Д-6)	855	—	2000	550	100	16,3(980)	760	75	6,5
	790	а			80				
Д2500-62 (18НДс)	700	—	2500	700	62	16,3(980)	500	87	7,5
	700	—	2000	550	34	12(730)	250	87	5,5

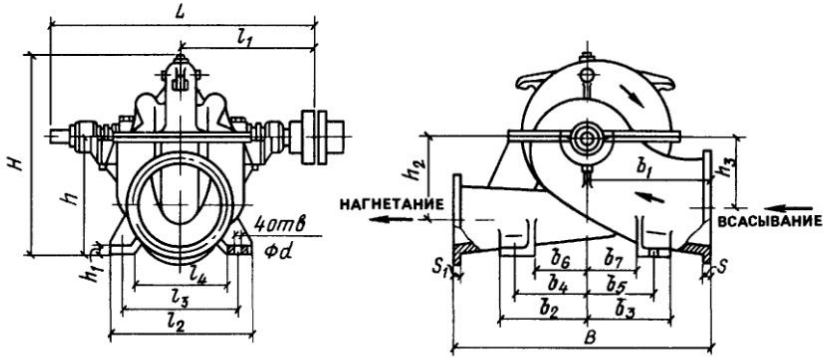
Примечание. Давление на входе в насос 0,3 МПа (3 кгс/см²).

ГАБАРИТНЫЕ И ПРИСОЕДИНИТЕЛЬНЫЕ РАЗМЕРЫ, мм, И МАССА, кг,
НАСОСОВ ЦЕНТРОБЕЖНЫХ С ПОДАЧЕЙ 1600 м³/ч ВКЛЮЧИТЕЛЬНО



Марка насоса (агрегата)	Комплектуемый электродвигатель		L	B	H	L ₁	L ₂	l	l ₁	l ₂	l ₃	ВСАСЫВАНИЕ				n	Масса агре- гата
	тип	мощ- ность, кВт										напряжение, В	b	b ₁	b ₂		
D200-95	4A280S2, 4AH250S2	110	1975	870								660	565	565	565	660	1100
	A02-92-2	100	1860	797	1540	230	-	940									960
	A02-91-2	75	1805	797	830	375						300	450	181	146	4	855
	4A250S2		220/380	640													
	4A225M2	55	1645	800	1540	230	940	940	660	565	565	565	660				685
	П162	14	1497	709	1250	210	-	810	540	440	440	440	540				524
	A02-61-4	13	1464	680	1190	210	810	540	440	440	440	540					468

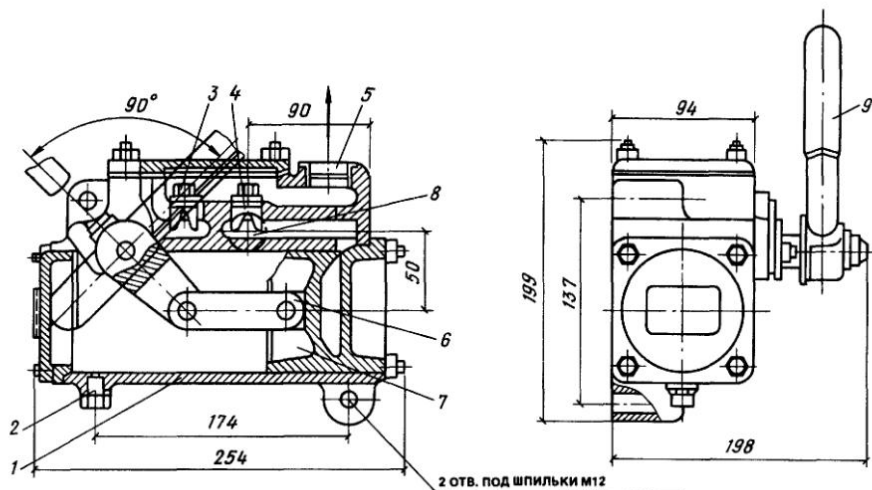
ТАБЛИЦА XIII.16.
ГАБАРИТНЫЕ РАЗМЕРЫ, мм, И МАССА, кг, НАСОСОВ ЦЕНТРОБЕЖНЫХ С ПОДАЧЕЙ
2000-6300 м³/ч



Марка насоса	L	B	H	l_1	l_2	l_3	l_4	b_1	b_2	b_3	b_4
Д2000-21	1620	1350	1280	795	800	660	480	850	400	400	300
Д2500-62	2130	2080	1440	1051	1100	900	800	900	550	550	425
Д2000-100	2050	1550	1420	1017	860	680	500	750	625	575	515

Продолжение табл XIII 16

b_5	b_6	b_7	h	h_1	h_2	h_3	S	S_1	d	Масса
300	200	200	760	35	440	460	34	32	35	1630
425	300	300	850	45	620	475	42	40	42	2870
465	405	355	800	45	665	415	34	28	42	2475



Технические данные насоса ручного поршневого марки P.0,8-30 (рис. XIII.1) даны ниже:

Диаметр цилиндра, мм	80	Вакуумметрическая высота всасывания, м, при работе на воде с температурой 30°C	5,5
Ход поршня, мм	80	Усилие на рукоятку, Н, при напоре 30 м	260
Подача за двойной ход, л	0,74	Масса, кг	14
Напор, м	30		

Рис. XIII.1

Технические данные насосов ручных поршневых марки Р.1,6-20 (рис. XIII.2) и марки БКФ-4 (рис. XIII.3) даны ниже:

	Р.1,6-20	БКФ-4
Диаметр цилиндра мм	100	100
Ход поршня, мм	100	90
Число двойных качаний в 1 мин	30	30—40
Подача за двойной ход, л	1,45	1,3
Напор, м	20	30
Вакуумметрическая высота всасывания	5,5	4,5
Масса, кг	22	23

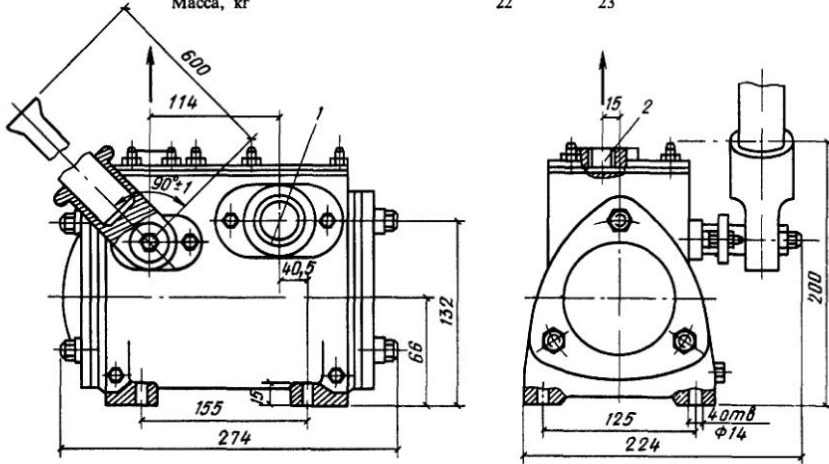


Рис. XIII.2

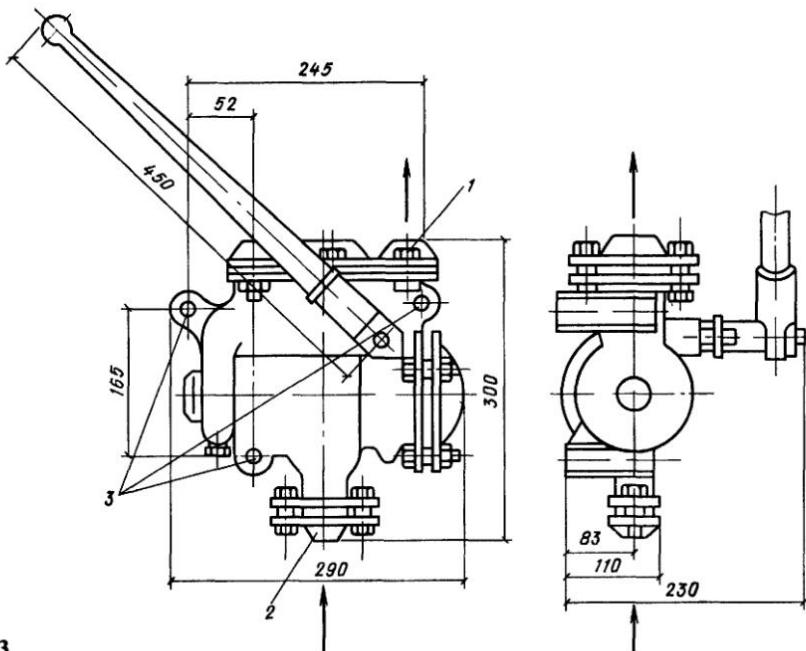


Рис. XIII.3

ПРЕДМЕТНЫЙ УКАЗАТЕЛЬ

При пользовании предметным указателем следует иметь в виду, что в рубриках, представляющих собой сочетание прилагательного и существительного, применена инверсия – существительное поставлено на первое место.

А

Автоматизация подпитки системы водяного отопления 83
Агрегат отопительный 138, 143, 304–313
Аккумулятор теплоты 184
Амплитуда колебания температуры воздуха в помещении 12, 13
Арматура запорно-регулирующая 82, 122, 278–292

Б

Бак конденсатный 137
– расширительный 87, 88, 115
– сепаратор (расширительный бачок) 137
Баланс тепловой помещения 33, 165, 170, 173
Бифилярная система водяного отопления 75, 80
Брудер электрический 172

В

Виды систем водяного отопления 75–78
-- парового отопления 119
– отопительных приборов 41
Вода геотермальная 192
Вода (физические свойства) 211
Воздух атмосферный (физические свойства) 206
Воздухоотводчик 86
Воздухопроницаемость ограждений здания 14–16
Воздухораспределитель 140, 141
Воздухосборник 86
Выбор диаметра труб 103
– отопительных приборов 42
– системы отопления 29–32
---- геотермального 196
---- водяного 79, 80
---- парового 120, 121
---- солнечного 176–178

Г

Гладкотрубный отопительный прибор 42, 43, 78
Горелка инфракрасного излучения 162

Д

Давление гидравлическое в системе водяного отопления 80, 81
– естественное циркуляционное в системе водяного отопления однетрубной вертикальной 89
----- однетрубной горизонтальной 89
----- двухтрубной 89
---- при охлаждении воды в малом кольце 96
----- в отопительных приборах 89
----- в отопительных трубах 88, 239
Давление воздуха в здании избыточное 24, 26
– пара начальное 122, 123
– циркуляционное насосное 89
-- расчетное 88
-- располагаемое 95
Дальнобойность воздушной струи 143, 144
Двухтрубная система водяного отопления 78, 80
Динамика давления в системе водяного отопления без расширительного бака 80, 81
Длина трубы эквивалентная 123, 250, 257

З

Завеса воздушная тепловая 31
Затвор гидравлический 134, 135
Зона влажности территории СССР 7, 8

И

Изоляция виброзвуковая 84, 85
– тепловая 84
Инерция тепловая ограждающей конструкции 7, 12
-- отопительного прибора 41, 147
Инfiltrация воздуха 24, 37–39
-- в помещение зданий одноэтажных 24, 25
---- многоэтажных 26–28

К

Клапан обратный 73, 74
– предохранительный 137
– редуционный 136
Классификация отопительных приборов 41
– систем водяного отопления 75–78

- геотермального отопления 196–200
- парового отопления 119–121
- электрического отопления 159
- Коллектор солнечной энергии 180–184
- Кольцо циркуляционное в системе водяного отопления основное 93–95, 97
- второстепенное 95, 98
- малое 96, 99
- Компенсатор удлинения теплопроводов 85
- Конвектор 41, 296–301
- Конденсатоотводчик 134, 135, 292–294
- Конденсатопровод 119
- двухфазный 119, 132
- Конденсат попутный 120
- Конструирование системы водяного отопления 81–88
- парового отопления 121, 122
- Коэффициент воздухораспределителя скоростной 140, 141
- температурный 140–142
- гидравлического трения 90, 91
- затекания воды 45, 91, 96
- местного сопротивления 90, 258–263
- отопительных приборов 93, 94, 260
- обеспеченности 6
- облученности 4
- смешения воды 90
- теплообмена конвективного 9
- лучистого 9
- теплопередачи ограждающей конструкции 34
- отопительного прибора 43, 47
- шероховатости труб 212, 223, 241, 247, 250, 252, 257
- эффективности облучения в системе лучистого отопления 157

М

- Магистраль системы центрального отопления 82
- Метр квадратный эквивалентный 43
- Мощность тепловая системы отопления 40, 41

Н

- Напор температурный 43
- номинальный 43
- Направление движения теплоносителя 75
- Насос конденсатный 138
- подпиточный 83
- смесительный 74, 83
- циркуляционный 73, 83

О

- Области применения систем отопления 29–31
- Однотрубная система водяного отопления 75–77, 79, 80
- Отопительные приборы 41, 295–303
- Отопление воздушное местное 138, 139, 142, 143
- центральное 139, 140, 144
- дежурное 31
- животноводческих помещений 165–169
- зданий с переменным тепловым режимом 32, 33
- квартирное 115, 116
- комбинированное 32
- лучистое 160, 162–164
- панельно-лучистое 147–157
- печное 32
- птицеводческих помещений 170–172
- солнечное 176–178, 185
- теплиц 173–175

П

- Панель излучающая 148, 149
- отопительная бетонная 148
- металлическая 149
- Параметры теплоносителя 29–31
- Пар водяной (физические свойства) 209, 210
- Паропровод 119–122
- Печь электронагревательная 313
- Плотность основных теплоносителей 206, 209, 211
- теплового потока отопительного прибора 43–45
- номинальная 43
- Площадь ограждающей конструкции расчетная 35
- Подача воздуха наклонная 138
- сосредоточенная 139, 140
- Подводка к отопительному прибору 81
- Потенциал влажности ограждения 16, 17
- Потери давления линейные 93, 123
- местные 93, 123
- при эксплуатации систем водяного отопления 74, 239
- удельные 94, 123, 126
- Проводимость системы водяного отопления 91, 93
- трубы 91
- Проект отопления (исходные данные) 78
- последовательность разработки 78, 79
- Пункт тепловой системы отопления 75

Р

Радиатор 41, 295, 296
 Размещение арматуры в системе водяного отопления 82, 83
 – отопительных приборов в помещениях 42, 43
 – теплопроводов в здании 81, 82, 121, 122
 Распределение температуры в ограждении помещения 9, 16
 Расход воды в системе отопления 93
 -- в отопительном приборе относительный 43
 -- в стояке (ветви) 89
 -- на участке теплопровода 93
 Расчет гидравлических конденсатопроводов 128
 ---- двухфазных 132, 133
 ---- напорных 129, 130
 ---- сухих и мокрых безнапорных 129
 -- паропроводов 122, 123
 ---- высокого давления 126–128
 ---- низкого давления 123–125
 -- системы водяного отопления 93–95, 102
 ----- вертикальной однотрубной 95–99, 103–105
 ----- с унифицированными стояками 108–114
 ----- горизонтальной однотрубной 105–108
 ----- двухтрубной 99–102, 108, 115–117
 ----- стояков 102
 ----- малого циркуляционного кольца 96, 99
 ----- по удельным линейным потерям давления 93–95
 ----- по характеристикам сопротивления 90–93, 102–105
 – проводимости однотрубных стояков системы водяного отопления 109–114
 – системы воздушного отопления 142–144
 ---- центральной 144–145
 – тепловой бетонной отопительной панели вертикальной 150–153
 ----- горизонтальной 153–156
 -- отопительных приборов 46, 47, 64–69
 -- подвесной излучающей панели 156–158
 -- системы геотермального отопления 202–204
 ---- инфракрасного электрического отопления 160–164
 ---- солнечного отопления 185–189
 -- теплопроводов 46, 264–268
 Регулирование системы отопления эксплуатационное 71
 – теплоотдачи отопительных приборов 71, 72
 Регулятор давления 74, 75, 136

Режим влажностный ограждений помещения 16–18
 – здания тепловой 29, 30, 31, 33, 34
 Рекомендации по проектированию системы отопления 32, 81, 120

С

Сезон отопительный 7
 Секция радиатора 47, 66, 69
 Система отопления 29, 169, 172, 175
 --- водяная бифилярная 75–77
 ---- вертикальная 75, 77, 78
 ---- геотермальная 202
 ---- горизонтальная 75–77
 ---- двухтрубная 75, 78
 ---- квартирная 115
 ---- однотрубная 75–77
 -- паровая замкнутая 119
 ---- разомкнутая 119, 120
 -- с естественной циркуляцией воды 73
 -- солнечная активная 176
 ---- пассивная 176
 -- теплонасосная 178, 199
 Скорость ветра 7
 – движения воды 89
 -- воздуха 139, 142, 143
 -- конденсата 130
 -- пара 123
 Солнечная радиация 175, 178–180
 Сопротивление ограждения влагопередаче 16
 -- воздухопроницанию 14, 15, 22
 -- паропроницанию 23
 – теплообмену на поверхности внутренней 9
 ---- наружной 9
 – теплопередаче ограждения 8
 ---- приведенное 8, 14
 ---- требуемое 19–21
 ---- экономически целесообразное 21
 -- светового проема 21
 Способы гидравлического расчета систем отопления 90–93
 Стояк системы отопления 75–78, 82, 119–120
 Схема присоединения отопительных приборов к теплопроводам 66
 -- системы водяного отопления к наружным теплопроводам зависимая прямоточная 73
 ----- зависимая со смешением 73
 ----- независимая 72, 73
 -- расчетная системы водяного отопления вертикальной однотрубной 97
 ----- горизонтальной однотрубной 107

- двухтрубной 100
- системы водяного отопления 75–78

Т

- Таблица для расчета площади отопительных приборов 47–63
- Таблицы для гидравлического расчета систем водяного отопления 212–238
 - напорных конденсатопроводов 252–257
 - паропроводов высокого давления 246–251
 - низкого давления 240–245
- для расчета теплоотдачи нагретыми трубами 264–268
 - долей линейных и местных потерь давления в системе отопления 264
 - коэффициентов местных сопротивлений 258–263
- Температура внутренней поверхности ограждения 8
 - воздуха внутреннего 5, 6, 34, 167, 168
 - наружного 7, 34
 - нагретой поверхности в помещении допустимая 4
 - поверхности ограждения в помещении расчетная 8
 - помещения 4
 - неотапливаемого 34
 - радиационная 4
 - теплоносителя 29–31, 45
 - в однотрубном стояке (ветви) системы водяного отопления 116
- Теплоемкость материала массовая 39
- Теплозатраты на нагревание воздуха 24, 37–39
 - материалов 39
- Теплозащита заполнений световых проемов 21
- Теплоноситель системы отопления 29–31
- Теплоотдача животных 165, 166
 - отопительных приборов 43, 44, 46, 47
 - птиц 171, 172
 - труб 46
 - человека 40
- Теплопередача стационарная 8, 9
 - нестационарная 10–13
- Теплопоступления в помещение от оборудования и материалов 40
 - бытовые 40
- Теплопотери добавочные 36
 - здания по укрупненным измерителям 41
 - помещения 34–40
 - через ограждение помещения 34–37
- Теплоусвоение пола помещения 12, 22, 168, 169

- Теплоустойчивость ограждающей конструкции 10–12
 - помещения 12–13
- Точка постоянного давления в системе водяного отопления 80
- Требования противопожарные к системе отопления 83, 84
- Труба воздушная 86, 87
 - ребристая 41, 303
- Трубы для системы отопления 268, 269

У

- Удаление воздуха из системы отопления 86, 87, 122
- Уклон теплопроводов 81, 82, 86, 122
- Условия тепловой комфортности в помещении 4
- Установка отопительных приборов 46, 69, 72
 - смешительная 74

Ф

- Фактор формы элемента ограждения помещения 13, 14
- Фасонные (соединительные) части труб 269–277

Х

- Характеристика здания удельная тепловая 41
 - геометрическая воздушной струи 142
 - гидравлического сопротивления системы водяного отопления 91
 - участка системы 90
 - узла участков системы 91
 - удельная 103

Ш

- Шайба дросселирующая (диафрагма) 95, 96, 124, 125
 - подпорная 134, 136

Э

- Экономия теплоты при геотермальном отоплении 195
 - при водяном отоплении здания 32, 33
 - при панельно-лучистом отоплении 147
 - при солнечном отоплении 187, 188
- Электрический обогреватель инфракрасный 162–164
- Электрическое отопление 159
 - воздушное 160

-- инфракрасное 160
 -- лучисто-конвективное 159
 Электрокалорифер 160, 314, 315
 Эпюра давления циркуляционного в системе

водяного отопления 95, 100, 102
 -- гидростатического в насосной системе водяного отопления 80, 81

ОГЛАВЛЕНИЕ

Предисловие	3	духа в производственных и од-	
Раздел I. ТЕПЛОВОЙ РЕЖИМ ЗДА-		ноэтажных общественных зда-	
НИЙ	4	ниях	24
<i>Глава 1. Внутренние и наружные клима-</i>		6.2. Инфильтрация воздуха в поме-	
<i>тические условия</i>	4	<i>щениях многоэтажных общест-</i>	
1.1. Метеорологические условия в	4	<i>венных зданий, оборудованных</i>	
помещениях		<i>системами механической венти-</i>	
1.2. Расчетные характеристики на-		<i>ляции</i>	26
ружного климата для холодного	7		
периода года		Раздел II. ОТОПЛЕНИЕ	29
<i>Глава 2. Теплопередача через ограждения</i>	8	<i>Глава 7. Классификация и выбор систем</i>	
2.1. Стационарная теплопередача . .	8	<i>отопления</i>	29
2.2. Нестационарная теплопередача	10	7.1. Основные виды систем отопле-	
2.3. Теплопередача через сложное		<i>ния</i>	29
ограждение с двухмерными эле-	13	7.2. Выбор системы отопления . .	29
ментами		7.3. Особенности выбора системы	
<i>Глава 3. Воздухопроницаемость строи-</i>		<i>отопления в здании с перемен-</i>	
<i>тельных материалов и конструк-</i>	14	<i>ным тепловым режимом</i>	32
<i>ций</i>		<i>Глава 8. Тепловая мощность системы</i>	
<i>Глава 4. Влагопередача и влажностный</i>	16	<i>отопления</i>	33
<i>режим ограждения</i>		8.1. Тепловой баланс помещения . .	33
<i>Глава 5. Защитные свойства наружных</i>	19	8.2. Теплопотери помещения	34
<i>ограждений</i>		8.3. Теплопоступления в помещение	40
5.1. Общая последовательность рас-	19	8.4. Расчетная тепловая мощность	
чета		<i>системы отопления</i>	40
5.2. Требуемое (минимально допус-	20	8.5. Теплопотери здания по укруп-	
тимое) сопротивление теплопе-		<i>ненным измерителям</i>	41
редаче		<i>Глава 9. Отопительные приборы</i>	41
5.3. Оптимальное (экономически це-	21	9.1. Виды отопительных приборов	41
лесообразное) сопротивление		9.2. Выбор и размещение отопитель-	
теплопередаче ограждения	21	<i>ных приборов</i>	42
5.4. Теплозащита заполнений свето-	21	9.3. Теплопередача отопительных	
вых проемов и дверей		<i>приборов</i>	43
5.5. Требуемая теплоустойчивость	21	9.4. Расчетная температура тепло-	
ограждений		<i>носителя воды в отопительных</i>	
5.6. Требуемая теплоустойчивость	22	<i>приборах</i>	45
полов		9.5. Тепловой расчет приборов . .	46
5.7. Требуемое сопротивление воз-	22	9.6. Примеры теплового расчета	
духопроницанию		<i>отопительных приборов</i>	69
5.8. Требуемое сопротивление паро-	23	9.7. Регулирование теплопередачи	
проницанию		<i>отопительных приборов</i>	71
<i>Глава 6. Инфильтрация наружного воз-</i>	24	9.8. Установка отопительных при-	
<i>духа через ограждение</i>		<i>боров</i>	72
6.1. Инфильтрация наружного воз-			

Глава 10. Водяное отопление	72	15.1. Системы отопления в животно-	165
10.1. Общие сведения	72	водческих помещениях	165
10.2. Классификация систем	75	15.2. Птицеводческие помещения . .	170
10.3. Последовательность проекти-		15.3. Культивационные сооружения	
рования системы	78	для круглогодичного выращи-	
10.4. Выбор системы	79	вания овощей	173
10.5. Гидравлическое давление в		Глава 16. Использование теплоты солнеч-	
системе	80	ной энергии	175
10.6. Конструирование системы . .	81	16.1. Классификация солнечных сис-	
10.7. Расчетное циркуляционное		тем горячего водоснабжения и	
давление в системе	88	отопления	175
10.8. Способы гидравлического рас-		16.2. Оценка располагаемого коли-	
чета системы отопления	90	чества солнечной энергии	178
10.9. Гидравлический расчет систе-		16.3. Классификация и выбор кол-	
мы по удельным линейным		лекторов солнечной энергии	
потерям давления	93	(КСЭ)	180
10.10. Гидравлический расчет систе-		16.4. Классификация и выбор акку-	
мы по характеристикам со-		муляторов теплоты	184
противления	102	16.5. Общие положения расчета сис-	
10.11. Гидравлический расчет одно-		тем солнечного отопления и	
трубной системы со стояками		горячего водоснабжения	185
унифицированной конструк-		16.6. Расчет сезонных систем горя-	
ции и тупиковым движением		чего водоснабжения	189
воды в магистралях по харак-		16.7. Уточнение теплового расчета	
теристикам гидравлического		ССТ с учетом действительных	
сопротивления	108	характеристик системы	191
10.12. Гидравлический расчет гравита-		Глава 17. Использование теплоты геотер-	
ционной системы	115	мальных вод	192
Глава 11. Паровое отопление	118	17.1. Классификация геотермальных	
11.1. Классификация систем парово-		вод	192
го отопления	119	17.2. Специфика геотермального	
11.2. Указания по выбору систем и		теплоносителя	193
схем парового отопления	120	17.3. Техничко-экономическая оценка	
11.3. Конструктивные указания . . .	121	вариантов систем, использую-	
11.4. Расчет паропроводов	122	щих теплоту геотермальных	
11.5. Расчет конденсатопроводов . .	128	вод	195
11.6. Указания по выбору и расчету		17.4. Принципиальные схемы сис-	
оборудования	134	тем геотермального тепло-	
Глава 12. Воздушное отопление	138	снабжения	196
12.1. Общие сведения	138	17.5. Потребители геотермального	
12.2. Расчет систем воздушного		тепла	202
отопления	142	Приложение I. Некоторые физические	
12.3. Примеры расчета систем воз-		величины	206
душного отопления	145	Приложение II. Таблицы для гидравли-	
Глава 13. Панельно-лучистое отопление .	147	ческого расчета систем отопле-	
13.1. Общие сведения	147	ния	212
13.2. Конструкции отопительных па-		Приложение III. Трубы стальные и со-	
anelей и схемы систем	147	единительные части с ним	268
13.3. Тепловой расчет панельно-лу-		Приложение IV. Общие сведения об ар-	
чистого отопления	150	матуре	278
Глава 14. Электрическое отопление	159	Приложение V. Краны	280
14.1. Классификация и область при-		Приложение VI. Вентили запорные . .	281
менения систем электрического		Приложение VII. Клапаны	285
отопления	159	Приложение VIII. Задвижки	290
14.2. Лучисто-конвективное электро-		Приложение IX. Конденсатоотводчики	292
отопление	159	Приложение X. Отопительные приборы	295
14.3. Электровоздушное отопление	160	Приложение XI. Отопительные агрегаты	305
14.4. Инфракрасное электроотопле-		Приложение XII. Оборудование систем	
ние	160	электрического отопле-	
Глава 15. Особенности отопления сельско-		ния	313
хозяйственных зданий и сооруже-		Приложение XIII. Насосы	315
ний	165	Предметный указатель	338

Справочное издание
ВНУТРЕННИЕ САНИТАРНО-ТЕХНИЧЕСКИЕ УСТРОЙСТВА.
В 3 ЧАСТЯХ.
ЧАСТЬ 1. ОТОПЛЕНИЕ

**БОГОСЛОВСКИЙ ВЯЧЕСЛАВ НИКОЛАЕВИЧ, КРУПНОВ БОРИС АЛЕКСЕЕВИЧ,
СКАНАВИ АЛЕКСАНДР НИКОЛАЕВИЧ И ДР.**

Художественный редактор *Л. Ф. Егоренко*
Технические редакторы *Т. В. Кузнецова, Ю. Л. Циханкова*
Корректор *Г. А. Кравченко*

ИБ № 3886

Сдано в набор 5.03.90. Подписано в печать 6.11.90. Формат 70 × 100^{1/16}. Бумага тип № 2. Гарнитура «Таймс». Печать офсетная Усл. печ. л. 27,74. Усл. кр.-отг. 27,74. Уч.-изд. л. 38,03. Тираж 76 000 экз. Изд № АХ-1092. Заказ № 1363. Цена 4 руб.

Стройиздат 101442 Москва, Каляевская, 23а

Можайский полиграфкомбинат В/О «Совэксспорткнига» Государственного комитета СССР по печати. 143200 Можайск, ул. Мира, 93

Отпечатано в Московской типографии № 4 Госкомпечати СССР.
129041, Москва, Б. Переяславская, 46. Зак. 2000.